



Universidad
Nacional
de Loja

Universidad Nacional de Loja

Facultad de la Energía, las Industrias y los Recursos Naturales No Renovables

Maestría en Electricidad, Mención Sistemas Eléctricos de Potencia

INGRESO DE CARGAS ESPECIALES A LA RED DE DISTRIBUCIÓN PRIMARIA

Trabajo de Titulación, previo a la obtención del título de Magíster en Electricidad, Mención Sistemas Eléctricos de Potencia.

AUTOR:

Ing. Walter Gonzalo Minga Solano

DIRECTOR:

Ing. Franklin Gustavo Jiménez Peralta, Mg.Sc.

Loja, Ecuador

2024

Certificación

Loja, 12 de agosto de 2024

Ing. Franklin Gustavo Jiménez Peralta, Mg.Sc.

DIRECTOR DE TRABAJO DE TITULACIÓN

CERTIFICO:

Que he revisado y orientado todo proceso de la elaboración del Trabajo de Titulación denominado: **INGRESO DE CARGAS ESPECIALES A LA RED DE DISTRIBUCIÓN PRIMARIA**, previo a la obtención del título de **Magíster en Electricidad, Mención Sistemas Eléctricos de Potencia**, de la autoría del estudiante **Walter Gonzalo Minga Solano**, con **cédula de identidad Nro. 1103786297**, una vez que el trabajo cumple con todos los requisitos exigidos por la Universidad Nacional de Loja, para el efecto, autorizo la presentación del mismo para la respectiva sustentación y defensa.

Ing. Franklin Gustavo Jiménez Peralta, Mg.Sc.

DIRECTOR DE TRABAJO DE TITULACIÓN

Autoría

Yo, **Walter Gonzalo Minga Solano**, declaro ser autor del Trabajo de Titulación y eximo expresamente a la Universidad Nacional de Loja y a sus representantes jurídicos de posibles reclamos y acciones legales, por el contenido del mismo. Adicionalmente acepto y autorizo a la Universidad Nacional de Loja la publicación del Trabajo de Titulación en el Repositorio Digital Institucional – Biblioteca Virtual.

Firma:

Autor: Walter Gonzalo Minga Solano

Cédula de Identidad: 1103786297

Fecha: 12/08/2024

Correo electrónico: walter.minga@unl.edu.ec

Teléfono: 0997985690

Carta de autorización por parte del autor, para consulta, reproducción parcial o total y/o publicación electrónica de texto completo del Trabajo de Titulación.

Yo, **Walter Gonzalo Minga Solano**, declaro ser autor del Trabajo de Titulación denominado: **INGRESO DE CARGAS ESPECIALES A LA RED DE DISTRIBUCIÓN PRIMARIA**, como requisito para optar el título de **Magíster en Electricidad, Mención Sistemas Eléctricos de Potencia**, autorizo al sistema Bibliotecario de la Universidad Nacional de Loja para que con fines académicos muestre la producción intelectual de la Universidad, a través de la visibilidad de su contenido de la siguiente manera en el Repositorio Institucional.

Los usuarios pueden consultar el contenido de este trabajo en el Repositorio Institucional, en las redes de información del país y del exterior con las cuales tenga convenio la Universidad.

La Universidad Nacional de Loja, no se responsabiliza por el plagio o copia del Trabajo de Titulación que realice un tercero.

Para constancia de esta autorización, suscribo, en la ciudad de Loja, a los doce días del mes de agosto del dos mil veinticuatro.

Firma:

Autor: Walter Gonzalo Minga Solano

Cédula de Identidad: 1103786297

Fecha: 12/08/2024

Correo electrónico: walter.minga@unl.edu.ec

Teléfono: 0997985690

DATOS COMPLEMENTARIOS:

Director de Trabajo de Titulación: Ing. Franklin Gustavo Jiménez Peralta, Mg.Sc.

Dedicatoria

Dedico este trabajo de investigación a mi familia que me han ayudado con su apoyo incondicional para este triunfo de este título alcanzado en mi vida y todos mis triunfos que voy a alcanzar.

Walter Gonzalo Minga Solano

Agradecimiento

A Dios por todo lo que soy y tengo en mi vida; a mis padres y hermanos por su preocupación y atención; al Ing. Jorge Enrique Carrión González, PhD. Director del programa de maestría electricidad mención sistemas eléctricos de potencia, y al Ing. Franklin Gustavo Jiménez Peralta, Mg.Sc. por su dirección; a la U.N.L por sus conocimientos recibidos y por ser un gran reto en mi vida, finalmente a la E.E.R.S.S.A por la información brindada.

Walter Gonzalo Minga Solano

Índice de contenidos

Portada	i
Certificación	ii
Autoría	iii
Carta de autorización.	iv
Dedicatoria	v
Agradecimiento	vi
Índice de contenidos	vii
Índice de tablas	ix
Índice de figuras.....	x
Índice de anexos.....	xi
1. Título	1
2. Resumen	2
Abstract	3
3. Introducción	4
4. Marco teórico	6
4.1. Vehículos Eléctricos.....	6
4.2. Tipos de Vehículos Eléctricos.....	6
4.3. Componentes de un vehículo eléctrico.....	7
4.4. Flujos de potencia en alimentadores radiales de distribución	8
4.5. Flujo de potencia en alimentadores primarios.....	8
4.6. El sistema eléctrico de la Empresa Eléctrica Regional del Sur S.A. (EERSSA) ..	9
4.7. Calidad de la Energía	9
5. Metodología	11
6. Resultados	14
7. Discusión	20

8. Conclusiones	22
9. Recomendaciones	23
10. Bibliografía	24
11. Anexos.....	26

Índice de tablas:

Tabla 1.Flujo de carga primer escenario sin electrolineras..... **14**

Tabla 2.Flujo de carga segundo escenario seis electrolineras..... **16**

Tabla 3.Flujo de carga tercer escenario doce electrolineras **17**

Índice de Figuras:

Figura 1. Modelo de vehículo eléctrico	6
Figura 2. Alimentador primario Sur EERSSA.....	12
Figura 3. Niveles de tensión de salida del alimentador Sur, estado actual.	13

Índice de Anexos:

Anexo 1. Certificado de traducción de resumen.....	25
Anexo 2. Flujo de carga primer escenario sin electrolineras.....	26
Anexo 3. Flujo de carga segundo escenario seis electrolineras.....	26
Anexo 4. Flujo de carga tercer escenario doce electrolineras	26

1.Título

**INGRESO DE CARGAS ESPECIALES A LA RED DE DISTRIBUCIÓN
PRIMARIA**

2.Resumen

En la presente investigación se realiza un análisis de la inclusión de los vehículos eléctricos (VE) y su efecto en las condiciones de operación de las redes de distribución primaria. Para ello, se ha definido el análisis de tres posibles escenarios. En el primero se trabaja con la situación actual del alimentador Sur de la Empresa Eléctrica Regional del Sur (EERSSA), considerado como punto de partida; para los dos siguientes escenarios se plantea una simulación con seis y doce electrolineras conectadas al alimentador en mención. Para el desarrollo de la simulación se utilizó el software especializado CYME 9.0 r4.

Palabras claves:

Vehículos eléctricos, redes de distribución primaria, electrolinera.

Abstract

In the present research, an analysis of the inclusion of electric vehicles (EV) and their effect on the operating conditions of primary distribution networks is described. For this purpose, the analysis of three possible scenarios has been defined. The first scenario uses the current situation of the South feeder of the Empresa Eléctrica Regional del Sur (EERSSA), considered as a starting point; for the next two scenarios, a simulation is proposed with six and twelve electro-power stations connected to the aforementioned feeder. The specialized CYME 9.0 r4 software was used to develop the simulation.

Keywords:

Electric vehicles, primary distribution networks, electric vehicle refueling station.

3.Introducción

Los sistemas eléctricos han presentado grandes avances en el uso de tecnologías digitales que permiten controlar, operar y gestionar de forma más eficiente los sistemas de distribución. Al considerar a todos los participantes del sector eléctrico, se minimizan costes, se reduce el impacto ambiental y se garantiza la confiabilidad y seguridad del sistema.

La inserción de vehículos eléctricos (VE) es una alternativa sustentable de movilidad que permite disminuir la emisión de gases de efecto invernadero y el consumo energético (Chan C. , 2022). En base a esta nueva forma de movilidad y, de sus requerimientos eléctricos, es necesario realizar estudios que investiguen los efectos en los sistemas de distribución para entender las implicaciones que esto conlleva.

En el Ecuador ya se han desarrollado algunos estudios sobre las afectaciones que produciría la incorporación de VE en el sistema eléctrico; tales estudios se han orientado, por ejemplo, al análisis de la demanda a nivel país considerando aspectos normativos como la Resolución No. ARCONEL 053/18, hacia la aplicación de una tarifa general de bajo voltaje con registrador de demanda horaria para vehículos eléctricos y a una visión de planificación de la expansión del sistema.

A nivel de empresas distribuidoras, los estudios se han enfocado hacia el análisis general de alimentadores primarios y subestaciones, existiendo escasa documentación sobre la modelación y evaluación del impacto de la carga de vehículos eléctricos sobre las redes de distribución primaria; en especial lo que respecta a voltajes, corrientes y potencias del sistema, calidad, entre otros.

Objetivos

Objetivo General

Analizar el ingreso de cargas especiales al Alimentador Sur de la Empresa Eléctrica Regional del Sur S.A. (EERSSA) de la ciudad de Loja.

Objetivos específicos

- ✓ Determinar las condiciones de operación y funcionamiento debidas al ingreso de una electrolinera al alimentador Sur de la EERSSA de la ciudad de Loja.
- ✓ Desarrollar un estudio de flujo de potencia para determinar las condiciones de operación del alimentador Sur de la EERSSA debidas al ingreso de cargas especiales.

4.Marco teórico

4.1. Vehículos Eléctricos

Se conoce como VE al automóvil que es impulsado por uno o más motores eléctricos acoplados a sus ejes que permite la movilización de carga. La energía que impulsa estos motores proviene de baterías que transforman la energía química en energía eléctrica que, a su vez, es tomada por los motores eléctricos y es convertida en energía mecánica.

Figura 1. Modelo de vehículo eléctrico



Fuente: xataka, Cómo comprar un coche eléctrico, octubre 2022

4.2. Tipos de Vehículos Eléctricos

Vehículos Híbridos. - Son automóviles que combinan dos o más fuentes de energía. Poseen un motor de combustión interna y un motor eléctrico alimentado por baterías y pueden ser recargados o no mediante la conexión del vehículo a la red eléctrica. Existen algunas variantes de estos tipos de automotores, entre las cuales están: (Bastidas, 2019).

- Vehículo eléctrico híbrido enchufable.
- Vehículo eléctrico de pila de combustible.
- Vehículo eléctrico de batería*

*Para el análisis del presente proyecto se entiende como vehículos eléctricos únicamente a aquellos que utilizan para su funcionamiento las baterías como fuente de energía (BVE).

4.3. Componentes de un vehículo eléctrico

- **Motor Eléctrico**

El motor eléctrico es el componente que transforma la energía eléctrica en energía mecánica para el desplazamiento del vehículo. Los motores utilizados en un vehículo eléctrico pueden ser de corriente continua (DC) que se alimenta directamente desde la batería o de corriente alterna (AC) que se alimentan de un inversor encargado de transformar la corriente directa de la batería en corriente alterna (Chan, 1993), (Chan C. , 2022).

- **Batería**

La batería es el componente en el cual se almacena la energía eléctrica en forma de energía química, utilizada por los dispositivos y equipos de un vehículo eléctrico. Lo esencial en las baterías es el manejo de altas potencias, gran cantidad de almacenamiento de energía, aspecto (compactas y pequeñas) y economía. Las baterías de mayor uso en la actualidad son las de Ión de Litio (Li-ion) y las baterías de Níquel–Metal Hidruro (NiMH) (Chan C. , 2022).

- **Inversor**

El sistema inversor es aquel componente que realiza la transformación de corriente AC de la red eléctrica a corriente DC utilizada para la recarga de las baterías que se han descargado (Chan, 1993).

- **Estaciones de carga y conectores**

Se denomina estaciones de carga al conjunto de equipos eléctricos que se utilizan para suministrar energía eléctrica, ya sea en componente continuo o alterno como alimentación para el VE. Existen dos tipos fundamentales de recarga de energía: carga lenta y carga rápida; esto depende de la capacidad de potencia que tenga la estación de carga, aproximadamente 3.8 kW en carga lenta y de 100 a 150 kW para carga rápida. (Chan C. , 2022).

Los conectores vienen estandarizados en algunos modelos y, según la marca del VE, algunas de estas empresas comparten la plataforma del tipo de conector. En nuestro país existen diversos tipos de conectores avalados por sus fabricantes, por ejemplo: BDY, EMotors, Nissan, Kia, entre otros. La norma IEC 62196-2:2011 presenta los tipos de conectores existentes y sus características. (Chan C. , 2022).

- **Electrolinera**

También llamada Estación de Carga Eléctrica, está constituida por equipos eléctricos que proveen electricidad a las baterías de los VE. Se puede conectar a sistemas de generación solar, sistemas de generación o a la red eléctrica directamente.

4.4. Flujos de potencia en alimentadores radiales de distribución

El flujo de potencia es una herramienta fundamental para realizar estudios en sistemas de potencia. Los datos de entrada del problema, tales como la demanda y los parámetros de los alimentadores del sistema, están sujetos a incertidumbre.

Muchos métodos de Flujo de Potencia Probabilístico (FPP) han sido propuestos para tratar el problema de la incertidumbre en los cálculos eléctricos. Estos métodos se clasifican como métodos de simulación, analíticos o una combinación de ambos. Esta metodología es simple de aplicar y sirve para validar los resultados del flujo de potencia probabilístico cuando se emplean los modelos analíticos. El modelo de flujo de potencia DC introduce incertidumbre en los datos de las barras y halla las distribuciones de probabilidad de los flujos de potencia en los nodos.

El estudio de flujo de potencia, también conocido como flujo de carga, es una herramienta valiosa que involucra análisis numérico aplicado a un sistema de potencia. En el estudio del flujo de potencia usualmente se usa una notación simplificada, tal como el diagrama unifilar y el sistema por unidad, y se centra en varias formas de la potencia eléctrica AC (por ejemplo, voltajes, ángulos de los voltajes, potencia activa y potencia reactiva). Este estudio analiza los sistemas de potencia operando en estado estacionario. Existen varios softwares que implementan el estudio del flujo de potencia.

4.5. Flujo de potencia en alimentadores primarios

El software especializado CYMDIST es la herramienta básica de análisis para la planificación, diseño y operación de cualquier sistema de energía eléctrica, que, una vez realizada la distribución de carga, se procede a encontrar voltajes, corrientes y potencias del sistema mediante el módulo de flujos de potencia.

La caída de tensión balanceada y desbalanceada presenta una técnica iterativa diseñada y optimizada específicamente para los sistemas radiales o ligeramente mallados e incluye un algoritmo completo para redes trifásicas desbalanceadas que calcula las tensiones y caídas de tensión así como los flujos de potencia.

4.6. El sistema eléctrico de la Empresa Eléctrica Regional del Sur S.A. (EERSSA)

La EERSSA es la encargada de dotar del servicio de energía eléctrica a las provincias de Loja y Zamora y, al cantón Gualaquiza de la provincia de Morona Santiago. Opera a nivel de alta tensión a 69 kV, y en media tensión maneja los voltajes de 13,8 y 22 kV. Gran parte de su red a nivel de media tensión se encuentra interconectada mediante un anillo.

4.7. Calidad de la Energía

La energía eléctrica es el principal insumo de funcionamiento del sistema de vehículos eléctricos, ya que se trata de un sistema de transporte de tracción 100 % eléctrico y, por tal motivo, demanda de energía continua y de calidad (sin perturbaciones) para su correcto funcionamiento. Es por ello que se requiere, por parte de las empresas generadoras y comercializadora (EERSSA), que este insumo sea entregado al usuario final en las mejores condiciones, de forma continua y sobre todo de calidad; ya que un suministro intermitente y de baja calidad puede causar pérdidas económicas y productivas.

Las principales causas para que la energía eléctrica no sea entregada de forma continua y en óptimas condiciones, se deben a las variaciones del nivel del voltaje, perturbaciones en la red eléctrica (flicker y armónicos), un bajo factor de potencia por la ubicación distante de las cargas con respecto al transformador eléctrico de distribución, la operación (arranque y parada) de maquinaria industrial como los motores de mediana y gran potencia, y la saturación de cargas (clientes) en el sistema de distribución eléctrico; elementos que se pueden presentar en la operación de los VE por su demanda y tipo de cargas conectadas a la red de distribución de la empresa distribuidora.

Para garantizar a los consumidores un suministro eléctrico continuo y confiable, las empresas distribuidoras dentro de su área de concesión, están obligadas a cumplir con la Regulación sobre la Calidad del Servicio Eléctrico de Distribución No. ARCONEL – 053/18 (ARCONEL, 2018) que establece los estándares mínimos de calidad y procedimientos técnicos de medición y evaluación a los que deben someterse para la prestación del servicio eléctrico de distribución.

La regulación No. ARCONEL – 053/18 vigente establece que es necesario asegurar un nivel satisfactorio de la prestación de los servicios eléctricos de manera continua y confiable, para lo cual se han planteado determinadas disposiciones legales establecidas en la Ley de Régimen

del Sector Eléctrico y sus reformas, el Reglamento Sustitutivo del Reglamento General de la Ley de Régimen del Sector Eléctrico, el Reglamento de Concesiones, Permisos y Licencias para la Prestación del Servicio de Energía Eléctrica, el Reglamento de Suministro del Servicio de Electricidad y el Reglamento de Tarifas aprobadas por el ARCONEL y por instructivos y procedimientos dictados por los distribuidores de conformidad con este Reglamento que es una garantía del continuo y eficiente suministro de energía eléctrica a los consumidores finales.

Las Empresas Eléctricas del país, con la finalidad de entregar energía de calidad a sus clientes, cumplen con la Regulación ARCONEL 053/18 que contempla la toma de mediciones y mantenimiento de una base de datos de parámetros eléctricos de sus instalaciones y componentes de la red asociados a la alimentación eléctrica de ciertos índices de calidad, tales como:

- Nivel de voltaje.
- Perturbaciones de voltaje.
- Factor de Potencia.

Para conseguir los objetivos del presente trabajo, se ha planteado la necesidad de realizar la simulación de varios escenarios. El primero de ellos trata el estado del alimentador sin el ingreso de las cargas especiales (Electrolinera), el cual es el punto de partida para el análisis posterior. En el segundo escenario, se proyecta una carga especial de 6 electrolineras con una capacidad para carga rápida de 12 vehículos de forma simultánea y, por último, se tiene el tercer escenario en el cual la capacidad es de 12 electrolineras con una capacidad de carga rápida para 24 vehículos eléctricos, la electrolinera se pretende instalar en el estacionamiento del estadio Reina del Cisne.

5. Metodología

El proyecto de investigación permite analizar el impacto que genera la carga de los vehículos eléctricos en la red de distribución primaria del Alimentador Sur de la EERSSA, a través de una metodología que pueda ser aplicable en cualquier empresa distribuidora del país. Para la metodología de análisis propuesta, se considera todos los registros de medición de los componentes de voltaje y corriente perteneciente a los vehículos eléctricos.

Para el caso de estudio se toma en cuenta las mediciones a la salida del alimentador primaria para realizar el flujo de potencia en estado actual, luego se simula la entrada de cargas correspondientes a la carga de vehículos eléctricos en 3 escenarios.

El primer escenario consiste en el análisis actual del sistema, es decir sin el ingreso de ninguna electrolinera, el escenario 2 consiste en el ingreso de una estación de carga instalada en el estacionamiento del estadio Reina del Cisne, con capacidad de 6 electrolineras dobles es decir 12 vehículos cargando simultáneamente cada cargador con una potencia de 60 kW y un tercer escenario en el cual se considera instalar en el mismo punto 12 electrolineras dobles es decir capacidad de carga de 24 vehículos para luego contrastar los flujos de potencia en cada escenario y determinar la viabilidad técnica.

Área de Estudio

La investigación se desarrolló en el alimentador primario Sur de la ciudad de Loja perteneciente a la EERSSA. En la figura 2 se presenta el área de cobertura del alimentador.

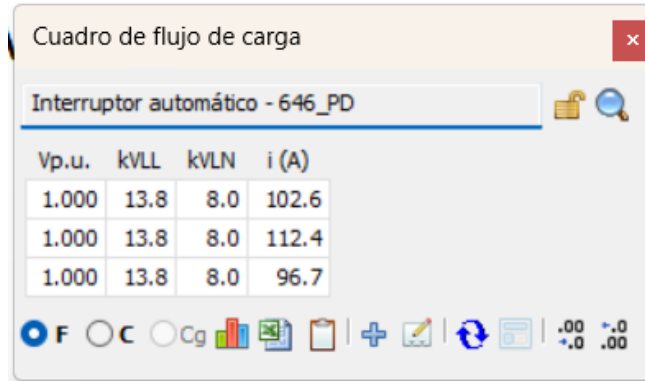
Figura 2. Alimentador primario Sur EERSSA



Fuente: sistema de información geográfica de la EERSSA

El estudio se basa en un enfoque analítico, se evalúa el funcionamiento del sistema eléctrico en el alimentador Sur con tres escenarios. El primero en un estado sin cargas especiales y, en el segundo y tercero, la entrada una electrolinera de 6 y 12 de carga respectivamente ubicada a la altura del estadio Reina del Cisne en la ciudad de Loja. Los datos se examinan de forma numérica. En la figura 3 se presenta el estado actual del alimentador Sur.

Figura 3. Niveles de tensión de salida del alimentador Sur, estado actual.



Nota: este gráfico representa el flujo de carga actual en el alimentador sur de la EERSSA en el sitio que se pretende implementar el proyecto.

Fuente: Simulación en Cyme 9.0, el Autor

En la presente investigación se analiza el impacto de las cargas especiales en la red de distribución, para lo cual se utilizó como herramienta primaria un modelo de simulación basado en software especializado. Con la base de datos proporcionada por la EERSSA y datos proyectados a través del programa, se logra realizar las simulaciones necesarias para obtener los resultados según los escenarios propuestos.

Procedimiento y análisis de datos

El presente trabajo de investigación pertenece a un enfoque no experimental con alcance descriptivo para poder analizar el impacto en el alimentador primario Sur con el ingreso de electrolineras e interpretar los resultados obtenidos a través de la simulación realizada.

Utilizando un método descriptivo se analizó y proyectó el impacto del ingreso de cargas especiales a la red de distribución y se realizó las simulaciones correspondientes a los tres escenarios mencionados.

Simulación

Esta técnica permite realizar el análisis de los tres escenarios planteados en el alimentador primario Sur perteneciente a la EERSSA.

6. Resultados

Para analizar el ingreso de cargas especiales en el alimentador Sur, en la Tabla 1 se presentan los resultados obtenidos del flujo de carga del primer escenario sin cargas especiales, este procedimiento se lo realizó utilizando el software especializado en el análisis de redes eléctricas CYME. En el Anexo 1 se encuentra el reporte completo resultado de la simulación.

Tabla 1. Flujo de carga primer escenario sin electrolineras

Método de cálculo:	Caída de tensión - Desequilibrada			
Tolerancia:	0.1 %			
Factores de carga:	Global (P=100.00%, Q=100.00%)			
Factores de motor:	Como definido			
Factores de generador:	Como definido			
Condensadores shunt:	On			
Modelo de carga de sensibilidad:	De la biblioteca			
Flujo de carga - Reporte sumario				
Fuentes (Potencia de equilibrio)	1722.28	1122.59	2055.83	83.78
Generadores	0.00	0.00	0.00	0.00
Producción total	1722.28	1122.59	2055.83	83.78
Carga leída (no regulada)	1666.30	1392.79	2171.73	76.73
Carga utilizada (regulada)	1666.28	1392.74	2171.69	76.73
Condensadores shunt (regulados)	0.00	-291.49	291.49	0.00
Reactancias shunt(reguladas)	0.00	0.00	0.00	0.00
Motores	0.00	0.00	0.00	0.00
Cargas totales	1666.28	1101.25	1997.31	83.43
Capacitancia del cable	-0.00	-14.68	14.68	0.00
Capacitancia de la línea	-0.00	-11.91	11.91	0.00
Capacitancia shunt total	-0.00	-26.59	26.59	0.00
Pérdidas en las líneas	19.25	18.62	26.78	71.88
Pérdidas en los cables	0.00	0.00	0.00	93.55
Pérdidas de carga del transformador	17.41	37.74	41.56	41.90
Pérdidas en vacío del transformador	28.98	0.00	28.98	100.00

Pérdidas totales	66.08	56.36	86.85	76.09
------------------	--------------	--------------	--------------	--------------

Condiciones anormales

	Fase	Conteo	Peor caso	Valor
Sobrecarga	A	0	4768_MTA	94.29 %
	B	0	I14245_MTA	98.38 %
	C	0	I193392_MTA	98.21 %
Subtensión	A	2	IMTA_L_14452	95.26 %
	B	0	IMTA_L_14452	95.27 %
	C	0	IMTA_L_14452	95.35 %
Sobretensión	A	0	7604_MTA	98.55 %
	B	0	7604_MTA	98.55 %
	C	0	7604_MTA	98.55 %

Costo anual de las pérdidas del sistema

	kW	MW-h/año	k\$/año
Pérdidas en las líneas	19.25	60.98	6.10
Pérdidas en los cables	0.00	0.01	0.00
Pérdidas de carga del transformador	17.41	55.17	5.52
Pérdidas en vacío del transformador	28.98	253.84	25.38
Pérdidas totales	66.08	371.39	37.14

Fuente. Resultados de simulación en CYME 9.0 r4, El autor

En la Tabla 2 se muestra el análisis del alimentador primario Sur de la ciudad de Loja perteneciente a la EERSSA, considerando el ingreso de 6 electrolineras con capacidad para 12 vehículos eléctricos cargando en carga rápida de manera simultánea.

La demanda incrementada por la estación de carga es de 360 kW Todo el desglose del flujo de carga se encuentra en el Anexo 2.

Tabla 2. Flujo de carga segundo escenario seis electrolineras

Método de cálculo:	Caída de tensión - Desequilibrada			
Tolerancia:	0.1 %			
Factores de carga:	Global (P=100.00%, Q=100.00%)			
Factores de motor:	Como definido			
Factores de generador:	Como definido			
Condensadores shunt:	On			
Modelo de carga de sensibilidad:	De la biblioteca			
Flujo de carga - Reporte sumario				
Resumen total	kW	kvar	kVA	FP(%)
Fuentes (Potencia de equilibrio)	2420.92	1539.15	2868.77	84.39
Generadores	0.00	0.00	0.00	0.00
Producción total	2420.92	1539.15	2868.77	84.39
Carga leída (no regulada)	2339.41	1745.74	2918.98	80.14
Carga utilizada (regulada)	2339.27	1745.40	2918.67	80.15
Condensadores shunt (regulados)	0.00	-287.10	287.10	0.00
Reactancias shunt(reguladas)	0.00	0.00	0.00	0.00
Motores	0.00	0.00	0.00	0.00
Cargas totales	2339.27	1458.30	2756.60	84.86
Capacitancia del cable	-0.00	-14.48	14.48	0.00
Capacitancia de la línea	0.00	-11.77	11.77	0.00
Capacitancia shunt total	-0.00	-26.25	26.25	0.00
Pérdidas en las líneas	40.95	39.51	56.90	71.96
Pérdidas en los cables	0.00	0.00	0.01	96.44
Pérdidas de carga del transformador	23.47	76.42	79.94	29.36
Pérdidas en vacío del transformador	28.63	-0.00	28.63	100.00
Pérdidas totales	93.48	115.94	148.93	62.77

Condiciones anormales

	Fase	Conteo	Peor caso	Valor
Sobrecarga	A	3	74198_MTA	118.50 %
	B	4	74198_MTA	129.76 %
	C	4	74198_MTA	111.81 %
Subtensión	A	5	88	93.62 %
	B	3	88	93.64 %
	C	3	88	93.76 %
Sobretensión	A	0	7604_MTA	100.00 %
	B	0	7604_MTA	100.00 %
	C	0	7604_MTA	100.00 %

Costo anual de las pérdidas del sistema

	kW	MW-h/año	k\$/año
Pérdidas en las líneas	40.95	129.72	12.97
Pérdidas en los cables	0.00	0.02	0.00
Pérdidas de carga del transformador	23.47	74.36	7.44
Pérdidas en vacío del transformador	28.63	250.82	25.08
Pérdidas totales	93.48	456.28	45.63

Fuente. Resultados de simulación en CYME 9.0 r4, El autor

En la Tabla 3 se presenta el análisis del alimentador primario Sur de la ciudad de Loja perteneciente a la EERSSA considerando el ingreso de 12 electrolinerías con capacidad para 24 vehículos cargando en carga rápida de manera simultánea. Todo el desglose del flujo de carga se encuentra en el Anexo 3.

Tabla 3. Flujo de carga tercer escenario doce electrolinerías

Método de cálculo:	Caída de tensión - Desequilibrada
Tolerancia:	0.1 %
Factores de carga:	Global (P=100.00%, Q=100.00%)
Factores de motor:	Como definido
Factores de generador:	Como definido
Condensadores shunt:	On
Modelo de carga de sensibilidad:	De la biblioteca

Flujo de carga - Reporte sumario

Resumen total	kW	kvar	kVA	FP(%)
Fuentes (Potencia de equilibrio)	2780.20	1800.31	3312.19	83.94
Generadores	0.00	0.00	0.00	0.00
Producción total	2780.20	1800.31	3312.19	83.94
Carga leída (no regulada)	2679.54	1952.32	3315.34	80.82
Carga utilizada (regulada)	2679.26	1951.66	3314.73	80.83
Condensadores shunt (regulados)	0.00	-276.03	276.03	0.00
Reactancias shunt(reguladas)	0.00	0.00	0.00	0.00
Motores	0.00	0.00	0.00	0.00
Cargas totales	2679.26	1675.63	3160.09	84.78
Capacitancia del cable	0.00	-13.94	13.94	0.00
Capacitancia de la línea	0.00	-11.34	11.34	0.00
Capacitancia shunt total	0.00	-25.28	25.28	0.00
Pérdidas en las líneas	58.30	56.23	81.00	71.98
Pérdidas en los cables	0.01	0.00	0.01	97.98
Pérdidas de carga del transformador	27.23	102.91	106.45	25.58
Pérdidas en vacío del transformador	27.58	0.00	27.58	100.00
Pérdidas totales	113.53	159.14	195.48	58.07
Condiciones anormales				
	Fase	Conteo	Peor caso	Valor
Sobrecarga	A	6	74198_MTA	138.67 %
	B	7	74198_MTA	151.91 %
	C	6	74198_MTA	131.27 %
Subtensión	A	395	88	91.38 %
	B	415	88	91.39 %
	C	308	88	91.87 %
Sobretensión	A	0	7604_MTA	98.55 %
	B	0	7604_MTA	98.55 %

	C	0	7604_MTA	98.55 %
Costo anual de las pérdidas del sistema				
		kW	MW-h/año	k\$/año
Pérdidas en las líneas		58.30	184.71	18.47
Pérdidas en los cables		0.01	0.02	0.00
Pérdidas de carga del transformador		27.23	86.26	8.63
Pérdidas en vacío del transformador		27.58	241.64	24.16
Pérdidas totales		113.53	513.92	51.39

Fuente. Resultados de simulación en CYME 9.0 r4, El autor

7. Discusión

La reciente oferta de movilidad sostenible en el Ecuador, a través de los vehículos eléctricos, tiene un impacto positivo en la reducción de emisión de gases de efecto invernadero; además, de contribuir en el desarrollo de la matriz energética dejando de lado el uso de combustibles fósiles con fines de movilidad.

Por otro lado, es necesario analizar el impacto de los VE en las redes de distribución primarias del sector eléctrico nacional. El ingreso de cargas especiales, como electrolinerías, debe planificarse por las empresas eléctricas para proyectar la capacidad a la que pueden operar los alimentadores primarios en donde se planifica el ingreso de estas cargas.

En el presente estudio desarrollado se evidencia que la diferencia que existe entre el escenario uno, dos y tres es considerable. Este incremento se demuestra en las pérdidas por transporte de energía en las líneas. Las pérdidas por transformación en el transformador de potencia no son representativas ya que éste no se encuentra operando cerca de su capacidad nominal.

En el escenario 1 podemos observar que el alimentador en la actualidad tiene una carga de 1997.31 kVA con un factor de potencia de 0.83, las pérdidas totales considerando pérdidas en líneas y transformadores es de 66.08 kW, en todo el alimentador se tiene 2 nodos en los cuales la caída de tensión es del 4.74% siendo los más críticos.

Con la entrada del punto de carga con capacidad de 6 electrolinerías para 12 vehículos la carga llega a 2756.60 kVA y el factor de potencia 0.84, es decir un aumento de 759.29 kVA, esto hace que las pérdidas totales suban a 93.48 kW es decir un 41.46% más que en el estado actual, lo que provoca que los nodos con baja tensión aumenten a 11 teniendo en el peor de los casos una caída del 6.38%.

Para el caso 3 debido al incremento de la demanda se alcanzan 3160.09 kVA con un factor de potencia de 0.84, es decir aumenta 405 kVA con respecto al escenario 2 y 1163 kVA con respecto al estado actual, este incremento hace que las pérdidas lleguen a 113.53 kW, un incremento del 21,44% con respecto al escenario 2 y 71.80% con respecto al estado actual, así mismo los nodos con problemas de caídas de tensión se disparan a 1118 estando el peor de ellos con una caída de tensión del 8.62%.

Como es visible en los resultados mencionados, la instalación de un punto de carga ya sea con 6 o 12 electrolinerías representa problemas en el alimentador Sur, por lo que antes de ser

instalado se debe considerar realizar un rediseño de mejoras en dicho alimentador con el fin de minimizar los efectos negativos.

Es evidente que en el escenario dos y tres se incrementan las pérdidas en las líneas por el ingreso de las electrolineras en la red de distribución primaria del Alimentador Sur de la EERSSA, debido a la demanda de potencia que representa el ingreso de cargas especiales al sistema de distribución.

8. Conclusiones

El estado actual del Alimentado Sur es aceptable a pesar que en horas pico tiene 2 nodos que debido a su lejanía con la sub estación se encuentran con caídas de tensión que superan lo permitido por la EERSSA, las pérdidas que se presentan son aceptables.

Sin embargo, considerando el aumento de la demanda por el ingreso de una estación de carga para el caso de 6 y de 12 electrolineras dobles, luego de realizar los respectivos flujos de potencia se puede determinar que las pérdidas en el alimentador aumentan en un 71.80% y que los nodos críticos se disparan, por lo cual no es factible alimentar dicha carga sin antes realizar mejoras en el alimentador.

Debido a que la simulación se la realiza en la hora pico de máxima demanda del alimentador y la gran carga que este concentra se puede verificar que instalar una nueva carga con las características descritas para una electrolinera provocaría problemas en la Red del alimentador primario.

9. Recomendaciones

Efectuar estudios de repotenciación del alimentador primario esto para garantizar que el ingreso de una electrolinera no genere afectaciones a los demás usuarios.

Considerar un nuevo punto para la instalación de una electrolinera, procurando que se encuentre lo más cercano posible a la sub estación o que en el alimentador que se piense instalar sea capaz de soportar la nueva demanda

Desarrollar estudios de proyección para el transformador de potencia que suministra energía al alimentador Sur de la EERSSA y determinar la afectación de la capacidad por el ingreso de cargas especiales.

10. Bibliografía

ARCONEL (2018), Regulación Nro. ARCONEL- 053/18. 2018, pp. 1–40.

Bastidas, B, (2019) «ESTUDIO DE ESTRATEGIAS PARA LA INSERCIÓN DE VEHÍCULOS ELÉCTRICOS TIPO TAXI EN LA CIUDAD DE QUITO», Tesis Magister, Escuela Politécnica Nacional, Quito, Ecuador.

Pollet, B. G. Staffell, Shang, J. L. y Molkov, V. (2014)«Fuel-cell (hydrogen) electric hybrid vehicles», and Alternative Fuels and Advanced Vehicle Technologies for Improved Environmental Performance: Towards Zero Carbon Transportation, 1.a ed., Cambridge, UK: Elsevier Inc, pp. 685-735.

Chan, C. C. «An Overview of Electric Vehicle Technology», (1993) *Proc. IEEE*, vol. 81, n.o 9, pp. 1202-1213, doi: 10.1109/5.237530.

Chan, C. C. (2002) «The state of the art of electric and hybrid vehicles», *Proc. IEEE*, vol. 90, n.º 2, pp.247-275, doi: 10.1109/5.989873.

Ranawat, D y Prasad, M. P. R. (2018) «A Review on Electric Vehicles with perspective of Battery Management System», *3rd Int. Conf. Electr. Electron. Commun. Comput. Technol. Optim. Tech. ICEECCOT 2018*, n.º December, pp. 1539-1544, doi:10.1109/ICEECCOT43722.2018.9001321.

Endesa, (2019) «La eMobility y los coches eléctricos», recuperado jul. 30, 2020 <https://www.fundacionendesa.org/es/recursos/a201908-emobility-coches-electricos> (accedido).

Moreno F, (2016) «Vehículos Eléctricos . Historia, Estado Actual Y Retos Futuros», *Esuropean Sci. J.*, vol. 7881, n.º May, pp. 118-131,

Sanz A, (2015) «Análisis de la evolución y el impacto de los vehículos eléctricos en la economía europea», trabajo de fin de grado, Universidad Pontificia de Madrid, Madrid, Esp.

Loja, 24 de julio de 2024

CERTIFICACIÓN DE TRADUCCIÓN

Doctora.
Erika Lucía González Carrión, Ph.D.

CERTIFICO:

En mi calidad de traductora del idioma Inglés, con capacidades que pueden ser probadas a través de las traducciones realizadas para revistas de alto impacto como: Comunicar(Q1): <https://bit.ly/3v0JggL> así como a través de la Certificación de conocimiento del Inglés, nivel B2, que la traducción del Resumen (Abstract) del Trabajo de Titulación denominado: **INGRESO DE CARGAS ESPECIALES A LA RED DE DISTRIBUCIÓN PRIMARIA**, de autoría del estudiante, Ing. Walter Gonzalo Minga Solano, con CI: **1103786297**, es correcta y completa, según las normas internacionales de traducción de textos.

Es cuanto puedo certificar en honor a la verdad, facultando al interesado, Walter Gonzalo Minga Solano, a hacer uso legal del presente, según estime conveniente.

Atentamente,



Dra. Erika González Carrión. PhD.

CYME Complete Report

Project Name: INGRESO DE CARGAS ESPECIALES A LA RED DE DISTRIBUCIÓN PRIMARIA
Author: Walter Gonzalo Minga Solano
Company: Universidad Nacional de Loja
File Name: INGRESO DE CARGAS ESPECIALES A LA RED DE DISTRIBUCIÓN PRIMARIA estado actual.xst
Date: Wed Jul 17 2024
CYME Version: CYME 9.0 r4

Description: Análisis del estado actual del alimentador primario sur de la ciudad de Loja perteneciente a la EERSSA

Topología - Elementos ramales

Nro. equipo	Código	Fase	Nodo origen	Nodo destino
646_PD	Interruptor automático	ABC	NODOFUENTE-646	MTA_L_7604
7604_MTA-1	Línea aérea por fase	ABC	NODOFUENTE-646	MTA_L_7604
5682_MTA-1	Línea aérea por fase	ABC	MTA_L_7604	MTA_L_5682
5683_MTA-1	Línea aérea por fase	ABC	MTA_L_5682	MTA_S_74197
74197_MTA-1	Línea aérea por fase	ABC	MTA_S_74197	MTA_L_74197
5441	Interruptor seccionador	ABC	MTA_L_74197	MTA_L_74198
74198_MTA-1	Línea aérea por fase	ABC	MTA_L_74197	MTA_L_74198
74199_MTA-1	Línea aérea por fase	ABC	MTA_L_74198	MTA_S_5686
2657	Fusible	B	MTA_S_5686	MTA_S_13780
11793_MTA-1	Línea aérea por fase	B	MTA_S_5686	MTA_S_13780
650	Transformador con dos devanados	B	MTA_S_13780	MTA_L_13780
13780_MTA-1	Línea aérea por fase	B	MTA_S_13780	MTA_L_13780
113780_MTA-1	Línea aérea por fase	B	MTA_L_13780	IMTA_L_13780
168759_MTA-1	Línea aérea por fase	ABC	MTA_S_168759	MTA_S_5686
25945	Fusible	ABC	MTA_S_168759	MTS_L_33033
33033_MTS-1	Cable	ABC	MTA_S_168759	MTS_L_33033
33035_MTS-1	Cable	ABC	MTS_L_33033	MTS_L_33035
33037_MTS-1	Cable	ABC	MTS_L_33035	MTS_L_33037
33039_MTS-1	Cable	ABC	MTS_L_33037	MTS_L_33039
21847	Interruptor seccionador	ABC	MTS_L_33039	MTS_L_33281
33281_MTS-1	Cable	ABC	MTS_L_33039	MTS_L_33281
33282_MTS-1	Cable	ABC	MTS_L_33281	MTS_L_33282
2192	Fusible	ABC	MTS_L_33282	MTS_L_381
381_MTS-1	Cable	ABC	MTS_L_33282	MTS_L_381
15644	Transformador con dos devanados	ABC	MTS_L_381	MTS_L_506
506_MTS-1	Cable	ABC	MTS_L_381	MTS_L_506
1506_MTS-1	Cable	ABC	MTS_L_506	IMTS_L_506
5686_MTA-1	Línea aérea por fase	ABC	MTA_S_5686	MTA_S_74202
74202_MTA-1	Línea aérea por fase	ABC	MTA_S_74202	MTA_L_168762
168762_MTA-1	Línea aérea por fase	ABC	MTS_S_33299	MTA_L_168762
30877	Fusible	ABC	MTS_S_33299	MTS_L_33299

Topología - Elementos ramales

Nro. equipo	Código	Fase	Nodo origen	Nodo destino
33299_MTS-1	Cable	ABC	MTS_S_33299	MTS_L_33299
33301_MTS-1	Cable	ABC	MTS_L_33299	MTS_L_33301
21850	Interruptor seccionador	ABC	MTS_L_33301	MTS_L_33305
33305_MTS-1	Cable	ABC	MTS_L_33301	MTS_L_33305
33306_MTS-1	Cable	ABC	MTS_L_33305	MTS_L_33306
1219	Fusible	ABC	MTS_L_33306	MTS_L_349
349_MTS-1	Cable	ABC	MTS_L_33306	MTS_L_349
15475	Transformador con dos devanados	ABC	MTS_L_349	MTS_L_464
464_MTS-1	Cable	ABC	MTS_L_349	MTS_L_464
I464_MTS-1	Cable	ABC	MTS_L_464	IMTS_L_464
170338_MTA-1	Línea aérea por fase	B	MTA_L_74205	MTA_L_168762
26077	Fusible	B	MTA_S_11717	MTA_L_74205
74205_MTA-1	Línea aérea por fase	B	MTA_S_11717	MTA_L_74205
2580	Fusible	B	MTA_S_11717	MTA_S_13704
11717_MTA-1	Línea aérea por fase	B	MTA_S_11717	MTA_S_13704
0651	Transformador con dos devanados	B	MTA_S_13704	MTA_L_13704
13704_MTA-1	Línea aérea por fase	B	MTA_S_13704	MTA_L_13704
I13704_MTA-1	Línea aérea por fase	B	MTA_L_13704	IMTA_L_13704
7971_MTA-1	Línea aérea por fase	ABC	MTA_L_168762	MTA_S_11486
2338	Fusible	B	MTA_S_11486	MTA_S_13471
11486_MTA-1	Línea aérea por fase	B	MTA_S_11486	MTA_S_13471
652	Transformador con dos devanados	B	MTA_S_13471	MTA_L_13471
13471_MTA-1	Línea aérea por fase	B	MTA_S_13471	MTA_L_13471
I13471_MTA-1	Línea aérea por fase	B	MTA_L_13471	IMTA_L_13471
7004_MTA-1	Línea aérea por fase	ABC	MTA_S_11486	MTA_S_114959
48187	Fusible	A	MTA_S_114959	MTA_L_114959
114959_MTA-1	Línea aérea por fase	A	MTA_S_114959	MTA_L_114959
653	Transformador con dos devanados	A	MTA_L_114959	MTA_L_114960
114960_MTA-1	Línea aérea por fase	A	MTA_L_114959	MTA_L_114960
I114960_MTA-1	Línea aérea por fase	A	MTA_L_114960	IMTA_L_114960
48188	Fusible	B	MTA_S_114959	MTA_L_114962

Topología - Elementos ramales

Nro. equipo	Código	Fase	Nodo origen	Nodo destino
114962_MTA-1	Línea aérea por fase	B	MTA_S_114959	MTA_L_114962
7639	Transformador con dos devanados	B	MTA_L_114962	MTA_L_114963
114963_MTA-1	Línea aérea por fase	B	MTA_L_114962	MTA_L_114963
114963_MTA-1	Línea aérea por fase	B	MTA_L_114963	IMTA_L_114963
7005_MTA-1	Línea aérea por fase	ABC	MTA_S_114959	MTA_L_7005
7006_MTA-1	Línea aérea por fase	ABC	MTA_L_7005	MTA_S_11794
2658	Fusible	C	MTA_S_11794	MTA_S_13781
11794_MTA-1	Línea aérea por fase	C	MTA_S_11794	MTA_S_13781
2391	Transformador con dos devanados	C	MTA_S_13781	MTA_L_13781
13781_MTA-1	Línea aérea por fase	C	MTA_S_13781	MTA_L_13781
13781_MTA-1	Línea aérea por fase	C	MTA_L_13781	IMTA_L_13781
1725_MTA-1	Línea aérea por fase	ABC	MTA_S_11794	MTA_S_1727
1724_MTA-1	Línea aérea por fase	ABC	MTA_S_1727	MTA_S_7972
7972_MTA-1	Línea aérea por fase	ABC	MTA_S_7972	MTA_L_7972
48189	Fusible	A	MTA_L_7972	MTA_L_114965
114965_MTA-1	Línea aérea por fase	A	MTA_L_7972	MTA_L_114965
656	Transformador con dos devanados	A	MTA_L_114965	MTA_L_114966
114966_MTA-1	Línea aérea por fase	A	MTA_L_114965	MTA_L_114966
114966_MTA-1	Línea aérea por fase	A	MTA_L_114966	IMTA_L_114966
48508	Fusible	B	MTA_L_7972	MTA_L_115254
115254_MTA-1	Línea aérea por fase	B	MTA_L_7972	MTA_L_115254
655	Transformador con dos devanados	B	MTA_L_115254	MTA_L_115255
115255_MTA-1	Línea aérea por fase	B	MTA_L_115254	MTA_L_115255
115255_MTA-1	Línea aérea por fase	B	MTA_L_115255	IMTA_L_115255
7973_MTA-1	Línea aérea por fase	ABC	MTA_L_7972	MTA_S_7007
168740_MTA-1	Línea aérea por fase	ABC	MTA_S_168740	MTA_S_7007
72217	Fusible	ABC	MTS_L_33032	MTA_S_168740
33030_MTS-1	Cable	ABC	MTS_L_33032	MTA_S_168740
21863	Interruptor seccionador	ABC	MTS_L_33031	MTS_L_33032
33032_MTS-1	Cable	ABC	MTS_L_33031	MTS_L_33032
33031_MTS-1	Cable	ABC	MTS_S_389	MTS_L_33031

Topología - Elementos ramales

Nro. equipo	Código	Fase	Nodo origen	Nodo destino
2265	Fusible	ABC	MTS_S_389	MTS_L_389
389_MTS-1	Cable	ABC	MTS_S_389	MTS_L_389
15385	Transformador con dos devanados	ABC	MTS_L_389	MTS_L_514
514_MTS-1	Cable	ABC	MTS_L_389	MTS_L_514
I514_MTS-1	Cable	ABC	MTS_L_514	IMTS_L_514
7007_MTA-1	Línea aérea por fase	ABC	MTA_S_7007	MTA_S_17919
17919_MTA-1	Línea aérea por fase	ABC	MTA_S_17919	MTS_L_33016
5288	Fusible	ABC	MTS_S_33016	MTS_L_33016
33016_MTS-1	Cable	ABC	MTS_S_33016	MTS_L_33016
33017_MTS-1	Cable	ABC	MTS_S_33016	MTS_L_33017
33019_MTS-1	Cable	ABC	MTS_L_33017	MTS_L_33019
33021_MTS-1	Cable	ABC	MTS_L_33019	MTS_L_33021
33023_MTS-1	Cable	ABC	MTS_L_33021	MTS_L_33023
21846	Interruptor seccionador	ABC	MTS_L_33023	MTS_L_33025
33025_MTS-1	Cable	ABC	MTS_L_33023	MTS_L_33025
33026_MTS-1	Cable	ABC	MTS_L_33025	MTS_L_33026
5289	Fusible	ABC	MTS_L_33026	MTS_L_1890
1890_MTS-1	Cable	ABC	MTS_L_33026	MTS_L_1890
14385	Transformador con dos devanados	ABC	MTS_L_1890	MTS_L_42571
42571_MTS-1	Cable	ABC	MTS_L_1890	MTS_L_42571
I42571_MTS-1	Cable	ABC	MTS_L_42571	IMTS_L_42571
7008_MTA-1	Línea aérea por fase	ABC	MTA_S_17919	MTA_L_7008
2659	Fusible	B	MTA_L_7008	MTA_L_11795
11795_MTA-1	Línea aérea por fase	B	MTA_L_7008	MTA_L_11795
8697	Transformador con dos devanados	B	MTA_L_11795	MTA_L_13782
13782_MTA-1	Línea aérea por fase	B	MTA_L_11795	MTA_L_13782
I13782_MTA-1	Línea aérea por fase	B	MTA_L_13782	IMTA_L_13782
7009_MTA-1	Línea aérea por fase	ABC	MTA_L_7008	MTA_S_7013
7013_MTA-1	Línea aérea por fase	ABC	MTA_S_7013	MTA_S_114606
114606_MTA-1	Línea aérea por fase	ABC	MTA_S_114606	MTA_S_114607
14081	Interruptor seccionador	ABC	MTA_S_114607	MTA_L_114607

Topología - Elementos ramales

Nro. equipo	Código	Fase	Nodo origen	Nodo destino
114607_MTA-1	Línea aérea por fase	ABC	MTA_S_114607	MTA_L_114607
2661	Fusible	C	MTA_L_114607	MTA_S_14363
11797_MTA-1	Línea aérea por fase	C	MTA_L_114607	MTA_S_14363
4820	Transformador con dos devanados	C	MTA_S_14363	MTA_L_14363
14363_MTA-1	Línea aérea por fase	C	MTA_S_14363	MTA_L_14363
I14363_MTA-1	Línea aérea por fase	C	MTA_L_14363	IMTA_L_14363
16276_MTS-1	Cable	ABC	MTA_L_114607	MTS_L_16276
47872	Fusible	ABC	MTS_L_16276	MTS_L_16277
16277_MTS-1	Cable	ABC	MTS_L_16276	MTS_L_16277
7015_MTA-1	Línea aérea por fase	ABC	MTA_L_114607	MTA_L_7015
7016_MTA-1	Línea aérea por fase	ABC	MTA_L_7015	MTA_S_11775
114613_MTA-1	Línea aérea por fase	ABC	MTA_S_11775	MTA_L_114613
114614_MTA-1	Línea aérea por fase	ABC	MTA_L_114613	MTA_L_114614
2519	Fusible	ABC	MTA_L_114614	MTA_L_11656
11656_MTA-1	Línea aérea por fase	ABC	MTA_L_114614	MTA_L_11656
10513;10515;7778	Transformador con dos devanados	ABC	MTA_L_11656	MTA_L_13643
13643_MTA-1	Línea aérea por fase	ABC	MTA_L_11656	MTA_L_13643
I13643_MTA-1	Línea aérea por fase	ABC	MTA_L_13643	IMTA_L_13643
7019_MTA-1	Línea aérea por fase	ABC	MTA_L_114614	MTA_L_7019
47873	Fusible	ABC	MTA_L_114615	MTA_L_7019
114616_MTA-1	Línea aérea por fase	ABC	MTA_L_114615	MTA_L_7019
114615_MTA-1	Línea aérea por fase	ABC	MTA_S_11657	MTA_L_114615
114619_MTA-1	Línea aérea por fase	ABC	MTA_S_11657	MTA_L_114619
114620_MTA-1	Línea aérea por fase	ABC	MTA_L_114619	MTA_S_17893
5285	Fusible	B	MTA_S_17893	MTA_L_17891
17891_MTA-1	Línea aérea por fase	B	MTA_S_17893	MTA_L_17891
10138	Transformador con dos devanados	B	MTA_L_17891	MTA_L_17892
17892_MTA-1	Línea aérea por fase	B	MTA_L_17891	MTA_L_17892
I17892_MTA-1	Línea aérea por fase	B	MTA_L_17892	IMTA_L_17892
17893_MTA-1	Línea aérea por fase	ABC	MTA_S_17893	MTA_L_17893
86817	Fusible	B	MTA_S_196606	MTA_L_17893

Topología - Elementos ramales

Nro. equipo	Código	Fase	Nodo origen	Nodo destino
196606_MTA	Línea aérea por fase	B	MTA_S_196606	MTA_L_17893
196605_MTA	Línea aérea por fase	B	MTA_S_196605	MTA_S_196606
47874	Fusible	B	MTA_S_196605	MTA_L_114623
114623_MTA-1	Línea aérea por fase	B	MTA_S_196605	MTA_L_114623
16628	Transformador con dos devanados	B	MTA_L_114623	MTA_L_114624
114624_MTA-1	Línea aérea por fase	B	MTA_L_114623	MTA_L_114624
l114624_MTA-1	Línea aérea por fase	B	MTA_L_114624	IMTA_L_114624
25118	Fusible	ABC	MTA_S_189261	MTA_L_17893
71959_MTA-1	Línea aérea por fase	ABC	MTA_S_189261	MTA_L_17893
13981	Transformador con dos devanados	ABC	MTA_S_189261	MTA_L_189261
189261_MTA-1	Línea aérea por fase	ABC	MTA_S_189261	MTA_L_189261
l189261_MTA-1	Línea aérea por fase	ABC	MTA_L_189261	IMTA_L_189261
2520	Fusible	C	MTA_S_11657	MTA_S_13644
11657_MTA-1	Línea aérea por fase	C	MTA_S_11657	MTA_S_13644
7050	Transformador con dos devanados	C	MTA_S_13644	MTA_L_13644
13644_MTA-1	Línea aérea por fase	C	MTA_S_13644	MTA_L_13644
l13644_MTA-1	Línea aérea por fase	C	MTA_L_13644	IMTA_L_13644
114617_MTA-1	Línea aérea por fase	ABC	MTA_L_7019	MTA_L_114617
47889	Fusible	ABC	MTA_L_114617	MTA_L_114590
114590_MTA-1	Línea aérea por fase	ABC	MTA_L_114617	MTA_L_114590
16055	Transformador con dos devanados	ABC	MTA_L_114590	MTA_L_114591
114591_MTA-1	Línea aérea por fase	ABC	MTA_L_114590	MTA_L_114591
l114591_MTA-1	Línea aérea por fase	ABC	MTA_L_114591	IMTA_L_114591
114618_MTA-1	Línea aérea por fase	ABC	MTA_L_114617	MTA_L_162652
114625_MTA-1	Línea aérea por fase	C	MTA_L_162652	MTA_S_114626
47875	Fusible	C	MTA_S_114626	MTA_S_6647
114626_MTA-1	Línea aérea por fase	C	MTA_S_114626	MTA_S_6647
6647_MTA-1	Línea aérea por fase	C	MTA_S_6647	MTA_S_7974
7974_MTA-1	Línea aérea por fase	C	MTA_S_7974	MTA_S_11658
2521	Fusible	C	MTA_S_11658	MTA_L_11315
11315_MTA-1	Línea aérea por fase	C	MTA_S_11658	MTA_L_11315

Topología - Elementos ramales

Nro. equipo	Código	Fase	Nodo origen	Nodo destino
9443	Transformador con dos devanados	C	MTA_L_11315	MTA_L_13299
13299_MTA-1	Línea aérea por fase	C	MTA_L_11315	MTA_L_13299
I13299_MTA-1	Línea aérea por fase	C	MTA_L_13299	IMTA_L_13299
1307	Fusible	C	MTA_S_11658	MTA_L_11658
11658_MTA-1	Línea aérea por fase	C	MTA_S_11658	MTA_L_11658
7229	Transformador con dos devanados	C	MTA_L_11658	MTA_L_13645
13645_MTA-1	Línea aérea por fase	C	MTA_L_11658	MTA_L_13645
I13645_MTA-1	Línea aérea por fase	C	MTA_L_13645	IMTA_L_13645
6554_MTA-1	Línea aérea por fase	C	MTA_S_11658	MTA_L_6554
47876	Fusible	ABC	MTA_S_114593	MTA_L_162652
162652_MTA-1	Línea aérea por fase	ABC	MTA_S_114593	MTA_L_162652
114593_MTA-1	Línea aérea por fase	ABC	MTA_S_114593	MTA_L_114593
6648_MTA-1	Línea aérea por fase	ABC	MTA_L_114593	MTA_L_6648
2663	Fusible	B	MTA_L_6648	MTA_L_11799
11799_MTA-1	Línea aérea por fase	B	MTA_L_6648	MTA_L_11799
660	Transformador con dos devanados	B	MTA_L_11799	MTA_L_14365
14365_MTA-1	Línea aérea por fase	B	MTA_L_11799	MTA_L_14365
I14365_MTA-1	Línea aérea por fase	B	MTA_L_14365	IMTA_L_14365
6649_MTA-1	Línea aérea por fase	ABC	MTA_L_6648	MTA_L_6649
6650_MTA-1	Línea aérea por fase	ABC	MTA_L_6649	MTA_S_6651
6651_MTA-1	Línea aérea por fase	ABC	MTA_S_6651	MTA_S_6652
6652_MTA-1	Línea aérea por fase	B	MTA_S_6652	MTA_S_6653
6653_MTA-1	Línea aérea por fase	B	MTA_S_6653	MTA_L_6653
6654_MTA-1	Línea aérea por fase	B	MTA_L_6653	MTA_L_6654
2664	Fusible	B	MTA_L_6654	MTA_L_11800
11800_MTA-1	Línea aérea por fase	B	MTA_L_6654	MTA_L_11800
8714	Transformador con dos devanados	B	MTA_L_11800	MTA_L_14366
14366_MTA-1	Línea aérea por fase	B	MTA_L_11800	MTA_L_14366
I14366_MTA-1	Línea aérea por fase	B	MTA_L_14366	IMTA_L_14366
6655_MTA-1	Línea aérea por fase	ABC	MTA_S_6652	MTA_S_7242
115251_MTA-1	Línea aérea por fase	B	MTA_S_7242	MTA_L_115251

Topología - Elementos ramales

Nro. equipo	Código	Fase	Nodo origen	Nodo destino
48507	Fusible	B	MTA_L_115251	MTA_L_115252
115252_MTA-1	Línea aérea por fase	B	MTA_L_115251	MTA_L_115252
6657_MTA-1	Línea aérea por fase	B	MTA_L_115252	MTA_L_6657
7241_MTA-1	Línea aérea por fase	B	MTA_L_6657	MTA_S_11801
2665	Fusible	B	MTA_S_11801	MTA_L_11801
11801_MTA-1	Línea aérea por fase	B	MTA_S_11801	MTA_L_11801
8715	Transformador con dos devanados	B	MTA_L_11801	MTA_L_14367
14367_MTA-1	Línea aérea por fase	B	MTA_L_11801	MTA_L_14367
I14367_MTA-1	Línea aérea por fase	B	MTA_L_14367	IMTA_L_14367
6359	Fusible	A	MTA_S_19160	MTA_S_7242
19160_MTA-1	Línea aérea por fase	A	MTA_S_19160	MTA_S_7242
13281	Transformador con dos devanados	A	MTA_S_19160	MTA_L_189622
189622_MTA-1	Línea aérea por fase	A	MTA_S_19160	MTA_L_189622
I189622_MTA-1	Línea aérea por fase	A	MTA_L_189622	IMTA_L_189622
7242_MTA-1	Línea aérea por fase	ABC	MTA_S_7242	MTA_L_7242
48191	Fusible	B	MTA_L_7242	MTA_L_114969
114969_MTA-1	Línea aérea por fase	B	MTA_L_7242	MTA_L_114969
114970_MTA-1	Línea aérea por fase	B	MTA_L_114969	MTA_L_114970
7244_MTA-1	Línea aérea por fase	B	MTA_L_114970	MTA_S_11802
48192	Fusible	B	MTA_S_11802	MTA_L_114972
114972_MTA-1	Línea aérea por fase	B	MTA_S_11802	MTA_L_114972
16625	Transformador con dos devanados	B	MTA_L_114972	MTA_L_114973
114973_MTA-1	Línea aérea por fase	B	MTA_L_114972	MTA_L_114973
I114973_MTA-1	Línea aérea por fase	B	MTA_L_114973	IMTA_L_114973
2666	Fusible	B	MTA_S_11802	MTA_S_14368
11802_MTA-1	Línea aérea por fase	B	MTA_S_11802	MTA_S_14368
8716	Transformador con dos devanados	B	MTA_S_14368	MTA_L_14368
14368_MTA-1	Línea aérea por fase	B	MTA_S_14368	MTA_L_14368
I14368_MTA-1	Línea aérea por fase	B	MTA_L_14368	IMTA_L_14368
7245_MTA-1	Línea aérea por fase	B	MTA_S_11802	MTA_S_7246
7246_MTA-1	Línea aérea por fase	B	MTA_S_7246	MTA_S_5085

Topología - Elementos ramales

Nro. equipo	Código	Fase	Nodo origen	Nodo destino
5085_MTA-1	Línea aérea por fase	B	MTA_S_5085	MTA_S_5086
5086_MTA-1	Línea aérea por fase	B	MTA_S_5086	MTA_L_5086
5087_MTA-1	Línea aérea por fase	B	MTA_L_5086	MTA_S_11803
2667	Fusible	B	MTA_S_11803	MTA_S_14369
11803_MTA-1	Línea aérea por fase	B	MTA_S_11803	MTA_S_14369
8717	Transformador con dos devanados	B	MTA_S_14369	MTA_L_14369
14369_MTA-1	Línea aérea por fase	B	MTA_S_14369	MTA_L_14369
l14369_MTA-1	Línea aérea por fase	B	MTA_L_14369	IMTA_L_14369
19157_MTA-1	Línea aérea por fase	ABC	MTA_L_7242	MTA_L_19157
6361	Fusible	B	MTA_L_19157	MTA_S_19164
19163_MTA-1	Línea aérea por fase	B	MTA_L_19157	MTA_S_19164
13279	Transformador con dos devanados	B	MTA_S_19164	MTA_L_19164
19164_MTA-1	Línea aérea por fase	B	MTA_S_19164	MTA_L_19164
l19164_MTA-1	Línea aérea por fase	B	MTA_L_19164	IMTA_L_19164
6360	Fusible	A	MTA_L_7242	MTA_S_19162
19161_MTA-1	Línea aérea por fase	A	MTA_L_7242	MTA_S_19162
13280	Transformador con dos devanados	A	MTA_S_19162	MTA_L_19162
19162_MTA-1	Línea aérea por fase	A	MTA_S_19162	MTA_L_19162
l19162_MTA-1	Línea aérea por fase	A	MTA_L_19162	IMTA_L_19162
6664_MTA-1	Línea aérea por fase	ABC	MTA_L_162652	MTA_L_6664
2668	Fusible	A	MTA_L_6664	MTA_L_11804
11804_MTA-1	Línea aérea por fase	A	MTA_L_6664	MTA_L_11804
662	Transformador con dos devanados	A	MTA_L_11804	MTA_L_14370
14370_MTA-1	Línea aérea por fase	A	MTA_L_11804	MTA_L_14370
l14370_MTA-1	Línea aérea por fase	A	MTA_L_14370	IMTA_L_14370
6824_MTA-1	Línea aérea por fase	ABC	MTA_L_6664	MTA_S_115258
115256_MTA-1	Línea aérea por fase	C	MTA_S_115258	MTA_L_115256
48524	Fusible	C	MTA_L_115256	MTA_S_6826
115257_MTA-1	Línea aérea por fase	C	MTA_L_115256	MTA_S_6826
6826_MTA-1	Línea aérea por fase	C	MTA_S_6826	MTA_S_6827
6827_MTA-1	Línea aérea por fase	C	MTA_S_6827	MTA_L_6827

Topología - Elementos ramales

Nro. equipo	Código	Fase	Nodo origen	Nodo destino
2670	Fusible	C	MTA_L_6827	MTA_S_14372
11806_MTA-1	Línea aérea por fase	C	MTA_L_6827	MTA_S_14372
2473	Transformador con dos devanados	C	MTA_S_14372	MTA_L_14372
14372_MTA-1	Línea aérea por fase	C	MTA_S_14372	MTA_L_14372
I14372_MTA-1	Línea aérea por fase	C	MTA_L_14372	IMTA_L_14372
115258_MTA-1	Línea aérea por fase	A	MTA_S_115258	MTA_L_115258
48525	Fusible	A	MTA_L_115258	MTA_S_6410
115259_MTA-1	Línea aérea por fase	A	MTA_L_115258	MTA_S_6410
6410_MTA-1	Línea aérea por fase	A	MTA_S_6410	MTA_S_11805
2669	Fusible	A	MTA_S_11805	MTA_L_11805
11805_MTA-1	Línea aérea por fase	A	MTA_S_11805	MTA_L_11805
9272	Transformador con dos devanados	A	MTA_L_11805	MTA_L_14371
14371_MTA-1	Línea aérea por fase	A	MTA_L_11805	MTA_L_14371
I14371_MTA-1	Línea aérea por fase	A	MTA_L_14371	IMTA_L_14371
6411_MTA-1	Línea aérea por fase	ABC	MTA_S_115258	MTA_S_168459
168459_MTA-1	Línea aérea por fase	ABC	MTA_S_168459	MTA_L_168459
48526	Fusible	ABC	MTA_L_168459	MTS_L_32983
32983_MTS-1	Cable	ABC	MTA_L_168459	MTS_L_32983
32985_MTS-1	Cable	ABC	MTS_L_32983	MTS_L_32985
32987_MTS-1	Cable	ABC	MTS_L_32985	MTS_L_32987
32989_MTS-1	Cable	ABC	MTS_L_32987	MTS_L_32989
21838	Interruptor seccionador	ABC	MTS_L_32989	MTS_L_32990
32990_MTS-1	Cable	ABC	MTS_L_32989	MTS_L_32990
1324	Fusible	ABC	MTS_L_32990	MTS_L_378
378_MTS-1	Cable	ABC	MTS_L_32990	MTS_L_378
13302	Transformador con dos devanados	ABC	MTS_L_378	MTS_L_501
501_MTS-1	Cable	ABC	MTS_L_378	MTS_L_501
I501_MTS-1	Cable	ABC	MTS_L_501	IMTS_L_501
6412_MTA-1	Línea aérea por fase	ABC	MTA_S_168459	MTA_S_6416
115285_MTA-1	Línea aérea por fase	ABC	MTA_S_6416	MTA_S_115286
48540	Fusible	ABC	MTA_S_115286	MTA_L_115286

Topología - Elementos ramales

Nro. equipo	Código	Fase	Nodo origen	Nodo destino
115286_MTA-1	Línea aérea por fase	ABC	MTA_S_115286	MTA_L_115286
6414_MTA-1	Línea aérea por fase	ABC	MTA_L_115286	MTA_L_6414
6415_MTA-1	Línea aérea por fase	ABC	MTA_L_6414	MTA_L_6415
555	Fusible	B	MTA_L_6415	MTA_L_11845
11845_MTA-1	Línea aérea por fase	B	MTA_L_6415	MTA_L_11845
12656	Transformador con dos devanados	B	MTA_L_11845	MTA_L_14411
14411_MTA-1	Línea aérea por fase	B	MTA_L_11845	MTA_L_14411
114411_MTA-1	Línea aérea por fase	B	MTA_L_14411	IMTA_L_14411
17876_MTA-1	Línea aérea por fase	ABC	MTA_L_6415	MTS_L_32976
5279	Fusible	ABC	MTS_S_32979	MTS_L_32976
32976_MTS-1	Cable	ABC	MTS_S_32979	MTS_L_32976
32979_MTS-1	Cable	ABC	MTS_S_32979	MTS_L_32979
32981_MTS-1	Cable	ABC	MTS_L_32979	MTS_L_32981
21837	Interruptor seccionador	ABC	MTS_L_32981	MTS_L_32982
32982_MTS-1	Cable	ABC	MTS_L_32981	MTS_L_32982
5280	Fusible	ABC	MTS_L_32982	MTS_L_1567
1567_MTS-1	Cable	ABC	MTS_L_32982	MTS_L_1567
15907	Transformador con dos devanados	ABC	MTS_L_1567	MTS_L_1872
1872_MTS-1	Cable	ABC	MTS_L_1567	MTS_L_1872
11872_MTS-1	Cable	ABC	MTS_L_1872	IMTS_L_1872
6416_MTA-1	Línea aérea por fase	ABC	MTA_S_6416	MTA_L_6416
6417_MTA-1	Línea aérea por fase	ABC	MTA_S_6417	MTA_L_6416
556	Fusible	B	MTA_S_6417	MTA_L_11846
11846_MTA-1	Línea aérea por fase	B	MTA_S_6417	MTA_L_11846
6367	Transformador con dos devanados	B	MTA_L_11846	MTA_L_14412
14412_MTA-1	Línea aérea por fase	B	MTA_L_11846	MTA_L_14412
114412_MTA-1	Línea aérea por fase	B	MTA_L_14412	IMTA_L_14412
6418_MTA-1	Línea aérea por fase	ABC	MTA_S_6417	MTA_S_6419
557	Fusible	B	MTA_S_6419	MTA_S_14413
11847_MTA-1	Línea aérea por fase	B	MTA_S_6419	MTA_S_14413
673	Transformador con dos devanados	B	MTA_S_14413	MTA_L_14413

Topología - Elementos ramales

Nro. equipo	Código	Fase	Nodo origen	Nodo destino
14413_MTA-1	Línea aérea por fase	B	MTA_S_14413	MTA_L_14413
l14413_MTA-1	Línea aérea por fase	B	MTA_L_14413	IMTA_L_14413
6419_MTA-1	Línea aérea por fase	ABC	MTA_S_6419	MTA_L_6419
14404	Interruptor seccionador	ABC	MTA_L_6419	MTA_L_115566
115566_MTA-1	Línea aérea por fase	ABC	MTA_L_6419	MTA_L_115566
115567_MTA-1	Línea aérea por fase	ABC	MTA_L_115566	MTA_S_7057
6421_MTA-1	Línea aérea por fase	ABC	MTA_S_7057	MTA_S_6422
6422_MTA-1	Línea aérea por fase	ABC	MTA_S_6422	MTA_L_6422
6423_MTA-1	Línea aérea por fase	ABC	MTA_S_6422	MTA_L_6423
6424_MTA-1	Línea aérea por fase	ABC	MTA_L_6423	MTA_L_6424
558	Fusible	A	MTA_L_6424	MTA_L_11848
11848_MTA-1	Línea aérea por fase	A	MTA_L_6424	MTA_L_11848
674	Transformador con dos devanados	A	MTA_L_11848	MTA_L_14414
14414_MTA-1	Línea aérea por fase	A	MTA_L_11848	MTA_L_14414
l14414_MTA-1	Línea aérea por fase	A	MTA_L_14414	IMTA_L_14414
1628_MTA-1	Línea aérea por fase	ABC	MTA_L_6424	MTA_S_1629
1629_MTA-1	Línea aérea por fase	ABC	MTA_S_1629	MTA_L_1629
1630_MTA-1	Línea aérea por fase	ABC	MTA_L_1629	MTA_L_1630
1631_MTA-1	Línea aérea por fase	B	MTA_L_1630	MTA_S_1632
1632_MTA-1	Línea aérea por fase	B	MTA_S_1632	MTA_S_1633
1633_MTA-1	Línea aérea por fase	B	MTA_S_1633	MTA_S_11849
559	Fusible	B	MTA_S_11849	MTA_S_14415
11849_MTA-1	Línea aérea por fase	B	MTA_S_11849	MTA_S_14415
2392	Transformador con dos devanados	B	MTA_S_14415	MTA_L_14415
14415_MTA-1	Línea aérea por fase	B	MTA_S_14415	MTA_L_14415
l14415_MTA-1	Línea aérea por fase	B	MTA_L_14415	IMTA_L_14415
1634_MTA-1	Línea aérea por fase	B	MTA_L_1630	MTA_L_1634
1635_MTA-1	Línea aérea por fase	ABC	MTA_L_1630	MTA_S_1636
560	Fusible	AB	MTA_S_1636	MTA_S_14416
11850_MTA-1	Línea aérea por fase	AB	MTA_S_1636	MTA_S_14416
679;678	Transformador con dos devanados	AB	MTA_S_14416	MTA_L_14416

Topología - Elementos ramales

Nro. equipo	Código	Fase	Nodo origen	Nodo destino
14416_MTA-1	Línea aérea por fase	AB	MTA_S_14416	MTA_L_14416
l14416_MTA-1	Línea aérea por fase	AB	MTA_L_14416	IMTA_L_14416
1636_MTA-1	Línea aérea por fase	ABC	MTA_S_1636	MTA_S_1637
1637_MTA-1	Línea aérea por fase	ABC	MTA_S_1637	MTA_L_1637
115861_MTA-1	Línea aérea por fase	ABC	MTA_L_1637	MTA_S_115862
48516	Fusible	ABC	MTA_S_115862	MTA_S_1639
115862_MTA-1	Línea aérea por fase	ABC	MTA_S_115862	MTA_S_1639
1639_MTA-1	Línea aérea por fase	ABC	MTA_S_1639	MTA_L_1639
2426	Fusible	ABC	MTA_S_1639	MTS_L_396
396_MTS-1	Cable	ABC	MTA_S_1639	MTS_L_396
12395	Transformador con dos devanados	ABC	MTS_L_396	MTS_L_521
521_MTS-1	Cable	ABC	MTS_L_396	MTS_L_521
l521_MTS-1	Cable	ABC	MTS_L_521	IMTS_L_521
24475	Fusible	ABC	MTA_S_6422	MTA_L_165866
71005_MTA-1	Línea aérea por fase	ABC	MTA_S_6422	MTA_L_165866
7057_MTA-1	Línea aérea por fase	ABC	MTA_S_7057	MTA_L_7057
7058_MTA-1	Línea aérea por fase	ABC	MTA_S_7057	MTA_S_6682
561	Fusible	B	MTA_S_6682	MTA_L_11851
11851_MTA-1	Línea aérea por fase	B	MTA_S_6682	MTA_L_11851
680	Transformador con dos devanados	B	MTA_L_11851	MTA_L_14417
14417_MTA-1	Línea aérea por fase	B	MTA_L_11851	MTA_L_14417
l14417_MTA-1	Línea aérea por fase	B	MTA_L_14417	IMTA_L_14417
6682_MTA-1	Línea aérea por fase	ABC	MTA_S_6682	MTA_S_6683
6683_MTA-1	Línea aérea por fase	ABC	MTA_S_6683	MTA_S_6684
6684_MTA-1	Línea aérea por fase	ABC	MTA_S_6684	MTA_L_6684
1604_MTA-1	Línea aérea por fase	ABC	MTA_L_6684	MTA_S_1605
1605_MTA-1	Línea aérea por fase	ABC	MTA_S_1605	MTA_S_6783
6783_MTA-1	Línea aérea por fase	ABC	MTA_S_6783	MTA_S_6784
6784_MTA-1	Línea aérea por fase	ABC	MTA_S_6784	MTA_L_6784
115895_MTA-1	Línea aérea por fase	ABC	MTA_L_6784	MTA_L_115895
14405	Interruptor seccionador	ABC	MTA_L_115895	MTA_L_115896

Topología - Elementos ramales

Nro. equipo	Código	Fase	Nodo origen	Nodo destino
115896_MTA-1	Línea aérea por fase	ABC	MTA_L_115895	MTA_L_115896
6786_MTA-1	Línea aérea por fase	ABC	MTA_L_115896	MTA_L_6786
6787_MTA-1	Línea aérea por fase	ABC	MTA_L_6786	MTA_S_7258
6788_MTA-1	Línea aérea por fase	ABC	MTA_S_7258	MTA_L_6788
6789_MTA-1	Línea aérea por fase	ABC	MTA_S_7258	MTA_L_6789
2427	Fusible	ABC	MTA_L_6789	MTA_S_13555
11568_MTA-1	Línea aérea por fase	ABC	MTA_L_6789	MTA_S_13555
681	Transformador con dos devanados	ABC	MTA_S_13555	MTA_L_13555
13555_MTA-1	Línea aérea por fase	ABC	MTA_S_13555	MTA_L_13555
l13555_MTA-1	Línea aérea por fase	ABC	MTA_L_13555	IMTA_L_13555
6790_MTA-1	Línea aérea por fase	ABC	MTA_L_6789	MTA_S_6791
6791_MTA-1	Línea aérea por fase	BC	MTA_S_6791	MTA_L_6791
48548	Fusible	B	MTA_L_6791	MTA_L_115897
115897_MTA-1	Línea aérea por fase	B	MTA_L_6791	MTA_L_115897
115898_MTA-1	Línea aérea por fase	B	MTA_L_115897	MTA_S_6795
6793_MTA-1	Línea aérea por fase	B	MTA_S_6795	MTA_S_9922
656	Fusible	B	MTA_S_9922	MTA_L_9922
9922_MTA-1	Línea aérea por fase	B	MTA_S_9922	MTA_L_9922
16946	Transformador con dos devanados	B	MTA_L_9922	MTA_L_14145
14145_MTA-1	Línea aérea por fase	B	MTA_L_9922	MTA_L_14145
l14145_MTA-1	Línea aérea por fase	B	MTA_L_14145	IMTA_L_14145
6794_MTA-1	Línea aérea por fase	B	MTA_S_6795	MTA_L_6794
6795_MTA-1	Línea aérea por fase	B	MTA_S_6795	MTA_L_6795
7258_MTA-1	Línea aérea por fase	ABC	MTA_S_7258	MTA_S_7259
7259_MTA-1	Línea aérea por fase	ABC	MTA_S_7259	MTA_L_7259
7260_MTA-1	Línea aérea por fase	ABC	MTA_L_7259	MTA_S_7261
4967	Fusible	ABC	MTA_S_7261	MTA_S_17589
17588_MTA-1	Línea aérea por fase	ABC	MTA_S_7261	MTA_S_17589
14150	Transformador con dos devanados	ABC	MTA_S_17589	MTA_L_17589
17589_MTA-1	Línea aérea por fase	ABC	MTA_S_17589	MTA_L_17589
l17589_MTA-1	Línea aérea por fase	ABC	MTA_L_17589	IMTA_L_17589

Topología - Elementos ramales

Nro. equipo	Código	Fase	Nodo origen	Nodo destino
7261_MTA-1	Línea aérea por fase	ABC	MTA_S_7261	MTA_S_11569
2428	Fusible	A	MTA_S_11569	MTA_S_13556
11569_MTA-1	Línea aérea por fase	A	MTA_S_11569	MTA_S_13556
8304	Transformador con dos devanados	A	MTA_S_13556	MTA_L_13556
13556_MTA-1	Línea aérea por fase	A	MTA_S_13556	MTA_L_13556
I13556_MTA-1	Línea aérea por fase	A	MTA_L_13556	IMTA_L_13556
7262_MTA-1	Línea aérea por fase	ABC	MTA_S_11569	MTA_S_11570
2429	Fusible	ABC	MTA_S_11570	MTA_S_13557
11570_MTA-1	Línea aérea por fase	ABC	MTA_S_11570	MTA_S_13557
686;687;685	Transformador con dos devanados	ABC	MTA_S_13557	MTA_L_13557
13557_MTA-1	Línea aérea por fase	ABC	MTA_S_13557	MTA_L_13557
I13557_MTA-1	Línea aérea por fase	ABC	MTA_L_13557	IMTA_L_13557
7263_MTA-1	Línea aérea por fase	ABC	MTA_S_11570	MTA_L_7263
93551	Fusible	ABC	MTA_L_7263	MTA_L_206834
206834_MTA-1	Línea aérea por fase	ABC	MTA_L_7263	MTA_L_206834
18230	Transformador con dos devanados	ABC	MTA_L_206834	MTA_L_206835
206835_MTA-1	Línea aérea por fase	ABC	MTA_L_206834	MTA_L_206835
I206835_MTA-1	Línea aérea por fase	ABC	MTA_L_206835	IMTA_L_206835
7264_MTA-1	Línea aérea por fase	ABC	MTA_L_7263	MTA_S_7265
7265_MTA-1	Línea aérea por fase	ABC	MTA_S_7265	MTA_L_7265
48530	Fusible	ABC	MTA_L_7265	MTA_L_115883
115883_MTA-1	Línea aérea por fase	ABC	MTA_L_7265	MTA_L_115883
115884_MTA-1	Línea aérea por fase	ABC	MTA_L_115883	MTA_L_115884
7267_MTA-1	Línea aérea por fase	ABC	MTA_L_115884	MTA_S_7268
7268_MTA-1	Línea aérea por fase	ABC	MTA_S_7268	MTA_S_7910
14572_MTA-1	Línea aérea por fase	B	MTA_S_7910	MTA_L_14572
7559_MTA-1	Línea aérea por fase	ABC	MTA_S_7910	MTA_S_7912
7912_MTA-1	Línea aérea por fase	ABC	MTA_S_7912	MTA_S_7916
14573_MTA-1	Línea aérea por fase	C	MTA_S_7916	MTA_L_14573
7913_MTA-1	Línea aérea por fase	ABC	MTA_S_7916	MTA_L_7913
7914_MTA-1	Línea aérea por fase	ABC	MTA_L_7913	MTA_L_7914

Topología - Elementos ramales

Nro. equipo	Código	Fase	Nodo origen	Nodo destino
7915_MTA-1	Línea aérea por fase	ABC	MTA_L_7914	MTA_S_5862
5862_MTA-1	Línea aérea por fase	ABC	MTA_S_5862	MTA_L_5862
5794_MTA-1	Línea aérea por fase	ABC	MTA_L_5862	MTA_S_5795
5795_MTA-1	Línea aérea por fase	ABC	MTA_S_5795	MTA_S_8095
1238	Fusible	B	MTA_S_8095	MTA_S_14315
10557_MTA-1	Línea aérea por fase	B	MTA_S_8095	MTA_S_14315
690	Transformador con dos devanados	B	MTA_S_14315	MTA_L_14315
14315_MTA-1	Línea aérea por fase	B	MTA_S_14315	MTA_L_14315
I14315_MTA-1	Línea aérea por fase	B	MTA_L_14315	IMTA_L_14315
8095_MTA-1	Línea aérea por fase	ABC	MTA_S_8095	MTA_S_8096
8096_MTA-1	Línea aérea por fase	ABC	MTA_S_8096	MTA_S_10544
1220	Fusible	ABC	MTA_S_10544	MTA_L_10544
10544_MTA-1	Línea aérea por fase	ABC	MTA_S_10544	MTA_L_10544
13986	Transformador con dos devanados	ABC	MTA_L_10544	MTA_L_14301
14301_MTA-1	Línea aérea por fase	ABC	MTA_L_10544	MTA_L_14301
I14301_MTA-1	Línea aérea por fase	ABC	MTA_L_14301	IMTA_L_14301
8097_MTA-1	Línea aérea por fase	ABC	MTA_S_10544	MTA_S_8098
6871_MTA-1	Línea aérea por fase	ABC	MTA_S_8098	MTA_S_7207
1285	Fusible	B	MTA_S_7207	MTA_L_10600
10600_MTA-1	Línea aérea por fase	B	MTA_S_7207	MTA_L_10600
693	Transformador con dos devanados	B	MTA_L_10600	MTA_L_12605
12605_MTA-1	Línea aérea por fase	B	MTA_L_10600	MTA_L_12605
I12605_MTA-1	Línea aérea por fase	B	MTA_L_12605	IMTA_L_12605
7207_MTA-1	Línea aérea por fase	ABC	MTA_S_7207	MTA_S_6666
6666_MTA-1	Línea aérea por fase	ABC	MTA_S_6666	MTA_S_6667
169726_MTA-1	Línea aérea por fase	ABC	MTA_S_6667	MTA_S_169727
48828	Fusible	ABC	MTA_S_169727	MTA_L_169727
169727_MTA-1	Línea aérea por fase	ABC	MTA_S_169727	MTA_L_169727
116200_MTA-1	Línea aérea por fase	ABC	MTA_L_169727	MTA_L_116200
63731_MTA-1	Línea aérea por fase	ABC	MTA_L_116200	MTA_S_7925
1308	Fusible	B	MTA_S_7925	MTA_S_13300

Topología - Elementos ramales

Nro. equipo	Código	Fase	Nodo origen	Nodo destino
10601_MTA-1	Línea aérea por fase	B	MTA_S_7925	MTA_S_13300
694	Transformador con dos devanados	B	MTA_S_13300	MTA_L_13300
13300_MTA-1	Línea aérea por fase	B	MTA_S_13300	MTA_L_13300
l13300_MTA-1	Línea aérea por fase	B	MTA_L_13300	IMTA_L_13300
32917_MTA-1	Línea aérea por fase	ABC	MTA_S_7925	MTA_L_32917
1286	Fusible	ABC	MTA_L_32917	MTS_L_32994
32994_MTS-1	Cable	ABC	MTA_L_32917	MTS_L_32994
32995_MTS-1	Cable	ABC	MTS_S_32995	MTS_L_32994
32996_MTS-1	Cable	ABC	MTS_S_32995	MTS_L_32996
21840	Interruptor seccionador	ABC	MTS_L_32996	MTS_L_32997
32997_MTS-1	Cable	ABC	MTS_L_32996	MTS_L_32997
32998_MTS-1	Cable	ABC	MTS_L_32997	MTS_L_32998
72225	Fusible	ABC	MTS_L_32998	MTS_L_33000
33000_MTS-1	Cable	ABC	MTS_L_32998	MTS_L_33000
12154	Transformador con dos devanados	ABC	MTS_L_33000	MTS_L_33001
33001_MTS-1	Cable	ABC	MTS_L_33000	MTS_L_33001
l33001_MTS-1	Cable	ABC	MTS_L_33001	IMTS_L_33001
7925_MTA-1	Línea aérea por fase	ABC	MTA_S_7925	MTA_S_7770
6672_MTA-1	Línea aérea por fase	ABC	MTA_S_7770	MTA_S_200727
200727_MTA-1	Línea aérea por fase	ABC	MTA_S_200727	MTS_S_45134
89061	Fusible	ABC	MTS_S_45134	MTS_L_45134
45134_MTS-1	Cable	ABC	MTS_S_45134	MTS_L_45134
45135_MTS-1	Cable	ABC	MTS_L_45134	MTS_L_45135
45133_MTS-1	Cable	ABC	MTS_L_45135	MTS_L_45133
45131_MTS-1	Cable	ABC	MTS_L_45133	MTS_L_45131
91655	Fusible	ABC	MTS_L_45131	MTS_L_46781
46781_MTS-1	Cable	ABC	MTS_L_45131	MTS_L_46781
18096	Transformador con dos devanados	ABC	MTS_L_46781	MTS_L_46782
46782_MTS-1	Cable	ABC	MTS_L_46781	MTS_L_46782
l46782_MTS-1	Cable	ABC	MTS_L_46782	IMTS_L_46782
6673_MTA-1	Línea aérea por fase	ABC	MTA_S_200727	MTA_S_6674

Topología - Elementos ramales

Nro. equipo	Código	Fase	Nodo origen	Nodo destino
6674_MTA-1	Línea aérea por fase	ABC	MTA_S_6674	MTA_S_6675
1668_MTA-1	Línea aérea por fase	ABC	MTA_S_6675	MTA_L_1668
22140	Fusible	C	MTA_L_1668	MTA_L_63733
63733_MTA-1	Línea aérea por fase	C	MTA_L_1668	MTA_L_63733
63734_MTA-1	Línea aérea por fase	C	MTA_L_63733	MTA_L_63734
1670_MTA-1	Línea aérea por fase	C	MTA_L_63734	MTA_L_1670
1671_MTA-1	Línea aérea por fase	C	MTA_L_63734	MTA_L_1671
1672_MTA-1	Línea aérea por fase	C	MTA_L_1671	MTA_S_10605
1349	Fusible	C	MTA_S_10605	MTA_S_12610
10605_MTA-1	Línea aérea por fase	C	MTA_S_10605	MTA_S_12610
7907	Transformador con dos devanados	C	MTA_S_12610	MTA_L_12610
12610_MTA-1	Línea aérea por fase	C	MTA_S_12610	MTA_L_12610
I12610_MTA-1	Línea aérea por fase	C	MTA_L_12610	IMTA_L_12610
1673_MTA-1	Línea aérea por fase	C	MTA_L_63734	MTA_S_1674
1674_MTA-1	Línea aérea por fase	C	MTA_S_1674	MTA_S_1675
1675_MTA-1	Línea aérea por fase	C	MTA_S_1675	MTA_S_1678
1676_MTA-1	Línea aérea por fase	C	MTA_S_1678	MTA_L_1676
1677_MTA-1	Línea aérea por fase	C	MTA_S_1678	MTA_L_1677
1678_MTA-1	Línea aérea por fase	C	MTA_S_1678	MTA_S_6928
1350	Fusible	C	MTA_S_6928	MTA_L_10606
10606_MTA-1	Línea aérea por fase	C	MTA_S_6928	MTA_L_10606
10735	Transformador con dos devanados	C	MTA_L_10606	MTA_L_12611
12611_MTA-1	Línea aérea por fase	C	MTA_L_10606	MTA_L_12611
I12611_MTA-1	Línea aérea por fase	C	MTA_L_12611	IMTA_L_12611
6928_MTA-1	Línea aérea por fase	C	MTA_S_6928	MTA_S_17586
116201_MTA-1	Línea aérea por fase	C	MTA_S_116201	MTA_S_17586
48830	Fusible	C	MTA_S_116201	MTA_L_116203
116203_MTA-1	Línea aérea por fase	C	MTA_S_116201	MTA_L_116203
15896	Transformador con dos devanados	C	MTA_L_116203	MTA_L_116204
116204_MTA-1	Línea aérea por fase	C	MTA_L_116203	MTA_L_116204
I116204_MTA-1	Línea aérea por fase	C	MTA_L_116204	IMTA_L_116204

Topología - Elementos ramales

Nro. equipo	Código	Fase	Nodo origen	Nodo destino
4966	Fusible	C	MTA_S_17586	MTA_S_17587
17586_MTA-1	Línea aérea por fase	C	MTA_S_17586	MTA_S_17587
13967	Transformador con dos devanados	C	MTA_S_17587	MTA_L_17587
17587_MTA-1	Línea aérea por fase	C	MTA_S_17587	MTA_L_17587
I17587_MTA-1	Línea aérea por fase	C	MTA_L_17587	IMTA_L_17587
22141	Fusible	C	MTA_S_17586	MTA_L_63735
63735_MTA-1	Línea aérea por fase	C	MTA_S_17586	MTA_L_63735
63736_MTA-1	Línea aérea por fase	C	MTA_L_63735	MTA_S_10463
1683	Fusible	C	MTA_S_10463	MTA_S_14219
10463_MTA-1	Línea aérea por fase	C	MTA_S_10463	MTA_S_14219
12640	Transformador con dos devanados	C	MTA_S_14219	MTA_L_14219
14219_MTA-1	Línea aérea por fase	C	MTA_S_14219	MTA_L_14219
I14219_MTA-1	Línea aérea por fase	C	MTA_L_14219	IMTA_L_14219
63737_MTA-1	Línea aérea por fase	C	MTA_S_10463	MTA_S_63738
63738_MTA-1	Línea aérea por fase	C	MTA_S_63738	MTA_S_116206
48844	Fusible	C	MTA_S_116206	MTA_L_116206
116206_MTA-1	Línea aérea por fase	C	MTA_S_116206	MTA_L_116206
16048	Transformador con dos devanados	C	MTA_L_116206	MTA_L_116207
116207_MTA-1	Línea aérea por fase	C	MTA_L_116206	MTA_L_116207
I116207_MTA-1	Línea aérea por fase	C	MTA_L_116207	IMTA_L_116207
6675_MTA-1	Línea aérea por fase	ABC	MTA_S_6675	MTA_L_6675
6676_MTA-1	Línea aérea por fase	ABC	MTA_S_6675	MTA_S_6677
6677_MTA-1	Línea aérea por fase	ABC	MTA_S_6677	MTA_S_10604
1348	Fusible	C	MTA_S_10604	MTA_S_12609
10604_MTA-1	Línea aérea por fase	C	MTA_S_10604	MTA_S_12609
696	Transformador con dos devanados	C	MTA_S_12609	MTA_L_12609
12609_MTA-1	Línea aérea por fase	C	MTA_S_12609	MTA_L_12609
I12609_MTA-1	Línea aérea por fase	C	MTA_L_12609	IMTA_L_12609
17579_MTA-1	Línea aérea por fase	ABC	MTA_S_10604	MTA_S_17581
4963	Fusible	ABC	MTA_S_17581	MTA_S_17582
17581_MTA-1	Línea aérea por fase	ABC	MTA_S_17581	MTA_S_17582

Topología - Elementos ramales

Nro. equipo	Código	Fase	Nodo origen	Nodo destino
14371	Transformador con dos devanados	ABC	MTA_S_17582	MTA_L_17582
17582_MTA-1	Línea aérea por fase	ABC	MTA_S_17582	MTA_L_17582
I17582_MTA-1	Línea aérea por fase	ABC	MTA_L_17582	IMTA_L_17582
7769_MTA-1	Línea aérea por fase	B	MTA_S_7770	MTA_S_10602
1287	Fusible	B	MTA_S_10602	MTA_S_12607
10602_MTA-1	Línea aérea por fase	B	MTA_S_10602	MTA_S_12607
10913	Transformador con dos devanados	B	MTA_S_12607	MTA_L_12607
12607_MTA-1	Línea aérea por fase	B	MTA_S_12607	MTA_L_12607
I12607_MTA-1	Línea aérea por fase	B	MTA_L_12607	IMTA_L_12607
7770_MTA-1	Línea aérea por fase	B	MTA_S_7770	MTA_S_7771
7771_MTA-1	Línea aérea por fase	B	MTA_S_7771	MTA_S_6465
6465_MTA-1	Línea aérea por fase	B	MTA_S_6465	MTA_S_10603
1288	Fusible	B	MTA_S_10603	MTA_L_10603
10603_MTA-1	Línea aérea por fase	B	MTA_S_10603	MTA_L_10603
695	Transformador con dos devanados	B	MTA_L_10603	MTA_L_12608
12608_MTA-1	Línea aérea por fase	B	MTA_L_10603	MTA_L_12608
I12608_MTA-1	Línea aérea por fase	B	MTA_L_12608	IMTA_L_12608
168761_MTA-1	Línea aérea por fase	ABC	MTS_S_33291	MTA_L_169727
48827	Fusible	ABC	MTS_S_33291	MTS_L_33291
33291_MTS-1	Cable	ABC	MTS_S_33291	MTS_L_33291
33293_MTS-1	Cable	ABC	MTS_L_33291	MTS_L_33293
33295_MTS-1	Cable	ABC	MTS_L_33293	MTS_L_33295
33297_MTS-1	Cable	ABC	MTS_L_33295	MTS_L_33297
21849	Interruptor seccionador	ABC	MTS_L_33297	MTS_L_33298
33298_MTS-1	Cable	ABC	MTS_L_33297	MTS_L_33298
2421	Fusible	ABC	MTS_L_33298	MTS_L_395
395_MTS-1	Cable	ABC	MTS_L_33298	MTS_L_395
15589	Transformador con dos devanados	ABC	MTS_L_395	MTS_L_520
520_MTS-1	Cable	ABC	MTS_L_395	MTS_L_520
I520_MTS-1	Cable	ABC	MTS_L_520	IMTS_L_520
6667_MTA-1	Línea aérea por fase	ABC	MTA_S_6667	MTA_L_6667

Topología - Elementos ramales

Nro. equipo	Código	Fase	Nodo origen	Nodo destino
6930_MTA-1	Línea aérea por fase	ABC	MTA_S_6667	MTA_L_6930
6931_MTA-1	Línea aérea por fase	ABC	MTA_L_6930	MTA_L_6931
63771	Fusible	ABC	MTA_L_6931	MTA_L_151123
151123_MTA-1	Línea aérea por fase	ABC	MTA_L_6931	MTA_L_151123
151124_MTA-1	Línea aérea por fase	ABC	MTA_L_151123	MTA_S_6933
6933_MTA-1	Línea aérea por fase	ABC	MTA_S_6933	MTA_S_6367
6367_MTA-1	Línea aérea por fase	ABC	MTA_S_6367	MTA_S_6368
6368_MTA-1	Línea aérea por fase	ABC	MTA_S_6368	MTA_S_6369
6369_MTA-1	Línea aérea por fase	ABC	MTA_S_6369	MTA_S_7372
7372_MTA-1	Línea aérea por fase	ABC	MTA_S_7372	MTA_S_7373
562	Fusible	B	MTA_S_7373	MTA_S_14418
11852_MTA-1	Línea aérea por fase	B	MTA_S_7373	MTA_S_14418
17413	Transformador con dos devanados	B	MTA_S_14418	MTA_L_14418
14418_MTA-1	Línea aérea por fase	B	MTA_S_14418	MTA_L_14418
114418_MTA-1	Línea aérea por fase	B	MTA_L_14418	IMTA_L_14418
7373_MTA-1	Línea aérea por fase	ABC	MTA_S_7373	MTA_S_7374
7374_MTA-1	Línea aérea por fase	ABC	MTA_S_7374	MTA_L_7374
25495	Fusible	ABC	MTA_L_7374	MTA_L_7375
7375_MTA-1	Línea aérea por fase	ABC	MTA_L_7374	MTA_L_7375
74208_MTA-1	Línea aérea por fase	ABC	MTA_L_7375	MTA_S_7377
5680_MTA-1	Línea aérea por fase	B	MTA_S_7377	MTA_L_5680
6466_MTA-1	Línea aérea por fase	B	MTA_S_7377	MTA_S_6467
6467_MTA-1	Línea aérea por fase	B	MTA_S_6467	MTA_S_6921
6921_MTA-1	Línea aérea por fase	B	MTA_S_6921	MTA_L_6921
7377_MTA-1	Línea aérea por fase	ABC	MTA_S_7377	MTA_S_7378
7378_MTA-1	Línea aérea por fase	ABC	MTA_S_7378	MTA_L_7378
7379_MTA-1	Línea aérea por fase	ABC	MTA_L_7378	MTA_L_7379
7380_MTA-1	Línea aérea por fase	ABC	MTA_L_7379	MTA_L_7381
7381_MTA-1	Línea aérea por fase	ABC	MTA_S_7382	MTA_L_7381
6922_MTA-1	Línea aérea por fase	C	MTA_S_7382	MTA_L_6922
6923_MTA-1	Línea aérea por fase	C	MTA_S_7382	MTA_L_6923

Topología - Elementos ramales

Nro. equipo	Código	Fase	Nodo origen	Nodo destino
6924_MTA-1	Línea aérea por fase	C	MTA_L_6923	MTA_L_6924
563	Fusible	C	MTA_L_6924	MTA_L_11853
11853_MTA-1	Línea aérea por fase	C	MTA_L_6924	MTA_L_11853
5601	Transformador con dos devanados	C	MTA_L_11853	MTA_L_14419
14419_MTA-1	Línea aérea por fase	C	MTA_L_11853	MTA_L_14419
I14419_MTA-1	Línea aérea por fase	C	MTA_L_14419	IMTA_L_14419
7382_MTA-1	Línea aérea por fase	ABC	MTA_S_7382	MTA_S_6774
6774_MTA-1	Línea aérea por fase	ABC	MTA_S_6774	MTA_S_6775
6775_MTA-1	Línea aérea por fase	ABC	MTA_S_6775	MTA_S_6776
6776_MTA-1	Línea aérea por fase	ABC	MTA_S_6776	MTA_L_6776
6777_MTA-1	Línea aérea por fase	ABC	MTA_L_6776	MTA_S_6778
565	Fusible	B	MTA_S_6778	MTA_L_11855
11855_MTA-1	Línea aérea por fase	B	MTA_S_6778	MTA_L_11855
5852	Transformador con dos devanados	B	MTA_L_11855	MTA_L_14421
14421_MTA-1	Línea aérea por fase	B	MTA_L_11855	MTA_L_14421
I14421_MTA-1	Línea aérea por fase	B	MTA_L_14421	IMTA_L_14421
6778_MTA-1	Línea aérea por fase	ABC	MTA_S_6778	MTA_S_6611
6611_MTA-1	Línea aérea por fase	ABC	MTA_S_6611	MTA_L_6611
5677_MTA-1	Línea aérea por fase	ABC	MTA_L_6611	MTA_S_8071
14574_MTA-1	Línea aérea por fase	C	MTA_S_8071	MTA_L_14574
5678_MTA-1	Línea aérea por fase	ABC	MTA_S_8071	MTA_L_5678
27907	Interruptor seccionador	ABC	MTA_L_5678	MTA_S_217106
217105_MTA-1	Línea aérea por fase	ABC	MTA_L_5678	MTA_S_217106
8071_MTA-1	Línea aérea por fase	C	MTA_S_8071	MTA_S_11856
566	Fusible	C	MTA_S_11856	MTA_S_14422
11856_MTA-1	Línea aérea por fase	C	MTA_S_11856	MTA_S_14422
706	Transformador con dos devanados	C	MTA_S_14422	MTA_L_14422
14422_MTA-1	Línea aérea por fase	C	MTA_S_14422	MTA_L_14422
I14422_MTA-1	Línea aérea por fase	C	MTA_L_14422	IMTA_L_14422
6925_MTA-1	Línea aérea por fase	A	MTA_S_6775	MTA_L_6925
6926_MTA-1	Línea aérea por fase	A	MTA_S_6775	MTA_L_6926

Topología - Elementos ramales

Nro. equipo	Código	Fase	Nodo origen	Nodo destino
564	Fusible	A	MTA_L_6926	MTA_L_11854
11854_MTA-1	Línea aérea por fase	A	MTA_L_6926	MTA_L_11854
704	Transformador con dos devanados	A	MTA_L_11854	MTA_L_14420
14420_MTA-1	Línea aérea por fase	A	MTA_L_11854	MTA_L_14420
I14420_MTA-1	Línea aérea por fase	A	MTA_L_14420	IMTA_L_14420
6934_MTA-1	Línea aérea por fase	ABC	MTA_S_6367	MTA_L_6934
74209_MTA-1	Línea aérea por fase	ABC	MTA_S_6367	MTA_L_74209
26079	Fusible	ABC	MTA_L_74209	MTA_L_74210
74210_MTA-1	Línea aérea por fase	ABC	MTA_L_74209	MTA_L_74210
74239_MTA-1	Línea aérea por fase	ABC	MTA_L_74210	MTA_S_6937
1684	Fusible	A	MTA_S_6937	MTA_S_14220
10464_MTA-1	Línea aérea por fase	A	MTA_S_6937	MTA_S_14220
16214	Transformador con dos devanados	A	MTA_S_14220	MTA_L_14220
14220_MTA-1	Línea aérea por fase	A	MTA_S_14220	MTA_L_14220
I14220_MTA-1	Línea aérea por fase	A	MTA_L_14220	IMTA_L_14220
6937_MTA-1	Línea aérea por fase	ABC	MTA_S_6937	MTA_S_6938
6938_MTA-1	Línea aérea por fase	ABC	MTA_S_6938	MTA_S_6939
6939_MTA-1	Línea aérea por fase	ABC	MTA_S_6939	MTA_S_6546
6546_MTA-1	Línea aérea por fase	ABC	MTA_S_6546	MTA_L_6546
5142_MTA-1	Línea aérea por fase	ABC	MTA_L_6546	MTA_L_5142
1688	Fusible	A	MTA_L_5142	MTA_S_14224
10468_MTA-1	Línea aérea por fase	A	MTA_L_5142	MTA_S_14224
14591	Transformador con dos devanados	A	MTA_S_14224	MTA_L_14224
14224_MTA-1	Línea aérea por fase	A	MTA_S_14224	MTA_L_14224
I14224_MTA-1	Línea aérea por fase	A	MTA_L_14224	IMTA_L_14224
6358_MTA-1	Línea aérea por fase	ABC	MTA_L_5142	MTA_S_6359
6359_MTA-1	Línea aérea por fase	ABC	MTA_S_6359	MTA_S_74241
74241_MTA-1	Línea aérea por fase	C	MTA_S_74241	MTA_L_74241
25494	Fusible	C	MTA_L_74241	MTA_L_74242
74242_MTA-1	Línea aérea por fase	C	MTA_L_74241	MTA_L_74242
6361_MTA-1	Línea aérea por fase	C	MTA_L_74242	MTA_S_8218

Topología - Elementos ramales

Nro. equipo	Código	Fase	Nodo origen	Nodo destino
1689	Fusible	C	MTA_S_8218	MTA_L_10469
10469_MTA-1	Línea aérea por fase	C	MTA_S_8218	MTA_L_10469
10530	Transformador con dos devanados	C	MTA_L_10469	MTA_L_14225
14225_MTA-1	Línea aérea por fase	C	MTA_L_10469	MTA_L_14225
I14225_MTA-1	Línea aérea por fase	C	MTA_L_14225	IMTA_L_14225
8218_MTA-1	Línea aérea por fase	C	MTA_S_8218	MTA_L_8218
6484_MTA-1	Línea aérea por fase	C	MTA_L_8218	MTA_S_6362
6362_MTA-1	Línea aérea por fase	C	MTA_S_6362	MTA_L_6362
6363_MTA-1	Línea aérea por fase	C	MTA_L_6362	MTA_L_6363
6364_MTA-1	Línea aérea por fase	C	MTA_L_6363	MTA_L_6364
6365_MTA-1	Línea aérea por fase	C	MTA_L_6364	MTA_L_6365
6366_MTA-1	Línea aérea por fase	C	MTA_L_6365	MTA_L_6366
2339	Fusible	C	MTA_L_6366	MTA_S_13472
11487_MTA-1	Línea aérea por fase	C	MTA_L_6366	MTA_S_13472
12950	Transformador con dos devanados	C	MTA_S_13472	MTA_L_13472
13472_MTA-1	Línea aérea por fase	C	MTA_S_13472	MTA_L_13472
I13472_MTA-1	Línea aérea por fase	C	MTA_L_13472	IMTA_L_13472
6940_MTA-1	Línea aérea por fase	ABC	MTA_S_6546	MTA_L_6940
6941_MTA-1	Línea aérea por fase	ABC	MTA_S_6546	MTA_S_116513
116513_MTA-1	Línea aérea por fase	ABC	MTA_S_116513	MTA_S_116514
116514_MTA-1	Línea aérea por fase	ABC	MTA_S_116514	MTA_L_116514
6943_MTA-1	Línea aérea por fase	ABC	MTA_L_116514	MTA_S_8148
6436_MTA-1	Línea aérea por fase	ABC	MTA_S_6436	MTA_S_8148
6437_MTA-1	Línea aérea por fase	ABC	MTA_S_6436	MTA_S_8245
8245_MTA-1	Línea aérea por fase	ABC	MTA_S_8245	MTA_L_8245
1686	Fusible	C	MTA_L_8245	MTA_L_10466
10466_MTA-1	Línea aérea por fase	C	MTA_L_8245	MTA_L_10466
7265	Transformador con dos devanados	C	MTA_L_10466	MTA_L_14222
14222_MTA-1	Línea aérea por fase	C	MTA_L_10466	MTA_L_14222
I14222_MTA-1	Línea aérea por fase	C	MTA_L_14222	IMTA_L_14222
8246_MTA-1	Línea aérea por fase	ABC	MTA_L_8245	MTA_L_8246

Topología - Elementos ramales

Nro. equipo	Código	Fase	Nodo origen	Nodo destino
8147_MTA-1	Línea aérea por fase	B	MTA_L_8246	MTA_L_186675
1687	Fusible	B	MTA_L_186675	MTA_L_10467
10467_MTA-1	Línea aérea por fase	B	MTA_L_186675	MTA_L_10467
701	Transformador con dos devanados	B	MTA_L_10467	MTA_L_14223
14223_MTA-1	Línea aérea por fase	B	MTA_L_10467	MTA_L_14223
I14223_MTA-1	Línea aérea por fase	B	MTA_L_14223	IMTA_L_14223
186675_MTA-1	Línea aérea por fase	B	MTA_S_186677	MTA_L_186675
80107	Fusible	B	MTA_S_186677	MTA_S_186678
186677_MTA-1	Línea aérea por fase	B	MTA_S_186677	MTA_S_186678
17162	Transformador con dos devanados	B	MTA_S_186678	MTA_L_186678
186678_MTA-1	Línea aérea por fase	B	MTA_S_186678	MTA_L_186678
I186678_MTA-1	Línea aérea por fase	B	MTA_L_186678	IMTA_L_186678
7432_MTA-1	Línea aérea por fase	A	MTA_S_8148	MTA_L_7432
1685	Fusible	A	MTA_L_7432	MTA_L_10465
10465_MTA-1	Línea aérea por fase	A	MTA_L_7432	MTA_L_10465
13539	Transformador con dos devanados	A	MTA_L_10465	MTA_L_14221
14221_MTA-1	Línea aérea por fase	A	MTA_L_10465	MTA_L_14221
I14221_MTA-1	Línea aérea por fase	A	MTA_L_14221	IMTA_L_14221
7433_MTA-1	Línea aérea por fase	A	MTA_L_7432	MTA_L_7433
8148_MTA-1	Línea aérea por fase	A	MTA_S_8148	MTA_L_8148
116529_MTA-1	Línea aérea por fase	A	MTA_S_116529	MTA_S_116514
116527_MTA-1	Línea aérea por fase	A	MTA_S_116821	MTA_S_116529
48834	Fusible	A	MTA_S_116821	MTA_S_116822
116821_MTA-1	Línea aérea por fase	A	MTA_S_116821	MTA_S_116822
16261	Transformador con dos devanados	A	MTA_S_116822	MTA_L_116822
116822_MTA-1	Línea aérea por fase	A	MTA_S_116822	MTA_L_116822
I116822_MTA-1	Línea aérea por fase	A	MTA_L_116822	IMTA_L_116822
48836	Fusible	A	MTA_S_116821	MTA_L_116823
116823_MTA-1	Línea aérea por fase	A	MTA_S_116821	MTA_L_116823
16193	Transformador con dos devanados	A	MTA_L_116823	MTA_L_116824
116824_MTA-1	Línea aérea por fase	A	MTA_L_116823	MTA_L_116824

Topología - Elementos ramales

Nro. equipo	Código	Fase	Nodo origen	Nodo destino
I116824_MTA-1	Línea aérea por fase	A	MTA_L_116824	IMTA_L_116824
116530_MTA-1	Línea aérea por fase	A	MTA_S_116514	MTA_L_116530
7611_MTA-1	Línea aérea por fase	B	MTA_S_8098	MTA_S_150438
150438_MTA-1	Línea aérea por fase	B	MTA_S_150438	MTA_S_150439
63234	Fusible	B	MTA_S_150439	MTA_S_7613
150439_MTA-1	Línea aérea por fase	B	MTA_S_150439	MTA_S_7613
7107_MTA-1	Línea aérea por fase	B	MTA_S_7613	MTA_L_7107
7108_MTA-1	Línea aérea por fase	B	MTA_L_7107	MTA_L_7108
7109_MTA-1	Línea aérea por fase	B	MTA_L_7108	MTA_L_7109
1241	Fusible	B	MTA_L_7109	MTA_S_14318
10560_MTA-1	Línea aérea por fase	B	MTA_L_7109	MTA_S_14318
15200	Transformador con dos devanados	B	MTA_S_14318	MTA_L_14318
14318_MTA-1	Línea aérea por fase	B	MTA_S_14318	MTA_L_14318
I14318_MTA-1	Línea aérea por fase	B	MTA_L_14318	IMTA_L_14318
7110_MTA-1	Línea aérea por fase	B	MTA_L_7109	MTA_S_7111
7111_MTA-1	Línea aérea por fase	B	MTA_S_7111	MTA_S_7113
7112_MTA-1	Línea aérea por fase	B	MTA_S_7113	MTA_L_7112
7113_MTA-1	Línea aérea por fase	B	MTA_S_7113	MTA_S_11409
2254	Fusible	B	MTA_S_11409	MTA_S_13394
11409_MTA-1	Línea aérea por fase	B	MTA_S_11409	MTA_S_13394
9079	Transformador con dos devanados	B	MTA_S_13394	MTA_L_13394
13394_MTA-1	Línea aérea por fase	B	MTA_S_13394	MTA_L_13394
I13394_MTA-1	Línea aérea por fase	B	MTA_L_13394	IMTA_L_13394
7114_MTA-1	Línea aérea por fase	B	MTA_S_7113	MTA_S_7115
7115_MTA-1	Línea aérea por fase	B	MTA_S_7115	MTA_L_7115
7116_MTA-1	Línea aérea por fase	B	MTA_L_7115	MTA_S_7118
7117_MTA-1	Línea aérea por fase	B	MTA_S_7118	MTA_S_10561
1242	Fusible	B	MTA_S_10561	MTA_S_14319
10561_MTA-1	Línea aérea por fase	B	MTA_S_10561	MTA_S_14319
10734	Transformador con dos devanados	B	MTA_S_14319	MTA_L_14319
14319_MTA-1	Línea aérea por fase	B	MTA_S_14319	MTA_L_14319

Topología - Elementos ramales

Nro. equipo	Código	Fase	Nodo origen	Nodo destino
I14319_MTA-1	Línea aérea por fase	B	MTA_L_14319	IMTA_L_14319
7118_MTA-1	Línea aérea por fase	B	MTA_S_7118	MTA_L_7118
7119_MTA-1	Línea aérea por fase	B	MTA_S_7118	MTA_L_7119
7613_MTA-1	Línea aérea por fase	B	MTA_S_7613	MTA_L_7613
6835_MTA-1	Línea aérea por fase	B	MTA_L_7613	MTA_L_6835
7106_MTA-1	Línea aérea por fase	B	MTA_L_6835	MTA_L_7106
1240	Fusible	B	MTA_L_7106	MTA_S_14317
10559_MTA-1	Línea aérea por fase	B	MTA_L_7106	MTA_S_14317
202	Transformador con dos devanados	B	MTA_S_14317	MTA_L_14317
14317_MTA-1	Línea aérea por fase	B	MTA_S_14317	MTA_L_14317
I14317_MTA-1	Línea aérea por fase	B	MTA_L_14317	IMTA_L_14317
8098_MTA-1	Línea aérea por fase	B	MTA_S_8098	MTA_L_8098
7916_MTA-1	Línea aérea por fase	C	MTA_S_7916	MTA_S_7917
1239	Fusible	C	MTA_S_7917	MTA_S_14316
10558_MTA-1	Línea aérea por fase	C	MTA_S_7917	MTA_S_14316
46	Transformador con dos devanados	C	MTA_S_14316	MTA_L_14316
14316_MTA-1	Línea aérea por fase	C	MTA_S_14316	MTA_L_14316
I14316_MTA-1	Línea aérea por fase	C	MTA_L_14316	IMTA_L_14316
7917_MTA-1	Línea aérea por fase	C	MTA_S_7917	MTA_L_7917
7910_MTA-1	Línea aérea por fase	B	MTA_S_7910	MTA_S_9923
7911_MTA-1	Línea aérea por fase	B	MTA_S_9923	MTA_L_7911
657	Fusible	B	MTA_S_9923	MTA_S_14146
9923_MTA-1	Línea aérea por fase	B	MTA_S_9923	MTA_S_14146
12794	Transformador con dos devanados	B	MTA_S_14146	MTA_L_14146
14146_MTA-1	Línea aérea por fase	B	MTA_S_14146	MTA_L_14146
I14146_MTA-1	Línea aérea por fase	B	MTA_L_14146	IMTA_L_14146
8077_MTA-1	Línea aérea por fase	ABC	MTA_S_7265	MTA_L_8077
24214	Fusible	ABC	MTA_L_8077	MTA_S_70446
70445_MTA-1	Línea aérea por fase	ABC	MTA_L_8077	MTA_S_70446
70446_MTA-1	Línea aérea por fase	ABC	MTA_S_70446	MTA_L_70446
8079_MTA-1	Línea aérea por fase	ABC	MTA_L_70446	MTA_S_8080

Topología - Elementos ramales

Nro. equipo	Código	Fase	Nodo origen	Nodo destino
6395_MTA-1	Línea aérea por fase	ABC	MTA_S_8080	MTA_S_70690
70690_MTA-1	Línea aérea por fase	ABC	MTA_S_70690	MTA_L_70690
24213	Fusible	ABC	MTA_L_70690	MTA_L_70444
70444_MTA-1	Línea aérea por fase	ABC	MTA_L_70690	MTA_L_70444
6397_MTA-1	Línea aérea por fase	ABC	MTA_L_70444	MTA_L_6397
6398_MTA-1	Línea aérea por fase	ABC	MTA_L_6397	MTA_L_6398
6399_MTA-1	Línea aérea por fase	ABC	MTA_L_6398	MTA_L_6399
100587	Fusible	A	MTA_L_6399	MTA_S_214500
214499_MTA-1	Línea aérea por fase	A	MTA_L_6399	MTA_S_214500
214500_MTA-1	Línea aérea por fase	A	MTA_S_214500	MTA_S_5943
5943_MTA-1	Línea aérea por fase	A	MTA_S_5943	MTA_S_11881
593	Fusible	A	MTA_S_11881	MTA_S_14448
11881_MTA-1	Línea aérea por fase	A	MTA_S_11881	MTA_S_14448
848	Transformador con dos devanados	A	MTA_S_14448	MTA_L_14448
14448_MTA-1	Línea aérea por fase	A	MTA_S_14448	MTA_L_14448
I14448_MTA-1	Línea aérea por fase	A	MTA_L_14448	IMTA_L_14448
4671_MTA-1	Línea aérea por fase	A	MTA_S_11881	MTA_L_4671
5081_MTA-1	Línea aérea por fase	A	MTA_L_4671	MTA_L_5081
594	Fusible	A	MTA_L_5081	MTA_L_11882
11882_MTA-1	Línea aérea por fase	A	MTA_L_5081	MTA_L_11882
10120	Transformador con dos devanados	A	MTA_L_11882	MTA_L_14449
14449_MTA-1	Línea aérea por fase	A	MTA_L_11882	MTA_L_14449
I14449_MTA-1	Línea aérea por fase	A	MTA_L_14449	IMTA_L_14449
100588	Fusible	ABC	MTA_L_6399	MTA_S_214503
214502_MTA-1	Línea aérea por fase	ABC	MTA_L_6399	MTA_S_214503
17164	Transformador con dos devanados	ABC	MTA_S_214503	MTA_L_214503
214503_MTA-1	Línea aérea por fase	ABC	MTA_S_214503	MTA_L_214503
I214503_MTA-1	Línea aérea por fase	ABC	MTA_L_214503	IMTA_L_214503
29073	Fusible	ABC	MTA_S_8080	MTA_L_79645
79645_MTA-1	Línea aérea por fase	ABC	MTA_S_8080	MTA_L_79645
79646_MTA-1	Línea aérea por fase	ABC	MTA_L_79645	MTA_L_79646

Topología - Elementos ramales

Nro. equipo	Código	Fase	Nodo origen	Nodo destino
6393_MTA-1	Línea aérea por fase	ABC	MTA_L_79646	MTA_S_14569
14569_MTA-1	Línea aérea por fase	ABC	MTA_S_14569	MTA_L_14569
591	Fusible	B	MTA_L_14569	MTA_L_14570
14570_MTA-1	Línea aérea por fase	B	MTA_L_14569	MTA_L_14570
10875	Transformador con dos devanados	B	MTA_L_14570	MTA_L_14446
14446_MTA-1	Línea aérea por fase	B	MTA_L_14570	MTA_L_14446
I14446_MTA-1	Línea aérea por fase	B	MTA_L_14446	IMTA_L_14446
14571_MTA-1	Línea aérea por fase	C	MTA_S_14569	MTA_L_14571
6394_MTA-1	Línea aérea por fase	C	MTA_S_14569	MTA_S_11880
592	Fusible	C	MTA_S_11880	MTA_L_11880
11880_MTA-1	Línea aérea por fase	C	MTA_S_11880	MTA_L_11880
709	Transformador con dos devanados	C	MTA_L_11880	MTA_L_14447
14447_MTA-1	Línea aérea por fase	C	MTA_L_11880	MTA_L_14447
I14447_MTA-1	Línea aérea por fase	C	MTA_L_14447	IMTA_L_14447
8080_MTA-1	Línea aérea por fase	ABC	MTA_S_8080	MTA_S_5082
5082_MTA-1	Línea aérea por fase	ABC	MTA_S_5082	MTA_L_5082
14725	Interruptor seccionador	ABC	MTA_L_5082	MTA_L_118739
118739_MTA-1	Línea aérea por fase	ABC	MTA_L_5082	MTA_L_118739
118740_MTA-1	Línea aérea por fase	ABC	MTA_L_118739	MTA_S_5084
5084_MTA-1	Línea aérea por fase	ABC	MTA_S_5084	MTA_L_5084
6314_MTA-1	Línea aérea por fase	ABC	MTA_L_5084	MTA_L_6314
595	Fusible	ABC	MTA_L_6314	MTA_L_11883
11883_MTA-1	Línea aérea por fase	ABC	MTA_L_6314	MTA_L_11883
16858	Transformador con dos devanados	ABC	MTA_L_11883	MTA_L_14450
14450_MTA-1	Línea aérea por fase	ABC	MTA_L_11883	MTA_L_14450
I14450_MTA-1	Línea aérea por fase	ABC	MTA_L_14450	IMTA_L_14450
6315_MTA-1	Línea aérea por fase	ABC	MTA_L_5084	MTA_S_4715
4715_MTA-1	Línea aérea por fase	ABC	MTA_S_4715	MTA_S_118741
49174	Fusible	ABC	MTA_S_118741	MTA_S_118742
118741_MTA-1	Línea aérea por fase	ABC	MTA_S_118741	MTA_S_118742
118742_MTA-1	Línea aérea por fase	ABC	MTA_S_118742	MTA_S_4717

Topología - Elementos ramales

Nro. equipo	Código	Fase	Nodo origen	Nodo destino
4717_MTA-1	Línea aérea por fase	ABC	MTA_S_4717	MTA_L_4717
4342	Fusible	A	MTA_L_4717	MTA_S_16610
16609_MTA-1	Línea aérea por fase	A	MTA_L_4717	MTA_S_16610
2702	Transformador con dos devanados	A	MTA_S_16610	MTA_L_16610
16610_MTA-1	Línea aérea por fase	A	MTA_S_16610	MTA_L_16610
I16610_MTA-1	Línea aérea por fase	A	MTA_L_16610	IMTA_L_16610
4718_MTA-1	Línea aérea por fase	ABC	MTA_L_4717	MTA_S_167451
71454	Fusible	ABC	MTA_S_167451	MTA_L_167451
167451_MTA-1	Línea aérea por fase	ABC	MTA_S_167451	MTA_L_167451
167452_MTA-1	Línea aérea por fase	ABC	MTA_L_167451	MTA_S_11884
596	Fusible	ABC	MTA_S_11884	MTA_L_11884
11884_MTA-1	Línea aérea por fase	ABC	MTA_S_11884	MTA_L_11884
715	Transformador con dos devanados	ABC	MTA_L_11884	MTA_L_14451
14451_MTA-1	Línea aérea por fase	ABC	MTA_L_11884	MTA_L_14451
I14451_MTA-1	Línea aérea por fase	ABC	MTA_L_14451	IMTA_L_14451
5950_MTA-1	Línea aérea por fase	ABC	MTA_S_167451	MTA_L_5950
5951_MTA-1	Línea aérea por fase	ABC	MTA_L_5950	MTA_L_5951
5952_MTA-1	Línea aérea por fase	ABC	MTA_L_5951	MTA_S_5953
5953_MTA-1	Línea aérea por fase	ABC	MTA_S_5953	MTA_S_11885
597	Fusible	ABC	MTA_S_11885	MTA_S_14452
11885_MTA-1	Línea aérea por fase	ABC	MTA_S_11885	MTA_S_14452
716	Transformador con dos devanados	ABC	MTA_S_14452	MTA_L_14452
14452_MTA-1	Línea aérea por fase	ABC	MTA_S_14452	MTA_L_14452
I14452_MTA-1	Línea aérea por fase	ABC	MTA_L_14452	IMTA_L_14452
5956_MTA-1	Línea aérea por fase	ABC	MTA_S_11885	MTA_L_5956
5957_MTA-1	Línea aérea por fase	ABC	MTA_L_5956	MTA_L_5957
72218	Fusible	ABC	MTA_L_5957	MTA_L_168743
168743_MTA-1	Línea aérea por fase	ABC	MTA_L_5957	MTA_L_168743
168744_MTA-1	Línea aérea por fase	ABC	MTA_L_168743	MTA_L_168744
5959_MTA-1	Línea aérea por fase	ABC	MTA_L_168744	MTA_L_5959
5960_MTA-1	Línea aérea por fase	ABC	MTA_L_5959	MTA_L_5960

Topología - Elementos ramales

Nro. equipo	Código	Fase	Nodo origen	Nodo destino
2441	Fusible	AB	MTA_L_5960	MTA_S_13569
11582_MTA-1	Línea aérea por fase	AB	MTA_L_5960	MTA_S_13569
719;720	Transformador con dos devanados	AB	MTA_S_13569	MTA_L_13569
13569_MTA-1	Línea aérea por fase	AB	MTA_S_13569	MTA_L_13569
l13569_MTA-1	Línea aérea por fase	AB	MTA_L_13569	IMTA_L_13569
5853_MTA-1	Línea aérea por fase	ABC	MTA_L_5957	MTA_S_63973
5854_MTA-1	Línea aérea por fase	ABC	MTA_S_63973	MTA_L_5854
21864	Interruptor seccionador	ABC	MTA_L_5854	MTA_L_168745
168745_MTA-1	Línea aérea por fase	ABC	MTA_L_5854	MTA_L_168745
63742_MTA-1	Línea aérea por fase	ABC	MTA_L_168745	MTA_S_5856
600	Fusible	C	MTA_S_5856	MTA_L_11888
11888_MTA-1	Línea aérea por fase	C	MTA_S_5856	MTA_L_11888
722	Transformador con dos devanados	C	MTA_L_11888	MTA_L_14455
14455_MTA-1	Línea aérea por fase	C	MTA_L_11888	MTA_L_14455
l14455_MTA-1	Línea aérea por fase	C	MTA_L_14455	IMTA_L_14455
217365_MTA-1	Línea aérea por fase	ABC	MTA_S_217365	MTA_S_5856
27908	Interruptor seccionador	ABC	MTA_S_217364	MTA_S_217365
217364_MTA-1	Línea aérea por fase	ABC	MTA_S_217364	MTA_S_217365
217104_MTA-1	Línea aérea por fase	ABC	MTA_S_217104	MTA_S_217364
217106_MTA-1	Línea aérea por fase	ABC	MTA_S_217106	MTA_S_217104
8072_MTA-1	Línea aérea por fase	A	MTA_S_217104	MTA_S_8073
8073_MTA-1	Línea aérea por fase	A	MTA_S_8073	MTA_S_8074
8074_MTA-1	Línea aérea por fase	A	MTA_S_8074	MTA_S_8075
8075_MTA-1	Línea aérea por fase	A	MTA_S_8075	MTA_S_117823
117823_MTA-1	Línea aérea por fase	A	MTA_S_117823	MTA_S_117824
117821_MTA-1	Línea aérea por fase	A	MTA_S_117821	MTA_S_117824
117822_MTA-1	Línea aérea por fase	A	MTA_S_117824	MTA_S_117820
117820_MTA-1	Línea aérea por fase	A	MTA_S_117820	MTA_S_117826
49164	Fusible	A	MTA_S_117826	MTA_S_117827
117826_MTA-1	Línea aérea por fase	A	MTA_S_117826	MTA_S_117827
13164	Transformador con dos devanados	A	MTA_S_117827	MTA_L_117827

Topología - Elementos ramales

Nro. equipo	Código	Fase	Nodo origen	Nodo destino
117827_MTA-1	Línea aérea por fase	A	MTA_S_117827	MTA_L_117827
l117827_MTA-1	Línea aérea por fase	A	MTA_L_117827	IMTA_L_117827
117824_MTA-1	Línea aérea por fase	A	MTA_S_117824	MTA_S_11879
590	Fusible	A	MTA_S_11879	MTA_S_14445
11879_MTA-1	Línea aérea por fase	A	MTA_S_11879	MTA_S_14445
1460	Transformador con dos devanados	A	MTA_S_14445	MTA_L_14445
14445_MTA-1	Línea aérea por fase	A	MTA_S_14445	MTA_L_14445
l14445_MTA-1	Línea aérea por fase	A	MTA_L_14445	IMTA_L_14445
5856_MTA-1	Línea aérea por fase	ABC	MTA_S_5856	MTA_S_5857
5857_MTA-1	Línea aérea por fase	ABC	MTA_S_5857	MTA_L_5857
1233	Fusible	ABC	MTA_L_5857	MTA_L_10554
10554_MTA-1	Línea aérea por fase	ABC	MTA_L_5857	MTA_L_10554
15720	Transformador con dos devanados	ABC	MTA_L_10554	MTA_L_14312
14312_MTA-1	Línea aérea por fase	ABC	MTA_L_10554	MTA_L_14312
l14312_MTA-1	Línea aérea por fase	ABC	MTA_L_14312	IMTA_L_14312
5858_MTA-1	Línea aérea por fase	ABC	MTA_L_5857	MTA_S_5859
5859_MTA-1	Línea aérea por fase	ABC	MTA_S_5859	MTA_S_11889
601	Fusible	ABC	MTA_S_11889	MTA_L_11889
11889_MTA-1	Línea aérea por fase	ABC	MTA_S_11889	MTA_L_11889
724;725;723	Transformador con dos devanados	ABC	MTA_L_11889	MTA_L_14456
14456_MTA-1	Línea aérea por fase	ABC	MTA_L_11889	MTA_L_14456
l14456_MTA-1	Línea aérea por fase	ABC	MTA_L_14456	IMTA_L_14456
5860_MTA-1	Línea aérea por fase	ABC	MTA_S_11889	MTA_S_120393
49813	Fusible	C	MTA_S_120393	MTA_L_120393
120393_MTA-1	Línea aérea por fase	C	MTA_S_120393	MTA_L_120393
120394_MTA-1	Línea aérea por fase	C	MTA_L_120393	MTA_L_120394
50107	Fusible	C	MTA_L_120394	MTA_L_119912
119912_MTA-1	Línea aérea por fase	C	MTA_L_120394	MTA_L_119912
119913_MTA-1	Línea aérea por fase	C	MTA_L_119912	MTA_S_9909
643	Fusible	C	MTA_S_9909	MTA_L_9909
9909_MTA-1	Línea aérea por fase	C	MTA_S_9909	MTA_L_9909

Topología - Elementos ramales

Nro. equipo	Código	Fase	Nodo origen	Nodo destino
6385	Transformador con dos devanados	C	MTA_L_9909	MTA_L_14132
14132_MTA-1	Línea aérea por fase	C	MTA_L_9909	MTA_L_14132
l14132_MTA-1	Línea aérea por fase	C	MTA_L_14132	IMTA_L_14132
6487_MTA-1	Línea aérea por fase	C	MTA_L_120394	MTA_L_6487
6661_MTA-1	Línea aérea por fase	C	MTA_L_6487	MTA_S_9910
120395_MTA-1	Línea aérea por fase	C	MTA_S_9910	MTA_S_120396
49814	Fusible	C	MTA_S_120396	MTA_L_120396
120396_MTA-1	Línea aérea por fase	C	MTA_S_120396	MTA_L_120396
6489_MTA-1	Línea aérea por fase	C	MTA_L_120396	MTA_L_6489
6490_MTA-1	Línea aérea por fase	C	MTA_L_6489	MTA_S_120397
120397_MTA-1	Línea aérea por fase	C	MTA_S_120397	MTA_S_120398
120398_MTA-1	Línea aérea por fase	C	MTA_S_120398	MTA_S_6492
1284	Fusible	C	MTA_S_6492	MTA_S_12604
10599_MTA-1	Línea aérea por fase	C	MTA_S_6492	MTA_S_12604
728	Transformador con dos devanados	C	MTA_S_12604	MTA_L_12604
12604_MTA-1	Línea aérea por fase	C	MTA_S_12604	MTA_L_12604
l12604_MTA-1	Línea aérea por fase	C	MTA_L_12604	IMTA_L_12604
6492_MTA-1	Línea aérea por fase	C	MTA_S_6492	MTA_S_6404
6404_MTA-1	Línea aérea por fase	C	MTA_S_6404	MTA_S_6405
6405_MTA-1	Línea aérea por fase	C	MTA_S_6405	MTA_S_6406
6406_MTA-1	Línea aérea por fase	C	MTA_S_6406	MTA_S_6407
6407_MTA-1	Línea aérea por fase	C	MTA_S_6407	MTA_S_9912
120399_MTA-1	Línea aérea por fase	C	MTA_S_9912	MTA_L_120399
120400_MTA-1	Línea aérea por fase	C	MTA_L_120399	MTA_L_120400
24795	Fusible	C	MTA_L_120400	MTA_S_120677
71641_MTA-1	Línea aérea por fase	C	MTA_L_120400	MTA_S_120677
120677_MTA-1	Línea aérea por fase	C	MTA_S_120677	MTA_S_120678
120678_MTA-1	Línea aérea por fase	C	MTA_S_120678	MTA_S_7568
24216	Fusible	C	MTA_S_7568	MTA_S_71639
71638_MTA-1	Línea aérea por fase	C	MTA_S_7568	MTA_S_71639
71639_MTA-1	Transformador con dos devanados	C	MTA_S_71639	MTA_L_71639

Topología - Elementos ramales

Nro. equipo	Código	Fase	Nodo origen	Nodo destino
71639_MTA-1	Línea aérea por fase	C	MTA_S_71639	MTA_L_71639
I71639_MTA-1	Línea aérea por fase	C	MTA_L_71639	IMTA_L_71639
7568_MTA-1	Línea aérea por fase	C	MTA_S_7568	MTA_S_7569
7569_MTA-1	Línea aérea por fase	C	MTA_S_7569	MTA_L_7569
648	Fusible	C	MTA_L_7569	MTA_S_14137
9914_MTA-1	Línea aérea por fase	C	MTA_L_7569	MTA_S_14137
11283	Transformador con dos devanados	C	MTA_S_14137	MTA_L_14137
14137_MTA-1	Línea aérea por fase	C	MTA_S_14137	MTA_L_14137
I14137_MTA-1	Línea aérea por fase	C	MTA_L_14137	IMTA_L_14137
647	Fusible	C	MTA_S_7569	MTA_L_9913
9913_MTA-1	Línea aérea por fase	C	MTA_S_7569	MTA_L_9913
12388	Transformador con dos devanados	C	MTA_L_9913	MTA_L_14136
14136_MTA-1	Línea aérea por fase	C	MTA_L_9913	MTA_L_14136
I14136_MTA-1	Línea aérea por fase	C	MTA_L_14136	IMTA_L_14136
193388_MTA	Línea aérea por fase	C	MTA_S_120677	MTA_L_193388
84590	Fusible	C	MTA_L_193388	MTA_S_193383
193389_MTA	Línea aérea por fase	C	MTA_L_193388	MTA_S_193383
193383_MTA	Línea aérea por fase	C	MTA_S_193383	MTA_S_193384
193384_MTA	Línea aérea por fase	C	MTA_S_193384	MTA_S_193385
193385_MTA	Línea aérea por fase	C	MTA_S_193385	MTA_S_193386
193386_MTA	Línea aérea por fase	C	MTA_S_193386	MTA_L_193386
193387_MTA	Línea aérea por fase	C	MTA_L_193386	MTA_S_193391
84591	Fusible	C	MTA_S_193391	MTA_L_193391
193391_MTA	Línea aérea por fase	C	MTA_S_193391	MTA_L_193391
17329	Transformador con dos devanados	C	MTA_L_193391	MTA_L_193392
193392_MTA	Línea aérea por fase	C	MTA_L_193391	MTA_L_193392
I193392_MTA	Línea aérea por fase	C	MTA_L_193392	IMTA_L_193392
646	Fusible	C	MTA_S_9912	MTA_L_9912
9912_MTA-1	Línea aérea por fase	C	MTA_S_9912	MTA_L_9912
13536	Transformador con dos devanados	C	MTA_L_9912	MTA_L_14135
14135_MTA-1	Línea aérea por fase	C	MTA_L_9912	MTA_L_14135

Topología - Elementos ramales

Nro. equipo	Código	Fase	Nodo origen	Nodo destino
I14135_MTA-1	Línea aérea por fase	C	MTA_L_14135	IMTA_L_14135
201376_MTA-1	Línea aérea por fase	C	MTA_S_120397	MTA_L_201376
89696	Fusible	C	MTA_L_201376	MTA_S_190172
201377_MTA-1	Línea aérea por fase	C	MTA_L_201376	MTA_S_190172
82341	Fusible	C	MTA_S_190172	MTA_S_190173
190172_MTA-1	Línea aérea por fase	C	MTA_S_190172	MTA_S_190173
18081	Transformador con dos devanados	C	MTA_S_190173	MTA_L_190173
190173_MTA-1	Línea aérea por fase	C	MTA_S_190173	MTA_L_190173
I190173_MTA-1	Línea aérea por fase	C	MTA_L_190173	IMTA_L_190173
645	Fusible	C	MTA_S_120397	MTA_S_14134
9911_MTA-1	Línea aérea por fase	C	MTA_S_120397	MTA_S_14134
727	Transformador con dos devanados	C	MTA_S_14134	MTA_L_14134
14134_MTA-1	Línea aérea por fase	C	MTA_S_14134	MTA_L_14134
I14134_MTA-1	Línea aérea por fase	C	MTA_L_14134	IMTA_L_14134
644	Fusible	C	MTA_S_9910	MTA_L_9910
9910_MTA-1	Línea aérea por fase	C	MTA_S_9910	MTA_L_9910
6110	Transformador con dos devanados	C	MTA_L_9910	MTA_L_14133
14133_MTA-1	Línea aérea por fase	C	MTA_L_9910	MTA_L_14133
I14133_MTA-1	Línea aérea por fase	C	MTA_L_14133	IMTA_L_14133
22132	Fusible	A	MTA_S_63973	MTA_S_63974
63973_MTA-1	Línea aérea por fase	A	MTA_S_63973	MTA_S_63974
37	Transformador con dos devanados	A	MTA_S_63974	MTA_L_63974
63974_MTA-1	Línea aérea por fase	A	MTA_S_63974	MTA_L_63974
I63974_MTA-1	Línea aérea por fase	A	MTA_L_63974	IMTA_L_63974
65862_MTA-1	Línea aérea por fase	A	MTA_S_11885	MTA_L_65862
22428	Fusible	A	MTA_L_65862	MTA_L_65863
65863_MTA-1	Línea aérea por fase	A	MTA_L_65862	MTA_L_65863
5955_MTA-1	Línea aérea por fase	A	MTA_L_65863	MTA_S_5961
5961_MTA-1	Línea aérea por fase	A	MTA_S_5961	MTA_L_5961
5844_MTA-1	Línea aérea por fase	A	MTA_L_5961	MTA_S_14575
14575_MTA-1	Línea aérea por fase	A	MTA_S_14575	MTA_L_14575

Topología - Elementos ramales

Nro. equipo	Código	Fase	Nodo origen	Nodo destino
5845_MTA-1	Línea aérea por fase	A	MTA_S_14575	MTA_S_5846
5846_MTA-1	Línea aérea por fase	A	MTA_S_5846	MTA_L_5846
5847_MTA-1	Línea aérea por fase	A	MTA_L_5846	MTA_S_5848
5848_MTA-1	Línea aérea por fase	A	MTA_S_5848	MTA_L_5848
5849_MTA-1	Línea aérea por fase	A	MTA_L_5848	MTA_S_11886
598	Fusible	A	MTA_S_11886	MTA_S_14453
11886_MTA-1	Línea aérea por fase	A	MTA_S_11886	MTA_S_14453
3909	Transformador con dos devanados	A	MTA_S_14453	MTA_L_14453
14453_MTA-1	Línea aérea por fase	A	MTA_S_14453	MTA_L_14453
l14453_MTA-1	Línea aérea por fase	A	MTA_L_14453	IMTA_L_14453
22427	Fusible	A	MTA_L_5848	MTA_L_65860
65860_MTA-1	Línea aérea por fase	A	MTA_L_5848	MTA_L_65860
13555	Transformador con dos devanados	A	MTA_L_65860	MTA_L_65861
65861_MTA-1	Línea aérea por fase	A	MTA_L_65860	MTA_L_65861
l65861_MTA-1	Línea aérea por fase	A	MTA_L_65861	IMTA_L_65861
5850_MTA-1	Línea aérea por fase	A	MTA_S_14575	MTA_L_5850
5851_MTA-1	Línea aérea por fase	A	MTA_L_5850	MTA_L_5851
5852_MTA-1	Línea aérea por fase	A	MTA_L_5851	MTA_L_5852
599	Fusible	A	MTA_L_5852	MTA_S_14454
11887_MTA-1	Línea aérea por fase	A	MTA_L_5852	MTA_S_14454
718	Transformador con dos devanados	A	MTA_S_14454	MTA_L_14454
14454_MTA-1	Línea aérea por fase	A	MTA_S_14454	MTA_L_14454
l14454_MTA-1	Línea aérea por fase	A	MTA_L_14454	IMTA_L_14454
4343	Fusible	B	MTA_L_5082	MTA_L_16932
16932_MTA-1	Línea aérea por fase	B	MTA_L_5082	MTA_L_16932
1163	Transformador con dos devanados	B	MTA_L_16932	MTA_L_16933
16933_MTA-1	Línea aérea por fase	B	MTA_L_16932	MTA_L_16933
l16933_MTA-1	Línea aérea por fase	B	MTA_L_16933	IMTA_L_16933
7570_MTA-1	Línea aérea por fase	ABC	MTA_S_5082	MTA_S_7571
7571_MTA-1	Línea aérea por fase	ABC	MTA_S_7571	MTA_S_7572
7572_MTA-1	Línea aérea por fase	ABC	MTA_S_7572	MTA_L_7572

Topología - Elementos ramales

Nro. equipo	Código	Fase	Nodo origen	Nodo destino
7573_MTA-1	Línea aérea por fase	ABC	MTA_L_7572	MTA_S_11413
2259	Fusible	B	MTA_S_11413	MTA_L_11413
11413_MTA-1	Línea aérea por fase	B	MTA_S_11413	MTA_L_11413
14494	Transformador con dos devanados	B	MTA_L_11413	MTA_L_13398
13398_MTA-1	Línea aérea por fase	B	MTA_L_11413	MTA_L_13398
l13398_MTA-1	Línea aérea por fase	B	MTA_L_13398	IMTA_L_13398
120668_MTA-1	Línea aérea por fase	ABC	MTA_S_11413	MTA_L_120668
14727	Interruptor seccionador	ABC	MTA_L_120668	MTA_S_120672
120669_MTA-1	Línea aérea por fase	ABC	MTA_L_120668	MTA_S_120672
120672_MTA-1	Línea aérea por fase	A	MTA_S_120672	MTA_S_120673
50112	Fusible	A	MTA_S_120673	MTA_S_120674
120673_MTA-1	Línea aérea por fase	A	MTA_S_120673	MTA_S_120674
120674_MTA-1	Línea aérea por fase	A	MTA_S_120674	MTA_S_7585
7585_MTA-1	Línea aérea por fase	A	MTA_S_7585	MTA_S_7586
7586_MTA-1	Línea aérea por fase	A	MTA_S_7586	MTA_L_7586
649	Fusible	A	MTA_L_7586	MTA_L_9915
9915_MTA-1	Línea aérea por fase	A	MTA_L_7586	MTA_L_9915
730	Transformador con dos devanados	A	MTA_L_9915	MTA_L_14138
14138_MTA-1	Línea aérea por fase	A	MTA_L_9915	MTA_L_14138
l14138_MTA-1	Línea aérea por fase	A	MTA_L_14138	IMTA_L_14138
7575_MTA-1	Línea aérea por fase	ABC	MTA_S_120672	MTA_L_7575
7576_MTA-1	Línea aérea por fase	ABC	MTA_L_7575	MTA_S_7577
51482	Fusible	B	MTA_S_7577	MTA_L_125876
125876_MTA-1	Línea aérea por fase	B	MTA_S_7577	MTA_L_125876
125877_MTA-1	Línea aérea por fase	B	MTA_L_125876	MTA_S_7588
7588_MTA-1	Línea aérea por fase	B	MTA_S_7588	MTA_S_7589
7589_MTA-1	Línea aérea por fase	B	MTA_S_7589	MTA_S_9917
651	Fusible	B	MTA_S_9917	MTA_S_14139
9916_MTA-1	Línea aérea por fase	B	MTA_S_9917	MTA_S_14139
7435	Transformador con dos devanados	B	MTA_S_14139	MTA_L_14139
14139_MTA-1	Línea aérea por fase	B	MTA_S_14139	MTA_L_14139

Topología - Elementos ramales

Nro. equipo	Código	Fase	Nodo origen	Nodo destino
I14139_MTA-1	Línea aérea por fase	B	MTA_L_14139	IMTA_L_14139
650	Fusible	B	MTA_S_9917	MTA_S_14140
9917_MTA-1	Línea aérea por fase	B	MTA_S_9917	MTA_S_14140
7714	Transformador con dos devanados	B	MTA_S_14140	MTA_L_14140
14140_MTA-1	Línea aérea por fase	B	MTA_S_14140	MTA_L_14140
I14140_MTA-1	Línea aérea por fase	B	MTA_L_14140	IMTA_L_14140
7577_MTA-1	Línea aérea por fase	ABC	MTA_S_7577	MTA_L_7577
7578_MTA-1	Línea aérea por fase	ABC	MTA_L_7577	MTA_L_7578
14576_MTA-1	Línea aérea por fase	C	MTA_L_7578	MTA_L_14576
7579_MTA-1	Línea aérea por fase	ABC	MTA_L_7578	MTA_S_7580
7580_MTA-1	Línea aérea por fase	ABC	MTA_S_7580	MTA_L_7580
7581_MTA-1	Línea aérea por fase	ABC	MTA_L_7580	MTA_L_7581
15042	Interruptor seccionador	ABC	MTA_L_7581	MTA_L_125884
125884_MTA-1	Línea aérea por fase	ABC	MTA_L_7581	MTA_L_125884
125885_MTA-1	Línea aérea por fase	ABC	MTA_L_125884	MTA_S_4765
4765_MTA-1	Línea aérea por fase	ABC	MTA_S_4765	MTA_L_4765
125890_MTA-1	Línea aérea por fase	ABC	MTA_L_4765	MTA_S_126111
20227	Interruptor seccionador	ABC	MTA_S_126111	MTA_S_4767
126111_MTA-1	Línea aérea por fase	ABC	MTA_S_126111	MTA_S_4767
4767_MTA-1	Línea aérea por fase	ABC	MTA_S_4767	MTA_S_162985
68895	Fusible	ABC	MTA_S_162985	MTA_L_162985
162985_MTA-1	Línea aérea por fase	ABC	MTA_S_162985	MTA_L_162985
162986_MTA-1	Línea aérea por fase	ABC	MTA_L_162985	MTA_L_162986
1612_MTA-1	Línea aérea por fase	ABC	MTA_L_162986	MTA_L_1612
1613_MTA-1	Línea aérea por fase	ABC	MTA_L_1612	MTA_S_1614
14568_MTA-1	Línea aérea por fase	ABC	MTA_S_1614	MTA_L_14568
1614_MTA-1	Línea aérea por fase	ABC	MTA_S_1614	MTA_L_1614
168760_MTA-1	Línea aérea por fase	A	MTA_S_168760	MTA_L_1614
51493	Fusible	A	MTA_S_168760	MTS_L_33283
33283_MTS-1	Cable	A	MTA_S_168760	MTS_L_33283
33285_MTS-1	Cable	A	MTS_L_33283	MTS_L_33285

Topología - Elementos ramales

Nro. equipo	Código	Fase	Nodo origen	Nodo destino
33287_MTS-1	Cable	A	MTS_L_33285	MTS_L_33287
21848	Interruptor seccionador	A	MTS_L_33287	MTS_L_33289
33289_MTS-1	Cable	A	MTS_L_33287	MTS_L_33289
33290_MTS-1	Cable	A	MTS_L_33289	MTS_L_33290
29944	Fusible	A	MTS_L_33290	MTS_L_9594
9594_MTS-1	Cable	A	MTS_L_33290	MTS_L_9594
16619	Transformador con dos devanados	A	MTS_L_9594	MTS_L_9593
9593_MTS-1	Cable	A	MTS_L_9594	MTS_L_9593
19593_MTS-1	Cable	A	MTS_L_9593	IMTS_L_9593
1615_MTA-1	Línea aérea por fase	ABC	MTA_S_1614	MTA_L_1615
1616_MTA-1	Línea aérea por fase	ABC	MTA_L_1615	MTA_S_11583
2442	Fusible	B	MTA_S_11583	MTA_S_13570
11583_MTA-1	Línea aérea por fase	B	MTA_S_11583	MTA_S_13570
737	Transformador con dos devanados	B	MTA_S_13570	MTA_L_13570
13570_MTA-1	Línea aérea por fase	B	MTA_S_13570	MTA_L_13570
I13570_MTA-1	Línea aérea por fase	B	MTA_L_13570	IMTA_L_13570
70188	Fusible	ABC	MTA_S_11583	MTA_S_164598
164597_MTA-1	Línea aérea por fase	ABC	MTA_S_11583	MTA_S_164598
164598_MTA-1	Línea aérea por fase	ABC	MTA_S_164598	MTA_L_164598
130351_MTA-1	Línea aérea por fase	ABC	MTA_L_164598	MTA_S_1617
1617_MTA-1	Línea aérea por fase	ABC	MTA_S_1617	MTA_L_1617
2433	Fusible	AB	MTA_L_1617	MTA_S_13561
11574_MTA-1	Línea aérea por fase	AB	MTA_L_1617	MTA_S_13561
5648;4255	Transformador con dos devanados	AB	MTA_S_13561	MTA_L_13561
13561_MTA-1	Línea aérea por fase	AB	MTA_S_13561	MTA_L_13561
I13561_MTA-1	Línea aérea por fase	AB	MTA_L_13561	IMTA_L_13561
15958_MTS-1	Cable	A	MTA_L_1617	MTS_L_15958
15957_MTS-1	Cable	A	MTS_L_15958	MTS_L_15957
7975_MTA-1	Línea aérea por fase	ABC	MTA_L_1617	MTA_S_7029
7029_MTA-1	Línea aérea por fase	ABC	MTA_S_7029	MTS_S_47061
47061_MTS-1	Cable	ABC	MTS_S_47061	MTS_L_47061

Topología - Elementos ramales

Nro. equipo	Código	Fase	Nodo origen	Nodo destino
92915	Fusible	ABC	MTS_L_47061	MTS_L_47062
47062_MTS-1	Cable	ABC	MTS_L_47061	MTS_L_47062
47058_MTS-1	Cable	ABC	MTS_L_47062	MTS_L_47058
47059_MTS-1	Cable	ABC	MTS_L_47058	MTS_L_47059
92916	Fusible	ABC	MTS_L_47059	MTS_L_47063
47063_MTS-1	Cable	ABC	MTS_L_47059	MTS_L_47063
18156	Transformador con dos devanados	ABC	MTS_L_47063	MTS_L_47064
47064_MTS-1	Cable	ABC	MTS_L_47063	MTS_L_47064
I47064_MTS-1	Cable	ABC	MTS_L_47064	IMTS_L_47064
7234_MTA-1	Línea aérea por fase	A	MTS_S_47061	MTA_S_11575
2434	Fusible	A	MTA_S_11575	MTA_L_11575
11575_MTA-1	Línea aérea por fase	A	MTA_S_11575	MTA_L_11575
4430	Transformador con dos devanados	A	MTA_L_11575	MTA_L_13562
13562_MTA-1	Línea aérea por fase	A	MTA_L_11575	MTA_L_13562
I13562_MTA-1	Línea aérea por fase	A	MTA_L_13562	IMTA_L_13562
7235_MTA-1	Línea aérea por fase	A	MTS_S_47061	MTA_L_7235
7236_MTA-1	Línea aérea por fase	A	MTA_L_7235	MTA_L_7236
7237_MTA-1	Línea aérea por fase	A	MTA_L_7236	MTA_S_7238
7238_MTA-1	Línea aérea por fase	A	MTA_S_7238	MTA_S_6449
6449_MTA-1	Línea aérea por fase	A	MTA_S_6449	MTA_L_6449
2454	Fusible	A	MTA_L_6449	MTA_S_13582
11595_MTA-1	Línea aérea por fase	A	MTA_L_6449	MTA_S_13582
631	Transformador con dos devanados	A	MTA_S_13582	MTA_L_13582
13582_MTA-1	Línea aérea por fase	A	MTA_S_13582	MTA_L_13582
I13582_MTA-1	Línea aérea por fase	A	MTA_L_13582	IMTA_L_13582
6450_MTA-1	Línea aérea por fase	A	MTA_L_6449	MTA_S_132623
2443	Fusible	A	MTA_S_132623	MTA_L_11584
11584_MTA-1	Línea aérea por fase	A	MTA_S_132623	MTA_L_11584
973	Transformador con dos devanados	A	MTA_L_11584	MTA_L_13571
13571_MTA-1	Línea aérea por fase	A	MTA_L_11584	MTA_L_13571
I13571_MTA-1	Línea aérea por fase	A	MTA_L_13571	IMTA_L_13571

Topología - Elementos ramales

Nro. equipo	Código	Fase	Nodo origen	Nodo destino
132623_MTA-1	Línea aérea por fase	A	MTA_S_132623	MTA_S_132625
54913	Fusible	A	MTA_S_132625	MTA_S_132626
132625_MTA-1	Línea aérea por fase	A	MTA_S_132625	MTA_S_132626
132626_MTA-1	Transformador con dos devanados	A	MTA_S_132626	MTA_L_132626
132626_MTA-1	Línea aérea por fase	A	MTA_S_132626	MTA_L_132626
l132626_MTA-1	Línea aérea por fase	A	MTA_L_132626	IMTA_L_132626
1618_MTA-1	Línea aérea por fase	ABC	MTA_S_1617	MTA_L_1618
1619_MTA-1	Línea aérea por fase	ABC	MTA_S_1617	MTA_L_1619
1620_MTA-1	Línea aérea por fase	ABC	MTA_L_1619	MTA_S_132563
132563_MTA-1	Línea aérea por fase	C	MTA_S_132563	MTA_S_132564
54588	Fusible	C	MTA_S_132564	MTA_L_132564
132564_MTA-1	Línea aérea por fase	C	MTA_S_132564	MTA_L_132564
1622_MTA-1	Línea aérea por fase	C	MTA_L_132564	MTA_L_1622
1623_MTA-1	Línea aérea por fase	C	MTA_L_1622	MTA_S_7025
7025_MTA-1	Línea aérea por fase	C	MTA_S_7025	MTA_S_132613
132613_MTA-1	Línea aérea por fase	C	MTA_S_132613	MTA_L_132620
132620_MTA-1	Línea aérea por fase	C	MTA_S_132620	MTA_L_132620
54911	Fusible	C	MTA_S_132620	MTA_S_132617
132621_MTA-1	Línea aérea por fase	C	MTA_S_132620	MTA_S_132617
738	Transformador con dos devanados	C	MTA_S_132617	MTA_L_132617
132617_MTA-1	Línea aérea por fase	C	MTA_S_132617	MTA_L_132617
l132617_MTA-1	Línea aérea por fase	C	MTA_L_132617	IMTA_L_132617
54912	Fusible	C	MTA_S_132620	MTA_L_132622
132622_MTA-1	Línea aérea por fase	C	MTA_S_132620	MTA_L_132622
754	Transformador con dos devanados	C	MTA_L_132622	MTA_L_132619
132619_MTA-1	Línea aérea por fase	C	MTA_L_132622	MTA_L_132619
l132619_MTA-1	Línea aérea por fase	C	MTA_L_132619	IMTA_L_132619
677	Fusible	C	MTA_S_132613	MTA_L_9941
9941_MTA-1	Línea aérea por fase	C	MTA_S_132613	MTA_L_9941
0740	Transformador con dos devanados	C	MTA_L_9941	MTA_L_14164
14164_MTA-1	Línea aérea por fase	C	MTA_L_9941	MTA_L_14164

Topología - Elementos ramales

Nro. equipo	Código	Fase	Nodo origen	Nodo destino
I14164_MTA-1	Línea aérea por fase	C	MTA_L_14164	IMTA_L_14164
676	Fusible	B	MTA_S_132563	MTA_L_9940
9940_MTA-1	Línea aérea por fase	B	MTA_S_132563	MTA_L_9940
16208	Transformador con dos devanados	B	MTA_L_9940	MTA_L_14163
14163_MTA-1	Línea aérea por fase	B	MTA_L_9940	MTA_L_14163
I14163_MTA-1	Línea aérea por fase	B	MTA_L_14163	IMTA_L_14163
7026_MTA-1	Línea aérea por fase	C	MTA_L_164598	MTA_S_7027
7027_MTA-1	Línea aérea por fase	C	MTA_S_7027	MTA_S_7028
2453	Fusible	C	MTA_S_7028	MTA_S_13581
11594_MTA-1	Línea aérea por fase	C	MTA_S_7028	MTA_S_13581
6443	Transformador con dos devanados	C	MTA_S_13581	MTA_L_13581
13581_MTA-1	Línea aérea por fase	C	MTA_S_13581	MTA_L_13581
I13581_MTA-1	Línea aérea por fase	C	MTA_L_13581	IMTA_L_13581
7028_MTA-1	Línea aérea por fase	C	MTA_S_7028	MTA_L_7028
675	Fusible	A	MTA_L_162986	MTA_L_9939
9939_MTA-1	Línea aérea por fase	A	MTA_L_162986	MTA_L_9939
7247	Transformador con dos devanados	A	MTA_L_9939	MTA_L_14162
14162_MTA-1	Línea aérea por fase	A	MTA_L_9939	MTA_L_14162
I14162_MTA-1	Línea aérea por fase	A	MTA_L_14162	IMTA_L_14162
4768_MTA-1	Línea aérea por fase	ABC	MTA_S_162985	MTA_L_4768
181573_MTA-1	Línea aérea por fase	ABC	MTA_L_4768	MTA_L_181573
181574_MTA-1	Línea aérea por fase	ABC	MTA_L_181573	MTA_S_4770
2533	Fusible	A	MTA_S_4770	MTA_S_13657
11670_MTA-1	Línea aérea por fase	A	MTA_S_4770	MTA_S_13657
0744	Transformador con dos devanados	A	MTA_S_13657	MTA_L_13657
13657_MTA-1	Línea aérea por fase	A	MTA_S_13657	MTA_L_13657
I13657_MTA-1	Línea aérea por fase	A	MTA_L_13657	IMTA_L_13657
4770_MTA-1	Línea aérea por fase	ABC	MTA_S_4770	MTA_S_4771
4771_MTA-1	Línea aérea por fase	ABC	MTA_S_4771	MTA_S_4772
4772_MTA-1	Línea aérea por fase	ABC	MTA_S_4772	MTA_L_4772
53038	Fusible	ABC	MTA_L_4772	MTA_L_129939

Topología - Elementos ramales

Nro. equipo	Código	Fase	Nodo origen	Nodo destino
129939_MTA-1	Línea aérea por fase	ABC	MTA_L_4772	MTA_L_129939
129940_MTA-1	Línea aérea por fase	ABC	MTA_L_129939	MTA_S_11671
2534	Fusible	C	MTA_S_11671	MTA_L_11671
11671_MTA-1	Línea aérea por fase	C	MTA_S_11671	MTA_L_11671
7587	Transformador con dos devanados	C	MTA_L_11671	MTA_L_13658
13658_MTA-1	Línea aérea por fase	C	MTA_L_11671	MTA_L_13658
I13658_MTA-1	Línea aérea por fase	C	MTA_L_13658	IMTA_L_13658
4774_MTA-1	Línea aérea por fase	ABC	MTA_S_11671	MTA_L_4774
4775_MTA-1	Línea aérea por fase	ABC	MTA_L_4774	MTA_L_4775
4776_MTA-1	Línea aérea por fase	ABC	MTA_L_4775	MTA_L_4776
4777_MTA-1	Línea aérea por fase	ABC	MTA_L_4776	MTA_S_4782
2535	Fusible	ABC	MTA_S_162335	MTA_S_4782
162335_MTA-1	Línea aérea por fase	ABC	MTA_S_162335	MTA_S_4782
9081;8723;8798	Transformador con dos devanados	ABC	MTA_S_162335	MTA_L_13659
13659_MTA-1	Línea aérea por fase	ABC	MTA_S_162335	MTA_L_13659
I13659_MTA-1	Línea aérea por fase	ABC	MTA_L_13659	IMTA_L_13659
4778_MTA-1	Línea aérea por fase	A	MTA_S_4782	MTA_S_168768
130346_MTA-1	Línea aérea por fase	A	MTA_S_168768	MTA_S_130347
54289	Fusible	A	MTA_S_130347	MTA_S_4780
130347_MTA-1	Línea aérea por fase	A	MTA_S_130347	MTA_S_4780
4780_MTA-1	Línea aérea por fase	A	MTA_S_4780	MTA_S_4781
4781_MTA-1	Línea aérea por fase	A	MTA_S_4781	MTA_S_11673
2536	Fusible	A	MTA_S_11673	MTA_S_13660
11673_MTA-1	Línea aérea por fase	A	MTA_S_11673	MTA_S_13660
10676	Transformador con dos devanados	A	MTA_S_13660	MTA_L_13660
13660_MTA-1	Línea aérea por fase	A	MTA_S_13660	MTA_L_13660
I13660_MTA-1	Línea aérea por fase	A	MTA_L_13660	IMTA_L_13660
168768_MTA-1	Línea aérea por fase	A	MTA_S_168768	MTA_L_168768
54290	Fusible	A	MTA_L_168768	MTS_L_33369
33369_MTS-1	Cable	A	MTA_L_168768	MTS_L_33369
33371_MTS-1	Cable	A	MTS_L_33369	MTS_L_33371

Topología - Elementos ramales

Nro. equipo	Código	Fase	Nodo origen	Nodo destino
33373_MTS-1	Cable	A	MTS_L_33371	MTS_L_33373
33375_MTS-1	Cable	A	MTS_L_33373	MTS_L_33375
33385_MTS-1	Cable	A	MTS_L_33375	MTS_L_33385
21869	Interruptor seccionador	A	MTS_L_33385	MTS_L_33387
33387_MTS-1	Cable	A	MTS_L_33385	MTS_L_33387
33388_MTS-1	Cable	A	MTS_L_33387	MTS_L_33388
1230	Fusible	A	MTS_L_33388	MTS_L_350
350_MTS-1	Cable	A	MTS_L_33388	MTS_L_350
15769	Transformador con dos devanados	A	MTS_L_350	MTS_L_466
466_MTS-1	Cable	A	MTS_L_350	MTS_L_466
I466_MTS-1	Cable	A	MTS_L_466	IMTS_L_466
4782_MTA-1	Línea aérea por fase	ABC	MTA_S_4782	MTA_S_11674
2537	Fusible	C	MTA_S_11674	MTA_S_13661
11674_MTA-1	Línea aérea por fase	C	MTA_S_11674	MTA_S_13661
9568	Transformador con dos devanados	C	MTA_S_13661	MTA_L_13661
13661_MTA-1	Línea aérea por fase	C	MTA_S_13661	MTA_L_13661
I13661_MTA-1	Línea aérea por fase	C	MTA_L_13661	IMTA_L_13661
54287	Fusible	B	MTA_S_11674	MTA_S_130343
130342_MTA-1	Línea aérea por fase	B	MTA_S_11674	MTA_S_130343
8648	Transformador con dos devanados	B	MTA_S_130343	MTA_L_130343
130343_MTA-1	Línea aérea por fase	B	MTA_S_130343	MTA_L_130343
I130343_MTA-1	Línea aérea por fase	B	MTA_L_130343	IMTA_L_130343
4783_MTA-1	Línea aérea por fase	ABC	MTA_S_11674	MTA_L_4783
4784_MTA-1	Línea aérea por fase	ABC	MTA_L_4783	MTA_S_4785
4785_MTA-1	Línea aérea por fase	ABC	MTA_S_4785	MTA_S_7408
4786_MTA-1	Línea aérea por fase	ABC	MTA_S_7408	MTA_S_130344
2542	Fusible	A	MTA_S_130344	MTA_S_13666
11679_MTA-1	Línea aérea por fase	A	MTA_S_130344	MTA_S_13666
13070	Transformador con dos devanados	A	MTA_S_13666	MTA_L_13666
13666_MTA-1	Línea aérea por fase	A	MTA_S_13666	MTA_L_13666
I13666_MTA-1	Línea aérea por fase	A	MTA_L_13666	IMTA_L_13666

Topología - Elementos ramales

Nro. equipo	Código	Fase	Nodo origen	Nodo destino
130344_MTA-1	Línea aérea por fase	B	MTA_S_130344	MTA_S_130345
54288	Fusible	B	MTA_S_130345	MTA_S_7404
130345_MTA-1	Línea aérea por fase	B	MTA_S_130345	MTA_S_7404
7404_MTA-1	Línea aérea por fase	B	MTA_S_7404	MTA_L_7404
7405_MTA-1	Línea aérea por fase	B	MTA_L_7404	MTA_S_7406
7406_MTA-1	Línea aérea por fase	B	MTA_S_7406	MTA_L_7406
7407_MTA-1	Línea aérea por fase	B	MTA_L_7406	MTA_L_7407
674	Fusible	B	MTA_S_7406	MTA_L_9938
9938_MTA-1	Línea aérea por fase	B	MTA_S_7406	MTA_L_9938
14595	Transformador con dos devanados	B	MTA_L_9938	MTA_L_14161
14161_MTA-1	Línea aérea por fase	B	MTA_L_9938	MTA_L_14161
I14161_MTA-1	Línea aérea por fase	B	MTA_L_14161	IMTA_L_14161
7402_MTA-1	Línea aérea por fase	ABC	MTA_S_7408	MTA_L_7402
7408_MTA-1	Línea aérea por fase	ABC	MTA_S_7408	MTA_S_133154
55393	Fusible	ABC	MTA_S_133154	MTA_L_133154
133154_MTA-1	Línea aérea por fase	ABC	MTA_S_133154	MTA_L_133154
133207_MTA-1	Línea aérea por fase	ABC	MTA_L_133154	MTA_L_133207
6881_MTA-1	Línea aérea por fase	ABC	MTA_L_133207	MTA_L_6881
168770_MTA-1	Línea aérea por fase	ABC	MTA_L_6881	MTA_L_168770
55394	Fusible	ABC	MTA_L_168770	MTS_L_33395
33395_MTS-1	Cable	ABC	MTA_L_168770	MTS_L_33395
33397_MTS-1	Cable	ABC	MTS_L_33395	MTS_L_33397
33399_MTS-1	Cable	ABC	MTS_L_33397	MTS_L_33399
33401_MTS-1	Cable	ABC	MTS_L_33399	MTS_L_33401
33403_MTS-1	Cable	ABC	MTS_L_33401	MTS_L_33403
33405_MTS-1	Cable	ABC	MTS_L_33403	MTS_L_33405
33407_MTS-1	Cable	ABC	MTS_L_33405	MTS_L_33407
21871	Interruptor seccionador	ABC	MTS_L_33407	MTS_L_33425
33425_MTS-1	Cable	ABC	MTS_L_33407	MTS_L_33425
33426_MTS-1	Cable	ABC	MTS_L_33425	MTS_L_33426
2437	Fusible	ABC	MTS_L_33426	MTS_L_33428

Topología - Elementos ramales

Nro. equipo	Código	Fase	Nodo origen	Nodo destino
33428_MTS-1	Cable	ABC	MTS_L_33426	MTS_L_33428
12006	Transformador con dos devanados	ABC	MTS_L_33428	MTS_L_33427
33427_MTS-1	Cable	ABC	MTS_L_33428	MTS_L_33427
I33427_MTS-1	Cable	ABC	MTS_L_33427	IMTS_L_33427
6882_MTA-1	Línea aérea por fase	ABC	MTA_L_6881	MTA_L_6882
2538	Fusible	ABC	MTA_L_6882	MTA_S_13662
11675_MTA-1	Línea aérea por fase	ABC	MTA_L_6882	MTA_S_13662
9498;11727;11728	Transformador con dos devanados	ABC	MTA_S_13662	MTA_L_13662
13662_MTA-1	Línea aérea por fase	ABC	MTA_S_13662	MTA_L_13662
I13662_MTA-1	Línea aérea por fase	ABC	MTA_L_13662	IMTA_L_13662
6517_MTA-1	Línea aérea por fase	ABC	MTA_L_6882	MTA_L_6517
6518_MTA-1	Línea aérea por fase	ABC	MTA_L_6517	MTA_S_1606
1606_MTA-1	Línea aérea por fase	ABC	MTA_S_1606	MTA_L_1606
1607_MTA-1	Línea aérea por fase	ABC	MTA_L_1606	MTA_L_1607
2539	Fusible	ABC	MTA_L_1607	MTA_S_13663
11676_MTA-1	Línea aérea por fase	ABC	MTA_L_1607	MTA_S_13663
14334;3379;14335	Transformador con dos devanados	ABC	MTA_S_13663	MTA_L_13663
13663_MTA-1	Línea aérea por fase	ABC	MTA_S_13663	MTA_L_13663
I13663_MTA-1	Línea aérea por fase	ABC	MTA_L_13663	IMTA_L_13663
1608_MTA-1	Línea aérea por fase	ABC	MTA_L_1607	MTA_S_11677
2540	Fusible	ABC	MTA_S_11677	MTA_S_13664
11677_MTA-1	Línea aérea por fase	ABC	MTA_S_11677	MTA_S_13664
5888;5887;5889	Transformador con dos devanados	ABC	MTA_S_13664	MTA_L_13664
13664_MTA-1	Línea aérea por fase	ABC	MTA_S_13664	MTA_L_13664
I13664_MTA-1	Línea aérea por fase	ABC	MTA_L_13664	IMTA_L_13664
1609_MTA-1	Línea aérea por fase	ABC	MTA_S_11677	MTA_S_1610
1610_MTA-1	Línea aérea por fase	ABC	MTA_S_1610	MTA_L_1610
2541	Fusible	ABC	MTA_L_1610	MTA_L_11678
11678_MTA-1	Línea aérea por fase	ABC	MTA_L_1610	MTA_L_11678
760;3599;758	Transformador con dos devanados	ABC	MTA_L_11678	MTA_L_13665
13665_MTA-1	Línea aérea por fase	ABC	MTA_L_11678	MTA_L_13665

Topología - Elementos ramales

Nro. equipo	Código	Fase	Nodo origen	Nodo destino
I13665_MTA-1	Línea aérea por fase	ABC	MTA_L_13665	IMTA_L_13665
168769_MTA-1	Línea aérea por fase	ABC	MTA_L_1607	MTS_S_33389
55395	Fusible	ABC	MTS_S_33389	MTS_L_33389
33389_MTS-1	Cable	ABC	MTS_S_33389	MTS_L_33389
33391_MTS-1	Cable	ABC	MTS_L_33389	MTS_L_33391
21870	Interruptor seccionador	ABC	MTS_L_33391	MTS_L_33393
33393_MTS-1	Cable	ABC	MTS_L_33391	MTS_L_33393
33394_MTS-1	Cable	ABC	MTS_L_33393	MTS_L_33394
2258	Fusible	ABC	MTS_L_33394	MTS_L_386
386_MTS-1	Cable	ABC	MTS_L_33394	MTS_L_386
14631	Transformador con dos devanados	ABC	MTS_L_386	MTS_L_511
511_MTS-1	Cable	ABC	MTS_L_386	MTS_L_511
I511_MTS-1	Cable	ABC	MTS_L_511	IMTS_L_511
7740_MTA-1	Línea aérea por fase	ABC	MTA_S_4772	MTA_S_7919
7919_MTA-1	Línea aérea por fase	ABC	MTA_S_7919	MTA_S_10487
1707	Fusible	C	MTA_S_10487	MTA_S_14243
10487_MTA-1	Línea aérea por fase	C	MTA_S_10487	MTA_S_14243
745	Transformador con dos devanados	C	MTA_S_14243	MTA_L_14243
14243_MTA-1	Línea aérea por fase	C	MTA_S_14243	MTA_L_14243
I14243_MTA-1	Línea aérea por fase	C	MTA_L_14243	IMTA_L_14243
125888_MTA-1	Línea aérea por fase	B	MTA_S_10487	MTA_S_125889
51711	Fusible	B	MTA_S_125889	MTA_S_7921
125889_MTA-1	Línea aérea por fase	B	MTA_S_125889	MTA_S_7921
1708	Fusible	B	MTA_S_7921	MTA_S_14244
10488_MTA-1	Línea aérea por fase	B	MTA_S_7921	MTA_S_14244
747	Transformador con dos devanados	B	MTA_S_14244	MTA_L_14244
14244_MTA-1	Línea aérea por fase	B	MTA_S_14244	MTA_L_14244
I14244_MTA-1	Línea aérea por fase	B	MTA_L_14244	IMTA_L_14244
7921_MTA-1	Línea aérea por fase	B	MTA_S_7921	MTA_L_7921
8099_MTA-1	Línea aérea por fase	B	MTA_L_7921	MTA_S_10489
1709	Fusible	B	MTA_S_10489	MTA_S_14245

Topología - Elementos ramales

Nro. equipo	Código	Fase	Nodo origen	Nodo destino
10489_MTA-1	Línea aérea por fase	B	MTA_S_10489	MTA_S_14245
8957	Transformador con dos devanados	B	MTA_S_14245	MTA_L_14245
14245_MTA-1	Línea aérea por fase	B	MTA_S_14245	MTA_L_14245
l14245_MTA-1	Línea aérea por fase	B	MTA_L_14245	IMTA_L_14245
168460_MTA-1	Línea aérea por fase	ABC	MTA_S_10487	MTA_L_168460
51710	Fusible	ABC	MTA_L_168460	MTS_L_33002
33002_MTS-1	Cable	ABC	MTA_L_168460	MTS_L_33002
33007_MTS-1	Cable	ABC	MTS_L_33002	MTS_L_33007
33008_MTS-1	Cable	ABC	MTS_L_33007	MTS_L_33008
33010_MTS-1	Cable	ABC	MTS_L_33008	MTS_L_33010
33012_MTS-1	Cable	ABC	MTS_L_33010	MTS_L_33012
21845	Interruptor seccionador	ABC	MTS_L_33012	MTS_L_33014
33013_MTS-1	Cable	ABC	MTS_L_33012	MTS_L_33014
33014_MTS-1	Cable	ABC	MTS_S_33014	MTS_L_33014
1234	Fusible	ABC	MTS_S_33014	MTS_L_563
563_MTS-1	Cable	ABC	MTS_S_33014	MTS_L_563
15831	Transformador con dos devanados	ABC	MTS_L_563	MTS_L_467
467_MTS-1	Cable	ABC	MTS_L_563	MTS_L_467
l467_MTS-1	Cable	ABC	MTS_L_467	IMTS_L_467
33015_MTS-1	Cable	ABC	MTS_L_33014	MTS_L_33015
1235	Fusible	ABC	MTS_L_33015	MTS_L_351
351_MTS-1	Cable	ABC	MTS_L_33015	MTS_L_351
12670	Transformador con dos devanados	ABC	MTS_L_351	MTS_L_468
468_MTS-1	Cable	ABC	MTS_L_351	MTS_L_468
l468_MTS-1	Cable	ABC	MTS_L_468	IMTS_L_468
8106_MTA-1	Línea aérea por fase	ABC	MTA_S_4772	MTA_S_8107
8107_MTA-1	Línea aérea por fase	ABC	MTA_S_8107	MTA_S_129416
129416_MTA-1	Línea aérea por fase	ABC	MTA_S_129416	MTA_S_129417
53017	Fusible	ABC	MTA_S_129417	MTA_S_8109
129417_MTA-1	Línea aérea por fase	ABC	MTA_S_129417	MTA_S_8109
8109_MTA-1	Línea aérea por fase	ABC	MTA_S_8109	MTA_L_8109

Topología - Elementos ramales

Nro. equipo	Código	Fase	Nodo origen	Nodo destino
53039	Fusible	C	MTA_L_8109	MTA_S_129942
129941_MTA-1	Línea aérea por fase	C	MTA_L_8109	MTA_S_129942
129942_MTA-1	Línea aérea por fase	C	MTA_S_129942	MTA_S_8113
8113_MTA-1	Línea aérea por fase	C	MTA_S_8113	MTA_S_11581
1710	Fusible	C	MTA_S_11581	MTA_L_11581
11581_MTA-1	Línea aérea por fase	C	MTA_S_11581	MTA_L_11581
13501	Transformador con dos devanados	C	MTA_L_11581	MTA_L_14246
14246_MTA-1	Línea aérea por fase	C	MTA_L_11581	MTA_L_14246
l14246_MTA-1	Línea aérea por fase	C	MTA_L_14246	IMTA_L_14246
8110_MTA-1	Línea aérea por fase	C	MTA_L_8109	MTA_S_8111
1711	Fusible	C	MTA_S_8111	MTA_S_14247
10491_MTA-1	Línea aérea por fase	C	MTA_S_8111	MTA_S_14247
761	Transformador con dos devanados	C	MTA_S_14247	MTA_L_14247
14247_MTA-1	Línea aérea por fase	C	MTA_S_14247	MTA_L_14247
l14247_MTA-1	Línea aérea por fase	C	MTA_L_14247	IMTA_L_14247
8111_MTA-1	Línea aérea por fase	C	MTA_S_8111	MTA_S_10492
1712	Fusible	C	MTA_S_10492	MTA_S_14248
10492_MTA-1	Línea aérea por fase	C	MTA_S_10492	MTA_S_14248
11899	Transformador con dos devanados	C	MTA_S_14248	MTA_L_14248
14248_MTA-1	Línea aérea por fase	C	MTA_S_14248	MTA_L_14248
l14248_MTA-1	Línea aérea por fase	C	MTA_L_14248	IMTA_L_14248
8114_MTA-1	Línea aérea por fase	ABC	MTA_L_8109	MTA_S_8115
8115_MTA-1	Línea aérea por fase	ABC	MTA_S_8115	MTA_S_8116
1713	Fusible	ABC	MTA_S_8116	MTA_L_10493
10493_MTA-1	Línea aérea por fase	ABC	MTA_S_8116	MTA_L_10493
10317;10318;10316	Transformador con dos devanados	ABC	MTA_L_10493	MTA_L_14249
14249_MTA-1	Línea aérea por fase	ABC	MTA_L_10493	MTA_L_14249
l14249_MTA-1	Línea aérea por fase	ABC	MTA_L_14249	IMTA_L_14249
8116_MTA-1	Línea aérea por fase	ABC	MTA_S_8116	MTA_S_5565
4171	Interruptor seccionador	ABC	MTA_S_5565	MTA_L_4745
5565_MTA-1	Línea aérea por fase	ABC	MTA_S_5565	MTA_L_4745

Topología - Elementos ramales

Nro. equipo	Código	Fase	Nodo origen	Nodo destino
7715_MTA-1	Línea aérea por fase	ABC	MTA_S_5565	MTA_S_11579
2438	Fusible	C	MTA_S_11579	MTA_S_13566
11579_MTA-1	Línea aérea por fase	C	MTA_S_11579	MTA_S_13566
8616	Transformador con dos devanados	C	MTA_S_13566	MTA_L_13566
13566_MTA-1	Línea aérea por fase	C	MTA_S_13566	MTA_L_13566
I13566_MTA-1	Línea aérea por fase	C	MTA_L_13566	IMTA_L_13566
7716_MTA-1	Línea aérea por fase	ABC	MTA_S_11579	MTA_L_7716
2439	Fusible	ABC	MTA_L_7716	MTA_L_11580
11580_MTA-1	Línea aérea por fase	ABC	MTA_L_7716	MTA_L_11580
766;7085;7085	Transformador con dos devanados	ABC	MTA_L_11580	MTA_L_13567
13567_MTA-1	Línea aérea por fase	ABC	MTA_L_11580	MTA_L_13567
I13567_MTA-1	Línea aérea por fase	ABC	MTA_L_13567	IMTA_L_13567
7717_MTA-1	Línea aérea por fase	ABC	MTA_L_7716	MTA_L_7717
175162_MTA-1	Línea aérea por fase	A	MTA_L_7717	MTA_L_175162
55547	Fusible	A	MTA_L_175162	MTS_L_18838
18838_MTS-1	Cable	A	MTA_L_175162	MTS_L_18838
38735_MTS-1	Cable	A	MTS_L_18838	MTS_L_38735
39040_MTS-1	Cable	A	MTS_L_38735	MTS_L_39040
39041_MTS-1	Cable	A	MTS_L_39040	MTS_L_39041
39042_MTS-1	Cable	A	MTS_L_39041	MTS_L_39042
39044_MTS-1	Cable	A	MTS_L_39042	MTS_L_39044
39045_MTS-1	Cable	A	MTS_S_39046	MTS_L_39044
39046_MTS-1	Cable	A	MTS_S_39046	MTS_L_39046
39047_MTS-1	Cable	A	MTS_L_39046	MTS_L_39047
39049_MTS-1	Cable	A	MTS_L_39047	MTS_L_39049
39051_MTS-1	Cable	A	MTS_L_39049	MTS_L_39051
23435	Interruptor seccionador	A	MTS_L_39051	MTS_L_39052
39052_MTS-1	Cable	A	MTS_L_39051	MTS_L_39052
75305	Fusible	A	MTS_L_39052	MTS_L_39054
39054_MTS-1	Cable	A	MTS_L_39052	MTS_L_39054
12429	Transformador con dos devanados	A	MTS_L_39054	MTS_L_39055

Topología - Elementos ramales

Nro. equipo	Código	Fase	Nodo origen	Nodo destino
39055_MTS-1	Cable	A	MTS_L_39054	MTS_L_39055
I39055_MTS-1	Cable	A	MTS_L_39055	IMTS_L_39055
7718_MTA-1	Línea aérea por fase	ABC	MTA_S_5565	MTA_L_7718
7719_MTA-1	Línea aérea por fase	ABC	MTA_L_7718	MTA_L_7719
30577	Fusible	ABC	MTA_L_7719	MTA_S_7721
7720_MTA-1	Línea aérea por fase	ABC	MTA_L_7719	MTA_S_7721
2444	Fusible	A	MTA_S_7721	MTA_L_11585
11585_MTA-1	Línea aérea por fase	A	MTA_S_7721	MTA_L_11585
14166	Transformador con dos devanados	A	MTA_L_11585	MTA_L_13572
13572_MTA-1	Línea aérea por fase	A	MTA_L_11585	MTA_L_13572
I13572_MTA-1	Línea aérea por fase	A	MTA_L_13572	IMTA_L_13572
7721_MTA-1	Línea aérea por fase	ABC	MTA_S_7721	MTA_S_7722
1321	Fusible	A	MTA_S_7722	MTA_S_13311
11327_MTA-1	Línea aérea por fase	A	MTA_S_7722	MTA_S_13311
15209	Transformador con dos devanados	A	MTA_S_13311	MTA_L_13311
13311_MTA-1	Línea aérea por fase	A	MTA_S_13311	MTA_L_13311
I13311_MTA-1	Línea aérea por fase	A	MTA_L_13311	IMTA_L_13311
7722_MTA-1	Línea aérea por fase	ABC	MTA_S_7722	MTA_L_7722
37935	Fusible	ABC	MTA_S_163300	MTA_L_7722
163300_MTA-1	Línea aérea por fase	ABC	MTA_S_163300	MTA_L_7722
30406_MTS-1	Cable	ABC	MTA_S_163300	MTS_L_30406
30407_MTS-1	Cable	ABC	MTS_L_30406	MTS_L_30407
22789	Interruptor seccionador	ABC	MTS_L_30407	MTS_L_34892
34892_MTS-1	Cable	ABC	MTS_L_30407	MTS_L_34892
34893_MTS-1	Cable	ABC	MTS_L_34892	MTS_L_34893
1404	Fusible	ABC	MTS_L_34893	MTS_L_365
365_MTS-1	Cable	ABC	MTS_L_34893	MTS_L_365
14692	Transformador con dos devanados	ABC	MTS_L_365	MTS_L_483
483_MTS-1	Cable	ABC	MTS_L_365	MTS_L_483
I483_MTS-1	Cable	ABC	MTS_L_483	IMTS_L_483
7723_MTA-1	Línea aérea por fase	ABC	MTA_L_7722	MTA_L_7723

Topología - Elementos ramales

Nro. equipo	Código	Fase	Nodo origen	Nodo destino
7724_MTA-1	Línea aérea por fase	ABC	MTA_L_7723	MTA_L_7724
98911_MTA-1	Línea aérea por fase	ABC	MTA_L_7724	MTA_L_98911
37934	Fusible	ABC	MTA_L_98911	MTA_L_98912
98912_MTA-1	Línea aérea por fase	ABC	MTA_L_98911	MTA_L_98912
7753_MTA-1	Línea aérea por fase	ABC	MTA_L_98912	MTA_L_7753
7726_MTA-1	Línea aérea por fase	ABC	MTA_L_7723	MTA_L_7726
1714	Fusible	ABC	MTA_L_7726	MTA_S_14250
10494_MTA-1	Línea aérea por fase	ABC	MTA_L_7726	MTA_S_14250
338;340;339	Transformador con dos devanados	ABC	MTA_S_14250	MTA_L_14250
14250_MTA-1	Línea aérea por fase	ABC	MTA_S_14250	MTA_L_14250
I14250_MTA-1	Línea aérea por fase	ABC	MTA_L_14250	IMTA_L_14250
7727_MTA-1	Línea aérea por fase	ABC	MTA_L_7726	MTA_L_7727
7728_MTA-1	Línea aérea por fase	ABC	MTA_L_7727	MTA_S_98894
88083_MTA-1	Línea aérea por fase	ABC	MTA_S_98894	MTA_L_88083
88084_MTA-1	Línea aérea por fase	ABC	MTA_L_88083	MTA_L_88084
5752_MTA-1	Línea aérea por fase	ABC	MTA_L_88084	MTA_L_5752
157923_MTA-1	Línea aérea por fase	ABC	MTA_L_5752	MTA_L_157923
7298_MTA-1	Línea aérea por fase	ABC	MTA_L_157923	MTA_L_7298
6561_MTA-1	Línea aérea por fase	ABC	MTA_S_6561	MTA_L_7298
6562_MTA-1	Línea aérea por fase	ABC	MTA_L_7298	MTA_L_6562
6563_MTA-1	Línea aérea por fase	ABC	MTA_L_6562	MTA_S_99827
38603	Fusible	ABC	MTA_S_99827	MTA_S_99828
99827_MTA-1	Línea aérea por fase	ABC	MTA_S_99827	MTA_S_99828
99828_MTA-1	Línea aérea por fase	ABC	MTA_S_99828	MTA_S_98890
7217_MTA-1	Línea aérea por fase	B	MTA_S_98890	MTA_L_7217
7218_MTA-1	Línea aérea por fase	B	MTA_L_7217	MTA_L_7218
7219_MTA-1	Línea aérea por fase	B	MTA_L_7218	MTA_L_7219
1715	Fusible	B	MTA_L_7219	MTA_L_10495
10495_MTA-1	Línea aérea por fase	B	MTA_L_7219	MTA_L_10495
459	Transformador con dos devanados	B	MTA_L_10495	MTA_L_14251
14251_MTA-1	Línea aérea por fase	B	MTA_L_10495	MTA_L_14251

Topología - Elementos ramales

Nro. equipo	Código	Fase	Nodo origen	Nodo destino
I14251_MTA-1	Línea aérea por fase	B	MTA_L_14251	IMTA_L_14251
7220_MTA-1	Línea aérea por fase	ABC	MTA_S_98890	MTA_L_7220
27210_MTS-1	Cable	ABC	MTA_L_7220	MTS_L_27210
8322	Interruptor seccionador	ABC	MTS_L_27210	MTS_L_27211
27211_MTS-1	Cable	ABC	MTS_L_27210	MTS_L_27211
27212_MTS-1	Cable	ABC	MTS_L_27211	MTS_L_27212
27213_MTS-1	Cable	ABC	MTS_L_27212	MTS_L_27213
27214_MTS-1	Cable	ABC	MTS_L_27213	MTS_L_27214
27215_MTS-1	Cable	ABC	MTS_L_27214	MTS_L_27215
38583	Fusible	ABC	MTS_L_27215	MTS_L_27520
27520_MTS-1	Cable	ABC	MTS_L_27215	MTS_L_27520
100460_MTA-1	Línea aérea por fase	ABC	MTS_L_27520	MTA_L_100460
7622_MTA-1	Línea aérea por fase	ABC	MTA_L_100460	MTA_S_14508
550	Fusible	ABC	MTA_S_14508	MTA_L_11295
11295_MTA-1	Línea aérea por fase	ABC	MTA_S_14508	MTA_L_11295
8453	Transformador con dos devanados	ABC	MTA_L_11295	MTA_L_13278
13278_MTA-1	Línea aérea por fase	ABC	MTA_L_11295	MTA_L_13278
I13278_MTA-1	Línea aérea por fase	ABC	MTA_L_13278	IMTA_L_13278
14508_MTA-1	Línea aérea por fase	ABC	MTA_S_14508	MTA_S_14509
551	Fusible	ABC	MTA_S_14509	MTA_S_13279
14509_MTA-1	Línea aérea por fase	ABC	MTA_S_14509	MTA_S_13279
4245	Transformador con dos devanados	ABC	MTA_S_13279	MTA_L_13279
13279_MTA-1	Línea aérea por fase	ABC	MTA_S_13279	MTA_L_13279
I13279_MTA-1	Línea aérea por fase	ABC	MTA_L_13279	IMTA_L_13279
27521_MTS-1	Cable	ABC	MTS_L_27214	MTS_L_27521
8321	Interruptor seccionador	ABC	MTS_L_27521	MTA_L_100459
27522_MTS-1	Cable	ABC	MTS_L_27521	MTA_L_100459
100459_MTA-1	Línea aérea por fase	ABC	MTA_S_7512	MTA_L_100459
7512_MTA-1	Línea aérea por fase	ABC	MTA_S_7512	MTA_S_7513
7513_MTA-1	Línea aérea por fase	ABC	MTA_S_7513	MTA_S_7514
552	Fusible	ABC	MTA_S_7514	MTA_L_11296

Topología - Elementos ramales

Nro. equipo	Código	Fase	Nodo origen	Nodo destino
11296_MTA-1	Línea aérea por fase	ABC	MTA_S_7514	MTA_L_11296
104;16771;105	Transformador con dos devanados	ABC	MTA_L_11296	MTA_L_13280
13280_MTA-1	Línea aérea por fase	ABC	MTA_L_11296	MTA_L_13280
l13280_MTA-1	Línea aérea por fase	ABC	MTA_L_13280	IMTA_L_13280
7514_MTA-1	Línea aérea por fase	ABC	MTA_S_7514	MTA_S_7515
7515_MTA-1	Línea aérea por fase	ABC	MTA_S_7515	MTA_L_7515
7516_MTA-1	Línea aérea por fase	ABC	MTA_L_7515	MTA_L_7516
7125_MTA-1	Línea aérea por fase	A	MTA_L_7516	MTA_L_7125
7517_MTA-1	Línea aérea por fase	ABC	MTA_L_7516	MTA_L_7517
9928	Interruptor seccionador	ABC	MTA_L_7517	MTA_S_100473
100472_MTA-1	Línea aérea por fase	ABC	MTA_L_7517	MTA_S_100473
100473_MTA-1	Línea aérea por fase	ABC	MTA_S_100473	MTA_L_100473
1290	Fusible	AB	MTA_L_100473	MTA_L_11298
11298_MTA-1	Línea aérea por fase	AB	MTA_L_100473	MTA_L_11298
112;111	Transformador con dos devanados	AB	MTA_L_11298	MTA_L_13282
13282_MTA-1	Línea aérea por fase	AB	MTA_L_11298	MTA_L_13282
l13282_MTA-1	Línea aérea por fase	AB	MTA_L_13282	IMTA_L_13282
7519_MTA-1	Línea aérea por fase	ABC	MTA_L_100473	MTA_L_7519
7520_MTA-1	Línea aérea por fase	ABC	MTA_L_7519	MTA_S_7123
7123_MTA-1	Línea aérea por fase	ABC	MTA_S_7123	MTA_S_9979
93749_MTA-1	Línea aérea por fase	ABC	MTA_S_9979	MTA_S_93750
8323	Interruptor seccionador	ABC	MTA_S_93750	MTA_L_1105
93750_MTA-1	Línea aérea por fase	ABC	MTA_S_93750	MTA_L_1105
716	Fusible	B	MTA_S_9979	MTA_L_9979
9979_MTA-1	Línea aérea por fase	B	MTA_S_9979	MTA_L_9979
9204	Transformador con dos devanados	B	MTA_L_9979	MTA_L_14202
14202_MTA-1	Línea aérea por fase	B	MTA_L_9979	MTA_L_14202
l14202_MTA-1	Línea aérea por fase	B	MTA_L_14202	IMTA_L_14202
1289	Fusible	B	MTA_L_7517	MTA_L_11297
11297_MTA-1	Línea aérea por fase	B	MTA_L_7517	MTA_L_11297
110	Transformador con dos devanados	B	MTA_L_11297	MTA_L_13281

Topología - Elementos ramales

Nro. equipo	Código	Fase	Nodo origen	Nodo destino
13281_MTA-1	Línea aérea por fase	B	MTA_L_11297	MTA_L_13281
I13281_MTA-1	Línea aérea por fase	B	MTA_L_13281	IMTA_L_13281
30580	Fusible	A	MTA_L_7516	MTA_S_83545
83544_MTA-1	Línea aérea por fase	A	MTA_L_7516	MTA_S_83545
37650	Fusible	B	MTA_S_98890	MTA_S_98891
98890_MTA-1	Línea aérea por fase	B	MTA_S_98890	MTA_S_98891
98891_MTA-1	Línea aérea por fase	B	MTA_S_98891	MTA_L_98891
2193	Fusible	B	MTA_L_98891	MTA_L_11357
11357_MTA-1	Línea aérea por fase	B	MTA_L_98891	MTA_L_11357
15692	Transformador con dos devanados	B	MTA_L_11357	MTA_L_13341
13341_MTA-1	Línea aérea por fase	B	MTA_L_11357	MTA_L_13341
I13341_MTA-1	Línea aérea por fase	B	MTA_L_13341	IMTA_L_13341
7127_MTA-1	Línea aérea por fase	B	MTA_L_98891	MTA_L_7127
7128_MTA-1	Línea aérea por fase	B	MTA_L_7127	MTA_L_7128
7129_MTA-1	Línea aérea por fase	B	MTA_L_7128	MTA_L_7129
7130_MTA-1	Línea aérea por fase	B	MTA_L_7129	MTA_L_7130
1291	Fusible	B	MTA_L_7130	MTA_S_13283
11299_MTA-1	Línea aérea por fase	B	MTA_L_7130	MTA_S_13283
108	Transformador con dos devanados	B	MTA_S_13283	MTA_L_13283
13283_MTA-1	Línea aérea por fase	B	MTA_S_13283	MTA_L_13283
I13283_MTA-1	Línea aérea por fase	B	MTA_L_13283	IMTA_L_13283
7131_MTA-1	Línea aérea por fase	B	MTA_L_7130	MTA_S_11300
1292	Fusible	B	MTA_S_11300	MTA_L_11300
11300_MTA-1	Línea aérea por fase	B	MTA_S_11300	MTA_L_11300
109	Transformador con dos devanados	B	MTA_L_11300	MTA_L_13284
13284_MTA-1	Línea aérea por fase	B	MTA_L_11300	MTA_L_13284
I13284_MTA-1	Línea aérea por fase	B	MTA_L_13284	IMTA_L_13284
7132_MTA-1	Línea aérea por fase	ABC	MTA_L_7298	MTA_L_7132
6670_MTA-1	Línea aérea por fase	ABC	MTA_L_7132	MTA_L_6670
98896_MTA-1	Línea aérea por fase	ABC	MTA_L_6670	MTA_L_98896
37653	Fusible	ABC	MTA_L_98896	MTA_L_98897

Topología - Elementos ramales

Nro. equipo	Código	Fase	Nodo origen	Nodo destino
98897_MTA-1	Línea aérea por fase	ABC	MTA_L_98896	MTA_L_98897
1295	Fusible	ABC	MTA_L_98897	MTA_L_11303
11303_MTA-1	Línea aérea por fase	ABC	MTA_L_98897	MTA_L_11303
348;349;350	Transformador con dos devanados	ABC	MTA_L_11303	MTA_L_13287
13287_MTA-1	Línea aérea por fase	ABC	MTA_L_11303	MTA_L_13287
I13287_MTA-1	Línea aérea por fase	ABC	MTA_L_13287	IMTA_L_13287
7982_MTA-1	Línea aérea por fase	ABC	MTA_L_98897	MTA_L_7982
7623_MTA-1	Línea aérea por fase	ABC	MTA_L_7982	MTA_L_7623
7624_MTA-1	Línea aérea por fase	ABC	MTA_L_7623	MTA_L_7624
37654	Fusible	B	MTA_L_7624	MTA_L_98914
98914_MTA-1	Línea aérea por fase	B	MTA_L_7624	MTA_L_98914
623	Transformador con dos devanados	B	MTA_L_98914	MTA_L_99171
99171_MTA-1	Línea aérea por fase	B	MTA_L_98914	MTA_L_99171
I99171_MTA-1	Línea aérea por fase	B	MTA_L_99171	IMTA_L_99171
99172_MTA-1	Línea aérea por fase	ABC	MTA_L_7624	MTA_L_99172
37655	Fusible	ABC	MTA_L_99172	MTS_L_27560
27560_MTS-1	Cable	ABC	MTA_L_99172	MTS_L_27560
27561_MTS-1	Cable	ABC	MTS_L_27560	MTS_L_27561
27562_MTS-1	Cable	ABC	MTS_L_27561	MTS_L_27562
27564_MTS-1	Cable	ABC	MTS_L_27562	MTS_L_27564
19595	Interruptor seccionador	ABC	MTS_L_27564	MTS_L_27565
27565_MTS-1	Cable	ABC	MTS_L_27564	MTS_L_27565
66986	Fusible	ABC	MTS_L_27565	MTS_L_27567
27567_MTS-1	Cable	ABC	MTS_L_27565	MTS_L_27567
13645	Transformador con dos devanados	ABC	MTS_L_27567	MTS_L_27568
27568_MTS-1	Cable	ABC	MTS_L_27567	MTS_L_27568
I27568_MTS-1	Cable	ABC	MTS_L_27568	IMTS_L_27568
99173_MTA-1	Línea aérea por fase	B	MTA_L_7624	MTA_L_99173
37656	Fusible	B	MTA_L_99173	MTA_L_99174
99174_MTA-1	Línea aérea por fase	B	MTA_L_99173	MTA_L_99174
7773_MTA-1	Línea aérea por fase	B	MTA_L_99174	MTA_L_7773

Topología - Elementos ramales

Nro. equipo	Código	Fase	Nodo origen	Nodo destino
1297	Fusible	B	MTA_L_7773	MTA_L_11305
11305_MTA-1	Línea aérea por fase	B	MTA_L_7773	MTA_L_11305
4237	Transformador con dos devanados	B	MTA_L_11305	MTA_L_13289
13289_MTA-1	Línea aérea por fase	B	MTA_L_11305	MTA_L_13289
I13289_MTA-1	Línea aérea por fase	B	MTA_L_13289	IMTA_L_13289
7774_MTA-1	Línea aérea por fase	B	MTA_L_7773	MTA_L_7774
7870_MTA-1	Línea aérea por fase	B	MTA_L_7774	MTA_S_6555
6555_MTA-1	Línea aérea por fase	B	MTA_S_6555	MTA_S_11586
2445	Fusible	B	MTA_S_11586	MTA_L_11586
11586_MTA-1	Línea aérea por fase	B	MTA_S_11586	MTA_L_11586
12540	Transformador con dos devanados	B	MTA_L_11586	MTA_L_13573
13573_MTA-1	Línea aérea por fase	B	MTA_L_11586	MTA_L_13573
I13573_MTA-1	Línea aérea por fase	B	MTA_L_13573	IMTA_L_13573
7871_MTA-1	Línea aérea por fase	B	MTA_S_6555	MTA_S_7872
7872_MTA-1	Línea aérea por fase	B	MTA_S_7872	MTA_L_7872
7873_MTA-1	Línea aérea por fase	B	MTA_L_7872	MTA_L_7873
7874_MTA-1	Línea aérea por fase	B	MTA_L_7873	MTA_L_7874
7875_MTA-1	Línea aérea por fase	B	MTA_L_7874	MTA_S_7876
7876_MTA-1	Línea aérea por fase	B	MTA_S_7876	MTA_S_7877
7877_MTA-1	Línea aérea por fase	B	MTA_S_7877	MTA_S_7878
1299	Fusible	B	MTA_S_7878	MTA_S_13291
11307_MTA-1	Línea aérea por fase	B	MTA_S_7878	MTA_S_13291
13176	Transformador con dos devanados	B	MTA_S_13291	MTA_L_13291
13291_MTA-1	Línea aérea por fase	B	MTA_S_13291	MTA_L_13291
I13291_MTA-1	Línea aérea por fase	B	MTA_L_13291	IMTA_L_13291
7878_MTA-1	Línea aérea por fase	B	MTA_S_7878	MTA_L_7878
7879_MTA-1	Línea aérea por fase	B	MTA_L_7878	MTA_S_7880
7880_MTA-1	Línea aérea por fase	B	MTA_S_7880	MTA_S_7881
7881_MTA-1	Línea aérea por fase	B	MTA_S_7881	MTA_L_7881
7882_MTA-1	Línea aérea por fase	B	MTA_L_7881	MTA_L_7882
37936	Fusible	B	MTA_L_7882	MTA_L_99175

Topología - Elementos ramales

Nro. equipo	Código	Fase	Nodo origen	Nodo destino
99175_MTA-1	Línea aérea por fase	B	MTA_L_7882	MTA_L_99175
99176_MTA-1	Línea aérea por fase	B	MTA_L_99175	MTA_L_99176
7884_MTA-1	Línea aérea por fase	B	MTA_L_99176	MTA_L_7884
7885_MTA-1	Línea aérea por fase	B	MTA_L_7884	MTA_L_7885
7886_MTA-1	Línea aérea por fase	B	MTA_L_7885	MTA_L_7886
7887_MTA-1	Línea aérea por fase	B	MTA_L_7886	MTA_L_7887
1300	Fusible	B	MTA_L_7887	MTA_L_11308
11308_MTA-1	Línea aérea por fase	B	MTA_L_7887	MTA_L_11308
10458	Transformador con dos devanados	B	MTA_L_11308	MTA_L_13292
13292_MTA-1	Línea aérea por fase	B	MTA_L_11308	MTA_L_13292
I13292_MTA-1	Línea aérea por fase	B	MTA_L_13292	IMTA_L_13292
7888_MTA-1	Línea aérea por fase	B	MTA_L_7887	MTA_L_7888
7889_MTA-1	Línea aérea por fase	B	MTA_L_7888	MTA_S_8205
8205_MTA-1	Línea aérea por fase	B	MTA_S_8205	MTA_L_8205
6438_MTA-1	Línea aérea por fase	B	MTA_L_8205	MTA_L_6438
6439_MTA-1	Línea aérea por fase	B	MTA_L_8205	MTA_L_6439
1517_MTA-1	Línea aérea por fase	B	MTA_L_6439	MTA_L_1517
6215_MTA-1	Línea aérea por fase	B	MTA_L_1517	MTA_L_6215
33135	Fusible	B	MTA_L_6215	MTA_L_88634
88634_MTA-1	Línea aérea por fase	B	MTA_L_6215	MTA_L_88634
17040	Transformador con dos devanados	B	MTA_L_88634	MTA_L_88633
88633_MTA-1	Línea aérea por fase	B	MTA_L_88634	MTA_L_88633
I88633_MTA-1	Línea aérea por fase	B	MTA_L_88633	IMTA_L_88633
6216_MTA-1	Línea aérea por fase	B	MTA_L_1517	MTA_L_6216
6217_MTA-1	Línea aérea por fase	B	MTA_L_6216	MTA_L_6217
6218_MTA-1	Línea aérea por fase	B	MTA_L_6217	MTA_L_6218
12501	Fusible	B	MTA_L_6218	MTA_L_42545
42545_MTA-1	Línea aérea por fase	B	MTA_L_6218	MTA_L_42545
16658	Transformador con dos devanados	B	MTA_L_42545	MTA_L_42546
42546_MTA-1	Línea aérea por fase	B	MTA_L_42545	MTA_L_42546
I42546_MTA-1	Línea aérea por fase	B	MTA_L_42546	IMTA_L_42546

Topología - Elementos ramales

Nro. equipo	Código	Fase	Nodo origen	Nodo destino
6219_MTA-1	Línea aérea por fase	B	MTA_L_6218	MTA_L_6219
1301	Fusible	B	MTA_L_6219	MTA_S_13293
11309_MTA-1	Línea aérea por fase	B	MTA_L_6219	MTA_S_13293
10422	Transformador con dos devanados	B	MTA_S_13293	MTA_L_13293
13293_MTA-1	Línea aérea por fase	B	MTA_S_13293	MTA_L_13293
I13293_MTA-1	Línea aérea por fase	B	MTA_L_13293	IMTA_L_13293
6220_MTA-1	Línea aérea por fase	B	MTA_L_1517	MTA_S_99177
37937	Fusible	B	MTA_S_99177	MTA_S_99178
99177_MTA-1	Línea aérea por fase	B	MTA_S_99177	MTA_S_99178
99178_MTA-1	Línea aérea por fase	B	MTA_S_99178	MTA_S_7762
7762_MTA-1	Línea aérea por fase	B	MTA_S_7762	MTA_S_7444
7444_MTA-1	Línea aérea por fase	B	MTA_S_7444	MTA_L_7444
1302	Fusible	B	MTA_L_7444	MTA_L_11310
11310_MTA-1	Línea aérea por fase	B	MTA_L_7444	MTA_L_11310
10529	Transformador con dos devanados	B	MTA_L_11310	MTA_L_13294
13294_MTA-1	Línea aérea por fase	B	MTA_L_11310	MTA_L_13294
I13294_MTA-1	Línea aérea por fase	B	MTA_L_13294	IMTA_L_13294
8206_MTA-1	Línea aérea por fase	B	MTA_L_8205	MTA_L_8206
8207_MTA-1	Línea aérea por fase	B	MTA_L_8206	MTA_L_8207
8208_MTA-1	Línea aérea por fase	B	MTA_L_8207	MTA_L_8208
8209_MTA-1	Línea aérea por fase	B	MTA_L_8208	MTA_L_8209
8210_MTA-1	Línea aérea por fase	B	MTA_L_8209	MTA_L_8210
5306_MTA-1	Línea aérea por fase	B	MTA_L_8210	MTA_L_5306
35038	Fusible	B	MTA_S_7877	MTA_L_93550
93550_MTA-1	Línea aérea por fase	B	MTA_S_7877	MTA_L_93550
8749	Transformador con dos devanados	B	MTA_L_93550	MTA_L_93551
93551_MTA-1	Línea aérea por fase	B	MTA_L_93550	MTA_L_93551
I93551_MTA-1	Línea aérea por fase	B	MTA_L_93551	IMTA_L_93551
8211_MTA-1	Línea aérea por fase	B	MTA_S_6555	MTA_L_8211
1298	Fusible	B	MTA_L_8211	MTA_L_11306
11306_MTA-1	Línea aérea por fase	B	MTA_L_8211	MTA_L_11306

Topología - Elementos ramales

Nro. equipo	Código	Fase	Nodo origen	Nodo destino
355	Transformador con dos devanados	B	MTA_L_11306	MTA_L_13290
13290_MTA-1	Línea aérea por fase	B	MTA_L_11306	MTA_L_13290
I13290_MTA-1	Línea aérea por fase	B	MTA_L_13290	IMTA_L_13290
7729_MTA-1	Línea aérea por fase	ABC	MTA_L_7132	MTA_L_7729
7730_MTA-1	Línea aérea por fase	ABC	MTA_L_7132	MTA_S_8770
8770_MTA-1	Línea aérea por fase	ABC	MTA_S_8770	MTA_S_11301
1293	Fusible	A	MTA_S_11301	MTA_L_11301
11301_MTA-1	Línea aérea por fase	A	MTA_S_11301	MTA_L_11301
13285_MTA-1	Transformador con dos devanados	A	MTA_L_11301	MTA_L_13285
13285_MTA-1	Línea aérea por fase	A	MTA_L_11301	MTA_L_13285
I13285_MTA-1	Línea aérea por fase	A	MTA_L_13285	IMTA_L_13285
6669_MTA-1	Línea aérea por fase	ABC	MTA_S_11301	MTA_L_6669
1294	Fusible	ABC	MTA_L_6669	MTA_L_11302
11302_MTA-1	Línea aérea por fase	ABC	MTA_L_6669	MTA_L_11302
8789;8787;8788	Transformador con dos devanados	ABC	MTA_L_11302	MTA_L_13286
13286_MTA-1	Línea aérea por fase	ABC	MTA_L_11302	MTA_L_13286
I13286_MTA-1	Línea aérea por fase	ABC	MTA_L_13286	IMTA_L_13286
157932_MTA-1	Línea aérea por fase	ABC	MTA_L_6669	MTA_L_157932
99495_MTA-1	Línea aérea por fase	ABC	MTA_S_99495	MTA_L_157932
38267	Fusible	ABC	MTS_L_27525	MTA_S_99495
27524_MTS-1	Cable	ABC	MTS_L_27525	MTA_S_99495
27525_MTS-1	Cable	ABC	MTS_S_27525	MTS_L_27525
27526_MTS-1	Cable	ABC	MTS_S_27525	MTS_L_27526
27527_MTS-1	Cable	ABC	MTS_L_27526	MTS_L_27527
27528_MTS-1	Cable	ABC	MTS_L_27527	MTS_L_27528
19278	Interruptor seccionador	ABC	MTS_L_27528	MTS_L_27530
27530_MTS-1	Cable	ABC	MTS_L_27528	MTS_L_27530
27531_MTS-1	Cable	ABC	MTS_L_27530	MTS_L_27531
66999	Fusible	ABC	MTS_L_27531	MTS_L_27533
27533_MTS-1	Cable	ABC	MTS_L_27531	MTS_L_27533
16980	Transformador con dos devanados	ABC	MTS_L_27533	MTS_L_27534

Topología - Elementos ramales

Nro. equipo	Código	Fase	Nodo origen	Nodo destino
27534_MTS-1	Cable	ABC	MTS_L_27533	MTS_L_27534
I27534_MTS-1	Cable	ABC	MTS_L_27534	IMTS_L_27534
98892_MTA-1	Línea aérea por fase	ABC	MTA_L_88083	MTA_L_98892
37651	Fusible	ABC	MTA_L_98892	MTS_L_26927
26927_MTS-1	Cable	ABC	MTA_L_98892	MTS_L_26927
27200_MTS-1	Cable	ABC	MTS_L_26927	MTS_L_27200
19592	Interruptor seccionador	ABC	MTS_L_27200	MTS_L_27201
27201_MTS-1	Cable	ABC	MTS_L_27200	MTS_L_27201
66980	Fusible	ABC	MTS_L_27201	MTS_L_27203
27203_MTS-1	Cable	ABC	MTS_L_27201	MTS_L_27203
15902	Transformador con dos devanados	ABC	MTS_L_27203	MTS_L_27204
27204_MTS-1	Cable	ABC	MTS_L_27203	MTS_L_27204
I27204_MTS-1	Cable	ABC	MTS_L_27204	IMTS_L_27204
37652	Fusible	ABC	MTA_S_98894	MTA_L_98894
98894_MTA-1	Línea aérea por fase	ABC	MTA_S_98894	MTA_L_98894
13505	Transformador con dos devanados	ABC	MTA_L_98894	MTA_L_98895
98895_MTA-1	Línea aérea por fase	ABC	MTA_L_98894	MTA_L_98895
I98895_MTA-1	Línea aérea por fase	ABC	MTA_L_98895	IMTA_L_98895
20639	Fusible	ABC	MTA_L_7723	MTA_L_2041
7823_MTA-1	Línea aérea por fase	ABC	MTA_L_7723	MTA_L_2041
78204	Fusible	A	MTA_L_181573	MTA_S_181577
181576_MTA-1	Línea aérea por fase	A	MTA_L_181573	MTA_S_181577
2580291	Transformador con dos devanados	A	MTA_S_181577	MTA_L_181577
181577_MTA-1	Línea aérea por fase	A	MTA_S_181577	MTA_L_181577
I181577_MTA-1	Línea aérea por fase	A	MTA_L_181577	IMTA_L_181577
8100_MTA-1	Línea aérea por fase	ABC	MTA_S_162985	MTA_L_8100
52229	Fusible	AC	MTA_L_8100	MTA_L_127665
127665_MTA-1	Línea aérea por fase	AC	MTA_L_8100	MTA_L_127665
127666_MTA-1	Línea aérea por fase	AC	MTA_L_127665	MTA_L_127666
8102_MTA-1	Línea aérea por fase	AC	MTA_L_127666	MTA_S_8103
8103_MTA-1	Línea aérea por fase	AC	MTA_S_8103	MTA_L_8103

Topología - Elementos ramales

Nro. equipo	Código	Fase	Nodo origen	Nodo destino
8104_MTA-1	Línea aérea por fase	AC	MTA_L_8103	MTA_S_8105
2430	Fusible	AC	MTA_S_8105	MTA_L_11571
11571_MTA-1	Línea aérea por fase	AC	MTA_S_8105	MTA_L_11571
1012;16195	Transformador con dos devanados	AC	MTA_L_11571	MTA_L_13558
13558_MTA-1	Línea aérea por fase	AC	MTA_L_11571	MTA_L_13558
I13558_MTA-1	Línea aérea por fase	AC	MTA_L_13558	IMTA_L_13558
8105_MTA-1	Línea aérea por fase	AC	MTA_S_8105	MTA_S_11457
2309	Fusible	C	MTA_S_11457	MTA_S_13442
11457_MTA-1	Línea aérea por fase	C	MTA_S_11457	MTA_S_13442
15104	Transformador con dos devanados	C	MTA_S_13442	MTA_L_13442
13442_MTA-1	Línea aérea por fase	C	MTA_S_13442	MTA_L_13442
I13442_MTA-1	Línea aérea por fase	C	MTA_L_13442	IMTA_L_13442
17583_MTA-1	Línea aérea por fase	A	MTA_S_11457	MTA_L_17583
4964	Fusible	A	MTA_L_17583	MTS_L_32991
32991_MTS-1	Cable	A	MTA_L_17583	MTS_L_32991
32992_MTS-1	Cable	A	MTS_L_32991	MTS_L_32992
21839	Interruptor seccionador	A	MTS_L_32992	MTS_L_32993
32993_MTS-1	Cable	A	MTS_L_32992	MTS_L_32993
4965	Fusible	A	MTS_L_32993	MTS_L_1239
1239_MTS-1	Cable	A	MTS_L_32993	MTS_L_1239
14423	Transformador con dos devanados	A	MTS_L_1239	MTS_L_1240
1240_MTS-1	Cable	A	MTS_L_1239	MTS_L_1240
I1240_MTS-1	Cable	A	MTS_L_1240	IMTS_L_1240
6819_MTA-1	Línea aérea por fase	ABC	MTA_S_4765	MTA_S_9920
6779_MTA-1	Línea aérea por fase	ABC	MTA_S_9920	MTA_L_6779
1578_MTA-1	Línea aérea por fase	ABC	MTA_L_6779	MTA_L_1578
125886_MTA-1	Línea aérea por fase	ABC	MTA_L_1578	MTA_L_125886
51708	Fusible	ABC	MTA_L_125886	MTA_S_168765
125887_MTA-1	Línea aérea por fase	ABC	MTA_L_125886	MTA_S_168765
1580_MTA-1	Línea aérea por fase	ABC	MTA_S_168765	MTA_S_9921
1581_MTA-1	Línea aérea por fase	ABC	MTA_S_9921	MTA_L_1581

Topología - Elementos ramales

Nro. equipo	Código	Fase	Nodo origen	Nodo destino
129420_MTA-1	Línea aérea por fase	ABC	MTA_L_1581	MTA_L_129420
53036	Fusible	ABC	MTA_L_129420	MTA_S_168763
129421_MTA-1	Línea aérea por fase	ABC	MTA_L_129420	MTA_S_168763
1583_MTA-1	Línea aérea por fase	ABC	MTA_S_168763	MTA_L_1583
5687_MTA-1	Línea aérea por fase	ABC	MTA_L_1583	MTA_L_5687
168766_MTA-1	Línea aérea por fase	ABC	MTA_L_5687	MTS_S_33344
5276	Fusible	ABC	MTS_S_33344	MTS_L_33344
33344_MTS-1	Cable	ABC	MTS_S_33344	MTS_L_33344
33345_MTS-1	Cable	ABC	MTS_L_33344	MTS_L_33345
33347_MTS-1	Cable	ABC	MTS_L_33345	MTS_L_33347
33349_MTS-1	Cable	ABC	MTS_L_33347	MTS_L_33349
33350_MTS-1	Cable	ABC	MTS_L_33349	MTS_L_33350
21866	Interruptor seccionador	ABC	MTS_L_33350	MTS_L_33351
33351_MTS-1	Cable	ABC	MTS_L_33350	MTS_L_33351
33352_MTS-1	Cable	ABC	MTS_L_33351	MTS_L_33352
5277	Fusible	ABC	MTS_L_33352	MTS_L_1559
1559_MTS-1	Cable	ABC	MTS_L_33352	MTS_L_1559
12713	Transformador con dos devanados	ABC	MTS_L_1559	MTS_L_1560
1560_MTS-1	Cable	ABC	MTS_L_1559	MTS_L_1560
11560_MTS-1	Cable	ABC	MTS_L_1560	IMTS_L_1560
5688_MTA-1	Línea aérea por fase	ABC	MTA_L_5687	MTA_S_129418
53018	Fusible	ABC	MTA_S_129418	MTA_L_129418
129418_MTA-1	Línea aérea por fase	ABC	MTA_S_129418	MTA_L_129418
129419_MTA-1	Línea aérea por fase	ABC	MTA_L_129418	MTA_L_129419
2262_MTA-1	Línea aérea por fase	ABC	MTA_L_129419	MTA_S_10789
1545	Fusible	ABC	MTA_S_10789	MTA_S_12794
10789_MTA-1	Línea aérea por fase	ABC	MTA_S_10789	MTA_S_12794
7497	Transformador con dos devanados	ABC	MTA_S_12794	MTA_L_12794
12794_MTA-1	Línea aérea por fase	ABC	MTA_S_12794	MTA_L_12794
112794_MTA-1	Línea aérea por fase	ABC	MTA_L_12794	IMTA_L_12794
5691_MTA-1	Línea aérea por fase	C	MTA_L_5687	MTA_S_11488

Topología - Elementos ramales

Nro. equipo	Código	Fase	Nodo origen	Nodo destino
2340	Fusible	C	MTA_S_11488	MTA_L_11488
11488_MTA-1	Línea aérea por fase	C	MTA_S_11488	MTA_L_11488
13473_MTA-1	Transformador con dos devanados	C	MTA_L_11488	MTA_L_13473
13473_MTA-1	Línea aérea por fase	C	MTA_L_11488	MTA_L_13473
l13473_MTA-1	Línea aérea por fase	C	MTA_L_13473	IMTA_L_13473
168767_MTA-1	Línea aérea por fase	C	MTS_S_33355	MTA_S_11488
72229	Fusible	C	MTS_S_33355	MTS_L_33355
33355_MTS-1	Cable	C	MTS_S_33355	MTS_L_33355
33357_MTS-1	Cable	C	MTS_L_33355	MTS_L_33357
33359_MTS-1	Cable	C	MTS_L_33357	MTS_L_33359
33363_MTS-1	Cable	C	MTS_L_33359	MTS_L_33363
33364_MTS-1	Cable	C	MTS_L_33363	MTS_L_33364
21867	Interruptor seccionador	C	MTS_L_33364	MTS_L_33365
33365_MTS-1	Cable	C	MTS_L_33364	MTS_L_33365
33366_MTS-1	Cable	C	MTS_L_33365	MTS_L_33366
2432	Fusible	C	MTS_L_33366	MTS_L_33367
33367_MTS-1	Cable	C	MTS_L_33366	MTS_L_33367
11864	Transformador con dos devanados	C	MTS_L_33367	MTS_L_42880
42880_MTS-1	Cable	C	MTS_L_33367	MTS_L_42880
l42880_MTS-1	Cable	C	MTS_L_42880	IMTS_L_42880
5692_MTA-1	Línea aérea por fase	C	MTA_S_11488	MTA_S_10788
1544	Fusible	C	MTA_S_10788	MTA_L_10788
10788_MTA-1	Línea aérea por fase	C	MTA_S_10788	MTA_L_10788
4453	Transformador con dos devanados	C	MTA_L_10788	MTA_L_12793
12793_MTA-1	Línea aérea por fase	C	MTA_L_10788	MTA_L_12793
l12793_MTA-1	Línea aérea por fase	C	MTA_L_12793	IMTA_L_12793
168763_MTA-1	Línea aérea por fase	ABC	MTA_S_168763	MTS_L_33308
53035	Fusible	ABC	MTS_L_33310	MTS_L_33308
33308_MTS-1	Cable	ABC	MTS_L_33310	MTS_L_33308
33310_MTS-1	Cable	ABC	MTS_L_33312	MTS_L_33310
21851	Interruptor seccionador	ABC	MTS_L_33311	MTS_L_33312

Topología - Elementos ramales

Nro. equipo	Código	Fase	Nodo origen	Nodo destino
33312_MTS-1	Cable	ABC	MTS_L_33311	MTS_L_33312
33311_MTS-1	Cable	ABC	MTS_S_33313	MTS_L_33311
2431	Fusible	ABC	MTS_S_33313	MTS_L_33313
33313_MTS-1	Cable	ABC	MTS_S_33313	MTS_L_33313
12247	Transformador con dos devanados	ABC	MTS_L_33313	MTS_L_33314
33314_MTS-1	Cable	ABC	MTS_L_33313	MTS_L_33314
I33314_MTS-1	Cable	ABC	MTS_L_33314	IMTS_L_33314
53037	Fusible	ABC	MTA_L_1581	MTA_L_129422
129422_MTA-1	Línea aérea por fase	ABC	MTA_L_1581	MTA_L_129422
129423_MTA-1	Línea aérea por fase	ABC	MTA_L_129422	MTA_L_129423
5694_MTA-1	Línea aérea por fase	ABC	MTA_L_129423	MTA_S_11877
588	Fusible	A	MTA_S_11877	MTA_S_14443
11877_MTA-1	Línea aérea por fase	A	MTA_S_11877	MTA_S_14443
14956	Transformador con dos devanados	A	MTA_S_14443	MTA_L_14443
14443_MTA-1	Línea aérea por fase	A	MTA_S_14443	MTA_L_14443
I14443_MTA-1	Línea aérea por fase	A	MTA_L_14443	IMTA_L_14443
1738_MTA-1	Línea aérea por fase	ABC	MTA_S_5695	MTA_S_11877
2522	Fusible	ABC	MTA_S_5695	MTA_L_11659
11659_MTA-1	Línea aérea por fase	ABC	MTA_S_5695	MTA_L_11659
7096	Transformador con dos devanados	ABC	MTA_L_11659	MTA_L_13646
13646_MTA-1	Línea aérea por fase	ABC	MTA_L_11659	MTA_L_13646
I13646_MTA-1	Línea aérea por fase	ABC	MTA_L_13646	IMTA_L_13646
5695_MTA-1	Línea aérea por fase	ABC	MTA_S_5695	MTA_S_5696
5696_MTA-1	Línea aérea por fase	ABC	MTA_S_5696	MTA_L_5696
5697_MTA-1	Línea aérea por fase	ABC	MTA_L_5696	MTA_L_5697
6371_MTA-1	Línea aérea por fase	ABC	MTA_L_5697	MTA_L_6371
76789_MTA-1	Línea aérea por fase	ABC	MTA_L_1581	MTA_S_5698
25985	Interruptor seccionador	ABC	MTA_S_5698	MTA_S_5699
5698_MTA-1	Línea aérea por fase	ABC	MTA_S_5698	MTA_S_5699
76791_MTA-1	Línea aérea por fase	ABC	MTA_S_5698	MTA_L_76791
27701	Fusible	ABC	MTA_L_76791	MTS_L_32079

Topología - Elementos ramales

Nro. equipo	Código	Fase	Nodo origen	Nodo destino
32079_MTS-1	Cable	ABC	MTA_L_76791	MTS_L_32079
32081_MTS-1	Cable	ABC	MTS_L_32079	MTS_L_32081
32083_MTS-1	Cable	ABC	MTS_L_32081	MTS_L_32083
32085_MTS-1	Cable	ABC	MTS_L_32083	MTS_L_32085
32087_MTS-1	Cable	ABC	MTS_L_32085	MTS_L_32087
21513	Interruptor seccionador	ABC	MTS_L_32087	MTS_L_32088
32088_MTS-1	Cable	ABC	MTS_L_32087	MTS_L_32088
1332	Fusible	ABC	MTS_L_32088	MTS_L_380
380_MTS-1	Cable	ABC	MTS_L_32088	MTS_L_380
12960	Transformador con dos devanados	ABC	MTS_L_380	MTS_L_505
505_MTS-1	Cable	ABC	MTS_L_380	MTS_L_505
I505_MTS-1	Cable	ABC	MTS_L_505	IMTS_L_505
200148_MTA-1	Línea aérea por fase	ABC	MTA_S_9921	MTA_L_200148
89052	Fusible	ABC	MTA_L_200148	MTA_L_200149
200149_MTA-1	Línea aérea por fase	ABC	MTA_L_200148	MTA_L_200149
44827_MTS-1	Cable	ABC	MTA_L_200149	MTS_L_44827
44829_MTS-1	Cable	ABC	MTS_L_44827	MTS_L_44829
44831_MTS-1	Cable	ABC	MTS_L_44829	MTS_L_44831
45120_MTS-1	Cable	ABC	MTS_L_44831	MTS_L_45120
91641	Fusible	ABC	MTS_L_45120	MTS_L_46760
46760_MTS-1	Cable	ABC	MTS_L_45120	MTS_L_46760
18151	Transformador con dos devanados	ABC	MTS_L_46760	MTS_L_46761
46761_MTS-1	Cable	ABC	MTS_L_46760	MTS_L_46761
I46761_MTS-1	Cable	ABC	MTS_L_46761	IMTS_L_46761
655	Fusible	A	MTA_S_9921	MTA_S_14144
9921_MTA-1	Línea aérea por fase	A	MTA_S_9921	MTA_S_14144
8916	Transformador con dos devanados	A	MTA_S_14144	MTA_L_14144
14144_MTA-1	Línea aérea por fase	A	MTA_S_14144	MTA_L_14144
I14144_MTA-1	Línea aérea por fase	A	MTA_L_14144	IMTA_L_14144
168765_MTA-1	Línea aérea por fase	ABC	MTA_S_168765	MTA_L_168765
51709	Fusible	ABC	MTA_L_168765	MTS_L_33315

Topología - Elementos ramales

Nro. equipo	Código	Fase	Nodo origen	Nodo destino
33315_MTS-1	Cable	ABC	MTA_L_168765	MTS_L_33315
33317_MTS-1	Cable	ABC	MTS_L_33315	MTS_L_33317
21852	Interruptor seccionador	ABC	MTS_L_33317	MTS_L_33321
33321_MTS-1	Cable	ABC	MTS_L_33317	MTS_L_33321
33322_MTS-1	Cable	ABC	MTS_L_33321	MTS_L_33322
538_MTS-1	Cable	B	MTS_L_33322	MTS_L_538
1327	Fusible	B	MTS_L_538	MTS_L_540
540_MTS-1	Cable	B	MTS_L_538	MTS_L_540
14995	Transformador con dos devanados	B	MTS_L_540	MTS_L_503
503_MTS-1	Cable	B	MTS_L_540	MTS_L_503
I503_MTS-1	Cable	B	MTS_L_503	IMTS_L_503
539_MTS-1	Cable	A	MTS_L_33322	MTS_L_539
1326	Fusible	A	MTS_L_539	MTS_L_541
541_MTS-1	Cable	A	MTS_L_539	MTS_L_541
15189	Transformador con dos devanados	A	MTS_L_541	MTS_L_502
502_MTS-1	Cable	A	MTS_L_541	MTS_L_502
I502_MTS-1	Cable	A	MTS_L_502	IMTS_L_502
654	Fusible	A	MTA_S_9920	MTA_S_14143
9920_MTA-1	Línea aérea por fase	A	MTA_S_9920	MTA_S_14143
292	Transformador con dos devanados	A	MTA_S_14143	MTA_L_14143
14143_MTA-1	Línea aérea por fase	A	MTA_S_14143	MTA_L_14143
I14143_MTA-1	Línea aérea por fase	A	MTA_L_14143	IMTA_L_14143
7583_MTA-1	Línea aérea por fase	ABC	MTA_S_4765	MTA_S_9919
653	Fusible	C	MTA_S_9919	MTA_S_14142
9919_MTA-1	Línea aérea por fase	C	MTA_S_9919	MTA_S_14142
10237	Transformador con dos devanados	C	MTA_S_14142	MTA_L_14142
14142_MTA-1	Línea aérea por fase	C	MTA_S_14142	MTA_L_14142
I14142_MTA-1	Línea aérea por fase	C	MTA_L_14142	IMTA_L_14142
7590_MTA-1	Línea aérea por fase	C	MTA_L_7578	MTA_L_7590
6818_MTA-1	Línea aérea por fase	C	MTA_L_7590	MTA_L_6818
2337	Fusible	C	MTA_L_6818	MTA_L_11485

Topología - Elementos ramales

Nro. equipo	Código	Fase	Nodo origen	Nodo destino
11485_MTA-1	Línea aérea por fase	C	MTA_L_6818	MTA_L_11485
12320	Transformador con dos devanados	C	MTA_L_11485	MTA_L_13470
13470_MTA-1	Línea aérea por fase	C	MTA_L_11485	MTA_L_13470
I13470_MTA-1	Línea aérea por fase	C	MTA_L_13470	IMTA_L_13470
652	Fusible	A	MTA_L_7577	MTA_L_9918
9918_MTA-1	Línea aérea por fase	A	MTA_L_7577	MTA_L_9918
253	Transformador con dos devanados	A	MTA_L_9918	MTA_L_14141
14141_MTA-1	Línea aérea por fase	A	MTA_L_9918	MTA_L_14141
I14141_MTA-1	Línea aérea por fase	A	MTA_L_14141	IMTA_L_14141
7120_MTA-1	Línea aérea por fase	ABC	MTA_S_6416	MTA_L_7120
7121_MTA-1	Línea aérea por fase	ABC	MTA_L_7120	MTA_L_7121
1243	Fusible	B	MTA_L_7121	MTA_L_10562
10562_MTA-1	Línea aérea por fase	B	MTA_L_7121	MTA_L_10562
16133	Transformador con dos devanados	B	MTA_L_10562	MTA_L_14320
14320_MTA-1	Línea aérea por fase	B	MTA_L_10562	MTA_L_14320
I14320_MTA-1	Línea aérea por fase	B	MTA_L_14320	IMTA_L_14320
115287_MTA-1	Línea aérea por fase	ABC	MTA_L_7121	MTA_L_115287
48541	Fusible	ABC	MTA_L_115287	MTA_S_5810
115288_MTA-1	Línea aérea por fase	ABC	MTA_L_115287	MTA_S_5810
48542	Fusible	A	MTA_S_5810	MTA_L_115289
115289_MTA-1	Línea aérea por fase	A	MTA_S_5810	MTA_L_115289
115290_MTA-1	Línea aérea por fase	A	MTA_L_115289	MTA_L_115290
5809_MTA-1	Línea aérea por fase	A	MTA_L_115290	MTA_S_10563
1244	Fusible	A	MTA_S_10563	MTA_L_10563
10563_MTA-1	Línea aérea por fase	A	MTA_S_10563	MTA_L_10563
6230	Transformador con dos devanados	A	MTA_L_10563	MTA_L_14321
14321_MTA-1	Línea aérea por fase	A	MTA_L_10563	MTA_L_14321
I14321_MTA-1	Línea aérea por fase	A	MTA_L_14321	IMTA_L_14321
5810_MTA-1	Línea aérea por fase	ABC	MTA_S_5810	MTA_S_5811
5811_MTA-1	Línea aérea por fase	ABC	MTA_S_5811	MTA_S_5812
5812_MTA-1	Línea aérea por fase	ABC	MTA_S_5812	MTA_S_5813

Topología - Elementos ramales

Nro. equipo	Código	Fase	Nodo origen	Nodo destino
5813_MTA-1	Línea aérea por fase	ABC	MTA_S_5813	MTA_S_5814
5814_MTA-1	Línea aérea por fase	ABC	MTA_S_5814	MTA_S_5815
5815_MTA-1	Línea aérea por fase	ABC	MTA_S_5815	MTA_S_5816
5816_MTA-1	Línea aérea por fase	ABC	MTA_S_5816	MTA_S_10564
1245	Fusible	B	MTA_S_10564	MTA_S_14322
10564_MTA-1	Línea aérea por fase	B	MTA_S_10564	MTA_S_14322
8506	Transformador con dos devanados	B	MTA_S_14322	MTA_L_14322
14322_MTA-1	Línea aérea por fase	B	MTA_S_14322	MTA_L_14322
I14322_MTA-1	Línea aérea por fase	B	MTA_L_14322	IMTA_L_14322
7591_MTA-1	Línea aérea por fase	ABC	MTA_S_10564	MTA_L_7591
1665_MTA-1	Línea aérea por fase	ABC	MTA_L_7591	MTA_L_1665
1666_MTA-1	Línea aérea por fase	ABC	MTA_L_1665	MTA_S_1667
1667_MTA-1	Línea aérea por fase	ABC	MTA_S_1667	MTA_L_1667
7593_MTA-1	Línea aérea por fase	ABC	MTA_L_1667	MTA_S_7212
7212_MTA-1	Línea aérea por fase	ABC	MTA_S_7212	MTA_S_115293
48544	Fusible	ABC	MTA_S_115293	MTA_L_115293
115293_MTA-1	Línea aérea por fase	ABC	MTA_S_115293	MTA_L_115293
115294_MTA-1	Línea aérea por fase	ABC	MTA_L_115293	MTA_L_115294
1246	Fusible	A	MTA_L_115294	MTA_S_14323
10565_MTA-1	Línea aérea por fase	A	MTA_L_115294	MTA_S_14323
7586	Transformador con dos devanados	A	MTA_S_14323	MTA_L_14323
14323_MTA-1	Línea aérea por fase	A	MTA_S_14323	MTA_L_14323
I14323_MTA-1	Línea aérea por fase	A	MTA_L_14323	IMTA_L_14323
7214_MTA-1	Línea aérea por fase	ABC	MTA_L_115294	MTA_L_7214
7215_MTA-1	Línea aérea por fase	ABC	MTA_L_7214	MTA_L_7215
7503_MTA-1	Línea aérea por fase	ABC	MTA_L_7215	MTA_S_7504
1247	Fusible	A	MTA_S_7504	MTA_S_14324
10566_MTA-1	Línea aérea por fase	A	MTA_S_7504	MTA_S_14324
16890	Transformador con dos devanados	A	MTA_S_14324	MTA_L_14324
14324_MTA-1	Línea aérea por fase	A	MTA_S_14324	MTA_L_14324
I14324_MTA-1	Línea aérea por fase	A	MTA_L_14324	IMTA_L_14324

Topología - Elementos ramales

Nro. equipo	Código	Fase	Nodo origen	Nodo destino
7504_MTA-1	Línea aérea por fase	ABC	MTA_S_7504	MTA_L_7504
7505_MTA-1	Línea aérea por fase	ABC	MTA_L_7504	MTA_L_7505
6147_MTA-1	Línea aérea por fase	ABC	MTA_S_6147	MTA_L_7505
115265_MTA-1	Línea aérea por fase	A	MTA_S_6147	MTA_L_115265
48511	Fusible	A	MTA_L_115265	MTA_L_115266
115266_MTA-1	Línea aérea por fase	A	MTA_L_115265	MTA_L_115266
7822_MTA-1	Línea aérea por fase	A	MTA_L_115266	MTA_L_7822
6861_MTA-1	Línea aérea por fase	A	MTA_L_7822	MTA_S_6862
6862_MTA-1	Línea aérea por fase	A	MTA_S_6862	MTA_S_6863
6863_MTA-1	Línea aérea por fase	A	MTA_S_6863	MTA_S_6864
48513	Fusible	A	MTA_S_6864	MTA_L_115556
115556_MTA-1	Línea aérea por fase	A	MTA_S_6864	MTA_L_115556
16176	Transformador con dos devanados	A	MTA_L_115556	MTA_L_115557
115557_MTA-1	Línea aérea por fase	A	MTA_L_115556	MTA_L_115557
I115557_MTA-1	Línea aérea por fase	A	MTA_L_115557	IMTA_L_115557
6864_MTA-1	Línea aérea por fase	A	MTA_S_6864	MTA_S_6865
6865_MTA-1	Línea aérea por fase	A	MTA_S_6865	MTA_L_6865
7642_MTA-1	Línea aérea por fase	A	MTA_L_6865	MTA_S_6866
1252	Fusible	A	MTA_S_6866	MTA_L_10571
10571_MTA-1	Línea aérea por fase	A	MTA_S_6866	MTA_L_10571
113	Transformador con dos devanados	A	MTA_L_10571	MTA_L_14329
14329_MTA-1	Línea aérea por fase	A	MTA_L_10571	MTA_L_14329
I14329_MTA-1	Línea aérea por fase	A	MTA_L_14329	IMTA_L_14329
6866_MTA-1	Línea aérea por fase	A	MTA_S_6866	MTA_S_6867
6867_MTA-1	Línea aérea por fase	A	MTA_S_6867	MTA_S_6868
6868_MTA-1	Línea aérea por fase	A	MTA_S_6868	MTA_S_6869
1253	Fusible	A	MTA_S_6869	MTA_L_10572
10572_MTA-1	Línea aérea por fase	A	MTA_S_6869	MTA_L_10572
11996	Transformador con dos devanados	A	MTA_L_10572	MTA_L_14330
14330_MTA-1	Línea aérea por fase	A	MTA_L_10572	MTA_L_14330
I14330_MTA-1	Línea aérea por fase	A	MTA_L_14330	IMTA_L_14330

Topología - Elementos ramales

Nro. equipo	Código	Fase	Nodo origen	Nodo destino
6869_MTA-1	Línea aérea por fase	A	MTA_S_6869	MTA_L_6869
6870_MTA-1	Línea aérea por fase	A	MTA_L_6869	MTA_S_10598
1283	Fusible	A	MTA_S_10598	MTA_L_10598
10598_MTA-1	Línea aérea por fase	A	MTA_S_10598	MTA_L_10598
10463	Transformador con dos devanados	A	MTA_L_10598	MTA_L_12603
12603_MTA-1	Línea aérea por fase	A	MTA_L_10598	MTA_L_12603
l12603_MTA-1	Línea aérea por fase	A	MTA_L_12603	IMTA_L_12603
9020_MTA-1	Línea aérea por fase	A	MTA_S_10598	MTA_S_115558
115558_MTA-1	Línea aérea por fase	A	MTA_S_115558	MTA_L_115558
48514	Fusible	A	MTA_L_115558	MTA_S_115562
115559_MTA-1	Línea aérea por fase	A	MTA_L_115558	MTA_S_115562
115562_MTA-1	Línea aérea por fase	A	MTA_S_115562	MTA_L_115562
115563_MTA-1	Línea aérea por fase	A	MTA_L_115562	MTA_S_9029
9029_MTA-1	Línea aérea por fase	A	MTA_S_9029	MTA_S_9030
9030_MTA-1	Línea aérea por fase	A	MTA_S_9030	MTA_S_9031
9031_MTA-1	Línea aérea por fase	A	MTA_S_9031	MTA_L_9031
1250	Fusible	A	MTA_L_9031	MTA_L_10569
10569_MTA-1	Línea aérea por fase	A	MTA_L_9031	MTA_L_10569
8972	Transformador con dos devanados	A	MTA_L_10569	MTA_L_14327
14327_MTA-1	Línea aérea por fase	A	MTA_L_10569	MTA_L_14327
l14327_MTA-1	Línea aérea por fase	A	MTA_L_14327	IMTA_L_14327
9032_MTA-1	Línea aérea por fase	A	MTA_L_9031	MTA_S_9094
9094_MTA-1	Línea aérea por fase	A	MTA_S_9094	MTA_S_9095
9095_MTA-1	Línea aérea por fase	A	MTA_S_9095	MTA_L_6858
115564_MTA-1	Línea aérea por fase	A	MTA_L_6858	MTA_S_115565
48529	Fusible	A	MTA_S_115565	MTA_S_6860
115565_MTA-1	Línea aérea por fase	A	MTA_S_115565	MTA_S_6860
6860_MTA-1	Línea aérea por fase	A	MTA_S_6860	MTA_L_6860
6858_MTA-1	Línea aérea por fase	A	MTA_S_6858	MTA_L_6858
7511_MTA-1	Línea aérea por fase	A	MTA_S_7511	MTA_S_6858
7509_MTA-1	Línea aérea por fase	A	MTA_S_10568	MTA_S_7511

Topología - Elementos ramales

Nro. equipo	Código	Fase	Nodo origen	Nodo destino
1249	Fusible	A	MTA_S_10568	MTA_S_14326
10568_MTA-1	Línea aérea por fase	A	MTA_S_10568	MTA_S_14326
5735	Transformador con dos devanados	A	MTA_S_14326	MTA_L_14326
14326_MTA-1	Línea aérea por fase	A	MTA_S_14326	MTA_L_14326
I14326_MTA-1	Línea aérea por fase	A	MTA_L_14326	IMTA_L_14326
9025_MTA-1	Línea aérea por fase	A	MTA_S_115562	MTA_L_9025
9026_MTA-1	Línea aérea por fase	A	MTA_L_9025	MTA_S_11354
2189	Fusible	A	MTA_S_11354	MTA_S_13338
11354_MTA-1	Línea aérea por fase	A	MTA_S_11354	MTA_S_13338
14246	Transformador con dos devanados	A	MTA_S_13338	MTA_L_13338
13338_MTA-1	Línea aérea por fase	A	MTA_S_13338	MTA_L_13338
I13338_MTA-1	Línea aérea por fase	A	MTA_L_13338	IMTA_L_13338
9027_MTA-1	Línea aérea por fase	A	MTA_S_11354	MTA_L_9027
48510	Fusible	ABC	MTA_S_6147	MTA_L_115295
115295_MTA-1	Línea aérea por fase	ABC	MTA_S_6147	MTA_L_115295
115296_MTA-1	Línea aérea por fase	ABC	MTA_L_115295	MTA_L_115296
7507_MTA-1	Línea aérea por fase	ABC	MTA_L_115296	MTA_L_7507
1248	Fusible	ABC	MTA_L_7507	MTA_L_10567
10567_MTA-1	Línea aérea por fase	ABC	MTA_L_7507	MTA_L_10567
11981;10733;11982	Transformador con dos devanados	ABC	MTA_L_10567	MTA_L_14325
14325_MTA-1	Línea aérea por fase	ABC	MTA_L_10567	MTA_L_14325
I14325_MTA-1	Línea aérea por fase	ABC	MTA_L_14325	IMTA_L_14325
9038_MTA-1	Línea aérea por fase	B	MTA_S_5811	MTA_L_9038
48543	Fusible	B	MTA_L_9038	MTA_S_115292
115291_MTA-1	Línea aérea por fase	B	MTA_L_9038	MTA_S_115292
115292_MTA-1	Línea aérea por fase	B	MTA_S_115292	MTA_L_115292
9040_MTA-1	Línea aérea por fase	B	MTA_L_115292	MTA_L_9040
9041_MTA-1	Línea aérea por fase	B	MTA_L_9040	MTA_S_9042
622	Fusible	B	MTA_S_9042	MTA_S_14477
11910_MTA-1	Línea aérea por fase	B	MTA_S_9042	MTA_S_14477
13557	Transformador con dos devanados	B	MTA_S_14477	MTA_L_14477

Topología - Elementos ramales

Nro. equipo	Código	Fase	Nodo origen	Nodo destino
14477_MTA-1	Línea aérea por fase	B	MTA_S_14477	MTA_L_14477
l14477_MTA-1	Línea aérea por fase	B	MTA_L_14477	IMTA_L_14477
9042_MTA-1	Línea aérea por fase	B	MTA_S_9042	MTA_S_9043
9043_MTA-1	Línea aérea por fase	B	MTA_S_9043	MTA_S_9044
9044_MTA-1	Línea aérea por fase	B	MTA_S_9044	MTA_L_9044
2639	Fusible	AC	MTA_L_114613	MTA_S_13763
11776_MTA-1	Línea aérea por fase	AC	MTA_L_114613	MTA_S_13763
3743;3697	Transformador con dos devanados	AC	MTA_S_13763	MTA_L_13763
13763_MTA-1	Línea aérea por fase	AC	MTA_S_13763	MTA_L_13763
l13763_MTA-1	Línea aérea por fase	AC	MTA_L_13763	IMTA_L_13763
2638	Fusible	B	MTA_S_11775	MTA_L_11775
11775_MTA-1	Línea aérea por fase	B	MTA_S_11775	MTA_L_11775
5935	Transformador con dos devanados	B	MTA_L_11775	MTA_L_13762
13762_MTA-1	Línea aérea por fase	B	MTA_L_11775	MTA_L_13762
l13762_MTA-1	Línea aérea por fase	B	MTA_L_13762	IMTA_L_13762
1726_MTA-1	Línea aérea por fase	ABC	MTA_S_1726	MTA_S_1727
1727_MTA-1	Línea aérea por fase	ABC	MTA_S_1727	MTA_S_2984
2984_MTA-1	Línea aérea por fase	ABC	MTA_S_2984	MTA_S_11907
619	Fusible	ABC	MTA_S_11907	MTA_S_14474
11907_MTA-1	Línea aérea por fase	ABC	MTA_S_11907	MTA_S_14474
14244	Transformador con dos devanados	ABC	MTA_S_14474	MTA_L_14474
14474_MTA-1	Línea aérea por fase	ABC	MTA_S_14474	MTA_L_14474
l14474_MTA-1	Línea aérea por fase	ABC	MTA_L_14474	IMTA_L_14474
17905_MTA-1	Línea aérea por fase	B	MTA_S_11907	MTA_S_114604
47871	Fusible	B	MTA_S_114604	MTA_L_114604
114604_MTA-1	Línea aérea por fase	B	MTA_S_114604	MTA_L_114604
15986	Transformador con dos devanados	B	MTA_L_114604	MTA_L_114605
114605_MTA-1	Línea aérea por fase	B	MTA_L_114604	MTA_L_114605
l114605_MTA-1	Línea aérea por fase	B	MTA_L_114605	IMTA_L_114605

Topología - Elementos shunt

Nro. equipo	Código	Fase	Nodo origen
MTA_L_13780	Carga concentrada	B	MTA_L_13780
MTS_L_506	Carga concentrada	ABC	MTS_L_506
MTS_L_464	Carga concentrada	ABC	MTS_L_464
MTA_L_13704	Carga concentrada	B	MTA_L_13704
MTA_L_13471	Carga concentrada	B	MTA_L_13471
MTA_L_114960	Carga concentrada	A	MTA_L_114960
MTA_L_114963	Carga concentrada	B	MTA_L_114963
MTA_L_13781	Carga concentrada	C	MTA_L_13781
MTA_L_114966	Carga concentrada	A	MTA_L_114966
MTA_L_115255	Carga concentrada	B	MTA_L_115255
MTS_L_514	Carga concentrada	ABC	MTS_L_514
MTS_L_42571	Carga concentrada	ABC	MTS_L_42571
MTA_L_13782	Carga concentrada	B	MTA_L_13782
MTA_L_14363	Carga concentrada	C	MTA_L_14363
MTA_L_13643	Carga concentrada	ABC	MTA_L_13643
MTA_L_17892	Carga concentrada	B	MTA_L_17892
MTA_L_114624	Carga concentrada	B	MTA_L_114624
MTA_L_189261	Carga concentrada	ABC	MTA_L_189261
MTA_L_13644	Carga concentrada	C	MTA_L_13644
MTA_L_114591	Carga concentrada	ABC	MTA_L_114591
MTA_L_13299	Carga concentrada	C	MTA_L_13299
MTA_L_13645	Carga concentrada	C	MTA_L_13645
MTA_L_14365	Carga concentrada	B	MTA_L_14365
MTA_L_14366	Carga concentrada	B	MTA_L_14366
MTA_L_14367	Carga concentrada	B	MTA_L_14367
MTA_L_189622	Carga concentrada	A	MTA_L_189622
MTA_L_114973	Carga concentrada	B	MTA_L_114973
MTA_L_14368	Carga concentrada	B	MTA_L_14368
MTA_L_14369	Carga concentrada	B	MTA_L_14369
MTA_L_19164	Carga concentrada	B	MTA_L_19164
MTA_L_19162	Carga concentrada	A	MTA_L_19162

Topología - Elementos shunt			
Nro. equipo	Código	Fase	Nodo origen
MTA_L_14370	Carga concentrada	A	MTA_L_14370
MTA_L_14372	Carga concentrada	C	MTA_L_14372
MTA_L_14371	Carga concentrada	A	MTA_L_14371
MTS_L_501	Carga concentrada	ABC	MTS_L_501
MTA_L_14411	Carga concentrada	B	MTA_L_14411
MTS_L_1872	Carga concentrada	ABC	MTS_L_1872
MTA_L_14412	Carga concentrada	B	MTA_L_14412
MTA_L_14413	Carga concentrada	B	MTA_L_14413
MTA_L_14414	Carga concentrada	A	MTA_L_14414
MTA_L_14415	Carga concentrada	B	MTA_L_14415
MTA_L_14416	Carga concentrada	AB	MTA_L_14416
MTS_L_521	Carga concentrada	ABC	MTS_L_521
MTA_L_14417	Carga concentrada	B	MTA_L_14417
MTA_L_13555	Carga concentrada	ABC	MTA_L_13555
MTA_L_14145	Carga concentrada	B	MTA_L_14145
MTA_L_17589	Carga concentrada	ABC	MTA_L_17589
MTA_L_13556	Carga concentrada	A	MTA_L_13556
MTA_L_13557	Carga concentrada	ABC	MTA_L_13557
MTA_L_206835	Carga concentrada	ABC	MTA_L_206835
MTA_L_14315	Carga concentrada	B	MTA_L_14315
MTA_L_14301	Carga concentrada	ABC	MTA_L_14301
MTA_L_12605	Carga concentrada	B	MTA_L_12605
MTA_L_13300	Carga concentrada	B	MTA_L_13300
MTS_L_33001	Carga concentrada	ABC	MTS_L_33001
MTS_L_46782	Carga concentrada	ABC	MTS_L_46782
MTA_L_12610	Carga concentrada	C	MTA_L_12610
MTA_L_12611	Carga concentrada	C	MTA_L_12611
MTA_L_116204	Carga concentrada	C	MTA_L_116204
MTA_L_17587	Carga concentrada	C	MTA_L_17587
MTA_L_14219	Carga concentrada	C	MTA_L_14219
MTA_L_116207	Carga concentrada	C	MTA_L_116207

Topología - Elementos shunt

Nro. equipo	Código	Fase	Nodo origen
MTA_L_12609	Carga concentrada	C	MTA_L_12609
MTA_L_17582	Carga concentrada	ABC	MTA_L_17582
MTA_L_12607	Carga concentrada	B	MTA_L_12607
MTA_L_12608	Carga concentrada	B	MTA_L_12608
MTS_L_520	Carga concentrada	ABC	MTS_L_520
MTA_L_14418	Carga concentrada	B	MTA_L_14418
MTA_L_14419	Carga concentrada	C	MTA_L_14419
MTA_L_14421	Carga concentrada	B	MTA_L_14421
MTA_L_14422	Carga concentrada	C	MTA_L_14422
MTA_L_14420	Carga concentrada	A	MTA_L_14420
MTA_L_14220	Carga concentrada	A	MTA_L_14220
MTA_L_14224	Carga concentrada	A	MTA_L_14224
MTA_L_14225	Carga concentrada	C	MTA_L_14225
MTA_L_13472	Carga concentrada	C	MTA_L_13472
MTA_L_14222	Carga concentrada	C	MTA_L_14222
MTA_L_14223	Carga concentrada	B	MTA_L_14223
MTA_L_186678	Carga concentrada	B	MTA_L_186678
MTA_L_14221	Carga concentrada	A	MTA_L_14221
MTA_L_116822	Carga concentrada	A	MTA_L_116822
MTA_L_116824	Carga concentrada	A	MTA_L_116824
MTA_L_14318	Carga concentrada	B	MTA_L_14318
MTA_L_13394	Carga concentrada	B	MTA_L_13394
MTA_L_14319	Carga concentrada	B	MTA_L_14319
MTA_L_14317	Carga concentrada	B	MTA_L_14317
MTA_L_14316	Carga concentrada	C	MTA_L_14316
MTA_L_14146	Carga concentrada	B	MTA_L_14146
MTA_L_14448	Carga concentrada	A	MTA_L_14448
MTA_L_14449	Carga concentrada	A	MTA_L_14449
MTA_L_214503	Carga concentrada	ABC	MTA_L_214503
MTA_L_14446	Carga concentrada	B	MTA_L_14446
MTA_L_14447	Carga concentrada	C	MTA_L_14447

Topología - Elementos shunt

Nro. equipo	Código	Fase	Nodo origen
MTA_L_14450	Carga concentrada	ABC	MTA_L_14450
MTA_L_16610	Carga concentrada	A	MTA_L_16610
MTA_L_14451	Carga concentrada	ABC	MTA_L_14451
MTA_L_14452	Carga concentrada	ABC	MTA_L_14452
MTA_L_13569	Carga concentrada	AB	MTA_L_13569
MTA_L_14455	Carga concentrada	C	MTA_L_14455
MTA_L_117827	Carga concentrada	A	MTA_L_117827
MTA_L_14445	Carga concentrada	A	MTA_L_14445
MTA_L_14312	Carga concentrada	ABC	MTA_L_14312
MTA_L_14456	Carga concentrada	ABC	MTA_L_14456
MTA_L_14132	Carga concentrada	C	MTA_L_14132
MTA_L_12604	Carga concentrada	C	MTA_L_12604
MTA_L_71639	Carga concentrada	C	MTA_L_71639
MTA_L_14137	Carga concentrada	C	MTA_L_14137
MTA_L_14136	Carga concentrada	C	MTA_L_14136
MTA_L_193392	Carga concentrada	C	MTA_L_193392
MTA_L_14135	Carga concentrada	C	MTA_L_14135
MTA_L_190173	Carga concentrada	C	MTA_L_190173
MTA_L_14134	Carga concentrada	C	MTA_L_14134
MTA_L_14133	Carga concentrada	C	MTA_L_14133
MTA_L_63974	Carga concentrada	A	MTA_L_63974
MTA_L_14453	Carga concentrada	A	MTA_L_14453
MTA_L_65861	Carga concentrada	A	MTA_L_65861
MTA_L_14454	Carga concentrada	A	MTA_L_14454
MTA_L_16933	Carga concentrada	B	MTA_L_16933
MTA_L_13398	Carga concentrada	B	MTA_L_13398
MTA_L_14138	Carga concentrada	A	MTA_L_14138
MTA_L_14139	Carga concentrada	B	MTA_L_14139
MTA_L_14140	Carga concentrada	B	MTA_L_14140
MTS_L_9593	Carga concentrada	A	MTS_L_9593
MTA_L_13570	Carga concentrada	B	MTA_L_13570

Topología - Elementos shunt

Nro. equipo	Código	Fase	Nodo origen
MTA_L_13561	Carga concentrada	AB	MTA_L_13561
MTS_L_47064	Carga concentrada	ABC	MTS_L_47064
MTA_L_13562	Carga concentrada	A	MTA_L_13562
MTA_L_13582	Carga concentrada	A	MTA_L_13582
MTA_L_13571	Carga concentrada	A	MTA_L_13571
MTA_L_132626	Carga concentrada	A	MTA_L_132626
MTA_L_132617	Carga concentrada	C	MTA_L_132617
MTA_L_132619	Carga concentrada	C	MTA_L_132619
MTA_L_14164	Carga concentrada	C	MTA_L_14164
MTA_L_14163	Carga concentrada	B	MTA_L_14163
MTA_L_13581	Carga concentrada	C	MTA_L_13581
MTA_L_14162	Carga concentrada	A	MTA_L_14162
322_CON	Condensador shunt	ABC	MTA_S_162985
MTA_L_13657	Carga concentrada	A	MTA_L_13657
MTA_L_13658	Carga concentrada	C	MTA_L_13658
MTA_L_13659	Carga concentrada	ABC	MTA_L_13659
MTA_L_13660	Carga concentrada	A	MTA_L_13660
MTS_L_466	Carga concentrada	A	MTS_L_466
MTA_L_13661	Carga concentrada	C	MTA_L_13661
MTA_L_130343	Carga concentrada	B	MTA_L_130343
MTA_L_13666	Carga concentrada	A	MTA_L_13666
MTA_L_14161	Carga concentrada	B	MTA_L_14161
MTS_L_33427	Carga concentrada	ABC	MTS_L_33427
MTA_L_13662	Carga concentrada	ABC	MTA_L_13662
MTA_L_13663	Carga concentrada	ABC	MTA_L_13663
MTA_L_13664	Carga concentrada	ABC	MTA_L_13664
MTA_L_13665	Carga concentrada	ABC	MTA_L_13665
MTS_L_511	Carga concentrada	ABC	MTS_L_511
MTA_L_14243	Carga concentrada	C	MTA_L_14243
MTA_L_14244	Carga concentrada	B	MTA_L_14244
MTA_L_14245	Carga concentrada	B	MTA_L_14245

Topología - Elementos shunt

Nro. equipo	Código	Fase	Nodo origen
MTS_L_467	Carga concentrada	ABC	MTS_L_467
MTS_L_468	Carga concentrada	ABC	MTS_L_468
MTA_L_14246	Carga concentrada	C	MTA_L_14246
MTA_L_14247	Carga concentrada	C	MTA_L_14247
MTA_L_14248	Carga concentrada	C	MTA_L_14248
MTA_L_14249	Carga concentrada	ABC	MTA_L_14249
MTA_L_13566	Carga concentrada	C	MTA_L_13566
MTA_L_13567	Carga concentrada	ABC	MTA_L_13567
MTS_L_39055	Carga concentrada	A	MTS_L_39055
MTA_L_13572	Carga concentrada	A	MTA_L_13572
MTA_L_13311	Carga concentrada	A	MTA_L_13311
MTS_L_483	Carga concentrada	ABC	MTS_L_483
MTA_L_14250	Carga concentrada	ABC	MTA_L_14250
MTA_L_14251	Carga concentrada	B	MTA_L_14251
MTA_L_13278	Carga concentrada	ABC	MTA_L_13278
MTA_L_13279	Carga concentrada	ABC	MTA_L_13279
MTA_L_13280	Carga concentrada	ABC	MTA_L_13280
MTA_L_13282	Carga concentrada	AB	MTA_L_13282
MTA_L_14202	Carga concentrada	B	MTA_L_14202
MTA_L_13281	Carga concentrada	B	MTA_L_13281
MTA_L_13341	Carga concentrada	B	MTA_L_13341
MTA_L_13283	Carga concentrada	B	MTA_L_13283
MTA_L_13284	Carga concentrada	B	MTA_L_13284
MTA_L_13287	Carga concentrada	ABC	MTA_L_13287
MTA_L_99171	Carga concentrada	B	MTA_L_99171
MTS_L_27568	Carga concentrada	ABC	MTS_L_27568
MTA_L_13289	Carga concentrada	B	MTA_L_13289
MTA_L_13573	Carga concentrada	B	MTA_L_13573
MTA_L_13291	Carga concentrada	B	MTA_L_13291
MTA_L_13292	Carga concentrada	B	MTA_L_13292
MTA_L_88633	Carga concentrada	B	MTA_L_88633

Topología - Elementos shunt			
Nro. equipo	Código	Fase	Nodo origen
MTA_L_42546	Carga concentrada	B	MTA_L_42546
MTA_L_13293	Carga concentrada	B	MTA_L_13293
MTA_L_13294	Carga concentrada	B	MTA_L_13294
MTA_L_93551	Carga concentrada	B	MTA_L_93551
MTA_L_13290	Carga concentrada	B	MTA_L_13290
MTA_L_13285	Carga concentrada	A	MTA_L_13285
MTA_L_13286	Carga concentrada	ABC	MTA_L_13286
MTS_L_27534	Carga concentrada	ABC	MTS_L_27534
MTS_L_27204	Carga concentrada	ABC	MTS_L_27204
MTA_L_98895	Carga concentrada	ABC	MTA_L_98895
MTA_L_181577	Carga concentrada	A	MTA_L_181577
MTA_L_13558	Carga concentrada	AC	MTA_L_13558
MTA_L_13442	Carga concentrada	C	MTA_L_13442
MTS_L_1240	Carga concentrada	A	MTS_L_1240
MTS_L_1560	Carga concentrada	ABC	MTS_L_1560
MTA_L_12794	Carga concentrada	ABC	MTA_L_12794
MTA_L_13473	Carga concentrada	C	MTA_L_13473
MTS_L_42880	Carga concentrada	C	MTS_L_42880
MTA_L_12793	Carga concentrada	C	MTA_L_12793
MTS_L_33314	Carga concentrada	ABC	MTS_L_33314
MTA_L_14443	Carga concentrada	A	MTA_L_14443
MTA_L_13646	Carga concentrada	ABC	MTA_L_13646
MTS_L_505	Carga concentrada	ABC	MTS_L_505
MTS_L_46761	Carga concentrada	ABC	MTS_L_46761
MTA_L_14144	Carga concentrada	A	MTA_L_14144
MTS_L_503	Carga concentrada	B	MTS_L_503
MTS_L_502	Carga concentrada	A	MTS_L_502
MTA_L_14143	Carga concentrada	A	MTA_L_14143
MTA_L_14142	Carga concentrada	C	MTA_L_14142
MTA_L_13470	Carga concentrada	C	MTA_L_13470
MTA_L_14141	Carga concentrada	A	MTA_L_14141

Topología - Elementos shunt

Nro. equipo	Código	Fase	Nodo origen
MTA_L_14320	Carga concentrada	B	MTA_L_14320
MTA_L_14321	Carga concentrada	A	MTA_L_14321
MTA_L_14322	Carga concentrada	B	MTA_L_14322
MTA_L_14323	Carga concentrada	A	MTA_L_14323
MTA_L_14324	Carga concentrada	A	MTA_L_14324
MTA_L_115557	Carga concentrada	A	MTA_L_115557
MTA_L_14329	Carga concentrada	A	MTA_L_14329
MTA_L_14330	Carga concentrada	A	MTA_L_14330
MTA_L_12603	Carga concentrada	A	MTA_L_12603
MTA_L_14327	Carga concentrada	A	MTA_L_14327
MTA_L_14326	Carga concentrada	A	MTA_L_14326
MTA_L_13338	Carga concentrada	A	MTA_L_13338
MTA_L_14325	Carga concentrada	ABC	MTA_L_14325
MTA_L_14477	Carga concentrada	B	MTA_L_14477
MTA_L_13763	Carga concentrada	AC	MTA_L_13763
MTA_L_13762	Carga concentrada	B	MTA_L_13762
MTA_L_14474	Carga concentrada	ABC	MTA_L_14474
MTA_L_114605	Carga concentrada	B	MTA_L_114605

Flujo de carga - Líneas y cables

Nro. equipo	Nodo origen	Nodo destino	Id equipo	Código	V (kVLL)	Tensión de base (kVLL)	Longitud (m)	Potencia total de paso (kW)	Potencia total de paso (kvar)	Potencia total de paso (kVA)	Fp promedio (%)	IEquil (A)	Desfase I (°)	Pérdidas totales (kW)	Pérdidas totales (kvar)	Carga (%)
7604_MTA-1	NODOFUENTE-646	MTA_L_7604	ACSR.2/0,ACSR.2/0,ACSR.2/0,ACSR.1/0,NONE,3CP	Línea aérea por fase	13.8	13.800	51.5	1722	1123	2056	83.77	86.0	-33.10	0.5	0.6	35.0
5682_MTA-1	MTA_L_7604	MTA_L_5682	ACSR.1/0,ACSR.1/0,ACSR.1/0,ACSR.1/0,NONE,3CP	Línea aérea por fase	13.8	13.800	51.4	1722	1122	2055	83.78	86.0	-33.10	0.6	0.6	41.1
5683_MTA-1	MTA_L_5682	MTA_S_74197	ACSR.1/0,ACSR.1/0,ACSR.1/0,ACSR.4,NONE,3CP	Línea aérea por fase	13.8	13.800	74.1	1721	1121	2054	83.78	86.0	-33.10	0.9	0.9	41.1
74197_MTA-1	MTA_S_74197	MTA_L_74197	ACSR.1/0,ACSR.1/0,ACSR.1/0,ACSR.4,NONE,3CP	Línea aérea por fase	13.8	13.800	45.7	1720	1121	2053	83.78	86.0	-33.10	0.6	0.5	41.1
74198_MTA-1	MTA_L_74197	MTA_L_74198	ACSR.1/0,ACSR.1/0,ACSR.1/0,ACSR.4,NONE,3CP	Línea aérea por fase	13.8	13.800	0.7	1720	1120	2052	83.79	86.0	-33.10	0.0	0.0	41.1
74199_MTA-1	MTA_L_74198	MTA_S_5686	ACSR.1/0,ACSR.1/0,ACSR.1/0,ACSR.4,NONE,3CP	Línea aérea por fase	13.8	13.800	49.0	1720	1120	2052	83.79	86.0	-33.10	0.6	0.6	41.1
11793_MTA-1	MTA_S_5686	MTA_S_13780	NONE,AAAC5005.2,NONE,AAAC5005.2,NONE,1CP	Línea aérea por fase		13.800	0.4	3	3	4	76.88	0.5	-39.79	0.0	0.0	0.5
13780_MTA-1	MTA_S_13780	MTA_L_13780	NONE,AAAC5005.2,NONE,AAAC5005.2,NONE,1CP	Línea aérea por fase		13.800	0.4	3	3	4	76.88	0.5	-39.79	0.0	0.0	0.5
113780_MTA-1	MTA_L_13780	IMTA_L_13780	NONE,AAAC5005.2,NONE,AAAC5005.2,NONE,1CP	Línea aérea por fase		0.240	0.0	3	3	4	76.73	31.2	-40.36	0.0	0.0	28.6
168759_MTA-1	MTA_S_168759	MTA_S_5686	AAAC5005.2,AAAC5005.2,AAAC5005.2,AAAC5005.2,NONE,3CP	Línea aérea por fase	13.8	13.800	1.1	44	37	58	76.87	2.4	-39.78	0.0	0.0	2.2
33033_MTS-1	MTA_S_168759	MTS_L_33033	3P_15KV.CU.2	Cable	13.8	13.800	3.2	44	37	58	76.87	2.4	-39.79	0.0	0.0	1.1
33035_MTS-1	MTS_L_33033	MTS_L_33035	3P_15KV.CU.2	Cable	13.8	13.800	4.8	44	37	58	76.84	2.4	-39.81	0.0	0.0	1.1
33037_MTS-1	MTS_L_33035	MTS_L_33037	3P_15KV.CU.2	Cable	13.8	13.800	23.0	44	37	58	76.80	2.4	-39.85	0.0	0.0	1.1
33039_MTS-1	MTS_L_33037	MTS_L_33039	3P_15KV.CU.2	Cable	13.8	13.800	6.1	44	37	58	76.60	2.4	-40.03	0.0	0.0	1.1
33281_MTS-1	MTS_L_33039	MTS_L_33281	3P_15KV.CU.2	Cable	13.8	13.800	3.2	44	37	58	76.55	2.4	-40.08	0.0	0.0	1.1
33282_MTS-1	MTS_L_33281	MTS_L_33282	3P_15KV.CU.2	Cable	13.8	13.800	0.6	44	37	58	76.52	2.4	-40.10	0.0	0.0	1.1
381_MTS-1	MTS_L_33282	MTS_L_381	3P_15KV.CU.3/0	Cable	13.8	13.800	0.3	44	37	58	76.51	2.4	-40.11	0.0	0.0	0.8
506_MTS-1	MTS_L_381	MTS_L_506	3P_15KV.CU.3/0	Cable	13.8	13.800	0.4	44	37	58	76.51	2.4	-40.11	0.0	0.0	0.8
1506_MTS-1	MTS_L_506	IMTS_L_506	3P_15KV.CU.3/0	Cable	0.2	0.240	0.0	44	36	57	76.73	138.9	-10.48	0.0	0.0	46.3
5686_MTA-1	MTA_S_5686	MTA_S_74202	ACSR.1/0,ACSR.1/0,ACSR.1/0,ACSR.4,NONE,3CP	Línea aérea por fase	13.8	13.800	40.7	1671	1080	1990	83.99	83.4	-32.89	0.5	0.5	39.8
74202_MTA-1	MTA_S_74202	MTA_L_168762	ACSR.1/0,ACSR.1/0,ACSR.1/0,ACSR.4,NONE,3CP	Línea aérea por fase	13.8	13.800	40.4	1671	1079	1989	83.99	83.4	-32.89	0.5	0.5	39.8
168762_MTA-1	MTS_S_33299	MTA_L_168762	AAAC5005.2,AAAC5005.2,AAAC5005.2,AAAC5005.2,NONE,3CP	Línea aérea por fase	13.8	13.800	0.8	11	9	14	77.88	0.6	-38.88	0.0	0.0	0.6
33299_MTS-1	MTS_S_33299	MTS_L_33299	3P_15KV.CU.2	Cable	13.8	13.800	2.2	11	9	14	77.88	0.6	-38.88	0.0	0.0	0.3
33301_MTS-1	MTS_L_33299	MTS_L_33301	3P_15KV.CU.2	Cable	13.8	13.800	14.6	11	9	14	77.81	0.6	-38.95	0.0	0.0	0.3
33305_MTS-1	MTS_L_33301	MTS_L_33305	3P_15KV.CU.2	Cable	13.8	13.800	12.7	11	9	14	77.29	0.6	-39.42	0.0	0.0	0.3
33306_MTS-1	MTS_L_33305	MTS_L_33306	3P_15KV.CU.2	Cable	13.8	13.800	0.4	11	9	15	76.84	0.6	-39.82	0.0	0.0	0.3
349_MTS-1	MTS_L_33306	MTS_L_349	3P_15KV.CU.3/0	Cable	13.8	13.800	0.3	11	9	15	76.83	0.6	-39.83	0.0	0.0	0.2
464_MTS-1	MTS_L_349	MTS_L_464	3P_15KV.CU.3/0	Cable	13.8	13.800	0.4	11	9	15	76.81	0.6	-39.84	0.0	0.0	0.2

Flujo de carga - Líneas y cables

Nro. equipo	Nodo origen	Nodo destino	Id equipo	Código	V (kVLL)	Tensión de base (kVLL)	Longitud (m)	Potencia total de paso (kW)	Potencia total de paso (kvar)	Potencia total de paso (kVA)	Fp promedio (%)	IEquil (A)	Desfase I (°)	Pérdidas totales (kW)	Pérdidas totales (kvar)	Carga (%)
I464_MTS-1	MTS_L_464	IMTS_L_464	3P_15KV.CU.3/0	Cable	0.2	0.240	0.0	11	9	14	76.73	34.7	-10.36	0.0	0.0	11.6
170338_MTA-1	MTA_L_74205	MTA_L_168762	NONE,ACSR.2,NONE,ACSR.4,NONE,1CP	Línea aérea por fase		13.800	0.4	2	2	3	77.12	0.4	-39.58	0.0	0.0	0.2
74205_MTA-1	MTA_S_11717	MTA_L_74205	NONE,ACSR.2,NONE,ACSR.4,NONE,1CP	Línea aérea por fase		13.800	49.5	2	2	3	77.12	0.4	-39.59	0.0	0.0	0.2
11717_MTA-1	MTA_S_11717	MTA_S_13704	NONE,AAAC5005.2,NONE,AAAC5005.2,NONE,1CP	Línea aérea por fase		13.800	0.4	2	2	3	76.97	0.4	-39.71	0.0	0.0	0.3
13704_MTA-1	MTA_S_13704	MTA_L_13704	NONE,AAAC5005.2,NONE,AAAC5005.2,NONE,1CP	Línea aérea por fase		13.800	0.3	2	2	3	76.97	0.4	-39.71	0.0	0.0	0.3
I13704_MTA-1	MTA_L_13704	IMTA_L_13704	NONE,AAAC5005.2,NONE,AAAC5005.2,NONE,1CP	Línea aérea por fase		0.240	0.0	2	2	3	76.73	20.8	-40.37	0.0	0.0	19.1
7971_MTA-1	MTA_L_168762	MTA_S_11486	ACSR.1/0,ACSR.1/0,ACSR.1/0,ACSR.4,NONE,3CP	Línea aérea por fase	13.8	13.800	38.7	1657	1068	1971	84.04	82.7	-32.84	0.4	0.4	39.4
11486_MTA-1	MTA_S_11486	MTA_S_13471	NONE,AAAC5005.2,NONE,AAAC5005.2,NONE,1CP	Línea aérea por fase		13.800	0.4	3	3	4	76.88	0.5	-39.80	0.0	0.0	0.5
13471_MTA-1	MTA_S_13471	MTA_L_13471	NONE,AAAC5005.2,NONE,AAAC5005.2,NONE,1CP	Línea aérea por fase		13.800	0.4	3	3	4	76.88	0.5	-39.80	0.0	0.0	0.5
I13471_MTA-1	MTA_L_13471	IMTA_L_13471	NONE,AAAC5005.2,NONE,AAAC5005.2,NONE,1CP	Línea aérea por fase		0.240	0.0	3	3	4	76.73	31.2	-40.38	0.0	0.0	28.6
7004_MTA-1	MTA_S_11486	MTA_S_114959	ACSR.1/0,ACSR.1/0,ACSR.1/0,ACSR.4,NONE,3CP	Línea aérea por fase	13.8	13.800	24.4	1653	1065	1966	84.06	82.5	-32.83	0.3	0.3	39.2
114959_MTA-1	MTA_S_114959	MTA_L_114959	AAAC5005.2,NONE,NONE,AAAC5005.2,NONE,1CP	Línea aérea por fase		13.800	0.2	3	3	4	76.88	0.5	-39.78	0.0	0.0	0.5
114960_MTA-1	MTA_L_114959	MTA_L_114960	AAAC5005.2,NONE,NONE,AAAC5005.2,NONE,1CP	Línea aérea por fase		13.800	0.2	3	3	4	76.88	0.5	-39.78	0.0	0.0	0.5
I114960_MTA-1	MTA_L_114960	IMTA_L_114960	AAAC5005.2,NONE,NONE,AAAC5005.2,NONE,1CP	Línea aérea por fase		0.240	0.0	3	3	4	76.73	31.2	-40.35	0.0	0.0	28.6
114962_MTA-1	MTA_S_114959	MTA_L_114962	NONE,AAAC5005.2,NONE,AAAC5005.2,NONE,1CP	Línea aérea por fase		13.800	0.2	1	1	1	77.22	0.1	-39.50	0.0	0.0	0.1
114963_MTA-1	MTA_L_114962	MTA_L_114963	NONE,AAAC5005.2,NONE,AAAC5005.2,NONE,1CP	Línea aérea por fase		13.800	0.2	1	1	1	77.22	0.1	-39.50	0.0	0.0	0.1
I114963_MTA-1	MTA_L_114963	IMTA_L_114963	NONE,AAAC5005.2,NONE,AAAC5005.2,NONE,1CP	Línea aérea por fase		0.240	0.0	1	1	1	76.73	6.2	-40.38	0.0	0.0	5.7
7005_MTA-1	MTA_S_114959	MTA_L_7005	ACSR.1/0,ACSR.1/0,ACSR.1/0,ACSR.4,NONE,3CP	Línea aérea por fase	13.8	13.800	37.6	1649	1061	1961	84.08	82.3	-32.81	0.4	0.4	39.1
7006_MTA-1	MTA_L_7005	MTA_S_11794	ACSR.1/0,ACSR.1/0,ACSR.1/0,ACSR.4,NONE,3CP	Línea aérea por fase	13.7	13.800	41.0	1648	1061	1960	84.08	82.3	-32.81	0.5	0.4	39.1
11794_MTA-1	MTA_S_11794	MTA_S_13781	NONE,NONE,AAAC5005.2,AAAC5005.2,NONE,1CP	Línea aérea por fase		13.800	0.4	6	5	7	76.79	0.9	-39.88	0.0	0.0	0.8
13781_MTA-1	MTA_S_13781	MTA_L_13781	NONE,NONE,AAAC5005.2,AAAC5005.2,NONE,1CP	Línea aérea por fase		13.800	0.4	6	5	7	76.79	0.9	-39.88	0.0	0.0	0.8
I13781_MTA-1	MTA_L_13781	IMTA_L_13781	NONE,NONE,AAAC5005.2,AAAC5005.2,NONE,1CP	Línea aérea por fase		0.240	0.0	5	5	7	76.73	52.0	-40.37	0.0	0.0	47.7
1725_MTA-1	MTA_S_11794	MTA_S_1727	ACSR.1/0,ACSR.1/0,ACSR.1/0,ACSR.4,NONE,3CP	Línea aérea por fase	13.7	13.800	19.2	1642	1056	1953	84.11	82.0	-32.78	0.2	0.2	39.1
1724_MTA-1	MTA_S_1727	MTA_S_7972	ACSR.1/0,ACSR.1/0,ACSR.1/0,ACSR.4,NONE,3CP	Línea aérea por fase	13.7	13.800	34.0	1632	1047	1939	84.16	81.5	-32.74	0.4	0.4	38.8
7972_MTA-1	MTA_S_7972	MTA_L_7972	ACSR.1/0,ACSR.1/0,ACSR.1/0,ACSR.4,NONE,3CP	Línea aérea por fase	13.7	13.800	46.1	1632	1047	1939	84.16	81.5	-32.74	0.5	0.5	38.8
114965_MTA-1	MTA_L_7972	MTA_L_114965	AAAC5005.2,NONE,NONE,AAAC5005.2,NONE,1CP	Línea aérea por fase		13.800	0.2	2	2	3	76.97	0.4	-39.71	0.0	0.0	0.3

Flujo de carga - Líneas y cables

Nro. equipo	Nodo origen	Nodo destino	Id equipo	Código	V (kVLL)	Tensión de base (kVLL)	Longitud (m)	Potencia total de paso (kW)	Potencia total de paso (kvar)	Potencia total de paso (kVA)	Fp promedio (%)	IEquil (A)	Desfase I (°)	Pérdidas totales (kW)	Pérdidas totales (kvar)	Carga (%)
114966_MTA-1	MTA_L_114965	MTA_L_114966	AAAC5005.2,NONE,NONE,AAAC5005.2,NONE,1CP	Línea aérea por fase		13.800	0.2	2	2	3	76.97	0.4	-39.71	0.0	0.0	0.3
114966_MTA-1	MTA_L_114966	IMTA_L_114966	AAAC5005.2,NONE,NONE,AAAC5005.2,NONE,1CP	Línea aérea por fase		0.240	0.0	2	2	3	76.73	20.8	-40.36	0.0	0.0	19.1
115254_MTA-1	MTA_L_7972	MTA_L_115254	NONE,AAAC5005.2,NONE,AAAC5005.2,NONE,1CP	Línea aérea por fase		13.800	0.5	1	1	1	77.11	0.2	-39.62	0.0	0.0	0.2
115255_MTA-1	MTA_L_115254	MTA_L_115255	NONE,AAAC5005.2,NONE,AAAC5005.2,NONE,1CP	Línea aérea por fase		13.800	0.5	1	1	1	77.11	0.2	-39.62	0.0	0.0	0.2
115255_MTA-1	MTA_L_115255	IMTA_L_115255	NONE,AAAC5005.2,NONE,AAAC5005.2,NONE,1CP	Línea aérea por fase		0.240	0.0	1	1	1	76.73	10.4	-40.40	0.0	0.0	9.6
7973_MTA-1	MTA_L_7972	MTA_S_7007	ACSR.1/0,ACSR.1/0,ACSR.1/0,ACSR.4,NONE,3CP	Línea aérea por fase	13.7	13.800	42.8	1628	1044	1934	84.18	81.3	-32.72	0.5	0.5	38.7
168740_MTA-1	MTA_S_168740	MTA_S_7007	AAAC5005.2,AAAC5005.2,AAAC5005.2,AAAC5005.2,NONE,3CP	Línea aérea por fase	13.7	13.800	0.7	11	9	14	77.53	0.6	-39.22	0.0	0.0	0.6
33030_MTS-1	MTS_L_33032	MTA_S_168740	3P_15KV.CU.2	Cable	13.7	13.800	0.8	11	9	14	77.53	0.6	-39.22	0.0	0.0	0.3
33032_MTS-1	MTS_L_33031	MTS_L_33032	3P_15KV.CU.2	Cable	13.7	13.800	19.1	11	9	14	77.50	0.6	-39.25	0.0	0.0	0.3
33031_MTS-1	MTS_S_389	MTS_L_33031	3P_15KV.CU.2	Cable	13.7	13.800	0.3	11	9	15	76.83	0.6	-39.85	0.0	0.0	0.3
389_MTS-1	MTS_S_389	MTS_L_389	3P_15KV.CU.3/0	Cable	13.7	13.800	0.2	11	9	15	76.82	0.6	-39.86	0.0	0.0	0.2
514_MTS-1	MTS_L_389	MTS_L_514	3P_15KV.CU.3/0	Cable	13.7	13.800	0.4	11	9	15	76.81	0.6	-39.87	0.0	0.0	0.2
1514_MTS-1	MTS_L_514	IMTS_L_514	3P_15KV.CU.3/0	Cable	0.2	0.240	0.0	11	9	14	76.73	34.7	-10.39	0.0	0.0	11.6
7007_MTA-1	MTA_S_7007	MTA_S_17919	ACSR.1/0,ACSR.1/0,ACSR.1/0,ACSR.4,NONE,3CP	Línea aérea por fase	13.7	13.800	38.6	1616	1034	1919	84.22	80.7	-32.68	0.4	0.4	38.4
17919_MTA-1	MTA_S_17919	MTS_L_33016	AAAC5005.2,AAAC5005.2,AAAC5005.2,AAAC5005.2,NONE,3CP	Línea aérea por fase	13.7	13.800	0.5	67	55	87	76.86	3.6	-39.83	0.0	0.0	3.3
33016_MTS-1	MTS_S_33016	MTS_L_33016	3P_15KV.CU.1/0	Cable	13.7	13.800	0.5	67	55	87	76.86	3.6	-39.83	0.0	0.0	1.6
33017_MTS-1	MTS_S_33016	MTS_L_33017	3P_15KV.CU.1/0	Cable	13.7	13.800	9.1	67	55	87	76.86	3.6	-39.83	0.0	0.0	1.6
33019_MTS-1	MTS_L_33017	MTS_L_33019	3P_15KV.CU.1/0	Cable	13.7	13.800	25.2	67	55	87	76.80	3.6	-39.88	0.0	0.0	1.6
33021_MTS-1	MTS_L_33019	MTS_L_33021	3P_15KV.CU.1/0	Cable	13.7	13.800	21.0	67	56	87	76.64	3.7	-40.02	0.0	0.0	1.6
33023_MTS-1	MTS_L_33021	MTS_L_33023	3P_15KV.CU.1/0	Cable	13.7	13.800	4.2	67	56	87	76.51	3.7	-40.14	0.0	0.0	1.6
33025_MTS-1	MTS_L_33023	MTS_L_33025	3P_15KV.CU.1/0	Cable	13.7	13.800	3.0	67	56	87	76.49	3.7	-40.17	0.0	0.0	1.6
33026_MTS-1	MTS_L_33025	MTS_L_33026	3P_15KV.CU.1/0	Cable	13.7	13.800	0.9	67	56	87	76.47	3.7	-40.18	0.0	0.0	1.6
1890_MTS-1	MTS_L_33026	MTS_L_1890	3P_15KV.CU.2	Cable	13.7	13.800	0.7	67	56	87	76.46	3.7	-40.19	0.0	0.0	1.6
42571_MTS-1	MTS_L_1890	MTS_L_42571	3P_15KV.CU.2	Cable	13.7	13.800	0.7	67	56	87	76.46	3.7	-40.19	0.0	0.0	1.6
142571_MTS-1	MTS_L_42571	IMTS_L_42571	3P_15KV.CU.2	Cable	0.2	0.240	0.0	65	55	85	76.73	209.1	-10.52	0.0	0.0	90.9
7008_MTA-1	MTA_S_17919	MTA_L_7008	ACSR.1/0,ACSR.1/0,ACSR.1/0,ACSR.4,NONE,3CP	Línea aérea por fase	13.7	13.800	42.0	1549	979	1832	84.54	77.1	-32.34	0.4	0.4	36.8
11795_MTA-1	MTA_L_7008	MTA_L_11795	NONE,AAAC5005.2,NONE,AAAC5005.2,NONE,1CP	Línea aérea por fase		13.800	0.4	6	5	7	76.79	0.9	-39.92	0.0	0.0	0.8
13782_MTA-1	MTA_L_11795	MTA_L_13782	NONE,AAAC5005.2,NONE,AAAC5005.2,NONE,1CP	Línea aérea por fase		13.800	0.4	6	5	7	76.79	0.9	-39.92	0.0	0.0	0.8

Flujo de carga - Líneas y cables

Nro. equipo	Nodo origen	Nodo destino	Id equipo	Código	V (kVLL)	Tensión de base (kVLL)	Longitud (m)	Potencia total de paso (kW)	Potencia total de paso (kvar)	Potencia total de paso (kVA)	Fp promedio (%)	IEquil (A)	Desfase I (°)	Pérdidas totales (kW)	Pérdidas totales (kvar)	Carga (%)
113782_MTA-1	MTA_L_13782	IMTA_L_13782	NONE,AAAC5005.2,NONE,AAAC5005.2,NONE,1CP	Línea aérea por fase		0.240	0.0	5	5	7	76.73	52.2	-40.42	0.0	0.0	47.9
7009_MTA-1	MTA_L_7008	MTA_S_7013	ACSR.1/0,ACSR.1/0,ACSR.1/0,ACSR.4,NONE,3CP	Línea aérea por fase	13.7	13.800	20.9	1543	974	1825	84.57	76.8	-32.31	0.2	0.2	36.4
7013_MTA-1	MTA_S_7013	MTA_S_114606	ACSR.1/0,ACSR.1/0,ACSR.1/0,ACSR.4,NONE,3CP	Línea aérea por fase	13.7	13.800	20.0	1543	973	1824	84.57	76.8	-32.31	0.2	0.2	36.4
114606_MTA-1	MTA_S_114606	MTA_S_114607	ACSR.1/0,ACSR.1/0,ACSR.1/0,ACSR.4,NONE,3CP	Línea aérea por fase	13.7	13.800	1.4	1543	973	1824	84.57	76.8	-32.31	0.0	0.0	36.4
114607_MTA-1	MTA_S_114607	MTA_L_114607	ACSR.1/0,ACSR.1/0,ACSR.1/0,ACSR.4,NONE,3CP	Línea aérea por fase	13.7	13.800	38.9	1543	973	1824	84.58	76.8	-32.31	0.4	0.4	36.4
11797_MTA-1	MTA_L_114607	MTA_S_14363	NONE,NONE,AAAC5005.2,AAAC5005.2,NONE,1CP	Línea aérea por fase		13.800	0.4	8	7	11	76.73	1.4	-39.96	0.0	0.0	1.3
14363_MTA-1	MTA_S_14363	MTA_L_14363	NONE,NONE,AAAC5005.2,AAAC5005.2,NONE,1CP	Línea aérea por fase		13.800	0.4	8	7	11	76.73	1.4	-39.96	0.0	0.0	1.3
114363_MTA-1	MTA_L_14363	IMTA_L_14363	NONE,NONE,AAAC5005.2,AAAC5005.2,NONE,1CP	Línea aérea por fase		0.240	0.0	8	7	11	76.73	78.2	-40.40	0.0	0.0	71.7
16276_MTS-1	MTA_L_114607	MTS_L_16276	3P_15KV.CU.2	Cable	13.7	13.800	0.6	0	0	0	0.00	0.0	89.93	-0.0	-0.0	0.0
16277_MTS-1	MTS_L_16276	MTS_L_16277	3P_15KV.CU.2	Cable	13.7	13.800	2.1	0	0	0	0.00	0.0	89.93	-0.0	-0.0	0.0
7015_MTA-1	MTA_L_114607	MTA_L_7015	ACSR.1/0,ACSR.1/0,ACSR.1/0,ACSR.4,NONE,3CP	Línea aérea por fase	13.7	13.800	37.3	1534	966	1813	84.62	76.3	-32.27	0.4	0.3	36.4
7016_MTA-1	MTA_L_7015	MTA_S_11775	ACSR.1/0,ACSR.1/0,ACSR.1/0,ACSR.4,NONE,3CP	Línea aérea por fase	13.7	13.800	41.7	1534	966	1812	84.62	76.3	-32.27	0.4	0.4	36.4
114613_MTA-1	MTA_S_11775	MTA_L_114613	ACSR.1/0,ACSR.1/0,ACSR.1/0,ACSR.4,NONE,3CP	Línea aérea por fase	13.7	13.800	1.6	1525	958	1801	84.67	75.9	-32.22	0.0	0.0	35.9
114614_MTA-1	MTA_L_114613	MTA_L_114614	ACSR.1/0,ACSR.1/0,ACSR.1/0,ACSR.4,NONE,3CP	Línea aérea por fase	13.7	13.800	44.9	1519	953	1793	84.70	75.5	-32.19	0.4	0.4	35.9
11656_MTA-1	MTA_L_114614	MTA_L_11656	AAAC5005.2,AAAC5005.2,AAAC5005.2,AAAC5005.2,NONE,3CP	Línea aérea por fase	13.7	13.800	0.4	10	8	13	76.87	0.6	-39.84	0.0	0.0	0.5
13643_MTA-1	MTA_L_11656	MTA_L_13643	AAAC5005.2,AAAC5005.2,AAAC5005.2,AAAC5005.2,NONE,3CP	Línea aérea por fase	13.7	13.800	0.4	10	8	13	76.87	0.6	-39.84	0.0	0.0	0.5
113643_MTA-1	MTA_L_13643	IMTA_L_13643	AAAC5005.2,AAAC5005.2,AAAC5005.2,AAAC5005.2,NONE,3CP	Línea aérea por fase	0.2	0.240	0.0	10	8	13	76.73	31.3	-10.41	0.0	0.0	28.7
7019_MTA-1	MTA_L_114614	MTA_L_7019	ACSR.1/0,ACSR.1/0,ACSR.1/0,ACSR.4,NONE,3CP	Línea aérea por fase	13.7	13.800	44.7	1508	944	1779	84.75	75.0	-32.13	0.4	0.4	35.6
114616_MTA-1	MTA_L_114615	MTA_L_7019	ACSR.2,ACSR.2,ACSR.2,ACSR.4,NONE,3CP	Línea aérea por fase	13.7	13.800	0.5	22	18	29	77.00	1.2	-39.75	0.0	0.0	1.1
114615_MTA-1	MTA_S_11657	MTA_L_114615	ACSR.2,ACSR.2,ACSR.2,ACSR.4,NONE,3CP	Línea aérea por fase	13.7	13.800	24.6	22	18	29	76.99	1.2	-39.75	0.0	0.0	1.1
114619_MTA-1	MTA_S_11657	MTA_L_114619	ACSR.2,ACSR.2,ACSR.2,ACSR.4,NONE,3CP	Línea aérea por fase	13.7	13.800	40.6	19	16	25	76.98	1.0	-39.76	0.0	0.0	1.1
114620_MTA-1	MTA_L_114619	MTA_S_17893	ACSR.2,ACSR.2,ACSR.2,ACSR.4,NONE,3CP	Línea aérea por fase	13.7	13.800	53.8	19	16	25	76.93	1.0	-39.81	0.0	0.0	1.1
17891_MTA-1	MTA_S_17893	MTA_L_17891	NONE,AAAC5005.2,NONE,AAAC5005.2,NONE,1CP	Línea aérea por fase		13.800	0.4	3	3	4	76.87	0.6	-39.88	0.0	0.0	0.5
17892_MTA-1	MTA_L_17891	MTA_L_17892	NONE,AAAC5005.2,NONE,AAAC5005.2,NONE,1CP	Línea aérea por fase		13.800	0.3	3	3	4	76.87	0.6	-39.88	0.0	0.0	0.5
117892_MTA-1	MTA_L_17892	IMTA_L_17892	NONE,AAAC5005.2,NONE,AAAC5005.2,NONE,1CP	Línea aérea por fase		0.240	0.0	3	3	4	76.73	31.4	-40.45	0.0	0.0	28.8
17893_MTA-1	MTA_S_17893	MTA_L_17893	ACSR.2,ACSR.2,ACSR.2,ACSR.4,NONE,3CP	Línea aérea por fase	13.7	13.800	25.4	16	13	20	76.85	0.9	-39.87	0.0	0.0	0.8

Flujo de carga - Líneas y cables

Nro. equipo	Nodo origen	Nodo destino	Id equipo	Código	V (kVLL)	Tensión de base (kVLL)	Longitud (m)	Potencia total de paso (kW)	Potencia total de paso (kvar)	Potencia total de paso (kVA)	Fp promedio (%)	IEquil (A)	Desfase I (°)	Pérdidas totales (kW)	Pérdidas totales (kvar)	Carga (%)
196606_MTA	MTA_S_196606	MTA_L_17893	NONE,ACSR.2,NONE,ACSR.4,NONE,1CP	Línea aérea por fase		13.800	0.0	6	5	7	76.83	0.9	-39.91	0.0	0.0	0.5
196605_MTA	MTA_S_196605	MTA_S_196606	NONE,ACSR.2,NONE,ACSR.4,NONE,1CP	Línea aérea por fase		13.800	43.1	6	5	7	76.83	0.9	-39.91	0.0	0.0	0.5
114623_MTA-1	MTA_S_196605	MTA_L_114623	NONE,AAAC5005.2,NONE,AAAC5005.2,NONE,1CP	Línea aérea por fase		13.800	0.5	6	5	7	76.78	0.9	-39.96	0.0	0.0	0.8
114624_MTA-1	MTA_L_114623	MTA_L_114624	NONE,AAAC5005.2,NONE,AAAC5005.2,NONE,1CP	Línea aérea por fase		13.800	0.5	6	5	7	76.78	0.9	-39.96	0.0	0.0	0.8
114624_MTA-1	MTA_L_114624	IMTA_L_114624	NONE,AAAC5005.2,NONE,AAAC5005.2,NONE,1CP	Línea aérea por fase		0.240	0.0	5	5	7	76.73	52.3	-40.45	0.0	0.0	48.0
71959_MTA-1	MTA_S_189261	MTA_L_17893	AAAC5005.2,AAAC5005.2,AAAC5005.2,AAAC5005.2,NONE,3CP	Línea aérea por fase	13.7	13.800	0.3	10	8	13	76.80	0.6	-39.91	0.0	0.0	0.5
189261_MTA-1	MTA_S_189261	MTA_L_189261	AAAC5005.2,AAAC5005.2,AAAC5005.2,AAAC5005.2,NONE,3CP	Línea aérea por fase	13.7	13.800	0.3	10	8	13	76.80	0.6	-39.91	0.0	0.0	0.5
189261_MTA-1	MTA_L_189261	IMTA_L_189261	AAAC5005.2,AAAC5005.2,AAAC5005.2,AAAC5005.2,NONE,3CP	Línea aérea por fase	0.2	0.240	0.0	10	8	13	76.73	31.3	-10.42	0.0	0.0	28.8
11657_MTA-1	MTA_S_11657	MTA_S_13644	NONE,NONE,AAAC5005.2,AAAC5005.2,NONE,1CP	Línea aérea por fase		13.800	0.6	3	3	4	76.87	0.6	-39.84	0.0	0.0	0.5
13644_MTA-1	MTA_S_13644	MTA_L_13644	NONE,NONE,AAAC5005.2,AAAC5005.2,NONE,1CP	Línea aérea por fase		13.800	0.6	3	3	4	76.87	0.6	-39.84	0.0	0.0	0.5
113644_MTA-1	MTA_L_13644	IMTA_L_13644	NONE,NONE,AAAC5005.2,AAAC5005.2,NONE,1CP	Línea aérea por fase		0.240	0.0	3	3	4	76.73	31.3	-40.42	0.0	0.0	28.7
114617_MTA-1	MTA_L_7019	MTA_L_114617	ACSR.1/0,ACSR.1/0,ACSR.1/0,ACSR.2,NONE,3CP	Línea aérea por fase	13.7	13.800	14.3	1485	925	1750	84.87	73.8	-32.01	0.1	0.1	34.7
114590_MTA-1	MTA_L_114617	MTA_L_114590	AAAC5005.2,AAAC5005.2,AAAC5005.2,AAAC5005.2,NONE,3CP	Línea aérea por fase	13.7	13.800	0.5	7	6	9	76.86	0.4	-39.85	0.0	0.0	0.3
114591_MTA-1	MTA_L_114590	MTA_L_114591	AAAC5005.2,AAAC5005.2,AAAC5005.2,AAAC5005.2,NONE,3CP	Línea aérea por fase	13.7	13.800	0.5	7	6	9	76.86	0.4	-39.86	0.0	0.0	0.3
114591_MTA-1	MTA_L_114591	IMTA_L_114591	AAAC5005.2,AAAC5005.2,AAAC5005.2,AAAC5005.2,NONE,3CP	Línea aérea por fase	0.2	0.240	0.0	7	5	9	76.73	20.9	-10.42	0.0	0.0	19.2
114618_MTA-1	MTA_L_114617	MTA_L_162652	ACSR.1/0,ACSR.1/0,ACSR.1/0,ACSR.2,NONE,3CP	Línea aérea por fase	13.7	13.800	62.3	1478	920	1741	84.91	73.4	-31.97	0.6	0.5	34.6
114625_MTA-1	MTA_L_162652	MTA_S_114626	NONE,NONE,ACSR.2,ACSR.4,NONE,1CP	Línea aérea por fase		13.800	3.3	6	5	7	77.09	0.9	-39.66	0.0	0.0	0.5
114626_MTA-1	MTA_S_114626	MTA_S_6647	NONE,NONE,ACSR.2,ACSR.4,NONE,1CP	Línea aérea por fase		13.800	30.7	6	5	7	77.08	0.9	-39.66	0.0	0.0	0.5
6647_MTA-1	MTA_S_6647	MTA_S_7974	NONE,NONE,ACSR.2,ACSR.4,NONE,1CP	Línea aérea por fase		13.800	42.8	6	5	7	77.05	0.9	-39.69	0.0	0.0	0.5
7974_MTA-1	MTA_S_7974	MTA_S_11658	NONE,NONE,ACSR.2,ACSR.4,NONE,1CP	Línea aérea por fase		13.800	39.9	6	5	7	77.00	0.9	-39.74	0.0	0.0	0.5
11315_MTA-1	MTA_S_11658	MTA_L_11315	NONE,NONE,AAAC5005.2,AAAC5005.2,NONE,1CP	Línea aérea por fase		13.800	0.7	2	2	3	76.97	0.4	-39.77	0.0	0.0	0.3
13299_MTA-1	MTA_L_11315	MTA_L_13299	NONE,NONE,AAAC5005.2,AAAC5005.2,NONE,1CP	Línea aérea por fase		13.800	0.6	2	2	3	76.96	0.4	-39.77	0.0	0.0	0.3
13299_MTA-1	MTA_L_13299	IMTA_L_13299	NONE,NONE,AAAC5005.2,AAAC5005.2,NONE,1CP	Línea aérea por fase		0.240	0.0	2	2	3	76.73	20.9	-40.42	0.0	0.0	19.2
11658_MTA-1	MTA_S_11658	MTA_L_11658	NONE,NONE,AAAC5005.2,AAAC5005.2,NONE,1CP	Línea aérea por fase		13.800	0.4	3	3	4	76.87	0.6	-39.85	0.0	0.0	0.5
13645_MTA-1	MTA_L_11658	MTA_L_13645	NONE,NONE,AAAC5005.2,AAAC5005.2,NONE,1CP	Línea aérea por fase		13.800	0.4	3	3	4	76.87	0.6	-39.85	0.0	0.0	0.5

Flujo de carga - Líneas y cables

Nro. equipo	Nodo origen	Nodo destino	Id equipo	Código	V (kVLL)	Tensión de base (kVLL)	Longitud (m)	Potencia total de paso (kW)	Potencia total de paso (kvar)	Potencia total de paso (kVA)	Fp promedio (%)	IEquil (A)	Desfase I (°)	Pérdidas totales (kW)	Pérdidas totales (kvar)	Carga (%)
113645_MTA-1	MTA_L_13645	IMTA_L_13645	NONE,NONE,AAAC5005.2,AAAC5005.2,NONE,1CP	Línea aérea por fase		0.240	0.0	3	3	4	76.73	31.3	-40.42	0.0	0.0	28.7
6554_MTA-1	MTA_S_11658	MTA_L_6554	NONE,NONE,ACSR.2,ACSR.4,NONE,1CP	Línea aérea por fase		13.800	37.2	0	0	0	0.00	0.0	89.91	-0.0	-0.0	0.0
162652_MTA-1	MTA_S_114593	MTA_L_162652	ACSR.2,ACSR.2,ACSR.2,ACSR.4,NONE,3CP	Línea aérea por fase	13.7	13.800	2.5	48	40	63	76.86	2.7	-39.74	0.0	0.0	2.9
114593_MTA-1	MTA_S_114593	MTA_L_114593	ACSR.2,ACSR.2,ACSR.2,ACSR.4,NONE,3CP	Línea aérea por fase	13.7	13.800	25.3	48	40	63	76.86	2.7	-39.74	0.0	0.0	2.9
6648_MTA-1	MTA_L_114593	MTA_L_6648	ACSR.2,ACSR.2,ACSR.2,ACSR.4,NONE,3CP	Línea aérea por fase	13.7	13.800	38.6	48	40	63	76.86	2.7	-39.76	0.0	0.0	2.9
11799_MTA-1	MTA_L_6648	MTA_L_11799	NONE,AAAC5005.2,NONE,AAAC5005.2,NONE,1CP	Línea aérea por fase		13.800	0.4	2	2	3	76.96	0.4	-39.81	0.0	0.0	0.3
14365_MTA-1	MTA_L_11799	MTA_L_14365	NONE,AAAC5005.2,NONE,AAAC5005.2,NONE,1CP	Línea aérea por fase		13.800	0.4	2	2	3	76.96	0.4	-39.81	0.0	0.0	0.3
114365_MTA-1	MTA_L_14365	IMTA_L_14365	NONE,AAAC5005.2,NONE,AAAC5005.2,NONE,1CP	Línea aérea por fase		0.240	0.0	2	2	3	76.73	20.9	-40.46	0.0	0.0	19.2
6649_MTA-1	MTA_L_6648	MTA_L_6649	ACSR.2,ACSR.2,ACSR.2,ACSR.4,NONE,3CP	Línea aérea por fase	13.7	13.800	33.8	46	38	60	76.85	2.5	-39.77	0.0	0.0	2.7
6650_MTA-1	MTA_L_6649	MTA_S_6651	ACSR.2,ACSR.2,ACSR.2,ACSR.4,NONE,3CP	Línea aérea por fase	13.7	13.800	42.2	46	38	60	76.85	2.5	-39.79	0.0	0.0	2.7
6651_MTA-1	MTA_S_6651	MTA_S_6652	ACSR.2,ACSR.2,ACSR.2,ACSR.4,NONE,3CP	Línea aérea por fase	13.7	13.800	18.9	46	38	60	76.84	2.5	-39.81	0.0	0.0	2.7
6652_MTA-1	MTA_S_6652	MTA_S_6653	NONE,ACSR.2,NONE,ACSR.4,NONE,1CP	Línea aérea por fase		13.800	37.9	3	3	4	77.08	0.6	-39.70	0.0	0.0	0.3
6653_MTA-1	MTA_S_6653	MTA_L_6653	NONE,ACSR.2,NONE,ACSR.4,NONE,1CP	Línea aérea por fase		13.800	36.4	3	3	4	77.01	0.6	-39.76	0.0	0.0	0.3
6654_MTA-1	MTA_L_6653	MTA_L_6654	NONE,ACSR.2,NONE,ACSR.4,NONE,1CP	Línea aérea por fase		13.800	38.3	3	3	4	76.94	0.6	-39.83	0.0	0.0	0.3
11800_MTA-1	MTA_L_6654	MTA_L_11800	NONE,AAAC5005.2,NONE,AAAC5005.2,NONE,1CP	Línea aérea por fase		13.800	0.2	3	3	4	76.87	0.6	-39.89	0.0	0.0	0.5
14366_MTA-1	MTA_L_11800	MTA_L_14366	NONE,AAAC5005.2,NONE,AAAC5005.2,NONE,1CP	Línea aérea por fase		13.800	0.2	3	3	4	76.87	0.6	-39.89	0.0	0.0	0.5
114366_MTA-1	MTA_L_14366	IMTA_L_14366	NONE,AAAC5005.2,NONE,AAAC5005.2,NONE,1CP	Línea aérea por fase		0.240	0.0	3	3	4	76.73	31.4	-40.46	0.0	0.0	28.8
6655_MTA-1	MTA_S_6652	MTA_S_7242	ACSR.2,ACSR.2,ACSR.2,ACSR.4,NONE,3CP	Línea aérea por fase	13.7	13.800	41.3	43	36	56	76.82	2.4	-39.83	0.0	0.0	2.4
115251_MTA-1	MTA_S_7242	MTA_L_115251	NONE,ACSR.2,NONE,ACSR.4,NONE,1CP	Línea aérea por fase		13.800	0.9	3	3	4	77.08	0.6	-39.70	0.0	0.0	0.3
115252_MTA-1	MTA_L_115251	MTA_L_115252	NONE,ACSR.2,NONE,ACSR.4,NONE,1CP	Línea aérea por fase		13.800	35.3	3	3	4	77.08	0.6	-39.70	0.0	0.0	0.3
6657_MTA-1	MTA_L_115252	MTA_L_6657	NONE,ACSR.2,NONE,ACSR.4,NONE,1CP	Línea aérea por fase		13.800	37.8	3	3	4	77.01	0.6	-39.76	0.0	0.0	0.3
7241_MTA-1	MTA_L_6657	MTA_S_11801	NONE,ACSR.2,NONE,ACSR.4,NONE,1CP	Línea aérea por fase		13.800	38.5	3	3	4	76.94	0.6	-39.83	0.0	0.0	0.3
11801_MTA-1	MTA_S_11801	MTA_L_11801	NONE,AAAC5005.2,NONE,AAAC5005.2,NONE,1CP	Línea aérea por fase		13.800	0.4	3	3	4	76.87	0.6	-39.89	0.0	0.0	0.5
14367_MTA-1	MTA_L_11801	MTA_L_14367	NONE,AAAC5005.2,NONE,AAAC5005.2,NONE,1CP	Línea aérea por fase		13.800	0.4	3	3	4	76.87	0.6	-39.89	0.0	0.0	0.5
114367_MTA-1	MTA_L_14367	IMTA_L_14367	NONE,AAAC5005.2,NONE,AAAC5005.2,NONE,1CP	Línea aérea por fase		0.240	0.0	3	3	4	76.73	31.4	-40.46	0.0	0.0	28.8

Flujo de carga - Líneas y cables

Nro. equipo	Nodo origen	Nodo destino	Id equipo	Código	V (kVLL)	Tensión de base (kVLL)	Longitud (m)	Potencia total de paso (kW)	Potencia total de paso (kvar)	Potencia total de paso (kVA)	Fp promedio (%)	IEquil (A)	Desfase I (°)	Pérdidas totales (kW)	Pérdidas totales (kvar)	Carga (%)
19160_MTA-1	MTA_S_19160	MTA_S_7242	AAAC5005.2,NONE,NONE,AAAC5005.2,NONE,1CP	Línea aérea por fase		13.800	1.3	8	7	11	76.72	1.4	-39.95	0.0	0.0	1.3
189622_MTA-1	MTA_S_19160	MTA_L_189622	AAAC5005.2,NONE,NONE,AAAC5005.2,NONE,1CP	Línea aérea por fase		13.800	1.3	8	7	11	76.72	1.4	-39.95	0.0	0.0	1.3
189622_MTA-1	MTA_L_189622	IMTA_L_189622	AAAC5005.2,NONE,NONE,AAAC5005.2,NONE,1CP	Línea aérea por fase		0.240	0.0	8	7	11	76.73	78.4	-40.39	0.0	0.0	71.9
7242_MTA-1	MTA_S_7242	MTA_L_7242	ACSR.2,ACSR.2,ACSR.2,ACSR.4,NONE,3CP	Línea aérea por fase	13.7	13.800	41.8	31	26	41	76.82	1.7	-39.84	0.0	0.0	2.1
114969_MTA-1	MTA_L_7242	MTA_L_114969	NONE,ACSR.2,NONE,ACSR.4,NONE,1CP	Línea aérea por fase		13.800	0.7	14	12	19	76.90	2.4	-39.86	0.0	0.0	1.3
114970_MTA-1	MTA_L_114969	MTA_L_114970	NONE,ACSR.2,NONE,ACSR.4,NONE,1CP	Línea aérea por fase		13.800	36.9	14	12	19	76.90	2.4	-39.86	0.0	0.0	1.3
7244_MTA-1	MTA_L_114970	MTA_S_11802	NONE,ACSR.2,NONE,ACSR.4,NONE,1CP	Línea aérea por fase		13.800	38.5	14	12	19	76.89	2.4	-39.87	0.0	0.0	1.3
114972_MTA-1	MTA_S_11802	MTA_L_114972	NONE,AAAC5005.2,NONE,AAAC5005.2,NONE,1CP	Línea aérea por fase		13.800	0.5	3	3	4	76.87	0.6	-39.89	0.0	0.0	0.5
114973_MTA-1	MTA_L_114972	MTA_L_114973	NONE,AAAC5005.2,NONE,AAAC5005.2,NONE,1CP	Línea aérea por fase		13.800	0.5	3	3	4	76.87	0.6	-39.89	0.0	0.0	0.5
114973_MTA-1	MTA_L_114973	IMTA_L_114973	NONE,AAAC5005.2,NONE,AAAC5005.2,NONE,1CP	Línea aérea por fase		0.240	0.0	3	3	4	76.73	31.4	-40.46	0.0	0.0	28.8
11802_MTA-1	MTA_S_11802	MTA_S_14368	NONE,AAAC5005.2,NONE,AAAC5005.2,NONE,1CP	Línea aérea por fase		13.800	0.4	6	5	7	76.78	0.9	-39.97	0.0	0.0	0.8
14368_MTA-1	MTA_S_14368	MTA_L_14368	NONE,AAAC5005.2,NONE,AAAC5005.2,NONE,1CP	Línea aérea por fase		13.800	0.4	6	5	7	76.78	0.9	-39.97	0.0	0.0	0.8
14368_MTA-1	MTA_L_14368	IMTA_L_14368	NONE,AAAC5005.2,NONE,AAAC5005.2,NONE,1CP	Línea aérea por fase		0.240	0.0	5	5	7	76.73	52.3	-40.46	0.0	0.0	48.0
7245_MTA-1	MTA_S_11802	MTA_S_7246	NONE,ACSR.2,NONE,ACSR.4,NONE,1CP	Línea aérea por fase		13.800	40.1	6	5	7	76.96	0.9	-39.81	0.0	0.0	0.5
7246_MTA-1	MTA_S_7246	MTA_S_5085	NONE,ACSR.2,NONE,ACSR.4,NONE,1CP	Línea aérea por fase		13.800	37.7	6	5	7	76.91	0.9	-39.85	0.0	0.0	0.5
5085_MTA-1	MTA_S_5085	MTA_S_5086	NONE,ACSR.2,NONE,ACSR.4,NONE,1CP	Línea aérea por fase		13.800	21.4	6	5	7	76.87	0.9	-39.89	0.0	0.0	0.5
5086_MTA-1	MTA_S_5086	MTA_L_5086	NONE,ACSR.2,NONE,ACSR.4,NONE,1CP	Línea aérea por fase		13.800	28.0	6	5	7	76.85	0.9	-39.91	0.0	0.0	0.5
5087_MTA-1	MTA_L_5086	MTA_S_11803	NONE,ACSR.2,NONE,ACSR.4,NONE,1CP	Línea aérea por fase		13.800	29.5	6	5	7	76.81	0.9	-39.94	0.0	0.0	0.5
11803_MTA-1	MTA_S_11803	MTA_S_14369	NONE,AAAC5005.2,NONE,AAAC5005.2,NONE,1CP	Línea aérea por fase		13.800	0.4	6	5	7	76.78	0.9	-39.97	0.0	0.0	0.8
14369_MTA-1	MTA_S_14369	MTA_L_14369	NONE,AAAC5005.2,NONE,AAAC5005.2,NONE,1CP	Línea aérea por fase		13.800	0.4	6	5	7	76.78	0.9	-39.97	0.0	0.0	0.8
14369_MTA-1	MTA_L_14369	IMTA_L_14369	NONE,AAAC5005.2,NONE,AAAC5005.2,NONE,1CP	Línea aérea por fase		0.240	0.0	5	5	7	76.73	52.3	-40.46	0.0	0.0	48.0
19157_MTA-1	MTA_L_7242	MTA_L_19157	ACSR.2,ACSR.2,ACSR.2,ACSR.4,NONE,3CP	Línea aérea por fase	13.7	13.800	78.6	8	7	11	76.55	0.5	-39.81	0.0	0.0	0.8
19163_MTA-1	MTA_L_19157	MTA_S_19164	NONE,AAAC5005.2,NONE,AAAC5005.2,NONE,1CP	Línea aérea por fase		13.800	0.8	8	7	11	76.72	1.4	-40.02	0.0	0.0	1.3
19164_MTA-1	MTA_S_19164	MTA_L_19164	NONE,AAAC5005.2,NONE,AAAC5005.2,NONE,1CP	Línea aérea por fase		13.800	0.8	8	7	11	76.72	1.4	-40.02	0.0	0.0	1.3
119164_MTA-1	MTA_L_19164	IMTA_L_19164	NONE,AAAC5005.2,NONE,AAAC5005.2,NONE,1CP	Línea aérea por fase		0.240	0.0	8	7	11	76.73	78.5	-40.46	0.0	0.0	72.0

Flujo de carga - Líneas y cables

Nro. equipo	Nodo origen	Nodo destino	Id equipo	Código	V (kVLL)	Tensión de base (kVLL)	Longitud (m)	Potencia total de paso (kW)	Potencia total de paso (kvar)	Potencia total de paso (kVA)	Fp promedio (%)	IEquil (A)	Desfase I (°)	Pérdidas totales (kW)	Pérdidas totales (kvar)	Carga (%)
19161_MTA-1	MTA_L_7242	MTA_S_19162	AAAC5005.2,NONE,NONE,AAAC5005.2,NONE,1CP	Línea aérea por fase		13.800	1.1	8	7	11	76.72	1.4	-39.95	0.0	0.0	1.3
19162_MTA-1	MTA_S_19162	MTA_L_19162	AAAC5005.2,NONE,NONE,AAAC5005.2,NONE,1CP	Línea aérea por fase		13.800	1.0	8	7	11	76.72	1.4	-39.95	0.0	0.0	1.3
119162_MTA-1	MTA_L_19162	IMTA_L_19162	AAAC5005.2,NONE,NONE,AAAC5005.2,NONE,1CP	Línea aérea por fase		0.240	0.0	8	7	11	76.73	78.4	-40.39	0.0	0.0	71.9
6664_MTA-1	MTA_L_162652	MTA_L_6664	ACSR.1/0,ACSR.1/0,ACSR.1/0,ACSR.2,NONE,3CP	Línea aérea por fase	13.7	13.800	32.8	1424	874	1671	85.21	70.5	-31.65	0.3	0.3	32.3
11804_MTA-1	MTA_L_6664	MTA_L_11804	AAAC5005.2,NONE,NONE,AAAC5005.2,NONE,1CP	Línea aérea por fase		13.800	0.4	3	3	4	76.87	0.6	-39.82	0.0	0.0	0.5
14370_MTA-1	MTA_L_11804	MTA_L_14370	AAAC5005.2,NONE,NONE,AAAC5005.2,NONE,1CP	Línea aérea por fase		13.800	0.4	3	3	4	76.87	0.6	-39.83	0.0	0.0	0.5
114370_MTA-1	MTA_L_14370	IMTA_L_14370	AAAC5005.2,NONE,NONE,AAAC5005.2,NONE,1CP	Línea aérea por fase		0.240	0.0	3	3	4	76.73	31.4	-40.39	0.0	0.0	28.8
6824_MTA-1	MTA_L_6664	MTA_S_115258	ACSR.1/0,ACSR.1/0,ACSR.1/0,ACSR.2,NONE,3CP	Línea aérea por fase	13.7	13.800	46.3	1420	871	1666	85.23	70.3	-31.62	0.4	0.4	32.3
115256_MTA-1	MTA_S_115258	MTA_L_115256	NONE,NONE,ACSR.2,ACSR.4,NONE,1CP	Línea aérea por fase		13.800	0.3	8	7	11	76.79	1.4	-39.93	0.0	0.0	0.8
115257_MTA-1	MTA_L_115256	MTA_S_6826	NONE,NONE,ACSR.2,ACSR.4,NONE,1CP	Línea aérea por fase		13.800	22.1	8	7	11	76.79	1.4	-39.93	0.0	0.0	0.8
6826_MTA-1	MTA_S_6826	MTA_S_6827	NONE,NONE,ACSR.2,ACSR.4,NONE,1CP	Línea aérea por fase		13.800	32.5	8	7	11	76.77	1.4	-39.95	0.0	0.0	0.8
6827_MTA-1	MTA_S_6827	MTA_L_6827	NONE,NONE,ACSR.2,ACSR.4,NONE,1CP	Línea aérea por fase		13.800	34.5	8	7	11	76.75	1.4	-39.97	0.0	0.0	0.8
11806_MTA-1	MTA_L_6827	MTA_S_14372	NONE,NONE,AAAC5005.2,AAAC5005.2,NONE,1CP	Línea aérea por fase		13.800	0.4	8	7	11	76.72	1.4	-39.99	0.0	0.0	1.3
14372_MTA-1	MTA_S_14372	MTA_L_14372	NONE,NONE,AAAC5005.2,AAAC5005.2,NONE,1CP	Línea aérea por fase		13.800	0.4	8	7	11	76.72	1.4	-39.99	0.0	0.0	1.3
114372_MTA-1	MTA_L_14372	IMTA_L_14372	NONE,NONE,AAAC5005.2,AAAC5005.2,NONE,1CP	Línea aérea por fase		0.240	0.0	8	7	11	76.73	78.3	-40.43	0.0	0.0	71.8
115258_MTA-1	MTA_S_115258	MTA_L_115258	ACSR.2,NONE,NONE,ACSR.4,NONE,1CP	Línea aérea por fase		13.800	23.9	6	5	7	76.86	0.9	-39.84	0.0	0.0	0.5
115259_MTA-1	MTA_L_115258	MTA_S_6410	ACSR.2,NONE,NONE,ACSR.4,NONE,1CP	Línea aérea por fase		13.800	2.6	6	5	7	76.83	0.9	-39.86	0.0	0.0	0.5
6410_MTA-1	MTA_S_6410	MTA_S_11805	ACSR.2,NONE,NONE,ACSR.4,NONE,1CP	Línea aérea por fase		13.800	37.6	6	5	7	76.83	0.9	-39.87	0.0	0.0	0.5
11805_MTA-1	MTA_S_11805	MTA_L_11805	AAAC5005.2,NONE,NONE,AAAC5005.2,NONE,1CP	Línea aérea por fase		13.800	0.4	6	5	7	76.78	0.9	-39.91	0.0	0.0	0.8
14371_MTA-1	MTA_L_11805	MTA_L_14371	AAAC5005.2,NONE,NONE,AAAC5005.2,NONE,1CP	Línea aérea por fase		13.800	0.4	6	5	7	76.78	0.9	-39.91	0.0	0.0	0.8
114371_MTA-1	MTA_L_14371	IMTA_L_14371	AAAC5005.2,NONE,NONE,AAAC5005.2,NONE,1CP	Línea aérea por fase		0.240	0.0	5	5	7	76.73	52.3	-40.40	0.0	0.0	48.0
6411_MTA-1	MTA_S_115258	MTA_S_168459	ACSR.1/0,ACSR.1/0,ACSR.1/0,ACSR.2,NONE,3CP	Línea aérea por fase	13.7	13.800	38.4	1406	859	1648	85.32	69.5	-31.53	0.3	0.3	32.3
168459_MTA-1	MTA_S_168459	MTA_L_168459	AAAC5005.2,AAAC5005.2,AAAC5005.2,AAAC5005.2,NONE,3CP	Línea aérea por fase	13.7	13.800	1.3	11	9	14	78.36	0.6	-38.51	0.0	0.0	0.6
32983_MTS-1	MTA_L_168459	MTS_L_32983	3P_15KV.CU.2	Cable	13.7	13.800	2.8	11	9	14	78.36	0.6	-38.51	0.0	0.0	0.3
32985_MTS-1	MTS_L_32983	MTS_L_32985	3P_15KV.CU.2	Cable	13.7	13.800	13.1	11	9	14	78.26	0.6	-38.60	0.0	0.0	0.3
32987_MTS-1	MTS_L_32985	MTS_L_32987	3P_15KV.CU.2	Cable	13.7	13.800	12.9	11	9	14	77.80	0.6	-39.02	0.0	0.0	0.3

Flujo de carga - Líneas y cables

Nro. equipo	Nodo origen	Nodo destino	Id equipo	Código	V (kVLL)	Tensión de base (kVLL)	Longitud (m)	Potencia total de paso (kW)	Potencia total de paso (kvar)	Potencia total de paso (kVA)	Fp promedio (%)	IEquil (A)	Desfase I (°)	Pérdidas totales (kW)	Pérdidas totales (kvar)	Carga (%)
32989_MTS-1	MTS_L_32987	MTS_L_32989	3P_15KV.CU.2	Cable	13.7	13.800	14.9	11	9	14	77.35	0.6	-39.43	0.0	0.0	0.3
32990_MTS-1	MTS_L_32989	MTS_L_32990	3P_15KV.CU.2	Cable	13.7	13.800	0.4	11	9	15	76.83	0.6	-39.90	0.0	0.0	0.3
378_MTS-1	MTS_L_32990	MTS_L_378	3P_15KV.CU.3/0	Cable	13.7	13.800	0.3	11	9	15	76.82	0.6	-39.91	0.0	0.0	0.2
501_MTS-1	MTS_L_378	MTS_L_501	3P_15KV.CU.3/0	Cable	13.7	13.800	0.4	11	9	15	76.80	0.6	-39.92	0.0	0.0	0.2
I501_MTS-1	MTS_L_501	IMTS_L_501	3P_15KV.CU.3/0	Cable	0.2	0.240	0.0	11	9	14	76.73	34.9	-10.43	0.0	0.0	11.6
6412_MTA-1	MTA_S_168459	MTA_S_6416	ACSR.1/0,ACSR.1/0,ACSR.1/0,ACSR.2,NONE,3CP	Línea aérea por fase	13.7	13.800	36.6	1394	850	1633	85.38	68.9	-31.48	0.3	0.3	32.1
115285_MTA-1	MTA_S_6416	MTA_S_115286	ACSR.1/0,ACSR.1/0,ACSR.1/0,ACSR.2,NONE,3CP	Línea aérea por fase	13.7	13.800	18.8	14	12	19	77.44	0.8	-39.36	0.0	0.0	0.5
115286_MTA-1	MTA_S_115286	MTA_L_115286	ACSR.1/0,ACSR.1/0,ACSR.1/0,ACSR.2,NONE,3CP	Línea aérea por fase	13.7	13.800	0.6	14	12	19	77.41	0.8	-39.39	0.0	0.0	0.5
6414_MTA-1	MTA_L_115286	MTA_L_6414	ACSR.1/0,ACSR.1/0,ACSR.1/0,ACSR.2,NONE,3CP	Línea aérea por fase	13.7	13.800	23.3	14	12	19	77.41	0.8	-39.39	0.0	0.0	0.5
6415_MTA-1	MTA_L_6414	MTA_L_6415	ACSR.1/0,ACSR.1/0,ACSR.1/0,ACSR.2,NONE,3CP	Línea aérea por fase	13.7	13.800	31.8	14	12	19	77.36	0.8	-39.43	0.0	0.0	0.5
11845_MTA-1	MTA_L_6415	MTA_L_11845	NONE,AAAC5005.2,NONE,AAAC5005.2,NONE,1CP	Línea aérea por fase		13.800	0.4	3	3	4	76.86	0.6	-39.91	0.0	0.0	0.5
14411_MTA-1	MTA_L_11845	MTA_L_14411	NONE,AAAC5005.2,NONE,AAAC5005.2,NONE,1CP	Línea aérea por fase		13.800	0.4	3	3	4	76.86	0.6	-39.91	0.0	0.0	0.5
I14411_MTA-1	MTA_L_14411	IMTA_L_14411	NONE,AAAC5005.2,NONE,AAAC5005.2,NONE,1CP	Línea aérea por fase		0.240	0.0	3	3	4	76.73	31.4	-40.47	0.0	0.0	28.8
17876_MTA-1	MTA_L_6415	MTS_L_32976	AAAC5005.2,AAAC5005.2,AAAC5005.2,AAAC5005.2,NONE,3CP	Línea aérea por fase	13.7	13.800	0.2	11	9	14	77.44	0.6	-39.35	0.0	0.0	0.6
32976_MTS-1	MTS_S_32979	MTS_L_32976	3P_15KV.CU.2	Cable	13.7	13.800	0.2	11	9	14	77.44	0.6	-39.35	0.0	0.0	0.3
32979_MTS-1	MTS_S_32979	MTS_L_32979	3P_15KV.CU.2	Cable	13.7	13.800	11.9	11	9	14	77.43	0.6	-39.36	0.0	0.0	0.3
32981_MTS-1	MTS_L_32979	MTS_L_32981	3P_15KV.CU.2	Cable	13.7	13.800	6.1	11	9	14	77.02	0.6	-39.73	0.0	0.0	0.3
32982_MTS-1	MTS_L_32981	MTS_L_32982	3P_15KV.CU.2	Cable	13.7	13.800	0.2	11	9	15	76.81	0.6	-39.92	0.0	0.0	0.3
1567_MTS-1	MTS_L_32982	MTS_L_1567	3P_15KV.CU.2	Cable	13.7	13.800	0.2	11	9	15	76.80	0.6	-39.93	0.0	0.0	0.3
1872_MTS-1	MTS_L_1567	MTS_L_1872	3P_15KV.CU.2	Cable	13.7	13.800	0.3	11	9	15	76.79	0.6	-39.93	0.0	0.0	0.3
I1872_MTS-1	MTS_L_1872	IMTS_L_1872	3P_15KV.CU.2	Cable	0.2	0.240	0.0	11	9	14	76.73	34.9	-10.44	0.0	0.0	15.2
6416_MTA-1	MTA_S_6416	MTA_L_6416	ACSR.1/0,ACSR.1/0,ACSR.1/0,ACSR.2,NONE,3CP	Línea aérea por fase	13.7	13.800	13.5	1302	774	1514	85.94	63.9	-30.85	0.1	0.1	30.2
6417_MTA-1	MTA_S_6417	MTA_L_6416	ACSR.1/0,ACSR.1/0,ACSR.1/0,ACSR.2,NONE,3CP	Línea aérea por fase	13.7	13.800	43.1	1301	774	1514	85.94	63.9	-30.85	0.3	0.3	30.2
11846_MTA-1	MTA_S_6417	MTA_L_11846	NONE,AAAC5005.2,NONE,AAAC5005.2,NONE,1CP	Línea aérea por fase		13.800	0.4	6	5	7	76.78	0.9	-39.99	0.0	0.0	0.8
14412_MTA-1	MTA_L_11846	MTA_L_14412	NONE,AAAC5005.2,NONE,AAAC5005.2,NONE,1CP	Línea aérea por fase		13.800	0.4	6	5	7	76.78	0.9	-39.99	0.0	0.0	0.8
I14412_MTA-1	MTA_L_14412	IMTA_L_14412	NONE,AAAC5005.2,NONE,AAAC5005.2,NONE,1CP	Línea aérea por fase		0.240	0.0	5	5	7	76.73	52.4	-40.48	0.0	0.0	48.1
6418_MTA-1	MTA_S_6417	MTA_S_6419	ACSR.1/0,ACSR.1/0,ACSR.1/0,ACSR.2,NONE,3CP	Línea aérea por fase	13.7	13.800	61.2	1296	769	1507	85.99	63.6	-30.81	0.4	0.4	29.8
11847_MTA-1	MTA_S_6419	MTA_S_14413	NONE,AAAC5005.2,NONE,AAAC5005.2,NONE,1CP	Línea aérea por fase		13.800	0.4	2	2	3	76.95	0.4	-39.84	0.0	0.0	0.3

Flujo de carga - Líneas y cables

Nro. equipo	Nodo origen	Nodo destino	Id equipo	Código	V (kVLL)	Tensión de base (kVLL)	Longitud (m)	Potencia total de paso (kW)	Potencia total de paso (kvar)	Potencia total de paso (kVA)	Fp promedio (%)	IEquil (A)	Desfase l (°)	Pérdidas totales (kW)	Pérdidas totales (kvar)	Carga (%)
14413_MTA-1	MTA_S_14413	MTA_L_14413	NONE,AAAC5005.2,NONE,AAAC5005.2,NONE,1CP	Línea aérea por fase		13.800	0.4	2	2	3	76.95	0.4	-39.84	0.0	0.0	0.3
14413_MTA-1	MTA_L_14413	IMTA_L_14413	NONE,AAAC5005.2,NONE,AAAC5005.2,NONE,1CP	Línea aérea por fase		0.240	0.0	2	2	3	76.73	21.0	-40.49	0.0	0.0	19.2
6419_MTA-1	MTA_S_6419	MTA_L_6419	ACSR.1/0,ACSR.1/0,ACSR.1/0,ACSR.2,NONE,3CP	Línea aérea por fase	13.7	13.800	53.9	1293	767	1503	86.00	63.5	-30.79	0.4	0.3	29.6
115566_MTA-1	MTA_L_6419	MTA_L_115566	ACSR.1/0,ACSR.1/0,ACSR.1/0,ACSR.2,NONE,3CP	Línea aérea por fase	13.7	13.800	1.1	1293	767	1503	86.01	63.5	-30.79	0.0	0.0	29.6
115567_MTA-1	MTA_L_115566	MTA_S_7057	ACSR.1/0,ACSR.1/0,ACSR.1/0,ACSR.2,NONE,3CP	Línea aérea por fase	13.7	13.800	7.9	1293	767	1503	86.01	63.5	-30.79	0.1	0.1	29.6
6421_MTA-1	MTA_S_7057	MTA_S_6422	ACSR.1/0,ACSR.1/0,ACSR.1/0,ACSR.2,NONE,3CP	Línea aérea por fase	13.7	13.800	48.2	82	69	107	76.77	4.5	-39.97	0.0	0.0	2.3
6422_MTA-1	MTA_S_6422	MTA_L_6422	ACSR.1/0,ACSR.1/0,ACSR.1/0,ACSR.2,NONE,3CP	Línea aérea por fase	13.7	13.800	36.1	0	0	0	0.00	0.0	89.88	-0.0	-0.0	0.0
6423_MTA-1	MTA_S_6422	MTA_L_6423	ACSR.1/0,ACSR.1/0,ACSR.1/0,ACSR.2,NONE,3CP	Línea aérea por fase	13.7	13.800	9.6	82	69	107	76.74	4.5	-40.00	0.0	0.0	2.3
6424_MTA-1	MTA_L_6423	MTA_L_6424	ACSR.1/0,ACSR.1/0,ACSR.1/0,ACSR.2,NONE,3CP	Línea aérea por fase	13.7	13.800	28.8	82	69	107	76.74	4.5	-40.00	0.0	0.0	2.3
11848_MTA-1	MTA_L_6424	MTA_L_11848	AAAC5005.2,NONE,NONE,AAAC5005.2,NONE,1CP	Línea aérea por fase		13.800	0.4	6	5	7	76.78	0.9	-39.92	0.0	0.0	0.8
14414_MTA-1	MTA_L_11848	MTA_L_14414	AAAC5005.2,NONE,NONE,AAAC5005.2,NONE,1CP	Línea aérea por fase		13.800	0.4	6	5	7	76.78	0.9	-39.92	0.0	0.0	0.8
14414_MTA-1	MTA_L_14414	IMTA_L_14414	AAAC5005.2,NONE,NONE,AAAC5005.2,NONE,1CP	Línea aérea por fase		0.240	0.0	5	5	7	76.73	52.4	-40.42	0.0	0.0	48.1
1628_MTA-1	MTA_L_6424	MTA_S_1629	ACSR.1/0,ACSR.1/0,ACSR.1/0,ACSR.2,NONE,3CP	Línea aérea por fase	13.7	13.800	34.2	77	64	100	76.72	4.2	-40.02	0.0	0.0	2.3
1629_MTA-1	MTA_S_1629	MTA_L_1629	ACSR.1/0,ACSR.1/0,ACSR.1/0,ACSR.2,NONE,3CP	Línea aérea por fase	13.7	13.800	35.0	77	64	100	76.71	4.2	-40.03	0.0	0.0	2.3
1630_MTA-1	MTA_L_1629	MTA_L_1630	ACSR.1/0,ACSR.1/0,ACSR.1/0,ACSR.2,NONE,3CP	Línea aérea por fase	13.7	13.800	22.5	77	64	100	76.70	4.2	-40.04	0.0	0.0	2.3
1631_MTA-1	MTA_L_1630	MTA_S_1632	NONE,ACSR.1/0,NONE,ACSR.2,NONE,1CP	Línea aérea por fase		13.800	12.0	3	3	4	77.03	0.6	-39.78	0.0	0.0	0.2
1632_MTA-1	MTA_S_1632	MTA_S_1633	NONE,ACSR.1/0,NONE,ACSR.2,NONE,1CP	Línea aérea por fase		13.800	34.6	3	3	4	77.01	0.6	-39.80	0.0	0.0	0.2
1633_MTA-1	MTA_S_1633	MTA_S_11849	NONE,ACSR.1/0,NONE,ACSR.2,NONE,1CP	Línea aérea por fase		13.800	39.2	3	3	4	76.94	0.6	-39.86	0.0	0.0	0.2
11849_MTA-1	MTA_S_11849	MTA_S_14415	NONE,AAAC5005.2,NONE,AAAC5005.2,NONE,1CP	Línea aérea por fase		13.800	0.4	3	3	4	76.86	0.6	-39.93	0.0	0.0	0.5
14415_MTA-1	MTA_S_14415	MTA_L_14415	NONE,AAAC5005.2,NONE,AAAC5005.2,NONE,1CP	Línea aérea por fase		13.800	0.3	3	3	4	76.86	0.6	-39.93	0.0	0.0	0.5
14415_MTA-1	MTA_L_14415	IMTA_L_14415	NONE,AAAC5005.2,NONE,AAAC5005.2,NONE,1CP	Línea aérea por fase		0.240	0.0	3	3	4	76.73	31.5	-40.49	0.0	0.0	28.9
1634_MTA-1	MTA_L_1630	MTA_L_1634	NONE,ACSR.1/0,NONE,ACSR.2,NONE,1CP	Línea aérea por fase		13.800	13.3	0	0	0	0.00	0.0	89.84	-0.0	-0.0	0.0
1635_MTA-1	MTA_L_1630	MTA_S_1636	ACSR.1/0,ACSR.1/0,ACSR.1/0,ACSR.2,NONE,3CP	Línea aérea por fase	13.7	13.800	17.7	74	62	96	76.67	4.1	-40.06	0.0	0.0	2.1
11850_MTA-1	MTA_S_1636	MTA_S_14416	AAAC5005.2,AAAC5005.2,NONE,AAAC5005.2,NONE,2CP	Línea aérea por fase	13.7	13.800	0.4	7	6	9	77.83	0.6	-38.71	0.0	0.0	1.0
14416_MTA-1	MTA_S_14416	MTA_L_14416	AAAC5005.2,AAAC5005.2,NONE,AAAC5005.2,NONE,2CP	Línea aérea por fase	13.7	13.800	0.4	7	6	9	77.83	0.6	-38.71	0.0	0.0	1.0

Flujo de carga - Líneas y cables

Nro. equipo	Nodo origen	Nodo destino	Id equipo	Código	V (kVLL)	Tensión de base (kVLL)	Longitud (m)	Potencia total de paso (kW)	Potencia total de paso (kvar)	Potencia total de paso (kVA)	Fp promedio (%)	IEquil (A)	Desfase I (°)	Pérdidas totales (kW)	Pérdidas totales (kvar)	Carga (%)
I14416_MTA-1	MTA_L_14416	IMTA_L_14416	AAAC5005.2,AAAC5005.2,NONE,AAAC5005.2,NONE,2CP	Línea aérea por fase	0.2	0.240	0.0	7	6	9	66.38	31.7	-10.30	0.0	0.0	33.6
1636_MTA-1	MTA_S_1636	MTA_S_1637	ACSR.1/0,ACSR.1/0,ACSR.1/0,ACSR.2,NONE,3CP	Línea aérea por fase	13.7	13.800	35.6	67	56	87	76.51	3.7	-40.20	0.0	0.0	1.6
1637_MTA-1	MTA_S_1637	MTA_L_1637	ACSR.1/0,ACSR.1/0,ACSR.1/0,ACSR.2,NONE,3CP	Línea aérea por fase	13.7	13.800	35.4	67	56	87	76.49	3.7	-40.22	0.0	0.0	1.6
115861_MTA-1	MTA_L_1637	MTA_S_115862	ACSR.1/0,ACSR.1/0,ACSR.1/0,ACSR.2,NONE,3CP	Línea aérea por fase	13.7	13.800	0.7	67	56	87	76.48	3.7	-40.23	0.0	0.0	1.6
115862_MTA-1	MTA_S_115862	MTA_S_1639	ACSR.1/0,ACSR.1/0,ACSR.1/0,ACSR.2,NONE,3CP	Línea aérea por fase	13.7	13.800	71.5	67	56	87	76.48	3.7	-40.23	0.0	0.0	1.6
1639_MTA-1	MTA_S_1639	MTA_L_1639	ACSR.1/0,ACSR.1/0,ACSR.1/0,ACSR.2,NONE,3CP	Línea aérea por fase	13.7	13.800	4.0	0	0	0	0.00	0.0	89.88	-0.0	-0.0	0.0
396_MTS-1	MTA_S_1639	MTS_L_396	3P_15KV.CU.3/0	Cable	13.7	13.800	0.4	67	56	87	76.45	3.7	-40.26	0.0	0.0	1.2
521_MTS-1	MTS_L_396	MTS_L_521	3P_15KV.CU.3/0	Cable	13.7	13.800	0.4	67	56	87	76.45	3.7	-40.26	0.0	0.0	1.2
I521_MTS-1	MTS_L_521	IMTS_L_521	3P_15KV.CU.3/0	Cable	0.2	0.240	0.0	65	55	85	76.73	210.1	-10.58	0.0	0.0	70.1
71005_MTA-1	MTA_S_6422	MTA_L_165866	ACSR.1/0,ACSR.1/0,ACSR.1/0,ACSR.2,NONE,3CP	Línea aérea por fase	13.7	13.800	14.9	0	0	0	0.00	0.0	89.88	-0.0	-0.0	0.0
7057_MTA-1	MTA_S_7057	MTA_L_7057	ACSR.1/0,ACSR.1/0,ACSR.1/0,ACSR.2,NONE,3CP	Línea aérea por fase	13.7	13.800	32.0	0	0	0	0.00	0.0	89.88	-0.0	-0.0	0.0
7058_MTA-1	MTA_S_7057	MTA_S_6682	ACSR.1/0,ACSR.1/0,ACSR.1/0,ACSR.2,NONE,3CP	Línea aérea por fase	13.7	13.800	7.8	1210	698	1397	86.63	59.0	-30.09	0.0	0.0	27.3
11851_MTA-1	MTA_S_6682	MTA_L_11851	NONE,AAAC5005.2,NONE,AAAC5005.2,NONE,1CP	Línea aérea por fase		13.800	0.4	3	3	4	76.86	0.6	-39.93	0.0	0.0	0.5
14417_MTA-1	MTA_L_11851	MTA_L_14417	NONE,AAAC5005.2,NONE,AAAC5005.2,NONE,1CP	Línea aérea por fase		13.800	0.4	3	3	4	76.86	0.6	-39.93	0.0	0.0	0.5
I14417_MTA-1	MTA_L_14417	IMTA_L_14417	NONE,AAAC5005.2,NONE,AAAC5005.2,NONE,1CP	Línea aérea por fase		0.240	0.0	3	3	4	76.73	31.5	-40.49	0.0	0.0	28.9
6682_MTA-1	MTA_S_6682	MTA_S_6683	ACSR.1/0,ACSR.1/0,ACSR.1/0,ACSR.2,NONE,3CP	Línea aérea por fase	13.7	13.800	37.5	1207	695	1392	86.65	58.8	-30.06	0.2	0.2	27.1
6683_MTA-1	MTA_S_6683	MTA_S_6684	ACSR.1/0,ACSR.1/0,ACSR.1/0,ACSR.2,NONE,3CP	Línea aérea por fase	13.7	13.800	37.3	1206	695	1392	86.66	58.8	-30.06	0.2	0.2	27.1
6684_MTA-1	MTA_S_6684	MTA_L_6684	ACSR.1/0,ACSR.1/0,ACSR.1/0,ACSR.2,NONE,3CP	Línea aérea por fase	13.7	13.800	39.6	1206	695	1392	86.66	58.8	-30.06	0.2	0.2	27.1
1604_MTA-1	MTA_L_6684	MTA_S_1605	ACSR.1/0,ACSR.1/0,ACSR.1/0,ACSR.2,NONE,3CP	Línea aérea por fase	13.7	13.800	33.9	1206	694	1392	86.66	58.8	-30.06	0.2	0.2	27.1
1605_MTA-1	MTA_S_1605	MTA_S_6783	ACSR.1/0,ACSR.1/0,ACSR.1/0,ACSR.2,NONE,3CP	Línea aérea por fase	13.6	13.800	33.1	1206	694	1391	86.66	58.8	-30.06	0.2	0.2	27.1
6783_MTA-1	MTA_S_6783	MTA_S_6784	ACSR.1/0,ACSR.1/0,ACSR.1/0,ACSR.2,NONE,3CP	Línea aérea por fase	13.6	13.800	41.3	1206	694	1391	86.66	58.8	-30.06	0.2	0.2	27.1
6784_MTA-1	MTA_S_6784	MTA_L_6784	ACSR.1/0,ACSR.1/0,ACSR.1/0,ACSR.2,NONE,3CP	Línea aérea por fase	13.6	13.800	43.0	1205	694	1391	86.66	58.8	-30.06	0.2	0.2	27.1
115895_MTA-1	MTA_L_6784	MTA_L_115895	ACSR.1/0,ACSR.1/0,ACSR.1/0,ACSR.2,NONE,3CP	Línea aérea por fase	13.6	13.800	0.8	1205	694	1390	86.67	58.9	-30.06	0.0	0.0	27.1
115896_MTA-1	MTA_L_115895	MTA_L_115896	ACSR.1/0,ACSR.1/0,ACSR.1/0,ACSR.2,NONE,3CP	Línea aérea por fase	13.6	13.800	40.0	1205	694	1390	86.67	58.9	-30.06	0.2	0.2	27.1
6786_MTA-1	MTA_L_115896	MTA_L_6786	ACSR.1/0,ACSR.1/0,ACSR.1/0,ACSR.2,NONE,3CP	Línea aérea por fase	13.6	13.800	37.8	1205	693	1390	86.67	58.9	-30.06	0.2	0.2	27.1
6787_MTA-1	MTA_L_6786	MTA_S_7258	ACSR.1/0,ACSR.1/0,ACSR.1/0,ACSR.2,NONE,3CP	Línea aérea por fase	13.6	13.800	16.6	1205	693	1390	86.67	58.9	-30.07	0.1	0.1	27.1

Flujo de carga - Líneas y cables

Nro. equipo	Nodo origen	Nodo destino	Id equipo	Código	V (kVLL)	Tensión de base (kVLL)	Longitud (m)	Potencia total de paso (kW)	Potencia total de paso (kvar)	Potencia total de paso (kVA)	Fp promedio (%)	IEquil (A)	Desfase I (°)	Pérdidas totales (kW)	Pérdidas totales (kvar)	Carga (%)
6788_MTA-1	MTA_S_7258	MTA_L_6788	ACSR.1/0,ACSR.1/0,ACSR.1/0,ACSR.2,NONE,3CP	Línea aérea por fase	13.6	13.800	14.7	0	0	0	0.00	0.0	89.85	-0.0	-0.0	0.0
6789_MTA-1	MTA_S_7258	MTA_L_6789	ACSR.1/0,ACSR.1/0,ACSR.1/0,ACSR.2,NONE,3CP	Línea aérea por fase	13.6	13.800	20.3	33	28	43	76.68	1.8	-40.09	0.0	0.0	1.2
11568_MTA-1	MTA_L_6789	MTA_S_13555	AAAC5005.2,AAAC5005.2,AAAC5005.2,AAAC5005.2,NONE,3CP	Línea aérea por fase	13.6	13.800	0.4	25	21	33	76.62	1.4	-40.13	0.0	0.0	1.3
13555_MTA-1	MTA_S_13555	MTA_L_13555	AAAC5005.2,AAAC5005.2,AAAC5005.2,AAAC5005.2,NONE,3CP	Línea aérea por fase	13.6	13.800	0.4	25	21	33	76.62	1.4	-40.13	0.0	0.0	1.3
113555_MTA-1	MTA_L_13555	IMTA_L_13555	AAAC5005.2,AAAC5005.2,AAAC5005.2,AAAC5005.2,NONE,3CP	Línea aérea por fase	0.2	0.240	0.0	25	21	32	76.73	78.8	-10.53	0.0	0.0	72.3
6790_MTA-1	MTA_L_6789	MTA_S_6791	ACSR.1/0,ACSR.1/0,ACSR.1/0,ACSR.2,NONE,3CP	Línea aérea por fase	13.6	13.800	1.6	8	7	11	76.76	0.5	-40.00	0.0	0.0	0.6
6791_MTA-1	MTA_S_6791	MTA_L_6791	NONE,ACSR.1/0,ACSR.1/0,ACSR.2,NONE,2CP	Línea aérea por fase	13.6	13.800	15.7	8	7	11	76.77	0.7	-40.01	0.0	0.0	0.6
115897_MTA-1	MTA_L_6791	MTA_L_115897	NONE,ACSR.1/0,NONE,ACSR.2,NONE,1CP	Línea aérea por fase		13.800	1.0	8	7	11	76.77	1.4	-40.03	0.0	0.0	0.6
115898_MTA-1	MTA_L_115897	MTA_S_6795	NONE,ACSR.1/0,NONE,ACSR.2,NONE,1CP	Línea aérea por fase		13.800	16.4	8	7	11	76.77	1.4	-40.03	0.0	0.0	0.6
6793_MTA-1	MTA_S_6795	MTA_S_9922	NONE,ACSR.1/0,NONE,ACSR.2,NONE,1CP	Línea aérea por fase		13.800	18.8	8	7	11	76.72	1.4	-40.08	0.0	0.0	0.6
9922_MTA-1	MTA_S_9922	MTA_L_9922	NONE,AAAC5005.2,NONE,AAAC5005.2,NONE,1CP	Línea aérea por fase		13.800	0.4	8	7	11	76.71	1.4	-40.09	0.0	0.0	1.3
14145_MTA-1	MTA_L_9922	MTA_L_14145	NONE,AAAC5005.2,NONE,AAAC5005.2,NONE,1CP	Línea aérea por fase		13.800	0.4	8	7	11	76.71	1.4	-40.09	0.0	0.0	1.3
114145_MTA-1	MTA_L_14145	IMTA_L_14145	NONE,AAAC5005.2,NONE,AAAC5005.2,NONE,1CP	Línea aérea por fase		0.240	0.0	8	7	11	76.73	78.9	-40.52	0.0	0.0	72.3
6794_MTA-1	MTA_S_6795	MTA_L_6794	NONE,ACSR.1/0,NONE,ACSR.2,NONE,1CP	Línea aérea por fase		13.800	15.7	0	0	0	0.00	0.0	89.82	-0.0	-0.0	0.0
6795_MTA-1	MTA_S_6795	MTA_L_6795	NONE,ACSR.1/0,NONE,ACSR.2,NONE,1CP	Línea aérea por fase		13.800	31.0	0	0	0	0.00	0.0	89.82	-0.0	-0.0	0.0
7258_MTA-1	MTA_S_7258	MTA_S_7259	ACSR.1/0,ACSR.1/0,ACSR.1/0,ACSR.2,NONE,3CP	Línea aérea por fase	13.6	13.800	22.8	1171	665	1347	86.95	57.0	-29.74	0.1	0.1	25.9
7259_MTA-1	MTA_S_7259	MTA_L_7259	ACSR.1/0,ACSR.1/0,ACSR.1/0,ACSR.2,NONE,3CP	Línea aérea por fase	13.6	13.800	44.3	1171	665	1347	86.95	57.0	-29.75	0.2	0.2	25.9
7260_MTA-1	MTA_L_7259	MTA_S_7261	ACSR.1/0,ACSR.1/0,ACSR.1/0,ACSR.2,NONE,3CP	Línea aérea por fase	13.6	13.800	34.8	1171	665	1347	86.95	57.0	-29.75	0.2	0.2	25.9
17588_MTA-1	MTA_S_7261	MTA_S_17589	AAAC5005.2,AAAC5005.2,AAAC5005.2,AAAC5005.2,NONE,3CP	Línea aérea por fase	13.6	13.800	0.3	7	6	9	76.85	0.4	-39.93	0.0	0.0	0.3
17589_MTA-1	MTA_S_17589	MTA_L_17589	AAAC5005.2,AAAC5005.2,AAAC5005.2,AAAC5005.2,NONE,3CP	Línea aérea por fase	13.6	13.800	0.3	7	6	9	76.85	0.4	-39.94	0.0	0.0	0.3
117589_MTA-1	MTA_L_17589	IMTA_L_17589	AAAC5005.2,AAAC5005.2,AAAC5005.2,AAAC5005.2,NONE,3CP	Línea aérea por fase	0.2	0.240	0.0	7	5	9	76.73	21.0	-10.49	0.0	0.0	19.3
7261_MTA-1	MTA_S_7261	MTA_S_11569	ACSR.1/0,ACSR.1/0,ACSR.1/0,ACSR.2,NONE,3CP	Línea aérea por fase	13.6	13.800	40.7	1164	659	1338	87.01	56.7	-29.68	0.2	0.2	25.8
11569_MTA-1	MTA_S_11569	MTA_S_13556	AAAC5005.2,NONE,NONE,AAAC5005.2,NONE,1CP	Línea aérea por fase		13.800	0.4	2	2	3	76.95	0.4	-39.80	0.0	0.0	0.3
13556_MTA-1	MTA_S_13556	MTA_L_13556	AAAC5005.2,NONE,NONE,AAAC5005.2,NONE,1CP	Línea aérea por fase		13.800	0.4	2	2	3	76.95	0.4	-39.80	0.0	0.0	0.3
113556_MTA-1	MTA_L_13556	IMTA_L_13556	AAAC5005.2,NONE,NONE,AAAC5005.2,NONE,1CP	Línea aérea por fase		0.240	0.0	2	2	3	76.73	21.0	-40.45	0.0	0.0	19.3

Flujo de carga - Líneas y cables

Nro. equipo	Nodo origen	Nodo destino	Id equipo	Código	V (kVLL)	Tensión de base (kVLL)	Longitud (m)	Potencia total de paso (kW)	Potencia total de paso (kvar)	Potencia total de paso (kVA)	Fp promedio (%)	IEquil (A)	Desfase I (°)	Pérdidas totales (kW)	Pérdidas totales (kvar)	Carga (%)
7262_MTA-1	MTA_S_11569	MTA_S_11570	ACSR.1/0,ACSR.1/0,ACSR.1/0,ACSR.2,NONE,3CP	Línea aérea por fase	13.6	13.800	37.4	1162	657	1335	87.03	56.6	-29.66	0.2	0.2	25.8
11570_MTA-1	MTA_S_11570	MTA_S_13557	AAAC5005.2,AAAC5005.2,AAAC5005.2,AAAC5005.2,NONE,3CP	Línea aérea por fase	13.6	13.800	0.4	17	14	22	76.77	0.9	-40.01	0.0	0.0	0.8
13557_MTA-1	MTA_S_13557	MTA_L_13557	AAAC5005.2,AAAC5005.2,AAAC5005.2,AAAC5005.2,NONE,3CP	Línea aérea por fase	13.6	13.800	0.4	17	14	22	76.77	0.9	-40.01	0.0	0.0	0.8
113557_MTA-1	MTA_L_13557	IMTA_L_13557	AAAC5005.2,AAAC5005.2,AAAC5005.2,AAAC5005.2,NONE,3CP	Línea aérea por fase	0.2	0.240	0.0	16	14	21	76.73	52.5	-10.50	0.0	0.0	48.2
7263_MTA-1	MTA_S_11570	MTA_L_7263	ACSR.1/0,ACSR.1/0,ACSR.1/0,ACSR.2,NONE,3CP	Línea aérea por fase	13.6	13.800	41.9	1145	643	1313	87.18	55.6	-29.49	0.2	0.2	25.4
206834_MTA-1	MTA_L_7263	MTA_L_206834	AAAC5005.2,AAAC5005.2,AAAC5005.2,AAAC5005.2,NONE,3CP	Línea aérea por fase	13.6	13.800	0.5	17	14	22	76.72	0.9	-40.06	0.0	0.0	0.8
206835_MTA-1	MTA_L_206834	MTA_L_206835	AAAC5005.2,AAAC5005.2,AAAC5005.2,AAAC5005.2,NONE,3CP	Línea aérea por fase	13.6	13.800	0.5	17	14	22	76.72	0.9	-40.06	0.0	0.0	0.8
1206835_MTA-1	MTA_L_206835	IMTA_L_206835	AAAC5005.2,AAAC5005.2,AAAC5005.2,AAAC5005.2,NONE,3CP	Línea aérea por fase	0.2	0.240	0.0	16	14	21	76.73	52.5	-10.50	0.0	0.0	48.2
7264_MTA-1	MTA_L_7263	MTA_S_7265	ACSR.1/0,ACSR.1/0,ACSR.1/0,ACSR.2,NONE,3CP	Línea aérea por fase	13.6	13.800	24.6	1128	629	1291	87.33	54.7	-29.31	0.1	0.1	25.0
7265_MTA-1	MTA_S_7265	MTA_L_7265	ACSR.1/0,ACSR.1/0,ACSR.1/0,ACSR.2,NONE,3CP	Línea aérea por fase	13.6	13.800	14.4	222	182	287	77.38	12.2	-39.47	0.0	0.0	6.1
115883_MTA-1	MTA_L_7265	MTA_L_115883	ACSR.1/0,ACSR.1/0,ACSR.1/0,ACSR.2,NONE,3CP	Línea aérea por fase	13.6	13.800	1.5	222	182	287	77.38	12.2	-39.47	0.0	0.0	6.1
115884_MTA-1	MTA_L_115883	MTA_L_115884	ACSR.1/0,ACSR.1/0,ACSR.1/0,ACSR.2,NONE,3CP	Línea aérea por fase	13.6	13.800	37.0	222	182	287	77.38	12.2	-39.48	0.0	0.0	6.1
7267_MTA-1	MTA_L_115884	MTA_S_7268	ACSR.1/0,ACSR.1/0,ACSR.1/0,ACSR.2,NONE,3CP	Línea aérea por fase	13.6	13.800	36.0	222	182	287	77.38	12.2	-39.48	0.0	0.0	6.1
7268_MTA-1	MTA_S_7268	MTA_S_7910	ACSR.1/0,ACSR.1/0,ACSR.1/0,ACSR.2,NONE,3CP	Línea aérea por fase	13.6	13.800	12.5	222	182	287	77.37	12.2	-39.48	0.0	0.0	6.1
14572_MTA-1	MTA_S_7910	MTA_L_14572	NONE,ACSR.2,NONE,ACSR.4,NONE,1CP	Línea aérea por fase		13.800	9.5	0	0	0	0.00	0.0	89.80	-0.0	-0.0	0.0
7559_MTA-1	MTA_S_7910	MTA_S_7912	ACSR.1/0,ACSR.1/0,ACSR.1/0,ACSR.2,NONE,3CP	Línea aérea por fase	13.6	13.800	27.5	216	177	280	77.38	11.9	-39.47	0.0	0.0	5.8
7912_MTA-1	MTA_S_7912	MTA_S_7916	ACSR.1/0,ACSR.1/0,ACSR.1/0,ACSR.2,NONE,3CP	Línea aérea por fase	13.6	13.800	14.2	216	177	280	77.38	11.9	-39.47	0.0	0.0	5.8
14573_MTA-1	MTA_S_7916	MTA_L_14573	NONE,NONE,ACSR.1/0,ACSR.2,NONE,1CP	Línea aérea por fase		13.800	10.4	0	0	0	0.00	0.0	89.82	-0.0	-0.0	0.0
7913_MTA-1	MTA_S_7916	MTA_L_7913	ACSR.1/0,ACSR.1/0,ACSR.1/0,ACSR.2,NONE,3CP	Línea aérea por fase	13.6	13.800	26.4	213	174	275	77.39	11.7	-39.47	0.0	0.0	5.7
7914_MTA-1	MTA_L_7913	MTA_L_7914	ACSR.1/0,ACSR.1/0,ACSR.1/0,ACSR.2,NONE,3CP	Línea aérea por fase	13.6	13.800	41.2	213	174	275	77.38	11.7	-39.47	0.0	0.0	5.7
7915_MTA-1	MTA_L_7914	MTA_S_5862	ACSR.1/0,ACSR.1/0,ACSR.1/0,ACSR.2,NONE,3CP	Línea aérea por fase	13.6	13.800	38.6	213	174	275	77.38	11.7	-39.48	0.0	0.0	5.7
5862_MTA-1	MTA_S_5862	MTA_L_5862	ACSR.1/0,ACSR.1/0,ACSR.1/0,ACSR.2,NONE,3CP	Línea aérea por fase	13.6	13.800	38.4	213	174	275	77.37	11.7	-39.48	0.0	0.0	5.7
5794_MTA-1	MTA_L_5862	MTA_S_5795	ACSR.1/0,ACSR.1/0,ACSR.1/0,ACSR.2,NONE,3CP	Línea aérea por fase	13.6	13.800	43.7	213	174	275	77.37	11.7	-39.49	0.0	0.0	5.7
5795_MTA-1	MTA_S_5795	MTA_S_8095	ACSR.1/0,ACSR.1/0,ACSR.1/0,ACSR.2,NONE,3CP	Línea aérea por fase	13.6	13.800	50.3	213	174	275	77.36	11.7	-39.49	0.0	0.0	5.7
10557_MTA-1	MTA_S_8095	MTA_S_14315	NONE,AAAC5005.2,NONE,AAAC5005.2,NONE,1CP	Línea aérea por fase		13.800	0.4	2	2	3	76.94	0.4	-39.90	0.0	0.0	0.3

Flujo de carga - Líneas y cables

Nro. equipo	Nodo origen	Nodo destino	Id equipo	Código	V (kVLL)	Tensión de base (kVLL)	Longitud (m)	Potencia total de paso (kW)	Potencia total de paso (kvar)	Potencia total de paso (kVA)	Fp promedio (%)	IEquil (A)	Desfase I (°)	Pérdidas totales (kW)	Pérdidas totales (kvar)	Carga (%)
14315_MTA-1	MTA_S_14315	MTA_L_14315	NONE,AAAC5005.2,NONE,AAAC5005.2,NONE,1CP	Línea aérea por fase		13.800	0.4	2	2	3	76.94	0.4	-39.90	0.0	0.0	0.3
114315_MTA-1	MTA_L_14315	IMTA_L_14315	NONE,AAAC5005.2,NONE,AAAC5005.2,NONE,1CP	Línea aérea por fase		0.240	0.0	2	2	3	76.73	21.1	-40.54	0.0	0.0	19.3
8095_MTA-1	MTA_S_8095	MTA_S_8096	ACSR.1/0,ACSR.1/0,ACSR.1/0,ACSR.2,NONE,3CP	Línea aérea por fase	13.6	13.800	36.4	211	173	272	77.36	11.6	-39.49	0.0	0.0	5.6
8096_MTA-1	MTA_S_8096	MTA_S_10544	ACSR.1/0,ACSR.1/0,ACSR.1/0,ACSR.2,NONE,3CP	Línea aérea por fase	13.6	13.800	40.8	211	173	272	77.36	11.6	-39.50	0.0	0.0	5.6
10544_MTA-1	MTA_S_10544	MTA_L_10544	AAAC5005.2,AAAC5005.2,AAAC5005.2,AAAC5005.2,NONE,3CP	Línea aérea por fase	13.6	13.800	0.4	6	5	7	77.05	0.3	-39.76	0.0	0.0	0.3
14301_MTA-1	MTA_L_10544	MTA_L_14301	AAAC5005.2,AAAC5005.2,AAAC5005.2,AAAC5005.2,NONE,3CP	Línea aérea por fase	13.6	13.800	0.4	6	5	7	77.05	0.3	-39.77	0.0	0.0	0.3
114301_MTA-1	MTA_L_14301	IMTA_L_14301	AAAC5005.2,AAAC5005.2,AAAC5005.2,AAAC5005.2,NONE,3CP	Línea aérea por fase	0.2	0.240	0.0	5	5	7	76.73	17.5	-10.43	0.0	0.0	16.1
8097_MTA-1	MTA_S_10544	MTA_S_8098	ACSR.1/0,ACSR.1/0,ACSR.1/0,ACSR.2,NONE,3CP	Línea aérea por fase	13.6	13.800	38.8	205	168	265	77.36	11.2	-39.49	0.0	0.0	5.4
6871_MTA-1	MTA_S_8098	MTA_S_7207	ACSR.1/0,ACSR.1/0,ACSR.1/0,ACSR.2,NONE,3CP	Línea aérea por fase	13.6	13.800	14.1	189	155	245	77.38	10.4	-39.47	0.0	0.0	5.4
10600_MTA-1	MTA_S_7207	MTA_L_10600	NONE,AAAC5005.2,NONE,AAAC5005.2,NONE,1CP	Línea aérea por fase		13.800	0.4	6	5	7	76.77	0.9	-40.06	0.0	0.0	0.8
12605_MTA-1	MTA_L_10600	MTA_L_12605	NONE,AAAC5005.2,NONE,AAAC5005.2,NONE,1CP	Línea aérea por fase		13.800	0.4	6	5	7	76.77	0.9	-40.06	0.0	0.0	0.8
112605_MTA-1	MTA_L_12605	IMTA_L_12605	NONE,AAAC5005.2,NONE,AAAC5005.2,NONE,1CP	Línea aérea por fase		0.240	0.0	5	5	7	76.73	52.7	-40.54	0.0	0.0	48.3
7207_MTA-1	MTA_S_7207	MTA_S_6666	ACSR.1/0,ACSR.1/0,ACSR.1/0,ACSR.2,NONE,3CP	Línea aérea por fase	13.6	13.800	35.6	184	150	238	77.40	10.1	-39.46	0.0	0.0	5.4
6666_MTA-1	MTA_S_6666	MTA_S_6667	ACSR.1/0,ACSR.1/0,ACSR.1/0,ACSR.2,NONE,3CP	Línea aérea por fase	13.6	13.800	20.1	184	150	238	77.39	10.1	-39.46	0.0	0.0	5.4
169726_MTA-1	MTA_S_6667	MTA_S_169727	ACSR.2,ACSR.2,ACSR.2,ACSR.2,NONE,3CP	Línea aérea por fase	13.6	13.800	18.4	99	81	128	77.49	5.4	-39.38	0.0	0.0	4.3
169727_MTA-1	MTA_S_169727	MTA_L_169727	ACSR.2,ACSR.2,ACSR.2,ACSR.2,NONE,3CP	Línea aérea por fase	13.6	13.800	0.1	99	81	128	77.49	5.4	-39.39	0.0	0.0	4.3
116200_MTA-1	MTA_L_169727	MTA_L_116200	ACSR.2,ACSR.2,ACSR.2,ACSR.2,NONE,3CP	Línea aérea por fase	13.6	13.800	36.3	82	67	106	77.46	4.5	-39.41	0.0	0.0	3.8
63731_MTA-1	MTA_L_116200	MTA_S_7925	ACSR.2,ACSR.2,ACSR.2,ACSR.2,NONE,3CP	Línea aérea por fase	13.6	13.800	40.5	82	67	106	77.45	4.5	-39.42	0.0	0.0	3.8
10601_MTA-1	MTA_S_7925	MTA_S_13300	NONE,AAAC5005.2,NONE,AAAC5005.2,NONE,1CP	Línea aérea por fase		13.800	0.4	6	5	7	76.77	0.9	-40.06	0.0	0.0	0.8
13300_MTA-1	MTA_S_13300	MTA_L_13300	NONE,AAAC5005.2,NONE,AAAC5005.2,NONE,1CP	Línea aérea por fase		13.800	0.3	6	5	7	76.77	0.9	-40.06	0.0	0.0	0.8
113300_MTA-1	MTA_L_13300	IMTA_L_13300	NONE,AAAC5005.2,NONE,AAAC5005.2,NONE,1CP	Línea aérea por fase		0.240	0.0	5	5	7	76.73	52.7	-40.54	0.0	0.0	48.3
32917_MTA-1	MTA_S_7925	MTA_L_32917	AAAC5005.2,AAAC5005.2,AAAC5005.2,AAAC5005.2,NONE,3CP	Línea aérea por fase	13.6	13.800	0.7	22	18	29	77.41	1.2	-39.44	0.0	0.0	1.1
32994_MTS-1	MTA_L_32917	MTS_L_32994	3P_15KV.CU.1/0	Cable	13.6	13.800	0.7	22	18	29	77.41	1.2	-39.44	0.0	0.0	0.5
32995_MTS-1	MTS_S_32995	MTS_L_32994	3P_15KV.CU.1/0	Cable	13.6	13.800	10.8	22	18	29	77.40	1.2	-39.46	0.0	0.0	0.5
32996_MTS-1	MTS_S_32995	MTS_L_32996	3P_15KV.CU.1/0	Cable	13.6	13.800	13.5	22	18	29	77.20	1.2	-39.64	0.0	0.0	0.5
32997_MTS-1	MTS_L_32996	MTS_L_32997	3P_15KV.CU.1/0	Cable	13.6	13.800	11.3	22	18	29	76.94	1.2	-39.86	0.0	0.0	0.5

Flujo de carga - Líneas y cables

Nro. equipo	Nodo origen	Nodo destino	Id equipo	Código	V (kVLL)	Tensión de base (kVLL)	Longitud (m)	Potencia total de paso (kW)	Potencia total de paso (kvar)	Potencia total de paso (kVA)	Fp promedio (%)	IEquil (A)	Desfase I (°)	Pérdidas totales (kW)	Pérdidas totales (kvar)	Carga (%)
32998_MTS-1	MTS_L_32997	MTS_L_32998	3P_15KV.CU.1/0	Cable	13.6	13.800	1.3	22	19	29	76.73	1.2	-40.05	0.0	0.0	0.5
33000_MTS-1	MTS_L_32998	MTS_L_33000	3P_15KV.CU.3/0	Cable	13.6	13.800	0.5	22	19	29	76.71	1.2	-40.07	0.0	0.0	0.4
33001_MTS-1	MTS_L_33000	MTS_L_33001	3P_15KV.CU.3/0	Cable	13.6	13.800	0.5	22	19	29	76.70	1.2	-40.08	0.0	0.0	0.4
I33001_MTS-1	MTS_L_33001	IMTS_L_33001	3P_15KV.CU.3/0	Cable	0.2	0.240	0.0	22	18	28	76.73	70.1	-10.51	0.0	0.0	23.4
7925_MTA-1	MTA_S_7925	MTA_S_7770	ACSR.2,ACSR.2,ACSR.2,ACSR.2,NONE,3CP	Línea aérea por fase	13.6	13.800	24.1	55	45	71	77.52	3.0	-39.36	0.0	0.0	3.2
6672_MTA-1	MTA_S_7770	MTA_S_200727	ACSR.2,ACSR.2,ACSR.2,ACSR.2,NONE,3CP	Línea aérea por fase	13.6	13.800	18.7	44	35	56	77.68	2.4	-39.20	0.0	0.0	3.2
200727_MTA-1	MTA_S_200727	MTS_S_45134	AAAC5005.2,AAAC5005.2,AAAC5005.2,AAAC5005.2,NONE,3CP	Línea aérea por fase	13.6	13.800	1.0	7	5	8	81.28	0.3	-35.80	0.0	0.0	0.3
45134_MTS-1	MTS_S_45134	MTS_L_45134	3P_15KV.CU.2	Cable	13.6	13.800	0.9	7	5	8	81.28	0.3	-35.80	0.0	-0.0	0.2
45135_MTS-1	MTS_L_45134	MTS_L_45135	3P_15KV.CU.2	Cable	13.6	13.800	20.6	7	5	8	81.22	0.4	-35.85	0.0	-0.0	0.2
45133_MTS-1	MTS_L_45135	MTS_L_45133	3P_15KV.CU.2	Cable	13.6	13.800	27.3	7	5	8	80.02	0.4	-37.02	0.0	-0.0	0.2
45131_MTS-1	MTS_L_45133	MTS_L_45131	3P_15KV.CU.2	Cable	13.6	13.800	26.8	7	5	9	78.44	0.4	-38.50	0.0	-0.0	0.2
46781_MTS-1	MTS_L_45131	MTS_L_46781	3P_15KV.CU.2	Cable	13.6	13.800	0.5	7	6	9	76.90	0.4	-39.90	0.0	-0.0	0.2
46782_MTS-1	MTS_L_46781	MTS_L_46782	3P_15KV.CU.2	Cable	13.6	13.800	0.5	7	6	9	76.87	0.4	-39.93	0.0	-0.0	0.2
I46782_MTS-1	MTS_L_46782	IMTS_L_46782	3P_15KV.CU.2	Cable	0.2	0.240	0.0	7	5	9	76.73	21.0	-10.51	0.0	0.0	9.1
6673_MTA-1	MTA_S_200727	MTA_S_6674	ACSR.2,ACSR.2,ACSR.2,ACSR.2,NONE,3CP	Línea aérea por fase	13.6	13.800	36.9	37	30	48	77.03	2.0	-39.80	0.0	0.0	3.0
6674_MTA-1	MTA_S_6674	MTA_S_6675	ACSR.2,ACSR.2,ACSR.2,ACSR.2,NONE,3CP	Línea aérea por fase	13.6	13.800	6.7	37	31	48	77.00	2.0	-39.82	0.0	0.0	3.0
1668_MTA-1	MTA_S_6675	MTA_L_1668	ACSR.2,ACSR.2,ACSR.2,ACSR.2,NONE,3CP	Línea aérea por fase	13.6	13.800	40.8	25	20	32	76.90	1.4	-39.85	0.0	0.0	2.3
63733_MTA-1	MTA_L_1668	MTA_L_63733	NONE,NONE,ACSR.2,ACSR.2,NONE,1CP	Línea aérea por fase		13.800	1.1	25	20	32	76.93	4.1	-39.89	0.0	0.0	2.3
63734_MTA-1	MTA_L_63733	MTA_L_63734	NONE,NONE,ACSR.2,ACSR.2,NONE,1CP	Línea aérea por fase		13.800	21.7	25	20	32	76.93	4.1	-39.89	0.0	0.0	2.3
1670_MTA-1	MTA_L_63734	MTA_L_1670	NONE,NONE,ACSR.2,ACSR.2,NONE,1CP	Línea aérea por fase		13.800	11.3	0	0	0	0.00	0.0	89.82	-0.0	-0.0	0.0
1671_MTA-1	MTA_L_63734	MTA_L_1671	NONE,NONE,ACSR.2,ACSR.2,NONE,1CP	Línea aérea por fase		13.800	15.4	6	5	7	76.84	0.9	-39.97	0.0	0.0	0.5
1672_MTA-1	MTA_L_1671	MTA_S_10605	NONE,NONE,ACSR.2,ACSR.2,NONE,1CP	Línea aérea por fase		13.800	40.1	6	5	7	76.82	0.9	-39.99	0.0	0.0	0.5
10605_MTA-1	MTA_S_10605	MTA_S_12610	NONE,NONE,AAAC5005.2,AAAC5005.2,NONE,1CP	Línea aérea por fase		13.800	0.4	6	5	7	76.77	0.9	-40.03	0.0	0.0	0.8
12610_MTA-1	MTA_S_12610	MTA_L_12610	NONE,NONE,AAAC5005.2,AAAC5005.2,NONE,1CP	Línea aérea por fase		13.800	0.4	6	5	7	76.77	0.9	-40.03	0.0	0.0	0.8
I12610_MTA-1	MTA_L_12610	IMTA_L_12610	NONE,NONE,AAAC5005.2,AAAC5005.2,NONE,1CP	Línea aérea por fase		0.240	0.0	5	5	7	76.73	52.5	-40.52	0.0	0.0	48.2
1673_MTA-1	MTA_L_63734	MTA_S_1674	NONE,NONE,ACSR.2,ACSR.2,NONE,1CP	Línea aérea por fase		13.800	13.6	19	16	25	76.95	3.1	-39.87	0.0	0.0	1.7
1674_MTA-1	MTA_S_1674	MTA_S_1675	NONE,NONE,ACSR.2,ACSR.2,NONE,1CP	Línea aérea por fase		13.800	41.4	19	16	25	76.94	3.1	-39.88	0.0	0.0	1.7

Flujo de carga - Líneas y cables

Nro. equipo	Nodo origen	Nodo destino	Id equipo	Código	V (kVLL)	Tensión de base (kVLL)	Longitud (m)	Potencia total de paso (kW)	Potencia total de paso (kvar)	Potencia total de paso (kVA)	Fp promedio (%)	IEquil (A)	Desfase l (°)	Pérdidas totales (kW)	Pérdidas totales (kvar)	Carga (%)
1675_MTA-1	MTA_S_1675	MTA_S_1678	NONE,NONE,ACSR.2,ACSR.2,NONE,1CP	Línea aérea por fase		13.800	9.5	19	16	25	76.93	3.1	-39.89	0.0	0.0	1.7
1676_MTA-1	MTA_S_1678	MTA_L_1676	NONE,NONE,ACSR.2,ACSR.2,NONE,1CP	Línea aérea por fase		13.800	11.6	0	0	0	0.00	0.0	89.82	-0.0	-0.0	0.0
1677_MTA-1	MTA_S_1678	MTA_L_1677	NONE,NONE,ACSR.2,ACSR.2,NONE,1CP	Línea aérea por fase		13.800	32.2	0	0	0	0.00	0.0	89.82	-0.0	-0.0	0.0
1678_MTA-1	MTA_S_1678	MTA_S_6928	NONE,NONE,ACSR.2,ACSR.2,NONE,1CP	Línea aérea por fase		13.800	20.1	19	16	25	76.91	3.1	-39.91	0.0	0.0	1.7
10606_MTA-1	MTA_S_6928	MTA_L_10606	NONE,NONE,AAAC5005.2,AAAC5005.2,NONE,1CP	Línea aérea por fase		13.800	0.4	3	3	4	76.86	0.6	-39.95	0.0	0.0	0.5
12611_MTA-1	MTA_L_10606	MTA_L_12611	NONE,NONE,AAAC5005.2,AAAC5005.2,NONE,1CP	Línea aérea por fase		13.800	0.4	3	3	4	76.86	0.6	-39.96	0.0	0.0	0.5
I12611_MTA-1	MTA_L_12611	IMTA_L_12611	NONE,NONE,AAAC5005.2,AAAC5005.2,NONE,1CP	Línea aérea por fase		0.240	0.0	3	3	4	76.73	31.5	-40.52	0.0	0.0	28.9
6928_MTA-1	MTA_S_6928	MTA_S_17586	NONE,NONE,ACSR.2,ACSR.4,NONE,1CP	Línea aérea por fase		13.800	40.8	16	13	20	76.92	2.6	-39.90	0.0	0.0	1.4
116201_MTA-1	MTA_S_116201	MTA_S_17586	NONE,NONE,ACSR.2,ACSR.4,NONE,1CP	Línea aérea por fase		13.800	22.4	3	3	4	76.90	0.6	-39.92	0.0	0.0	0.3
116203_MTA-1	MTA_S_116201	MTA_L_116203	NONE,NONE,AAAC5005.2,AAAC5005.2,NONE,1CP	Línea aérea por fase		13.800	0.5	3	3	4	76.86	0.6	-39.95	0.0	0.0	0.5
116204_MTA-1	MTA_L_116203	MTA_L_116204	NONE,NONE,AAAC5005.2,AAAC5005.2,NONE,1CP	Línea aérea por fase		13.800	0.5	3	3	4	76.86	0.6	-39.96	0.0	0.0	0.5
I116204_MTA-1	MTA_L_116204	IMTA_L_116204	NONE,NONE,AAAC5005.2,AAAC5005.2,NONE,1CP	Línea aérea por fase		0.240	0.0	3	3	4	76.73	31.5	-40.52	0.0	0.0	28.9
17586_MTA-1	MTA_S_17586	MTA_S_17587	NONE,NONE,AAAC5005.2,AAAC5005.2,NONE,1CP	Línea aérea por fase		13.800	0.3	3	3	4	76.86	0.6	-39.95	0.0	0.0	0.5
17587_MTA-1	MTA_S_17587	MTA_L_17587	NONE,NONE,AAAC5005.2,AAAC5005.2,NONE,1CP	Línea aérea por fase		13.800	0.3	3	3	4	76.86	0.6	-39.96	0.0	0.0	0.5
I17587_MTA-1	MTA_L_17587	IMTA_L_17587	NONE,NONE,AAAC5005.2,AAAC5005.2,NONE,1CP	Línea aérea por fase		0.240	0.0	3	3	4	76.73	31.5	-40.52	0.0	0.0	28.9
63735_MTA-1	MTA_S_17586	MTA_L_63735	NONE,NONE,ACSR.2,ACSR.4,NONE,1CP	Línea aérea por fase		13.800	32.1	9	7	12	76.91	1.5	-39.91	0.0	0.0	0.8
63736_MTA-1	MTA_L_63735	MTA_S_10463	NONE,NONE,ACSR.2,ACSR.4,NONE,1CP	Línea aérea por fase		13.800	1.0	9	7	12	76.89	1.5	-39.93	0.0	0.0	0.8
10463_MTA-1	MTA_S_10463	MTA_S_14219	NONE,NONE,AAAC5005.2,AAAC5005.2,NONE,1CP	Línea aérea por fase		13.800	0.4	6	5	7	76.77	0.9	-40.03	0.0	0.0	0.8
14219_MTA-1	MTA_S_14219	MTA_L_14219	NONE,NONE,AAAC5005.2,AAAC5005.2,NONE,1CP	Línea aérea por fase		13.800	0.4	6	5	7	76.77	0.9	-40.03	0.0	0.0	0.8
I14219_MTA-1	MTA_L_14219	IMTA_L_14219	NONE,NONE,AAAC5005.2,AAAC5005.2,NONE,1CP	Línea aérea por fase		0.240	0.0	5	5	7	76.73	52.5	-40.52	0.0	0.0	48.2
63737_MTA-1	MTA_S_10463	MTA_S_63738	NONE,NONE,ACSR.2,ACSR.4,NONE,1CP	Línea aérea por fase		13.800	57.4	3	3	4	77.08	0.6	-39.75	0.0	0.0	0.3
63738_MTA-1	MTA_S_63738	MTA_S_116206	NONE,NONE,ACSR.2,ACSR.4,NONE,1CP	Línea aérea por fase		13.800	60.6	3	3	4	76.97	0.6	-39.85	0.0	0.0	0.3
116206_MTA-1	MTA_S_116206	MTA_L_116206	NONE,NONE,AAAC5005.2,AAAC5005.2,NONE,1CP	Línea aérea por fase		13.800	0.5	3	3	4	76.86	0.6	-39.95	0.0	0.0	0.5
116207_MTA-1	MTA_L_116206	MTA_L_116207	NONE,NONE,AAAC5005.2,AAAC5005.2,NONE,1CP	Línea aérea por fase		13.800	0.5	3	3	4	76.86	0.6	-39.96	0.0	0.0	0.5
I116207_MTA-1	MTA_L_116207	IMTA_L_116207	NONE,NONE,AAAC5005.2,AAAC5005.2,NONE,1CP	Línea aérea por fase		0.240	0.0	3	3	4	76.73	31.5	-40.52	0.0	0.0	28.9

Flujo de carga - Líneas y cables

Nro. equipo	Nodo origen	Nodo destino	Id equipo	Código	V (kVLL)	Tensión de base (kVLL)	Longitud (m)	Potencia total de paso (kW)	Potencia total de paso (kvar)	Potencia total de paso (kVA)	Fp promedio (%)	IEquil (A)	Desfase I (°)	Pérdidas totales (kW)	Pérdidas totales (kvar)	Carga (%)
6675_MTA-1	MTA_S_6675	MTA_L_6675	ACSR.2,ACSR.2,ACSR.2,ACSR.2,NONE,3CP	Línea aérea por fase	13.6	13.800	12.5	0	0	0	0.00	0.0	89.83	-0.0	-0.0	0.0
6676_MTA-1	MTA_S_6675	MTA_S_6677	ACSR.2,ACSR.2,ACSR.2,ACSR.2,NONE,3CP	Línea aérea por fase	13.6	13.800	24.7	12	10	16	77.02	0.7	-39.80	0.0	0.0	0.7
6677_MTA-1	MTA_S_6677	MTA_S_10604	ACSR.2,ACSR.2,ACSR.2,ACSR.2,NONE,3CP	Línea aérea por fase	13.6	13.800	36.8	12	10	16	76.97	0.7	-39.85	0.0	0.0	0.7
10604_MTA-1	MTA_S_10604	MTA_S_12609	NONE,NONE,AAAC5005.2,AAAC5005.2,NONE,1CP	Línea aérea por fase		13.800	0.4	6	5	7	76.77	0.9	-40.03	0.0	0.0	0.8
12609_MTA-1	MTA_S_12609	MTA_L_12609	NONE,NONE,AAAC5005.2,AAAC5005.2,NONE,1CP	Línea aérea por fase		13.800	0.3	6	5	7	76.77	0.9	-40.03	0.0	0.0	0.8
I12609_MTA-1	MTA_L_12609	IMTA_L_12609	NONE,NONE,AAAC5005.2,AAAC5005.2,NONE,1CP	Línea aérea por fase		0.240	0.0	5	5	7	76.73	52.5	-40.52	0.0	0.0	48.2
17579_MTA-1	MTA_S_10604	MTA_S_17581	ACSR.2,ACSR.2,ACSR.2,ACSR.2,NONE,3CP	Línea aérea por fase	13.6	13.800	38.5	7	6	9	76.99	0.4	-39.82	0.0	0.0	0.2
17581_MTA-1	MTA_S_17581	MTA_S_17582	AAAC5005.2,AAAC5005.2,AAAC5005.2,AAAC5005.2,NONE,3CP	Línea aérea por fase	13.6	13.800	0.3	7	6	9	76.85	0.4	-39.95	0.0	0.0	0.3
17582_MTA-1	MTA_S_17582	MTA_L_17582	AAAC5005.2,AAAC5005.2,AAAC5005.2,AAAC5005.2,NONE,3CP	Línea aérea por fase	13.6	13.800	0.3	7	6	9	76.85	0.4	-39.95	0.0	0.0	0.3
I17582_MTA-1	MTA_L_17582	IMTA_L_17582	AAAC5005.2,AAAC5005.2,AAAC5005.2,AAAC5005.2,NONE,3CP	Línea aérea por fase	0.2	0.240	0.0	7	5	9	76.73	21.0	-10.51	0.0	0.0	19.3
7769_MTA-1	MTA_S_7770	MTA_S_10602	NONE,ACSR.2,NONE,ACSR.2,NONE,1CP	Línea aérea por fase		13.800	16.7	6	5	7	76.79	0.9	-40.04	0.0	0.0	0.5
10602_MTA-1	MTA_S_10602	MTA_S_12607	NONE,AAAC5005.2,NONE,AAAC5005.2,NONE,1CP	Línea aérea por fase		13.800	0.4	6	5	7	76.77	0.9	-40.06	0.0	0.0	0.8
12607_MTA-1	MTA_S_12607	MTA_L_12607	NONE,AAAC5005.2,NONE,AAAC5005.2,NONE,1CP	Línea aérea por fase		13.800	0.4	6	5	7	76.77	0.9	-40.06	0.0	0.0	0.8
I12607_MTA-1	MTA_L_12607	IMTA_L_12607	NONE,AAAC5005.2,NONE,AAAC5005.2,NONE,1CP	Línea aérea por fase		0.240	0.0	5	5	7	76.73	52.7	-40.54	0.0	0.0	48.3
7770_MTA-1	MTA_S_7770	MTA_S_7771	NONE,ACSR.2,NONE,ACSR.2,NONE,1CP	Línea aérea por fase		13.800	19.4	6	5	7	76.86	0.9	-39.97	0.0	0.0	0.5
7771_MTA-1	MTA_S_7771	MTA_S_6465	NONE,ACSR.2,NONE,ACSR.2,NONE,1CP	Línea aérea por fase		13.800	35.3	6	5	7	76.84	0.9	-39.99	0.0	0.0	0.5
6465_MTA-1	MTA_S_6465	MTA_S_10603	NONE,ACSR.2,NONE,ACSR.2,NONE,1CP	Línea aérea por fase		13.800	29.1	6	5	7	76.80	0.9	-40.03	0.0	0.0	0.5
10603_MTA-1	MTA_S_10603	MTA_L_10603	NONE,AAAC5005.2,NONE,AAAC5005.2,NONE,1CP	Línea aérea por fase		13.800	0.4	6	5	7	76.77	0.9	-40.06	0.0	0.0	0.8
12608_MTA-1	MTA_L_10603	MTA_L_12608	NONE,AAAC5005.2,NONE,AAAC5005.2,NONE,1CP	Línea aérea por fase		13.800	0.4	6	5	7	76.77	0.9	-40.06	0.0	0.0	0.8
I12608_MTA-1	MTA_L_12608	IMTA_L_12608	NONE,AAAC5005.2,NONE,AAAC5005.2,NONE,1CP	Línea aérea por fase		0.240	0.0	5	5	7	76.73	52.7	-40.54	0.0	0.0	48.3
168761_MTA-1	MTS_S_33291	MTA_L_169727	AAAC5005.2,AAAC5005.2,AAAC5005.2,AAAC5005.2,NONE,3CP	Línea aérea por fase	13.6	13.800	1.5	17	14	22	77.59	0.9	-39.28	0.0	0.0	0.8
33291_MTS-1	MTS_S_33291	MTS_L_33291	3P_15KV.CU.2	Cable	13.6	13.800	3.1	17	14	22	77.59	0.9	-39.28	0.0	0.0	0.4
33293_MTS-1	MTS_L_33291	MTS_L_33293	3P_15KV.CU.2	Cable	13.6	13.800	17.5	17	14	22	77.52	0.9	-39.34	0.0	0.0	0.4
33295_MTS-1	MTS_L_33293	MTS_L_33295	3P_15KV.CU.2	Cable	13.6	13.800	11.1	17	14	22	77.12	0.9	-39.71	0.0	0.0	0.4
33297_MTS-1	MTS_L_33295	MTS_L_33297	3P_15KV.CU.2	Cable	13.6	13.800	4.9	17	14	22	76.86	0.9	-39.94	0.0	0.0	0.4
33298_MTS-1	MTS_L_33297	MTS_L_33298	3P_15KV.CU.2	Cable	13.6	13.800	0.4	17	14	22	76.75	0.9	-40.04	0.0	0.0	0.4

Flujo de carga - Líneas y cables

Nro. equipo	Nodo origen	Nodo destino	Id equipo	Código	V (kVLL)	Tensión de base (kVLL)	Longitud (m)	Potencia total de paso (kW)	Potencia total de paso (kvar)	Potencia total de paso (kVA)	Fp promedio (%)	IEquil (A)	Desfase I (°)	Pérdidas totales (kW)	Pérdidas totales (kvar)	Carga (%)
395_MTS-1	MTS_L_33298	MTS_L_395	3P_15KV.CU.3/0	Cable	13.6	13.800	0.4	17	14	22	76.74	0.9	-40.04	0.0	0.0	0.3
520_MTS-1	MTS_L_395	MTS_L_520	3P_15KV.CU.3/0	Cable	13.6	13.800	0.4	17	14	22	76.73	0.9	-40.06	0.0	0.0	0.3
1520_MTS-1	MTS_L_520	IMTS_L_520	3P_15KV.CU.3/0	Cable	0.2	0.240	0.0	16	14	21	76.73	52.6	-10.51	0.0	0.0	17.5
6667_MTA-1	MTA_S_6667	MTA_L_6667	ACSR.2,ACSR.2,ACSR.2,ACSR.2,NONE,3CP	Línea aérea por fase	13.6	13.800	11.7	0	0	0	0.00	0.0	89.83	-0.0	-0.0	0.0
6930_MTA-1	MTA_S_6667	MTA_L_6930	ACSR.1/0,ACSR.1/0,ACSR.1/0,ACSR.2,NONE,3CP	Línea aérea por fase	13.6	13.800	39.0	85	70	110	77.27	4.6	-39.56	0.0	0.0	2.6
6931_MTA-1	MTA_L_6930	MTA_L_6931	ACSR.1/0,ACSR.1/0,ACSR.1/0,ACSR.2,NONE,3CP	Línea aérea por fase	13.6	13.800	39.0	85	70	110	77.26	4.6	-39.57	0.0	0.0	2.6
151123_MTA-1	MTA_L_6931	MTA_L_151123	ACSR.1/0,ACSR.1/0,ACSR.1/0,ACSR.2,NONE,3CP	Línea aérea por fase	13.6	13.800	1.0	85	70	110	77.25	4.6	-39.58	0.0	0.0	2.6
151124_MTA-1	MTA_L_151123	MTA_S_6933	ACSR.1/0,ACSR.1/0,ACSR.1/0,ACSR.2,NONE,3CP	Línea aérea por fase	13.6	13.800	34.9	85	70	110	77.25	4.6	-39.58	0.0	0.0	2.6
6933_MTA-1	MTA_S_6933	MTA_S_6367	ACSR.1/0,ACSR.1/0,ACSR.1/0,ACSR.2,NONE,3CP	Línea aérea por fase	13.6	13.800	27.1	85	70	110	77.24	4.7	-39.59	0.0	0.0	2.6
6367_MTA-1	MTA_S_6367	MTA_S_6368	ACSR.1/0,ACSR.1/0,ACSR.1/0,ACSR.2,NONE,3CP	Línea aérea por fase	13.6	13.800	23.6	26	21	33	77.56	1.4	-39.31	0.0	0.0	0.8
6368_MTA-1	MTA_S_6368	MTA_S_6369	ACSR.1/0,ACSR.1/0,ACSR.1/0,ACSR.2,NONE,3CP	Línea aérea por fase	13.6	13.800	39.9	26	21	33	77.54	1.4	-39.34	0.0	0.0	0.8
6369_MTA-1	MTA_S_6369	MTA_S_7372	ACSR.1/0,ACSR.1/0,ACSR.1/0,ACSR.2,NONE,3CP	Línea aérea por fase	13.6	13.800	32.1	26	21	33	77.50	1.4	-39.37	0.0	0.0	0.8
7372_MTA-1	MTA_S_7372	MTA_S_7373	ACSR.1/0,ACSR.1/0,ACSR.1/0,ACSR.2,NONE,3CP	Línea aérea por fase	13.6	13.800	31.1	26	21	33	77.46	1.4	-39.40	0.0	0.0	0.8
11852_MTA-1	MTA_S_7373	MTA_S_14418	NONE,AAAC5005.2,NONE,AAAC5005.2,NONE,1CP	Línea aérea por fase		13.800	0.4	3	3	4	76.85	0.6	-39.98	0.0	0.0	0.5
14418_MTA-1	MTA_S_14418	MTA_L_14418	NONE,AAAC5005.2,NONE,AAAC5005.2,NONE,1CP	Línea aérea por fase		13.800	0.4	3	3	4	76.85	0.6	-39.98	0.0	0.0	0.5
114418_MTA-1	MTA_L_14418	IMTA_L_14418	NONE,AAAC5005.2,NONE,AAAC5005.2,NONE,1CP	Línea aérea por fase		0.240	0.0	3	3	4	76.73	31.6	-40.54	0.0	0.0	29.0
7373_MTA-1	MTA_S_7373	MTA_S_7374	ACSR.1/0,ACSR.1/0,ACSR.1/0,ACSR.2,NONE,3CP	Línea aérea por fase	13.6	13.800	36.2	22	18	29	77.52	1.2	-39.35	0.0	0.0	0.8
7374_MTA-1	MTA_S_7374	MTA_L_7374	ACSR.1/0,ACSR.1/0,ACSR.1/0,ACSR.2,NONE,3CP	Línea aérea por fase	13.6	13.800	29.6	22	18	29	77.48	1.2	-39.39	0.0	0.0	0.8
7375_MTA-1	MTA_L_7374	MTA_L_7375	ACSR.1/0,ACSR.1/0,ACSR.1/0,ACSR.2,NONE,3CP	Línea aérea por fase	13.6	13.800	47.0	22	18	29	77.44	1.2	-39.42	0.0	0.0	0.8
74208_MTA-1	MTA_L_7375	MTA_S_7377	ACSR.1/0,ACSR.1/0,ACSR.1/0,ACSR.2,NONE,3CP	Línea aérea por fase	13.6	13.800	31.4	22	18	29	77.39	1.2	-39.47	0.0	0.0	0.8
5680_MTA-1	MTA_S_7377	MTA_L_5680	NONE,ACSR.2,NONE,ACSR.4,NONE,1CP	Línea aérea por fase		13.800	10.6	0	0	0	0.00	0.0	89.80	-0.0	-0.0	0.0
6466_MTA-1	MTA_S_7377	MTA_S_6467	NONE,ACSR.2,NONE,ACSR.4,NONE,1CP	Línea aérea por fase		13.800	13.0	0	0	0	0.00	0.0	89.80	-0.0	-0.0	0.0
6467_MTA-1	MTA_S_6467	MTA_S_6921	NONE,ACSR.2,NONE,ACSR.4,NONE,1CP	Línea aérea por fase		13.800	38.6	0	0	0	0.00	0.0	89.80	-0.0	-0.0	0.0
6921_MTA-1	MTA_S_6921	MTA_L_6921	NONE,ACSR.2,NONE,ACSR.4,NONE,1CP	Línea aérea por fase		13.800	39.1	0	0	0	0.00	0.0	89.80	-0.0	-0.0	0.0
7377_MTA-1	MTA_S_7377	MTA_S_7378	ACSR.1/0,ACSR.1/0,ACSR.1/0,ACSR.2,NONE,3CP	Línea aérea por fase	13.6	13.800	15.7	22	18	29	77.32	1.2	-39.53	0.0	0.0	0.8
7378_MTA-1	MTA_S_7378	MTA_L_7378	ACSR.1/0,ACSR.1/0,ACSR.1/0,ACSR.2,NONE,3CP	Línea aérea por fase	13.6	13.800	43.4	22	18	29	77.31	1.2	-39.54	0.0	0.0	0.8

Flujo de carga - Líneas y cables

Nro. equipo	Nodo origen	Nodo destino	Id equipo	Código	V (kVLL)	Tensión de base (kVLL)	Longitud (m)	Potencia total de paso (kW)	Potencia total de paso (kvar)	Potencia total de paso (kVA)	Fp promedio (%)	IEquil (A)	Desfase I (°)	Pérdidas totales (kW)	Pérdidas totales (kvar)	Carga (%)
7379_MTA-1	MTA_L_7378	MTA_L_7379	ACSR.1/0,ACSR.1/0,ACSR.1/0,ACSR.2,NONE,3CP	Línea aérea por fase	13.6	13.800	38.5	22	18	29	77.25	1.2	-39.59	0.0	0.0	0.8
7380_MTA-1	MTA_L_7379	MTA_L_7381	ACSR.1/0,ACSR.1/0,ACSR.1/0,ACSR.2,NONE,3CP	Línea aérea por fase	13.6	13.800	34.2	22	18	29	77.21	1.2	-39.63	0.0	0.0	0.8
7381_MTA-1	MTA_S_7382	MTA_L_7381	ACSR.1/0,ACSR.1/0,ACSR.1/0,ACSR.2,NONE,3CP	Línea aérea por fase	13.6	13.800	3.2	22	18	29	77.17	1.2	-39.67	0.0	0.0	0.8
6922_MTA-1	MTA_S_7382	MTA_L_6922	NONE,NONE,ACSR.2,ACSR.4,NONE,1CP	Línea aérea por fase		13.800	10.9	0	0	0	0.00	0.0	89.82	-0.0	-0.0	0.0
6923_MTA-1	MTA_S_7382	MTA_L_6923	NONE,NONE,ACSR.2,ACSR.4,NONE,1CP	Línea aérea por fase		13.800	30.1	6	5	7	76.86	0.9	-39.96	0.0	0.0	0.5
6924_MTA-1	MTA_L_6923	MTA_L_6924	NONE,NONE,ACSR.2,ACSR.4,NONE,1CP	Línea aérea por fase		13.800	42.6	6	5	7	76.82	0.9	-39.99	0.0	0.0	0.5
11853_MTA-1	MTA_L_6924	MTA_L_11853	NONE,NONE,AAAC5005.2,AAAC5005.2,NONE,1CP	Línea aérea por fase		13.800	0.4	6	5	7	76.77	0.9	-40.03	0.0	0.0	0.8
14419_MTA-1	MTA_L_11853	MTA_L_14419	NONE,NONE,AAAC5005.2,AAAC5005.2,NONE,1CP	Línea aérea por fase		13.800	0.4	6	5	7	76.77	0.9	-40.03	0.0	0.0	0.8
114419_MTA-1	MTA_L_14419	IMTA_L_14419	NONE,NONE,AAAC5005.2,AAAC5005.2,NONE,1CP	Línea aérea por fase		0.240	0.0	5	5	7	76.73	52.5	-40.52	0.0	0.0	48.2
7382_MTA-1	MTA_S_7382	MTA_S_6774	ACSR.1/0,ACSR.1/0,ACSR.1/0,ACSR.2,NONE,3CP	Línea aérea por fase	13.6	13.800	33.9	17	14	22	77.26	0.9	-39.58	0.0	0.0	0.4
6774_MTA-1	MTA_S_6774	MTA_S_6775	ACSR.1/0,ACSR.1/0,ACSR.1/0,ACSR.2,NONE,3CP	Línea aérea por fase	13.6	13.800	11.7	17	14	22	77.21	0.9	-39.62	0.0	0.0	0.4
6775_MTA-1	MTA_S_6775	MTA_S_6776	ACSR.1/0,ACSR.1/0,ACSR.1/0,ACSR.2,NONE,3CP	Línea aérea por fase	13.6	13.800	26.0	11	9	14	76.89	0.6	-39.49	0.0	0.0	0.4
6776_MTA-1	MTA_S_6776	MTA_L_6776	ACSR.1/0,ACSR.1/0,ACSR.1/0,ACSR.2,NONE,3CP	Línea aérea por fase	13.6	13.800	45.4	11	9	14	76.88	0.6	-39.55	0.0	0.0	0.4
6777_MTA-1	MTA_L_6776	MTA_S_6778	ACSR.1/0,ACSR.1/0,ACSR.1/0,ACSR.2,NONE,3CP	Línea aérea por fase	13.6	13.800	43.4	11	9	14	76.86	0.6	-39.64	0.0	0.0	0.4
11855_MTA-1	MTA_S_6778	MTA_L_11855	NONE,AAAC5005.2,NONE,AAAC5005.2,NONE,1CP	Línea aérea por fase		13.800	0.4	6	5	7	76.77	0.9	-40.06	0.0	0.0	0.8
14421_MTA-1	MTA_L_11855	MTA_L_14421	NONE,AAAC5005.2,NONE,AAAC5005.2,NONE,1CP	Línea aérea por fase		13.800	0.4	6	5	7	76.77	0.9	-40.06	0.0	0.0	0.8
114421_MTA-1	MTA_L_14421	IMTA_L_14421	NONE,AAAC5005.2,NONE,AAAC5005.2,NONE,1CP	Línea aérea por fase		0.240	0.0	5	5	7	76.73	52.7	-40.54	0.0	0.0	48.3
6778_MTA-1	MTA_S_6778	MTA_S_6611	ACSR.1/0,ACSR.1/0,ACSR.1/0,ACSR.2,NONE,3CP	Línea aérea por fase	13.6	13.800	39.3	6	5	7	76.37	0.3	-39.41	0.0	0.0	0.4
6611_MTA-1	MTA_S_6611	MTA_L_6611	ACSR.1/0,ACSR.1/0,ACSR.1/0,ACSR.2,NONE,3CP	Línea aérea por fase	13.6	13.800	33.7	6	5	7	76.50	0.3	-39.58	0.0	0.0	0.4
5677_MTA-1	MTA_L_6611	MTA_S_8071	ACSR.1/0,ACSR.1/0,ACSR.1/0,ACSR.2,NONE,3CP	Línea aérea por fase	13.6	13.800	7.7	6	5	7	76.61	0.3	-39.72	0.0	0.0	0.4
14574_MTA-1	MTA_S_8071	MTA_L_14574	NONE,NONE,ACSR.2,ACSR.4,NONE,1CP	Línea aérea por fase		13.800	10.2	0	0	0	0.00	0.0	89.82	-0.0	-0.0	0.0
5678_MTA-1	MTA_S_8071	MTA_L_5678	ACSR.1/0,ACSR.1/0,ACSR.1/0,ACSR.2,NONE,3CP	Línea aérea por fase	13.6	13.800	26.9	0	0	0	0.00	0.0	89.83	-0.0	-0.0	0.0
217105_MTA-1	MTA_L_5678	MTA_S_217106	ACSR.1/0,ACSR.1/0,ACSR.1/0,ACSR.2,NONE,3CP	Línea aérea por fase	13.6	13.800	29.8	0	0	0	0.00	0.0	89.83	-0.0	-0.0	0.0
8071_MTA-1	MTA_S_8071	MTA_S_11856	NONE,NONE,ACSR.2,ACSR.4,NONE,1CP	Línea aérea por fase		13.800	31.1	6	5	7	76.81	0.9	-40.00	0.0	0.0	0.5
11856_MTA-1	MTA_S_11856	MTA_S_14422	NONE,NONE,AAAC5005.2,AAAC5005.2,NONE,1CP	Línea aérea por fase		13.800	0.6	6	5	7	76.77	0.9	-40.03	0.0	0.0	0.8

Flujo de carga - Líneas y cables

Nro. equipo	Nodo origen	Nodo destino	Id equipo	Código	V (kVLL)	Tensión de base (kVLL)	Longitud (m)	Potencia total de paso (kW)	Potencia total de paso (kvar)	Potencia total de paso (kVA)	Fp promedio (%)	IEquil (A)	Desfase I (°)	Pérdidas totales (kW)	Pérdidas totales (kvar)	Carga (%)
14422_MTA-1	MTA_S_14422	MTA_L_14422	NONE,NONE,AAAC5005.2,AAAC5005.2,NONE,1CP	Línea aérea por fase		13.800	0.6	6	5	7	76.77	0.9	-40.03	0.0	0.0	0.8
114422_MTA-1	MTA_L_14422	IMTA_L_14422	NONE,NONE,AAAC5005.2,AAAC5005.2,NONE,1CP	Línea aérea por fase		0.240	0.0	5	5	7	76.73	52.5	-40.52	0.0	0.0	48.2
6925_MTA-1	MTA_S_6775	MTA_L_6925	ACSR.2,NONE,NONE,ACSR.4,NONE,1CP	Línea aérea por fase		13.800	9.9	0	0	0	-0.00	0.0	89.88	0.0	-0.0	0.0
6926_MTA-1	MTA_S_6775	MTA_L_6926	ACSR.2,NONE,NONE,ACSR.4,NONE,1CP	Línea aérea por fase		13.800	27.3	6	5	7	76.80	0.9	-39.95	0.0	0.0	0.5
11854_MTA-1	MTA_L_6926	MTA_L_11854	AAAC5005.2,NONE,NONE,AAAC5005.2,NONE,1CP	Línea aérea por fase		13.800	0.4	6	5	7	76.77	0.9	-39.97	0.0	0.0	0.8
14420_MTA-1	MTA_L_11854	MTA_L_14420	AAAC5005.2,NONE,NONE,AAAC5005.2,NONE,1CP	Línea aérea por fase		13.800	0.5	6	5	7	76.77	0.9	-39.97	0.0	0.0	0.8
114420_MTA-1	MTA_L_14420	IMTA_L_14420	AAAC5005.2,NONE,NONE,AAAC5005.2,NONE,1CP	Línea aérea por fase		0.240	0.0	5	5	7	76.73	52.6	-40.46	0.0	0.0	48.2
6934_MTA-1	MTA_S_6367	MTA_L_6934	ACSR.1/0,ACSR.1/0,ACSR.1/0,ACSR.2,NONE,3CP	Línea aérea por fase	13.6	13.800	10.5	0	0	0	0.00	0.0	89.83	-0.0	-0.0	0.0
74209_MTA-1	MTA_S_6367	MTA_L_74209	ACSR.1/0,ACSR.1/0,ACSR.1/0,ACSR.2,NONE,3CP	Línea aérea por fase	13.6	13.800	33.3	59	49	77	77.08	3.2	-39.73	0.0	0.0	2.2
74210_MTA-1	MTA_L_74209	MTA_L_74210	ACSR.1/0,ACSR.1/0,ACSR.1/0,ACSR.2,NONE,3CP	Línea aérea por fase	13.6	13.800	0.6	59	49	77	77.06	3.2	-39.74	0.0	0.0	2.2
74239_MTA-1	MTA_L_74210	MTA_S_6937	ACSR.1/0,ACSR.1/0,ACSR.1/0,ACSR.2,NONE,3CP	Línea aérea por fase	13.6	13.800	45.7	59	49	77	77.06	3.2	-39.74	0.0	0.0	2.2
10464_MTA-1	MTA_S_6937	MTA_S_14220	AAAC5005.2,NONE,NONE,AAAC5005.2,NONE,1CP	Línea aérea por fase		13.800	0.4	8	7	11	76.71	1.4	-40.03	0.0	0.0	1.3
14220_MTA-1	MTA_S_14220	MTA_L_14220	AAAC5005.2,NONE,NONE,AAAC5005.2,NONE,1CP	Línea aérea por fase		13.800	0.4	8	7	11	76.71	1.4	-40.03	0.0	0.0	1.3
114220_MTA-1	MTA_L_14220	IMTA_L_14220	AAAC5005.2,NONE,NONE,AAAC5005.2,NONE,1CP	Línea aérea por fase		0.240	0.0	8	7	11	76.73	78.9	-40.46	0.0	0.0	72.3
6937_MTA-1	MTA_S_6937	MTA_S_6938	ACSR.1/0,ACSR.1/0,ACSR.1/0,ACSR.2,NONE,3CP	Línea aérea por fase	13.6	13.800	44.3	51	42	66	77.10	2.8	-39.72	0.0	0.0	1.6
6938_MTA-1	MTA_S_6938	MTA_S_6939	ACSR.1/0,ACSR.1/0,ACSR.1/0,ACSR.2,NONE,3CP	Línea aérea por fase	13.6	13.800	45.5	51	42	66	77.08	2.8	-39.74	0.0	0.0	1.6
6939_MTA-1	MTA_S_6939	MTA_S_6546	ACSR.1/0,ACSR.1/0,ACSR.1/0,ACSR.2,NONE,3CP	Línea aérea por fase	13.6	13.800	8.9	51	42	66	77.05	2.8	-39.76	0.0	0.0	1.6
6546_MTA-1	MTA_S_6546	MTA_L_6546	ACSR.1/0,ACSR.1/0,ACSR.1/0,ACSR.2,NONE,3CP	Línea aérea por fase	13.6	13.800	31.7	17	14	22	76.92	0.9	-39.68	0.0	0.0	0.6
5142_MTA-1	MTA_L_6546	MTA_L_5142	ACSR.1/0,ACSR.1/0,ACSR.1/0,ACSR.2,NONE,3CP	Línea aérea por fase	13.6	13.800	44.4	17	14	22	76.91	0.9	-39.72	0.0	0.0	0.6
10468_MTA-1	MTA_L_5142	MTA_S_14224	AAAC5005.2,NONE,NONE,AAAC5005.2,NONE,1CP	Línea aérea por fase		13.800	0.4	8	7	11	76.71	1.4	-40.03	0.0	0.0	1.3
14224_MTA-1	MTA_S_14224	MTA_L_14224	AAAC5005.2,NONE,NONE,AAAC5005.2,NONE,1CP	Línea aérea por fase		13.800	0.4	8	7	11	76.71	1.4	-40.03	0.0	0.0	1.3
114224_MTA-1	MTA_L_14224	IMTA_L_14224	AAAC5005.2,NONE,NONE,AAAC5005.2,NONE,1CP	Línea aérea por fase		0.240	0.0	8	7	11	76.73	78.9	-40.46	0.0	0.0	72.3
6358_MTA-1	MTA_L_5142	MTA_S_6359	ACSR.1/0,ACSR.1/0,ACSR.1/0,ACSR.2,NONE,3CP	Línea aérea por fase	13.6	13.800	36.9	9	7	12	76.88	0.5	-39.55	0.0	0.0	0.6
6359_MTA-1	MTA_S_6359	MTA_S_74241	ACSR.1/0,ACSR.1/0,ACSR.1/0,ACSR.2,NONE,3CP	Línea aérea por fase	13.6	13.800	48.9	9	7	12	76.96	0.5	-39.65	0.0	0.0	0.6
74241_MTA-1	MTA_S_74241	MTA_L_74241	NONE,NONE,ACSR.2,ACSR.2,NONE,1CP	Línea aérea por fase		13.800	1.2	9	7	12	77.06	1.5	-39.77	0.0	0.0	0.8

Flujo de carga - Líneas y cables

Nro. equipo	Nodo origen	Nodo destino	Id equipo	Código	V (kVLL)	Tensión de base (kVLL)	Longitud (m)	Potencia total de paso (kW)	Potencia total de paso (kvar)	Potencia total de paso (kVA)	Fp promedio (%)	IEquil (A)	Desfase I (°)	Pérdidas totales (kW)	Pérdidas totales (kvar)	Carga (%)
74242_MTA-1	MTA_L_74241	MTA_L_74242	NONE,NONE,ACSR.2,ACSR.2,NONE,1CP	Línea aérea por fase		13.800	47.3	9	7	12	77.06	1.5	-39.78	0.0	0.0	0.8
6361_MTA-1	MTA_L_74242	MTA_S_8218	NONE,NONE,ACSR.2,ACSR.2,NONE,1CP	Línea aérea por fase		13.800	48.0	9	7	12	77.02	1.5	-39.81	0.0	0.0	0.8
10469_MTA-1	MTA_S_8218	MTA_L_10469	NONE,NONE,AAAC5005.2,AAAC5005.2,NONE,1CP	Línea aérea por fase		13.800	0.4	6	5	7	76.77	0.9	-40.03	0.0	0.0	0.8
14225_MTA-1	MTA_L_10469	MTA_L_14225	NONE,NONE,AAAC5005.2,AAAC5005.2,NONE,1CP	Línea aérea por fase		13.800	0.4	6	5	7	76.77	0.9	-40.03	0.0	0.0	0.8
I14225_MTA-1	MTA_L_14225	IMTA_L_14225	NONE,NONE,AAAC5005.2,AAAC5005.2,NONE,1CP	Línea aérea por fase		0.240	0.0	5	5	7	76.73	52.5	-40.52	0.0	0.0	48.2
8218_MTA-1	MTA_S_8218	MTA_L_8218	NONE,NONE,ACSR.2,ACSR.2,NONE,1CP	Línea aérea por fase		13.800	30.2	3	3	4	77.35	0.6	-39.51	0.0	0.0	0.3
6484_MTA-1	MTA_L_8218	MTA_S_6362	NONE,NONE,ACSR.2,ACSR.2,NONE,1CP	Línea aérea por fase		13.800	32.7	3	3	4	77.29	0.6	-39.57	0.0	0.0	0.3
6362_MTA-1	MTA_S_6362	MTA_L_6362	NONE,NONE,ACSR.2,ACSR.2,NONE,1CP	Línea aérea por fase		13.800	38.9	3	3	4	77.23	0.6	-39.62	0.0	0.0	0.3
6363_MTA-1	MTA_L_6362	MTA_L_6363	NONE,NONE,ACSR.2,ACSR.2,NONE,1CP	Línea aérea por fase		13.800	40.1	3	3	4	77.15	0.6	-39.69	0.0	0.0	0.3
6364_MTA-1	MTA_L_6363	MTA_L_6364	NONE,NONE,ACSR.2,ACSR.2,NONE,1CP	Línea aérea por fase		13.800	37.5	3	3	4	77.08	0.6	-39.76	0.0	0.0	0.3
6365_MTA-1	MTA_L_6364	MTA_L_6365	NONE,NONE,ACSR.2,ACSR.2,NONE,1CP	Línea aérea por fase		13.800	41.0	3	3	4	77.01	0.6	-39.82	0.0	0.0	0.3
6366_MTA-1	MTA_L_6365	MTA_L_6366	NONE,NONE,ACSR.2,ACSR.2,NONE,1CP	Línea aérea por fase		13.800	37.6	3	3	4	76.93	0.6	-39.89	0.0	0.0	0.3
11487_MTA-1	MTA_L_6366	MTA_S_13472	NONE,NONE,AAAC5005.2,AAAC5005.2,NONE,1CP	Línea aérea por fase		13.800	0.4	3	3	4	76.86	0.6	-39.95	0.0	0.0	0.5
13472_MTA-1	MTA_S_13472	MTA_L_13472	NONE,NONE,AAAC5005.2,AAAC5005.2,NONE,1CP	Línea aérea por fase		13.800	0.4	3	3	4	76.86	0.6	-39.95	0.0	0.0	0.5
I13472_MTA-1	MTA_L_13472	IMTA_L_13472	NONE,NONE,AAAC5005.2,AAAC5005.2,NONE,1CP	Línea aérea por fase		0.240	0.0	3	3	4	76.73	31.5	-40.52	0.0	0.0	28.9
6940_MTA-1	MTA_S_6546	MTA_L_6940	ACSR.1/0,ACSR.1/0,ACSR.1/0,ACSR.2,NONE,3CP	Línea aérea por fase	13.6	13.800	26.0	0	0	0	0.00	0.0	89.83	-0.0	-0.0	0.0
6941_MTA-1	MTA_S_6546	MTA_S_116513	ACSR.1/0,ACSR.1/0,ACSR.1/0,ACSR.2,NONE,3CP	Línea aérea por fase	13.6	13.800	17.4	33	28	43	76.98	1.8	-39.82	0.0	0.0	1.0
116513_MTA-1	MTA_S_116513	MTA_S_116514	ACSR.1/0,ACSR.1/0,ACSR.1/0,ACSR.2,NONE,3CP	Línea aérea por fase	13.6	13.800	22.0	33	28	43	76.97	1.8	-39.84	0.0	0.0	1.0
116514_MTA-1	MTA_S_116514	MTA_L_116514	ACSR.1/0,ACSR.1/0,ACSR.1/0,ACSR.2,NONE,3CP	Línea aérea por fase	13.6	13.800	20.6	24	20	32	76.99	1.4	-39.83	0.0	0.0	0.8
6943_MTA-1	MTA_L_116514	MTA_S_8148	ACSR.1/0,ACSR.1/0,ACSR.1/0,ACSR.2,NONE,3CP	Línea aérea por fase	13.6	13.800	22.9	24	20	32	76.97	1.4	-39.85	0.0	0.0	0.8
6436_MTA-1	MTA_S_6436	MTA_S_8148	ACSR.1/0,ACSR.1/0,ACSR.1/0,ACSR.2,NONE,3CP	Línea aérea por fase	13.6	13.800	23.7	19	16	25	76.80	1.0	-39.87	0.0	0.0	0.8
6437_MTA-1	MTA_S_6436	MTA_S_8245	ACSR.1/0,ACSR.1/0,ACSR.1/0,ACSR.2,NONE,3CP	Línea aérea por fase	13.6	13.800	39.9	19	16	25	76.79	1.0	-39.90	0.0	0.0	0.8
8245_MTA-1	MTA_S_8245	MTA_L_8245	ACSR.1/0,ACSR.1/0,ACSR.1/0,ACSR.2,NONE,3CP	Línea aérea por fase	13.6	13.800	42.1	19	16	25	76.78	1.0	-39.95	0.0	0.0	0.8
10466_MTA-1	MTA_L_8245	MTA_L_10466	NONE,NONE,AAAC5005.2,AAAC5005.2,NONE,1CP	Línea aérea por fase		13.800	0.4	8	7	11	76.71	1.4	-40.09	0.0	0.0	1.3
14222_MTA-1	MTA_L_10466	MTA_L_14222	NONE,NONE,AAAC5005.2,AAAC5005.2,NONE,1CP	Línea aérea por fase		13.800	0.4	8	7	11	76.71	1.4	-40.09	0.0	0.0	1.3

Flujo de carga - Líneas y cables

Nro. equipo	Nodo origen	Nodo destino	Id equipo	Código	V (kVLL)	Tensión de base (kVLL)	Longitud (m)	Potencia total de paso (kW)	Potencia total de paso (kvar)	Potencia total de paso (kVA)	Fp promedio (%)	IEquil (A)	Desfase I (°)	Pérdidas totales (kW)	Pérdidas totales (kvar)	Carga (%)
I14222_MTA-1	MTA_L_14222	IMTA_L_14222	NONE,NONE,AAAC5005.2,AAAC5005.2,NONE,1CP	Línea aérea por fase		0.240	0.0	8	7	11	76.73	78.8	-40.52	0.0	0.0	72.3
8246_MTA-1	MTA_L_8245	MTA_L_8246	ACSR.1/0,ACSR.1/0,ACSR.1/0,ACSR.2,NONE,3CP	Línea aérea por fase	13.6	13.800	43.8	11	9	14	76.73	0.6	-39.93	0.0	0.0	0.8
8147_MTA-1	MTA_L_8246	MTA_L_186675	NONE,ACSR.1/0,NONE,ACSR.2,NONE,1CP	Línea aérea por fase		13.800	39.3	11	9	14	76.80	1.8	-40.03	0.0	0.0	0.8
10467_MTA-1	MTA_L_186675	MTA_L_10467	NONE,AAAC5005.2,NONE,AAAC5005.2,NONE,1CP	Línea aérea por fase		13.800	0.7	8	7	11	76.70	1.4	-40.11	0.0	0.0	1.3
14223_MTA-1	MTA_L_10467	MTA_L_14223	NONE,AAAC5005.2,NONE,AAAC5005.2,NONE,1CP	Línea aérea por fase		13.800	0.4	8	7	11	76.70	1.4	-40.11	0.0	0.0	1.3
I14223_MTA-1	MTA_L_14223	IMTA_L_14223	NONE,AAAC5005.2,NONE,AAAC5005.2,NONE,1CP	Línea aérea por fase		0.240	0.0	8	7	11	76.73	79.0	-40.54	0.0	0.0	72.5
186675_MTA-1	MTA_S_186677	MTA_L_186675	NONE,ACSR.2,NONE,ACSR.2,NONE,1CP	Línea aérea por fase		13.800	40.8	2	2	3	77.06	0.4	-39.80	0.0	0.0	0.2
186677_MTA-1	MTA_S_186677	MTA_S_186678	NONE,AAAC5005.2,NONE,AAAC5005.2,NONE,1CP	Línea aérea por fase		13.800	0.5	2	2	3	76.94	0.4	-39.90	0.0	0.0	0.3
186678_MTA-1	MTA_S_186678	MTA_L_186678	NONE,AAAC5005.2,NONE,AAAC5005.2,NONE,1CP	Línea aérea por fase		13.800	0.5	2	2	3	76.94	0.4	-39.90	0.0	0.0	0.3
I186678_MTA-1	MTA_L_186678	IMTA_L_186678	NONE,AAAC5005.2,NONE,AAAC5005.2,NONE,1CP	Línea aérea por fase		0.240	0.0	2	2	3	76.73	21.1	-40.54	0.0	0.0	19.3
7432_MTA-1	MTA_S_8148	MTA_L_7432	ACSR.1/0,NONE,NONE,ACSR.2,NONE,1CP	Línea aérea por fase		13.800	28.3	6	5	7	76.84	0.9	-39.91	0.0	0.0	0.4
10465_MTA-1	MTA_L_7432	MTA_L_10465	AAAC5005.2,NONE,NONE,AAAC5005.2,NONE,1CP	Línea aérea por fase		13.800	0.4	6	5	7	76.77	0.9	-39.97	0.0	0.0	0.8
14221_MTA-1	MTA_L_10465	MTA_L_14221	AAAC5005.2,NONE,NONE,AAAC5005.2,NONE,1CP	Línea aérea por fase		13.800	0.4	6	5	7	76.77	0.9	-39.97	0.0	0.0	0.8
I14221_MTA-1	MTA_L_14221	IMTA_L_14221	AAAC5005.2,NONE,NONE,AAAC5005.2,NONE,1CP	Línea aérea por fase		0.240	0.0	5	5	7	76.73	52.6	-40.46	0.0	0.0	48.2
7433_MTA-1	MTA_L_7432	MTA_L_7433	ACSR.1/0,NONE,NONE,ACSR.2,NONE,1CP	Línea aérea por fase		13.800	32.1	0	0	0	-0.00	0.0	89.88	0.0	-0.0	0.0
8148_MTA-1	MTA_S_8148	MTA_L_8148	ACSR.1/0,NONE,NONE,ACSR.2,NONE,1CP	Línea aérea por fase		13.800	8.0	0	0	0	-0.00	0.0	89.88	0.0	-0.0	0.0
116529_MTA-1	MTA_S_116529	MTA_S_116514	ACSR.1/0,NONE,NONE,ACSR.2,NONE,1CP	Línea aérea por fase		13.800	13.7	9	7	12	76.84	1.5	-39.92	0.0	0.0	0.6
116527_MTA-1	MTA_S_116821	MTA_S_116529	ACSR.1/0,NONE,NONE,ACSR.2,NONE,1CP	Línea aérea por fase		13.800	32.2	9	7	12	76.83	1.5	-39.92	0.0	0.0	0.6
116821_MTA-1	MTA_S_116821	MTA_S_116822	AAAC5005.2,NONE,NONE,AAAC5005.2,NONE,1CP	Línea aérea por fase		13.800	0.5	3	3	4	76.86	0.6	-39.90	0.0	0.0	0.5
116822_MTA-1	MTA_S_116822	MTA_L_116822	AAAC5005.2,NONE,NONE,AAAC5005.2,NONE,1CP	Línea aérea por fase		13.800	0.5	3	3	4	76.86	0.6	-39.90	0.0	0.0	0.5
I116822_MTA-1	MTA_L_116822	IMTA_L_116822	AAAC5005.2,NONE,NONE,AAAC5005.2,NONE,1CP	Línea aérea por fase		0.240	0.0	3	3	4	76.73	31.5	-40.46	0.0	0.0	28.9
116823_MTA-1	MTA_S_116821	MTA_L_116823	AAAC5005.2,NONE,NONE,AAAC5005.2,NONE,1CP	Línea aérea por fase		13.800	0.5	6	5	7	76.77	0.9	-39.97	0.0	0.0	0.8
116824_MTA-1	MTA_L_116823	MTA_L_116824	AAAC5005.2,NONE,NONE,AAAC5005.2,NONE,1CP	Línea aérea por fase		13.800	0.5	6	5	7	76.77	0.9	-39.97	0.0	0.0	0.8
I116824_MTA-1	MTA_L_116824	IMTA_L_116824	AAAC5005.2,NONE,NONE,AAAC5005.2,NONE,1CP	Línea aérea por fase		0.240	0.0	5	5	7	76.73	52.6	-40.46	0.0	0.0	48.2
116530_MTA-1	MTA_S_116514	MTA_L_116530	ACSR.1/0,NONE,NONE,ACSR.2,NONE,1CP	Línea aérea por fase		13.800	25.8	0	0	0	-0.00	0.0	89.88	0.0	-0.0	0.0

Flujo de carga - Líneas y cables

Nro. equipo	Nodo origen	Nodo destino	Id equipo	Código	V (kVLL)	Tensión de base (kVLL)	Longitud (m)	Potencia total de paso (kW)	Potencia total de paso (kvar)	Potencia total de paso (kVA)	Fp promedio (%)	IEquil (A)	Desfase l (°)	Pérdidas totales (kW)	Pérdidas totales (kvar)	Carga (%)
7611_MTA-1	MTA_S_8098	MTA_S_150438	NONE,ACSR.2,NONE,ACSR.2,NONE,1CP	Línea aérea por fase		13.800	24.5	16	13	20	77.04	2.6	-39.82	0.0	0.0	1.4
150438_MTA-1	MTA_S_150438	MTA_S_150439	NONE,ACSR.1/0,NONE,ACSR.2,NONE,1CP	Línea aérea por fase		13.800	0.2	16	13	20	77.03	2.6	-39.82	0.0	0.0	1.1
150439_MTA-1	MTA_S_150439	MTA_S_7613	NONE,ACSR.2,NONE,ACSR.2,NONE,1CP	Línea aérea por fase		13.800	36.1	16	13	20	77.03	2.6	-39.82	0.0	0.0	1.4
7107_MTA-1	MTA_S_7613	MTA_L_7107	NONE,ACSR.2,NONE,ACSR.2,NONE,1CP	Línea aérea por fase		13.800	48.2	13	11	17	76.98	2.2	-39.87	0.0	0.0	1.2
7108_MTA-1	MTA_L_7107	MTA_L_7108	NONE,ACSR.2,NONE,ACSR.2,NONE,1CP	Línea aérea por fase		13.800	39.7	13	11	17	76.95	2.2	-39.89	0.0	0.0	1.2
7109_MTA-1	MTA_L_7108	MTA_L_7109	NONE,ACSR.2,NONE,ACSR.2,NONE,1CP	Línea aérea por fase		13.800	36.3	13	11	17	76.94	2.2	-39.91	0.0	0.0	1.2
10560_MTA-1	MTA_L_7109	MTA_S_14318	NONE,AAAC5005.2,NONE,AAAC5005.2,NONE,1CP	Línea aérea por fase		13.800	0.4	6	5	7	76.77	0.9	-40.06	0.0	0.0	0.8
14318_MTA-1	MTA_S_14318	MTA_L_14318	NONE,AAAC5005.2,NONE,AAAC5005.2,NONE,1CP	Línea aérea por fase		13.800	0.4	6	5	7	76.77	0.9	-40.06	0.0	0.0	0.8
114318_MTA-1	MTA_L_14318	IMTA_L_14318	NONE,AAAC5005.2,NONE,AAAC5005.2,NONE,1CP	Línea aérea por fase		0.240	0.0	5	5	7	76.73	52.7	-40.54	0.0	0.0	48.3
7110_MTA-1	MTA_L_7109	MTA_S_7111	NONE,ACSR.2,NONE,ACSR.2,NONE,1CP	Línea aérea por fase		13.800	41.4	8	6	10	77.03	1.3	-39.82	0.0	0.0	0.7
7111_MTA-1	MTA_S_7111	MTA_S_7113	NONE,ACSR.2,NONE,ACSR.2,NONE,1CP	Línea aérea por fase		13.800	37.2	8	6	10	76.99	1.3	-39.85	0.0	0.0	0.7
7112_MTA-1	MTA_S_7113	MTA_L_7112	NONE,ACSR.2,NONE,ACSR.2,NONE,1CP	Línea aérea por fase		13.800	7.8	0	0	0	0.00	0.0	89.80	-0.0	-0.0	0.0
7113_MTA-1	MTA_S_7113	MTA_S_11409	NONE,ACSR.2,NONE,ACSR.2,NONE,1CP	Línea aérea por fase		13.800	46.2	6	5	7	76.82	0.9	-40.01	0.0	0.0	0.5
11409_MTA-1	MTA_S_11409	MTA_S_13394	NONE,AAAC5005.2,NONE,AAAC5005.2,NONE,1CP	Línea aérea por fase		13.800	0.4	6	5	7	76.77	0.9	-40.06	0.0	0.0	0.8
13394_MTA-1	MTA_S_13394	MTA_L_13394	NONE,AAAC5005.2,NONE,AAAC5005.2,NONE,1CP	Línea aérea por fase		13.800	0.4	6	5	7	76.77	0.9	-40.06	0.0	0.0	0.8
113394_MTA-1	MTA_L_13394	IMTA_L_13394	NONE,AAAC5005.2,NONE,AAAC5005.2,NONE,1CP	Línea aérea por fase		0.240	0.0	5	5	7	76.73	52.7	-40.54	0.0	0.0	48.3
7114_MTA-1	MTA_S_7113	MTA_S_7115	NONE,ACSR.2,NONE,ACSR.2,NONE,1CP	Línea aérea por fase		13.800	7.7	2	2	3	77.30	0.4	-39.58	0.0	0.0	0.2
7115_MTA-1	MTA_S_7115	MTA_L_7115	NONE,ACSR.2,NONE,ACSR.2,NONE,1CP	Línea aérea por fase		13.800	33.9	2	2	3	77.28	0.4	-39.60	0.0	0.0	0.2
7116_MTA-1	MTA_L_7115	MTA_S_7118	NONE,ACSR.2,NONE,ACSR.2,NONE,1CP	Línea aérea por fase		13.800	30.2	2	2	3	77.18	0.4	-39.68	0.0	0.0	0.2
7117_MTA-1	MTA_S_7118	MTA_S_10561	NONE,ACSR.2,NONE,ACSR.2,NONE,1CP	Línea aérea por fase		13.800	24.9	2	2	3	77.01	0.4	-39.84	0.0	0.0	0.2
10561_MTA-1	MTA_S_10561	MTA_S_14319	NONE,AAAC5005.2,NONE,AAAC5005.2,NONE,1CP	Línea aérea por fase		13.800	0.4	2	2	3	76.94	0.4	-39.90	0.0	0.0	0.3
14319_MTA-1	MTA_S_14319	MTA_L_14319	NONE,AAAC5005.2,NONE,AAAC5005.2,NONE,1CP	Línea aérea por fase		13.800	0.4	2	2	3	76.94	0.4	-39.90	0.0	0.0	0.3
114319_MTA-1	MTA_L_14319	IMTA_L_14319	NONE,AAAC5005.2,NONE,AAAC5005.2,NONE,1CP	Línea aérea por fase		0.240	0.0	2	2	3	76.73	21.1	-40.54	0.0	0.0	19.3
7118_MTA-1	MTA_S_7118	MTA_L_7118	NONE,ACSR.2,NONE,ACSR.2,NONE,1CP	Línea aérea por fase		13.800	19.7	0	0	0	0.00	0.0	89.80	-0.0	-0.0	0.0
7119_MTA-1	MTA_S_7118	MTA_L_7119	NONE,ACSR.2,NONE,ACSR.2,NONE,1CP	Línea aérea por fase		13.800	10.8	0	0	0	0.00	0.0	89.80	-0.0	-0.0	0.0

Flujo de carga - Líneas y cables

Nro. equipo	Nodo origen	Nodo destino	Id equipo	Código	V (kVLL)	Tensión de base (kVLL)	Longitud (m)	Potencia total de paso (kW)	Potencia total de paso (kvar)	Potencia total de paso (kVA)	Fp promedio (%)	IEquil (A)	Desfase I (°)	Pérdidas totales (kW)	Pérdidas totales (kvar)	Carga (%)
7613_MTA-1	MTA_S_7613	MTA_L_7613	NONE,ACSR.2,NONE,ACSR.2,NONE,1CP	Línea aérea por fase		13.800	29.0	2	2	3	77.23	0.4	-39.65	0.0	0.0	0.2
6835_MTA-1	MTA_L_7613	MTA_L_6835	NONE,ACSR.2,NONE,ACSR.2,NONE,1CP	Línea aérea por fase		13.800	32.0	2	2	3	77.14	0.4	-39.72	0.0	0.0	0.2
7106_MTA-1	MTA_L_6835	MTA_L_7106	NONE,ACSR.2,NONE,ACSR.2,NONE,1CP	Línea aérea por fase		13.800	39.5	2	2	3	77.05	0.4	-39.80	0.0	0.0	0.2
10559_MTA-1	MTA_L_7106	MTA_S_14317	NONE,AAAC5005.2,NONE,AAAC5005.2,NONE,1CP	Línea aérea por fase		13.800	0.4	2	2	3	76.94	0.4	-39.90	0.0	0.0	0.3
14317_MTA-1	MTA_S_14317	MTA_L_14317	NONE,AAAC5005.2,NONE,AAAC5005.2,NONE,1CP	Línea aérea por fase		13.800	0.4	2	2	3	76.94	0.4	-39.90	0.0	0.0	0.3
114317_MTA-1	MTA_L_14317	IMTA_L_14317	NONE,AAAC5005.2,NONE,AAAC5005.2,NONE,1CP	Línea aérea por fase		0.240	0.0	2	2	3	76.73	21.1	-40.54	0.0	0.0	19.3
8098_MTA-1	MTA_S_8098	MTA_L_8098	NONE,ACSR.2,NONE,ACSR.2,NONE,1CP	Línea aérea por fase		13.800	14.3	0	0	0	0.00	0.0	89.80	-0.0	-0.0	0.0
7916_MTA-1	MTA_S_7916	MTA_S_7917	NONE,NONE,ACSR.1/0,ACSR.2,NONE,1CP	Línea aérea por fase		13.800	13.6	3	3	4	76.94	0.6	-39.88	0.0	0.0	0.2
10558_MTA-1	MTA_S_7917	MTA_S_14316	NONE,NONE,AAAC5005.2,AAAC5005.2,NONE,1CP	Línea aérea por fase		13.800	0.4	3	3	4	76.86	0.6	-39.95	0.0	0.0	0.5
14316_MTA-1	MTA_S_14316	MTA_L_14316	NONE,NONE,AAAC5005.2,AAAC5005.2,NONE,1CP	Línea aérea por fase		13.800	0.4	3	3	4	76.86	0.6	-39.95	0.0	0.0	0.5
114316_MTA-1	MTA_L_14316	IMTA_L_14316	NONE,NONE,AAAC5005.2,AAAC5005.2,NONE,1CP	Línea aérea por fase		0.240	0.0	3	3	4	76.73	31.5	-40.51	0.0	0.0	28.9
7917_MTA-1	MTA_S_7917	MTA_L_7917	NONE,NONE,ACSR.1/0,ACSR.2,NONE,1CP	Línea aérea por fase		13.800	26.8	0	0	0	0.00	0.0	89.82	-0.0	-0.0	0.0
7910_MTA-1	MTA_S_7910	MTA_S_9923	NONE,ACSR.2,NONE,ACSR.4,NONE,1CP	Línea aérea por fase		13.800	32.0	6	5	7	76.86	0.9	-39.98	0.0	0.0	0.5
7911_MTA-1	MTA_S_9923	MTA_L_7911	NONE,ACSR.2,NONE,ACSR.4,NONE,1CP	Línea aérea por fase		13.800	46.8	0	0	0	0.00	0.0	89.80	-0.0	-0.0	0.0
9923_MTA-1	MTA_S_9923	MTA_S_14146	NONE,AAAC5005.2,NONE,AAAC5005.2,NONE,1CP	Línea aérea por fase		13.800	0.4	6	5	7	76.77	0.9	-40.06	0.0	0.0	0.8
14146_MTA-1	MTA_S_14146	MTA_L_14146	NONE,AAAC5005.2,NONE,AAAC5005.2,NONE,1CP	Línea aérea por fase		13.800	0.4	6	5	7	76.77	0.9	-40.06	0.0	0.0	0.8
114146_MTA-1	MTA_L_14146	IMTA_L_14146	NONE,AAAC5005.2,NONE,AAAC5005.2,NONE,1CP	Línea aérea por fase		0.240	0.0	5	5	7	76.73	52.7	-40.54	0.0	0.0	48.3
8077_MTA-1	MTA_S_7265	MTA_L_8077	ACSR.1/0,ACSR.1/0,ACSR.1/0,ACSR.2,NONE,3CP	Línea aérea por fase	13.6	13.800	32.5	906	447	1010	89.66	42.8	-26.44	0.1	0.1	19.0
70445_MTA-1	MTA_L_8077	MTA_S_70446	ACSR.1/0,ACSR.1/0,ACSR.1/0,ACSR.2,NONE,3CP	Línea aérea por fase	13.6	13.800	45.9	906	447	1010	89.66	42.8	-26.45	0.1	0.1	19.0
70446_MTA-1	MTA_S_70446	MTA_L_70446	ACSR.1/0,ACSR.1/0,ACSR.1/0,ACSR.2,NONE,3CP	Línea aérea por fase	13.6	13.800	0.2	905	447	1010	89.67	42.8	-26.45	0.0	0.0	19.0
8079_MTA-1	MTA_L_70446	MTA_S_8080	ACSR.2/0,ACSR.2/0,ACSR.2/0,ACSR.4,NONE,3CP	Línea aérea por fase	13.6	13.800	8.0	905	447	1010	89.67	42.8	-26.45	0.0	0.0	16.2
6395_MTA-1	MTA_S_8080	MTA_S_70690	ACSR.2,ACSR.2,ACSR.2,ACSR.4,NONE,3CP	Línea aérea por fase	13.6	13.800	12.5	30	25	39	76.91	1.7	-39.88	0.0	0.0	1.4
70690_MTA-1	MTA_S_70690	MTA_L_70690	ACSR.2,ACSR.2,ACSR.2,ACSR.2,NONE,3CP	Línea aérea por fase	13.6	13.800	1.9	30	25	39	76.90	1.7	-39.89	0.0	0.0	1.4
70444_MTA-1	MTA_L_70690	MTA_L_70444	ACSR.2,ACSR.2,ACSR.2,ACSR.2,NONE,3CP	Línea aérea por fase	13.6	13.800	61.9	30	25	39	76.90	1.7	-39.90	0.0	0.0	1.4
6397_MTA-1	MTA_L_70444	MTA_L_6397	ACSR.2,ACSR.2,ACSR.2,ACSR.2,NONE,3CP	Línea aérea por fase	13.6	13.800	36.2	30	25	39	76.85	1.7	-39.94	0.0	0.0	1.4

Flujo de carga - Líneas y cables

Nro. equipo	Nodo origen	Nodo destino	Id equipo	Código	V (kVLL)	Tensión de base (kVLL)	Longitud (m)	Potencia total de paso (kW)	Potencia total de paso (kvar)	Potencia total de paso (kVA)	Fp promedio (%)	IEquil (A)	Desfase I (°)	Pérdidas totales (kW)	Pérdidas totales (kvar)	Carga (%)
6398_MTA-1	MTA_L_6397	MTA_L_6398	ACSR.2,ACSR.2,ACSR.2,ACSR.2,NONE,3CP	Línea aérea por fase	13.6	13.800	39.7	30	25	39	76.82	1.7	-39.97	0.0	0.0	1.4
6399_MTA-1	MTA_L_6398	MTA_L_6399	ACSR.2,ACSR.2,ACSR.2,ACSR.2,NONE,3CP	Línea aérea por fase	13.6	13.800	31.1	30	25	39	76.79	1.7	-40.00	0.0	0.0	1.4
214499_MTA-1	MTA_L_6399	MTA_S_214500	ACSR.2,NONE,NONE,ACSR.4,NONE,1CP	Línea aérea por fase		13.800	0.4	8	6	10	76.97	1.3	-39.80	0.0	0.0	0.7
214500_MTA-1	MTA_S_214500	MTA_S_5943	ACSR.2,NONE,NONE,ACSR.4,NONE,1CP	Línea aérea por fase		13.800	35.8	8	6	10	76.97	1.3	-39.80	0.0	0.0	0.7
5943_MTA-1	MTA_S_5943	MTA_S_11881	ACSR.2,NONE,NONE,ACSR.4,NONE,1CP	Línea aérea por fase		13.800	35.7	8	6	10	76.94	1.3	-39.83	0.0	0.0	0.7
11881_MTA-1	MTA_S_11881	MTA_S_14448	AAAC5005.2,NONE,NONE,AAAC5005.2,NONE,1CP	Línea aérea por fase		13.800	0.4	2	2	3	76.95	0.4	-39.82	0.0	0.0	0.3
14448_MTA-1	MTA_S_14448	MTA_L_14448	AAAC5005.2,NONE,NONE,AAAC5005.2,NONE,1CP	Línea aérea por fase		13.800	0.4	2	2	3	76.95	0.4	-39.82	0.0	0.0	0.3
14448_MTA-1	MTA_L_14448	IMTA_L_14448	AAAC5005.2,NONE,NONE,AAAC5005.2,NONE,1CP	Línea aérea por fase		0.240	0.0	2	2	3	76.73	21.0	-40.47	0.0	0.0	19.3
4671_MTA-1	MTA_S_11881	MTA_L_4671	ACSR.2,NONE,NONE,ACSR.4,NONE,1CP	Línea aérea por fase		13.800	70.6	6	5	7	76.89	0.9	-39.87	0.0	0.0	0.5
5081_MTA-1	MTA_L_4671	MTA_L_5081	ACSR.2,NONE,NONE,ACSR.4,NONE,1CP	Línea aérea por fase		13.800	36.7	6	5	7	76.81	0.9	-39.94	0.0	0.0	0.5
11882_MTA-1	MTA_L_5081	MTA_L_11882	AAAC5005.2,NONE,NONE,AAAC5005.2,NONE,1CP	Línea aérea por fase		13.800	0.4	6	5	7	76.77	0.9	-39.98	0.0	0.0	0.8
14449_MTA-1	MTA_L_11882	MTA_L_14449	AAAC5005.2,NONE,NONE,AAAC5005.2,NONE,1CP	Línea aérea por fase		13.800	0.4	6	5	7	76.77	0.9	-39.98	0.0	0.0	0.8
14449_MTA-1	MTA_L_14449	IMTA_L_14449	AAAC5005.2,NONE,NONE,AAAC5005.2,NONE,1CP	Línea aérea por fase		0.240	0.0	5	5	7	76.73	52.6	-40.47	0.0	0.0	48.2
214502_MTA-1	MTA_L_6399	MTA_S_214503	AAAC5005.2,AAAC5005.2,AAAC5005.2,AAAC5005.2,NONE,3CP	Línea aérea por fase	13.6	13.800	0.5	22	19	29	76.69	1.2	-40.10	0.0	0.0	1.1
214503_MTA-1	MTA_S_214503	MTA_L_214503	AAAC5005.2,AAAC5005.2,AAAC5005.2,AAAC5005.2,NONE,3CP	Línea aérea por fase	13.6	13.800	0.5	22	19	29	76.69	1.2	-40.10	0.0	0.0	1.1
1214503_MTA-1	MTA_L_214503	IMTA_L_214503	AAAC5005.2,AAAC5005.2,AAAC5005.2,AAAC5005.2,NONE,3CP	Línea aérea por fase	0.2	0.240	0.0	22	18	28	76.73	70.1	-10.51	0.0	0.0	64.3
79645_MTA-1	MTA_S_8080	MTA_L_79645	ACSR.2,ACSR.2,ACSR.2,ACSR.4,NONE,3CP	Línea aérea por fase	13.6	13.800	34.7	12	10	15	76.81	0.6	-39.85	0.0	0.0	0.8
79646_MTA-1	MTA_L_79645	MTA_L_79646	ACSR.2,ACSR.2,ACSR.2,ACSR.4,NONE,3CP	Línea aérea por fase	13.6	13.800	32.0	12	10	15	76.80	0.6	-39.91	0.0	0.0	0.8
6393_MTA-1	MTA_L_79646	MTA_S_14569	ACSR.2,ACSR.2,ACSR.2,ACSR.4,NONE,3CP	Línea aérea por fase	13.6	13.800	22.9	12	10	15	76.79	0.6	-39.97	0.0	0.0	0.8
14569_MTA-1	MTA_S_14569	MTA_L_14569	ACSR.2,ACSR.2,ACSR.2,ACSR.4,NONE,3CP	Línea aérea por fase	13.6	13.800	9.3	3	3	4	76.81	0.2	-39.92	0.0	0.0	0.3
14570_MTA-1	MTA_L_14569	MTA_L_14570	NONE,AAAC5005.2,NONE,AAAC5005.2,NONE,1CP	Línea aérea por fase		13.800	0.8	3	3	4	76.85	0.6	-39.99	0.0	0.0	0.5
14446_MTA-1	MTA_L_14570	MTA_L_14446	NONE,AAAC5005.2,NONE,AAAC5005.2,NONE,1CP	Línea aérea por fase		13.800	0.6	3	3	4	76.85	0.6	-39.99	0.0	0.0	0.5
14446_MTA-1	MTA_L_14446	IMTA_L_14446	NONE,AAAC5005.2,NONE,AAAC5005.2,NONE,1CP	Línea aérea por fase		0.240	0.0	3	3	4	76.73	31.6	-40.55	0.0	0.0	29.0
14571_MTA-1	MTA_S_14569	MTA_L_14571	NONE,NONE,ACSR.2,ACSR.4,NONE,1CP	Línea aérea por fase		13.800	10.1	0	0	0	0.00	0.0	89.82	-0.0	-0.0	0.0
6394_MTA-1	MTA_S_14569	MTA_S_11880	NONE,NONE,ACSR.2,ACSR.4,NONE,1CP	Línea aérea por fase		13.800	31.6	8	7	11	76.74	1.4	-40.06	0.0	0.0	0.8

Flujo de carga - Líneas y cables

Nro. equipo	Nodo origen	Nodo destino	Id equipo	Código	V (kVLL)	Tensión de base (kVLL)	Longitud (m)	Potencia total de paso (kW)	Potencia total de paso (kvar)	Potencia total de paso (kVA)	Fp promedio (%)	IEquil (A)	Desfase I (°)	Pérdidas totales (kW)	Pérdidas totales (kvar)	Carga (%)
11880_MTA-1	MTA_S_11880	MTA_L_11880	NONE,NONE,AAAC5005.2,AAAC5005.2,NONE,1CP	Línea aérea por fase		13.800	0.6	8	7	11	76.71	1.4	-40.08	0.0	0.0	1.3
14447_MTA-1	MTA_L_11880	MTA_L_14447	NONE,NONE,AAAC5005.2,AAAC5005.2,NONE,1CP	Línea aérea por fase		13.800	0.7	8	7	11	76.71	1.4	-40.08	0.0	0.0	1.3
14447_MTA-1	MTA_L_14447	IMTA_L_14447	NONE,NONE,AAAC5005.2,AAAC5005.2,NONE,1CP	Línea aérea por fase		0.240	0.0	8	7	11	76.73	78.7	-40.52	0.0	0.0	72.2
8080_MTA-1	MTA_S_8080	MTA_S_5082	ACSR.2/0,ACSR.2/0,ACSR.2/0,ACSR.4,NONE,3CP	Línea aérea por fase	13.6	13.800	37.4	864	412	957	90.24	40.6	-25.69	0.1	0.1	15.6
5082_MTA-1	MTA_S_5082	MTA_L_5082	ACSR.1/0,ACSR.1/0,ACSR.1/0,ACSR.2,NONE,3CP	Línea aérea por fase	13.6	13.800	44.2	122	99	157	77.55	6.7	-39.32	0.0	0.0	4.3
118739_MTA-1	MTA_L_5082	MTA_L_118739	ACSR.1/0,ACSR.1/0,ACSR.1/0,ACSR.2,NONE,3CP	Línea aérea por fase	13.6	13.800	0.9	119	97	153	77.56	6.5	-39.31	0.0	0.0	4.3
118740_MTA-1	MTA_L_118739	MTA_S_5084	ACSR.1/0,ACSR.1/0,ACSR.1/0,ACSR.2,NONE,3CP	Línea aérea por fase	13.6	13.800	40.5	119	97	153	77.56	6.5	-39.31	0.0	0.0	4.3
5084_MTA-1	MTA_S_5084	MTA_L_5084	ACSR.1/0,ACSR.1/0,ACSR.1/0,ACSR.2,NONE,3CP	Línea aérea por fase	13.6	13.800	44.5	119	97	153	77.55	6.5	-39.32	0.0	0.0	4.3
6314_MTA-1	MTA_L_5084	MTA_L_6314	ACSR.1/0,ACSR.1/0,ACSR.1/0,ACSR.2,NONE,3CP	Línea aérea por fase	13.6	13.800	43.1	7	6	9	77.02	0.4	-39.81	0.0	0.0	0.2
11883_MTA-1	MTA_L_6314	MTA_L_11883	AAAC5005.2,AAAC5005.2,AAAC5005.2,AAAC5005.2,NONE,3CP	Línea aérea por fase	13.6	13.800	0.4	7	6	9	76.85	0.4	-39.96	0.0	0.0	0.3
14450_MTA-1	MTA_L_11883	MTA_L_14450	AAAC5005.2,AAAC5005.2,AAAC5005.2,AAAC5005.2,NONE,3CP	Línea aérea por fase	13.6	13.800	0.7	7	6	9	76.85	0.4	-39.96	0.0	0.0	0.3
14450_MTA-1	MTA_L_14450	IMTA_L_14450	AAAC5005.2,AAAC5005.2,AAAC5005.2,AAAC5005.2,NONE,3CP	Línea aérea por fase	0.2	0.240	0.0	7	5	9	76.73	21.0	-10.51	0.0	0.0	19.3
6315_MTA-1	MTA_L_5084	MTA_S_4715	ACSR.1/0,ACSR.1/0,ACSR.1/0,ACSR.2,NONE,3CP	Línea aérea por fase	13.6	13.800	43.5	112	91	144	77.57	6.1	-39.30	0.0	0.0	4.1
4715_MTA-1	MTA_S_4715	MTA_S_118741	ACSR.1/0,ACSR.1/0,ACSR.1/0,ACSR.2,NONE,3CP	Línea aérea por fase	13.6	13.800	59.9	112	91	144	77.56	6.1	-39.31	0.0	0.0	4.1
118741_MTA-1	MTA_S_118741	MTA_S_118742	ACSR.1/0,ACSR.1/0,ACSR.1/0,ACSR.2,NONE,3CP	Línea aérea por fase	13.6	13.800	1.5	112	91	144	77.55	6.1	-39.32	0.0	0.0	4.1
118742_MTA-1	MTA_S_118742	MTA_S_4717	ACSR.1/0,ACSR.1/0,ACSR.1/0,ACSR.2,NONE,3CP	Línea aérea por fase	13.6	13.800	69.8	112	91	144	77.55	6.1	-39.33	0.0	0.0	4.1
4717_MTA-1	MTA_S_4717	MTA_L_4717	ACSR.1/0,ACSR.1/0,ACSR.1/0,ACSR.2,NONE,3CP	Línea aérea por fase	13.6	13.800	67.8	112	91	144	77.53	6.1	-39.34	0.0	0.0	4.1
16609_MTA-1	MTA_L_4717	MTA_S_16610	ACSR.2,NONE,NONE,ACSR.2,NONE,1CP	Línea aérea por fase		13.800	0.7	0	0	0	78.13	0.1	-38.75	0.0	0.0	0.0
16610_MTA-1	MTA_S_16610	MTA_L_16610	ACSR.2,NONE,NONE,ACSR.2,NONE,1CP	Línea aérea por fase		13.800	0.9	0	0	0	78.12	0.1	-38.76	0.0	0.0	0.0
16610_MTA-1	MTA_L_16610	IMTA_L_16610	ACSR.2,NONE,NONE,ACSR.2,NONE,1CP	Línea aérea por fase		0.240	0.0	0	0	0	76.73	3.2	-40.47	0.0	0.0	1.8
4718_MTA-1	MTA_L_4717	MTA_S_167451	ACSR.1/0,ACSR.1/0,ACSR.1/0,ACSR.2,NONE,3CP	Línea aérea por fase	13.6	13.800	40.1	112	91	144	77.51	6.1	-39.36	0.0	0.0	4.1
167451_MTA-1	MTA_S_167451	MTA_L_167451	ACSR.1/0,ACSR.1/0,ACSR.1/0,ACSR.2,NONE,3CP	Línea aérea por fase	13.6	13.800	89.5	17	14	22	76.86	0.9	-39.95	0.0	0.0	0.4
167452_MTA-1	MTA_L_167451	MTA_S_11884	ACSR.1/0,ACSR.1/0,ACSR.1/0,ACSR.2,NONE,3CP	Línea aérea por fase	13.6	13.800	0.4	17	14	22	76.72	0.9	-40.07	0.0	0.0	0.4
11884_MTA-1	MTA_S_11884	MTA_L_11884	AAAC5005.2,AAAC5005.2,AAAC5005.2,AAAC5005.2,NONE,3CP	Línea aérea por fase	13.6	13.800	0.4	17	14	22	76.72	0.9	-40.07	0.0	0.0	0.8
14451_MTA-1	MTA_L_11884	MTA_L_14451	AAAC5005.2,AAAC5005.2,AAAC5005.2,AAAC5005.2,NONE,3CP	Línea aérea por fase	13.6	13.800	0.4	17	14	22	76.72	0.9	-40.07	0.0	0.0	0.8

Flujo de carga - Líneas y cables

Nro. equipo	Nodo origen	Nodo destino	Id equipo	Código	V (kVLL)	Tensión de base (kVLL)	Longitud (m)	Potencia total de paso (kW)	Potencia total de paso (kvar)	Potencia total de paso (kVA)	Fp promedio (%)	IEquil (A)	Desfase I (°)	Pérdidas totales (kW)	Pérdidas totales (kvar)	Carga (%)
114451_MTA-1	MTA_L_14451	IMTA_L_14451	AAAC5005.2,AAAC5005.2,AAAC5005.2,AAAC5005.2,NONE,3CP	Línea aérea por fase	0.2	0.240	0.0	16	14	21	76.73	52.6	-10.51	0.0	0.0	48.3
5950_MTA-1	MTA_S_167451	MTA_L_5950	ACSR.1/0,ACSR.1/0,ACSR.1/0,ACSR.2,NONE,3CP	Línea aérea por fase	13.6	13.800	62.3	95	77	122	77.62	5.2	-39.26	0.0	0.0	3.7
5951_MTA-1	MTA_L_5950	MTA_L_5951	ACSR.1/0,ACSR.1/0,ACSR.1/0,ACSR.2,NONE,3CP	Línea aérea por fase	13.6	13.800	59.4	95	77	122	77.60	5.2	-39.28	0.0	0.0	3.7
5952_MTA-1	MTA_L_5951	MTA_S_5953	ACSR.1/0,ACSR.1/0,ACSR.1/0,ACSR.2,NONE,3CP	Línea aérea por fase	13.6	13.800	57.2	95	77	122	77.58	5.2	-39.29	0.0	0.0	3.7
5953_MTA-1	MTA_S_5953	MTA_S_11885	ACSR.1/0,ACSR.1/0,ACSR.1/0,ACSR.2,NONE,3CP	Línea aérea por fase	13.6	13.800	70.7	95	77	122	77.57	5.2	-39.31	0.0	0.0	3.7
11885_MTA-1	MTA_S_11885	MTA_S_14452	AAAC5005.2,AAAC5005.2,AAAC5005.2,AAAC5005.2,NONE,3CP	Línea aérea por fase	13.6	13.800	0.4	17	14	22	76.22	0.9	-40.52	0.0	0.0	0.9
14452_MTA-1	MTA_S_14452	MTA_L_14452	AAAC5005.2,AAAC5005.2,AAAC5005.2,AAAC5005.2,NONE,3CP	Línea aérea por fase	13.6	13.800	0.4	17	14	22	76.22	0.9	-40.52	0.0	0.0	0.9
114452_MTA-1	MTA_L_14452	IMTA_L_14452	AAAC5005.2,AAAC5005.2,AAAC5005.2,AAAC5005.2,NONE,3CP	Línea aérea por fase	0.2	0.240	0.0	16	14	21	76.73	53.0	-10.82	0.0	0.0	48.6
5956_MTA-1	MTA_S_11885	MTA_L_5956	ACSR.1/0,ACSR.1/0,ACSR.1/0,ACSR.2,NONE,3CP	Línea aérea por fase	13.6	13.800	149.9	70	57	90	77.89	3.8	-39.01	0.0	0.0	3.3
5957_MTA-1	MTA_L_5956	MTA_L_5957	ACSR.1/0,ACSR.1/0,ACSR.1/0,ACSR.2,NONE,3CP	Línea aérea por fase	13.6	13.800	109.0	70	57	91	77.84	3.8	-39.07	0.0	0.0	3.3
168743_MTA-1	MTA_L_5957	MTA_L_168743	ACSR.1/0,ACSR.1/0,ACSR.1/0,ACSR.2,NONE,3CP	Línea aérea por fase	13.6	13.800	1.6	3	2	3	77.74	0.1	-36.73	0.0	0.0	0.2
168744_MTA-1	MTA_L_168743	MTA_L_168744	ACSR.1/0,ACSR.1/0,ACSR.1/0,ACSR.2,NONE,3CP	Línea aérea por fase	13.6	13.800	60.9	3	2	3	77.74	0.1	-36.75	0.0	0.0	0.2
5959_MTA-1	MTA_L_168744	MTA_L_5959	ACSR.1/0,ACSR.1/0,ACSR.1/0,ACSR.2,NONE,3CP	Línea aérea por fase	13.6	13.800	56.7	3	2	3	77.95	0.1	-37.31	0.0	0.0	0.2
5960_MTA-1	MTA_L_5959	MTA_L_5960	ACSR.1/0,ACSR.1/0,ACSR.1/0,ACSR.2,NONE,3CP	Línea aérea por fase	13.6	13.800	51.6	3	2	3	78.11	0.1	-37.83	0.0	0.0	0.2
11582_MTA-1	MTA_L_5960	MTA_S_13569	AAAC5005.2,AAAC5005.2,NONE,AAAC5005.2,NONE,2CP	Línea aérea por fase	13.6	13.800	0.4	3	2	3	78.22	0.2	-38.30	0.0	0.0	0.4
13569_MTA-1	MTA_S_13569	MTA_L_13569	AAAC5005.2,AAAC5005.2,NONE,AAAC5005.2,NONE,2CP	Línea aérea por fase	13.6	13.800	0.4	3	2	3	78.22	0.2	-38.30	0.0	0.0	0.4
113569_MTA-1	MTA_L_13569	IMTA_L_13569	AAAC5005.2,AAAC5005.2,NONE,AAAC5005.2,NONE,2CP	Línea aérea por fase	0.2	0.240	0.0	3	2	3	66.37	12.1	-10.35	0.0	0.0	12.8
5853_MTA-1	MTA_L_5957	MTA_S_63973	ACSR.1/0,ACSR.1/0,ACSR.1/0,ACSR.2,NONE,3CP	Línea aérea por fase	13.6	13.800	151.2	68	55	87	77.69	3.7	-39.19	0.0	0.0	3.3
5854_MTA-1	MTA_S_63973	MTA_L_5854	ACSR.1/0,ACSR.1/0,ACSR.1/0,ACSR.2,NONE,3CP	Línea aérea por fase	13.6	13.800	140.9	62	50	80	77.72	3.4	-39.18	0.0	0.0	3.3
168745_MTA-1	MTA_L_5854	MTA_L_168745	ACSR.1/0,ACSR.1/0,ACSR.1/0,ACSR.2,NONE,3CP	Línea aérea por fase	13.6	13.800	1.3	62	50	80	77.66	3.4	-39.23	0.0	0.0	3.3
63742_MTA-1	MTA_L_168745	MTA_S_5856	ACSR.1/0,ACSR.1/0,ACSR.1/0,ACSR.2,NONE,3CP	Línea aérea por fase	13.6	13.800	102.6	62	50	80	77.66	3.4	-39.23	0.0	0.0	3.3
11888_MTA-1	MTA_S_5856	MTA_L_11888	NONE,NONE,AAAC5005.2,AAAC5005.2,NONE,1CP	Línea aérea por fase		13.800	0.4	1	1	1	77.20	0.1	-39.66	0.0	0.0	0.1
14455_MTA-1	MTA_L_11888	MTA_L_14455	NONE,NONE,AAAC5005.2,AAAC5005.2,NONE,1CP	Línea aérea por fase		13.800	0.4	1	1	1	77.19	0.1	-39.66	0.0	0.0	0.1
114455_MTA-1	MTA_L_14455	IMTA_L_14455	NONE,NONE,AAAC5005.2,AAAC5005.2,NONE,1CP	Línea aérea por fase		0.240	0.0	1	1	1	76.73	6.3	-40.53	0.0	0.0	5.8
217365_MTA-1	MTA_S_217365	MTA_S_5856	ACSR.4,ACSR.4,ACSR.4,ACSR.4,NONE,3CP	Línea aérea por fase	13.6	13.800	0.6	7	5	9	76.59	0.4	-38.89	0.0	0.0	0.8

Flujo de carga - Líneas y cables

Nro. equipo	Nodo origen	Nodo destino	Id equipo	Código	V (kVLL)	Tensión de base (kVLL)	Longitud (m)	Potencia total de paso (kW)	Potencia total de paso (kvar)	Potencia total de paso (kVA)	Fp promedio (%)	IEquil (A)	Desfase l (°)	Pérdidas totales (kW)	Pérdidas totales (kvar)	Carga (%)
217364_MTA-1	MTA_S_217364	MTA_S_217365	ACSR.4,ACSR.4,ACSR.4,ACSR.4,NONE,3CP	Línea aérea por fase	13.6	13.800	102.9	7	5	9	76.59	0.4	-38.90	0.0	0.0	0.8
217104_MTA-1	MTA_S_217104	MTA_S_217364	ACSR.2/0,ACSR.2/0,ACSR.2/0,ACSR.2/0,NONE,3CP	Línea aérea por fase	13.6	13.800	109.7	7	5	9	76.86	0.4	-39.24	0.0	0.0	0.4
217106_MTA-1	MTA_S_217106	MTA_S_217104	ACSR.1/0,ACSR.1/0,ACSR.1/0,ACSR.2,NONE,3CP	Línea aérea por fase	13.6	13.800	1.0	0	0	0	0.00	0.0	89.82	-0.0	-0.0	0.0
8072_MTA-1	MTA_S_217104	MTA_S_8073	ACSR.2,NONE,NONE,ACSR.4,NONE,1CP	Línea aérea por fase		13.800	63.2	7	6	9	77.17	1.1	-39.64	0.0	0.0	0.6
8073_MTA-1	MTA_S_8073	MTA_S_8074	ACSR.2,NONE,NONE,ACSR.4,NONE,1CP	Línea aérea por fase		13.800	60.3	7	6	9	77.12	1.1	-39.69	0.0	0.0	0.6
8074_MTA-1	MTA_S_8074	MTA_S_8075	ACSR.2,NONE,NONE,ACSR.4,NONE,1CP	Línea aérea por fase		13.800	56.1	7	6	9	77.06	1.1	-39.74	0.0	0.0	0.6
8075_MTA-1	MTA_S_8075	MTA_S_117823	ACSR.2,NONE,NONE,ACSR.4,NONE,1CP	Línea aérea por fase		13.800	47.9	7	6	9	77.01	1.1	-39.79	0.0	0.0	0.6
117823_MTA-1	MTA_S_117823	MTA_S_117824	ACSR.2,NONE,NONE,ACSR.4,NONE,1CP	Línea aérea por fase		13.800	17.6	7	6	9	76.96	1.1	-39.83	0.0	0.0	0.6
117821_MTA-1	MTA_S_117821	MTA_S_117824	ACSR.2,NONE,NONE,ACSR.4,NONE,1CP	Línea aérea por fase		13.800	10.5	0	0	0	0.00	0.0	89.85	-0.0	-0.0	0.0
117822_MTA-1	MTA_S_117824	MTA_S_117820	ACSR.2,NONE,NONE,ACSR.4,NONE,1CP	Línea aérea por fase		13.800	45.2	1	1	1	77.60	0.2	-39.25	0.0	0.0	0.1
117820_MTA-1	MTA_S_117820	MTA_S_117826	ACSR.2,NONE,NONE,ACSR.4,NONE,1CP	Línea aérea por fase		13.800	46.2	1	1	1	77.35	0.2	-39.48	0.0	0.0	0.1
117826_MTA-1	MTA_S_117826	MTA_S_117827	AAAC5005.2,NONE,NONE,AAAC5005.2,NONE,1CP	Línea aérea por fase		13.800	0.5	1	1	1	77.09	0.2	-39.72	0.0	0.0	0.2
117827_MTA-1	MTA_S_117827	MTA_L_117827	AAAC5005.2,NONE,NONE,AAAC5005.2,NONE,1CP	Línea aérea por fase		13.800	0.5	1	1	1	77.08	0.2	-39.72	0.0	0.0	0.2
117827_MTA-1	MTA_L_117827	IMTA_L_117827	AAAC5005.2,NONE,NONE,AAAC5005.2,NONE,1CP	Línea aérea por fase		0.240	0.0	1	1	1	76.73	10.5	-40.49	0.0	0.0	9.6
117824_MTA-1	MTA_S_117824	MTA_S_11879	ACSR.2,NONE,NONE,ACSR.4,NONE,1CP	Línea aérea por fase		13.800	25.6	6	5	7	76.80	0.9	-39.97	0.0	0.0	0.5
11879_MTA-1	MTA_S_11879	MTA_S_14445	AAAC5005.2,NONE,NONE,AAAC5005.2,NONE,1CP	Línea aérea por fase		13.800	0.4	6	5	7	76.77	0.9	-40.00	0.0	0.0	0.8
14445_MTA-1	MTA_S_14445	MTA_L_14445	AAAC5005.2,NONE,NONE,AAAC5005.2,NONE,1CP	Línea aérea por fase		13.800	0.4	6	5	7	76.77	0.9	-40.00	0.0	0.0	0.8
14445_MTA-1	MTA_L_14445	IMTA_L_14445	AAAC5005.2,NONE,NONE,AAAC5005.2,NONE,1CP	Línea aérea por fase		0.240	0.0	5	5	7	76.73	52.6	-40.49	0.0	0.0	48.2
5856_MTA-1	MTA_S_5856	MTA_S_5857	ACSR.1/0,ACSR.1/0,ACSR.1/0,ACSR.2,NONE,3CP	Línea aérea por fase	13.6	13.800	92.4	55	45	71	77.57	3.0	-39.31	0.0	0.0	3.3
5857_MTA-1	MTA_S_5857	MTA_L_5857	ACSR.1/0,ACSR.1/0,ACSR.1/0,ACSR.2,NONE,3CP	Línea aérea por fase	13.6	13.800	89.2	55	45	71	77.53	3.0	-39.35	0.0	0.0	3.3
10554_MTA-1	MTA_L_5857	MTA_L_10554	AAAC5005.2,AAAC5005.2,AAAC5005.2,AAAC5005.2,NONE,3CP	Línea aérea por fase	13.6	13.800	0.4	3	3	4	76.97	0.2	-39.85	0.0	0.0	0.2
14312_MTA-1	MTA_L_10554	MTA_L_14312	AAAC5005.2,AAAC5005.2,AAAC5005.2,AAAC5005.2,NONE,3CP	Línea aérea por fase	13.6	13.800	0.3	3	3	4	76.96	0.2	-39.86	0.0	0.0	0.2
14312_MTA-1	MTA_L_14312	IMTA_L_14312	AAAC5005.2,AAAC5005.2,AAAC5005.2,AAAC5005.2,NONE,3CP	Línea aérea por fase	0.2	0.240	0.0	3	3	4	76.73	10.5	-10.52	0.0	0.0	9.7
5858_MTA-1	MTA_L_5857	MTA_S_5859	ACSR.1/0,ACSR.1/0,ACSR.1/0,ACSR.2,NONE,3CP	Línea aérea por fase	13.6	13.800	70.8	51	42	66	77.52	2.8	-39.36	0.0	0.0	3.2
5859_MTA-1	MTA_S_5859	MTA_S_11889	ACSR.1/0,ACSR.1/0,ACSR.1/0,ACSR.2,NONE,3CP	Línea aérea por fase	13.6	13.800	37.4	51	42	66	77.49	2.8	-39.40	0.0	0.0	3.2

Flujo de carga - Líneas y cables

Nro. equipo	Nodo origen	Nodo destino	Id equipo	Código	V (kVLL)	Tensión de base (kVLL)	Longitud (m)	Potencia total de paso (kW)	Potencia total de paso (kvar)	Potencia total de paso (kVA)	Fp promedio (%)	IEquil (A)	Desfase I (°)	Pérdidas totales (kW)	Pérdidas totales (kvar)	Carga (%)
11889_MTA-1	MTA_S_11889	MTA_L_11889	AAAC5005.2,AAAC5005.2,AAAC5005.2,AAAC5005.2,NONE,3CP	Línea aérea por fase	13.6	13.800	0.4	10	8	13	76.85	0.6	-39.96	0.0	0.0	0.5
14456_MTA-1	MTA_L_11889	MTA_L_14456	AAAC5005.2,AAAC5005.2,AAAC5005.2,AAAC5005.2,NONE,3CP	Línea aérea por fase	13.6	13.800	0.4	10	8	13	76.85	0.6	-39.96	0.0	0.0	0.5
114456_MTA-1	MTA_L_14456	IMTA_L_14456	AAAC5005.2,AAAC5005.2,AAAC5005.2,AAAC5005.2,NONE,3CP	Línea aérea por fase	0.2	0.240	0.0	10	8	13	76.73	31.6	-10.52	0.0	0.0	29.0
5860_MTA-1	MTA_S_11889	MTA_S_120393	ACSR.1/0,ACSR.1/0,ACSR.1/0,ACSR.2,NONE,3CP	Línea aérea por fase	13.6	13.800	42.4	41	34	53	77.57	2.3	-39.28	0.0	0.0	2.9
120393_MTA-1	MTA_S_120393	MTA_L_120393	NONE,NONE,ACSR.2,ACSR.4,NONE,1CP	Línea aérea por fase		13.800	1.4	41	34	53	77.59	6.8	-39.30	0.0	0.0	3.8
120394_MTA-1	MTA_L_120393	MTA_L_120394	NONE,NONE,ACSR.2,ACSR.4,NONE,1CP	Línea aérea por fase		13.800	139.4	41	34	53	77.59	6.8	-39.30	0.0	0.0	3.8
119912_MTA-1	MTA_L_120394	MTA_L_119912	NONE,NONE,ACSR.2,ACSR.4,NONE,1CP	Línea aérea por fase		13.800	0.6	6	5	7	77.04	0.9	-39.80	0.0	0.0	0.5
119913_MTA-1	MTA_L_119912	MTA_S_9909	NONE,NONE,ACSR.2,ACSR.4,NONE,1CP	Línea aérea por fase		13.800	239.2	6	5	7	77.04	0.9	-39.80	0.0	0.0	0.5
9909_MTA-1	MTA_S_9909	MTA_L_9909	NONE,NONE,AAAC5005.2,AAAC5005.2,NONE,1CP	Línea aérea por fase		13.800	0.4	6	5	7	76.77	0.9	-40.05	0.0	0.0	0.8
14132_MTA-1	MTA_L_9909	MTA_L_14132	NONE,NONE,AAAC5005.2,AAAC5005.2,NONE,1CP	Línea aérea por fase		13.800	0.4	6	5	7	76.77	0.9	-40.05	0.0	0.0	0.8
114132_MTA-1	MTA_L_14132	IMTA_L_14132	NONE,NONE,AAAC5005.2,AAAC5005.2,NONE,1CP	Línea aérea por fase		0.240	0.0	5	5	7	76.73	52.6	-40.53	0.0	0.0	48.2
6487_MTA-1	MTA_L_120394	MTA_L_6487	NONE,NONE,ACSR.2,ACSR.4,NONE,1CP	Línea aérea por fase		13.800	165.5	36	29	46	77.66	5.9	-39.25	0.0	0.0	3.3
6661_MTA-1	MTA_L_6487	MTA_S_9910	NONE,NONE,ACSR.2,ACSR.4,NONE,1CP	Línea aérea por fase		13.800	448.4	36	29	46	77.63	5.9	-39.27	0.0	0.0	3.3
120395_MTA-1	MTA_S_9910	MTA_S_120396	NONE,NONE,ACSR.2,ACSR.4,NONE,1CP	Línea aérea por fase		13.800	1.2	33	27	43	77.59	5.5	-39.31	0.0	0.0	3.1
120396_MTA-1	MTA_S_120396	MTA_L_120396	NONE,NONE,ACSR.2,ACSR.4,NONE,1CP	Línea aérea por fase		13.800	73.2	33	27	43	77.59	5.5	-39.31	0.0	0.0	3.1
6489_MTA-1	MTA_L_120396	MTA_L_6489	NONE,NONE,ACSR.2,ACSR.4,NONE,1CP	Línea aérea por fase		13.800	265.3	33	27	43	77.58	5.5	-39.32	0.0	0.0	3.1
6490_MTA-1	MTA_L_6489	MTA_S_120397	NONE,NONE,ACSR.2,ACSR.4,NONE,1CP	Línea aérea por fase		13.800	170.6	33	27	43	77.53	5.5	-39.37	0.0	0.0	3.1
120397_MTA-1	MTA_S_120397	MTA_S_120398	NONE,NONE,ACSR.2,ACSR.4,NONE,1CP	Línea aérea por fase		13.800	129.6	27	22	34	77.62	4.4	-39.28	0.0	0.0	2.4
120398_MTA-1	MTA_S_120398	MTA_S_6492	NONE,NONE,ACSR.2,ACSR.4,NONE,1CP	Línea aérea por fase		13.800	130.9	27	22	35	77.59	4.4	-39.31	0.0	0.0	2.4
10599_MTA-1	MTA_S_6492	MTA_S_12604	NONE,NONE,AAAC5005.2,AAAC5005.2,NONE,1CP	Línea aérea por fase		13.800	0.4	2	2	3	76.94	0.4	-39.89	0.0	0.0	0.3
12604_MTA-1	MTA_S_12604	MTA_L_12604	NONE,NONE,AAAC5005.2,AAAC5005.2,NONE,1CP	Línea aérea por fase		13.800	0.4	2	2	3	76.94	0.4	-39.89	0.0	0.0	0.3
112604_MTA-1	MTA_L_12604	IMTA_L_12604	NONE,NONE,AAAC5005.2,AAAC5005.2,NONE,1CP	Línea aérea por fase		0.240	0.0	2	2	3	76.73	21.1	-40.54	0.0	0.0	19.3
6492_MTA-1	MTA_S_6492	MTA_S_6404	NONE,NONE,ACSR.2,ACSR.4,NONE,1CP	Línea aérea por fase		13.800	70.9	25	20	32	77.62	4.0	-39.28	0.0	0.0	2.2
6404_MTA-1	MTA_S_6404	MTA_S_6405	NONE,NONE,ACSR.2,ACSR.4,NONE,1CP	Línea aérea por fase		13.800	43.4	25	20	32	77.60	4.0	-39.30	0.0	0.0	2.2
6405_MTA-1	MTA_S_6405	MTA_S_6406	NONE,NONE,ACSR.2,ACSR.4,NONE,1CP	Línea aérea por fase		13.800	50.1	25	20	32	77.59	4.0	-39.31	0.0	0.0	2.2

Flujo de carga - Líneas y cables

Nro. equipo	Nodo origen	Nodo destino	Id equipo	Código	V (kVLL)	Tensión de base (kVLL)	Longitud (m)	Potencia total de paso (kW)	Potencia total de paso (kvar)	Potencia total de paso (kVA)	Fp promedio (%)	IEquil (A)	Desfase I (°)	Pérdidas totales (kW)	Pérdidas totales (kvar)	Carga (%)
6406_MTA-1	MTA_S_6406	MTA_S_6407	NONE,NONE,ACSR.2,ACSR.4,NONE,1CP	Línea aérea por fase		13.800	54.8	25	20	32	77.58	4.0	-39.32	0.0	0.0	2.2
6407_MTA-1	MTA_S_6407	MTA_S_9912	NONE,NONE,ACSR.2,ACSR.4,NONE,1CP	Línea aérea por fase		13.800	95.7	25	20	32	77.56	4.0	-39.34	0.0	0.0	2.2
120399_MTA-1	MTA_S_9912	MTA_L_120399	NONE,NONE,ACSR.2,ACSR.4,NONE,1CP	Línea aérea por fase		13.800	66.2	22	18	29	77.60	3.7	-39.30	0.0	0.0	2.0
120400_MTA-1	MTA_L_120399	MTA_L_120400	NONE,NONE,ACSR.2,ACSR.4,NONE,1CP	Línea aérea por fase		13.800	66.5	22	18	29	77.58	3.7	-39.32	0.0	0.0	2.0
71641_MTA-1	MTA_L_120400	MTA_S_120677	NONE,NONE,ACSR.2,ACSR.4,NONE,1CP	Línea aérea por fase		13.800	2.1	22	18	29	77.56	3.7	-39.34	0.0	0.0	2.0
120677_MTA-1	MTA_S_120677	MTA_S_120678	NONE,NONE,ACSR.2,ACSR.4,NONE,1CP	Línea aérea por fase		13.800	196.3	11	9	14	77.56	1.8	-39.34	0.0	0.0	1.0
120678_MTA-1	MTA_S_120678	MTA_S_7568	NONE,NONE,ACSR.2,ACSR.4,NONE,1CP	Línea aérea por fase		13.800	208.4	11	9	14	77.45	1.8	-39.44	0.0	0.0	1.0
71638_MTA-1	MTA_S_7568	MTA_S_71639	NONE,NONE,AAAC5005.2,AAAC5005.2,NONE,1CP	Línea aérea por fase		13.800	0.5	3	3	4	76.85	0.6	-39.98	0.0	0.0	0.5
71639_MTA-1	MTA_S_71639	MTA_L_71639	NONE,NONE,AAAC5005.2,AAAC5005.2,NONE,1CP	Línea aérea por fase		13.800	0.5	3	3	4	76.85	0.6	-39.98	0.0	0.0	0.5
171639_MTA-1	MTA_L_71639	IMTA_L_71639	NONE,NONE,AAAC5005.2,AAAC5005.2,NONE,1CP	Línea aérea por fase		0.240	0.0	3	3	4	76.73	31.6	-40.54	0.0	0.0	29.0
7568_MTA-1	MTA_S_7568	MTA_S_7569	NONE,NONE,ACSR.2,ACSR.4,NONE,1CP	Línea aérea por fase		13.800	677.0	8	6	10	77.53	1.3	-39.36	0.0	0.0	0.7
7569_MTA-1	MTA_S_7569	MTA_L_7569	NONE,NONE,ACSR.2,ACSR.4,NONE,1CP	Línea aérea por fase		13.800	211.7	6	5	7	77.01	0.9	-39.84	0.0	0.0	0.5
9914_MTA-1	MTA_L_7569	MTA_S_14137	NONE,NONE,AAAC5005.2,AAAC5005.2,NONE,1CP	Línea aérea por fase		13.800	0.4	6	5	7	76.77	0.9	-40.05	0.0	0.0	0.8
14137_MTA-1	MTA_S_14137	MTA_L_14137	NONE,NONE,AAAC5005.2,AAAC5005.2,NONE,1CP	Línea aérea por fase		13.800	0.4	6	5	7	76.77	0.9	-40.05	0.0	0.0	0.8
114137_MTA-1	MTA_L_14137	IMTA_L_14137	NONE,NONE,AAAC5005.2,AAAC5005.2,NONE,1CP	Línea aérea por fase		0.240	0.0	5	5	7	76.73	52.7	-40.54	0.0	0.0	48.3
9913_MTA-1	MTA_S_7569	MTA_L_9913	NONE,NONE,AAAC5005.2,AAAC5005.2,NONE,1CP	Línea aérea por fase		13.800	0.4	2	2	3	76.94	0.4	-39.90	0.0	0.0	0.3
14136_MTA-1	MTA_L_9913	MTA_L_14136	NONE,NONE,AAAC5005.2,AAAC5005.2,NONE,1CP	Línea aérea por fase		13.800	0.4	2	2	3	76.94	0.4	-39.90	0.0	0.0	0.3
114136_MTA-1	MTA_L_14136	IMTA_L_14136	NONE,NONE,AAAC5005.2,AAAC5005.2,NONE,1CP	Línea aérea por fase		0.240	0.0	2	2	3	76.73	21.1	-40.54	0.0	0.0	19.3
193388_MTA	MTA_S_120677	MTA_L_193388	NONE,NONE,ACSR.2,ACSR.2,NONE,1CP	Línea aérea por fase		13.800	5.5	11	9	14	77.57	1.8	-39.33	0.0	0.0	1.0
193389_MTA	MTA_L_193388	MTA_S_193383	NONE,NONE,ACSR.2,ACSR.2,NONE,1CP	Línea aérea por fase		13.800	86.7	11	9	14	77.56	1.8	-39.34	0.0	0.0	1.0
193383_MTA	MTA_S_193383	MTA_S_193384	NONE,NONE,ACSR.2,ACSR.2,NONE,1CP	Línea aérea por fase		13.800	181.5	11	9	14	77.51	1.8	-39.38	0.0	0.0	1.0
193384_MTA	MTA_S_193384	MTA_S_193385	NONE,NONE,ACSR.2,ACSR.2,NONE,1CP	Línea aérea por fase		13.800	125.8	11	9	14	77.41	1.8	-39.47	0.0	0.0	1.0
193385_MTA	MTA_S_193385	MTA_S_193386	NONE,NONE,ACSR.2,ACSR.2,NONE,1CP	Línea aérea por fase		13.800	559.2	11	9	14	77.34	1.8	-39.54	0.0	0.0	1.0
193386_MTA	MTA_S_193386	MTA_L_193386	NONE,NONE,ACSR.2,ACSR.2,NONE,1CP	Línea aérea por fase		13.800	342.3	11	9	14	77.02	1.8	-39.83	0.0	0.0	1.0
193387_MTA	MTA_L_193386	MTA_S_193391	NONE,NONE,ACSR.2,ACSR.2,NONE,1CP	Línea aérea por fase		13.800	283.5	11	9	14	76.83	1.8	-40.00	0.0	0.0	1.0

Flujo de carga - Líneas y cables

Nro. equipo	Nodo origen	Nodo destino	Id equipo	Código	V (kVLL)	Tensión de base (kVLL)	Longitud (m)	Potencia total de paso (kW)	Potencia total de paso (kvar)	Potencia total de paso (kVA)	Fp promedio (%)	IEquil (A)	Desfase I (°)	Pérdidas totales (kW)	Pérdidas totales (kvar)	Carga (%)
193391_MTA	MTA_S_193391	MTA_L_193391	NONE,NONE,AAAC5005.2,AAAC5005.2,NONE,1CP	Línea aérea por fase		13.800	0.5	11	9	14	76.67	1.8	-40.14	0.0	0.0	1.7
193392_MTA	MTA_L_193391	MTA_L_193392	NONE,NONE,AAAC5005.2,AAAC5005.2,NONE,1CP	Línea aérea por fase		13.800	0.5	11	9	14	76.67	1.8	-40.14	0.0	0.0	1.7
I193392_MTA	MTA_L_193392	IMTA_L_193392	NONE,NONE,AAAC5005.2,AAAC5005.2,NONE,1CP	Línea aérea por fase		0.240	0.0	11	9	14	76.73	105.4	-40.54	0.0	0.0	96.7
9912_MTA-1	MTA_S_9912	MTA_L_9912	NONE,NONE,AAAC5005.2,AAAC5005.2,NONE,1CP	Línea aérea por fase		13.800	0.4	2	2	3	76.94	0.4	-39.89	0.0	0.0	0.3
14135_MTA-1	MTA_L_9912	MTA_L_14135	NONE,NONE,AAAC5005.2,AAAC5005.2,NONE,1CP	Línea aérea por fase		13.800	0.4	2	2	3	76.94	0.4	-39.90	0.0	0.0	0.3
I14135_MTA-1	MTA_L_14135	IMTA_L_14135	NONE,NONE,AAAC5005.2,AAAC5005.2,NONE,1CP	Línea aérea por fase		0.240	0.0	2	2	3	76.73	21.1	-40.54	0.0	0.0	19.3
201376_MTA-1	MTA_S_120397	MTA_L_201376	NONE,NONE,ACSR.2,ACSR.2,NONE,1CP	Línea aérea por fase		13.800	0.4	6	5	7	76.95	0.9	-39.88	0.0	0.0	0.5
201377_MTA-1	MTA_L_201376	MTA_S_190172	NONE,NONE,ACSR.2,ACSR.2,NONE,1CP	Línea aérea por fase		13.800	163.6	6	5	7	76.95	0.9	-39.88	0.0	0.0	0.5
190172_MTA-1	MTA_S_190172	MTA_S_190173	NONE,NONE,AAAC5005.2,AAAC5005.2,NONE,1CP	Línea aérea por fase		13.800	0.5	6	5	7	76.77	0.9	-40.05	0.0	0.0	0.8
190173_MTA-1	MTA_S_190173	MTA_L_190173	NONE,NONE,AAAC5005.2,AAAC5005.2,NONE,1CP	Línea aérea por fase		13.800	0.5	6	5	7	76.77	0.9	-40.05	0.0	0.0	0.8
I190173_MTA-1	MTA_L_190173	IMTA_L_190173	NONE,NONE,AAAC5005.2,AAAC5005.2,NONE,1CP	Línea aérea por fase		0.240	0.0	5	5	7	76.73	52.6	-40.54	0.0	0.0	48.3
9911_MTA-1	MTA_S_120397	MTA_S_14134	NONE,NONE,AAAC5005.2,AAAC5005.2,NONE,1CP	Línea aérea por fase		13.800	0.4	1	1	1	77.08	0.2	-39.77	0.0	0.0	0.2
14134_MTA-1	MTA_S_14134	MTA_L_14134	NONE,NONE,AAAC5005.2,AAAC5005.2,NONE,1CP	Línea aérea por fase		13.800	0.3	1	1	1	77.08	0.2	-39.77	0.0	0.0	0.2
I14134_MTA-1	MTA_L_14134	IMTA_L_14134	NONE,NONE,AAAC5005.2,AAAC5005.2,NONE,1CP	Línea aérea por fase		0.240	0.0	1	1	1	76.73	10.5	-40.54	0.0	0.0	9.7
9910_MTA-1	MTA_S_9910	MTA_L_9910	NONE,NONE,AAAC5005.2,AAAC5005.2,NONE,1CP	Línea aérea por fase		13.800	0.4	2	2	3	76.95	0.4	-39.89	0.0	0.0	0.3
14133_MTA-1	MTA_L_9910	MTA_L_14133	NONE,NONE,AAAC5005.2,AAAC5005.2,NONE,1CP	Línea aérea por fase		13.800	0.4	2	2	3	76.94	0.4	-39.89	0.0	0.0	0.3
I14133_MTA-1	MTA_L_14133	IMTA_L_14133	NONE,NONE,AAAC5005.2,AAAC5005.2,NONE,1CP	Línea aérea por fase		0.240	0.0	2	2	3	76.73	21.0	-40.54	0.0	0.0	19.3
63973_MTA-1	MTA_S_63973	MTA_S_63974	AAAC5005.2,NONE,NONE,AAAC5005.2,NONE,1CP	Línea aérea por fase		13.800	0.5	6	5	7	76.77	0.9	-40.00	0.0	0.0	0.8
63974_MTA-1	MTA_S_63974	MTA_L_63974	AAAC5005.2,NONE,NONE,AAAC5005.2,NONE,1CP	Línea aérea por fase		13.800	0.5	6	5	7	76.77	0.9	-40.00	0.0	0.0	0.8
I63974_MTA-1	MTA_L_63974	IMTA_L_63974	AAAC5005.2,NONE,NONE,AAAC5005.2,NONE,1CP	Línea aérea por fase		0.240	0.0	5	5	7	76.73	52.6	-40.48	0.0	0.0	48.2
65862_MTA-1	MTA_S_11885	MTA_L_65862	ACSR.2,NONE,NONE,ACSR.2,NONE,1CP	Línea aérea por fase		13.800	0.7	8	6	10	77.31	1.3	-39.51	0.0	0.0	0.7
65863_MTA-1	MTA_L_65862	MTA_L_65863	ACSR.2,NONE,NONE,ACSR.2,NONE,1CP	Línea aérea por fase		13.800	41.2	8	6	10	77.31	1.3	-39.51	0.0	0.0	0.7
5955_MTA-1	MTA_L_65863	MTA_S_5961	ACSR.2,NONE,NONE,ACSR.2,NONE,1CP	Línea aérea por fase		13.800	40.7	8	6	10	77.27	1.3	-39.54	0.0	0.0	0.7
5961_MTA-1	MTA_S_5961	MTA_L_5961	ACSR.2,NONE,NONE,ACSR.4,NONE,1CP	Línea aérea por fase		13.800	38.7	8	6	10	77.24	1.3	-39.57	0.0	0.0	0.7
5844_MTA-1	MTA_L_5961	MTA_S_14575	ACSR.2,NONE,NONE,ACSR.4,NONE,1CP	Línea aérea por fase		13.800	28.5	8	6	10	77.21	1.3	-39.60	0.0	0.0	0.7

Flujo de carga - Líneas y cables

Nro. equipo	Nodo origen	Nodo destino	Id equipo	Código	V (kVLL)	Tensión de base (kVLL)	Longitud (m)	Potencia total de paso (kW)	Potencia total de paso (kvar)	Potencia total de paso (kVA)	Fp promedio (%)	IEquil (A)	Desfase I (°)	Pérdidas totales (kW)	Pérdidas totales (kvar)	Carga (%)
14575_MTA-1	MTA_S_14575	MTA_L_14575	ACSR.2,NONE,NONE,ACSR.4,NONE,1CP	Línea aérea por fase		13.800	8.6	0	0	0	-0.00	0.0	89.86	0.0	-0.0	0.0
5845_MTA-1	MTA_S_14575	MTA_S_5846	ACSR.2,NONE,NONE,ACSR.4,NONE,1CP	Línea aérea por fase		13.800	9.6	6	5	7	77.11	0.9	-39.69	0.0	0.0	0.5
5846_MTA-1	MTA_S_5846	MTA_L_5846	ACSR.2,NONE,NONE,ACSR.4,NONE,1CP	Línea aérea por fase		13.800	39.3	6	5	7	77.10	0.9	-39.70	0.0	0.0	0.5
5847_MTA-1	MTA_L_5846	MTA_S_5848	ACSR.2,NONE,NONE,ACSR.4,NONE,1CP	Línea aérea por fase		13.800	39.4	6	5	7	77.05	0.9	-39.74	0.0	0.0	0.5
5848_MTA-1	MTA_S_5848	MTA_L_5848	ACSR.2,NONE,NONE,ACSR.4,NONE,1CP	Línea aérea por fase		13.800	37.0	6	5	7	77.01	0.9	-39.78	0.0	0.0	0.5
5849_MTA-1	MTA_L_5848	MTA_S_11886	ACSR.2,NONE,NONE,ACSR.4,NONE,1CP	Línea aérea por fase		13.800	67.2	2	2	3	77.14	0.4	-39.66	0.0	0.0	0.2
11886_MTA-1	MTA_S_11886	MTA_S_14453	AAAC5005.2,NONE,NONE,AAAC5005.2,NONE,1CP	Línea aérea por fase		13.800	0.4	2	2	3	76.95	0.4	-39.83	0.0	0.0	0.3
14453_MTA-1	MTA_S_14453	MTA_L_14453	AAAC5005.2,NONE,NONE,AAAC5005.2,NONE,1CP	Línea aérea por fase		13.800	0.4	2	2	3	76.95	0.4	-39.83	0.0	0.0	0.3
114453_MTA-1	MTA_L_14453	IMTA_L_14453	AAAC5005.2,NONE,NONE,AAAC5005.2,NONE,1CP	Línea aérea por fase		0.240	0.0	2	2	3	76.73	21.0	-40.48	0.0	0.0	19.3
65860_MTA-1	MTA_L_5848	MTA_L_65860	AAAC5005.2,NONE,NONE,AAAC5005.2,NONE,1CP	Línea aérea por fase		13.800	0.5	3	3	4	76.86	0.6	-39.91	0.0	0.0	0.5
65861_MTA-1	MTA_L_65860	MTA_L_65861	AAAC5005.2,NONE,NONE,AAAC5005.2,NONE,1CP	Línea aérea por fase		13.800	0.5	3	3	4	76.86	0.6	-39.92	0.0	0.0	0.5
165861_MTA-1	MTA_L_65861	IMTA_L_65861	AAAC5005.2,NONE,NONE,AAAC5005.2,NONE,1CP	Línea aérea por fase		0.240	0.0	3	3	4	76.73	31.5	-40.48	0.0	0.0	28.9
5850_MTA-1	MTA_S_14575	MTA_L_5850	ACSR.2,NONE,NONE,ACSR.4,NONE,1CP	Línea aérea por fase		13.800	41.7	2	2	3	77.35	0.4	-39.47	0.0	0.0	0.2
5851_MTA-1	MTA_L_5850	MTA_L_5851	ACSR.2,NONE,NONE,ACSR.4,NONE,1CP	Línea aérea por fase		13.800	47.0	2	2	3	77.23	0.4	-39.58	0.0	0.0	0.2
5852_MTA-1	MTA_L_5851	MTA_L_5852	ACSR.2,NONE,NONE,ACSR.4,NONE,1CP	Línea aérea por fase		13.800	53.8	2	2	3	77.10	0.4	-39.70	0.0	0.0	0.2
11887_MTA-1	MTA_L_5852	MTA_S_14454	AAAC5005.2,NONE,NONE,AAAC5005.2,NONE,1CP	Línea aérea por fase		13.800	0.4	2	2	3	76.95	0.4	-39.83	0.0	0.0	0.3
14454_MTA-1	MTA_S_14454	MTA_L_14454	AAAC5005.2,NONE,NONE,AAAC5005.2,NONE,1CP	Línea aérea por fase		13.800	0.4	2	2	3	76.95	0.4	-39.83	0.0	0.0	0.3
114454_MTA-1	MTA_L_14454	IMTA_L_14454	AAAC5005.2,NONE,NONE,AAAC5005.2,NONE,1CP	Línea aérea por fase		0.240	0.0	2	2	3	76.73	21.0	-40.48	0.0	0.0	19.3
16932_MTA-1	MTA_L_5082	MTA_L_16932	NONE,AAAC5005.2,NONE,AAAC5005.2,NONE,1CP	Línea aérea por fase		13.800	0.3	3	3	4	76.85	0.6	-39.99	0.0	0.0	0.5
16933_MTA-1	MTA_L_16932	MTA_L_16933	NONE,AAAC5005.2,NONE,AAAC5005.2,NONE,1CP	Línea aérea por fase		13.800	0.3	3	3	4	76.85	0.6	-39.99	0.0	0.0	0.5
116933_MTA-1	MTA_L_16933	IMTA_L_16933	NONE,AAAC5005.2,NONE,AAAC5005.2,NONE,1CP	Línea aérea por fase		0.240	0.0	3	3	4	76.73	31.6	-40.55	0.0	0.0	29.0
7570_MTA-1	MTA_S_5082	MTA_S_7571	ACSR.1/0,ACSR.1/0,ACSR.1/0,ACSR.2,NONE,3CP	Línea aérea por fase	13.6	13.800	44.8	742	313	805	92.09	34.1	-23.06	0.1	0.1	16.6
7571_MTA-1	MTA_S_7571	MTA_S_7572	ACSR.1/0,ACSR.1/0,ACSR.1/0,ACSR.2,NONE,3CP	Línea aérea por fase	13.6	13.800	47.8	741	313	805	92.09	34.1	-23.06	0.1	0.1	16.6
7572_MTA-1	MTA_S_7572	MTA_L_7572	ACSR.1/0,ACSR.1/0,ACSR.1/0,ACSR.2,NONE,3CP	Línea aérea por fase	13.6	13.800	45.1	741	313	805	92.09	34.1	-23.06	0.1	0.1	16.6
7573_MTA-1	MTA_L_7572	MTA_S_11413	ACSR.1/0,ACSR.1/0,ACSR.1/0,ACSR.2,NONE,3CP	Línea aérea por fase	13.6	13.800	42.6	741	313	804	92.09	34.1	-23.06	0.1	0.1	16.6

Flujo de carga - Líneas y cables

Nro. equipo	Nodo origen	Nodo destino	Id equipo	Código	V (kVLL)	Tensión de base (kVLL)	Longitud (m)	Potencia total de paso (kW)	Potencia total de paso (kvar)	Potencia total de paso (kVA)	Fp promedio (%)	IEquil (A)	Desfase I (°)	Pérdidas totales (kW)	Pérdidas totales (kvar)	Carga (%)
11413_MTA-1	MTA_S_11413	MTA_L_11413	NONE,AAAC5005.2,NONE,AAAC5005.2,NONE,1CP	Línea aérea por fase		13.800	0.4	6	5	7	76.77	0.9	-40.08	0.0	0.0	0.8
13398_MTA-1	MTA_L_11413	MTA_L_13398	NONE,AAAC5005.2,NONE,AAAC5005.2,NONE,1CP	Línea aérea por fase		13.800	0.4	6	5	7	76.77	0.9	-40.08	0.0	0.0	0.8
113398_MTA-1	MTA_L_13398	IMTA_L_13398	NONE,AAAC5005.2,NONE,AAAC5005.2,NONE,1CP	Línea aérea por fase		0.240	0.0	5	5	7	76.73	52.7	-40.57	0.0	0.0	48.4
120668_MTA-1	MTA_S_11413	MTA_L_120668	ACSR.1/0,ACSR.1/0,ACSR.1/0,ACSR.2,NONE,3CP	Línea aérea por fase	13.6	13.800	0.4	736	308	797	92.20	33.9	-22.91	0.0	0.0	16.2
120669_MTA-1	MTA_L_120668	MTA_S_120672	ACSR.1/0,ACSR.1/0,ACSR.1/0,ACSR.2,NONE,3CP	Línea aérea por fase	13.6	13.800	33.6	736	308	797	92.20	33.9	-22.91	0.1	0.1	16.2
120672_MTA-1	MTA_S_120672	MTA_S_120673	AAAC5005.2,NONE,NONE,AAAC5005.2,NONE,1CP	Línea aérea por fase		13.800	0.2	3	3	4	76.99	0.6	-39.80	0.0	0.0	0.5
120673_MTA-1	MTA_S_120673	MTA_S_120674	ACSR.2,NONE,NONE,ACSR.2,NONE,1CP	Línea aérea por fase		13.800	1.2	3	3	4	76.99	0.6	-39.80	0.0	0.0	0.3
120674_MTA-1	MTA_S_120674	MTA_S_7585	ACSR.2,NONE,NONE,ACSR.2,NONE,1CP	Línea aérea por fase		13.800	17.9	3	3	4	76.98	0.6	-39.80	0.0	0.0	0.3
7585_MTA-1	MTA_S_7585	MTA_S_7586	ACSR.2,NONE,NONE,ACSR.2,NONE,1CP	Línea aérea por fase		13.800	24.8	3	3	4	76.95	0.6	-39.83	0.0	0.0	0.3
7586_MTA-1	MTA_S_7586	MTA_L_7586	ACSR.2,NONE,NONE,ACSR.2,NONE,1CP	Línea aérea por fase		13.800	25.4	3	3	4	76.90	0.6	-39.87	0.0	0.0	0.3
9915_MTA-1	MTA_L_7586	MTA_L_9915	AAAC5005.2,NONE,NONE,AAAC5005.2,NONE,1CP	Línea aérea por fase		13.800	0.4	3	3	4	76.85	0.6	-39.92	0.0	0.0	0.5
14138_MTA-1	MTA_L_9915	MTA_L_14138	AAAC5005.2,NONE,NONE,AAAC5005.2,NONE,1CP	Línea aérea por fase		13.800	0.4	3	3	4	76.85	0.6	-39.92	0.0	0.0	0.5
114138_MTA-1	MTA_L_14138	IMTA_L_14138	AAAC5005.2,NONE,NONE,AAAC5005.2,NONE,1CP	Línea aérea por fase		0.240	0.0	3	3	4	76.73	31.6	-40.48	0.0	0.0	29.0
7575_MTA-1	MTA_S_120672	MTA_L_7575	ACSR.1/0,ACSR.1/0,ACSR.1/0,ACSR.2,NONE,3CP	Línea aérea por fase	13.6	13.800	14.1	732	305	793	92.26	33.7	-22.82	0.0	0.0	16.2
7576_MTA-1	MTA_L_7575	MTA_S_7577	ACSR.1/0,ACSR.1/0,ACSR.1/0,ACSR.2,NONE,3CP	Línea aérea por fase	13.6	13.800	41.4	732	305	793	92.27	33.7	-22.82	0.1	0.1	16.2
125876_MTA-1	MTA_S_7577	MTA_L_125876	NONE,ACSR.2,NONE,ACSR.2,NONE,1CP	Línea aérea por fase		13.800	2.6	14	12	18	76.78	2.3	-40.08	0.0	0.0	1.3
125877_MTA-1	MTA_L_125876	MTA_S_7588	NONE,ACSR.2,NONE,ACSR.2,NONE,1CP	Línea aérea por fase		13.800	35.6	14	12	18	76.78	2.3	-40.08	0.0	0.0	1.3
7588_MTA-1	MTA_S_7588	MTA_S_7589	NONE,ACSR.2,NONE,ACSR.2,NONE,1CP	Línea aérea por fase		13.800	38.0	14	12	18	76.76	2.3	-40.09	0.0	0.0	1.3
7589_MTA-1	MTA_S_7589	MTA_S_9917	NONE,ACSR.2,NONE,ACSR.2,NONE,1CP	Línea aérea por fase		13.800	39.3	14	12	18	76.75	2.3	-40.11	0.0	0.0	1.3
9916_MTA-1	MTA_S_9917	MTA_S_14139	NONE,AAAC5005.2,NONE,AAAC5005.2,NONE,1CP	Línea aérea por fase		13.800	0.4	8	7	11	76.70	1.4	-40.15	0.0	0.0	1.3
14139_MTA-1	MTA_S_14139	MTA_L_14139	NONE,AAAC5005.2,NONE,AAAC5005.2,NONE,1CP	Línea aérea por fase		13.800	0.3	8	7	11	76.70	1.4	-40.15	0.0	0.0	1.3
114139_MTA-1	MTA_L_14139	IMTA_L_14139	NONE,AAAC5005.2,NONE,AAAC5005.2,NONE,1CP	Línea aérea por fase		0.240	0.0	8	7	11	76.73	79.1	-40.58	0.0	0.0	72.6
9917_MTA-1	MTA_S_9917	MTA_S_14140	NONE,AAAC5005.2,NONE,AAAC5005.2,NONE,1CP	Línea aérea por fase		13.800	0.7	6	5	7	76.77	0.9	-40.09	0.0	0.0	0.8
14140_MTA-1	MTA_S_14140	MTA_L_14140	NONE,AAAC5005.2,NONE,AAAC5005.2,NONE,1CP	Línea aérea por fase		13.800	0.3	6	5	7	76.77	0.9	-40.09	0.0	0.0	0.8
114140_MTA-1	MTA_L_14140	IMTA_L_14140	NONE,AAAC5005.2,NONE,AAAC5005.2,NONE,1CP	Línea aérea por fase		0.240	0.0	5	5	7	76.73	52.7	-40.58	0.0	0.0	48.4

Flujo de carga - Líneas y cables

Nro. equipo	Nodo origen	Nodo destino	Id equipo	Código	V (kVLL)	Tensión de base (kVLL)	Longitud (m)	Potencia total de paso (kW)	Potencia total de paso (kvar)	Potencia total de paso (kVA)	Fp promedio (%)	IEquil (A)	Desfase I (°)	Pérdidas totales (kW)	Pérdidas totales (kvar)	Carga (%)
7577_MTA-1	MTA_S_7577	MTA_L_7577	ACSR.1/0,ACSR.1/0,ACSR.1/0,ACSR.2,NONE,3CP	Línea aérea por fase	13.6	13.800	32.3	718	294	776	92.54	32.9	-22.43	0.1	0.1	15.3
7578_MTA-1	MTA_L_7577	MTA_L_7578	ACSR.1/0,ACSR.1/0,ACSR.1/0,ACSR.2,NONE,3CP	Línea aérea por fase	13.6	13.800	30.1	710	287	765	92.71	32.5	-22.18	0.1	0.1	15.3
14576_MTA-1	MTA_L_7578	MTA_L_14576	NONE,NONE,ACSR.2,ACSR.2,NONE,1CP	Línea aérea por fase		13.800	8.8	0	0	0	0.00	0.0	89.80	-0.0	-0.0	0.0
7579_MTA-1	MTA_L_7578	MTA_S_7580	ACSR.1/0,ACSR.1/0,ACSR.1/0,ACSR.2,NONE,3CP	Línea aérea por fase	13.6	13.800	18.0	701	280	755	92.86	32.1	-21.93	0.0	0.0	15.3
7580_MTA-1	MTA_S_7580	MTA_L_7580	ACSR.1/0,ACSR.1/0,ACSR.1/0,ACSR.2,NONE,3CP	Línea aérea por fase	13.6	13.800	40.1	701	279	755	92.86	32.1	-21.93	0.1	0.1	15.3
7581_MTA-1	MTA_L_7580	MTA_L_7581	ACSR.1/0,ACSR.1/0,ACSR.1/0,ACSR.2,NONE,3CP	Línea aérea por fase	13.6	13.800	38.6	701	279	755	92.86	32.1	-21.93	0.1	0.1	15.3
125884_MTA-1	MTA_L_7581	MTA_L_125884	ACSR.1/0,ACSR.1/0,ACSR.1/0,ACSR.2,NONE,3CP	Línea aérea por fase	13.6	13.800	1.1	701	279	755	92.86	32.1	-21.93	0.0	0.0	15.3
125885_MTA-1	MTA_L_125884	MTA_S_4765	ACSR.1/0,ACSR.1/0,ACSR.1/0,ACSR.2,NONE,3CP	Línea aérea por fase	13.6	13.800	26.3	701	279	755	92.86	32.1	-21.93	0.0	0.0	15.3
4765_MTA-1	MTA_S_4765	MTA_L_4765	ACSR.1/0,ACSR.1/0,ACSR.1/0,ACSR.2,NONE,3CP	Línea aérea por fase	13.6	13.800	6.0	541	150	562	96.06	23.9	-15.70	0.0	0.0	12.8
125890_MTA-1	MTA_L_4765	MTA_S_126111	ACSR.1/0,ACSR.1/0,ACSR.1/0,ACSR.2,NONE,3CP	Línea aérea por fase	13.6	13.800	27.8	541	150	562	96.06	23.9	-15.70	0.0	0.0	12.8
126111_MTA-1	MTA_S_126111	MTA_S_4767	ACSR.1/0,ACSR.1/0,ACSR.1/0,ACSR.2,NONE,3CP	Línea aérea por fase	13.6	13.800	1.3	541	150	562	96.06	23.9	-15.70	0.0	0.0	12.8
4767_MTA-1	MTA_S_4767	MTA_S_162985	ACSR.1/0,ACSR.1/0,ACSR.1/0,ACSR.2,NONE,3CP	Línea aérea por fase	13.6	13.800	15.0	541	150	562	96.06	23.9	-15.70	0.0	0.0	12.8
162985_MTA-1	MTA_S_162985	MTA_L_162985	ACSR.1/0,ACSR.1/0,ACSR.1/0,ACSR.2,NONE,3CP	Línea aérea por fase	13.6	13.800	22.8	75	62	97	77.27	4.1	-39.60	0.0	0.0	2.9
162986_MTA-1	MTA_L_162985	MTA_L_162986	ACSR.1/0,ACSR.1/0,ACSR.1/0,ACSR.2,NONE,3CP	Línea aérea por fase	13.6	13.800	0.3	75	62	97	77.26	4.1	-39.60	0.0	0.0	2.9
1612_MTA-1	MTA_L_162986	MTA_L_1612	ACSR.1/0,ACSR.1/0,ACSR.1/0,ACSR.2,NONE,3CP	Línea aérea por fase	13.6	13.800	34.1	67	55	86	77.33	3.7	-39.55	0.0	0.0	2.3
1613_MTA-1	MTA_L_1612	MTA_S_1614	ACSR.1/0,ACSR.1/0,ACSR.1/0,ACSR.2,NONE,3CP	Línea aérea por fase	13.6	13.800	4.0	67	55	86	77.32	3.7	-39.56	0.0	0.0	2.3
14568_MTA-1	MTA_S_1614	MTA_L_14568	ACSR.1/0,ACSR.1/0,ACSR.1/0,ACSR.2,NONE,3CP	Línea aérea por fase	13.6	13.800	6.7	0	0	0	0.00	0.0	89.79	-0.0	-0.0	0.0
1614_MTA-1	MTA_S_1614	MTA_L_1614	ACSR.1/0,ACSR.1/0,ACSR.1/0,ACSR.2,NONE,3CP	Línea aérea por fase	13.6	13.800	20.0	6	5	7	77.05	0.3	-39.61	0.0	0.0	0.4
168760_MTA-1	MTA_S_168760	MTA_L_1614	AAAC5005.2,NONE,NONE,AAAC5005.2,NONE,1CP	Línea aérea por fase		13.800	0.8	6	5	7	77.12	0.9	-39.70	0.0	0.0	0.8
33283_MTS-1	MTA_S_168760	MTS_L_33283	1P_15KV.CU.2	Cable		13.800	0.9	6	5	7	77.12	0.9	-39.70	0.0	0.0	0.4
33285_MTS-1	MTS_L_33283	MTS_L_33285	1P_15KV.CU.2	Cable		13.800	13.7	6	5	7	77.10	0.9	-39.71	0.0	0.0	0.4
33287_MTS-1	MTS_L_33285	MTS_L_33287	1P_15KV.CU.2	Cable		13.800	5.8	6	5	7	76.89	0.9	-39.90	0.0	0.0	0.4
33289_MTS-1	MTS_L_33287	MTS_L_33289	1P_15KV.CU.2	Cable		13.800	1.3	6	5	7	76.81	0.9	-39.98	0.0	0.0	0.4
33290_MTS-1	MTS_L_33289	MTS_L_33290	1P_15KV.CU.2	Cable		13.800	0.4	6	5	7	76.79	0.9	-39.99	0.0	0.0	0.4
9594_MTS-1	MTS_L_33290	MTS_L_9594	1P_15KV.CU.2	Cable		13.800	0.4	6	5	7	76.78	0.9	-40.00	0.0	0.0	0.4
9593_MTS-1	MTS_L_9594	MTS_L_9593	1P_15KV.CU.2	Cable		13.800	0.4	6	5	7	76.77	0.9	-40.00	0.0	0.0	0.4
I9593_MTS-1	MTS_L_9593	IMTS_L_9593	1P_15KV.CU.2	Cable		0.240	0.0	5	5	7	76.73	52.6	-40.50	0.0	0.0	22.9

Flujo de carga - Líneas y cables

Nro. equipo	Nodo origen	Nodo destino	Id equipo	Código	V (kVLL)	Tensión de base (kVLL)	Longitud (m)	Potencia total de paso (kW)	Potencia total de paso (kvar)	Potencia total de paso (kVA)	Fp promedio (%)	IEquil (A)	Desfase I (°)	Pérdidas totales (kW)	Pérdidas totales (kvar)	Carga (%)
1615_MTA-1	MTA_S_1614	MTA_L_1615	ACSR.1/0,ACSR.1/0,ACSR.1/0,ACSR.2,NONE,3CP	Línea aérea por fase	13.6	13.800	22.3	61	50	79	77.32	3.4	-39.56	0.0	0.0	1.9
1616_MTA-1	MTA_L_1615	MTA_S_11583	ACSR.1/0,ACSR.1/0,ACSR.1/0,ACSR.2,NONE,3CP	Línea aérea por fase	13.6	13.800	38.7	61	50	79	77.31	3.4	-39.57	0.0	0.0	1.9
11583_MTA-1	MTA_S_11583	MTA_S_13570	NONE,AAAC5005.2,NONE,AAAC5005.2,NONE,1CP	Línea aérea por fase		13.800	0.4	2	2	3	76.94	0.4	-39.96	0.0	0.0	0.3
13570_MTA-1	MTA_S_13570	MTA_L_13570	NONE,AAAC5005.2,NONE,AAAC5005.2,NONE,1CP	Línea aérea por fase		13.800	0.4	2	2	3	76.94	0.4	-39.96	0.0	0.0	0.3
113570_MTA-1	MTA_L_13570	IMTA_L_13570	NONE,AAAC5005.2,NONE,AAAC5005.2,NONE,1CP	Línea aérea por fase		0.240	0.0	2	2	3	76.73	21.1	-40.60	0.0	0.0	19.4
164597_MTA-1	MTA_S_11583	MTA_S_164598	ACSR.1/0,ACSR.1/0,ACSR.1/0,ACSR.2,NONE,3CP	Línea aérea por fase	13.6	13.800	37.6	59	48	76	77.31	3.2	-39.57	0.0	0.0	1.9
164598_MTA-1	MTA_S_164598	MTA_L_164598	ACSR.1/0,ACSR.1/0,ACSR.1/0,ACSR.2,NONE,3CP	Línea aérea por fase	13.6	13.800	0.7	59	48	76	77.29	3.2	-39.58	0.0	0.0	1.9
130351_MTA-1	MTA_L_164598	MTA_S_1617	ACSR.1/0,ACSR.1/0,ACSR.1/0,ACSR.2,NONE,3CP	Línea aérea por fase	13.6	13.800	25.7	53	44	69	77.34	2.9	-39.54	0.0	0.0	1.9
1617_MTA-1	MTA_S_1617	MTA_L_1617	ACSR.1/0,ACSR.1/0,ACSR.1/0,ACSR.2,NONE,3CP	Línea aérea por fase	13.6	13.800	17.7	36	30	47	77.45	2.0	-39.42	0.0	0.0	1.9
11574_MTA-1	MTA_L_1617	MTA_S_13561	AAAC5005.2,AAAC5005.2,NONE,AAAC5005.2,NONE,2CP	Línea aérea por fase	13.6	13.800	0.4	3	2	3	78.21	0.2	-38.36	0.0	0.0	0.4
13561_MTA-1	MTA_S_13561	MTA_L_13561	AAAC5005.2,AAAC5005.2,NONE,AAAC5005.2,NONE,2CP	Línea aérea por fase	13.6	13.800	0.4	3	2	3	78.21	0.2	-38.36	0.0	0.0	0.4
113561_MTA-1	MTA_L_13561	IMTA_L_13561	AAAC5005.2,AAAC5005.2,NONE,AAAC5005.2,NONE,2CP	Línea aérea por fase	0.2	0.240	0.0	3	2	3	66.37	12.1	-10.41	0.0	0.0	12.9
15958_MTS-1	MTA_L_1617	MTS_L_15958	1P_15KV.CU.2	Cable		13.800	3.7	0	0	0	-0.00	0.0	89.84	0.0	-0.0	0.0
15957_MTS-1	MTS_L_15958	MTS_L_15957	1P_15KV.CU.2	Cable		13.800	52.8	0	0	0	-0.00	0.0	89.84	0.0	-0.0	0.0
7975_MTA-1	MTA_L_1617	MTA_S_7029	ACSR.2,ACSR.2,ACSR.2,ACSR.2,NONE,3CP	Línea aérea por fase	13.6	13.800	45.3	33	28	43	77.20	1.8	-39.64	0.0	0.0	2.4
7029_MTA-1	MTA_S_7029	MTS_S_47061	ACSR.2,ACSR.2,ACSR.2,ACSR.2,NONE,3CP	Línea aérea por fase	13.6	13.800	43.5	33	28	43	77.16	1.8	-39.67	0.0	0.0	2.4
47061_MTS-1	MTS_S_47061	MTS_L_47061	3P_15KV.CU.2	Cable	13.6	13.800	0.5	11	9	14	77.67	0.6	-39.25	0.0	0.0	0.3
47062_MTS-1	MTS_L_47061	MTS_L_47062	3P_15KV.CU.2	Cable	13.6	13.800	0.6	11	9	14	77.65	0.6	-39.27	0.0	0.0	0.3
47058_MTS-1	MTS_L_47062	MTS_L_47058	3P_15KV.CU.2	Cable	13.6	13.800	7.5	11	9	14	77.63	0.6	-39.29	0.0	0.0	0.3
47059_MTS-1	MTS_L_47058	MTS_L_47059	3P_15KV.CU.2	Cable	13.6	13.800	11.7	11	9	14	77.37	0.6	-39.52	0.0	0.0	0.3
47063_MTS-1	MTS_L_47059	MTS_L_47063	3P_15KV.CU.2	Cable	13.6	13.800	5.4	11	9	14	76.97	0.6	-39.88	0.0	0.0	0.3
47064_MTS-1	MTS_L_47063	MTS_L_47064	3P_15KV.CU.2	Cable	13.6	13.800	0.5	11	9	15	76.79	0.6	-40.05	0.0	0.0	0.3
147064_MTS-1	MTS_L_47064	IMTS_L_47064	3P_15KV.CU.2	Cable	0.2	0.240	0.0	11	9	14	76.73	35.1	-10.55	0.0	0.0	15.3
7234_MTA-1	MTS_S_47061	MTA_S_11575	ACSR.2,NONE,NONE,ACSR.4,NONE,1CP	Línea aérea por fase		13.800	32.6	6	5	7	76.80	0.9	-39.98	0.0	0.0	0.5
11575_MTA-1	MTA_S_11575	MTA_L_11575	AAAC5005.2,NONE,NONE,AAAC5005.2,NONE,1CP	Línea aérea por fase		13.800	0.4	6	5	7	76.77	0.9	-40.01	0.0	0.0	0.8
13562_MTA-1	MTA_L_11575	MTA_L_13562	AAAC5005.2,NONE,NONE,AAAC5005.2,NONE,1CP	Línea aérea por fase		13.800	0.4	6	5	7	76.77	0.9	-40.01	0.0	0.0	0.8
113562_MTA-1	MTA_L_13562	IMTA_L_13562	AAAC5005.2,NONE,NONE,AAAC5005.2,NONE,1CP	Línea aérea por fase		0.240	0.0	5	5	7	76.73	52.7	-40.50	0.0	0.0	48.3

Flujo de carga - Líneas y cables

Nro. equipo	Nodo origen	Nodo destino	Id equipo	Código	V (kVLL)	Tensión de base (kVLL)	Longitud (m)	Potencia total de paso (kW)	Potencia total de paso (kvar)	Potencia total de paso (kVA)	Fp promedio (%)	IEquil (A)	Desfase I (°)	Pérdidas totales (kW)	Pérdidas totales (kvar)	Carga (%)
7235_MTA-1	MTS_S_47061	MTA_L_7235	ACSR.2,NONE,NONE,ACSR.4,NONE,1CP	Línea aérea por fase		13.800	48.7	17	14	22	76.88	2.8	-39.91	0.0	0.0	1.5
7236_MTA-1	MTA_L_7235	MTA_L_7236	ACSR.2,NONE,NONE,ACSR.4,NONE,1CP	Línea aérea por fase		13.800	52.3	17	14	22	76.87	2.8	-39.92	0.0	0.0	1.5
7237_MTA-1	MTA_L_7236	MTA_S_7238	ACSR.2,NONE,NONE,ACSR.4,NONE,1CP	Línea aérea por fase		13.800	39.1	17	14	22	76.85	2.8	-39.94	0.0	0.0	1.5
7238_MTA-1	MTA_S_7238	MTA_S_6449	ACSR.2,NONE,NONE,ACSR.4,NONE,1CP	Línea aérea por fase		13.800	46.1	17	14	22	76.83	2.8	-39.95	0.0	0.0	1.5
6449_MTA-1	MTA_S_6449	MTA_L_6449	ACSR.2,NONE,NONE,ACSR.4,NONE,1CP	Línea aérea por fase		13.800	29.1	17	14	22	76.81	2.8	-39.97	0.0	0.0	1.5
11595_MTA-1	MTA_L_6449	MTA_S_13582	AAAC5005.2,NONE,NONE,AAAC5005.2,NONE,1CP	Línea aérea por fase		13.800	0.4	6	5	7	76.77	0.9	-40.01	0.0	0.0	0.8
13582_MTA-1	MTA_S_13582	MTA_L_13582	AAAC5005.2,NONE,NONE,AAAC5005.2,NONE,1CP	Línea aérea por fase		13.800	0.4	6	5	7	76.77	0.9	-40.01	0.0	0.0	0.8
113582_MTA-1	MTA_L_13582	IMTA_L_13582	AAAC5005.2,NONE,NONE,AAAC5005.2,NONE,1CP	Línea aérea por fase		0.240	0.0	5	5	7	76.73	52.7	-40.50	0.0	0.0	48.3
6450_MTA-1	MTA_L_6449	MTA_S_132623	ACSR.2,NONE,NONE,ACSR.4,NONE,1CP	Línea aérea por fase		13.800	51.9	11	9	15	76.82	1.8	-39.96	0.0	0.0	1.0
11584_MTA-1	MTA_S_132623	MTA_L_11584	AAAC5005.2,NONE,NONE,AAAC5005.2,NONE,1CP	Línea aérea por fase		13.800	0.4	6	5	7	76.77	0.9	-40.01	0.0	0.0	0.8
13571_MTA-1	MTA_L_11584	MTA_L_13571	AAAC5005.2,NONE,NONE,AAAC5005.2,NONE,1CP	Línea aérea por fase		13.800	0.4	6	5	7	76.77	0.9	-40.01	0.0	0.0	0.8
113571_MTA-1	MTA_L_13571	IMTA_L_13571	AAAC5005.2,NONE,NONE,AAAC5005.2,NONE,1CP	Línea aérea por fase		0.240	0.0	5	5	7	76.73	52.7	-40.50	0.0	0.0	48.3
132623_MTA-1	MTA_S_132623	MTA_S_132625	ACSR.2,NONE,NONE,ACSR.4,NONE,1CP	Línea aérea por fase		13.800	42.1	6	5	7	76.82	0.9	-39.97	0.0	0.0	0.5
132625_MTA-1	MTA_S_132625	MTA_S_132626	AAAC5005.2,NONE,NONE,AAAC5005.2,NONE,1CP	Línea aérea por fase		13.800	0.5	6	5	7	76.77	0.9	-40.01	0.0	0.0	0.8
132626_MTA-1	MTA_S_132626	MTA_L_132626	AAAC5005.2,NONE,NONE,AAAC5005.2,NONE,1CP	Línea aérea por fase		13.800	0.5	6	5	7	76.77	0.9	-40.01	0.0	0.0	0.8
1132626_MTA-1	MTA_L_132626	IMTA_L_132626	AAAC5005.2,NONE,NONE,AAAC5005.2,NONE,1CP	Línea aérea por fase		0.240	0.0	5	5	7	76.73	52.7	-40.50	0.0	0.0	48.3
1618_MTA-1	MTA_S_1617	MTA_L_1618	ACSR.1/0,ACSR.1/0,ACSR.1/0,ACSR.2,NONE,3CP	Línea aérea por fase	13.6	13.800	12.4	0	0	0	0.00	0.0	89.79	-0.0	-0.0	0.0
1619_MTA-1	MTA_S_1617	MTA_L_1619	ACSR.1/0,ACSR.1/0,ACSR.1/0,ACSR.2,NONE,3CP	Línea aérea por fase	13.6	13.800	45.1	17	14	22	76.91	1.0	-39.85	0.0	0.0	0.6
1620_MTA-1	MTA_L_1619	MTA_S_132563	ACSR.1/0,ACSR.1/0,ACSR.1/0,ACSR.2,NONE,3CP	Línea aérea por fase	13.6	13.800	55.4	17	14	22	76.89	1.0	-39.91	0.0	0.0	0.6
132563_MTA-1	MTA_S_132563	MTA_S_132564	NONE,NONE,ACSR.1/0,ACSR.2,NONE,1CP	Línea aérea por fase		13.800	0.4	9	7	12	77.05	1.5	-39.82	0.0	0.0	0.6
132564_MTA-1	MTA_S_132564	MTA_L_132564	NONE,NONE,ACSR.2,ACSR.2,NONE,1CP	Línea aérea por fase		13.800	57.8	9	7	12	77.05	1.5	-39.82	0.0	0.0	0.8
1622_MTA-1	MTA_L_132564	MTA_L_1622	NONE,NONE,ACSR.2,ACSR.4,NONE,1CP	Línea aérea por fase		13.800	40.5	9	7	12	77.01	1.5	-39.85	0.0	0.0	0.8
1623_MTA-1	MTA_L_1622	MTA_S_7025	NONE,NONE,ACSR.2,ACSR.4,NONE,1CP	Línea aérea por fase		13.800	53.6	9	7	12	76.98	1.5	-39.88	0.0	0.0	0.8
7025_MTA-1	MTA_S_7025	MTA_S_132613	NONE,NONE,ACSR.2,ACSR.4,NONE,1CP	Línea aérea por fase		13.800	43.1	9	7	12	76.94	1.5	-39.91	0.0	0.0	0.8
132613_MTA-1	MTA_S_132613	MTA_L_132620	NONE,NONE,ACSR.2,ACSR.4,NONE,1CP	Línea aérea por fase		13.800	35.5	6	5	7	76.95	0.9	-39.91	0.0	0.0	0.5

Flujo de carga - Líneas y cables

Nro. equipo	Nodo origen	Nodo destino	Id equipo	Código	V (kVLL)	Tensión de base (kVLL)	Longitud (m)	Potencia total de paso (kW)	Potencia total de paso (kvar)	Potencia total de paso (kVA)	Fp promedio (%)	IEquil (A)	Desfase I (°)	Pérdidas totales (kW)	Pérdidas totales (kvar)	Carga (%)
132620_MTA-1	MTA_S_132620	MTA_L_132620	NONE,NONE,ACSR.2,ACSR.4,NONE,1CP	Línea aérea por fase		13.800	9.2	6	5	7	76.91	0.9	-39.95	0.0	0.0	0.5
132621_MTA-1	MTA_S_132620	MTA_S_132617	NONE,NONE,AAAC5005.2,AAAC5005.2,NONE,1CP	Línea aérea por fase		13.800	0.5	3	3	4	76.86	0.6	-39.99	0.0	0.0	0.5
132617_MTA-1	MTA_S_132617	MTA_L_132617	NONE,NONE,AAAC5005.2,AAAC5005.2,NONE,1CP	Línea aérea por fase		13.800	0.5	3	3	4	76.86	0.6	-39.99	0.0	0.0	0.5
1132617_MTA-1	MTA_L_132617	IMTA_L_132617	NONE,NONE,AAAC5005.2,AAAC5005.2,NONE,1CP	Línea aérea por fase		0.240	0.0	3	3	4	76.73	31.5	-40.55	0.0	0.0	28.9
132622_MTA-1	MTA_S_132620	MTA_L_132622	NONE,NONE,AAAC5005.2,AAAC5005.2,NONE,1CP	Línea aérea por fase		13.800	0.7	2	2	3	76.95	0.4	-39.91	0.0	0.0	0.3
132619_MTA-1	MTA_L_132622	MTA_L_132619	NONE,NONE,AAAC5005.2,AAAC5005.2,NONE,1CP	Línea aérea por fase		13.800	0.5	2	2	3	76.95	0.4	-39.91	0.0	0.0	0.3
1132619_MTA-1	MTA_L_132619	IMTA_L_132619	NONE,NONE,AAAC5005.2,AAAC5005.2,NONE,1CP	Línea aérea por fase		0.240	0.0	2	2	3	76.73	21.0	-40.55	0.0	0.0	19.3
9941_MTA-1	MTA_S_132613	MTA_L_9941	NONE,NONE,AAAC5005.2,AAAC5005.2,NONE,1CP	Línea aérea por fase		13.800	0.4	3	3	4	76.86	0.6	-39.99	0.0	0.0	0.5
14164_MTA-1	MTA_L_9941	MTA_L_14164	NONE,NONE,AAAC5005.2,AAAC5005.2,NONE,1CP	Línea aérea por fase		13.800	0.4	3	3	4	76.86	0.6	-39.99	0.0	0.0	0.5
114164_MTA-1	MTA_L_14164	IMTA_L_14164	NONE,NONE,AAAC5005.2,AAAC5005.2,NONE,1CP	Línea aérea por fase		0.240	0.0	3	3	4	76.73	31.5	-40.55	0.0	0.0	28.9
9940_MTA-1	MTA_S_132563	MTA_L_9940	NONE,AAAC5005.2,NONE,AAAC5005.2,NONE,1CP	Línea aérea por fase		13.800	0.4	8	7	11	76.70	1.4	-40.17	0.0	0.0	1.3
14163_MTA-1	MTA_L_9940	MTA_L_14163	NONE,AAAC5005.2,NONE,AAAC5005.2,NONE,1CP	Línea aérea por fase		13.800	0.4	8	7	11	76.70	1.4	-40.17	0.0	0.0	1.3
114163_MTA-1	MTA_L_14163	IMTA_L_14163	NONE,AAAC5005.2,NONE,AAAC5005.2,NONE,1CP	Línea aérea por fase		0.240	0.0	8	7	11	76.73	79.1	-40.60	0.0	0.0	72.6
7026_MTA-1	MTA_L_164598	MTA_S_7027	NONE,NONE,ACSR.2,ACSR.4,NONE,1CP	Línea aérea por fase		13.800	27.5	6	5	7	76.88	0.9	-39.97	0.0	0.0	0.5
7027_MTA-1	MTA_S_7027	MTA_S_7028	NONE,NONE,ACSR.2,ACSR.4,NONE,1CP	Línea aérea por fase		13.800	33.6	6	5	7	76.85	0.9	-40.00	0.0	0.0	0.5
11594_MTA-1	MTA_S_7028	MTA_S_13581	NONE,NONE,AAAC5005.2,AAAC5005.2,NONE,1CP	Línea aérea por fase		13.800	0.4	6	5	7	76.77	0.9	-40.06	0.0	0.0	0.8
13581_MTA-1	MTA_S_13581	MTA_L_13581	NONE,NONE,AAAC5005.2,AAAC5005.2,NONE,1CP	Línea aérea por fase		13.800	0.4	6	5	7	76.77	0.9	-40.07	0.0	0.0	0.8
113581_MTA-1	MTA_L_13581	IMTA_L_13581	NONE,NONE,AAAC5005.2,AAAC5005.2,NONE,1CP	Línea aérea por fase		0.240	0.0	5	5	7	76.73	52.5	-40.55	0.0	0.0	48.2
7028_MTA-1	MTA_S_7028	MTA_L_7028	NONE,NONE,ACSR.2,ACSR.4,NONE,1CP	Línea aérea por fase		13.800	33.7	0	0	0	0.00	0.0	89.79	-0.0	-0.0	0.0
9939_MTA-1	MTA_L_162986	MTA_L_9939	AAAC5005.2,NONE,NONE,AAAC5005.2,NONE,1CP	Línea aérea por fase		13.800	0.4	8	7	11	76.71	1.4	-40.07	0.0	0.0	1.3
14162_MTA-1	MTA_L_9939	MTA_L_14162	AAAC5005.2,NONE,NONE,AAAC5005.2,NONE,1CP	Línea aérea por fase		13.800	0.4	8	7	11	76.71	1.4	-40.07	0.0	0.0	1.3
114162_MTA-1	MTA_L_14162	IMTA_L_14162	AAAC5005.2,NONE,NONE,AAAC5005.2,NONE,1CP	Línea aérea por fase		0.240	0.0	8	7	11	76.73	79.0	-40.50	0.0	0.0	72.4
4768_MTA-1	MTA_S_162985	MTA_L_4768	ACSR.1/0,ACSR.1/0,ACSR.1/0,ACSR.2,NONE,3CP	Línea aérea por fase	13.6	13.800	14.2	456	80	462	97.64	19.7	-10.13	0.4	0.0	11.6
181573_MTA-1	MTA_L_4768	MTA_L_181573	ACSR.1/0,ACSR.1/0,ACSR.1/0,ACSR.2,NONE,3CP	Línea aérea por fase	13.6	13.800	0.3	455	371	587	77.51	25.0	-39.40	0.0	0.0	14.2
181574_MTA-1	MTA_L_181573	MTA_S_4770	ACSR.1/0,ACSR.1/0,ACSR.1/0,ACSR.2,NONE,3CP	Línea aérea por fase	13.6	13.800	45.2	454	370	586	77.51	24.9	-39.40	0.0	0.0	14.2

Flujo de carga - Líneas y cables

Nro. equipo	Nodo origen	Nodo destino	Id equipo	Código	V (kVLL)	Tensión de base (kVLL)	Longitud (m)	Potencia total de paso (kW)	Potencia total de paso (kvar)	Potencia total de paso (kVA)	Fp promedio (%)	IEquil (A)	Desfase I (°)	Pérdidas totales (kW)	Pérdidas totales (kvar)	Carga (%)
11670_MTA-1	MTA_S_4770	MTA_S_13657	AAAC5005.2,NONE,NONE,AAAC5005.2,NONE,1CP	Línea aérea por fase		13.800	0.4	2	2	3	76.94	0.4	-39.85	0.0	0.0	0.3
13657_MTA-1	MTA_S_13657	MTA_L_13657	AAAC5005.2,NONE,NONE,AAAC5005.2,NONE,1CP	Línea aérea por fase		13.800	0.4	2	2	3	76.94	0.4	-39.85	0.0	0.0	0.3
113657_MTA-1	MTA_L_13657	IMTA_L_13657	AAAC5005.2,NONE,NONE,AAAC5005.2,NONE,1CP	Línea aérea por fase		0.240	0.0	2	2	3	76.73	21.1	-40.50	0.0	0.0	19.3
4770_MTA-1	MTA_S_4770	MTA_S_4771	ACSR.1/0,ACSR.1/0,ACSR.1/0,ACSR.2,NONE,3CP	Línea aérea por fase	13.6	13.800	36.5	452	369	583	77.51	24.8	-39.40	0.0	0.0	14.2
4771_MTA-1	MTA_S_4771	MTA_S_4772	ACSR.1/0,ACSR.1/0,ACSR.1/0,ACSR.2,NONE,3CP	Línea aérea por fase	13.6	13.800	11.3	452	369	583	77.51	24.8	-39.40	0.0	0.0	14.2
4772_MTA-1	MTA_S_4772	MTA_L_4772	ACSR.1/0,ACSR.1/0,ACSR.1/0,ACSR.2,NONE,3CP	Línea aérea por fase	13.6	13.800	35.1	119	96	153	77.72	6.5	-39.21	0.0	0.0	2.9
129939_MTA-1	MTA_L_4772	MTA_L_129939	ACSR.1/0,ACSR.1/0,ACSR.1/0,ACSR.2,NONE,3CP	Línea aérea por fase	13.6	13.800	3.9	119	96	153	77.71	6.5	-39.22	0.0	0.0	2.9
129940_MTA-1	MTA_L_129939	MTA_S_11671	ACSR.1/0,ACSR.1/0,ACSR.1/0,ACSR.2,NONE,3CP	Línea aérea por fase	13.6	13.800	33.7	119	96	153	77.71	6.5	-39.22	0.0	0.0	2.9
11671_MTA-1	MTA_S_11671	MTA_L_11671	NONE,NONE,AAAC5005.2,AAAC5005.2,NONE,1CP	Línea aérea por fase		13.800	0.4	8	7	11	76.71	1.4	-40.13	0.0	0.0	1.3
13658_MTA-1	MTA_L_11671	MTA_L_13658	NONE,NONE,AAAC5005.2,AAAC5005.2,NONE,1CP	Línea aérea por fase		13.800	0.4	8	7	11	76.71	1.4	-40.13	0.0	0.0	1.3
113658_MTA-1	MTA_L_13658	IMTA_L_13658	NONE,NONE,AAAC5005.2,AAAC5005.2,NONE,1CP	Línea aérea por fase		0.240	0.0	8	7	11	76.73	78.8	-40.56	0.0	0.0	72.3
4774_MTA-1	MTA_S_11671	MTA_L_4774	ACSR.1/0,ACSR.1/0,ACSR.1/0,ACSR.2,NONE,3CP	Línea aérea por fase	13.6	13.800	43.5	110	89	142	77.77	6.0	-39.15	0.0	0.0	2.9
4775_MTA-1	MTA_L_4774	MTA_L_4775	ACSR.1/0,ACSR.1/0,ACSR.1/0,ACSR.2,NONE,3CP	Línea aérea por fase	13.6	13.800	42.2	110	89	142	77.76	6.0	-39.16	0.0	0.0	2.9
4776_MTA-1	MTA_L_4775	MTA_L_4776	ACSR.1/0,ACSR.1/0,ACSR.1/0,ACSR.2,NONE,3CP	Línea aérea por fase	13.6	13.800	38.8	110	89	142	77.75	6.0	-39.17	0.0	0.0	2.9
4777_MTA-1	MTA_L_4776	MTA_S_4782	ACSR.1/0,ACSR.1/0,ACSR.1/0,ACSR.2,NONE,3CP	Línea aérea por fase	13.6	13.800	38.9	110	89	142	77.75	6.0	-39.18	0.0	0.0	2.9
162335_MTA-1	MTA_S_162335	MTA_S_4782	AAAC5005.2,AAAC5005.2,AAAC5005.2,AAAC5005.2,NONE,3CP	Línea aérea por fase	13.6	13.800	0.4	10	8	13	76.85	0.6	-39.99	0.0	0.0	0.5
13659_MTA-1	MTA_S_162335	MTA_L_13659	AAAC5005.2,AAAC5005.2,AAAC5005.2,AAAC5005.2,NONE,3CP	Línea aérea por fase	13.6	13.800	0.4	10	8	13	76.85	0.6	-39.99	0.0	0.0	0.5
113659_MTA-1	MTA_L_13659	IMTA_L_13659	AAAC5005.2,AAAC5005.2,AAAC5005.2,AAAC5005.2,NONE,3CP	Línea aérea por fase	0.2	0.240	0.0	10	8	13	76.73	31.6	-10.55	0.0	0.0	29.0
4778_MTA-1	MTA_S_4782	MTA_S_168768	ACSR.2,NONE,NONE,ACSR.2,NONE,1CP	Línea aérea por fase		13.800	27.4	9	7	12	77.25	1.5	-39.58	0.0	0.0	0.8
130346_MTA-1	MTA_S_168768	MTA_S_130347	ACSR.2,NONE,NONE,ACSR.2,NONE,1CP	Línea aérea por fase		13.800	0.6	6	5	7	76.89	0.9	-39.90	0.0	0.0	0.5
130347_MTA-1	MTA_S_130347	MTA_S_4780	ACSR.2,NONE,NONE,ACSR.2,NONE,1CP	Línea aérea por fase		13.800	42.0	6	5	7	76.89	0.9	-39.90	0.0	0.0	0.5
4780_MTA-1	MTA_S_4780	MTA_S_4781	ACSR.2,NONE,NONE,ACSR.2,NONE,1CP	Línea aérea por fase		13.800	27.7	6	5	7	76.84	0.9	-39.95	0.0	0.0	0.5
4781_MTA-1	MTA_S_4781	MTA_S_11673	ACSR.2,NONE,NONE,ACSR.2,NONE,1CP	Línea aérea por fase		13.800	34.7	6	5	7	76.81	0.9	-39.97	0.0	0.0	0.5
11673_MTA-1	MTA_S_11673	MTA_S_13660	AAAC5005.2,NONE,NONE,AAAC5005.2,NONE,1CP	Línea aérea por fase		13.800	0.4	6	5	7	76.77	0.9	-40.01	0.0	0.0	0.8
13660_MTA-1	MTA_S_13660	MTA_L_13660	AAAC5005.2,NONE,NONE,AAAC5005.2,NONE,1CP	Línea aérea por fase		13.800	0.4	6	5	7	76.77	0.9	-40.01	0.0	0.0	0.8

Flujo de carga - Líneas y cables

Nro. equipo	Nodo origen	Nodo destino	Id equipo	Código	V (kVLL)	Tensión de base (kVLL)	Longitud (m)	Potencia total de paso (kW)	Potencia total de paso (kvar)	Potencia total de paso (kVA)	Fp promedio (%)	IEquil (A)	Desfase I (°)	Pérdidas totales (kW)	Pérdidas totales (kvar)	Carga (%)
113660_MTA-1	MTA_L_13660	IMTA_L_13660	AAAC5005.2,NONE,NONE,AAAC5005.2,NONE,1CP	Línea aérea por fase		0.240	0.0	5	5	7	76.73	52.7	-40.50	0.0	0.0	48.3
168768_MTA-1	MTA_S_168768	MTA_L_168768	AAAC5005.2,NONE,NONE,AAAC5005.2,NONE,1CP	Línea aérea por fase		13.800	0.7	3	3	4	77.79	0.5	-39.09	0.0	0.0	0.5
33369_MTS-1	MTA_L_168768	MTS_L_33369	1P_15KV.CU.2	Cable		13.800	1.4	3	3	4	77.79	0.5	-39.09	0.0	0.0	0.2
33371_MTS-1	MTS_L_33369	MTS_L_33371	1P_15KV.CU.2	Cable		13.800	10.0	3	3	4	77.75	0.5	-39.12	0.0	0.0	0.2
33373_MTS-1	MTS_L_33371	MTS_L_33373	1P_15KV.CU.2	Cable		13.800	3.5	3	3	4	77.50	0.6	-39.35	0.0	0.0	0.2
33375_MTS-1	MTS_L_33373	MTS_L_33375	1P_15KV.CU.2	Cable		13.800	12.3	3	3	4	77.41	0.6	-39.43	0.0	0.0	0.2
33385_MTS-1	MTS_L_33375	MTS_L_33385	1P_15KV.CU.2	Cable		13.800	4.6	3	3	4	77.10	0.6	-39.71	0.0	0.0	0.2
33387_MTS-1	MTS_L_33385	MTS_L_33387	1P_15KV.CU.2	Cable		13.800	2.3	3	3	4	76.98	0.6	-39.82	0.0	0.0	0.2
33388_MTS-1	MTS_L_33387	MTS_L_33388	1P_15KV.CU.2	Cable		13.800	0.7	3	3	4	76.92	0.6	-39.87	0.0	0.0	0.2
350_MTS-1	MTS_L_33388	MTS_L_350	1P_15KV.CU.3/0	Cable		13.800	0.7	3	3	4	76.91	0.6	-39.89	0.0	0.0	0.1
466_MTS-1	MTS_L_350	MTS_L_466	1P_15KV.CU.3/0	Cable		13.800	0.9	3	3	4	76.88	0.6	-39.91	0.0	0.0	0.1
1466_MTS-1	MTS_L_466	IMTS_L_466	1P_15KV.CU.3/0	Cable		0.240	0.0	3	3	4	76.73	31.6	-40.50	0.0	0.0	7.5
4782_MTA-1	MTA_S_4782	MTA_S_11674	ACSR.1/0,ACSR.1/0,ACSR.1/0,ACSR.2,NONE,3CP	Línea aérea por fase	13.6	13.800	38.0	91	74	117	77.88	5.0	-39.06	0.0	0.0	2.5
11674_MTA-1	MTA_S_11674	MTA_S_13661	NONE,NONE,AAAC5005.2,AAAC5005.2,NONE,1CP	Línea aérea por fase		13.800	0.4	2	2	3	76.95	0.4	-39.91	0.0	0.0	0.3
13661_MTA-1	MTA_S_13661	MTA_L_13661	NONE,NONE,AAAC5005.2,AAAC5005.2,NONE,1CP	Línea aérea por fase		13.800	0.4	2	2	3	76.95	0.4	-39.91	0.0	0.0	0.3
113661_MTA-1	MTA_L_13661	IMTA_L_13661	NONE,NONE,AAAC5005.2,AAAC5005.2,NONE,1CP	Línea aérea por fase		0.240	0.0	2	2	3	76.73	21.0	-40.56	0.0	0.0	19.3
130342_MTA-1	MTA_S_11674	MTA_S_130343	NONE,AAAC5005.2,NONE,AAAC5005.2,NONE,1CP	Línea aérea por fase		13.800	0.5	3	3	4	76.85	0.6	-40.04	0.0	0.0	0.5
130343_MTA-1	MTA_S_130343	MTA_L_130343	NONE,AAAC5005.2,NONE,AAAC5005.2,NONE,1CP	Línea aérea por fase		13.800	0.5	3	3	4	76.85	0.6	-40.04	0.0	0.0	0.5
1130343_MTA-1	MTA_L_130343	IMTA_L_130343	NONE,AAAC5005.2,NONE,AAAC5005.2,NONE,1CP	Línea aérea por fase		0.240	0.0	3	3	4	76.73	31.7	-40.60	0.0	0.0	29.1
4783_MTA-1	MTA_S_11674	MTA_L_4783	ACSR.1/0,ACSR.1/0,ACSR.1/0,ACSR.2,NONE,3CP	Línea aérea por fase	13.6	13.800	40.5	86	69	110	77.94	4.7	-39.01	0.0	0.0	2.2
4784_MTA-1	MTA_L_4783	MTA_S_4785	ACSR.1/0,ACSR.1/0,ACSR.1/0,ACSR.2,NONE,3CP	Línea aérea por fase	13.6	13.800	40.7	86	69	110	77.92	4.7	-39.02	0.0	0.0	2.2
4785_MTA-1	MTA_S_4785	MTA_S_7408	ACSR.1/0,ACSR.1/0,ACSR.1/0,ACSR.2,NONE,3CP	Línea aérea por fase	13.6	13.800	22.0	86	69	110	77.91	4.7	-39.03	0.0	0.0	2.2
4786_MTA-1	MTA_S_7408	MTA_S_130344	ACSR.1/0,ACSR.1/0,ACSR.1/0,ACSR.2,NONE,3CP	Línea aérea por fase	13.6	13.800	20.0	9	7	12	76.95	0.5	-39.87	0.0	0.0	0.4
11679_MTA-1	MTA_S_130344	MTA_S_13666	AAAC5005.2,NONE,NONE,AAAC5005.2,NONE,1CP	Línea aérea por fase		13.800	0.4	3	3	4	76.85	0.6	-39.93	0.0	0.0	0.5
13666_MTA-1	MTA_S_13666	MTA_L_13666	AAAC5005.2,NONE,NONE,AAAC5005.2,NONE,1CP	Línea aérea por fase		13.800	0.4	3	3	4	76.85	0.6	-39.93	0.0	0.0	0.5
113666_MTA-1	MTA_L_13666	IMTA_L_13666	AAAC5005.2,NONE,NONE,AAAC5005.2,NONE,1CP	Línea aérea por fase		0.240	0.0	3	3	4	76.73	31.6	-40.50	0.0	0.0	29.0
130344_MTA-1	MTA_S_130344	MTA_S_130345	NONE,ACSR.2,NONE,ACSR.2,NONE,1CP	Línea aérea por fase		13.800	1.9	6	5	7	76.99	0.9	-39.92	0.0	0.0	0.5

Flujo de carga - Líneas y cables

Nro. equipo	Nodo origen	Nodo destino	Id equipo	Código	V (kVLL)	Tensión de base (kVLL)	Longitud (m)	Potencia total de paso (kW)	Potencia total de paso (kvar)	Potencia total de paso (kVA)	Fp promedio (%)	IEquil (A)	Desfase I (°)	Pérdidas totales (kW)	Pérdidas totales (kvar)	Carga (%)
130345_MTA-1	MTA_S_130345	MTA_S_7404	NONE,ACSR.2,NONE,ACSR.2,NONE,1CP	Línea aérea por fase		13.800	39.2	6	5	7	76.99	0.9	-39.92	0.0	0.0	0.5
7404_MTA-1	MTA_S_7404	MTA_L_7404	NONE,ACSR.2,NONE,ACSR.2,NONE,1CP	Línea aérea por fase		13.800	40.0	6	5	7	76.94	0.9	-39.96	0.0	0.0	0.5
7405_MTA-1	MTA_L_7404	MTA_S_7406	NONE,ACSR.2,NONE,ACSR.2,NONE,1CP	Línea aérea por fase		13.800	40.0	6	5	7	76.90	0.9	-40.00	0.0	0.0	0.5
7406_MTA-1	MTA_S_7406	MTA_L_7406	NONE,ACSR.2,NONE,ACSR.2,NONE,1CP	Línea aérea por fase		13.800	40.0	0	0	0	0.00	0.0	89.74	-0.0	-0.0	0.0
7407_MTA-1	MTA_L_7406	MTA_L_7407	NONE,ACSR.2,NONE,ACSR.2,NONE,1CP	Línea aérea por fase		13.800	39.0	0	0	0	0.00	0.0	89.74	-0.0	-0.0	0.0
9938_MTA-1	MTA_S_7406	MTA_L_9938	NONE,AAAC5005.2,NONE,AAAC5005.2,NONE,1CP	Línea aérea por fase		13.800	0.4	6	5	7	76.76	0.9	-40.12	0.0	0.0	0.9
14161_MTA-1	MTA_L_9938	MTA_L_14161	NONE,AAAC5005.2,NONE,AAAC5005.2,NONE,1CP	Línea aérea por fase		13.800	0.4	6	5	7	76.76	0.9	-40.12	0.0	0.0	0.9
14161_MTA-1	MTA_L_14161	IMTA_L_14161	NONE,AAAC5005.2,NONE,AAAC5005.2,NONE,1CP	Línea aérea por fase		0.240	0.0	5	5	7	76.73	52.8	-40.60	0.0	0.0	48.4
7402_MTA-1	MTA_S_7408	MTA_L_7402	ACSR.1/0,ACSR.1/0,ACSR.1/0,ACSR.2,NONE,3CP	Línea aérea por fase	13.6	13.800	12.7	0	0	0	0.00	0.0	89.79	-0.0	-0.0	0.0
7408_MTA-1	MTA_S_7408	MTA_S_133154	ACSR.1/0,ACSR.1/0,ACSR.1/0,ACSR.2,NONE,3CP	Línea aérea por fase	13.6	13.800	69.9	77	62	99	78.01	4.2	-38.94	0.0	0.0	1.8
133154_MTA-1	MTA_S_133154	MTA_L_133154	ACSR.1/0,ACSR.1/0,ACSR.1/0,ACSR.2,NONE,3CP	Línea aérea por fase	13.6	13.800	0.9	77	62	99	77.98	4.2	-38.97	0.0	0.0	1.8
133207_MTA-1	MTA_L_133154	MTA_L_133207	ACSR.1/0,ACSR.1/0,ACSR.1/0,ACSR.2,NONE,3CP	Línea aérea por fase	13.6	13.800	39.3	77	62	99	77.98	4.2	-38.97	0.0	0.0	1.8
6881_MTA-1	MTA_L_133207	MTA_L_6881	ACSR.1/0,ACSR.1/0,ACSR.1/0,ACSR.2,NONE,3CP	Línea aérea por fase	13.6	13.800	28.6	77	62	99	77.97	4.2	-38.98	0.0	0.0	1.8
168770_MTA-1	MTA_L_6881	MTA_L_168770	AAAC5005.2,AAAC5005.2,AAAC5005.2,AAAC5005.2,NONE,3CP	Línea aérea por fase	13.6	13.800	2.4	17	12	20	81.43	0.9	-35.70	0.0	0.0	0.8
33395_MTS-1	MTA_L_168770	MTS_L_33395	3P_15KV.CU.1/0	Cable	13.6	13.800	2.3	17	12	20	81.42	0.9	-35.70	0.0	0.0	0.4
33397_MTS-1	MTS_L_33395	MTS_L_33397	3P_15KV.CU.1/0	Cable	13.6	13.800	22.4	17	12	21	81.36	0.9	-35.76	0.0	0.0	0.4
33399_MTS-1	MTS_L_33397	MTS_L_33399	3P_15KV.CU.1/0	Cable	13.6	13.800	37.2	17	12	21	80.80	0.9	-36.31	0.0	0.0	0.4
33401_MTS-1	MTS_L_33399	MTS_L_33401	3P_15KV.CU.1/0	Cable	13.6	13.800	38.1	17	13	21	79.87	0.9	-37.21	0.0	0.0	0.4
33403_MTS-1	MTS_L_33401	MTS_L_33403	3P_15KV.CU.1/0	Cable	13.6	13.800	51.2	17	13	21	78.92	0.9	-38.10	0.0	0.0	0.4
33405_MTS-1	MTS_L_33403	MTS_L_33405	3P_15KV.CU.1/0	Cable	13.6	13.800	11.6	17	14	21	77.64	0.9	-39.28	0.0	0.0	0.4
33407_MTS-1	MTS_L_33405	MTS_L_33407	3P_15KV.CU.1/0	Cable	13.6	13.800	12.0	17	14	22	77.35	0.9	-39.54	0.0	0.0	0.4
33425_MTS-1	MTS_L_33407	MTS_L_33425	3P_15KV.CU.1/0	Cable	13.6	13.800	7.1	17	14	22	77.06	0.9	-39.81	0.0	0.0	0.4
33426_MTS-1	MTS_L_33425	MTS_L_33426	3P_15KV.CU.1/0	Cable	13.6	13.800	1.9	17	14	22	76.88	0.9	-39.96	0.0	0.0	0.4
33428_MTS-1	MTS_L_33426	MTS_L_33428	3P_15KV.CU.3/0	Cable	13.6	13.800	1.8	17	14	22	76.83	0.9	-40.01	0.0	0.0	0.3
33427_MTS-1	MTS_L_33428	MTS_L_33427	3P_15KV.CU.3/0	Cable	13.6	13.800	1.7	17	14	22	76.77	0.9	-40.06	0.0	0.0	0.3
133427_MTS-1	MTS_L_33427	IMTS_L_33427	3P_15KV.CU.3/0	Cable	0.2	0.240	0.0	16	14	21	76.73	52.7	-10.55	0.0	0.0	17.6
6882_MTA-1	MTA_L_6881	MTA_L_6882	ACSR.1/0,ACSR.1/0,ACSR.1/0,ACSR.2,NONE,3CP	Línea aérea por fase	13.6	13.800	21.6	60	50	78	77.01	3.3	-39.85	0.0	0.0	1.4
11675_MTA-1	MTA_L_6882	MTA_S_13662	AAAC5005.2,AAAC5005.2,AAAC5005.2,AAAC5005.2,NONE,3CP	Línea aérea por fase	13.6	13.800	0.4	17	14	22	76.77	0.9	-40.07	0.0	0.0	0.8

Flujo de carga - Líneas y cables

Nro. equipo	Nodo origen	Nodo destino	Id equipo	Código	V (kVLL)	Tensión de base (kVLL)	Longitud (m)	Potencia total de paso (kW)	Potencia total de paso (kvar)	Potencia total de paso (kVA)	Fp promedio (%)	IEquil (A)	Desfase I (°)	Pérdidas totales (kW)	Pérdidas totales (kvar)	Carga (%)
13662_MTA-1	MTA_S_13662	MTA_L_13662	AAAC5005.2,AAAC5005.2,AAAC5005.2,AAAC5005.2,NONE,3CP	Línea aérea por fase	13.6	13.800	0.4	17	14	22	76.77	0.9	-40.07	0.0	0.0	0.8
13662_MTA-1	MTA_L_13662	IMTA_L_13662	AAAC5005.2,AAAC5005.2,AAAC5005.2,AAAC5005.2,NONE,3CP	Línea aérea por fase	0.2	0.240	0.0	16	14	21	76.73	52.7	-10.55	0.0	0.0	48.4
6517_MTA-1	MTA_L_6882	MTA_L_6517	ACSR.1/0,ACSR.1/0,ACSR.1/0,ACSR.2,NONE,3CP	Línea aérea por fase	13.6	13.800	40.4	44	36	56	77.09	2.4	-39.78	0.0	0.0	1.0
6518_MTA-1	MTA_L_6517	MTA_S_1606	ACSR.1/0,ACSR.1/0,ACSR.1/0,ACSR.2,NONE,3CP	Línea aérea por fase	13.6	13.800	38.5	44	36	56	77.07	2.4	-39.80	0.0	0.0	1.0
1606_MTA-1	MTA_S_1606	MTA_L_1606	ACSR.1/0,ACSR.1/0,ACSR.1/0,ACSR.2,NONE,3CP	Línea aérea por fase	13.6	13.800	35.5	44	36	56	77.04	2.4	-39.82	0.0	0.0	1.0
1607_MTA-1	MTA_L_1606	MTA_L_1607	ACSR.1/0,ACSR.1/0,ACSR.1/0,ACSR.2,NONE,3CP	Línea aérea por fase	13.6	13.800	33.6	44	36	57	77.02	2.4	-39.84	0.0	0.0	1.0
11676_MTA-1	MTA_L_1607	MTA_S_13663	AAAC5005.2,AAAC5005.2,AAAC5005.2,AAAC5005.2,NONE,3CP	Línea aérea por fase	13.6	13.800	0.4	10	8	13	76.85	0.6	-39.99	0.0	0.0	0.5
13663_MTA-1	MTA_S_13663	MTA_L_13663	AAAC5005.2,AAAC5005.2,AAAC5005.2,AAAC5005.2,NONE,3CP	Línea aérea por fase	13.6	13.800	0.4	10	8	13	76.85	0.6	-39.99	0.0	0.0	0.5
13663_MTA-1	MTA_L_13663	IMTA_L_13663	AAAC5005.2,AAAC5005.2,AAAC5005.2,AAAC5005.2,NONE,3CP	Línea aérea por fase	0.2	0.240	0.0	10	8	13	76.73	31.6	-10.55	0.0	0.0	29.0
1608_MTA-1	MTA_L_1607	MTA_S_11677	ACSR.1/0,ACSR.1/0,ACSR.1/0,ACSR.2,NONE,3CP	Línea aérea por fase	13.6	13.800	30.2	27	22	35	76.86	1.5	-39.99	0.0	0.0	0.6
11677_MTA-1	MTA_S_11677	MTA_S_13664	AAAC5005.2,AAAC5005.2,AAAC5005.2,AAAC5005.2,NONE,3CP	Línea aérea por fase	13.6	13.800	0.4	17	14	22	76.77	0.9	-40.07	0.0	0.0	0.8
13664_MTA-1	MTA_S_13664	MTA_L_13664	AAAC5005.2,AAAC5005.2,AAAC5005.2,AAAC5005.2,NONE,3CP	Línea aérea por fase	13.6	13.800	0.4	17	14	22	76.77	0.9	-40.07	0.0	0.0	0.8
13664_MTA-1	MTA_L_13664	IMTA_L_13664	AAAC5005.2,AAAC5005.2,AAAC5005.2,AAAC5005.2,NONE,3CP	Línea aérea por fase	0.2	0.240	0.0	16	14	21	76.73	52.7	-10.55	0.0	0.0	48.4
1609_MTA-1	MTA_S_11677	MTA_S_1610	ACSR.1/0,ACSR.1/0,ACSR.1/0,ACSR.2,NONE,3CP	Línea aérea por fase	13.6	13.800	4.0	10	8	13	76.93	0.6	-39.92	0.0	0.0	0.2
1610_MTA-1	MTA_S_1610	MTA_L_1610	ACSR.1/0,ACSR.1/0,ACSR.1/0,ACSR.2,NONE,3CP	Línea aérea por fase	13.6	13.800	26.3	10	8	13	76.92	0.6	-39.93	0.0	0.0	0.2
11678_MTA-1	MTA_L_1610	MTA_L_11678	AAAC5005.2,AAAC5005.2,AAAC5005.2,AAAC5005.2,NONE,3CP	Línea aérea por fase	13.6	13.800	0.4	10	8	13	76.85	0.6	-39.99	0.0	0.0	0.5
13665_MTA-1	MTA_L_11678	MTA_L_13665	AAAC5005.2,AAAC5005.2,AAAC5005.2,AAAC5005.2,NONE,3CP	Línea aérea por fase	13.6	13.800	0.4	10	8	13	76.85	0.6	-39.99	0.0	0.0	0.5
13665_MTA-1	MTA_L_13665	IMTA_L_13665	AAAC5005.2,AAAC5005.2,AAAC5005.2,AAAC5005.2,NONE,3CP	Línea aérea por fase	0.2	0.240	0.0	10	8	13	76.73	31.6	-10.55	0.0	0.0	29.0
168769_MTA-1	MTA_L_1607	MTS_S_33389	AAAC5005.2,AAAC5005.2,AAAC5005.2,AAAC5005.2,NONE,3CP	Línea aérea por fase	13.6	13.800	1.9	7	5	9	77.82	0.4	-39.12	0.0	0.0	0.3
33389_MTS-1	MTS_S_33389	MTS_L_33389	3P_15KV.CU.2	Cable	13.6	13.800	4.9	7	5	9	77.81	0.4	-39.12	0.0	-0.0	0.2
33391_MTS-1	MTS_L_33389	MTS_L_33391	3P_15KV.CU.2	Cable	13.6	13.800	6.5	7	5	9	77.53	0.4	-39.38	0.0	-0.0	0.2
33393_MTS-1	MTS_L_33391	MTS_L_33393	3P_15KV.CU.2	Cable	13.6	13.800	4.1	7	6	9	77.16	0.4	-39.71	0.0	-0.0	0.2
33394_MTS-1	MTS_L_33393	MTS_L_33394	3P_15KV.CU.2	Cable	13.6	13.800	0.4	7	6	9	76.93	0.4	-39.93	0.0	-0.0	0.2
386_MTS-1	MTS_L_33394	MTS_L_386	3P_15KV.CU.3/0	Cable	13.6	13.800	0.4	7	6	9	76.90	0.4	-39.95	0.0	-0.0	0.1
511_MTS-1	MTS_L_386	MTS_L_511	3P_15KV.CU.3/0	Cable	13.6	13.800	0.3	7	6	9	76.87	0.4	-39.97	0.0	-0.0	0.1
1511_MTS-1	MTS_L_511	IMTS_L_511	3P_15KV.CU.3/0	Cable	0.2	0.240	0.0	7	5	9	76.73	21.1	-10.55	0.0	0.0	7.0
7740_MTA-1	MTA_S_4772	MTA_S_7919	ACSR.1/0,ACSR.1/0,ACSR.1/0,ACSR.2,NONE,3CP	Línea aérea por fase	13.6	13.800	16.0	58	48	76	77.02	3.2	-39.85	0.0	0.0	2.0

Flujo de carga - Líneas y cables

Nro. equipo	Nodo origen	Nodo destino	Id equipo	Código	V (kVLL)	Tensión de base (kVLL)	Longitud (m)	Potencia total de paso (kW)	Potencia total de paso (kvar)	Potencia total de paso (kVA)	Fp promedio (%)	IEquil (A)	Desfase I (°)	Pérdidas totales (kW)	Pérdidas totales (kvar)	Carga (%)
7919_MTA-1	MTA_S_7919	MTA_S_10487	ACSR.1/0,ACSR.1/0,ACSR.1/0,ACSR.2,NONE,3CP	Línea aérea por fase	13.6	13.800	29.0	58	48	76	77.02	3.2	-39.86	0.0	0.0	2.0
10487_MTA-1	MTA_S_10487	MTA_S_14243	NONE,NONE,AAACS005.2,AAACS005.2,NONE,1CP	Línea aérea por fase		13.800	0.4	8	7	11	76.71	1.4	-40.13	0.0	0.0	1.3
14243_MTA-1	MTA_S_14243	MTA_L_14243	NONE,NONE,AAACS005.2,AAACS005.2,NONE,1CP	Línea aérea por fase		13.800	0.4	8	7	11	76.71	1.4	-40.13	0.0	0.0	1.3
114243_MTA-1	MTA_L_14243	IMTA_L_14243	NONE,NONE,AAACS005.2,AAACS005.2,NONE,1CP	Línea aérea por fase		0.240	0.0	8	7	11	76.73	78.8	-40.56	0.0	0.0	72.3
125888_MTA-1	MTA_S_10487	MTA_S_125889	NONE,ACSR.2,NONE,ACSR.4,NONE,1CP	Línea aérea por fase		13.800	1.1	17	14	22	76.74	2.8	-40.13	0.0	0.0	1.5
125889_MTA-1	MTA_S_125889	MTA_S_7921	NONE,ACSR.2,NONE,ACSR.4,NONE,1CP	Línea aérea por fase		13.800	38.1	17	14	22	76.74	2.8	-40.13	0.0	0.0	1.5
10488_MTA-1	MTA_S_7921	MTA_S_14244	NONE,AAACS005.2,NONE,AAACS005.2,NONE,1CP	Línea aérea por fase		13.800	0.4	6	5	7	76.76	0.9	-40.12	0.0	0.0	0.9
14244_MTA-1	MTA_S_14244	MTA_L_14244	NONE,AAACS005.2,NONE,AAACS005.2,NONE,1CP	Línea aérea por fase		13.800	0.4	6	5	7	76.76	0.9	-40.12	0.0	0.0	0.9
114244_MTA-1	MTA_L_14244	IMTA_L_14244	NONE,AAACS005.2,NONE,AAACS005.2,NONE,1CP	Línea aérea por fase		0.240	0.0	5	5	7	76.73	52.8	-40.60	0.0	0.0	48.4
7921_MTA-1	MTA_S_7921	MTA_L_7921	NONE,ACSR.2,NONE,ACSR.4,NONE,1CP	Línea aérea por fase		13.800	44.1	11	9	14	76.71	1.9	-40.16	0.0	0.0	1.0
8099_MTA-1	MTA_L_7921	MTA_S_10489	NONE,ACSR.2,NONE,ACSR.4,NONE,1CP	Línea aérea por fase		13.800	40.1	11	9	14	76.69	1.9	-40.18	0.0	0.0	1.0
10489_MTA-1	MTA_S_10489	MTA_S_14245	NONE,AAACS005.2,NONE,AAACS005.2,NONE,1CP	Línea aérea por fase		13.800	0.4	11	9	14	76.66	1.9	-40.20	0.0	0.0	1.7
14245_MTA-1	MTA_S_14245	MTA_L_14245	NONE,AAACS005.2,NONE,AAACS005.2,NONE,1CP	Línea aérea por fase		13.800	0.4	11	9	14	76.66	1.9	-40.21	0.0	0.0	1.7
114245_MTA-1	MTA_L_14245	IMTA_L_14245	NONE,AAACS005.2,NONE,AAACS005.2,NONE,1CP	Línea aérea por fase		0.240	0.0	11	9	14	76.73	105.6	-40.60	0.0	0.0	96.9
168460_MTA-1	MTA_S_10487	MTA_L_168460	AAACS005.2,AAACS005.2,AAACS005.2,AAACS005.2,NONE,3CP	Línea aérea por fase	13.6	13.800	2.0	33	27	43	77.21	1.8	-39.67	0.0	0.0	1.7
33002_MTS-1	MTA_L_168460	MTS_L_33002	3P_15KV.CU.2	Cable	13.6	13.800	2.0	33	27	43	77.21	1.8	-39.67	0.0	0.0	0.8
33007_MTS-1	MTS_L_33002	MTS_L_33007	3P_15KV.CU.2	Cable	13.6	13.800	5.9	33	27	43	77.19	1.8	-39.69	0.0	0.0	0.8
33008_MTS-1	MTS_L_33007	MTS_L_33008	3P_15KV.CU.2	Cable	13.6	13.800	12.0	33	28	43	77.12	1.8	-39.75	0.0	0.0	0.8
33010_MTS-1	MTS_L_33008	MTS_L_33010	3P_15KV.CU.2	Cable	13.6	13.800	13.5	33	28	43	76.98	1.8	-39.87	0.0	0.0	0.8
33012_MTS-1	MTS_L_33010	MTS_L_33012	3P_15KV.CU.2	Cable	13.6	13.800	6.2	33	28	43	76.83	1.8	-40.01	0.0	0.0	0.8
33013_MTS-1	MTS_L_33012	MTS_L_33014	3P_15KV.CU.2	Cable	13.6	13.800	0.4	33	28	43	76.76	1.8	-40.08	0.0	0.0	0.8
33014_MTS-1	MTS_S_33014	MTS_L_33014	3P_15KV.CU.2	Cable	13.6	13.800	0.6	17	14	22	76.75	0.9	-40.08	0.0	0.0	0.4
563_MTS-1	MTS_S_33014	MTS_L_563	3P_15KV.CU.3/0	Cable	13.6	13.800	0.3	17	14	22	76.74	0.9	-40.09	0.0	0.0	0.3
467_MTS-1	MTS_L_563	MTS_L_467	3P_15KV.CU.3/0	Cable	13.6	13.800	0.3	17	14	22	76.73	0.9	-40.10	0.0	0.0	0.3
1467_MTS-1	MTS_L_467	IMTS_L_467	3P_15KV.CU.3/0	Cable	0.2	0.240	0.0	16	14	21	76.73	52.7	-10.55	0.0	0.0	17.6
33015_MTS-1	MTS_L_33014	MTS_L_33015	3P_15KV.CU.2	Cable	13.6	13.800	0.5	17	14	22	76.75	0.9	-40.08	0.0	0.0	0.4
351_MTS-1	MTS_L_33015	MTS_L_351	3P_15KV.CU.3/0	Cable	13.6	13.800	0.3	17	14	22	76.74	0.9	-40.09	0.0	0.0	0.3
468_MTS-1	MTS_L_351	MTS_L_468	3P_15KV.CU.3/0	Cable	13.6	13.800	0.4	17	14	22	76.73	0.9	-40.10	0.0	0.0	0.3

Flujo de carga - Líneas y cables

Nro. equipo	Nodo origen	Nodo destino	Id equipo	Código	V (kVLL)	Tensión de base (kVLL)	Longitud (m)	Potencia total de paso (kW)	Potencia total de paso (kvar)	Potencia total de paso (kVA)	Fp promedio (%)	IEquil (A)	Desfase I (°)	Pérdidas totales (kW)	Pérdidas totales (kvar)	Carga (%)
I468_MTS-1	MTS_L_468	IMTS_L_468	3P_15KV.CU.3/0	Cable	0.2	0.240	0.0	16	14	21	76.73	52.7	-10.55	0.0	0.0	17.6
8106_MTA-1	MTA_S_4772	MTA_S_8107	ACSR.1/0,ACSR.1/0,ACSR.1/0,ACSR.2,NONE,3CP	Línea aérea por fase	13.6	13.800	32.6	275	224	355	77.52	15.1	-39.39	0.0	0.0	9.5
8107_MTA-1	MTA_S_8107	MTA_S_129416	ACSR.1/0,ACSR.1/0,ACSR.1/0,ACSR.2,NONE,3CP	Línea aérea por fase	13.6	13.800	41.9	275	224	355	77.52	15.1	-39.40	0.0	0.0	9.5
129416_MTA-1	MTA_S_129416	MTA_S_129417	ACSR.1/0,ACSR.1/0,ACSR.1/0,ACSR.2,NONE,3CP	Línea aérea por fase	13.6	13.800	38.9	275	224	355	77.52	15.1	-39.40	0.0	0.0	9.5
129417_MTA-1	MTA_S_129417	MTA_S_8109	ACSR.1/0,ACSR.1/0,ACSR.1/0,ACSR.2,NONE,3CP	Línea aérea por fase	13.6	13.800	0.6	275	224	355	77.51	15.1	-39.40	0.0	0.0	9.5
8109_MTA-1	MTA_S_8109	MTA_L_8109	ACSR.1/0,ACSR.1/0,ACSR.1/0,ACSR.2,NONE,3CP	Línea aérea por fase	13.6	13.800	5.5	275	224	355	77.51	15.1	-39.40	0.0	0.0	9.5
129941_MTA-1	MTA_L_8109	MTA_S_129942	NONE,NONE,ACSR.2,ACSR.4,NONE,1CP	Línea aérea por fase		13.800	25.5	6	5	7	76.85	0.9	-40.00	0.0	0.0	0.5
129942_MTA-1	MTA_S_129942	MTA_S_8113	NONE,NONE,ACSR.2,ACSR.4,NONE,1CP	Línea aérea por fase		13.800	0.5	6	5	7	76.82	0.9	-40.03	0.0	0.0	0.5
8113_MTA-1	MTA_S_8113	MTA_S_11581	NONE,NONE,ACSR.2,ACSR.4,NONE,1CP	Línea aérea por fase		13.800	44.7	6	5	7	76.82	0.9	-40.03	0.0	0.0	0.5
11581_MTA-1	MTA_S_11581	MTA_L_11581	NONE,NONE,AAAC5005.2,AAAC5005.2,NONE,1CP	Línea aérea por fase		13.800	0.4	6	5	7	76.77	0.9	-40.07	0.0	0.0	0.8
14246_MTA-1	MTA_L_11581	MTA_L_14246	NONE,NONE,AAAC5005.2,AAAC5005.2,NONE,1CP	Línea aérea por fase		13.800	0.4	6	5	7	76.77	0.9	-40.07	0.0	0.0	0.8
I14246_MTA-1	MTA_L_14246	IMTA_L_14246	NONE,NONE,AAAC5005.2,AAAC5005.2,NONE,1CP	Línea aérea por fase		0.240	0.0	5	5	7	76.73	52.6	-40.56	0.0	0.0	48.2
8110_MTA-1	MTA_L_8109	MTA_S_8111	NONE,NONE,ACSR.2,ACSR.4,NONE,1CP	Línea aérea por fase		13.800	11.0	8	6	10	76.90	1.3	-39.95	0.0	0.0	0.7
10491_MTA-1	MTA_S_8111	MTA_S_14247	NONE,NONE,AAAC5005.2,AAAC5005.2,NONE,1CP	Línea aérea por fase		13.800	0.4	2	2	3	76.95	0.4	-39.91	0.0	0.0	0.3
14247_MTA-1	MTA_S_14247	MTA_L_14247	NONE,NONE,AAAC5005.2,AAAC5005.2,NONE,1CP	Línea aérea por fase		13.800	0.4	2	2	3	76.95	0.4	-39.91	0.0	0.0	0.3
I14247_MTA-1	MTA_L_14247	IMTA_L_14247	NONE,NONE,AAAC5005.2,AAAC5005.2,NONE,1CP	Línea aérea por fase		0.240	0.0	2	2	3	76.73	21.0	-40.56	0.0	0.0	19.3
8111_MTA-1	MTA_S_8111	MTA_S_10492	NONE,NONE,ACSR.2,ACSR.4,NONE,1CP	Línea aérea por fase		13.800	88.1	6	5	7	76.87	0.9	-39.98	0.0	0.0	0.5
10492_MTA-1	MTA_S_10492	MTA_S_14248	NONE,NONE,AAAC5005.2,AAAC5005.2,NONE,1CP	Línea aérea por fase		13.800	0.4	6	5	7	76.77	0.9	-40.07	0.0	0.0	0.8
14248_MTA-1	MTA_S_14248	MTA_L_14248	NONE,NONE,AAAC5005.2,AAAC5005.2,NONE,1CP	Línea aérea por fase		13.800	0.4	6	5	7	76.77	0.9	-40.07	0.0	0.0	0.8
I14248_MTA-1	MTA_L_14248	IMTA_L_14248	NONE,NONE,AAAC5005.2,AAAC5005.2,NONE,1CP	Línea aérea por fase		0.240	0.0	5	5	7	76.73	52.6	-40.56	0.0	0.0	48.2
8114_MTA-1	MTA_L_8109	MTA_S_8115	ACSR.1/0,ACSR.1/0,ACSR.1/0,ACSR.2,NONE,3CP	Línea aérea por fase	13.6	13.800	40.8	262	213	337	77.55	14.3	-39.37	0.0	0.0	9.5
8115_MTA-1	MTA_S_8115	MTA_S_8116	ACSR.1/0,ACSR.1/0,ACSR.1/0,ACSR.2,NONE,3CP	Línea aérea por fase	13.6	13.800	39.4	262	213	337	77.54	14.3	-39.38	0.0	0.0	9.5
10493_MTA-1	MTA_S_8116	MTA_L_10493	AAAC5005.2,AAAC5005.2,AAAC5005.2,AAAC5005.2,NONE,3CP	Línea aérea por fase	13.6	13.800	0.4	10	8	13	76.85	0.6	-39.99	0.0	0.0	0.5
14249_MTA-1	MTA_L_10493	MTA_L_14249	AAAC5005.2,AAAC5005.2,AAAC5005.2,AAAC5005.2,NONE,3CP	Línea aérea por fase	13.6	13.800	0.4	10	8	13	76.85	0.6	-39.99	0.0	0.0	0.5
I14249_MTA-1	MTA_L_14249	IMTA_L_14249	AAAC5005.2,AAAC5005.2,AAAC5005.2,AAAC5005.2,NONE,3CP	Línea aérea por fase	0.2	0.240	0.0	10	8	13	76.73	31.6	-10.55	0.0	0.0	29.0
8116_MTA-1	MTA_S_8116	MTA_S_5565	ACSR.1/0,ACSR.1/0,ACSR.1/0,ACSR.2,NONE,3CP	Línea aérea por fase	13.6	13.800	6.6	251	205	324	77.57	13.8	-39.36	0.0	0.0	9.3

Flujo de carga - Líneas y cables

Nro. equipo	Nodo origen	Nodo destino	Id equipo	Código	V (kVLL)	Tensión de base (kVLL)	Longitud (m)	Potencia total de paso (kW)	Potencia total de paso (kvar)	Potencia total de paso (kVA)	Fp promedio (%)	IEquil (A)	Desfase I (°)	Pérdidas totales (kW)	Pérdidas totales (kvar)	Carga (%)
5565_MTA-1	MTA_S_5565	MTA_L_4745	ACSR.1/0,ACSR.1/0,ACSR.1/0,ACSR.2,NONE,3CP	Línea aérea por fase	13.6	13.800	11.4	0	0	0	0.00	0.0	89.79	-0.0	-0.0	0.0
7715_MTA-1	MTA_S_5565	MTA_S_11579	ACSR.1/0,ACSR.1/0,ACSR.1/0,ACSR.2,NONE,3CP	Línea aérea por fase	13.6	13.800	31.0	21	17	27	77.49	1.1	-39.39	0.0	0.0	0.8
11579_MTA-1	MTA_S_11579	MTA_S_13566	NONE,NONE,AAAC5005.2,AAAC5005.2,NONE,1CP	Línea aérea por fase		13.800	0.4	6	5	7	76.77	0.9	-40.07	0.0	0.0	0.8
13566_MTA-1	MTA_S_13566	MTA_L_13566	NONE,NONE,AAAC5005.2,AAAC5005.2,NONE,1CP	Línea aérea por fase		13.800	0.4	6	5	7	76.77	0.9	-40.07	0.0	0.0	0.8
113566_MTA-1	MTA_L_13566	IMTA_L_13566	NONE,NONE,AAAC5005.2,AAAC5005.2,NONE,1CP	Línea aérea por fase		0.240	0.0	5	5	7	76.73	52.6	-40.56	0.0	0.0	48.2
7716_MTA-1	MTA_S_11579	MTA_L_7716	ACSR.1/0,ACSR.1/0,ACSR.1/0,ACSR.2,NONE,3CP	Línea aérea por fase	13.6	13.800	40.1	15	12	19	77.71	0.8	-39.18	0.0	0.0	0.8
11580_MTA-1	MTA_L_7716	MTA_L_11580	AAAC5005.2,AAAC5005.2,AAAC5005.2,AAAC5005.2,NONE,3CP	Línea aérea por fase	13.6	13.800	0.4	7	6	9	76.93	0.4	-39.92	0.0	0.0	0.3
13567_MTA-1	MTA_L_11580	MTA_L_13567	AAAC5005.2,AAAC5005.2,AAAC5005.2,AAAC5005.2,NONE,3CP	Línea aérea por fase	13.6	13.800	0.4	7	6	9	76.93	0.4	-39.92	0.0	0.0	0.3
113567_MTA-1	MTA_L_13567	IMTA_L_13567	AAAC5005.2,AAAC5005.2,AAAC5005.2,AAAC5005.2,NONE,3CP	Línea aérea por fase	0.2	0.240	0.0	7	5	9	76.73	21.1	-10.55	0.0	0.0	19.3
7717_MTA-1	MTA_L_7716	MTA_L_7717	ACSR.1/0,ACSR.1/0,ACSR.1/0,ACSR.2,NONE,3CP	Línea aérea por fase	13.6	13.800	41.1	8	7	11	77.99	0.5	-38.69	0.0	0.0	0.6
175162_MTA-1	MTA_L_7717	MTA_L_175162	AAAC5005.2,NONE,NONE,AAAC5005.2,NONE,1CP	Línea aérea por fase		13.800	1.7	8	7	11	78.08	1.4	-38.81	0.0	0.0	1.2
18838_MTS-1	MTA_L_175162	MTS_L_18838	1P_15KV.CU.2	Cable		13.800	1.5	8	7	11	78.08	1.4	-38.81	0.0	0.0	0.6
38735_MTS-1	MTS_L_18838	MTS_L_38735	1P_15KV.CU.2	Cable		13.800	11.4	8	7	11	78.07	1.4	-38.83	0.0	0.0	0.6
39040_MTS-1	MTS_L_38735	MTS_L_39040	1P_15KV.CU.2	Cable		13.800	15.6	8	7	11	77.95	1.4	-38.94	0.0	0.0	0.6
39041_MTS-1	MTS_L_39040	MTS_L_39041	1P_15KV.CU.2	Cable		13.800	9.8	8	7	11	77.79	1.4	-39.08	0.0	0.0	0.6
39042_MTS-1	MTS_L_39041	MTS_L_39042	1P_15KV.CU.2	Cable		13.800	11.7	8	7	11	77.69	1.4	-39.17	0.0	0.0	0.6
39044_MTS-1	MTS_L_39042	MTS_L_39044	1P_15KV.CU.2	Cable		13.800	3.8	8	7	11	77.57	1.4	-39.28	0.0	0.0	0.6
39045_MTS-1	MTS_S_39046	MTS_L_39044	1P_15KV.CU.2	Cable		13.800	6.5	8	7	11	77.53	1.4	-39.32	0.0	0.0	0.6
39046_MTS-1	MTS_S_39046	MTS_L_39046	1P_15KV.CU.2	Cable		13.800	17.2	8	7	11	77.46	1.4	-39.38	0.0	0.0	0.6
39047_MTS-1	MTS_L_39046	MTS_L_39047	1P_15KV.CU.2	Cable		13.800	37.3	8	7	11	77.29	1.4	-39.54	0.0	0.0	0.6
39049_MTS-1	MTS_L_39047	MTS_L_39049	1P_15KV.CU.2	Cable		13.800	5.3	8	7	11	76.91	1.4	-39.88	0.0	0.0	0.6
39051_MTS-1	MTS_L_39049	MTS_L_39051	1P_15KV.CU.2	Cable		13.800	11.9	8	7	11	76.86	1.4	-39.93	0.0	0.0	0.6
39052_MTS-1	MTS_L_39051	MTS_L_39052	1P_15KV.CU.2	Cable		13.800	1.7	8	7	11	76.74	1.4	-40.03	0.0	0.0	0.6
39054_MTS-1	MTS_L_39052	MTS_L_39054	1P_15KV.CU.3/0	Cable		13.800	0.5	8	7	11	76.72	1.4	-40.05	0.0	0.0	0.3
39055_MTS-1	MTS_L_39054	MTS_L_39055	1P_15KV.CU.3/0	Cable		13.800	0.5	8	7	11	76.71	1.4	-40.05	0.0	0.0	0.3
139055_MTS-1	MTS_L_39055	IMTS_L_39055	1P_15KV.CU.3/0	Cable		0.240	0.0	8	7	11	76.73	79.0	-40.49	0.0	0.0	18.8
7718_MTA-1	MTA_S_5565	MTA_L_7718	ACSR.1/0,ACSR.1/0,ACSR.1/0,ACSR.2,NONE,3CP	Línea aérea por fase	13.6	13.800	30.0	231	188	298	77.57	12.7	-39.36	0.0	0.0	9.1
7719_MTA-1	MTA_L_7718	MTA_L_7719	ACSR.1/0,ACSR.1/0,ACSR.1/0,ACSR.2,NONE,3CP	Línea aérea por fase	13.6	13.800	34.3	231	188	298	77.57	12.7	-39.36	0.0	0.0	9.1

Flujo de carga - Líneas y cables

Nro. equipo	Nodo origen	Nodo destino	Id equipo	Código	V (kVLL)	Tensión de base (kVLL)	Longitud (m)	Potencia total de paso (kW)	Potencia total de paso (kvar)	Potencia total de paso (kVA)	Fp promedio (%)	IEquil (A)	Desfase I (°)	Pérdidas totales (kW)	Pérdidas totales (kvar)	Carga (%)
7720_MTA-1	MTA_L_7719	MTA_S_7721	ACSR.1/0,ACSR.1/0,ACSR.1/0,ACSR.2,NONE,3CP	Línea aérea por fase	13.6	13.800	44.7	231	188	298	77.57	12.7	-39.36	0.0	0.0	9.1
11585_MTA-1	MTA_S_7721	MTA_L_11585	AAAC5005.2,NONE,NONE,AAAC5005.2,NONE,1CP	Línea aérea por fase		13.800	0.4	8	7	11	76.71	1.4	-40.06	0.0	0.0	1.3
13572_MTA-1	MTA_L_11585	MTA_L_13572	AAAC5005.2,NONE,NONE,AAAC5005.2,NONE,1CP	Línea aérea por fase		13.800	1.0	8	7	11	76.71	1.4	-40.06	0.0	0.0	1.3
113572_MTA-1	MTA_L_13572	IMTA_L_13572	AAAC5005.2,NONE,NONE,AAAC5005.2,NONE,1CP	Línea aérea por fase		0.240	0.0	8	7	11	76.73	79.0	-40.49	0.0	0.0	72.5
7721_MTA-1	MTA_S_7721	MTA_S_7722	ACSR.1/0,ACSR.1/0,ACSR.1/0,ACSR.2,NONE,3CP	Línea aérea por fase	13.6	13.800	43.7	222	181	287	77.59	12.2	-39.34	0.0	0.0	9.1
11327_MTA-1	MTA_S_7722	MTA_S_13311	AAAC5005.2,NONE,NONE,AAAC5005.2,NONE,1CP	Línea aérea por fase		13.800	0.4	6	5	7	76.77	0.9	-40.00	0.0	0.0	0.8
13311_MTA-1	MTA_S_13311	MTA_L_13311	AAAC5005.2,NONE,NONE,AAAC5005.2,NONE,1CP	Línea aérea por fase		13.800	0.4	6	5	7	76.77	0.9	-40.00	0.0	0.0	0.8
113311_MTA-1	MTA_L_13311	IMTA_L_13311	AAAC5005.2,NONE,NONE,AAAC5005.2,NONE,1CP	Línea aérea por fase		0.240	0.0	5	5	7	76.73	52.7	-40.49	0.0	0.0	48.3
7722_MTA-1	MTA_S_7722	MTA_L_7722	ACSR.1/0,ACSR.1/0,ACSR.1/0,ACSR.2,NONE,3CP	Línea aérea por fase	13.6	13.800	37.3	217	176	279	77.61	11.9	-39.33	0.0	0.0	9.1
163300_MTA-1	MTA_S_163300	MTA_L_7722	AAAC5005.2,AAAC5005.2,AAAC5005.2,AAAC5005.2,NONE,3CP	Línea aérea por fase	13.6	13.800	1.8	11	9	14	77.76	0.6	-39.17	0.0	0.0	0.6
30406_MTS-1	MTA_S_163300	MTS_L_30406	3P_15KV.CU.2	Cable	13.6	13.800	3.0	11	9	14	77.76	0.6	-39.17	0.0	0.0	0.3
30407_MTS-1	MTS_L_30406	MTS_L_30407	3P_15KV.CU.2	Cable	13.6	13.800	14.1	11	9	14	77.66	0.6	-39.27	0.0	0.0	0.3
34892_MTS-1	MTS_L_30407	MTS_L_34892	3P_15KV.CU.2	Cable	13.6	13.800	10.5	11	9	14	77.17	0.6	-39.71	0.0	0.0	0.3
34893_MTS-1	MTS_L_34892	MTS_L_34893	3P_15KV.CU.2	Cable	13.6	13.800	0.3	11	9	15	76.81	0.6	-40.03	0.0	0.0	0.3
365_MTS-1	MTS_L_34893	MTS_L_365	3P_15KV.CU.3/0	Cable	13.6	13.800	0.3	11	9	15	76.80	0.6	-40.04	0.0	-0.0	0.2
483_MTS-1	MTS_L_365	MTS_L_483	3P_15KV.CU.3/0	Cable	13.6	13.800	0.4	11	9	15	76.79	0.6	-40.05	0.0	-0.0	0.2
1483_MTS-1	MTS_L_483	IMTS_L_483	3P_15KV.CU.3/0	Cable	0.2	0.240	0.0	11	9	14	76.73	35.1	-10.55	0.0	0.0	11.7
7723_MTA-1	MTA_L_7722	MTA_L_7723	ACSR.1/0,ACSR.1/0,ACSR.1/0,ACSR.2,NONE,3CP	Línea aérea por fase	13.6	13.800	29.6	206	167	265	77.60	11.3	-39.34	0.0	0.0	8.9
7724_MTA-1	MTA_L_7723	MTA_L_7724	ACSR.1/0,ACSR.1/0,ACSR.1/0,ACSR.2,NONE,3CP	Línea aérea por fase	13.6	13.800	17.6	0	0	0	0.00	0.0	89.79	-0.0	-0.0	0.0
98911_MTA-1	MTA_L_7724	MTA_L_98911	ACSR.1/0,ACSR.1/0,ACSR.1/0,ACSR.2,NONE,3CP	Línea aérea por fase	13.6	13.800	1.0	0	0	0	0.00	0.0	89.79	-0.0	-0.0	0.0
98912_MTA-1	MTA_L_98911	MTA_L_98912	ACSR.1/0,ACSR.1/0,ACSR.1/0,ACSR.2,NONE,3CP	Línea aérea por fase	13.6	13.800	43.5	0	0	0	0.00	0.0	89.79	-0.0	-0.0	0.0
7753_MTA-1	MTA_L_98912	MTA_L_7753	ACSR.1/0,ACSR.1/0,ACSR.1/0,ACSR.2,NONE,3CP	Línea aérea por fase	13.6	13.800	57.6	0	0	0	0.00	0.0	89.79	-0.0	-0.0	0.0
7726_MTA-1	MTA_L_7723	MTA_L_7726	ACSR.1/0,ACSR.1/0,ACSR.1/0,ACSR.2,NONE,3CP	Línea aérea por fase	13.6	13.800	8.1	206	167	265	77.57	11.3	-39.36	0.0	0.0	8.9
10494_MTA-1	MTA_L_7726	MTA_S_14250	AAAC5005.2,AAAC5005.2,AAAC5005.2,AAAC5005.2,NONE,3CP	Línea aérea por fase	13.6	13.800	0.4	10	8	13	76.85	0.6	-39.99	0.0	0.0	0.5
14250_MTA-1	MTA_S_14250	MTA_L_14250	AAAC5005.2,AAAC5005.2,AAAC5005.2,AAAC5005.2,NONE,3CP	Línea aérea por fase	13.6	13.800	0.4	10	8	13	76.85	0.6	-39.99	0.0	0.0	0.5
114250_MTA-1	MTA_L_14250	IMTA_L_14250	AAAC5005.2,AAAC5005.2,AAAC5005.2,AAAC5005.2,NONE,3CP	Línea aérea por fase	0.2	0.240	0.0	10	8	13	76.73	31.6	-10.55	0.0	0.0	29.0
7727_MTA-1	MTA_L_7726	MTA_L_7727	ACSR.1/0,ACSR.1/0,ACSR.1/0,ACSR.2,NONE,3CP	Línea aérea por fase	13.6	13.800	38.1	196	159	252	77.61	10.7	-39.33	0.0	0.0	8.6

Flujo de carga - Líneas y cables

Nro. equipo	Nodo origen	Nodo destino	Id equipo	Código	V (kVLL)	Tensión de base (kVLL)	Longitud (m)	Potencia total de paso (kW)	Potencia total de paso (kvar)	Potencia total de paso (kVA)	Fp promedio (%)	IEquil (A)	Desfase I (°)	Pérdidas totales (kW)	Pérdidas totales (kvar)	Carga (%)
7728_MTA-1	MTA_L_7727	MTA_S_98894	ACSR.1/0,ACSR.1/0,ACSR.1/0,ACSR.2,NONE,3CP	Línea aérea por fase	13.6	13.800	41.2	196	159	252	77.61	10.7	-39.33	0.0	0.0	8.6
88083_MTA-1	MTA_S_98894	MTA_L_88083	ACSR.1/0,ACSR.1/0,ACSR.1/0,ACSR.2,NONE,3CP	Línea aérea por fase	13.6	13.800	0.8	184	150	238	77.65	10.1	-39.30	0.0	0.0	8.4
88084_MTA-1	MTA_L_88083	MTA_L_88084	ACSR.1/0,ACSR.1/0,ACSR.1/0,ACSR.2,NONE,3CP	Línea aérea por fase	13.6	13.800	40.3	178	144	229	77.65	9.7	-39.30	0.0	0.0	8.2
5752_MTA-1	MTA_L_88084	MTA_L_5752	ACSR.1/0,ACSR.1/0,ACSR.1/0,ACSR.2,NONE,3CP	Línea aérea por fase	13.6	13.800	40.1	178	144	229	77.65	9.7	-39.30	0.0	0.0	8.2
157923_MTA-1	MTA_L_5752	MTA_L_157923	ACSR.1/0,ACSR.1/0,ACSR.1/0,ACSR.2,NONE,3CP	Línea aérea por fase	13.6	13.800	39.7	178	144	229	77.64	9.7	-39.31	0.0	0.0	8.2
7298_MTA-1	MTA_L_157923	MTA_L_7298	ACSR.1/0,ACSR.1/0,ACSR.1/0,ACSR.2,NONE,3CP	Línea aérea por fase	13.6	13.800	21.5	178	144	229	77.64	9.7	-39.31	0.0	0.0	8.2
6561_MTA-1	MTA_S_6561	MTA_L_7298	ACSR.1/0,ACSR.1/0,ACSR.1/0,ACSR.2,NONE,3CP	Línea aérea por fase	13.6	13.800	11.6	0	0	0	0.00	0.0	89.79	-0.0	-0.0	0.0
6562_MTA-1	MTA_L_7298	MTA_L_6562	ACSR.1/0,ACSR.1/0,ACSR.1/0,ACSR.2,NONE,3CP	Línea aérea por fase	13.6	13.800	16.3	75	61	97	77.82	4.1	-39.14	0.0	0.0	3.2
6563_MTA-1	MTA_L_6562	MTA_S_99827	ACSR.1/0,ACSR.1/0,ACSR.1/0,ACSR.2,NONE,3CP	Línea aérea por fase	13.6	13.800	41.3	75	61	97	77.82	4.1	-39.15	0.0	0.0	3.2
99827_MTA-1	MTA_S_99827	MTA_S_99828	ACSR.1/0,ACSR.1/0,ACSR.1/0,ACSR.2,NONE,3CP	Línea aérea por fase	13.6	13.800	1.1	75	61	97	77.80	4.1	-39.16	0.0	0.0	3.2
99828_MTA-1	MTA_S_99828	MTA_S_98890	ACSR.1/0,ACSR.1/0,ACSR.1/0,ACSR.2,NONE,3CP	Línea aérea por fase	13.6	13.800	4.3	75	61	97	77.80	4.1	-39.16	0.0	0.0	3.2
7217_MTA-1	MTA_S_98890	MTA_L_7217	NONE,ACSR.2,NONE,ACSR.2,NONE,1CP	Línea aérea por fase		13.800	29.7	6	5	7	76.88	0.9	-40.03	0.0	0.0	0.5
7218_MTA-1	MTA_L_7217	MTA_L_7218	NONE,ACSR.2,NONE,ACSR.2,NONE,1CP	Línea aérea por fase		13.800	37.3	6	5	7	76.85	0.9	-40.06	0.0	0.0	0.5
7219_MTA-1	MTA_L_7218	MTA_L_7219	NONE,ACSR.2,NONE,ACSR.2,NONE,1CP	Línea aérea por fase		13.800	44.2	6	5	7	76.81	0.9	-40.09	0.0	0.0	0.5
10495_MTA-1	MTA_L_7219	MTA_L_10495	NONE,AAAC5005.2,NONE,AAAC5005.2,NONE,1CP	Línea aérea por fase		13.800	0.4	6	5	7	76.76	0.9	-40.14	0.0	0.0	0.9
14251_MTA-1	MTA_L_10495	MTA_L_14251	NONE,AAAC5005.2,NONE,AAAC5005.2,NONE,1CP	Línea aérea por fase		13.800	0.4	6	5	7	76.76	0.9	-40.14	0.0	0.0	0.9
114251_MTA-1	MTA_L_14251	IMTA_L_14251	NONE,AAAC5005.2,NONE,AAAC5005.2,NONE,1CP	Línea aérea por fase		0.240	0.0	5	5	7	76.73	52.9	-40.62	0.0	0.0	48.5
7220_MTA-1	MTA_S_98890	MTA_L_7220	ACSR.1/0,ACSR.1/0,ACSR.1/0,ACSR.2,NONE,3CP	Línea aérea por fase	13.6	13.800	30.2	57	46	73	78.08	3.1	-38.90	0.0	0.0	1.9
27210_MTS-1	MTA_L_7220	MTS_L_27210	3P_15KV.CU.3/0	Cable	13.6	13.800	1.1	57	46	73	78.06	3.1	-38.91	0.0	0.0	1.5
27211_MTS-1	MTS_L_27210	MTS_L_27211	3P_15KV.CU.3/0	Cable	13.6	13.800	3.2	57	46	73	78.05	3.1	-38.92	0.0	0.0	1.5
27212_MTS-1	MTS_L_27211	MTS_L_27212	3P_15KV.CU.3/0	Cable	13.6	13.800	6.2	57	46	73	78.02	3.1	-38.95	0.0	0.0	1.5
27213_MTS-1	MTS_L_27212	MTS_L_27213	3P_15KV.CU.3/0	Cable	13.6	13.800	9.9	57	46	73	77.96	3.1	-39.00	0.0	0.0	1.5
27214_MTS-1	MTS_L_27213	MTS_L_27214	3P_15KV.CU.3/0	Cable	13.6	13.800	41.4	57	46	74	77.86	3.1	-39.09	0.0	0.0	1.5
27215_MTS-1	MTS_L_27214	MTS_L_27215	3P_15KV.CU.3/0	Cable	13.6	13.800	8.7	39	32	51	76.87	2.2	-39.98	0.0	0.0	0.7
27520_MTS-1	MTS_L_27215	MTS_L_27520	3P_15KV.CU.3/0	Cable	13.6	13.800	1.8	39	33	51	76.74	2.2	-40.09	0.0	0.0	0.7
100460_MTA-1	MTS_L_27520	MTA_L_100460	AAAC5005.2,AAAC5005.2,AAAC5005.2,AAAC5005.2,NONE,3CP	Línea aérea por fase	13.6	13.800	0.9	39	33	51	76.71	2.2	-40.12	0.0	0.0	2.0
7622_MTA-1	MTA_L_100460	MTA_S_14508	ACSR.1/0,ACSR.1/0,ACSR.1/0,ACSR.2,NONE,3CP	Línea aérea por fase	13.6	13.800	22.0	39	33	51	76.71	2.2	-40.12	0.0	0.0	0.9

Flujo de carga - Líneas y cables

Nro. equipo	Nodo origen	Nodo destino	Id equipo	Código	V (kVLL)	Tensión de base (kVLL)	Longitud (m)	Potencia total de paso (kW)	Potencia total de paso (kvar)	Potencia total de paso (kVA)	Fp promedio (%)	IEquil (A)	Desfase I (°)	Pérdidas totales (kW)	Pérdidas totales (kvar)	Carga (%)
11295_MTA-1	MTA_S_14508	MTA_L_11295	AAAC5005.2,AAAC5005.2,AAAC5005.2,AAAC5005.2,NONE,3CP	Línea aérea por fase	13.6	13.800	0.4	17	14	22	76.72	0.9	-40.12	0.0	0.0	0.8
13278_MTA-1	MTA_L_11295	MTA_L_13278	AAAC5005.2,AAAC5005.2,AAAC5005.2,AAAC5005.2,NONE,3CP	Línea aérea por fase	13.6	13.800	0.4	17	14	22	76.71	0.9	-40.12	0.0	0.0	0.8
113278_MTA-1	MTA_L_13278	IMTA_L_13278	AAAC5005.2,AAAC5005.2,AAAC5005.2,AAAC5005.2,NONE,3CP	Línea aérea por fase	0.2	0.240	0.0	16	14	21	76.73	52.7	-10.56	0.0	0.0	48.4
14508_MTA-1	MTA_S_14508	MTA_S_14509	ACSR.1/0,ACSR.1/0,ACSR.1/0,ACSR.2,NONE,3CP	Línea aérea por fase	13.6	13.800	3.3	22	19	29	76.68	1.2	-40.14	0.0	0.0	0.5
14509_MTA-1	MTA_S_14509	MTA_S_13279	AAAC5005.2,AAAC5005.2,AAAC5005.2,AAAC5005.2,NONE,3CP	Línea aérea por fase	13.6	13.800	0.4	22	19	29	76.68	1.2	-40.15	0.0	0.0	1.1
13279_MTA-1	MTA_S_13279	MTA_L_13279	AAAC5005.2,AAAC5005.2,AAAC5005.2,AAAC5005.2,NONE,3CP	Línea aérea por fase	13.6	13.800	0.4	22	19	29	76.68	1.2	-40.15	0.0	0.0	1.1
113279_MTA-1	MTA_L_13279	IMTA_L_13279	AAAC5005.2,AAAC5005.2,AAAC5005.2,AAAC5005.2,NONE,3CP	Línea aérea por fase	0.2	0.240	0.0	22	18	28	76.73	70.3	-10.56	0.0	0.0	64.5
27521_MTS-1	MTS_L_27214	MTS_L_27521	3P_15KV.CU.3/0	Cable	13.6	13.800	31.5	18	14	23	78.67	1.0	-38.35	0.0	0.0	0.8
27522_MTS-1	MTS_L_27521	MTA_L_100459	3P_15KV.CU.3/0	Cable	13.6	13.800	1.7	18	15	24	77.72	1.0	-39.25	0.0	0.0	0.8
100459_MTA-1	MTA_S_7512	MTA_L_100459	AAAC5005.2,AAAC5005.2,AAAC5005.2,AAAC5005.2,NONE,3CP	Línea aérea por fase	13.6	13.800	0.8	18	15	24	77.66	1.0	-39.29	0.0	0.0	2.1
7512_MTA-1	MTA_S_7512	MTA_S_7513	ACSR.1/0,ACSR.1/0,ACSR.1/0,ACSR.2,NONE,3CP	Línea aérea por fase	13.6	13.800	19.4	18	15	24	77.66	1.0	-39.29	0.0	0.0	1.0
7513_MTA-1	MTA_S_7513	MTA_S_7514	ACSR.1/0,ACSR.1/0,ACSR.1/0,ACSR.2,NONE,3CP	Línea aérea por fase	13.6	13.800	33.8	18	15	24	77.64	1.0	-39.32	0.0	0.0	1.0
11296_MTA-1	MTA_S_7514	MTA_L_11296	AAAC5005.2,AAAC5005.2,AAAC5005.2,AAAC5005.2,NONE,3CP	Línea aérea por fase	13.6	13.800	0.4	7	6	9	76.93	0.4	-39.93	0.0	0.0	0.3
13280_MTA-1	MTA_L_11296	MTA_L_13280	AAAC5005.2,AAAC5005.2,AAAC5005.2,AAAC5005.2,NONE,3CP	Línea aérea por fase	13.6	13.800	0.4	7	6	9	76.92	0.4	-39.93	0.0	0.0	0.3
113280_MTA-1	MTA_L_13280	IMTA_L_13280	AAAC5005.2,AAAC5005.2,AAAC5005.2,AAAC5005.2,NONE,3CP	Línea aérea por fase	0.2	0.240	0.0	7	5	9	76.73	21.1	-10.56	0.0	0.0	19.4
7514_MTA-1	MTA_S_7514	MTA_S_7515	ACSR.1/0,ACSR.1/0,ACSR.1/0,ACSR.2,NONE,3CP	Línea aérea por fase	13.6	13.800	38.6	12	9	15	76.83	0.6	-39.03	0.0	0.0	0.8
7515_MTA-1	MTA_S_7515	MTA_L_7515	ACSR.1/0,ACSR.1/0,ACSR.1/0,ACSR.2,NONE,3CP	Línea aérea por fase	13.6	13.800	42.5	12	9	15	76.88	0.6	-39.11	0.0	0.0	0.8
7516_MTA-1	MTA_L_7515	MTA_L_7516	ACSR.1/0,ACSR.1/0,ACSR.1/0,ACSR.2,NONE,3CP	Línea aérea por fase	13.6	13.800	23.1	12	9	15	76.92	0.6	-39.20	0.0	0.0	0.8
7125_MTA-1	MTA_L_7516	MTA_L_7125	ACSR.2,NONE,NONE,ACSR.4,NONE,1CP	Línea aérea por fase		13.800	16.8	0	0	0	-0.00	0.0	89.87	0.0	-0.0	0.0
7517_MTA-1	MTA_L_7516	MTA_L_7517	ACSR.1/0,ACSR.1/0,ACSR.1/0,ACSR.2,NONE,3CP	Línea aérea por fase	13.6	13.800	17.1	12	9	15	76.96	0.6	-39.27	0.0	0.0	0.8
100472_MTA-1	MTA_L_7517	MTA_S_100473	ACSR.1/0,ACSR.1/0,ACSR.1/0,ACSR.2,NONE,3CP	Línea aérea por fase	13.6	13.800	0.8	8	7	11	77.03	0.5	-38.99	0.0	0.0	0.6
100473_MTA-1	MTA_S_100473	MTA_L_100473	ACSR.1/0,ACSR.1/0,ACSR.1/0,ACSR.2,NONE,3CP	Línea aérea por fase	13.6	13.800	39.5	8	7	11	77.03	0.5	-38.99	0.0	0.0	0.6
11298_MTA-1	MTA_L_100473	MTA_L_11298	AAAC5005.2,AAAC5005.2,NONE,AAAC5005.2,NONE,2CP	Línea aérea por fase	13.6	13.800	0.4	3	2	3	78.21	0.2	-38.39	0.0	0.0	0.4
13282_MTA-1	MTA_L_11298	MTA_L_13282	AAAC5005.2,AAAC5005.2,NONE,AAAC5005.2,NONE,2CP	Línea aérea por fase	13.6	13.800	0.4	3	2	3	78.21	0.2	-38.39	0.0	0.0	0.4
113282_MTA-1	MTA_L_13282	IMTA_L_13282	AAAC5005.2,AAAC5005.2,NONE,AAAC5005.2,NONE,2CP	Línea aérea por fase	0.2	0.240	0.0	3	2	3	66.35	12.2	-10.43	0.0	0.0	12.9
7519_MTA-1	MTA_L_100473	MTA_L_7519	ACSR.1/0,ACSR.1/0,ACSR.1/0,ACSR.2,NONE,3CP	Línea aérea por fase	13.6	13.800	41.3	6	5	7	76.23	0.3	-39.45	0.0	0.0	0.4

Flujo de carga - Líneas y cables

Nro. equipo	Nodo origen	Nodo destino	Id equipo	Código	V (kVLL)	Tensión de base (kVLL)	Longitud (m)	Potencia total de paso (kW)	Potencia total de paso (kvar)	Potencia total de paso (kVA)	Fp promedio (%)	IEquil (A)	Desfase I (°)	Pérdidas totales (kW)	Pérdidas totales (kvar)	Carga (%)
7520_MTA-1	MTA_L_7519	MTA_S_7123	ACSR.1/0,ACSR.1/0,ACSR.1/0,ACSR.2,NONE,3CP	Línea aérea por fase	13.6	13.800	41.8	6	5	7	76.36	0.3	-39.62	0.0	0.0	0.4
7123_MTA-1	MTA_S_7123	MTA_S_9979	ACSR.1/0,ACSR.1/0,ACSR.1/0,ACSR.2,NONE,3CP	Línea aérea por fase	13.6	13.800	40.4	6	5	7	76.49	0.3	-39.80	0.0	0.0	0.4
93749_MTA-1	MTA_S_9979	MTA_S_93750	ACSR.1/0,ACSR.1/0,ACSR.1/0,ACSR.2,NONE,3CP	Línea aérea por fase	13.6	13.800	41.5	0	0	0	0.00	0.0	89.78	-0.0	-0.0	0.0
93750_MTA-1	MTA_S_93750	MTA_L_1105	ACSR.1/0,ACSR.1/0,ACSR.1/0,ACSR.2,NONE,3CP	Línea aérea por fase	13.6	13.800	0.5	0	0	0	0.00	0.0	89.78	-0.0	-0.0	0.0
9979_MTA-1	MTA_S_9979	MTA_L_9979	NONE,AAAC5005.2,NONE,AAAC5005.2,NONE,1CP	Línea aérea por fase		13.800	0.4	6	5	7	76.76	0.9	-40.14	0.0	0.0	0.9
14202_MTA-1	MTA_L_9979	MTA_L_14202	NONE,AAAC5005.2,NONE,AAAC5005.2,NONE,1CP	Línea aérea por fase		13.800	0.4	6	5	7	76.76	0.9	-40.14	0.0	0.0	0.9
I14202_MTA-1	MTA_L_14202	IMTA_L_14202	NONE,AAAC5005.2,NONE,AAAC5005.2,NONE,1CP	Línea aérea por fase		0.240	0.0	5	5	7	76.73	52.9	-40.62	0.0	0.0	48.5
11297_MTA-1	MTA_L_7517	MTA_L_11297	NONE,AAAC5005.2,NONE,AAAC5005.2,NONE,1CP	Línea aérea por fase		13.800	0.4	3	3	4	76.84	0.6	-40.06	0.0	0.0	0.5
13281_MTA-1	MTA_L_11297	MTA_L_13281	NONE,AAAC5005.2,NONE,AAAC5005.2,NONE,1CP	Línea aérea por fase		13.800	0.4	3	3	4	76.84	0.6	-40.06	0.0	0.0	0.5
I13281_MTA-1	MTA_L_13281	IMTA_L_13281	NONE,AAAC5005.2,NONE,AAAC5005.2,NONE,1CP	Línea aérea por fase		0.240	0.0	3	3	4	76.73	31.7	-40.62	0.0	0.0	29.1
83544_MTA-1	MTA_L_7516	MTA_S_83545	ACSR.2,NONE,NONE,ACSR.4,NONE,1CP	Línea aérea por fase		13.800	23.1	0	0	0	-0.00	0.0	89.87	0.0	-0.0	0.0
98890_MTA-1	MTA_S_98890	MTA_S_98891	NONE,ACSR.2,NONE,ACSR.4,NONE,1CP	Línea aérea por fase		13.800	25.7	12	10	16	76.93	2.0	-39.98	0.0	0.0	1.1
98891_MTA-1	MTA_S_98891	MTA_L_98891	NONE,ACSR.2,NONE,ACSR.4,NONE,1CP	Línea aérea por fase		13.800	1.0	12	10	16	76.92	2.0	-40.00	0.0	0.0	1.1
11357_MTA-1	MTA_L_98891	MTA_L_11357	NONE,AAAC5005.2,NONE,AAAC5005.2,NONE,1CP	Línea aérea por fase		13.800	0.3	3	3	4	76.84	0.6	-40.06	0.0	0.0	0.5
13341_MTA-1	MTA_L_11357	MTA_L_13341	NONE,AAAC5005.2,NONE,AAAC5005.2,NONE,1CP	Línea aérea por fase		13.800	0.4	3	3	4	76.84	0.6	-40.06	0.0	0.0	0.5
I13341_MTA-1	MTA_L_13341	IMTA_L_13341	NONE,AAAC5005.2,NONE,AAAC5005.2,NONE,1CP	Línea aérea por fase		0.240	0.0	3	3	4	76.73	31.7	-40.62	0.0	0.0	29.1
7127_MTA-1	MTA_L_98891	MTA_L_7127	NONE,ACSR.2,NONE,ACSR.4,NONE,1CP	Línea aérea por fase		13.800	46.4	9	7	12	76.95	1.5	-39.97	0.0	0.0	0.8
7128_MTA-1	MTA_L_7127	MTA_L_7128	NONE,ACSR.2,NONE,ACSR.4,NONE,1CP	Línea aérea por fase		13.800	41.3	9	7	12	76.91	1.5	-40.00	0.0	0.0	0.8
7129_MTA-1	MTA_L_7128	MTA_L_7129	NONE,ACSR.2,NONE,ACSR.4,NONE,1CP	Línea aérea por fase		13.800	40.3	9	7	12	76.88	1.5	-40.03	0.0	0.0	0.8
7130_MTA-1	MTA_L_7129	MTA_L_7130	NONE,ACSR.2,NONE,ACSR.4,NONE,1CP	Línea aérea por fase		13.800	40.2	9	7	12	76.86	1.5	-40.05	0.0	0.0	0.8
11299_MTA-1	MTA_L_7130	MTA_S_13283	NONE,AAAC5005.2,NONE,AAAC5005.2,NONE,1CP	Línea aérea por fase		13.800	0.4	3	3	4	76.84	0.6	-40.06	0.0	0.0	0.5
13283_MTA-1	MTA_S_13283	MTA_L_13283	NONE,AAAC5005.2,NONE,AAAC5005.2,NONE,1CP	Línea aérea por fase		13.800	0.4	3	3	4	76.84	0.6	-40.06	0.0	0.0	0.5
I13283_MTA-1	MTA_L_13283	IMTA_L_13283	NONE,AAAC5005.2,NONE,AAAC5005.2,NONE,1CP	Línea aérea por fase		0.240	0.0	3	3	4	76.73	31.7	-40.62	0.0	0.0	29.1
7131_MTA-1	MTA_L_7130	MTA_S_11300	NONE,ACSR.2,NONE,ACSR.4,NONE,1CP	Línea aérea por fase		13.800	53.1	6	5	7	76.82	0.9	-40.08	0.0	0.0	0.5
11300_MTA-1	MTA_S_11300	MTA_L_11300	NONE,AAAC5005.2,NONE,AAAC5005.2,NONE,1CP	Línea aérea por fase		13.800	0.4	6	5	7	76.76	0.9	-40.14	0.0	0.0	0.9

Flujo de carga - Líneas y cables

Nro. equipo	Nodo origen	Nodo destino	Id equipo	Código	V (kVLL)	Tensión de base (kVLL)	Longitud (m)	Potencia total de paso (kW)	Potencia total de paso (kvar)	Potencia total de paso (kVA)	Fp promedio (%)	IEquil (A)	Desfase I (°)	Pérdidas totales (kW)	Pérdidas totales (kvar)	Carga (%)
13284_MTA-1	MTA_L_11300	MTA_L_13284	NONE,AAAC5005.2,NONE,AAAC5005.2,NONE,1CP	Línea aérea por fase		13.800	0.4	6	5	7	76.76	0.9	-40.14	0.0	0.0	0.9
113284_MTA-1	MTA_L_13284	IMTA_L_13284	NONE,AAAC5005.2,NONE,AAAC5005.2,NONE,1CP	Línea aérea por fase		0.240	0.0	5	5	7	76.73	52.9	-40.62	0.0	0.0	48.5
7132_MTA-1	MTA_L_7298	MTA_L_7132	ACSR.1/0,ACSR.1/0,ACSR.1/0,ACSR.2,NONE,3CP	Línea aérea por fase	13.6	13.800	17.1	103	84	132	77.49	5.6	-39.45	0.0	0.0	5.0
6670_MTA-1	MTA_L_7132	MTA_L_6670	ACSR.1/0,ACSR.1/0,ACSR.1/0,ACSR.2,NONE,3CP	Línea aérea por fase	13.6	13.800	5.0	76	63	98	77.09	4.2	-39.82	0.0	0.0	4.5
98896_MTA-1	MTA_L_6670	MTA_L_98896	ACSR.1/0,ACSR.1/0,ACSR.1/0,ACSR.2,NONE,3CP	Línea aérea por fase	13.6	13.800	1.0	76	63	98	77.09	4.2	-39.82	0.0	0.0	4.5
98897_MTA-1	MTA_L_98896	MTA_L_98897	ACSR.1/0,ACSR.1/0,ACSR.1/0,ACSR.2,NONE,3CP	Línea aérea por fase	13.6	13.800	39.1	76	63	98	77.09	4.2	-39.83	0.0	0.0	4.5
11303_MTA-1	MTA_L_98897	MTA_L_11303	AAAC5005.2,AAAC5005.2,AAAC5005.2,AAAC5005.2,NONE,3CP	Línea aérea por fase	13.6	13.800	0.4	10	8	13	76.85	0.6	-40.00	0.0	0.0	0.5
13287_MTA-1	MTA_L_11303	MTA_L_13287	AAAC5005.2,AAAC5005.2,AAAC5005.2,AAAC5005.2,NONE,3CP	Línea aérea por fase	13.6	13.800	0.4	10	8	13	76.85	0.6	-40.00	0.0	0.0	0.5
113287_MTA-1	MTA_L_13287	IMTA_L_13287	AAAC5005.2,AAAC5005.2,AAAC5005.2,AAAC5005.2,NONE,3CP	Línea aérea por fase	0.2	0.240	0.0	10	8	13	76.73	31.6	-10.56	0.0	0.0	29.0
7982_MTA-1	MTA_L_98897	MTA_L_7982	ACSR.1/0,ACSR.1/0,ACSR.1/0,ACSR.2,NONE,3CP	Línea aérea por fase	13.6	13.800	41.1	66	54	85	77.11	3.6	-39.81	0.0	0.0	4.2
7623_MTA-1	MTA_L_7982	MTA_L_7623	ACSR.1/0,ACSR.1/0,ACSR.1/0,ACSR.2,NONE,3CP	Línea aérea por fase	13.6	13.800	41.1	66	54	85	77.09	3.6	-39.83	0.0	0.0	4.2
7624_MTA-1	MTA_L_7623	MTA_L_7624	ACSR.1/0,ACSR.1/0,ACSR.1/0,ACSR.2,NONE,3CP	Línea aérea por fase	13.6	13.800	45.2	66	54	85	77.08	3.6	-39.84	0.0	0.0	4.2
98914_MTA-1	MTA_L_7624	MTA_L_98914	NONE,AAAC5005.2,NONE,AAAC5005.2,NONE,1CP	Línea aérea por fase		13.800	0.4	6	5	7	76.76	0.9	-40.14	0.0	0.0	0.9
99171_MTA-1	MTA_L_98914	MTA_L_99171	NONE,AAAC5005.2,NONE,AAAC5005.2,NONE,1CP	Línea aérea por fase		13.800	0.4	6	5	7	76.76	0.9	-40.14	0.0	0.0	0.9
199171_MTA-1	MTA_L_99171	IMTA_L_99171	NONE,AAAC5005.2,NONE,AAAC5005.2,NONE,1CP	Línea aérea por fase		0.240	0.0	5	5	7	76.73	52.9	-40.62	0.0	0.0	48.5
99172_MTA-1	MTA_L_7624	MTA_L_99172	AAAC5005.2,AAAC5005.2,AAAC5005.2,AAAC5005.2,NONE,3CP	Línea aérea por fase	13.6	13.800	0.7	11	9	14	77.71	0.6	-39.22	0.0	0.0	0.6
27560_MTS-1	MTA_L_99172	MTS_L_27560	3P_15KV.CU.2	Cable	13.6	13.800	0.4	11	9	14	77.71	0.6	-39.22	0.0	0.0	0.3
27561_MTS-1	MTS_L_27560	MTS_L_27561	3P_15KV.CU.2	Cable	13.6	13.800	13.8	11	9	14	77.69	0.6	-39.23	0.0	0.0	0.3
27562_MTS-1	MTS_L_27561	MTS_L_27562	3P_15KV.CU.2	Cable	13.6	13.800	8.2	11	9	14	77.22	0.6	-39.66	0.0	0.0	0.3
27564_MTS-1	MTS_L_27562	MTS_L_27564	3P_15KV.CU.2	Cable	13.6	13.800	2.6	11	9	14	76.94	0.6	-39.91	0.0	0.0	0.3
27565_MTS-1	MTS_L_27564	MTS_L_27565	3P_15KV.CU.2	Cable	13.6	13.800	0.8	11	9	14	76.85	0.6	-39.99	0.0	0.0	0.3
27567_MTS-1	MTS_L_27565	MTS_L_27567	3P_15KV.CU.3/0	Cable	13.6	13.800	0.6	11	9	15	76.83	0.6	-40.02	0.0	-0.0	0.2
27568_MTS-1	MTS_L_27567	MTS_L_27568	3P_15KV.CU.3/0	Cable	13.6	13.800	0.5	11	9	15	76.79	0.6	-40.05	0.0	-0.0	0.2
127568_MTS-1	MTS_L_27568	IMTS_L_27568	3P_15KV.CU.3/0	Cable	0.2	0.240	0.0	11	9	14	76.73	35.1	-10.56	0.0	0.0	11.7
99173_MTA-1	MTA_L_7624	MTA_L_99173	NONE,ACSR.1/0,NONE,ACSR.2,NONE,1CP	Línea aérea por fase		13.800	1.2	49	41	64	76.95	8.2	-39.97	0.0	0.0	3.5
99174_MTA-1	MTA_L_99173	MTA_L_99174	NONE,ACSR.1/0,NONE,ACSR.2,NONE,1CP	Línea aérea por fase		13.800	41.9	49	41	64	76.95	8.2	-39.97	0.0	0.0	3.5
7773_MTA-1	MTA_L_99174	MTA_L_7773	NONE,ACSR.1/0,NONE,ACSR.2,NONE,1CP	Línea aérea por fase		13.800	44.1	49	41	64	76.95	8.2	-39.97	0.0	0.0	3.5

Flujo de carga - Líneas y cables

Nro. equipo	Nodo origen	Nodo destino	Id equipo	Código	V (kVLL)	Tensión de base (kVLL)	Longitud (m)	Potencia total de paso (kW)	Potencia total de paso (kvar)	Potencia total de paso (kVA)	Fp promedio (%)	IEquil (A)	Desfase I (°)	Pérdidas totales (kW)	Pérdidas totales (kvar)	Carga (%)
11305_MTA-1	MTA_L_7773	MTA_L_11305	NONE,AAAC5005.2,NONE,AAAC5005.2,NONE,1CP	Línea aérea por fase		13.800	0.4	8	7	11	76.70	1.4	-40.20	0.0	0.0	1.3
13289_MTA-1	MTA_L_11305	MTA_L_13289	NONE,AAAC5005.2,NONE,AAAC5005.2,NONE,1CP	Línea aérea por fase		13.800	0.4	8	7	11	76.70	1.4	-40.20	0.0	0.0	1.3
113289_MTA-1	MTA_L_13289	IMTA_L_13289	NONE,AAAC5005.2,NONE,AAAC5005.2,NONE,1CP	Línea aérea por fase		0.240	0.0	8	7	11	76.73	79.3	-40.62	0.0	0.0	72.8
7774_MTA-1	MTA_L_7773	MTA_L_7774	NONE,ACSR.1/0,NONE,ACSR.2,NONE,1CP	Línea aérea por fase		13.800	41.1	41	34	53	76.99	6.8	-39.93	0.0	0.0	2.9
7870_MTA-1	MTA_L_7774	MTA_S_6555	NONE,ACSR.1/0,NONE,ACSR.2,NONE,1CP	Línea aérea por fase		13.800	22.1	41	34	53	76.98	6.8	-39.94	0.0	0.0	2.9
6555_MTA-1	MTA_S_6555	MTA_S_11586	NONE,ACSR.2,NONE,ACSR.4,NONE,1CP	Línea aérea por fase		13.800	30.6	6	5	7	76.79	0.9	-40.11	0.0	0.0	0.5
11586_MTA-1	MTA_S_11586	MTA_L_11586	NONE,AAAC5005.2,NONE,AAAC5005.2,NONE,1CP	Línea aérea por fase		13.800	0.4	6	5	7	76.76	0.9	-40.14	0.0	0.0	0.9
13573_MTA-1	MTA_L_11586	MTA_L_13573	NONE,AAAC5005.2,NONE,AAAC5005.2,NONE,1CP	Línea aérea por fase		13.800	0.4	6	5	7	76.76	0.9	-40.14	0.0	0.0	0.9
113573_MTA-1	MTA_L_13573	IMTA_L_13573	NONE,AAAC5005.2,NONE,AAAC5005.2,NONE,1CP	Línea aérea por fase		0.240	0.0	5	5	7	76.73	52.9	-40.62	0.0	0.0	48.5
7871_MTA-1	MTA_S_6555	MTA_S_7872	NONE,ACSR.1/0,NONE,ACSR.2,NONE,1CP	Línea aérea por fase		13.800	17.1	33	27	43	77.01	5.5	-39.91	0.0	0.0	2.4
7872_MTA-1	MTA_S_7872	MTA_L_7872	NONE,ACSR.1/0,NONE,ACSR.2,NONE,1CP	Línea aérea por fase		13.800	36.1	33	27	43	77.01	5.5	-39.92	0.0	0.0	2.4
7873_MTA-1	MTA_L_7872	MTA_L_7873	NONE,ACSR.1/0,NONE,ACSR.2,NONE,1CP	Línea aérea por fase		13.800	35.1	33	27	43	77.00	5.5	-39.92	0.0	0.0	2.4
7874_MTA-1	MTA_L_7873	MTA_L_7874	NONE,ACSR.1/0,NONE,ACSR.2,NONE,1CP	Línea aérea por fase		13.800	41.1	33	27	43	77.00	5.5	-39.93	0.0	0.0	2.4
7875_MTA-1	MTA_L_7874	MTA_S_7876	NONE,ACSR.1/0,NONE,ACSR.2,NONE,1CP	Línea aérea por fase		13.800	39.1	33	27	43	76.99	5.5	-39.94	0.0	0.0	2.4
7876_MTA-1	MTA_S_7876	MTA_S_7877	NONE,ACSR.1/0,NONE,ACSR.2,NONE,1CP	Línea aérea por fase		13.800	37.1	33	27	43	76.98	5.5	-39.94	0.0	0.0	2.4
7877_MTA-1	MTA_S_7877	MTA_S_7878	NONE,ACSR.1/0,NONE,ACSR.2,NONE,1CP	Línea aérea por fase		13.800	39.2	31	25	40	76.98	5.1	-39.95	0.0	0.0	2.2
11307_MTA-1	MTA_S_7878	MTA_S_13291	NONE,AAAC5005.2,NONE,AAAC5005.2,NONE,1CP	Línea aérea por fase		13.800	0.4	6	5	7	76.76	0.9	-40.14	0.0	0.0	0.9
13291_MTA-1	MTA_S_13291	MTA_L_13291	NONE,AAAC5005.2,NONE,AAAC5005.2,NONE,1CP	Línea aérea por fase		13.800	0.4	6	5	7	76.76	0.9	-40.14	0.0	0.0	0.9
113291_MTA-1	MTA_L_13291	IMTA_L_13291	NONE,AAAC5005.2,NONE,AAAC5005.2,NONE,1CP	Línea aérea por fase		0.240	0.0	5	5	7	76.73	52.9	-40.63	0.0	0.0	48.5
7878_MTA-1	MTA_S_7878	MTA_L_7878	NONE,ACSR.1/0,NONE,ACSR.2,NONE,1CP	Línea aérea por fase		13.800	39.1	25	21	33	77.02	4.2	-39.91	0.0	0.0	1.8
7879_MTA-1	MTA_L_7878	MTA_S_7880	NONE,ACSR.1/0,NONE,ACSR.2,NONE,1CP	Línea aérea por fase		13.800	42.2	25	21	33	77.01	4.2	-39.92	0.0	0.0	1.8
7880_MTA-1	MTA_S_7880	MTA_S_7881	NONE,ACSR.1/0,NONE,ACSR.2,NONE,1CP	Línea aérea por fase		13.800	35.1	25	21	33	77.00	4.2	-39.93	0.0	0.0	1.8
7881_MTA-1	MTA_S_7881	MTA_L_7881	NONE,ACSR.1/0,NONE,ACSR.2,NONE,1CP	Línea aérea por fase		13.800	37.2	25	21	33	76.99	4.2	-39.94	0.0	0.0	1.8
7882_MTA-1	MTA_L_7881	MTA_L_7882	NONE,ACSR.1/0,NONE,ACSR.2,NONE,1CP	Línea aérea por fase		13.800	38.1	25	21	33	76.98	4.2	-39.95	0.0	0.0	1.8
99175_MTA-1	MTA_L_7882	MTA_L_99175	NONE,ACSR.1/0,NONE,ACSR.2,NONE,1CP	Línea aérea por fase		13.800	1.2	25	21	33	76.97	4.2	-39.96	0.0	0.0	1.8

Flujo de carga - Líneas y cables

Nro. equipo	Nodo origen	Nodo destino	Id equipo	Código	V (kVLL)	Tensión de base (kVLL)	Longitud (m)	Potencia total de paso (kW)	Potencia total de paso (kvar)	Potencia total de paso (kVA)	Fp promedio (%)	IEquil (A)	Desfase I (°)	Pérdidas totales (kW)	Pérdidas totales (kvar)	Carga (%)
99176_MTA-1	MTA_L_99175	MTA_L_99176	NONE,ACSR.1/0,NONE,ACSR.2,NONE,1CP	Línea aérea por fase		13.800	35.0	25	21	33	76.97	4.2	-39.96	0.0	0.0	1.8
7884_MTA-1	MTA_L_99176	MTA_L_7884	NONE,ACSR.1/0,NONE,ACSR.2,NONE,1CP	Línea aérea por fase		13.800	37.0	25	21	33	76.96	4.2	-39.97	0.0	0.0	1.8
7885_MTA-1	MTA_L_7884	MTA_L_7885	NONE,ACSR.1/0,NONE,ACSR.2,NONE,1CP	Línea aérea por fase		13.800	31.8	25	21	33	76.95	4.2	-39.97	0.0	0.0	1.8
7886_MTA-1	MTA_L_7885	MTA_L_7886	NONE,ACSR.1/0,NONE,ACSR.2,NONE,1CP	Línea aérea por fase		13.800	29.8	25	21	33	76.94	4.2	-39.98	0.0	0.0	1.8
7887_MTA-1	MTA_L_7886	MTA_L_7887	NONE,ACSR.1/0,NONE,ACSR.2,NONE,1CP	Línea aérea por fase		13.800	41.6	25	21	33	76.94	4.2	-39.99	0.0	0.0	1.8
11308_MTA-1	MTA_L_7887	MTA_L_11308	NONE,AAAC5005.2,NONE,AAAC5005.2,NONE,1CP	Línea aérea por fase		13.800	0.4	6	5	7	76.76	0.9	-40.15	0.0	0.0	0.9
13292_MTA-1	MTA_L_11308	MTA_L_13292	NONE,AAAC5005.2,NONE,AAAC5005.2,NONE,1CP	Línea aérea por fase		13.800	0.4	6	5	7	76.76	0.9	-40.15	0.0	0.0	0.9
113292_MTA-1	MTA_L_13292	IMTA_L_13292	NONE,AAAC5005.2,NONE,AAAC5005.2,NONE,1CP	Línea aérea por fase		0.240	0.0	5	5	7	76.73	52.9	-40.63	0.0	0.0	48.5
7888_MTA-1	MTA_L_7887	MTA_L_7888	NONE,ACSR.1/0,NONE,ACSR.2,NONE,1CP	Línea aérea por fase		13.800	45.3	20	16	25	76.97	3.2	-39.96	0.0	0.0	1.4
7889_MTA-1	MTA_L_7888	MTA_S_8205	NONE,ACSR.1/0,NONE,ACSR.2,NONE,1CP	Línea aérea por fase		13.800	25.1	20	16	25	76.96	3.2	-39.97	0.0	0.0	1.4
8205_MTA-1	MTA_S_8205	MTA_L_8205	NONE,ACSR.1/0,NONE,ACSR.2,NONE,1CP	Línea aérea por fase		13.800	15.0	20	16	25	76.95	3.2	-39.98	0.0	0.0	1.4
6438_MTA-1	MTA_L_8205	MTA_L_6438	NONE,ACSR.2,NONE,ACSR.4,NONE,1CP	Línea aérea por fase		13.800	14.7	0	0	0	0.00	0.0	89.72	-0.0	-0.0	0.0
6439_MTA-1	MTA_L_8205	MTA_L_6439	NONE,ACSR.2,NONE,ACSR.4,NONE,1CP	Línea aérea por fase		13.800	24.7	20	16	25	76.88	3.2	-40.04	0.0	0.0	1.8
1517_MTA-1	MTA_L_6439	MTA_L_1517	NONE,ACSR.2,NONE,ACSR.4,NONE,1CP	Línea aérea por fase		13.800	34.4	20	16	25	76.87	3.2	-40.05	0.0	0.0	1.8
6215_MTA-1	MTA_L_1517	MTA_L_6215	NONE,ACSR.2,NONE,ACSR.4,NONE,1CP	Línea aérea por fase		13.800	16.4	2	2	3	76.98	0.4	-39.95	0.0	0.0	0.2
88634_MTA-1	MTA_L_6215	MTA_L_88634	NONE,AAAC5005.2,NONE,AAAC5005.2,NONE,1CP	Línea aérea por fase		13.800	0.5	2	2	3	76.93	0.4	-39.99	0.0	0.0	0.3
88633_MTA-1	MTA_L_88634	MTA_L_88633	NONE,AAAC5005.2,NONE,AAAC5005.2,NONE,1CP	Línea aérea por fase		13.800	0.5	2	2	3	76.93	0.4	-39.99	0.0	0.0	0.3
188633_MTA-1	MTA_L_88633	IMTA_L_88633	NONE,AAAC5005.2,NONE,AAAC5005.2,NONE,1CP	Línea aérea por fase		0.240	0.0	2	2	3	76.73	21.2	-40.63	0.0	0.0	19.4
6216_MTA-1	MTA_L_1517	MTA_L_6216	NONE,ACSR.2,NONE,ACSR.4,NONE,1CP	Línea aérea por fase		13.800	22.9	12	10	15	76.82	1.9	-40.10	0.0	0.0	1.1
6217_MTA-1	MTA_L_6216	MTA_L_6217	NONE,ACSR.2,NONE,ACSR.4,NONE,1CP	Línea aérea por fase		13.800	38.2	12	10	15	76.80	1.9	-40.11	0.0	0.0	1.1
6218_MTA-1	MTA_L_6217	MTA_L_6218	NONE,ACSR.2,NONE,ACSR.4,NONE,1CP	Línea aérea por fase		13.800	43.5	12	10	15	76.78	2.0	-40.13	0.0	0.0	1.1
42545_MTA-1	MTA_L_6218	MTA_L_42545	NONE,AAAC5005.2,NONE,AAAC5005.2,NONE,1CP	Línea aérea por fase		13.800	0.3	3	3	4	76.84	0.6	-40.07	0.0	0.0	0.5
42546_MTA-1	MTA_L_42545	MTA_L_42546	NONE,AAAC5005.2,NONE,AAAC5005.2,NONE,1CP	Línea aérea por fase		13.800	0.3	3	3	4	76.84	0.6	-40.07	0.0	0.0	0.5
142546_MTA-1	MTA_L_42546	IMTA_L_42546	NONE,AAAC5005.2,NONE,AAAC5005.2,NONE,1CP	Línea aérea por fase		0.240	0.0	3	3	4	76.73	31.8	-40.63	0.0	0.0	29.1
6219_MTA-1	MTA_L_6218	MTA_L_6219	NONE,ACSR.2,NONE,ACSR.4,NONE,1CP	Línea aérea por fase		13.800	40.8	8	7	11	76.73	1.4	-40.18	0.0	0.0	0.8

Flujo de carga - Líneas y cables

Nro. equipo	Nodo origen	Nodo destino	Id equipo	Código	V (kVLL)	Tensión de base (kVLL)	Longitud (m)	Potencia total de paso (kW)	Potencia total de paso (kvar)	Potencia total de paso (kVA)	Fp promedio (%)	IEquil (A)	Desfase I (°)	Pérdidas totales (kW)	Pérdidas totales (kvar)	Carga (%)
11309_MTA-1	MTA_L_6219	MTA_S_13293	NONE,AAAC5005.2,NONE,AAAC5005.2,NONE,1CP	Línea aérea por fase		13.800	0.4	8	7	11	76.70	1.4	-40.20	0.0	0.0	1.3
13293_MTA-1	MTA_S_13293	MTA_L_13293	NONE,AAAC5005.2,NONE,AAAC5005.2,NONE,1CP	Línea aérea por fase		13.800	0.4	8	7	11	76.70	1.4	-40.20	0.0	0.0	1.3
113293_MTA-1	MTA_L_13293	IMTA_L_13293	NONE,AAAC5005.2,NONE,AAAC5005.2,NONE,1CP	Línea aérea por fase		0.240	0.0	8	7	11	76.73	79.4	-40.63	0.0	0.0	72.8
6220_MTA-1	MTA_L_1517	MTA_S_99177	NONE,ACSR.2,NONE,ACSR.4,NONE,1CP	Línea aérea por fase		13.800	7.7	6	5	7	76.90	0.9	-40.02	0.0	0.0	0.5
99177_MTA-1	MTA_S_99177	MTA_S_99178	NONE,ACSR.2,NONE,ACSR.4,NONE,1CP	Línea aérea por fase		13.800	0.8	6	5	7	76.89	0.9	-40.03	0.0	0.0	0.5
99178_MTA-1	MTA_S_99178	MTA_S_7762	NONE,ACSR.2,NONE,ACSR.4,NONE,1CP	Línea aérea por fase		13.800	37.5	6	5	7	76.89	0.9	-40.03	0.0	0.0	0.5
7762_MTA-1	MTA_S_7762	MTA_S_7444	NONE,ACSR.2,NONE,ACSR.4,NONE,1CP	Línea aérea por fase		13.800	39.2	6	5	7	76.85	0.9	-40.07	0.0	0.0	0.5
7444_MTA-1	MTA_S_7444	MTA_L_7444	NONE,ACSR.2,NONE,ACSR.4,NONE,1CP	Línea aérea por fase		13.800	40.8	6	5	7	76.80	0.9	-40.11	0.0	0.0	0.5
11310_MTA-1	MTA_L_7444	MTA_L_11310	NONE,AAAC5005.2,NONE,AAAC5005.2,NONE,1CP	Línea aérea por fase		13.800	0.4	6	5	7	76.76	0.9	-40.15	0.0	0.0	0.9
13294_MTA-1	MTA_L_11310	MTA_L_13294	NONE,AAAC5005.2,NONE,AAAC5005.2,NONE,1CP	Línea aérea por fase		13.800	0.4	6	5	7	76.76	0.9	-40.15	0.0	0.0	0.9
113294_MTA-1	MTA_L_13294	IMTA_L_13294	NONE,AAAC5005.2,NONE,AAAC5005.2,NONE,1CP	Línea aérea por fase		0.240	0.0	5	5	7	76.73	52.9	-40.63	0.0	0.0	48.6
8206_MTA-1	MTA_L_8205	MTA_L_8206	NONE,ACSR.1/0,NONE,ACSR.2,NONE,1CP	Línea aérea por fase		13.800	23.0	0	0	0	0.00	0.0	89.71	-0.0	-0.0	0.0
8207_MTA-1	MTA_L_8206	MTA_L_8207	NONE,ACSR.1/0,NONE,ACSR.2,NONE,1CP	Línea aérea por fase		13.800	37.1	0	0	0	0.00	0.0	89.71	-0.0	-0.0	0.0
8208_MTA-1	MTA_L_8207	MTA_L_8208	NONE,ACSR.1/0,NONE,ACSR.2,NONE,1CP	Línea aérea por fase		13.800	29.7	0	0	0	0.00	0.0	89.71	-0.0	-0.0	0.0
8209_MTA-1	MTA_L_8208	MTA_L_8209	NONE,ACSR.1/0,NONE,ACSR.2,NONE,1CP	Línea aérea por fase		13.800	29.1	0	0	0	0.00	0.0	89.71	-0.0	-0.0	0.0
8210_MTA-1	MTA_L_8209	MTA_L_8210	NONE,ACSR.1/0,NONE,ACSR.2,NONE,1CP	Línea aérea por fase		13.800	36.1	0	0	0	0.00	0.0	89.71	-0.0	-0.0	0.0
5306_MTA-1	MTA_L_8210	MTA_L_5306	NONE,ACSR.1/0,NONE,ACSR.2,NONE,1CP	Línea aérea por fase		13.800	36.0	0	0	0	0.00	0.0	89.71	-0.0	-0.0	0.0
93550_MTA-1	MTA_S_7877	MTA_L_93550	NONE,AAAC5005.2,NONE,AAAC5005.2,NONE,1CP	Línea aérea por fase		13.800	0.5	2	2	3	76.93	0.4	-39.99	0.0	0.0	0.3
93551_MTA-1	MTA_L_93550	MTA_L_93551	NONE,AAAC5005.2,NONE,AAAC5005.2,NONE,1CP	Línea aérea por fase		13.800	0.5	2	2	3	76.93	0.4	-39.99	0.0	0.0	0.3
193551_MTA-1	MTA_L_93551	IMTA_L_93551	NONE,AAAC5005.2,NONE,AAAC5005.2,NONE,1CP	Línea aérea por fase		0.240	0.0	2	2	3	76.73	21.2	-40.63	0.0	0.0	19.4
8211_MTA-1	MTA_S_6555	MTA_L_8211	NONE,ACSR.2,NONE,ACSR.4,NONE,1CP	Línea aérea por fase		13.800	13.4	2	2	3	76.97	0.4	-39.95	0.0	0.0	0.2
11306_MTA-1	MTA_L_8211	MTA_L_11306	NONE,AAAC5005.2,NONE,AAAC5005.2,NONE,1CP	Línea aérea por fase		13.800	0.5	2	2	3	76.93	0.4	-39.98	0.0	0.0	0.3
13290_MTA-1	MTA_L_11306	MTA_L_13290	NONE,AAAC5005.2,NONE,AAAC5005.2,NONE,1CP	Línea aérea por fase		13.800	0.5	2	2	3	76.93	0.4	-39.99	0.0	0.0	0.3
113290_MTA-1	MTA_L_13290	IMTA_L_13290	NONE,AAAC5005.2,NONE,AAAC5005.2,NONE,1CP	Línea aérea por fase		0.240	0.0	2	2	3	76.73	21.2	-40.62	0.0	0.0	19.4
7729_MTA-1	MTA_L_7132	MTA_L_7729	ACSR.1/0,ACSR.1/0,ACSR.1/0,ACSR.2,NONE,3CP	Línea aérea por fase	13.6	13.800	17.9	0	0	0	0.00	0.0	89.79	-0.0	-0.0	0.0

Flujo de carga - Líneas y cables

Nro. equipo	Nodo origen	Nodo destino	Id equipo	Código	V (kVLL)	Tensión de base (kVLL)	Longitud (m)	Potencia total de paso (kW)	Potencia total de paso (kvar)	Potencia total de paso (kVA)	Fp promedio (%)	IEquil (A)	Desfase I (°)	Pérdidas totales (kW)	Pérdidas totales (kvar)	Carga (%)
7730_MTA-1	MTA_L_7132	MTA_S_8770	ACSR.1/0,ACSR.1/0,ACSR.1/0,ACSR.2,NONE,3CP	Línea aérea por fase	13.6	13.800	15.5	27	21	34	78.61	1.4	-38.38	0.0	0.0	0.8
8770_MTA-1	MTA_S_8770	MTA_S_11301	ACSR.1/0,ACSR.1/0,ACSR.1/0,ACSR.2,NONE,3CP	Línea aérea por fase	13.6	13.800	36.1	27	21	34	78.59	1.4	-38.40	0.0	0.0	0.8
11301_MTA-1	MTA_S_11301	MTA_L_11301	AAAC5005.2,NONE,NONE,AAAC5005.2,NONE,1CP	Línea aérea por fase		13.800	0.3	3	3	4	76.85	0.6	-39.92	0.0	0.0	0.5
13285_MTA-1	MTA_L_11301	MTA_L_13285	AAAC5005.2,NONE,NONE,AAAC5005.2,NONE,1CP	Línea aérea por fase		13.800	0.2	3	3	4	76.85	0.6	-39.92	0.0	0.0	0.5
113285_MTA-1	MTA_L_13285	IMTA_L_13285	AAAC5005.2,NONE,NONE,AAAC5005.2,NONE,1CP	Línea aérea por fase		0.240	0.0	3	3	4	76.73	31.6	-40.48	0.0	0.0	29.0
6669_MTA-1	MTA_S_11301	MTA_L_6669	ACSR.1/0,ACSR.1/0,ACSR.1/0,ACSR.2,NONE,3CP	Línea aérea por fase	13.6	13.800	35.4	23	18	30	78.81	1.3	-38.21	0.0	0.0	0.5
11302_MTA-1	MTA_L_6669	MTA_L_11302	AAAC5005.2,AAAC5005.2,AAAC5005.2,AAAC5005.2,NONE,3CP	Línea aérea por fase	13.6	13.800	0.4	17	14	22	76.76	0.9	-40.07	0.0	0.0	0.8
13286_MTA-1	MTA_L_11302	MTA_L_13286	AAAC5005.2,AAAC5005.2,AAAC5005.2,AAAC5005.2,NONE,3CP	Línea aérea por fase	13.6	13.800	0.4	17	14	22	76.76	0.9	-40.07	0.0	0.0	0.8
113286_MTA-1	MTA_L_13286	IMTA_L_13286	AAAC5005.2,AAAC5005.2,AAAC5005.2,AAAC5005.2,NONE,3CP	Línea aérea por fase	0.2	0.240	0.0	16	14	21	76.73	52.7	-10.56	0.0	0.0	48.4
157932_MTA-1	MTA_L_6669	MTA_L_157932	ACSR.1/0,ACSR.1/0,ACSR.1/0,ACSR.2,NONE,3CP	Línea aérea por fase	13.6	13.800	0.8	7	4	8	83.81	0.3	-33.28	0.0	0.0	0.1
99495_MTA-1	MTA_S_99495	MTA_L_157932	AAAC5005.2,AAAC5005.2,AAAC5005.2,AAAC5005.2,NONE,3CP	Línea aérea por fase	13.6	13.800	0.5	7	4	8	83.81	0.3	-33.28	0.0	0.0	0.3
27524_MTS-1	MTS_L_27525	MTA_S_99495	3P_15KV.CU.2	Cable	13.6	13.800	0.3	7	4	8	83.80	0.3	-33.28	0.0	-0.0	0.1
27525_MTS-1	MTS_S_27525	MTS_L_27525	3P_15KV.CU.2	Cable	13.6	13.800	42.8	7	4	8	83.79	0.3	-33.30	0.0	-0.0	0.1
27526_MTS-1	MTS_S_27525	MTS_L_27526	3P_15KV.CU.2	Cable	13.6	13.800	39.0	7	5	8	81.31	0.4	-35.82	0.0	-0.0	0.2
27527_MTS-1	MTS_L_27526	MTS_L_27527	3P_15KV.CU.2	Cable	13.6	13.800	20.0	7	5	8	79.05	0.4	-37.98	0.0	-0.0	0.2
27528_MTS-1	MTS_L_27527	MTS_L_27528	3P_15KV.CU.2	Cable	13.6	13.800	11.0	7	5	9	77.90	0.4	-39.04	0.0	-0.0	0.2
27530_MTS-1	MTS_L_27528	MTS_L_27530	3P_15KV.CU.2	Cable	13.6	13.800	5.1	7	6	9	77.28	0.4	-39.61	0.0	-0.0	0.2
27531_MTS-1	MTS_L_27530	MTS_L_27531	3P_15KV.CU.2	Cable	13.6	13.800	1.1	7	6	9	76.99	0.4	-39.87	0.0	-0.0	0.2
27533_MTS-1	MTS_L_27531	MTS_L_27533	3P_15KV.CU.3/0	Cable	13.6	13.800	0.5	7	6	9	76.93	0.4	-39.93	0.0	-0.0	0.1
27534_MTS-1	MTS_L_27533	MTS_L_27534	3P_15KV.CU.3/0	Cable	13.6	13.800	0.5	7	6	9	76.88	0.4	-39.96	0.0	-0.0	0.1
127534_MTS-1	MTS_L_27534	IMTS_L_27534	3P_15KV.CU.3/0	Cable	0.2	0.240	0.0	7	5	9	76.73	21.1	-10.56	0.0	0.0	7.0
98892_MTA-1	MTA_L_88083	MTA_L_98892	AAAC5005.2,AAAC5005.2,AAAC5005.2,AAAC5005.2,NONE,3CP	Línea aérea por fase	13.6	13.800	0.8	7	5	9	77.64	0.4	-39.28	0.0	0.0	0.3
26927_MTS-1	MTA_L_98892	MTS_L_26927	3P_15KV.CU.1/0	Cable	13.6	13.800	1.1	7	5	9	77.64	0.4	-39.28	0.0	-0.0	0.2
27200_MTS-1	MTS_L_26927	MTS_L_27200	3P_15KV.CU.1/0	Cable	13.6	13.800	10.0	7	5	9	77.57	0.4	-39.34	0.0	-0.0	0.2
27201_MTS-1	MTS_L_27200	MTS_L_27201	3P_15KV.CU.1/0	Cable	13.6	13.800	0.4	7	6	9	76.96	0.4	-39.90	0.0	-0.0	0.2
27203_MTS-1	MTS_L_27201	MTS_L_27203	3P_15KV.CU.3/0	Cable	13.6	13.800	0.6	7	6	9	76.93	0.4	-39.92	0.0	-0.0	0.1
27204_MTS-1	MTS_L_27203	MTS_L_27204	3P_15KV.CU.3/0	Cable	13.6	13.800	0.5	7	6	9	76.88	0.4	-39.96	0.0	-0.0	0.1
127204_MTS-1	MTS_L_27204	IMTS_L_27204	3P_15KV.CU.3/0	Cable	0.2	0.240	0.0	7	5	9	76.73	21.1	-10.55	0.0	0.0	7.0

Flujo de carga - Líneas y cables

Nro. equipo	Nodo origen	Nodo destino	Id equipo	Código	V (kVLL)	Tensión de base (kVLL)	Longitud (m)	Potencia total de paso (kW)	Potencia total de paso (kvar)	Potencia total de paso (kVA)	Fp promedio (%)	IEquil (A)	Desfase I (°)	Pérdidas totales (kW)	Pérdidas totales (kvar)	Carga (%)
98894_MTA-1	MTA_S_98894	MTA_L_98894	AAAC5005.2,AAAC5005.2,AAAC5005.2,AAAC5005.2,NONE,3CP	Línea aérea por fase	13.6	13.800	0.3	11	9	15	76.77	0.6	-40.07	0.0	0.0	0.6
98895_MTA-1	MTA_L_98894	MTA_L_98895	AAAC5005.2,AAAC5005.2,AAAC5005.2,AAAC5005.2,NONE,3CP	Línea aérea por fase	13.6	13.800	0.3	11	9	15	76.77	0.6	-40.07	0.0	0.0	0.6
198895_MTA-1	MTA_L_98895	IMTA_L_98895	AAAC5005.2,AAAC5005.2,AAAC5005.2,AAAC5005.2,NONE,3CP	Línea aérea por fase	0.2	0.240	0.0	11	9	14	76.73	35.1	-10.55	0.0	0.0	32.3
7823_MTA-1	MTA_L_7723	MTA_L_2041	ACSR.1/0,ACSR.1/0,ACSR.1/0,ACSR.2,NONE,3CP	Línea aérea por fase	13.6	13.800	31.1	0	0	0	0.00	0.0	89.79	-0.0	-0.0	0.0
181576_MTA-1	MTA_L_181573	MTA_S_181577	AAAC5005.2,NONE,NONE,AAAC5005.2,NONE,1CP	Línea aérea por fase		13.800	0.6	1	1	1	77.20	0.1	-39.63	0.0	0.0	0.1
181577_MTA-1	MTA_S_181577	MTA_L_181577	AAAC5005.2,NONE,NONE,AAAC5005.2,NONE,1CP	Línea aérea por fase		13.800	0.5	1	1	1	77.19	0.1	-39.63	0.0	0.0	0.1
1181577_MTA-1	MTA_L_181577	IMTA_L_181577	AAAC5005.2,NONE,NONE,AAAC5005.2,NONE,1CP	Línea aérea por fase		0.240	0.0	1	1	1	76.73	6.3	-40.50	0.0	0.0	5.8
8100_MTA-1	MTA_S_162985	MTA_L_8100	ACSR.1/0,ACSR.1/0,ACSR.1/0,ACSR.2,NONE,3CP	Línea aérea por fase	13.6	13.800	26.1	11	9	14	77.51	0.6	-39.31	0.0	0.0	0.5
127665_MTA-1	MTA_L_8100	MTA_L_127665	ACSR.1/0,NONE,ACSR.1/0,ACSR.2,NONE,2CP	Línea aérea por fase	13.6	13.800	1.1	11	9	14	77.50	0.9	-39.37	0.0	0.0	0.5
127666_MTA-1	MTA_L_127665	MTA_L_127666	ACSR.1/0,NONE,ACSR.1/0,ACSR.2,NONE,2CP	Línea aérea por fase	13.6	13.800	42.5	11	9	14	77.50	0.9	-39.37	0.0	0.0	0.5
8102_MTA-1	MTA_L_127666	MTA_S_8103	ACSR.1/0,NONE,ACSR.1/0,ACSR.2,NONE,2CP	Línea aérea por fase	13.6	13.800	39.4	11	9	14	77.44	0.9	-39.43	0.0	0.0	0.5
8103_MTA-1	MTA_S_8103	MTA_L_8103	ACSR.1/0,NONE,ACSR.1/0,ACSR.2,NONE,2CP	Línea aérea por fase	13.6	13.800	50.8	11	9	14	77.38	0.9	-39.48	0.0	0.0	0.5
8104_MTA-1	MTA_L_8103	MTA_S_8105	ACSR.1/0,NONE,ACSR.1/0,ACSR.2,NONE,2CP	Línea aérea por fase	13.6	13.800	30.8	11	9	14	77.31	0.9	-39.54	0.0	0.0	0.5
11571_MTA-1	MTA_S_8105	MTA_L_11571	AAAC5005.2,NONE,AAAC5005.2,AAAC5005.2,NONE,2CP	Línea aérea por fase	13.6	13.800	0.4	4	3	5	77.45	0.3	-39.39	0.0	0.0	0.6
13558_MTA-1	MTA_L_11571	MTA_L_13558	AAAC5005.2,NONE,AAAC5005.2,AAAC5005.2,NONE,2CP	Línea aérea por fase	13.6	13.800	0.4	4	3	5	77.45	0.3	-39.39	0.0	0.0	0.6
113558_MTA-1	MTA_L_13558	IMTA_L_13558	AAAC5005.2,NONE,AAAC5005.2,AAAC5005.2,NONE,2CP	Línea aérea por fase	0.2	0.240	0.0	4	3	5	76.73	18.2	-10.31	0.0	0.0	19.3
8105_MTA-1	MTA_S_8105	MTA_S_11457	ACSR.1/0,NONE,ACSR.1/0,ACSR.2,NONE,2CP	Línea aérea por fase	13.6	13.800	60.9	7	6	9	77.16	0.6	-39.69	0.0	0.0	0.2
11457_MTA-1	MTA_S_11457	MTA_S_13442	NONE,NONE,AAAC5005.2,AAAC5005.2,NONE,1CP	Línea aérea por fase		13.800	0.4	3	3	4	76.86	0.6	-39.99	0.0	0.0	0.5
13442_MTA-1	MTA_S_13442	MTA_L_13442	NONE,NONE,AAAC5005.2,AAAC5005.2,NONE,1CP	Línea aérea por fase		13.800	0.4	3	3	4	76.86	0.6	-39.99	0.0	0.0	0.5
113442_MTA-1	MTA_L_13442	IMTA_L_13442	NONE,NONE,AAAC5005.2,AAAC5005.2,NONE,1CP	Línea aérea por fase		0.240	0.0	3	3	4	76.73	31.5	-40.55	0.0	0.0	28.9
17583_MTA-1	MTA_S_11457	MTA_L_17583	AAAC5005.2,NONE,NONE,AAAC5005.2,NONE,1CP	Línea aérea por fase		13.800	0.3	3	3	4	77.19	0.6	-39.63	0.0	0.0	0.5
32991_MTS-1	MTA_L_17583	MTS_L_32991	1P_15KV.CU.2	Cable		13.800	0.4	3	3	4	77.19	0.6	-39.63	0.0	0.0	0.2
32992_MTS-1	MTS_L_32991	MTS_L_32992	1P_15KV.CU.2	Cable		13.800	12.1	3	3	4	77.18	0.6	-39.64	0.0	0.0	0.2
32993_MTS-1	MTS_L_32992	MTS_L_32993	1P_15KV.CU.2	Cable		13.800	0.3	3	3	4	76.87	0.6	-39.92	0.0	0.0	0.2
1239_MTS-1	MTS_L_32993	MTS_L_1239	1P_15KV.CU.2	Cable		13.800	0.2	3	3	4	76.86	0.6	-39.92	0.0	0.0	0.2
1240_MTS-1	MTS_L_1239	MTS_L_1240	1P_15KV.CU.2	Cable		13.800	0.3	3	3	4	76.86	0.6	-39.93	0.0	0.0	0.2

Flujo de carga - Líneas y cables

Nro. equipo	Nodo origen	Nodo destino	Id equipo	Código	V (kVLL)	Tensión de base (kVLL)	Longitud (m)	Potencia total de paso (kW)	Potencia total de paso (kvar)	Potencia total de paso (kVA)	Fp promedio (%)	IEquil (A)	Desfase I (°)	Pérdidas totales (kW)	Pérdidas totales (kvar)	Carga (%)
I1240_MTS-1	MTS_L_1240	IMTS_L_1240	1P_15KV.CU.2	Cable		0.240	0.0	3	3	4	76.73	31.6	-40.50	0.0	0.0	13.7
6819_MTA-1	MTA_S_4765	MTA_S_9920	ACSR.1/0,ACSR.1/0,ACSR.1/0,ACSR.2,NONE,3CP	Línea aérea por fase	13.6	13.800	36.2	154	125	198	77.71	8.4	-39.20	0.0	0.0	4.2
6779_MTA-1	MTA_S_9920	MTA_L_6779	ACSR.1/0,ACSR.1/0,ACSR.1/0,ACSR.2,NONE,3CP	Línea aérea por fase	13.6	13.800	40.1	149	120	191	77.74	8.1	-39.18	0.0	0.0	4.2
1578_MTA-1	MTA_L_6779	MTA_L_1578	ACSR.1/0,ACSR.1/0,ACSR.1/0,ACSR.2,NONE,3CP	Línea aérea por fase	13.6	13.800	38.0	149	120	191	77.74	8.1	-39.18	0.0	0.0	4.2
125886_MTA-1	MTA_L_1578	MTA_L_125886	ACSR.1/0,ACSR.1/0,ACSR.1/0,ACSR.2,NONE,3CP	Línea aérea por fase	13.6	13.800	1.2	149	120	191	77.73	8.1	-39.19	0.0	0.0	4.2
125887_MTA-1	MTA_L_125886	MTA_S_168765	ACSR.1/0,ACSR.1/0,ACSR.1/0,ACSR.2,NONE,3CP	Línea aérea por fase	13.6	13.800	37.9	149	120	191	77.73	8.1	-39.19	0.0	0.0	4.2
1580_MTA-1	MTA_S_168765	MTA_S_9921	ACSR.1/0,ACSR.1/0,ACSR.1/0,ACSR.2,NONE,3CP	Línea aérea por fase	13.6	13.800	42.2	137	111	176	77.67	7.5	-39.25	0.0	0.0	4.2
1581_MTA-1	MTA_S_9921	MTA_L_1581	ACSR.1/0,ACSR.1/0,ACSR.1/0,ACSR.2,NONE,3CP	Línea aérea por fase	13.6	13.800	10.0	125	101	161	77.54	6.8	-39.36	0.0	0.0	4.0
129420_MTA-1	MTA_L_1581	MTA_L_129420	ACSR.1/0,ACSR.1/0,ACSR.1/0,ACSR.2,NONE,3CP	Línea aérea por fase	13.6	13.800	35.0	72	59	93	77.68	4.0	-39.24	0.0	0.0	2.9
129421_MTA-1	MTA_L_129420	MTA_S_168763	ACSR.1/0,ACSR.1/0,ACSR.1/0,ACSR.2,NONE,3CP	Línea aérea por fase	13.6	13.800	2.3	72	59	93	77.67	4.0	-39.25	0.0	0.0	2.9
1583_MTA-1	MTA_S_168763	MTA_L_1583	ACSR.1/0,ACSR.1/0,ACSR.1/0,ACSR.2,NONE,3CP	Línea aérea por fase	13.6	13.800	40.4	61	50	79	77.66	3.3	-39.26	0.0	0.0	2.6
5687_MTA-1	MTA_L_1583	MTA_L_5687	ACSR.1/0,ACSR.1/0,ACSR.1/0,ACSR.2,NONE,3CP	Línea aérea por fase	13.6	13.800	34.4	61	50	79	77.64	3.3	-39.27	0.0	0.0	2.6
168766_MTA-1	MTA_L_5687	MTS_S_33344	AAAC5005.2,AAAC5005.2,AAAC5005.2,AAAC5005.2,NONE,3CP	Línea aérea por fase	13.6	13.800	0.4	11	8	14	79.74	0.6	-37.32	0.0	0.0	0.5
33344_MTS-1	MTS_S_33344	MTS_L_33344	3P_15KV.CU.1/0	Cable	13.6	13.800	0.5	11	8	14	79.74	0.6	-37.32	0.0	0.0	0.3
33345_MTS-1	MTS_L_33344	MTS_L_33345	3P_15KV.CU.1/0	Cable	13.6	13.800	7.9	11	8	14	79.72	0.6	-37.34	0.0	0.0	0.3
33347_MTS-1	MTS_L_33345	MTS_L_33347	3P_15KV.CU.1/0	Cable	13.6	13.800	7.7	11	9	14	79.42	0.6	-37.62	0.0	0.0	0.3
33349_MTS-1	MTS_L_33347	MTS_L_33349	3P_15KV.CU.1/0	Cable	13.6	13.800	24.5	11	9	14	79.13	0.6	-37.89	0.0	0.0	0.3
33350_MTS-1	MTS_L_33349	MTS_L_33350	3P_15KV.CU.1/0	Cable	13.6	13.800	19.1	11	9	14	78.22	0.6	-38.75	0.0	0.0	0.3
33351_MTS-1	MTS_L_33350	MTS_L_33351	3P_15KV.CU.1/0	Cable	13.6	13.800	18.1	11	9	14	77.51	0.6	-39.39	0.0	0.0	0.3
33352_MTS-1	MTS_L_33351	MTS_L_33352	3P_15KV.CU.1/0	Cable	13.6	13.800	0.9	11	9	15	76.84	0.6	-40.00	0.0	0.0	0.3
1559_MTS-1	MTS_L_33352	MTS_L_1559	3P_15KV.CU.2	Cable	13.6	13.800	0.5	11	9	15	76.80	0.6	-40.03	0.0	0.0	0.3
1560_MTS-1	MTS_L_1559	MTS_L_1560	3P_15KV.CU.2	Cable	13.6	13.800	0.5	11	9	15	76.79	0.6	-40.04	0.0	0.0	0.3
I1560_MTS-1	MTS_L_1560	IMTS_L_1560	3P_15KV.CU.2	Cable	0.2	0.240	0.0	11	9	14	76.73	35.1	-10.55	0.0	0.0	15.3
5688_MTA-1	MTA_L_5687	MTA_S_129418	ACSR.1/0,ACSR.1/0,ACSR.1/0,ACSR.2,NONE,3CP	Línea aérea por fase	13.6	13.800	32.9	25	21	33	76.68	1.4	-40.14	0.0	0.0	0.6
129418_MTA-1	MTA_S_129418	MTA_L_129418	ACSR.1/0,ACSR.1/0,ACSR.1/0,ACSR.2,NONE,3CP	Línea aérea por fase	13.6	13.800	0.8	25	21	33	76.64	1.4	-40.17	0.0	0.0	0.6
129419_MTA-1	MTA_L_129418	MTA_L_129419	ACSR.1/0,ACSR.1/0,ACSR.1/0,ACSR.2,NONE,3CP	Línea aérea por fase	13.6	13.800	23.9	25	21	33	76.64	1.4	-40.17	0.0	0.0	0.6
2262_MTA-1	MTA_L_129419	MTA_S_10789	ACSR.1/0,ACSR.1/0,ACSR.1/0,ACSR.2,NONE,3CP	Línea aérea por fase	13.6	13.800	4.6	25	21	33	76.62	1.4	-40.19	0.0	0.0	0.6

Flujo de carga - Líneas y cables

Nro. equipo	Nodo origen	Nodo destino	Id equipo	Código	V (kVLL)	Tensión de base (kVLL)	Longitud (m)	Potencia total de paso (kW)	Potencia total de paso (kvar)	Potencia total de paso (kVA)	Fp promedio (%)	IEquil (A)	Desfase I (°)	Pérdidas totales (kW)	Pérdidas totales (kvar)	Carga (%)
10789_MTA-1	MTA_S_10789	MTA_S_12794	AAAC5005.2,AAAC5005.2,AAAC5005.2,AAAC5005.2,NONE,3CP	Línea aérea por fase	13.6	13.800	0.4	25	21	33	76.61	1.4	-40.20	0.0	0.0	1.3
12794_MTA-1	MTA_S_12794	MTA_L_12794	AAAC5005.2,AAAC5005.2,AAAC5005.2,AAAC5005.2,NONE,3CP	Línea aérea por fase	13.6	13.800	0.4	25	21	33	76.61	1.4	-40.20	0.0	0.0	1.3
112794_MTA-1	MTA_L_12794	IMTA_L_12794	AAAC5005.2,AAAC5005.2,AAAC5005.2,AAAC5005.2,NONE,3CP	Línea aérea por fase	0.2	0.240	0.0	25	21	32	76.73	79.1	-10.60	0.0	0.0	72.6
5691_MTA-1	MTA_L_5687	MTA_S_11488	NONE,NONE,ACSR.1/0,ACSR.2,NONE,1CP	Línea aérea por fase		13.800	10.0	25	20	32	77.65	4.1	-39.27	0.0	0.0	1.8
11488_MTA-1	MTA_S_11488	MTA_L_11488	NONE,NONE,AAAC5005.2,AAAC5005.2,NONE,1CP	Línea aérea por fase		13.800	0.4	8	7	11	76.71	1.4	-40.12	0.0	0.0	1.3
13473_MTA-1	MTA_L_11488	MTA_L_13473	NONE,NONE,AAAC5005.2,AAAC5005.2,NONE,1CP	Línea aérea por fase		13.800	0.4	8	7	11	76.71	1.4	-40.12	0.0	0.0	1.3
113473_MTA-1	MTA_L_13473	IMTA_L_13473	NONE,NONE,AAAC5005.2,AAAC5005.2,NONE,1CP	Línea aérea por fase		0.240	0.0	8	7	11	76.73	78.8	-40.55	0.0	0.0	72.3
168767_MTA-1	MTS_S_33355	MTA_S_11488	NONE,NONE,AAAC5005.2,AAAC5005.2,NONE,1CP	Línea aérea por fase		13.800	1.0	11	9	14	78.77	1.8	-38.24	0.0	0.0	1.6
33355_MTS-1	MTS_S_33355	MTS_L_33355	1P_15KV.CU.1/0	Cable		13.800	0.9	11	9	14	78.77	1.8	-38.24	0.0	0.0	0.7
33357_MTS-1	MTS_L_33355	MTS_L_33357	1P_15KV.CU.1/0	Cable		13.800	24.5	11	9	14	78.75	1.8	-38.26	0.0	0.0	0.7
33359_MTS-1	MTS_L_33357	MTS_L_33359	1P_15KV.CU.1/0	Cable		13.800	18.9	11	9	14	78.27	1.8	-38.71	0.0	0.0	0.7
33363_MTS-1	MTS_L_33359	MTS_L_33363	1P_15KV.CU.1/0	Cable		13.800	6.1	11	9	14	77.90	1.8	-39.05	0.0	0.0	0.7
33364_MTS-1	MTS_L_33363	MTS_L_33364	1P_15KV.CU.1/0	Cable		13.800	23.4	11	9	14	77.78	1.8	-39.15	0.0	0.0	0.7
33365_MTS-1	MTS_L_33364	MTS_L_33365	1P_15KV.CU.1/0	Cable		13.800	31.3	11	9	14	77.32	1.8	-39.57	0.0	0.0	0.7
33366_MTS-1	MTS_L_33365	MTS_L_33366	1P_15KV.CU.1/0	Cable		13.800	1.2	11	9	14	76.71	1.8	-40.12	0.0	0.0	0.7
33367_MTS-1	MTS_L_33366	MTS_L_33367	1P_15KV.CU.3/0	Cable		13.800	0.6	11	9	14	76.69	1.8	-40.14	0.0	0.0	0.4
42880_MTS-1	MTS_L_33367	MTS_L_42880	1P_15KV.CU.3/0	Cable		13.800	0.7	11	9	14	76.68	1.8	-40.15	0.0	0.0	0.4
142880_MTS-1	MTS_L_42880	IMTS_L_42880	1P_15KV.CU.3/0	Cable		0.240	0.0	11	9	14	76.73	105.1	-40.55	0.0	0.0	25.0
5692_MTA-1	MTA_S_11488	MTA_S_10788	NONE,NONE,ACSR.1/0,ACSR.2,NONE,1CP	Línea aérea por fase		13.800	47.3	6	5	7	76.83	0.9	-40.01	0.0	0.0	0.4
10788_MTA-1	MTA_S_10788	MTA_L_10788	NONE,NONE,AAAC5005.2,AAAC5005.2,NONE,1CP	Línea aérea por fase		13.800	0.4	6	5	7	76.77	0.9	-40.06	0.0	0.0	0.8
12793_MTA-1	MTA_L_10788	MTA_L_12793	NONE,NONE,AAAC5005.2,AAAC5005.2,NONE,1CP	Línea aérea por fase		13.800	0.4	6	5	7	76.77	0.9	-40.06	0.0	0.0	0.8
112793_MTA-1	MTA_L_12793	IMTA_L_12793	NONE,NONE,AAAC5005.2,AAAC5005.2,NONE,1CP	Línea aérea por fase		0.240	0.0	5	5	7	76.73	52.6	-40.55	0.0	0.0	48.2
168763_MTA-1	MTA_S_168763	MTS_L_33308	AAAC5005.2,AAAC5005.2,AAAC5005.2,AAAC5005.2,NONE,3CP	Línea aérea por fase	13.6	13.800	0.8	11	9	14	77.72	0.6	-39.20	0.0	0.0	0.6
33308_MTS-1	MTS_L_33310	MTS_L_33308	3P_15KV.CU.1/0	Cable	13.6	13.800	1.9	11	9	14	77.71	0.6	-39.21	0.0	0.0	0.3
33310_MTS-1	MTS_L_33312	MTS_L_33310	3P_15KV.CU.1/0	Cable	13.6	13.800	13.0	11	9	14	77.64	0.6	-39.27	0.0	0.0	0.3
33312_MTS-1	MTS_L_33311	MTS_L_33312	3P_15KV.CU.1/0	Cable	13.6	13.800	8.9	11	9	14	77.16	0.6	-39.71	0.0	0.0	0.3
33311_MTS-1	MTS_S_33313	MTS_L_33311	3P_15KV.CU.1/0	Cable	13.6	13.800	0.5	11	9	15	76.83	0.6	-40.00	0.0	0.0	0.3
33313_MTS-1	MTS_S_33313	MTS_L_33313	3P_15KV.CU.3/0	Cable	13.6	13.800	0.5	11	9	15	76.81	0.6	-40.02	0.0	-0.0	0.2

Flujo de carga - Líneas y cables

Nro. equipo	Nodo origen	Nodo destino	Id equipo	Código	V (kVLL)	Tensión de base (kVLL)	Longitud (m)	Potencia total de paso (kW)	Potencia total de paso (kvar)	Potencia total de paso (kVA)	Fp promedio (%)	IEquil (A)	Desfase I (°)	Pérdidas totales (kW)	Pérdidas totales (kvar)	Carga (%)
33314_MTS-1	MTS_L_33313	MTS_L_33314	3P_15KV.CU.3/0	Cable	13.6	13.800	0.3	11	9	15	76.79	0.6	-40.04	0.0	-0.0	0.2
I33314_MTS-1	MTS_L_33314	IMTS_L_33314	3P_15KV.CU.3/0	Cable	0.2	0.240	0.0	11	9	14	76.73	35.1	-10.55	0.0	0.0	11.7
129422_MTA-1	MTA_L_1581	MTA_L_129422	ACSR.1/0,ACSR.1/0,ACSR.1/0,ACSR.2,NONE,3CP	Línea aérea por fase	13.6	13.800	5.9	17	14	22	77.11	0.9	-39.74	0.0	0.0	0.7
129423_MTA-1	MTA_L_129422	MTA_L_129423	ACSR.1/0,ACSR.1/0,ACSR.1/0,ACSR.2,NONE,3CP	Línea aérea por fase	13.6	13.800	0.8	17	14	22	77.10	0.9	-39.75	0.0	0.0	0.7
5694_MTA-1	MTA_L_129423	MTA_S_11877	ACSR.1/0,ACSR.1/0,ACSR.1/0,ACSR.2,NONE,3CP	Línea aérea por fase	13.6	13.800	37.3	17	14	22	77.10	0.9	-39.75	0.0	0.0	0.7
11877_MTA-1	MTA_S_11877	MTA_S_14443	AAAC5005.2,NONE,NONE,AAAC5005.2,NONE,1CP	Línea aérea por fase		13.800	0.4	6	5	7	76.77	0.9	-40.01	0.0	0.0	0.8
14443_MTA-1	MTA_S_14443	MTA_L_14443	AAAC5005.2,NONE,NONE,AAAC5005.2,NONE,1CP	Línea aérea por fase		13.800	0.4	6	5	7	76.77	0.9	-40.01	0.0	0.0	0.8
I14443_MTA-1	MTA_L_14443	IMTA_L_14443	AAAC5005.2,NONE,NONE,AAAC5005.2,NONE,1CP	Línea aérea por fase		0.240	0.0	5	5	7	76.73	52.6	-40.50	0.0	0.0	48.3
1738_MTA-1	MTA_S_5695	MTA_S_11877	ACSR.1/0,ACSR.1/0,ACSR.1/0,ACSR.2,NONE,3CP	Línea aérea por fase	13.6	13.800	52.0	11	9	14	77.18	0.6	-39.69	0.0	0.0	0.3
11659_MTA-1	MTA_S_5695	MTA_L_11659	AAAC5005.2,AAAC5005.2,AAAC5005.2,AAAC5005.2,NONE,3CP	Línea aérea por fase	13.6	13.800	0.4	11	9	15	76.77	0.6	-40.06	0.0	0.0	0.6
13646_MTA-1	MTA_L_11659	MTA_L_13646	AAAC5005.2,AAAC5005.2,AAAC5005.2,AAAC5005.2,NONE,3CP	Línea aérea por fase	13.6	13.800	0.4	11	9	15	76.77	0.6	-40.06	0.0	0.0	0.6
I13646_MTA-1	MTA_L_13646	IMTA_L_13646	AAAC5005.2,AAAC5005.2,AAAC5005.2,AAAC5005.2,NONE,3CP	Línea aérea por fase	0.2	0.240	0.0	11	9	14	76.73	35.1	-10.55	0.0	0.0	32.2
5695_MTA-1	MTA_S_5695	MTA_S_5696	ACSR.1/0,ACSR.1/0,ACSR.1/0,ACSR.2,NONE,3CP	Línea aérea por fase	13.6	13.800	26.6	0	0	0	0.00	0.0	89.79	-0.0	-0.0	0.0
5696_MTA-1	MTA_S_5696	MTA_L_5696	ACSR.1/0,ACSR.1/0,ACSR.1/0,ACSR.2,NONE,3CP	Línea aérea por fase	13.6	13.800	42.4	0	0	0	0.00	0.0	89.79	-0.0	-0.0	0.0
5697_MTA-1	MTA_L_5696	MTA_L_5697	ACSR.1/0,ACSR.1/0,ACSR.1/0,ACSR.2,NONE,3CP	Línea aérea por fase	13.6	13.800	49.2	0	0	0	0.00	0.0	89.79	-0.0	-0.0	0.0
6371_MTA-1	MTA_L_5697	MTA_L_6371	ACSR.1/0,ACSR.1/0,ACSR.1/0,ACSR.2,NONE,3CP	Línea aérea por fase	13.6	13.800	3.3	0	0	0	0.00	0.0	89.79	-0.0	-0.0	0.0
76789_MTA-1	MTA_L_1581	MTA_S_5698	ACSR.1/0,ACSR.1/0,ACSR.1/0,ACSR.2,NONE,3CP	Línea aérea por fase	13.6	13.800	29.0	36	29	46	77.46	1.9	-39.44	0.0	0.0	0.8
5698_MTA-1	MTA_S_5698	MTA_S_5699	ACSR.1/0,ACSR.1/0,ACSR.1/0,ACSR.2,NONE,3CP	Línea aérea por fase	13.6	13.800	37.8	0	0	0	0.00	0.0	89.79	-0.0	-0.0	0.0
76791_MTA-1	MTA_S_5698	MTA_L_76791	AAAC5005.2,AAAC5005.2,AAAC5005.2,AAAC5005.2,NONE,3CP	Línea aérea por fase	13.6	13.800	1.1	36	29	46	77.41	2.0	-39.48	0.0	0.0	1.8
32079_MTS-1	MTA_L_76791	MTS_L_32079	3P_15KV.CU.2	Cable	13.6	13.800	2.4	36	29	46	77.41	2.0	-39.48	0.0	0.0	0.8
32081_MTS-1	MTS_L_32079	MTS_L_32081	3P_15KV.CU.2	Cable	13.6	13.800	9.5	36	29	46	77.39	2.0	-39.50	0.0	0.0	0.8
32083_MTS-1	MTS_L_32081	MTS_L_32083	3P_15KV.CU.2	Cable	13.6	13.800	4.7	36	29	46	77.28	2.0	-39.60	0.0	0.0	0.8
32085_MTS-1	MTS_L_32083	MTS_L_32085	3P_15KV.CU.2	Cable	13.6	13.800	37.6	36	29	46	77.23	2.0	-39.64	0.0	0.0	0.8
32087_MTS-1	MTS_L_32085	MTS_L_32087	3P_15KV.CU.2	Cable	13.6	13.800	19.3	36	30	46	76.83	2.0	-40.01	0.0	0.0	0.9
32088_MTS-1	MTS_L_32087	MTS_L_32088	3P_15KV.CU.2	Cable	13.6	13.800	0.7	36	30	46	76.62	2.0	-40.19	0.0	0.0	0.9
380_MTS-1	MTS_L_32088	MTS_L_380	3P_15KV.CU.3/0	Cable	13.6	13.800	0.9	36	30	46	76.61	2.0	-40.20	0.0	0.0	0.7
505_MTS-1	MTS_L_380	MTS_L_505	3P_15KV.CU.3/0	Cable	13.6	13.800	0.7	36	30	46	76.60	2.0	-40.21	0.0	0.0	0.7

Flujo de carga - Líneas y cables

Nro. equipo	Nodo origen	Nodo destino	Id equipo	Código	V (kVLL)	Tensión de base (kVLL)	Longitud (m)	Potencia total de paso (kW)	Potencia total de paso (kvar)	Potencia total de paso (kVA)	Fp promedio (%)	IEquil (A)	Desfase I (°)	Pérdidas totales (kW)	Pérdidas totales (kvar)	Carga (%)
I505_MTS-1	MTS_L_505	IMTS_L_505	3P_15KV.CU.3/0	Cable	0.2	0.240	0.0	35	29	45	76.73	112.5	-10.60	0.0	0.0	37.5
200148_MTA-1	MTA_S_9921	MTA_L_200148	AAAC5005.2,AAAC5005.2,AAAC5005.2,AAAC5005.2,NONE,3CP	Línea aérea por fase	13.6	13.800	0.5	7	5	8	80.53	0.4	-36.57	0.0	0.0	0.3
200149_MTA-1	MTA_L_200148	MTA_L_200149	AAAC5005.2,AAAC5005.2,AAAC5005.2,AAAC5005.2,NONE,3CP	Línea aérea por fase	13.6	13.800	0.5	7	5	8	80.53	0.4	-36.57	0.0	0.0	0.3
44827_MTS-1	MTA_L_200149	MTS_L_44827	3P_15KV.CU.2	Cable	13.6	13.800	1.1	7	5	8	80.53	0.4	-36.57	0.0	-0.0	0.2
44829_MTS-1	MTS_L_44827	MTS_L_44829	3P_15KV.CU.2	Cable	13.6	13.800	36.2	7	5	8	80.46	0.4	-36.63	0.0	-0.0	0.2
44831_MTS-1	MTS_L_44829	MTS_L_44831	3P_15KV.CU.2	Cable	13.6	13.800	11.5	7	5	9	78.37	0.4	-38.61	0.0	-0.0	0.2
45120_MTS-1	MTS_L_44831	MTS_L_45120	3P_15KV.CU.2	Cable	13.6	13.800	14.1	7	5	9	77.71	0.4	-39.21	0.0	-0.0	0.2
46760_MTS-1	MTS_L_45120	MTS_L_46760	3P_15KV.CU.2	Cable	13.6	13.800	0.5	7	6	9	76.90	0.4	-39.94	0.0	-0.0	0.2
46761_MTS-1	MTS_L_46760	MTS_L_46761	3P_15KV.CU.2	Cable	13.6	13.800	0.5	7	6	9	76.87	0.4	-39.97	0.0	-0.0	0.2
I46761_MTS-1	MTS_L_46761	IMTS_L_46761	3P_15KV.CU.2	Cable	0.2	0.240	0.0	7	5	9	76.73	21.1	-10.55	0.0	0.0	9.2
9921_MTA-1	MTA_S_9921	MTA_S_14144	AAAC5005.2,NONE,NONE,AAAC5005.2,NONE,1CP	Línea aérea por fase		13.800	0.4	6	5	7	76.77	0.9	-40.01	0.0	0.0	0.8
14144_MTA-1	MTA_S_14144	MTA_L_14144	AAAC5005.2,NONE,NONE,AAAC5005.2,NONE,1CP	Línea aérea por fase		13.800	0.4	6	5	7	76.77	0.9	-40.01	0.0	0.0	0.8
I14144_MTA-1	MTA_L_14144	IMTA_L_14144	AAAC5005.2,NONE,NONE,AAAC5005.2,NONE,1CP	Línea aérea por fase		0.240	0.0	5	5	7	76.73	52.6	-40.50	0.0	0.0	48.3
168765_MTA-1	MTA_S_168765	MTA_L_168765	AAAC5005.2,AAAC5005.2,AAAC5005.2,AAAC5005.2,NONE,3CP	Línea aérea por fase	13.6	13.800	1.7	12	9	15	77.00	0.6	-38.57	0.0	0.0	1.3
33315_MTS-1	MTA_L_168765	MTS_L_33315	3P_15KV.CU.2	Cable	13.6	13.800	1.8	12	9	15	77.00	0.6	-38.57	0.0	0.0	0.6
33317_MTS-1	MTS_L_33315	MTS_L_33317	3P_15KV.CU.2	Cable	13.6	13.800	18.0	12	9	15	76.99	0.6	-38.63	0.0	0.0	0.6
33321_MTS-1	MTS_L_33317	MTS_L_33321	3P_15KV.CU.2	Cable	13.6	13.800	26.7	12	9	15	76.92	0.6	-39.17	0.0	0.0	0.6
33322_MTS-1	MTS_L_33321	MTS_L_33322	3P_15KV.CU.2	Cable	13.6	13.800	2.0	12	10	15	76.80	0.6	-39.96	0.0	0.0	0.6
538_MTS-1	MTS_L_33322	MTS_L_538	1P_15KV.CU.2	Cable		13.800	0.8	3	3	4	76.92	0.6	-39.97	0.0	0.0	0.2
540_MTS-1	MTS_L_538	MTS_L_540	1P_15KV.CU.3/0	Cable		13.800	0.7	3	3	4	76.90	0.6	-39.99	0.0	0.0	0.1
503_MTS-1	MTS_L_540	MTS_L_503	1P_15KV.CU.3/0	Cable		13.800	0.8	3	3	4	76.87	0.6	-40.01	0.0	0.0	0.1
I503_MTS-1	MTS_L_503	IMTS_L_503	1P_15KV.CU.3/0	Cable		0.240	0.0	3	3	4	76.73	31.7	-40.59	0.0	0.0	7.5
539_MTS-1	MTS_L_33322	MTS_L_539	1P_15KV.CU.2	Cable		13.800	0.9	8	7	11	76.73	1.4	-40.04	0.0	0.0	0.6
541_MTS-1	MTS_L_539	MTS_L_541	1P_15KV.CU.3/0	Cable		13.800	0.7	8	7	11	76.72	1.4	-40.05	0.0	0.0	0.3
502_MTS-1	MTS_L_541	MTS_L_502	1P_15KV.CU.3/0	Cable		13.800	0.7	8	7	11	76.71	1.4	-40.06	0.0	0.0	0.3
I502_MTS-1	MTS_L_502	IMTS_L_502	1P_15KV.CU.3/0	Cable		0.240	0.0	8	7	11	76.73	79.0	-40.50	0.0	0.0	18.8
9920_MTA-1	MTA_S_9920	MTA_S_14143	AAAC5005.2,NONE,NONE,AAAC5005.2,NONE,1CP	Línea aérea por fase		13.800	0.4	6	5	7	76.77	0.9	-40.01	0.0	0.0	0.8
14143_MTA-1	MTA_S_14143	MTA_L_14143	AAAC5005.2,NONE,NONE,AAAC5005.2,NONE,1CP	Línea aérea por fase		13.800	0.4	6	5	7	76.77	0.9	-40.01	0.0	0.0	0.8
I14143_MTA-1	MTA_L_14143	IMTA_L_14143	AAAC5005.2,NONE,NONE,AAAC5005.2,NONE,1CP	Línea aérea por fase		0.240	0.0	5	5	7	76.73	52.6	-40.49	0.0	0.0	48.3

Flujo de carga - Líneas y cables

Nro. equipo	Nodo origen	Nodo destino	Id equipo	Código	V (kVLL)	Tensión de base (kVLL)	Longitud (m)	Potencia total de paso (kW)	Potencia total de paso (kvar)	Potencia total de paso (kVA)	Fp promedio (%)	IEquil (A)	Desfase I (°)	Pérdidas totales (kW)	Pérdidas totales (kvar)	Carga (%)
7583_MTA-1	MTA_S_4765	MTA_S_9919	ACSR.1/0,ACSR.1/0,ACSR.1/0,ACSR.2,NONE,3CP	Línea aérea por fase	13.6	13.800	13.6	6	5	7	76.73	0.3	-40.01	0.0	0.0	0.4
9919_MTA-1	MTA_S_9919	MTA_S_14142	NONE,NONE,AAAC5005.2,AAAC5005.2,NONE,1CP	Línea aérea por fase		13.800	0.4	6	5	7	76.77	0.9	-40.06	0.0	0.0	0.8
14142_MTA-1	MTA_S_14142	MTA_L_14142	NONE,NONE,AAAC5005.2,AAAC5005.2,NONE,1CP	Línea aérea por fase		13.800	0.4	6	5	7	76.77	0.9	-40.06	0.0	0.0	0.8
114142_MTA-1	MTA_L_14142	IMTA_L_14142	NONE,NONE,AAAC5005.2,AAAC5005.2,NONE,1CP	Línea aérea por fase		0.240	0.0	5	5	7	76.73	52.5	-40.55	0.0	0.0	48.2
7590_MTA-1	MTA_L_7578	MTA_L_7590	NONE,NONE,ACSR.2,ACSR.2,NONE,1CP	Línea aérea por fase		13.800	32.5	8	7	11	76.77	1.4	-40.06	0.0	0.0	0.8
6818_MTA-1	MTA_L_7590	MTA_L_6818	NONE,NONE,ACSR.2,ACSR.2,NONE,1CP	Línea aérea por fase		13.800	40.1	8	7	11	76.74	1.4	-40.08	0.0	0.0	0.8
11485_MTA-1	MTA_L_6818	MTA_L_11485	NONE,NONE,AAAC5005.2,AAAC5005.2,NONE,1CP	Línea aérea por fase		13.800	0.4	8	7	11	76.71	1.4	-40.11	0.0	0.0	1.3
13470_MTA-1	MTA_L_11485	MTA_L_13470	NONE,NONE,AAAC5005.2,AAAC5005.2,NONE,1CP	Línea aérea por fase		13.800	0.4	8	7	11	76.71	1.4	-40.11	0.0	0.0	1.3
113470_MTA-1	MTA_L_13470	IMTA_L_13470	NONE,NONE,AAAC5005.2,AAAC5005.2,NONE,1CP	Línea aérea por fase		0.240	0.0	8	7	11	76.73	78.8	-40.54	0.0	0.0	72.3
9918_MTA-1	MTA_L_7577	MTA_L_9918	AAAC5005.2,NONE,NONE,AAAC5005.2,NONE,1CP	Línea aérea por fase		13.800	0.4	8	7	11	76.71	1.4	-40.05	0.0	0.0	1.3
14141_MTA-1	MTA_L_9918	MTA_L_14141	AAAC5005.2,NONE,NONE,AAAC5005.2,NONE,1CP	Línea aérea por fase		13.800	0.4	8	7	11	76.71	1.4	-40.05	0.0	0.0	1.3
114141_MTA-1	MTA_L_14141	IMTA_L_14141	AAAC5005.2,NONE,NONE,AAAC5005.2,NONE,1CP	Línea aérea por fase		0.240	0.0	8	7	11	76.73	78.9	-40.49	0.0	0.0	72.4
7120_MTA-1	MTA_S_6416	MTA_L_7120	ACSR.1/0,ACSR.1/0,ACSR.1/0,ACSR.2,NONE,3CP	Línea aérea por fase	13.7	13.800	10.8	78	64	101	77.31	4.3	-39.46	0.0	0.0	3.6
7121_MTA-1	MTA_L_7120	MTA_L_7121	ACSR.1/0,ACSR.1/0,ACSR.1/0,ACSR.2,NONE,3CP	Línea aérea por fase	13.7	13.800	48.3	78	64	101	77.30	4.3	-39.46	0.0	0.0	3.6
10562_MTA-1	MTA_L_7121	MTA_L_10562	NONE,AAAC5005.2,NONE,AAAC5005.2,NONE,1CP	Línea aérea por fase		13.800	0.4	2	2	3	76.96	0.4	-39.83	0.0	0.0	0.3
14320_MTA-1	MTA_L_10562	MTA_L_14320	NONE,AAAC5005.2,NONE,AAAC5005.2,NONE,1CP	Línea aérea por fase		13.800	0.4	2	2	3	76.96	0.4	-39.83	0.0	0.0	0.3
114320_MTA-1	MTA_L_14320	IMTA_L_14320	NONE,AAAC5005.2,NONE,AAAC5005.2,NONE,1CP	Línea aérea por fase		0.240	0.0	2	2	3	76.73	21.0	-40.48	0.0	0.0	19.2
115287_MTA-1	MTA_L_7121	MTA_L_115287	ACSR.1/0,ACSR.1/0,ACSR.1/0,ACSR.2,NONE,3CP	Línea aérea por fase	13.7	13.800	1.4	76	62	98	77.30	4.1	-39.47	0.0	0.0	3.6
115288_MTA-1	MTA_L_115287	MTA_S_5810	ACSR.1/0,ACSR.1/0,ACSR.1/0,ACSR.2,NONE,3CP	Línea aérea por fase	13.7	13.800	45.7	76	62	98	77.30	4.1	-39.47	0.0	0.0	3.6
115289_MTA-1	MTA_S_5810	MTA_L_115289	ACSR.2,NONE,NONE,ACSR.2,NONE,1CP	Línea aérea por fase		13.800	1.3	2	2	3	77.19	0.4	-39.54	0.0	0.0	0.2
115290_MTA-1	MTA_L_115289	MTA_L_115290	ACSR.2,NONE,NONE,ACSR.2,NONE,1CP	Línea aérea por fase		13.800	60.1	2	2	3	77.19	0.4	-39.55	0.0	0.0	0.2
5809_MTA-1	MTA_L_115290	MTA_S_10563	ACSR.2,NONE,NONE,ACSR.2,NONE,1CP	Línea aérea por fase		13.800	20.2	2	2	3	77.02	0.4	-39.70	0.0	0.0	0.2
10563_MTA-1	MTA_S_10563	MTA_L_10563	AAAC5005.2,NONE,NONE,AAAC5005.2,NONE,1CP	Línea aérea por fase		13.800	0.4	2	2	3	76.96	0.4	-39.75	0.0	0.0	0.3
14321_MTA-1	MTA_L_10563	MTA_L_14321	AAAC5005.2,NONE,NONE,AAAC5005.2,NONE,1CP	Línea aérea por fase		13.800	0.4	2	2	3	76.96	0.4	-39.75	0.0	0.0	0.3
114321_MTA-1	MTA_L_14321	IMTA_L_14321	AAAC5005.2,NONE,NONE,AAAC5005.2,NONE,1CP	Línea aérea por fase		0.240	0.0	2	2	3	76.73	20.9	-40.40	0.0	0.0	19.2

Flujo de carga - Líneas y cables

Nro. equipo	Nodo origen	Nodo destino	Id equipo	Código	V (kVLL)	Tensión de base (kVLL)	Longitud (m)	Potencia total de paso (kW)	Potencia total de paso (kvar)	Potencia total de paso (kVA)	Fp promedio (%)	IEquil (A)	Desfase I (°)	Pérdidas totales (kW)	Pérdidas totales (kvar)	Carga (%)
5810_MTA-1	MTA_S_5810	MTA_S_5811	ACSR.1/0,ACSR.1/0,ACSR.1/0,ACSR.2,NONE,3CP	Línea aérea por fase	13.7	13.800	33.9	74	60	95	77.28	4.0	-39.48	0.0	0.0	3.4
5811_MTA-1	MTA_S_5811	MTA_S_5812	ACSR.1/0,ACSR.1/0,ACSR.1/0,ACSR.2,NONE,3CP	Línea aérea por fase	13.7	13.800	33.7	68	56	88	77.29	3.7	-39.47	0.0	0.0	3.4
5812_MTA-1	MTA_S_5812	MTA_S_5813	ACSR.1/0,ACSR.1/0,ACSR.1/0,ACSR.2,NONE,3CP	Línea aérea por fase	13.7	13.800	68.0	68	56	88	77.28	3.7	-39.48	0.0	0.0	3.4
5813_MTA-1	MTA_S_5813	MTA_S_5814	ACSR.1/0,ACSR.1/0,ACSR.1/0,ACSR.2,NONE,3CP	Línea aérea por fase	13.7	13.800	38.0	68	56	88	77.25	3.7	-39.50	0.0	0.0	3.4
5814_MTA-1	MTA_S_5814	MTA_S_5815	ACSR.1/0,ACSR.1/0,ACSR.1/0,ACSR.2,NONE,3CP	Línea aérea por fase	13.7	13.800	44.1	68	56	88	77.24	3.7	-39.52	0.0	0.0	3.4
5815_MTA-1	MTA_S_5815	MTA_S_5816	ACSR.1/0,ACSR.1/0,ACSR.1/0,ACSR.2,NONE,3CP	Línea aérea por fase	13.7	13.800	38.1	68	56	88	77.22	3.7	-39.53	0.0	0.0	3.4
5816_MTA-1	MTA_S_5816	MTA_S_10564	ACSR.1/0,ACSR.1/0,ACSR.1/0,ACSR.2,NONE,3CP	Línea aérea por fase	13.7	13.800	39.0	68	56	88	77.21	3.7	-39.55	0.0	0.0	3.4
10564_MTA-1	MTA_S_10564	MTA_S_14322	NONE,AAAC5005.2,NONE,AAAC5005.2,NONE,1CP	Línea aérea por fase		13.800	0.4	3	3	4	76.86	0.6	-39.91	0.0	0.0	0.5
14322_MTA-1	MTA_S_14322	MTA_L_14322	NONE,AAAC5005.2,NONE,AAAC5005.2,NONE,1CP	Línea aérea por fase		13.800	0.4	3	3	4	76.86	0.6	-39.91	0.0	0.0	0.5
14322_MTA-1	MTA_L_14322	IMTA_L_14322	NONE,AAAC5005.2,NONE,AAAC5005.2,NONE,1CP	Línea aérea por fase		0.240	0.0	3	3	4	76.73	31.4	-40.48	0.0	0.0	28.8
7591_MTA-1	MTA_S_10564	MTA_L_7591	ACSR.1/0,ACSR.1/0,ACSR.1/0,ACSR.2,NONE,3CP	Línea aérea por fase	13.7	13.800	40.2	65	53	84	77.21	3.5	-39.54	0.0	0.0	3.4
1665_MTA-1	MTA_L_7591	MTA_L_1665	ACSR.1/0,ACSR.1/0,ACSR.1/0,ACSR.2,NONE,3CP	Línea aérea por fase	13.7	13.800	40.6	65	53	84	77.19	3.5	-39.56	0.0	0.0	3.4
1666_MTA-1	MTA_L_1665	MTA_S_1667	ACSR.1/0,ACSR.1/0,ACSR.1/0,ACSR.2,NONE,3CP	Línea aérea por fase	13.7	13.800	37.3	65	53	84	77.18	3.5	-39.57	0.0	0.0	3.4
1667_MTA-1	MTA_S_1667	MTA_L_1667	ACSR.1/0,ACSR.1/0,ACSR.1/0,ACSR.2,NONE,3CP	Línea aérea por fase	13.7	13.800	55.6	65	53	84	77.16	3.5	-39.58	0.0	0.0	3.4
7593_MTA-1	MTA_L_1667	MTA_S_7212	ACSR.1/0,ACSR.1/0,ACSR.1/0,ACSR.2,NONE,3CP	Línea aérea por fase	13.7	13.800	19.4	65	53	84	77.14	3.5	-39.61	0.0	0.0	3.4
7212_MTA-1	MTA_S_7212	MTA_S_115293	ACSR.1/0,ACSR.1/0,ACSR.1/0,ACSR.2,NONE,3CP	Línea aérea por fase	13.7	13.800	47.7	65	53	84	77.13	3.5	-39.61	0.0	0.0	3.4
115293_MTA-1	MTA_S_115293	MTA_L_115293	ACSR.1/0,ACSR.1/0,ACSR.1/0,ACSR.2,NONE,3CP	Línea aérea por fase	13.7	13.800	0.8	65	53	84	77.11	3.5	-39.63	0.0	0.0	3.4
115294_MTA-1	MTA_L_115293	MTA_L_115294	ACSR.1/0,ACSR.1/0,ACSR.1/0,ACSR.2,NONE,3CP	Línea aérea por fase	13.7	13.800	51.4	65	53	84	77.11	3.5	-39.63	0.0	0.0	3.4
10565_MTA-1	MTA_L_115294	MTA_S_14323	AAAC5005.2,NONE,NONE,AAAC5005.2,NONE,1CP	Línea aérea por fase		13.800	0.4	8	7	11	76.72	1.4	-39.98	0.0	0.0	1.3
14323_MTA-1	MTA_S_14323	MTA_L_14323	AAAC5005.2,NONE,NONE,AAAC5005.2,NONE,1CP	Línea aérea por fase		13.800	0.4	8	7	11	76.72	1.4	-39.98	0.0	0.0	1.3
14323_MTA-1	MTA_L_14323	IMTA_L_14323	AAAC5005.2,NONE,NONE,AAAC5005.2,NONE,1CP	Línea aérea por fase		0.240	0.0	8	7	11	76.73	78.5	-40.41	0.0	0.0	72.1
7214_MTA-1	MTA_L_115294	MTA_L_7214	ACSR.1/0,ACSR.1/0,ACSR.1/0,ACSR.2,NONE,3CP	Línea aérea por fase	13.7	13.800	38.4	56	46	73	77.15	3.1	-39.60	0.0	0.0	2.8
7215_MTA-1	MTA_L_7214	MTA_L_7215	ACSR.1/0,ACSR.1/0,ACSR.1/0,ACSR.2,NONE,3CP	Línea aérea por fase	13.7	13.800	44.6	56	46	73	77.13	3.1	-39.62	0.0	0.0	2.8
7503_MTA-1	MTA_L_7215	MTA_S_7504	ACSR.1/0,ACSR.1/0,ACSR.1/0,ACSR.2,NONE,3CP	Línea aérea por fase	13.7	13.800	47.0	56	46	73	77.11	3.1	-39.64	0.0	0.0	2.8
10566_MTA-1	MTA_S_7504	MTA_S_14324	AAAC5005.2,NONE,NONE,AAAC5005.2,NONE,1CP	Línea aérea por fase		13.800	0.4	6	5	7	76.78	0.9	-39.92	0.0	0.0	0.8

Flujo de carga - Líneas y cables

Nro. equipo	Nodo origen	Nodo destino	Id equipo	Código	V (kVLL)	Tensión de base (kVLL)	Longitud (m)	Potencia total de paso (kW)	Potencia total de paso (kvar)	Potencia total de paso (kVA)	Fp promedio (%)	IEquil (A)	Desfase I (°)	Pérdidas totales (kW)	Pérdidas totales (kvar)	Carga (%)
14324_MTA-1	MTA_S_14324	MTA_L_14324	AAAC5005.2,NONE,NONE,AAAC5005.2,NONE,1CP	Línea aérea por fase		13.800	0.4	6	5	7	76.78	0.9	-39.92	0.0	0.0	0.8
114324_MTA-1	MTA_L_14324	IMTA_L_14324	AAAC5005.2,NONE,NONE,AAAC5005.2,NONE,1CP	Línea aérea por fase		0.240	0.0	5	5	7	76.73	52.4	-40.41	0.0	0.0	48.0
7504_MTA-1	MTA_S_7504	MTA_L_7504	ACSR.1/0,ACSR.1/0,ACSR.1/0,ACSR.2,NONE,3CP	Línea aérea por fase	13.7	13.800	50.5	51	42	66	77.12	2.8	-39.63	0.0	0.0	2.4
7505_MTA-1	MTA_L_7504	MTA_L_7505	ACSR.1/0,ACSR.1/0,ACSR.1/0,ACSR.2,NONE,3CP	Línea aérea por fase	13.7	13.800	54.8	51	42	66	77.10	2.8	-39.65	0.0	0.0	2.4
6147_MTA-1	MTA_S_6147	MTA_L_7505	ACSR.1/0,ACSR.1/0,ACSR.1/0,ACSR.2,NONE,3CP	Línea aérea por fase	13.7	13.800	50.9	51	42	66	77.07	2.8	-39.67	0.0	0.0	2.4
115265_MTA-1	MTA_S_6147	MTA_L_115265	ACSR.2,NONE,NONE,ACSR.2,NONE,1CP	Línea aérea por fase		13.800	3.2	26	21	33	77.36	4.2	-39.40	0.0	0.0	2.3
115266_MTA-1	MTA_L_115265	MTA_L_115266	ACSR.2,NONE,NONE,ACSR.2,NONE,1CP	Línea aérea por fase		13.800	129.9	26	21	33	77.36	4.2	-39.40	0.0	0.0	2.3
7822_MTA-1	MTA_L_115266	MTA_L_7822	ACSR.2,NONE,NONE,ACSR.2,NONE,1CP	Línea aérea por fase		13.800	81.2	26	21	33	77.33	4.2	-39.43	0.0	0.0	2.3
6861_MTA-1	MTA_L_7822	MTA_S_6862	ACSR.2,NONE,NONE,ACSR.4,NONE,1CP	Línea aérea por fase		13.800	86.5	26	21	33	77.31	4.2	-39.45	0.0	0.0	2.3
6862_MTA-1	MTA_S_6862	MTA_S_6863	ACSR.2,NONE,NONE,ACSR.4,NONE,1CP	Línea aérea por fase		13.800	44.6	26	21	33	77.28	4.2	-39.47	0.0	0.0	2.3
6863_MTA-1	MTA_S_6863	MTA_S_6864	ACSR.2,NONE,NONE,ACSR.4,NONE,1CP	Línea aérea por fase		13.800	38.1	26	21	33	77.27	4.2	-39.48	0.0	0.0	2.3
115556_MTA-1	MTA_S_6864	MTA_L_115556	AAAC5005.2,NONE,NONE,AAAC5005.2,NONE,1CP	Línea aérea por fase		13.800	0.5	3	3	4	76.86	0.6	-39.85	0.0	0.0	0.5
115557_MTA-1	MTA_L_115556	MTA_L_115557	AAAC5005.2,NONE,NONE,AAAC5005.2,NONE,1CP	Línea aérea por fase		13.800	0.5	3	3	4	76.86	0.6	-39.85	0.0	0.0	0.5
115557_MTA-1	MTA_L_115557	IMTA_L_115557	AAAC5005.2,NONE,NONE,AAAC5005.2,NONE,1CP	Línea aérea por fase		0.240	0.0	3	3	4	76.73	31.4	-40.41	0.0	0.0	28.8
6864_MTA-1	MTA_S_6864	MTA_S_6865	ACSR.2,NONE,NONE,ACSR.4,NONE,1CP	Línea aérea por fase		13.800	33.1	22	18	29	77.32	3.7	-39.43	0.0	0.0	2.0
6865_MTA-1	MTA_S_6865	MTA_L_6865	ACSR.2,NONE,NONE,ACSR.4,NONE,1CP	Línea aérea por fase		13.800	43.4	22	18	29	77.31	3.7	-39.44	0.0	0.0	2.0
7642_MTA-1	MTA_L_6865	MTA_S_6866	ACSR.2,NONE,NONE,ACSR.4,NONE,1CP	Línea aérea por fase		13.800	33.5	22	18	29	77.30	3.7	-39.45	0.0	0.0	2.0
10571_MTA-1	MTA_S_6866	MTA_L_10571	AAAC5005.2,NONE,NONE,AAAC5005.2,NONE,1CP	Línea aérea por fase		13.800	0.4	6	5	7	76.78	0.9	-39.92	0.0	0.0	0.8
14329_MTA-1	MTA_L_10571	MTA_L_14329	AAAC5005.2,NONE,NONE,AAAC5005.2,NONE,1CP	Línea aérea por fase		13.800	0.4	6	5	7	76.78	0.9	-39.92	0.0	0.0	0.8
114329_MTA-1	MTA_L_14329	IMTA_L_14329	AAAC5005.2,NONE,NONE,AAAC5005.2,NONE,1CP	Línea aérea por fase		0.240	0.0	5	5	7	76.73	52.4	-40.41	0.0	0.0	48.1
6866_MTA-1	MTA_S_6866	MTA_S_6867	ACSR.2,NONE,NONE,ACSR.4,NONE,1CP	Línea aérea por fase		13.800	53.6	17	14	22	77.46	2.7	-39.31	0.0	0.0	1.5
6867_MTA-1	MTA_S_6867	MTA_S_6868	ACSR.2,NONE,NONE,ACSR.4,NONE,1CP	Línea aérea por fase		13.800	56.8	17	14	22	77.44	2.7	-39.33	0.0	0.0	1.5
6868_MTA-1	MTA_S_6868	MTA_S_6869	ACSR.2,NONE,NONE,ACSR.4,NONE,1CP	Línea aérea por fase		13.800	40.3	17	14	22	77.42	2.7	-39.34	0.0	0.0	1.5
10572_MTA-1	MTA_S_6869	MTA_L_10572	AAAC5005.2,NONE,NONE,AAAC5005.2,NONE,1CP	Línea aérea por fase		13.800	0.4	3	3	4	76.86	0.6	-39.85	0.0	0.0	0.5
14330_MTA-1	MTA_L_10572	MTA_L_14330	AAAC5005.2,NONE,NONE,AAAC5005.2,NONE,1CP	Línea aérea por fase		13.800	0.4	3	3	4	76.86	0.6	-39.85	0.0	0.0	0.5

Flujo de carga - Líneas y cables

Nro. equipo	Nodo origen	Nodo destino	Id equipo	Código	V (kVLL)	Tensión de base (kVLL)	Longitud (m)	Potencia total de paso (kW)	Potencia total de paso (kvar)	Potencia total de paso (kVA)	Fp promedio (%)	IEquil (A)	Desfase I (°)	Pérdidas totales (kW)	Pérdidas totales (kvar)	Carga (%)
14330_MTA-1	MTA_L_14330	IMTA_L_14330	AAAC5005.2,NONE,NONE,AAAC5005.2,NONE,1CP	Línea aérea por fase		0.240	0.0	3	3	4	76.73	31.4	-40.41	0.0	0.0	28.8
6869_MTA-1	MTA_S_6869	MTA_L_6869	ACSR.2,NONE,NONE,ACSR.4,NONE,1CP	Línea aérea por fase		13.800	45.7	13	11	17	77.54	2.2	-39.24	0.0	0.0	1.2
6870_MTA-1	MTA_L_6869	MTA_S_10598	ACSR.2,NONE,NONE,ACSR.4,NONE,1CP	Línea aérea por fase		13.800	47.2	13	11	17	77.52	2.2	-39.26	0.0	0.0	1.2
10598_MTA-1	MTA_S_10598	MTA_L_10598	AAAC5005.2,NONE,NONE,AAAC5005.2,NONE,1CP	Línea aérea por fase		13.800	0.4	3	3	4	76.86	0.6	-39.85	0.0	0.0	0.5
12603_MTA-1	MTA_L_10598	MTA_L_12603	AAAC5005.2,NONE,NONE,AAAC5005.2,NONE,1CP	Línea aérea por fase		13.800	0.4	3	3	4	76.86	0.6	-39.85	0.0	0.0	0.5
112603_MTA-1	MTA_L_12603	IMTA_L_12603	AAAC5005.2,NONE,NONE,AAAC5005.2,NONE,1CP	Línea aérea por fase		0.240	0.0	3	3	4	76.73	31.4	-40.41	0.0	0.0	28.8
9020_MTA-1	MTA_S_10598	MTA_S_115558	ACSR.2,NONE,NONE,ACSR.2,NONE,1CP	Línea aérea por fase		13.800	60.4	10	8	13	77.71	1.6	-39.08	0.0	0.0	0.9
115558_MTA-1	MTA_S_115558	MTA_L_115558	ACSR.2,NONE,NONE,ACSR.2,NONE,1CP	Línea aérea por fase		13.800	1.7	10	8	13	77.67	1.6	-39.12	0.0	0.0	0.9
115559_MTA-1	MTA_L_115558	MTA_S_115562	ACSR.2,NONE,NONE,ACSR.2,NONE,1CP	Línea aérea por fase		13.800	74.0	10	8	13	77.67	1.6	-39.12	0.0	0.0	0.9
115562_MTA-1	MTA_S_115562	MTA_L_115562	ACSR.2,NONE,NONE,ACSR.2,NONE,1CP	Línea aérea por fase		13.800	38.1	8	6	10	77.70	1.3	-39.09	0.0	0.0	0.7
115563_MTA-1	MTA_L_115562	MTA_S_9029	ACSR.2,NONE,NONE,ACSR.2,NONE,1CP	Línea aérea por fase		13.800	37.9	8	6	10	77.67	1.3	-39.12	0.0	0.0	0.7
9029_MTA-1	MTA_S_9029	MTA_S_9030	ACSR.2,NONE,NONE,ACSR.2,NONE,1CP	Línea aérea por fase		13.800	72.7	8	6	10	77.64	1.3	-39.15	0.0	0.0	0.7
9030_MTA-1	MTA_S_9030	MTA_S_9031	ACSR.2,NONE,NONE,ACSR.2,NONE,1CP	Línea aérea por fase		13.800	35.6	8	6	10	77.58	1.3	-39.20	0.0	0.0	0.7
9031_MTA-1	MTA_S_9031	MTA_L_9031	ACSR.2,NONE,NONE,ACSR.2,NONE,1CP	Línea aérea por fase		13.800	22.8	8	6	10	77.55	1.3	-39.23	0.0	0.0	0.7
10569_MTA-1	MTA_L_9031	MTA_L_10569	AAAC5005.2,NONE,NONE,AAAC5005.2,NONE,1CP	Línea aérea por fase		13.800	0.4	6	5	7	76.78	0.9	-39.92	0.0	0.0	0.8
14327_MTA-1	MTA_L_10569	MTA_L_14327	AAAC5005.2,NONE,NONE,AAAC5005.2,NONE,1CP	Línea aérea por fase		13.800	0.4	6	5	7	76.78	0.9	-39.92	0.0	0.0	0.8
14327_MTA-1	MTA_L_14327	IMTA_L_14327	AAAC5005.2,NONE,NONE,AAAC5005.2,NONE,1CP	Línea aérea por fase		0.240	0.0	5	5	7	76.73	52.4	-40.42	0.0	0.0	48.1
9032_MTA-1	MTA_L_9031	MTA_S_9094	ACSR.2,NONE,NONE,ACSR.2,NONE,1CP	Línea aérea por fase		13.800	40.2	2	2	3	79.42	0.4	-37.50	0.0	0.0	0.2
9094_MTA-1	MTA_S_9094	MTA_S_9095	ACSR.2,NONE,NONE,ACSR.2,NONE,1CP	Línea aérea por fase		13.800	31.5	2	2	3	79.30	0.4	-37.61	0.0	0.0	0.2
9095_MTA-1	MTA_S_9095	MTA_L_6858	ACSR.2,NONE,NONE,ACSR.2,NONE,1CP	Línea aérea por fase		13.800	82.8	2	2	3	79.21	0.4	-37.70	0.0	0.0	0.2
115564_MTA-1	MTA_L_6858	MTA_S_115565	ACSR.2,NONE,NONE,ACSR.4,NONE,1CP	Línea aérea por fase		13.800	2.3	0	0	0	-0.00	0.0	89.92	0.0	-0.0	0.0
115565_MTA-1	MTA_S_115565	MTA_S_6860	ACSR.2,NONE,NONE,ACSR.4,NONE,1CP	Línea aérea por fase		13.800	221.4	0	0	0	-0.00	0.0	89.92	0.0	-0.0	0.0
6860_MTA-1	MTA_S_6860	MTA_L_6860	ACSR.2,NONE,NONE,ACSR.4,NONE,1CP	Línea aérea por fase		13.800	295.2	0	0	0	0.00	0.0	89.92	-0.0	-0.0	0.0
6858_MTA-1	MTA_S_6858	MTA_L_6858	ACSR.2,NONE,NONE,ACSR.4,NONE,1CP	Línea aérea por fase		13.800	48.6	2	2	3	77.49	0.4	-39.28	0.0	0.0	0.2
7511_MTA-1	MTA_S_7511	MTA_S_6858	ACSR.2,NONE,NONE,ACSR.4,NONE,1CP	Línea aérea por fase		13.800	81.9	2	2	3	77.35	0.4	-39.41	0.0	0.0	0.2

Flujo de carga - Líneas y cables

Nro. equipo	Nodo origen	Nodo destino	Id equipo	Código	V (kVLL)	Tensión de base (kVLL)	Longitud (m)	Potencia total de paso (kW)	Potencia total de paso (kvar)	Potencia total de paso (kVA)	Fp promedio (%)	IEquil (A)	Desfase I (°)	Pérdidas totales (kW)	Pérdidas totales (kvar)	Carga (%)
7509_MTA-1	MTA_S_10568	MTA_S_7511	ACSR.2,NONE,NONE,ACSR.4,NONE,1CP	Línea aérea por fase		13.800	58.1	2	2	3	77.12	0.4	-39.62	0.0	0.0	0.2
10568_MTA-1	MTA_S_10568	MTA_S_14326	AAAC5005.2,NONE,NONE,AAAC5005.2,NONE,1CP	Línea aérea por fase		13.800	0.4	2	2	3	76.96	0.4	-39.77	0.0	0.0	0.3
14326_MTA-1	MTA_S_14326	MTA_L_14326	AAAC5005.2,NONE,NONE,AAAC5005.2,NONE,1CP	Línea aérea por fase		13.800	0.4	2	2	3	76.95	0.4	-39.77	0.0	0.0	0.3
114326_MTA-1	MTA_L_14326	IMTA_L_14326	AAAC5005.2,NONE,NONE,AAAC5005.2,NONE,1CP	Línea aérea por fase		0.240	0.0	2	2	3	76.73	21.0	-40.42	0.0	0.0	19.2
9025_MTA-1	MTA_S_115562	MTA_L_9025	ACSR.2,NONE,NONE,ACSR.2,NONE,1CP	Línea aérea por fase		13.800	33.2	2	2	3	77.36	0.4	-39.40	0.0	0.0	0.2
9026_MTA-1	MTA_L_9025	MTA_S_11354	ACSR.2,NONE,NONE,ACSR.2,NONE,1CP	Línea aérea por fase		13.800	54.3	2	2	3	77.26	0.4	-39.49	0.0	0.0	0.2
11354_MTA-1	MTA_S_11354	MTA_S_13338	AAAC5005.2,NONE,NONE,AAAC5005.2,NONE,1CP	Línea aérea por fase		13.800	0.4	2	2	3	76.96	0.4	-39.76	0.0	0.0	0.3
13338_MTA-1	MTA_S_13338	MTA_L_13338	AAAC5005.2,NONE,NONE,AAAC5005.2,NONE,1CP	Línea aérea por fase		13.800	0.4	2	2	3	76.95	0.4	-39.77	0.0	0.0	0.3
113338_MTA-1	MTA_L_13338	IMTA_L_13338	AAAC5005.2,NONE,NONE,AAAC5005.2,NONE,1CP	Línea aérea por fase		0.240	0.0	2	2	3	76.73	21.0	-40.41	0.0	0.0	19.2
9027_MTA-1	MTA_S_11354	MTA_L_9027	ACSR.2,NONE,NONE,ACSR.2,NONE,1CP	Línea aérea por fase		13.800	53.0	0	0	0	0.00	0.0	89.92	-0.0	-0.0	0.0
115295_MTA-1	MTA_S_6147	MTA_L_115295	ACSR.2,ACSR.2,ACSR.2,ACSR.2,NONE,3CP	Línea aérea por fase	13.7	13.800	2.8	25	21	33	76.72	1.4	-40.00	0.0	0.0	0.8
115296_MTA-1	MTA_L_115295	MTA_L_115296	ACSR.2,ACSR.2,ACSR.2,ACSR.2,NONE,3CP	Línea aérea por fase	13.7	13.800	50.1	25	21	33	76.72	1.4	-40.00	0.0	0.0	0.8
7507_MTA-1	MTA_L_115296	MTA_L_7507	ACSR.2,ACSR.2,ACSR.2,ACSR.2,NONE,3CP	Línea aérea por fase	13.7	13.800	4.9	25	21	33	76.67	1.4	-40.05	0.0	0.0	0.8
10567_MTA-1	MTA_L_7507	MTA_L_10567	AAAC5005.2,AAAC5005.2,AAAC5005.2,AAAC5005.2,NONE,3CP	Línea aérea por fase	13.7	13.800	0.4	25	21	33	76.66	1.4	-40.05	0.0	0.0	1.3
14325_MTA-1	MTA_L_10567	MTA_L_14325	AAAC5005.2,AAAC5005.2,AAAC5005.2,AAAC5005.2,NONE,3CP	Línea aérea por fase	13.7	13.800	0.4	25	21	33	76.66	1.4	-40.05	0.0	0.0	1.3
114325_MTA-1	MTA_L_14325	IMTA_L_14325	AAAC5005.2,AAAC5005.2,AAAC5005.2,AAAC5005.2,NONE,3CP	Línea aérea por fase	0.2	0.240	0.0	25	21	32	76.73	78.6	-10.49	0.0	0.0	72.1
9038_MTA-1	MTA_S_5811	MTA_L_9038	NONE,ACSR.2,NONE,ACSR.4,NONE,1CP	Línea aérea por fase		13.800	18.3	6	5	7	77.03	0.9	-39.76	0.0	0.0	0.5
115291_MTA-1	MTA_L_9038	MTA_S_115292	NONE,ACSR.2,NONE,ACSR.4,NONE,1CP	Línea aérea por fase		13.800	0.3	6	5	7	77.01	0.9	-39.78	0.0	0.0	0.5
115292_MTA-1	MTA_S_115292	MTA_L_115292	NONE,ACSR.2,NONE,ACSR.4,NONE,1CP	Línea aérea por fase		13.800	40.4	6	5	7	77.01	0.9	-39.78	0.0	0.0	0.5
9040_MTA-1	MTA_L_115292	MTA_L_9040	NONE,ACSR.2,NONE,ACSR.4,NONE,1CP	Línea aérea por fase		13.800	38.7	6	5	7	76.96	0.9	-39.82	0.0	0.0	0.5
9041_MTA-1	MTA_L_9040	MTA_S_9042	NONE,ACSR.2,NONE,ACSR.4,NONE,1CP	Línea aérea por fase		13.800	22.2	6	5	7	76.92	0.9	-39.86	0.0	0.0	0.5
11910_MTA-1	MTA_S_9042	MTA_S_14477	NONE,AAAC5005.2,NONE,AAAC5005.2,NONE,1CP	Línea aérea por fase		13.800	0.4	6	5	7	76.78	0.9	-39.99	0.0	0.0	0.8
14477_MTA-1	MTA_S_14477	MTA_L_14477	NONE,AAAC5005.2,NONE,AAAC5005.2,NONE,1CP	Línea aérea por fase		13.800	0.4	6	5	7	76.78	0.9	-39.99	0.0	0.0	0.8
114477_MTA-1	MTA_L_14477	IMTA_L_14477	NONE,AAAC5005.2,NONE,AAAC5005.2,NONE,1CP	Línea aérea por fase		0.240	0.0	5	5	7	76.73	52.4	-40.48	0.0	0.0	48.1
9042_MTA-1	MTA_S_9042	MTA_S_9043	NONE,ACSR.2,NONE,ACSR.4,NONE,1CP	Línea aérea por fase		13.800	34.1	0	0	0	0.00	0.0	89.86	-0.0	-0.0	0.0

Flujo de carga - Líneas y cables

Nro. equipo	Nodo origen	Nodo destino	Id equipo	Código	V (kVLL)	Tensión de base (kVLL)	Longitud (m)	Potencia total de paso (kW)	Potencia total de paso (kvar)	Potencia total de paso (kVA)	Fp promedio (%)	IEquil (A)	Desfase l (°)	Pérdidas totales (kW)	Pérdidas totales (kvar)	Carga (%)
9043_MTA-1	MTA_S_9043	MTA_S_9044	NONE,ACSR.2,NONE,ACSR.4,NONE,1CP	Línea aérea por fase		13.800	35.9	0	0	0	0.00	0.0	89.86	-0.0	-0.0	0.0
9044_MTA-1	MTA_S_9044	MTA_L_9044	NONE,ACSR.2,NONE,ACSR.4,NONE,1CP	Línea aérea por fase		13.800	29.9	0	0	0	0.00	0.0	89.86	-0.0	-0.0	0.0
11776_MTA-1	MTA_L_114613	MTA_S_13763	AAAC5005.2,NONE,AAAC5005.2,AAAC5005.2,NONE,2CP	Línea aérea por fase	13.7	13.800	0.2	7	5	8	77.38	0.5	-39.35	0.0	0.0	1.0
13763_MTA-1	MTA_S_13763	MTA_L_13763	AAAC5005.2,NONE,AAAC5005.2,AAAC5005.2,NONE,2CP	Línea aérea por fase	13.7	13.800	0.2	7	5	8	77.38	0.5	-39.35	0.0	0.0	1.0
113763_MTA-1	MTA_L_13763	IMTA_L_13763	AAAC5005.2,NONE,AAAC5005.2,AAAC5005.2,NONE,2CP	Línea aérea por fase	0.2	0.240	0.0	6	5	8	76.73	30.0	-10.19	0.0	0.0	31.8
11775_MTA-1	MTA_S_11775	MTA_L_11775	NONE,AAAC5005.2,NONE,AAAC5005.2,NONE,1CP	Línea aérea por fase		13.800	0.2	8	7	11	76.72	1.4	-40.00	0.0	0.0	1.3
13762_MTA-1	MTA_L_11775	MTA_L_13762	NONE,AAAC5005.2,NONE,AAAC5005.2,NONE,1CP	Línea aérea por fase		13.800	0.2	8	7	11	76.72	1.4	-40.00	0.0	0.0	1.3
113762_MTA-1	MTA_L_13762	IMTA_L_13762	NONE,AAAC5005.2,NONE,AAAC5005.2,NONE,1CP	Línea aérea por fase		0.240	0.0	8	7	11	76.73	78.4	-40.44	0.0	0.0	71.9
1726_MTA-1	MTA_S_1726	MTA_S_1727	ACSR.2,ACSR.2,ACSR.2,ACSR.2,NONE,3CP	Línea aérea por fase	13.7	13.800	27.1	0	0	0	0.00	0.0	89.95	-0.0	-0.0	0.0
1727_MTA-1	MTA_S_1727	MTA_S_2984	ACSR.2,ACSR.2,ACSR.2,ACSR.2,NONE,3CP	Línea aérea por fase	13.7	13.800	16.2	10	8	13	77.02	0.5	-39.68	0.0	0.0	0.5
2984_MTA-1	MTA_S_2984	MTA_S_11907	ACSR.2,ACSR.2,ACSR.2,ACSR.4,NONE,3CP	Línea aérea por fase	13.7	13.800	33.3	10	8	13	76.98	0.5	-39.71	0.0	0.0	0.5
11907_MTA-1	MTA_S_11907	MTA_S_14474	AAAC5005.2,AAAC5005.2,AAAC5005.2,AAAC5005.2,NONE,3CP	Línea aérea por fase	13.7	13.800	0.4	7	6	9	76.87	0.4	-39.81	0.0	0.0	0.3
14474_MTA-1	MTA_S_14474	MTA_L_14474	AAAC5005.2,AAAC5005.2,AAAC5005.2,AAAC5005.2,NONE,3CP	Línea aérea por fase	13.7	13.800	0.4	7	6	9	76.87	0.4	-39.81	0.0	0.0	0.3
114474_MTA-1	MTA_L_14474	IMTA_L_14474	AAAC5005.2,AAAC5005.2,AAAC5005.2,AAAC5005.2,NONE,3CP	Línea aérea por fase	0.2	0.240	0.0	7	5	9	76.73	20.8	-10.38	0.0	0.0	19.1
17905_MTA-1	MTA_S_11907	MTA_S_114604	NONE,ACSR.2,NONE,ACSR.4,NONE,1CP	Línea aérea por fase		13.800	41.8	3	3	4	76.96	0.5	-39.75	0.0	0.0	0.3
114604_MTA-1	MTA_S_114604	MTA_L_114604	NONE,AAAC5005.2,NONE,AAAC5005.2,NONE,1CP	Línea aérea por fase		13.800	0.4	3	3	4	76.88	0.5	-39.82	0.0	0.0	0.5
114605_MTA-1	MTA_L_114604	MTA_L_114605	NONE,AAAC5005.2,NONE,AAAC5005.2,NONE,1CP	Línea aérea por fase		13.800	0.4	3	3	4	76.88	0.5	-39.82	0.0	0.0	0.5
114605_MTA-1	MTA_L_114605	IMTA_L_114605	NONE,AAAC5005.2,NONE,AAAC5005.2,NONE,1CP	Línea aérea por fase		0.240	0.0	3	3	4	76.73	31.2	-40.39	0.0	0.0	28.7

Método de cálculo: Caída de tensión - Desequilibrada
Tolerancia: 0.1 %
Factores de carga: Global (P=100.00%, Q=100.00%)
Factores de motor: Como definido
Factores de generador: Como definido
Condensadores shunt: On
Modelo de carga de sensibilidad: De la biblioteca

Flujo de carga - Reporte sumario				
Resumen total	kW	kvar	kVA	FP(%)
Fuentes (Potencia de equilibrio)	1722.28	1122.59	2055.83	83.78
Generadores	0.00	0.00	0.00	0.00
Producción total	1722.28	1122.59	2055.83	83.78
Carga leída (no regulada)	1666.30	1392.79	2171.73	76.73
Carga utilizada (regulada)	1666.28	1392.74	2171.69	76.73
Condensadores shunt (regulados)	0.00	-291.49	291.49	0.00
Reactancias shunt(reguladas)	0.00	0.00	0.00	0.00
Motores	0.00	0.00	0.00	0.00
Cargas totales	1666.28	1101.25	1997.31	83.43
Capacitancia del cable	-0.00	-14.68	14.68	0.00
Capacitancia de la línea	-0.00	-11.91	11.91	0.00
Capacitancia shunt total	-0.00	-26.59	26.59	0.00
Pérdidas en las líneas	19.25	18.62	26.78	71.88
Pérdidas en los cables	0.00	0.00	0.00	93.55
Pérdidas de carga del transformador	17.41	37.74	41.56	41.90
Pérdidas en vacío del transformador	28.98	0.00	28.98	100.00
Pérdidas totales	66.08	56.36	86.85	76.09

Condiciones anormales				
	Fase	Conteo	Peor caso	Valor
Sobrecarga	A	0	4768_MTA	97.18 %
	B	0	114245_MTA	96.86 %
	C	0	4768_MTA	97.55 %

Subtensión	A	2	IMTA_L_14452	96.77 %
	B	0	IMTA_L_14452	96.78 %
	C	0	IMTA_L_14452	96.85 %
Sobretensión	A	0	7604_MTA	100.00 %
	B	0	7604_MTA	100.00 %
	C	0	7604_MTA	100.00 %

Costo anual de las pérdidas del sistema			
	kW	MW-h/año	k\$/año
Pérdidas en las líneas	19.25	60.98	6.10
Pérdidas en los cables	0.00	0.01	0.00
Pérdidas de carga del transformador	17.41	55.17	5.52
Pérdidas en vacío del transformador	28.98	253.84	25.38
Pérdidas totales	66.08	371.39	37.14

CYME Complete Report

Project Name: INGRESO DE CARGAS ESPECIALES A LA RED DE DISTRIBUCIÓN PRIMARIA
Author: Walter Gonzalo Minga Solano
Company: Universidad Nacional de Loja
File Name: INGRESO DE CARGAS ESPECIALES A LA RED DE DISTRIBUCIÓN PRIMARIA estado proyectado 1.xst
Date: Wed Jul 17 2024
CYME Version: CYME 9.0 r4

Description: Análisis del alimentador primario sur de la ciudad de Loja perteneciente a la EERSSA considerando el ingreso de 6 electrolinieras con capacidad para 12 vehículos cargando en carga rápida simultáneamente.

Topología - Elementos ramales

Nro. equipo	Código	Fase	Nodo origen	Nodo destino
646_PD	Interruptor automático	ABC	NODOFUENTE-646	MTA_L_7604
7604_MTA-1	Línea aérea por fase	ABC	NODOFUENTE-646	MTA_L_7604
5682_MTA-1	Línea aérea por fase	ABC	MTA_L_7604	MTA_L_5682
5683_MTA-1	Línea aérea por fase	ABC	MTA_L_5682	MTA_S_74197
74197_MTA-1	Línea aérea por fase	ABC	MTA_S_74197	MTA_L_74197
5441	Interruptor seccionador	ABC	MTA_L_74197	MTA_L_74198
74198_MTA-1	Línea aérea por fase	ABC	MTA_L_74197	MTA_L_74198
74199_MTA-1	Línea aérea por fase	ABC	MTA_L_74198	MTA_S_5686
2657	Fusible	B	MTA_S_5686	MTA_S_13780
11793_MTA-1	Línea aérea por fase	B	MTA_S_5686	MTA_S_13780
650	Transformador con dos devanados	B	MTA_S_13780	MTA_L_13780
13780_MTA-1	Línea aérea por fase	B	MTA_S_13780	MTA_L_13780
I13780_MTA-1	Línea aérea por fase	B	MTA_L_13780	IMTA_L_13780
168759_MTA-1	Línea aérea por fase	ABC	MTA_S_168759	MTA_S_5686
25945	Fusible	ABC	MTA_S_168759	MTS_L_33033
33033_MTS-1	Cable	ABC	MTA_S_168759	MTS_L_33033
33035_MTS-1	Cable	ABC	MTS_L_33033	MTS_L_33035
33037_MTS-1	Cable	ABC	MTS_L_33035	MTS_L_33037
33039_MTS-1	Cable	ABC	MTS_L_33037	MTS_L_33039
21847	Interruptor seccionador	ABC	MTS_L_33039	MTS_L_33281
33281_MTS-1	Cable	ABC	MTS_L_33039	MTS_L_33281
33282_MTS-1	Cable	ABC	MTS_L_33281	MTS_L_33282
2192	Fusible	ABC	MTS_L_33282	MTS_L_381
381_MTS-1	Cable	ABC	MTS_L_33282	MTS_L_381
15644	Transformador con dos devanados	ABC	MTS_L_381	MTS_L_506
506_MTS-1	Cable	ABC	MTS_L_381	MTS_L_506
I506_MTS-1	Cable	ABC	MTS_L_506	IMTS_L_506
5686_MTA-1	Línea aérea por fase	ABC	MTA_S_5686	MTA_S_74202
74202_MTA-1	Línea aérea por fase	ABC	MTA_S_74202	MTA_L_168762
168762_MTA-1	Línea aérea por fase	ABC	MTS_S_33299	MTA_L_168762
30877	Fusible	ABC	MTS_S_33299	MTS_L_33299

Topología - Elementos ramales

Nro. equipo	Código	Fase	Nodo origen	Nodo destino
33299_MTS-1	Cable	ABC	MTS_S_33299	MTS_L_33299
33301_MTS-1	Cable	ABC	MTS_L_33299	MTS_L_33301
21850	Interruptor seccionador	ABC	MTS_L_33301	MTS_L_33305
33305_MTS-1	Cable	ABC	MTS_L_33301	MTS_L_33305
33306_MTS-1	Cable	ABC	MTS_L_33305	MTS_L_33306
1219	Fusible	ABC	MTS_L_33306	MTS_L_349
349_MTS-1	Cable	ABC	MTS_L_33306	MTS_L_349
15475	Transformador con dos devanados	ABC	MTS_L_349	MTS_L_464
464_MTS-1	Cable	ABC	MTS_L_349	MTS_L_464
I464_MTS-1	Cable	ABC	MTS_L_464	IMTS_L_464
170338_MTA-1	Línea aérea por fase	B	MTA_L_74205	MTA_L_168762
26077	Fusible	B	MTA_S_11717	MTA_L_74205
74205_MTA-1	Línea aérea por fase	B	MTA_S_11717	MTA_L_74205
2580	Fusible	B	MTA_S_11717	MTA_S_13704
11717_MTA-1	Línea aérea por fase	B	MTA_S_11717	MTA_S_13704
0651	Transformador con dos devanados	B	MTA_S_13704	MTA_L_13704
13704_MTA-1	Línea aérea por fase	B	MTA_S_13704	MTA_L_13704
I13704_MTA-1	Línea aérea por fase	B	MTA_L_13704	IMTA_L_13704
7971_MTA-1	Línea aérea por fase	ABC	MTA_L_168762	MTA_S_11486
2338	Fusible	B	MTA_S_11486	MTA_S_13471
11486_MTA-1	Línea aérea por fase	B	MTA_S_11486	MTA_S_13471
652	Transformador con dos devanados	B	MTA_S_13471	MTA_L_13471
13471_MTA-1	Línea aérea por fase	B	MTA_S_13471	MTA_L_13471
I13471_MTA-1	Línea aérea por fase	B	MTA_L_13471	IMTA_L_13471
7004_MTA-1	Línea aérea por fase	ABC	MTA_S_11486	MTA_S_114959
48187	Fusible	A	MTA_S_114959	MTA_L_114959
114959_MTA-1	Línea aérea por fase	A	MTA_S_114959	MTA_L_114959
653	Transformador con dos devanados	A	MTA_L_114959	MTA_L_114960
114960_MTA-1	Línea aérea por fase	A	MTA_L_114959	MTA_L_114960
I114960_MTA-1	Línea aérea por fase	A	MTA_L_114960	IMTA_L_114960
48188	Fusible	B	MTA_S_114959	MTA_L_114962

Topología - Elementos ramales

Nro. equipo	Código	Fase	Nodo origen	Nodo destino
114962_MTA-1	Línea aérea por fase	B	MTA_S_114959	MTA_L_114962
7639	Transformador con dos devanados	B	MTA_L_114962	MTA_L_114963
114963_MTA-1	Línea aérea por fase	B	MTA_L_114962	MTA_L_114963
114963_MTA-1	Línea aérea por fase	B	MTA_L_114963	IMTA_L_114963
7005_MTA-1	Línea aérea por fase	ABC	MTA_S_114959	MTA_L_7005
7006_MTA-1	Línea aérea por fase	ABC	MTA_L_7005	MTA_S_11794
2658	Fusible	C	MTA_S_11794	MTA_S_13781
11794_MTA-1	Línea aérea por fase	C	MTA_S_11794	MTA_S_13781
2391	Transformador con dos devanados	C	MTA_S_13781	MTA_L_13781
13781_MTA-1	Línea aérea por fase	C	MTA_S_13781	MTA_L_13781
13781_MTA-1	Línea aérea por fase	C	MTA_L_13781	IMTA_L_13781
1725_MTA-1	Línea aérea por fase	ABC	MTA_S_11794	MTA_S_1727
1724_MTA-1	Línea aérea por fase	ABC	MTA_S_1727	MTA_S_7972
7972_MTA-1	Línea aérea por fase	ABC	MTA_S_7972	MTA_L_7972
48189	Fusible	A	MTA_L_7972	MTA_L_114965
114965_MTA-1	Línea aérea por fase	A	MTA_L_7972	MTA_L_114965
656	Transformador con dos devanados	A	MTA_L_114965	MTA_L_114966
114966_MTA-1	Línea aérea por fase	A	MTA_L_114965	MTA_L_114966
114966_MTA-1	Línea aérea por fase	A	MTA_L_114966	IMTA_L_114966
48508	Fusible	B	MTA_L_7972	MTA_L_115254
115254_MTA-1	Línea aérea por fase	B	MTA_L_7972	MTA_L_115254
655	Transformador con dos devanados	B	MTA_L_115254	MTA_L_115255
115255_MTA-1	Línea aérea por fase	B	MTA_L_115254	MTA_L_115255
115255_MTA-1	Línea aérea por fase	B	MTA_L_115255	IMTA_L_115255
7973_MTA-1	Línea aérea por fase	ABC	MTA_L_7972	MTA_S_7007
168740_MTA-1	Línea aérea por fase	ABC	MTA_S_168740	MTA_S_7007
72217	Fusible	ABC	MTS_L_33032	MTA_S_168740
33030_MTS-1	Cable	ABC	MTS_L_33032	MTA_S_168740
21863	Interruptor seccionador	ABC	MTS_L_33031	MTS_L_33032
33032_MTS-1	Cable	ABC	MTS_L_33031	MTS_L_33032
33031_MTS-1	Cable	ABC	MTS_S_389	MTS_L_33031

Topología - Elementos ramales

Nro. equipo	Código	Fase	Nodo origen	Nodo destino
2265	Fusible	ABC	MTS_S_389	MTS_L_389
389_MTS-1	Cable	ABC	MTS_S_389	MTS_L_389
15385	Transformador con dos devanados	ABC	MTS_L_389	MTS_L_514
514_MTS-1	Cable	ABC	MTS_L_389	MTS_L_514
I514_MTS-1	Cable	ABC	MTS_L_514	IMTS_L_514
7007_MTA-1	Línea aérea por fase	ABC	MTA_S_7007	MTA_S_17919
17919_MTA-1	Línea aérea por fase	ABC	MTA_S_17919	MTS_L_33016
5288	Fusible	ABC	MTS_S_33016	MTS_L_33016
33016_MTS-1	Cable	ABC	MTS_S_33016	MTS_L_33016
33017_MTS-1	Cable	ABC	MTS_S_33016	MTS_L_33017
33019_MTS-1	Cable	ABC	MTS_L_33017	MTS_L_33019
33021_MTS-1	Cable	ABC	MTS_L_33019	MTS_L_33021
33023_MTS-1	Cable	ABC	MTS_L_33021	MTS_L_33023
21846	Interruptor seccionador	ABC	MTS_L_33023	MTS_L_33025
33025_MTS-1	Cable	ABC	MTS_L_33023	MTS_L_33025
33026_MTS-1	Cable	ABC	MTS_L_33025	MTS_L_33026
5289	Fusible	ABC	MTS_L_33026	MTS_L_1890
1890_MTS-1	Cable	ABC	MTS_L_33026	MTS_L_1890
14385	Transformador con dos devanados	ABC	MTS_L_1890	MTS_L_42571
42571_MTS-1	Cable	ABC	MTS_L_1890	MTS_L_42571
I42571_MTS-1	Cable	ABC	MTS_L_42571	IMTS_L_42571
7008_MTA-1	Línea aérea por fase	ABC	MTA_S_17919	MTA_L_7008
2659	Fusible	B	MTA_L_7008	MTA_L_11795
11795_MTA-1	Línea aérea por fase	B	MTA_L_7008	MTA_L_11795
8697	Transformador con dos devanados	B	MTA_L_11795	MTA_L_13782
13782_MTA-1	Línea aérea por fase	B	MTA_L_11795	MTA_L_13782
I13782_MTA-1	Línea aérea por fase	B	MTA_L_13782	IMTA_L_13782
7009_MTA-1	Línea aérea por fase	ABC	MTA_L_7008	MTA_S_7013
7013_MTA-1	Línea aérea por fase	ABC	MTA_S_7013	MTA_S_114606
114606_MTA-1	Línea aérea por fase	ABC	MTA_S_114606	MTA_S_114607
14081	Interruptor seccionador	ABC	MTA_S_114607	MTA_L_114607

Topología - Elementos ramales

Nro. equipo	Código	Fase	Nodo origen	Nodo destino
114607_MTA-1	Línea aérea por fase	ABC	MTA_S_114607	MTA_L_114607
2661	Fusible	C	MTA_L_114607	MTA_S_14363
11797_MTA-1	Línea aérea por fase	C	MTA_L_114607	MTA_S_14363
4820	Transformador con dos devanados	C	MTA_S_14363	MTA_L_14363
14363_MTA-1	Línea aérea por fase	C	MTA_S_14363	MTA_L_14363
l14363_MTA-1	Línea aérea por fase	C	MTA_L_14363	IMTA_L_14363
16276_MTS-1	Cable	ABC	MTA_L_114607	MTS_L_16276
47872	Fusible	ABC	MTS_L_16276	MTS_L_16277
16277_MTS-1	Cable	ABC	MTS_L_16276	MTS_L_16277
7015_MTA-1	Línea aérea por fase	ABC	MTA_L_114607	MTA_L_7015
7016_MTA-1	Línea aérea por fase	ABC	MTA_L_7015	MTA_S_11775
114613_MTA-1	Línea aérea por fase	ABC	MTA_S_11775	MTA_L_114613
114614_MTA-1	Línea aérea por fase	ABC	MTA_L_114613	MTA_L_114614
2519	Fusible	ABC	MTA_L_114614	MTA_L_11656
11656_MTA-1	Línea aérea por fase	ABC	MTA_L_114614	MTA_L_11656
10513;10515;7778	Transformador con dos devanados	ABC	MTA_L_11656	MTA_L_13643
13643_MTA-1	Línea aérea por fase	ABC	MTA_L_11656	MTA_L_13643
l13643_MTA-1	Línea aérea por fase	ABC	MTA_L_13643	IMTA_L_13643
7019_MTA-1	Línea aérea por fase	ABC	MTA_L_114614	MTA_L_7019
47873	Fusible	ABC	MTA_L_114615	MTA_L_7019
114616_MTA-1	Línea aérea por fase	ABC	MTA_L_114615	MTA_L_7019
114615_MTA-1	Línea aérea por fase	ABC	MTA_S_11657	MTA_L_114615
114619_MTA-1	Línea aérea por fase	ABC	MTA_S_11657	MTA_L_114619
114620_MTA-1	Línea aérea por fase	ABC	MTA_L_114619	MTA_S_17893
5285	Fusible	B	MTA_S_17893	MTA_L_17891
17891_MTA-1	Línea aérea por fase	B	MTA_S_17893	MTA_L_17891
10138	Transformador con dos devanados	B	MTA_L_17891	MTA_L_17892
17892_MTA-1	Línea aérea por fase	B	MTA_L_17891	MTA_L_17892
l17892_MTA-1	Línea aérea por fase	B	MTA_L_17892	IMTA_L_17892
17893_MTA-1	Línea aérea por fase	ABC	MTA_S_17893	MTA_L_17893
86817	Fusible	B	MTA_S_196606	MTA_L_17893

Topología - Elementos ramales

Nro. equipo	Código	Fase	Nodo origen	Nodo destino
196606_MTA	Línea aérea por fase	B	MTA_S_196606	MTA_L_17893
196605_MTA	Línea aérea por fase	B	MTA_S_196605	MTA_S_196606
47874	Fusible	B	MTA_S_196605	MTA_L_114623
114623_MTA-1	Línea aérea por fase	B	MTA_S_196605	MTA_L_114623
16628	Transformador con dos devanados	B	MTA_L_114623	MTA_L_114624
114624_MTA-1	Línea aérea por fase	B	MTA_L_114623	MTA_L_114624
l114624_MTA-1	Línea aérea por fase	B	MTA_L_114624	IMTA_L_114624
25118	Fusible	ABC	MTA_S_189261	MTA_L_17893
71959_MTA-1	Línea aérea por fase	ABC	MTA_S_189261	MTA_L_17893
13981	Transformador con dos devanados	ABC	MTA_S_189261	MTA_L_189261
189261_MTA-1	Línea aérea por fase	ABC	MTA_S_189261	MTA_L_189261
l189261_MTA-1	Línea aérea por fase	ABC	MTA_L_189261	IMTA_L_189261
2520	Fusible	C	MTA_S_11657	MTA_S_13644
11657_MTA-1	Línea aérea por fase	C	MTA_S_11657	MTA_S_13644
7050	Transformador con dos devanados	C	MTA_S_13644	MTA_L_13644
13644_MTA-1	Línea aérea por fase	C	MTA_S_13644	MTA_L_13644
l13644_MTA-1	Línea aérea por fase	C	MTA_L_13644	IMTA_L_13644
114617_MTA-1	Línea aérea por fase	ABC	MTA_L_7019	MTA_L_114617
47889	Fusible	ABC	MTA_L_114617	MTA_L_114590
114590_MTA-1	Línea aérea por fase	ABC	MTA_L_114617	MTA_L_114590
16055	Transformador con dos devanados	ABC	MTA_L_114590	MTA_L_114591
114591_MTA-1	Línea aérea por fase	ABC	MTA_L_114590	MTA_L_114591
l114591_MTA-1	Línea aérea por fase	ABC	MTA_L_114591	IMTA_L_114591
114618_MTA-1	Línea aérea por fase	ABC	MTA_L_114617	MTA_L_162652
114625_MTA-1	Línea aérea por fase	C	MTA_L_162652	MTA_S_114626
47875	Fusible	C	MTA_S_114626	MTA_S_6647
114626_MTA-1	Línea aérea por fase	C	MTA_S_114626	MTA_S_6647
6647_MTA-1	Línea aérea por fase	C	MTA_S_6647	MTA_S_7974
7974_MTA-1	Línea aérea por fase	C	MTA_S_7974	MTA_S_11658
2521	Fusible	C	MTA_S_11658	MTA_L_11315
11315_MTA-1	Línea aérea por fase	C	MTA_S_11658	MTA_L_11315

Topología - Elementos ramales

Nro. equipo	Código	Fase	Nodo origen	Nodo destino
9443	Transformador con dos devanados	C	MTA_L_11315	MTA_L_13299
13299_MTA-1	Línea aérea por fase	C	MTA_L_11315	MTA_L_13299
I13299_MTA-1	Línea aérea por fase	C	MTA_L_13299	IMTA_L_13299
1307	Fusible	C	MTA_S_11658	MTA_L_11658
11658_MTA-1	Línea aérea por fase	C	MTA_S_11658	MTA_L_11658
7229	Transformador con dos devanados	C	MTA_L_11658	MTA_L_13645
13645_MTA-1	Línea aérea por fase	C	MTA_L_11658	MTA_L_13645
I13645_MTA-1	Línea aérea por fase	C	MTA_L_13645	IMTA_L_13645
6554_MTA-1	Línea aérea por fase	C	MTA_S_11658	MTA_L_6554
47876	Fusible	ABC	MTA_S_114593	MTA_L_162652
162652_MTA-1	Línea aérea por fase	ABC	MTA_S_114593	MTA_L_162652
114593_MTA-1	Línea aérea por fase	ABC	MTA_S_114593	MTA_L_114593
6648_MTA-1	Línea aérea por fase	ABC	MTA_L_114593	MTA_L_6648
2663	Fusible	B	MTA_L_6648	MTA_L_11799
11799_MTA-1	Línea aérea por fase	B	MTA_L_6648	MTA_L_11799
660	Transformador con dos devanados	B	MTA_L_11799	MTA_L_14365
14365_MTA-1	Línea aérea por fase	B	MTA_L_11799	MTA_L_14365
I14365_MTA-1	Línea aérea por fase	B	MTA_L_14365	IMTA_L_14365
6649_MTA-1	Línea aérea por fase	ABC	MTA_L_6648	MTA_L_6649
6650_MTA-1	Línea aérea por fase	ABC	MTA_L_6649	MTA_S_6651
6651_MTA-1	Línea aérea por fase	ABC	MTA_S_6651	MTA_S_6652
6652_MTA-1	Línea aérea por fase	B	MTA_S_6652	MTA_S_6653
6653_MTA-1	Línea aérea por fase	B	MTA_S_6653	MTA_L_6653
6654_MTA-1	Línea aérea por fase	B	MTA_L_6653	MTA_L_6654
2664	Fusible	B	MTA_L_6654	MTA_L_11800
11800_MTA-1	Línea aérea por fase	B	MTA_L_6654	MTA_L_11800
8714	Transformador con dos devanados	B	MTA_L_11800	MTA_L_14366
14366_MTA-1	Línea aérea por fase	B	MTA_L_11800	MTA_L_14366
I14366_MTA-1	Línea aérea por fase	B	MTA_L_14366	IMTA_L_14366
6655_MTA-1	Línea aérea por fase	ABC	MTA_S_6652	MTA_S_7242
115251_MTA-1	Línea aérea por fase	B	MTA_S_7242	MTA_L_115251

Topología - Elementos ramales

Nro. equipo	Código	Fase	Nodo origen	Nodo destino
48507	Fusible	B	MTA_L_115251	MTA_L_115252
115252_MTA-1	Línea aérea por fase	B	MTA_L_115251	MTA_L_115252
6657_MTA-1	Línea aérea por fase	B	MTA_L_115252	MTA_L_6657
7241_MTA-1	Línea aérea por fase	B	MTA_L_6657	MTA_S_11801
2665	Fusible	B	MTA_S_11801	MTA_L_11801
11801_MTA-1	Línea aérea por fase	B	MTA_S_11801	MTA_L_11801
8715	Transformador con dos devanados	B	MTA_L_11801	MTA_L_14367
14367_MTA-1	Línea aérea por fase	B	MTA_L_11801	MTA_L_14367
l14367_MTA-1	Línea aérea por fase	B	MTA_L_14367	IMTA_L_14367
6359	Fusible	A	MTA_S_19160	MTA_S_7242
19160_MTA-1	Línea aérea por fase	A	MTA_S_19160	MTA_S_7242
13281	Transformador con dos devanados	A	MTA_S_19160	MTA_L_189622
189622_MTA-1	Línea aérea por fase	A	MTA_S_19160	MTA_L_189622
l189622_MTA-1	Línea aérea por fase	A	MTA_L_189622	IMTA_L_189622
7242_MTA-1	Línea aérea por fase	ABC	MTA_S_7242	MTA_L_7242
48191	Fusible	B	MTA_L_7242	MTA_L_114969
114969_MTA-1	Línea aérea por fase	B	MTA_L_7242	MTA_L_114969
114970_MTA-1	Línea aérea por fase	B	MTA_L_114969	MTA_L_114970
7244_MTA-1	Línea aérea por fase	B	MTA_L_114970	MTA_S_11802
48192	Fusible	B	MTA_S_11802	MTA_L_114972
114972_MTA-1	Línea aérea por fase	B	MTA_S_11802	MTA_L_114972
16625	Transformador con dos devanados	B	MTA_L_114972	MTA_L_114973
114973_MTA-1	Línea aérea por fase	B	MTA_L_114972	MTA_L_114973
l114973_MTA-1	Línea aérea por fase	B	MTA_L_114973	IMTA_L_114973
2666	Fusible	B	MTA_S_11802	MTA_S_14368
11802_MTA-1	Línea aérea por fase	B	MTA_S_11802	MTA_S_14368
8716	Transformador con dos devanados	B	MTA_S_14368	MTA_L_14368
14368_MTA-1	Línea aérea por fase	B	MTA_S_14368	MTA_L_14368
l14368_MTA-1	Línea aérea por fase	B	MTA_L_14368	IMTA_L_14368
7245_MTA-1	Línea aérea por fase	B	MTA_S_11802	MTA_S_7246
7246_MTA-1	Línea aérea por fase	B	MTA_S_7246	MTA_S_5085

Topología - Elementos ramales

Nro. equipo	Código	Fase	Nodo origen	Nodo destino
5085_MTA-1	Línea aérea por fase	B	MTA_S_5085	MTA_S_5086
5086_MTA-1	Línea aérea por fase	B	MTA_S_5086	MTA_L_5086
5087_MTA-1	Línea aérea por fase	B	MTA_L_5086	MTA_S_11803
2667	Fusible	B	MTA_S_11803	MTA_S_14369
11803_MTA-1	Línea aérea por fase	B	MTA_S_11803	MTA_S_14369
8717	Transformador con dos devanados	B	MTA_S_14369	MTA_L_14369
14369_MTA-1	Línea aérea por fase	B	MTA_S_14369	MTA_L_14369
l14369_MTA-1	Línea aérea por fase	B	MTA_L_14369	IMTA_L_14369
19157_MTA-1	Línea aérea por fase	ABC	MTA_L_7242	MTA_L_19157
6361	Fusible	B	MTA_L_19157	MTA_S_19164
19163_MTA-1	Línea aérea por fase	B	MTA_L_19157	MTA_S_19164
13279	Transformador con dos devanados	B	MTA_S_19164	MTA_L_19164
19164_MTA-1	Línea aérea por fase	B	MTA_S_19164	MTA_L_19164
l19164_MTA-1	Línea aérea por fase	B	MTA_L_19164	IMTA_L_19164
6360	Fusible	A	MTA_L_7242	MTA_S_19162
19161_MTA-1	Línea aérea por fase	A	MTA_L_7242	MTA_S_19162
13280	Transformador con dos devanados	A	MTA_S_19162	MTA_L_19162
19162_MTA-1	Línea aérea por fase	A	MTA_S_19162	MTA_L_19162
l19162_MTA-1	Línea aérea por fase	A	MTA_L_19162	IMTA_L_19162
6664_MTA-1	Línea aérea por fase	ABC	MTA_L_162652	MTA_L_6664
2668	Fusible	A	MTA_L_6664	MTA_L_11804
11804_MTA-1	Línea aérea por fase	A	MTA_L_6664	MTA_L_11804
662	Transformador con dos devanados	A	MTA_L_11804	MTA_L_14370
14370_MTA-1	Línea aérea por fase	A	MTA_L_11804	MTA_L_14370
l14370_MTA-1	Línea aérea por fase	A	MTA_L_14370	IMTA_L_14370
6824_MTA-1	Línea aérea por fase	ABC	MTA_L_6664	MTA_S_115258
115256_MTA-1	Línea aérea por fase	C	MTA_S_115258	MTA_L_115256
48524	Fusible	C	MTA_L_115256	MTA_S_6826
115257_MTA-1	Línea aérea por fase	C	MTA_L_115256	MTA_S_6826
6826_MTA-1	Línea aérea por fase	C	MTA_S_6826	MTA_S_6827
6827_MTA-1	Línea aérea por fase	C	MTA_S_6827	MTA_L_6827

Topología - Elementos ramales

Nro. equipo	Código	Fase	Nodo origen	Nodo destino
2670	Fusible	C	MTA_L_6827	MTA_S_14372
11806_MTA-1	Línea aérea por fase	C	MTA_L_6827	MTA_S_14372
2473	Transformador con dos devanados	C	MTA_S_14372	MTA_L_14372
14372_MTA-1	Línea aérea por fase	C	MTA_S_14372	MTA_L_14372
I14372_MTA-1	Línea aérea por fase	C	MTA_L_14372	IMTA_L_14372
115258_MTA-1	Línea aérea por fase	A	MTA_S_115258	MTA_L_115258
48525	Fusible	A	MTA_L_115258	MTA_S_6410
115259_MTA-1	Línea aérea por fase	A	MTA_L_115258	MTA_S_6410
6410_MTA-1	Línea aérea por fase	A	MTA_S_6410	MTA_S_11805
2669	Fusible	A	MTA_S_11805	MTA_L_11805
11805_MTA-1	Línea aérea por fase	A	MTA_S_11805	MTA_L_11805
9272	Transformador con dos devanados	A	MTA_L_11805	MTA_L_14371
14371_MTA-1	Línea aérea por fase	A	MTA_L_11805	MTA_L_14371
I14371_MTA-1	Línea aérea por fase	A	MTA_L_14371	IMTA_L_14371
6411_MTA-1	Línea aérea por fase	ABC	MTA_S_115258	MTA_S_168459
168459_MTA-1	Línea aérea por fase	ABC	MTA_S_168459	MTA_L_168459
48526	Fusible	ABC	MTA_L_168459	MTS_L_32983
32983_MTS-1	Cable	ABC	MTA_L_168459	MTS_L_32983
32985_MTS-1	Cable	ABC	MTS_L_32983	MTS_L_32985
32987_MTS-1	Cable	ABC	MTS_L_32985	MTS_L_32987
32989_MTS-1	Cable	ABC	MTS_L_32987	MTS_L_32989
21838	Interruptor seccionador	ABC	MTS_L_32989	MTS_L_32990
32990_MTS-1	Cable	ABC	MTS_L_32989	MTS_L_32990
1324	Fusible	ABC	MTS_L_32990	MTS_L_378
378_MTS-1	Cable	ABC	MTS_L_32990	MTS_L_378
13302	Transformador con dos devanados	ABC	MTS_L_378	MTS_L_501
501_MTS-1	Cable	ABC	MTS_L_378	MTS_L_501
I501_MTS-1	Cable	ABC	MTS_L_501	IMTS_L_501
6412_MTA-1	Línea aérea por fase	ABC	MTA_S_168459	MTA_S_6416
115285_MTA-1	Línea aérea por fase	ABC	MTA_S_6416	MTA_S_115286
48540	Fusible	ABC	MTA_S_115286	MTA_L_115286

Topología - Elementos ramales

Nro. equipo	Código	Fase	Nodo origen	Nodo destino
115286_MTA-1	Línea aérea por fase	ABC	MTA_S_115286	MTA_L_115286
6414_MTA-1	Línea aérea por fase	ABC	MTA_L_115286	MTA_L_6414
6415_MTA-1	Línea aérea por fase	ABC	MTA_L_6414	MTA_L_6415
555	Fusible	B	MTA_L_6415	MTA_L_11845
11845_MTA-1	Línea aérea por fase	B	MTA_L_6415	MTA_L_11845
12656	Transformador con dos devanados	B	MTA_L_11845	MTA_L_14411
14411_MTA-1	Línea aérea por fase	B	MTA_L_11845	MTA_L_14411
114411_MTA-1	Línea aérea por fase	B	MTA_L_14411	IMTA_L_14411
17876_MTA-1	Línea aérea por fase	ABC	MTA_L_6415	MTS_L_32976
5279	Fusible	ABC	MTS_S_32979	MTS_L_32976
32976_MTS-1	Cable	ABC	MTS_S_32979	MTS_L_32976
32979_MTS-1	Cable	ABC	MTS_S_32979	MTS_L_32979
32981_MTS-1	Cable	ABC	MTS_L_32979	MTS_L_32981
21837	Interruptor seccionador	ABC	MTS_L_32981	MTS_L_32982
32982_MTS-1	Cable	ABC	MTS_L_32981	MTS_L_32982
5280	Fusible	ABC	MTS_L_32982	MTS_L_1567
1567_MTS-1	Cable	ABC	MTS_L_32982	MTS_L_1567
15907	Transformador con dos devanados	ABC	MTS_L_1567	MTS_L_1872
1872_MTS-1	Cable	ABC	MTS_L_1567	MTS_L_1872
11872_MTS-1	Cable	ABC	MTS_L_1872	IMTS_L_1872
6416_MTA-1	Línea aérea por fase	ABC	MTA_S_6416	MTA_L_6416
6417_MTA-1	Línea aérea por fase	ABC	MTA_S_6417	MTA_L_6416
556	Fusible	B	MTA_S_6417	MTA_L_11846
11846_MTA-1	Línea aérea por fase	B	MTA_S_6417	MTA_L_11846
6367	Transformador con dos devanados	B	MTA_L_11846	MTA_L_14412
14412_MTA-1	Línea aérea por fase	B	MTA_L_11846	MTA_L_14412
114412_MTA-1	Línea aérea por fase	B	MTA_L_14412	IMTA_L_14412
6418_MTA-1	Línea aérea por fase	ABC	MTA_S_6417	MTA_S_6419
557	Fusible	B	MTA_S_6419	MTA_S_14413
11847_MTA-1	Línea aérea por fase	B	MTA_S_6419	MTA_S_14413
673	Transformador con dos devanados	B	MTA_S_14413	MTA_L_14413

Topología - Elementos ramales

Nro. equipo	Código	Fase	Nodo origen	Nodo destino
14413_MTA-1	Línea aérea por fase	B	MTA_S_14413	MTA_L_14413
I14413_MTA-1	Línea aérea por fase	B	MTA_L_14413	IMTA_L_14413
6419_MTA-1	Línea aérea por fase	ABC	MTA_S_6419	MTA_L_6419
14404	Interruptor seccionador	ABC	MTA_L_6419	MTA_L_115566
115566_MTA-1	Línea aérea por fase	ABC	MTA_L_6419	MTA_L_115566
115567_MTA-1	Línea aérea por fase	ABC	MTA_L_115566	MTA_S_7057
6421_MTA-1	Línea aérea por fase	ABC	MTA_S_7057	MTA_S_6422
6422_MTA-1	Línea aérea por fase	ABC	MTA_S_6422	MTA_L_6422
6423_MTA-1	Línea aérea por fase	ABC	MTA_S_6422	MTA_L_6423
6424_MTA-1	Línea aérea por fase	ABC	MTA_L_6423	MTA_L_6424
558	Fusible	A	MTA_L_6424	MTA_L_11848
11848_MTA-1	Línea aérea por fase	A	MTA_L_6424	MTA_L_11848
674	Transformador con dos devanados	A	MTA_L_11848	MTA_L_14414
14414_MTA-1	Línea aérea por fase	A	MTA_L_11848	MTA_L_14414
I14414_MTA-1	Línea aérea por fase	A	MTA_L_14414	IMTA_L_14414
1628_MTA-1	Línea aérea por fase	ABC	MTA_L_6424	MTA_S_1629
1629_MTA-1	Línea aérea por fase	ABC	MTA_S_1629	MTA_L_1629
1630_MTA-1	Línea aérea por fase	ABC	MTA_L_1629	MTA_L_1630
1631_MTA-1	Línea aérea por fase	B	MTA_L_1630	MTA_S_1632
1632_MTA-1	Línea aérea por fase	B	MTA_S_1632	MTA_S_1633
1633_MTA-1	Línea aérea por fase	B	MTA_S_1633	MTA_S_11849
559	Fusible	B	MTA_S_11849	MTA_S_14415
11849_MTA-1	Línea aérea por fase	B	MTA_S_11849	MTA_S_14415
2392	Transformador con dos devanados	B	MTA_S_14415	MTA_L_14415
14415_MTA-1	Línea aérea por fase	B	MTA_S_14415	MTA_L_14415
I14415_MTA-1	Línea aérea por fase	B	MTA_L_14415	IMTA_L_14415
1634_MTA-1	Línea aérea por fase	B	MTA_L_1630	MTA_L_1634
1635_MTA-1	Línea aérea por fase	ABC	MTA_L_1630	MTA_S_1636
560	Fusible	AB	MTA_S_1636	MTA_S_14416
11850_MTA-1	Línea aérea por fase	AB	MTA_S_1636	MTA_S_14416
679;678	Transformador con dos devanados	AB	MTA_S_14416	MTA_L_14416

Topología - Elementos ramales

Nro. equipo	Código	Fase	Nodo origen	Nodo destino
14416_MTA-1	Línea aérea por fase	AB	MTA_S_14416	MTA_L_14416
l14416_MTA-1	Línea aérea por fase	AB	MTA_L_14416	IMTA_L_14416
1636_MTA-1	Línea aérea por fase	ABC	MTA_S_1636	MTA_S_1637
1637_MTA-1	Línea aérea por fase	ABC	MTA_S_1637	MTA_L_1637
115861_MTA-1	Línea aérea por fase	ABC	MTA_L_1637	MTA_S_115862
48516	Fusible	ABC	MTA_S_115862	MTA_S_1639
115862_MTA-1	Línea aérea por fase	ABC	MTA_S_115862	MTA_S_1639
1639_MTA-1	Línea aérea por fase	ABC	MTA_S_1639	MTA_L_1639
2426	Fusible	ABC	MTA_S_1639	MTS_L_396
396_MTS-1	Cable	ABC	MTA_S_1639	MTS_L_396
12395	Transformador con dos devanados	ABC	MTS_L_396	MTS_L_521
521_MTS-1	Cable	ABC	MTS_L_396	MTS_L_521
l521_MTS-1	Cable	ABC	MTS_L_521	IMTS_L_521
24475	Fusible	ABC	MTA_S_6422	MTA_L_165866
71005_MTA-1	Línea aérea por fase	ABC	MTA_S_6422	MTA_L_165866
7057_MTA-1	Línea aérea por fase	ABC	MTA_S_7057	MTA_L_7057
7058_MTA-1	Línea aérea por fase	ABC	MTA_S_7057	MTA_S_6682
561	Fusible	B	MTA_S_6682	MTA_L_11851
11851_MTA-1	Línea aérea por fase	B	MTA_S_6682	MTA_L_11851
680	Transformador con dos devanados	B	MTA_L_11851	MTA_L_14417
14417_MTA-1	Línea aérea por fase	B	MTA_L_11851	MTA_L_14417
l14417_MTA-1	Línea aérea por fase	B	MTA_L_14417	IMTA_L_14417
6682_MTA-1	Línea aérea por fase	ABC	MTA_S_6682	MTA_S_6683
6683_MTA-1	Línea aérea por fase	ABC	MTA_S_6683	MTA_S_6684
6684_MTA-1	Línea aérea por fase	ABC	MTA_S_6684	MTA_L_6684
1604_MTA-1	Línea aérea por fase	ABC	MTA_L_6684	MTA_S_1605
1605_MTA-1	Línea aérea por fase	ABC	MTA_S_1605	MTA_S_6783
6783_MTA-1	Línea aérea por fase	ABC	MTA_S_6783	MTA_S_6784
6784_MTA-1	Línea aérea por fase	ABC	MTA_S_6784	MTA_L_6784
115895_MTA-1	Línea aérea por fase	ABC	MTA_L_6784	MTA_L_115895
14405	Interruptor seccionador	ABC	MTA_L_115895	MTA_L_115896

Topología - Elementos ramales

Nro. equipo	Código	Fase	Nodo origen	Nodo destino
115896_MTA-1	Línea aérea por fase	ABC	MTA_L_115895	MTA_L_115896
6786_MTA-1	Línea aérea por fase	ABC	MTA_L_115896	MTA_L_6786
6787_MTA-1	Línea aérea por fase	ABC	MTA_L_6786	MTA_S_7258
6788_MTA-1	Línea aérea por fase	ABC	MTA_S_7258	MTA_L_6788
6789_MTA-1	Línea aérea por fase	ABC	MTA_S_7258	MTA_L_6789
2427	Fusible	ABC	MTA_L_6789	MTA_S_13555
11568_MTA-1	Línea aérea por fase	ABC	MTA_L_6789	MTA_S_13555
681	Transformador con dos devanados	ABC	MTA_S_13555	MTA_L_13555
13555_MTA-1	Línea aérea por fase	ABC	MTA_S_13555	MTA_L_13555
l13555_MTA-1	Línea aérea por fase	ABC	MTA_L_13555	IMTA_L_13555
6790_MTA-1	Línea aérea por fase	ABC	MTA_L_6789	MTA_S_6791
6791_MTA-1	Línea aérea por fase	BC	MTA_S_6791	MTA_L_6791
48548	Fusible	B	MTA_L_6791	MTA_L_115897
115897_MTA-1	Línea aérea por fase	B	MTA_L_6791	MTA_L_115897
115898_MTA-1	Línea aérea por fase	B	MTA_L_115897	MTA_S_6795
6793_MTA-1	Línea aérea por fase	B	MTA_S_6795	MTA_S_9922
656	Fusible	B	MTA_S_9922	MTA_L_9922
9922_MTA-1	Línea aérea por fase	B	MTA_S_9922	MTA_L_9922
16946	Transformador con dos devanados	B	MTA_L_9922	MTA_L_14145
14145_MTA-1	Línea aérea por fase	B	MTA_L_9922	MTA_L_14145
l14145_MTA-1	Línea aérea por fase	B	MTA_L_14145	IMTA_L_14145
6794_MTA-1	Línea aérea por fase	B	MTA_S_6795	MTA_L_6794
6795_MTA-1	Línea aérea por fase	B	MTA_S_6795	MTA_L_6795
7258_MTA-1	Línea aérea por fase	ABC	MTA_S_7258	MTA_S_7259
7259_MTA-1	Línea aérea por fase	ABC	MTA_S_7259	MTA_L_7259
7260_MTA-1	Línea aérea por fase	ABC	MTA_L_7259	MTA_S_7261
4967	Fusible	ABC	MTA_S_7261	MTA_S_17589
17588_MTA-1	Línea aérea por fase	ABC	MTA_S_7261	MTA_S_17589
14150	Transformador con dos devanados	ABC	MTA_S_17589	MTA_L_17589
17589_MTA-1	Línea aérea por fase	ABC	MTA_S_17589	MTA_L_17589
l17589_MTA-1	Línea aérea por fase	ABC	MTA_L_17589	IMTA_L_17589

Topología - Elementos ramales

Nro. equipo	Código	Fase	Nodo origen	Nodo destino
7261_MTA-1	Línea aérea por fase	ABC	MTA_S_7261	MTA_S_11569
2428	Fusible	A	MTA_S_11569	MTA_S_13556
11569_MTA-1	Línea aérea por fase	A	MTA_S_11569	MTA_S_13556
8304	Transformador con dos devanados	A	MTA_S_13556	MTA_L_13556
13556_MTA-1	Línea aérea por fase	A	MTA_S_13556	MTA_L_13556
I13556_MTA-1	Línea aérea por fase	A	MTA_L_13556	IMTA_L_13556
7262_MTA-1	Línea aérea por fase	ABC	MTA_S_11569	MTA_S_11570
2429	Fusible	ABC	MTA_S_11570	MTA_S_13557
11570_MTA-1	Línea aérea por fase	ABC	MTA_S_11570	MTA_S_13557
686;687;685	Transformador con dos devanados	ABC	MTA_S_13557	MTA_L_13557
13557_MTA-1	Línea aérea por fase	ABC	MTA_S_13557	MTA_L_13557
I13557_MTA-1	Línea aérea por fase	ABC	MTA_L_13557	IMTA_L_13557
7263_MTA-1	Línea aérea por fase	ABC	MTA_S_11570	MTA_L_7263
93551	Fusible	ABC	MTA_L_7263	MTA_L_206834
206834_MTA-1	Línea aérea por fase	ABC	MTA_L_7263	MTA_L_206834
18230	Transformador con dos devanados	ABC	MTA_L_206834	MTA_L_206835
206835_MTA-1	Línea aérea por fase	ABC	MTA_L_206834	MTA_L_206835
I206835_MTA-1	Línea aérea por fase	ABC	MTA_L_206835	IMTA_L_206835
7264_MTA-1	Línea aérea por fase	ABC	MTA_L_7263	MTA_S_7265
7265_MTA-1	Línea aérea por fase	ABC	MTA_S_7265	MTA_L_7265
48530	Fusible	ABC	MTA_L_7265	MTA_L_115883
115883_MTA-1	Línea aérea por fase	ABC	MTA_L_7265	MTA_L_115883
115884_MTA-1	Línea aérea por fase	ABC	MTA_L_115883	MTA_L_115884
7267_MTA-1	Línea aérea por fase	ABC	MTA_L_115884	MTA_S_7268
7268_MTA-1	Línea aérea por fase	ABC	MTA_S_7268	MTA_S_7910
14572_MTA-1	Línea aérea por fase	B	MTA_S_7910	MTA_L_14572
7559_MTA-1	Línea aérea por fase	ABC	MTA_S_7910	MTA_S_7912
7912_MTA-1	Línea aérea por fase	ABC	MTA_S_7912	MTA_S_7916
14573_MTA-1	Línea aérea por fase	C	MTA_S_7916	MTA_L_14573
7913_MTA-1	Línea aérea por fase	ABC	MTA_S_7916	MTA_L_7913
7914_MTA-1	Línea aérea por fase	ABC	MTA_L_7913	MTA_L_7914

Topología - Elementos ramales

Nro. equipo	Código	Fase	Nodo origen	Nodo destino
7915_MTA-1	Línea aérea por fase	ABC	MTA_L_7914	MTA_S_5862
5862_MTA-1	Línea aérea por fase	ABC	MTA_S_5862	MTA_L_5862
5794_MTA-1	Línea aérea por fase	ABC	MTA_L_5862	MTA_S_5795
5795_MTA-1	Línea aérea por fase	ABC	MTA_S_5795	MTA_S_8095
1238	Fusible	B	MTA_S_8095	MTA_S_14315
10557_MTA-1	Línea aérea por fase	B	MTA_S_8095	MTA_S_14315
690	Transformador con dos devanados	B	MTA_S_14315	MTA_L_14315
14315_MTA-1	Línea aérea por fase	B	MTA_S_14315	MTA_L_14315
I14315_MTA-1	Línea aérea por fase	B	MTA_L_14315	IMTA_L_14315
8095_MTA-1	Línea aérea por fase	ABC	MTA_S_8095	MTA_S_8096
8096_MTA-1	Línea aérea por fase	ABC	MTA_S_8096	MTA_S_10544
1220	Fusible	ABC	MTA_S_10544	MTA_L_10544
10544_MTA-1	Línea aérea por fase	ABC	MTA_S_10544	MTA_L_10544
13986	Transformador con dos devanados	ABC	MTA_L_10544	MTA_L_14301
14301_MTA-1	Línea aérea por fase	ABC	MTA_L_10544	MTA_L_14301
I14301_MTA-1	Línea aérea por fase	ABC	MTA_L_14301	IMTA_L_14301
8097_MTA-1	Línea aérea por fase	ABC	MTA_S_10544	MTA_S_8098
6871_MTA-1	Línea aérea por fase	ABC	MTA_S_8098	MTA_S_7207
1285	Fusible	B	MTA_S_7207	MTA_L_10600
10600_MTA-1	Línea aérea por fase	B	MTA_S_7207	MTA_L_10600
693	Transformador con dos devanados	B	MTA_L_10600	MTA_L_12605
12605_MTA-1	Línea aérea por fase	B	MTA_L_10600	MTA_L_12605
I12605_MTA-1	Línea aérea por fase	B	MTA_L_12605	IMTA_L_12605
7207_MTA-1	Línea aérea por fase	ABC	MTA_S_7207	MTA_S_6666
6666_MTA-1	Línea aérea por fase	ABC	MTA_S_6666	MTA_S_6667
169726_MTA-1	Línea aérea por fase	ABC	MTA_S_6667	MTA_S_169727
48828	Fusible	ABC	MTA_S_169727	MTA_L_169727
169727_MTA-1	Línea aérea por fase	ABC	MTA_S_169727	MTA_L_169727
116200_MTA-1	Línea aérea por fase	ABC	MTA_L_169727	MTA_L_116200
63731_MTA-1	Línea aérea por fase	ABC	MTA_L_116200	MTA_S_7925
1308	Fusible	B	MTA_S_7925	MTA_S_13300

Topología - Elementos ramales

Nro. equipo	Código	Fase	Nodo origen	Nodo destino
10601_MTA-1	Línea aérea por fase	B	MTA_S_7925	MTA_S_13300
694	Transformador con dos devanados	B	MTA_S_13300	MTA_L_13300
13300_MTA-1	Línea aérea por fase	B	MTA_S_13300	MTA_L_13300
l13300_MTA-1	Línea aérea por fase	B	MTA_L_13300	IMTA_L_13300
32917_MTA-1	Línea aérea por fase	ABC	MTA_S_7925	MTA_L_32917
1286	Fusible	ABC	MTA_L_32917	MTS_L_32994
32994_MTS-1	Cable	ABC	MTA_L_32917	MTS_L_32994
32995_MTS-1	Cable	ABC	MTS_S_32995	MTS_L_32994
32996_MTS-1	Cable	ABC	MTS_S_32995	MTS_L_32996
21840	Interruptor seccionador	ABC	MTS_L_32996	MTS_L_32997
32997_MTS-1	Cable	ABC	MTS_L_32996	MTS_L_32997
32998_MTS-1	Cable	ABC	MTS_L_32997	MTS_L_32998
72225	Fusible	ABC	MTS_L_32998	MTS_L_33000
33000_MTS-1	Cable	ABC	MTS_L_32998	MTS_L_33000
12154	Transformador con dos devanados	ABC	MTS_L_33000	MTS_L_33001
33001_MTS-1	Cable	ABC	MTS_L_33000	MTS_L_33001
l33001_MTS-1	Cable	ABC	MTS_L_33001	IMTS_L_33001
7925_MTA-1	Línea aérea por fase	ABC	MTA_S_7925	MTA_S_7770
6672_MTA-1	Línea aérea por fase	ABC	MTA_S_7770	MTA_S_200727
200727_MTA-1	Línea aérea por fase	ABC	MTA_S_200727	MTS_S_45134
89061	Fusible	ABC	MTS_S_45134	MTS_L_45134
45134_MTS-1	Cable	ABC	MTS_S_45134	MTS_L_45134
45135_MTS-1	Cable	ABC	MTS_L_45134	MTS_L_45135
45133_MTS-1	Cable	ABC	MTS_L_45135	MTS_L_45133
45131_MTS-1	Cable	ABC	MTS_L_45133	MTS_L_45131
91655	Fusible	ABC	MTS_L_45131	MTS_L_46781
46781_MTS-1	Cable	ABC	MTS_L_45131	MTS_L_46781
18096	Transformador con dos devanados	ABC	MTS_L_46781	MTS_L_46782
46782_MTS-1	Cable	ABC	MTS_L_46781	MTS_L_46782
l46782_MTS-1	Cable	ABC	MTS_L_46782	IMTS_L_46782
6673_MTA-1	Línea aérea por fase	ABC	MTA_S_200727	MTA_S_6674

Topología - Elementos ramales

Nro. equipo	Código	Fase	Nodo origen	Nodo destino
6674_MTA-1	Línea aérea por fase	ABC	MTA_S_6674	MTA_S_6675
1668_MTA-1	Línea aérea por fase	ABC	MTA_S_6675	MTA_L_1668
22140	Fusible	C	MTA_L_1668	MTA_L_63733
63733_MTA-1	Línea aérea por fase	C	MTA_L_1668	MTA_L_63733
63734_MTA-1	Línea aérea por fase	C	MTA_L_63733	MTA_L_63734
1670_MTA-1	Línea aérea por fase	C	MTA_L_63734	MTA_L_1670
1671_MTA-1	Línea aérea por fase	C	MTA_L_63734	MTA_L_1671
1672_MTA-1	Línea aérea por fase	C	MTA_L_1671	MTA_S_10605
1349	Fusible	C	MTA_S_10605	MTA_S_12610
10605_MTA-1	Línea aérea por fase	C	MTA_S_10605	MTA_S_12610
7907	Transformador con dos devanados	C	MTA_S_12610	MTA_L_12610
12610_MTA-1	Línea aérea por fase	C	MTA_S_12610	MTA_L_12610
I12610_MTA-1	Línea aérea por fase	C	MTA_L_12610	IMTA_L_12610
1673_MTA-1	Línea aérea por fase	C	MTA_L_63734	MTA_S_1674
1674_MTA-1	Línea aérea por fase	C	MTA_S_1674	MTA_S_1675
1675_MTA-1	Línea aérea por fase	C	MTA_S_1675	MTA_S_1678
1676_MTA-1	Línea aérea por fase	C	MTA_S_1678	MTA_L_1676
1677_MTA-1	Línea aérea por fase	C	MTA_S_1678	MTA_L_1677
1678_MTA-1	Línea aérea por fase	C	MTA_S_1678	MTA_S_6928
1350	Fusible	C	MTA_S_6928	MTA_L_10606
10606_MTA-1	Línea aérea por fase	C	MTA_S_6928	MTA_L_10606
10735	Transformador con dos devanados	C	MTA_L_10606	MTA_L_12611
12611_MTA-1	Línea aérea por fase	C	MTA_L_10606	MTA_L_12611
I12611_MTA-1	Línea aérea por fase	C	MTA_L_12611	IMTA_L_12611
6928_MTA-1	Línea aérea por fase	C	MTA_S_6928	MTA_S_17586
116201_MTA-1	Línea aérea por fase	C	MTA_S_116201	MTA_S_17586
48830	Fusible	C	MTA_S_116201	MTA_L_116203
116203_MTA-1	Línea aérea por fase	C	MTA_S_116201	MTA_L_116203
15896	Transformador con dos devanados	C	MTA_L_116203	MTA_L_116204
116204_MTA-1	Línea aérea por fase	C	MTA_L_116203	MTA_L_116204
I116204_MTA-1	Línea aérea por fase	C	MTA_L_116204	IMTA_L_116204

Topología - Elementos ramales

Nro. equipo	Código	Fase	Nodo origen	Nodo destino
4966	Fusible	C	MTA_S_17586	MTA_S_17587
17586_MTA-1	Línea aérea por fase	C	MTA_S_17586	MTA_S_17587
13967	Transformador con dos devanados	C	MTA_S_17587	MTA_L_17587
17587_MTA-1	Línea aérea por fase	C	MTA_S_17587	MTA_L_17587
I17587_MTA-1	Línea aérea por fase	C	MTA_L_17587	IMTA_L_17587
22141	Fusible	C	MTA_S_17586	MTA_L_63735
63735_MTA-1	Línea aérea por fase	C	MTA_S_17586	MTA_L_63735
63736_MTA-1	Línea aérea por fase	C	MTA_L_63735	MTA_S_10463
1683	Fusible	C	MTA_S_10463	MTA_S_14219
10463_MTA-1	Línea aérea por fase	C	MTA_S_10463	MTA_S_14219
12640	Transformador con dos devanados	C	MTA_S_14219	MTA_L_14219
14219_MTA-1	Línea aérea por fase	C	MTA_S_14219	MTA_L_14219
I14219_MTA-1	Línea aérea por fase	C	MTA_L_14219	IMTA_L_14219
63737_MTA-1	Línea aérea por fase	C	MTA_S_10463	MTA_S_63738
63738_MTA-1	Línea aérea por fase	C	MTA_S_63738	MTA_S_116206
48844	Fusible	C	MTA_S_116206	MTA_L_116206
116206_MTA-1	Línea aérea por fase	C	MTA_S_116206	MTA_L_116206
16048	Transformador con dos devanados	C	MTA_L_116206	MTA_L_116207
116207_MTA-1	Línea aérea por fase	C	MTA_L_116206	MTA_L_116207
I116207_MTA-1	Línea aérea por fase	C	MTA_L_116207	IMTA_L_116207
6675_MTA-1	Línea aérea por fase	ABC	MTA_S_6675	MTA_L_6675
6676_MTA-1	Línea aérea por fase	ABC	MTA_S_6675	MTA_S_6677
6677_MTA-1	Línea aérea por fase	ABC	MTA_S_6677	MTA_S_10604
1348	Fusible	C	MTA_S_10604	MTA_S_12609
10604_MTA-1	Línea aérea por fase	C	MTA_S_10604	MTA_S_12609
696	Transformador con dos devanados	C	MTA_S_12609	MTA_L_12609
12609_MTA-1	Línea aérea por fase	C	MTA_S_12609	MTA_L_12609
I12609_MTA-1	Línea aérea por fase	C	MTA_L_12609	IMTA_L_12609
17579_MTA-1	Línea aérea por fase	ABC	MTA_S_10604	MTA_S_17581
4963	Fusible	ABC	MTA_S_17581	MTA_S_17582
17581_MTA-1	Línea aérea por fase	ABC	MTA_S_17581	MTA_S_17582

Topología - Elementos ramales

Nro. equipo	Código	Fase	Nodo origen	Nodo destino
14371	Transformador con dos devanados	ABC	MTA_S_17582	MTA_L_17582
17582_MTA-1	Línea aérea por fase	ABC	MTA_S_17582	MTA_L_17582
I17582_MTA-1	Línea aérea por fase	ABC	MTA_L_17582	IMTA_L_17582
7769_MTA-1	Línea aérea por fase	B	MTA_S_7770	MTA_S_10602
1287	Fusible	B	MTA_S_10602	MTA_S_12607
10602_MTA-1	Línea aérea por fase	B	MTA_S_10602	MTA_S_12607
10913	Transformador con dos devanados	B	MTA_S_12607	MTA_L_12607
12607_MTA-1	Línea aérea por fase	B	MTA_S_12607	MTA_L_12607
I12607_MTA-1	Línea aérea por fase	B	MTA_L_12607	IMTA_L_12607
7770_MTA-1	Línea aérea por fase	B	MTA_S_7770	MTA_S_7771
7771_MTA-1	Línea aérea por fase	B	MTA_S_7771	MTA_S_6465
6465_MTA-1	Línea aérea por fase	B	MTA_S_6465	MTA_S_10603
1288	Fusible	B	MTA_S_10603	MTA_L_10603
10603_MTA-1	Línea aérea por fase	B	MTA_S_10603	MTA_L_10603
695	Transformador con dos devanados	B	MTA_L_10603	MTA_L_12608
12608_MTA-1	Línea aérea por fase	B	MTA_L_10603	MTA_L_12608
I12608_MTA-1	Línea aérea por fase	B	MTA_L_12608	IMTA_L_12608
168761_MTA-1	Línea aérea por fase	ABC	MTS_S_33291	MTA_L_169727
48827	Fusible	ABC	MTS_S_33291	MTS_L_33291
33291_MTS-1	Cable	ABC	MTS_S_33291	MTS_L_33291
33293_MTS-1	Cable	ABC	MTS_L_33291	MTS_L_33293
33295_MTS-1	Cable	ABC	MTS_L_33293	MTS_L_33295
33297_MTS-1	Cable	ABC	MTS_L_33295	MTS_L_33297
21849	Interruptor seccionador	ABC	MTS_L_33297	MTS_L_33298
33298_MTS-1	Cable	ABC	MTS_L_33297	MTS_L_33298
2421	Fusible	ABC	MTS_L_33298	MTS_L_395
395_MTS-1	Cable	ABC	MTS_L_33298	MTS_L_395
15589	Transformador con dos devanados	ABC	MTS_L_395	MTS_L_520
520_MTS-1	Cable	ABC	MTS_L_395	MTS_L_520
I520_MTS-1	Cable	ABC	MTS_L_520	IMTS_L_520
6667_MTA-1	Línea aérea por fase	ABC	MTA_S_6667	MTA_L_6667

Topología - Elementos ramales

Nro. equipo	Código	Fase	Nodo origen	Nodo destino
6930_MTA-1	Línea aérea por fase	ABC	MTA_S_6667	MTA_L_6930
6931_MTA-1	Línea aérea por fase	ABC	MTA_L_6930	MTA_L_6931
63771	Fusible	ABC	MTA_L_6931	MTA_L_151123
151123_MTA-1	Línea aérea por fase	ABC	MTA_L_6931	MTA_L_151123
151124_MTA-1	Línea aérea por fase	ABC	MTA_L_151123	MTA_S_6933
6933_MTA-1	Línea aérea por fase	ABC	MTA_S_6933	MTA_S_6367
6367_MTA-1	Línea aérea por fase	ABC	MTA_S_6367	MTA_S_6368
6368_MTA-1	Línea aérea por fase	ABC	MTA_S_6368	MTA_S_6369
6369_MTA-1	Línea aérea por fase	ABC	MTA_S_6369	MTA_S_7372
7372_MTA-1	Línea aérea por fase	ABC	MTA_S_7372	MTA_S_7373
562	Fusible	B	MTA_S_7373	MTA_S_14418
11852_MTA-1	Línea aérea por fase	B	MTA_S_7373	MTA_S_14418
17413	Transformador con dos devanados	B	MTA_S_14418	MTA_L_14418
14418_MTA-1	Línea aérea por fase	B	MTA_S_14418	MTA_L_14418
114418_MTA-1	Línea aérea por fase	B	MTA_L_14418	IMTA_L_14418
7373_MTA-1	Línea aérea por fase	ABC	MTA_S_7373	MTA_S_7374
7374_MTA-1	Línea aérea por fase	ABC	MTA_S_7374	MTA_L_7374
25495	Fusible	ABC	MTA_L_7374	MTA_L_7375
7375_MTA-1	Línea aérea por fase	ABC	MTA_L_7374	MTA_L_7375
74208_MTA-1	Línea aérea por fase	ABC	MTA_L_7375	MTA_S_7377
5680_MTA-1	Línea aérea por fase	B	MTA_S_7377	MTA_L_5680
6466_MTA-1	Línea aérea por fase	B	MTA_S_7377	MTA_S_6467
6467_MTA-1	Línea aérea por fase	B	MTA_S_6467	MTA_S_6921
6921_MTA-1	Línea aérea por fase	B	MTA_S_6921	MTA_L_6921
7377_MTA-1	Línea aérea por fase	ABC	MTA_S_7377	MTA_S_7378
7378_MTA-1	Línea aérea por fase	ABC	MTA_S_7378	MTA_L_7378
7379_MTA-1	Línea aérea por fase	ABC	MTA_L_7378	MTA_L_7379
7380_MTA-1	Línea aérea por fase	ABC	MTA_L_7379	MTA_L_7381
7381_MTA-1	Línea aérea por fase	ABC	MTA_S_7382	MTA_L_7381
6922_MTA-1	Línea aérea por fase	C	MTA_S_7382	MTA_L_6922
6923_MTA-1	Línea aérea por fase	C	MTA_S_7382	MTA_L_6923

Topología - Elementos ramales

Nro. equipo	Código	Fase	Nodo origen	Nodo destino
6924_MTA-1	Línea aérea por fase	C	MTA_L_6923	MTA_L_6924
563	Fusible	C	MTA_L_6924	MTA_L_11853
11853_MTA-1	Línea aérea por fase	C	MTA_L_6924	MTA_L_11853
5601	Transformador con dos devanados	C	MTA_L_11853	MTA_L_14419
14419_MTA-1	Línea aérea por fase	C	MTA_L_11853	MTA_L_14419
I14419_MTA-1	Línea aérea por fase	C	MTA_L_14419	IMTA_L_14419
7382_MTA-1	Línea aérea por fase	ABC	MTA_S_7382	MTA_S_6774
6774_MTA-1	Línea aérea por fase	ABC	MTA_S_6774	MTA_S_6775
6775_MTA-1	Línea aérea por fase	ABC	MTA_S_6775	MTA_S_6776
6776_MTA-1	Línea aérea por fase	ABC	MTA_S_6776	MTA_L_6776
6777_MTA-1	Línea aérea por fase	ABC	MTA_L_6776	MTA_S_6778
565	Fusible	B	MTA_S_6778	MTA_L_11855
11855_MTA-1	Línea aérea por fase	B	MTA_S_6778	MTA_L_11855
5852	Transformador con dos devanados	B	MTA_L_11855	MTA_L_14421
14421_MTA-1	Línea aérea por fase	B	MTA_L_11855	MTA_L_14421
I14421_MTA-1	Línea aérea por fase	B	MTA_L_14421	IMTA_L_14421
6778_MTA-1	Línea aérea por fase	ABC	MTA_S_6778	MTA_S_6611
6611_MTA-1	Línea aérea por fase	ABC	MTA_S_6611	MTA_L_6611
5677_MTA-1	Línea aérea por fase	ABC	MTA_L_6611	MTA_S_8071
14574_MTA-1	Línea aérea por fase	C	MTA_S_8071	MTA_L_14574
5678_MTA-1	Línea aérea por fase	ABC	MTA_S_8071	MTA_L_5678
27907	Interruptor seccionador	ABC	MTA_L_5678	MTA_S_217106
217105_MTA-1	Línea aérea por fase	ABC	MTA_L_5678	MTA_S_217106
8071_MTA-1	Línea aérea por fase	C	MTA_S_8071	MTA_S_11856
566	Fusible	C	MTA_S_11856	MTA_S_14422
11856_MTA-1	Línea aérea por fase	C	MTA_S_11856	MTA_S_14422
706	Transformador con dos devanados	C	MTA_S_14422	MTA_L_14422
14422_MTA-1	Línea aérea por fase	C	MTA_S_14422	MTA_L_14422
I14422_MTA-1	Línea aérea por fase	C	MTA_L_14422	IMTA_L_14422
6925_MTA-1	Línea aérea por fase	A	MTA_S_6775	MTA_L_6925
6926_MTA-1	Línea aérea por fase	A	MTA_S_6775	MTA_L_6926

Topología - Elementos ramales

Nro. equipo	Código	Fase	Nodo origen	Nodo destino
564	Fusible	A	MTA_L_6926	MTA_L_11854
11854_MTA-1	Línea aérea por fase	A	MTA_L_6926	MTA_L_11854
704	Transformador con dos devanados	A	MTA_L_11854	MTA_L_14420
14420_MTA-1	Línea aérea por fase	A	MTA_L_11854	MTA_L_14420
I14420_MTA-1	Línea aérea por fase	A	MTA_L_14420	IMTA_L_14420
6934_MTA-1	Línea aérea por fase	ABC	MTA_S_6367	MTA_L_6934
74209_MTA-1	Línea aérea por fase	ABC	MTA_S_6367	MTA_L_74209
26079	Fusible	ABC	MTA_L_74209	MTA_L_74210
74210_MTA-1	Línea aérea por fase	ABC	MTA_L_74209	MTA_L_74210
74239_MTA-1	Línea aérea por fase	ABC	MTA_L_74210	MTA_S_6937
1684	Fusible	A	MTA_S_6937	MTA_S_14220
10464_MTA-1	Línea aérea por fase	A	MTA_S_6937	MTA_S_14220
16214	Transformador con dos devanados	A	MTA_S_14220	MTA_L_14220
14220_MTA-1	Línea aérea por fase	A	MTA_S_14220	MTA_L_14220
I14220_MTA-1	Línea aérea por fase	A	MTA_L_14220	IMTA_L_14220
6937_MTA-1	Línea aérea por fase	ABC	MTA_S_6937	MTA_S_6938
6938_MTA-1	Línea aérea por fase	ABC	MTA_S_6938	MTA_S_6939
6939_MTA-1	Línea aérea por fase	ABC	MTA_S_6939	MTA_S_6546
6546_MTA-1	Línea aérea por fase	ABC	MTA_S_6546	MTA_L_6546
5142_MTA-1	Línea aérea por fase	ABC	MTA_L_6546	MTA_L_5142
1688	Fusible	A	MTA_L_5142	MTA_S_14224
10468_MTA-1	Línea aérea por fase	A	MTA_L_5142	MTA_S_14224
14591	Transformador con dos devanados	A	MTA_S_14224	MTA_L_14224
14224_MTA-1	Línea aérea por fase	A	MTA_S_14224	MTA_L_14224
I14224_MTA-1	Línea aérea por fase	A	MTA_L_14224	IMTA_L_14224
6358_MTA-1	Línea aérea por fase	ABC	MTA_L_5142	MTA_S_6359
6359_MTA-1	Línea aérea por fase	ABC	MTA_S_6359	MTA_S_74241
74241_MTA-1	Línea aérea por fase	C	MTA_S_74241	MTA_L_74241
25494	Fusible	C	MTA_L_74241	MTA_L_74242
74242_MTA-1	Línea aérea por fase	C	MTA_L_74241	MTA_L_74242
6361_MTA-1	Línea aérea por fase	C	MTA_L_74242	MTA_S_8218

Topología - Elementos ramales

Nro. equipo	Código	Fase	Nodo origen	Nodo destino
1689	Fusible	C	MTA_S_8218	MTA_L_10469
10469_MTA-1	Línea aérea por fase	C	MTA_S_8218	MTA_L_10469
10530	Transformador con dos devanados	C	MTA_L_10469	MTA_L_14225
14225_MTA-1	Línea aérea por fase	C	MTA_L_10469	MTA_L_14225
I14225_MTA-1	Línea aérea por fase	C	MTA_L_14225	IMTA_L_14225
8218_MTA-1	Línea aérea por fase	C	MTA_S_8218	MTA_L_8218
6484_MTA-1	Línea aérea por fase	C	MTA_L_8218	MTA_S_6362
6362_MTA-1	Línea aérea por fase	C	MTA_S_6362	MTA_L_6362
6363_MTA-1	Línea aérea por fase	C	MTA_L_6362	MTA_L_6363
6364_MTA-1	Línea aérea por fase	C	MTA_L_6363	MTA_L_6364
6365_MTA-1	Línea aérea por fase	C	MTA_L_6364	MTA_L_6365
6366_MTA-1	Línea aérea por fase	C	MTA_L_6365	MTA_L_6366
2339	Fusible	C	MTA_L_6366	MTA_S_13472
11487_MTA-1	Línea aérea por fase	C	MTA_L_6366	MTA_S_13472
12950	Transformador con dos devanados	C	MTA_S_13472	MTA_L_13472
13472_MTA-1	Línea aérea por fase	C	MTA_S_13472	MTA_L_13472
I13472_MTA-1	Línea aérea por fase	C	MTA_L_13472	IMTA_L_13472
6940_MTA-1	Línea aérea por fase	ABC	MTA_S_6546	MTA_L_6940
6941_MTA-1	Línea aérea por fase	ABC	MTA_S_6546	MTA_S_116513
116513_MTA-1	Línea aérea por fase	ABC	MTA_S_116513	MTA_S_116514
116514_MTA-1	Línea aérea por fase	ABC	MTA_S_116514	MTA_L_116514
6943_MTA-1	Línea aérea por fase	ABC	MTA_L_116514	MTA_S_8148
6436_MTA-1	Línea aérea por fase	ABC	MTA_S_6436	MTA_S_8148
6437_MTA-1	Línea aérea por fase	ABC	MTA_S_6436	MTA_S_8245
8245_MTA-1	Línea aérea por fase	ABC	MTA_S_8245	MTA_L_8245
1686	Fusible	C	MTA_L_8245	MTA_L_10466
10466_MTA-1	Línea aérea por fase	C	MTA_L_8245	MTA_L_10466
7265	Transformador con dos devanados	C	MTA_L_10466	MTA_L_14222
14222_MTA-1	Línea aérea por fase	C	MTA_L_10466	MTA_L_14222
I14222_MTA-1	Línea aérea por fase	C	MTA_L_14222	IMTA_L_14222
8246_MTA-1	Línea aérea por fase	ABC	MTA_L_8245	MTA_L_8246

Topología - Elementos ramales

Nro. equipo	Código	Fase	Nodo origen	Nodo destino
8147_MTA-1	Línea aérea por fase	B	MTA_L_8246	MTA_L_186675
1687	Fusible	B	MTA_L_186675	MTA_L_10467
10467_MTA-1	Línea aérea por fase	B	MTA_L_186675	MTA_L_10467
701	Transformador con dos devanados	B	MTA_L_10467	MTA_L_14223
14223_MTA-1	Línea aérea por fase	B	MTA_L_10467	MTA_L_14223
I14223_MTA-1	Línea aérea por fase	B	MTA_L_14223	IMTA_L_14223
186675_MTA-1	Línea aérea por fase	B	MTA_S_186677	MTA_L_186675
80107	Fusible	B	MTA_S_186677	MTA_S_186678
186677_MTA-1	Línea aérea por fase	B	MTA_S_186677	MTA_S_186678
17162	Transformador con dos devanados	B	MTA_S_186678	MTA_L_186678
186678_MTA-1	Línea aérea por fase	B	MTA_S_186678	MTA_L_186678
I186678_MTA-1	Línea aérea por fase	B	MTA_L_186678	IMTA_L_186678
7432_MTA-1	Línea aérea por fase	A	MTA_S_8148	MTA_L_7432
1685	Fusible	A	MTA_L_7432	MTA_L_10465
10465_MTA-1	Línea aérea por fase	A	MTA_L_7432	MTA_L_10465
13539	Transformador con dos devanados	A	MTA_L_10465	MTA_L_14221
14221_MTA-1	Línea aérea por fase	A	MTA_L_10465	MTA_L_14221
I14221_MTA-1	Línea aérea por fase	A	MTA_L_14221	IMTA_L_14221
7433_MTA-1	Línea aérea por fase	A	MTA_L_7432	MTA_L_7433
8148_MTA-1	Línea aérea por fase	A	MTA_S_8148	MTA_L_8148
116529_MTA-1	Línea aérea por fase	A	MTA_S_116529	MTA_S_116514
116527_MTA-1	Línea aérea por fase	A	MTA_S_116821	MTA_S_116529
48834	Fusible	A	MTA_S_116821	MTA_S_116822
116821_MTA-1	Línea aérea por fase	A	MTA_S_116821	MTA_S_116822
16261	Transformador con dos devanados	A	MTA_S_116822	MTA_L_116822
116822_MTA-1	Línea aérea por fase	A	MTA_S_116822	MTA_L_116822
I116822_MTA-1	Línea aérea por fase	A	MTA_L_116822	IMTA_L_116822
48836	Fusible	A	MTA_S_116821	MTA_L_116823
116823_MTA-1	Línea aérea por fase	A	MTA_S_116821	MTA_L_116823
16193	Transformador con dos devanados	A	MTA_L_116823	MTA_L_116824
116824_MTA-1	Línea aérea por fase	A	MTA_L_116823	MTA_L_116824

Topología - Elementos ramales

Nro. equipo	Código	Fase	Nodo origen	Nodo destino
I116824_MTA-1	Línea aérea por fase	A	MTA_L_116824	IMTA_L_116824
116530_MTA-1	Línea aérea por fase	A	MTA_S_116514	MTA_L_116530
7611_MTA-1	Línea aérea por fase	B	MTA_S_8098	MTA_S_150438
150438_MTA-1	Línea aérea por fase	B	MTA_S_150438	MTA_S_150439
63234	Fusible	B	MTA_S_150439	MTA_S_7613
150439_MTA-1	Línea aérea por fase	B	MTA_S_150439	MTA_S_7613
7107_MTA-1	Línea aérea por fase	B	MTA_S_7613	MTA_L_7107
7108_MTA-1	Línea aérea por fase	B	MTA_L_7107	MTA_L_7108
7109_MTA-1	Línea aérea por fase	B	MTA_L_7108	MTA_L_7109
1241	Fusible	B	MTA_L_7109	MTA_S_14318
10560_MTA-1	Línea aérea por fase	B	MTA_L_7109	MTA_S_14318
15200	Transformador con dos devanados	B	MTA_S_14318	MTA_L_14318
14318_MTA-1	Línea aérea por fase	B	MTA_S_14318	MTA_L_14318
I14318_MTA-1	Línea aérea por fase	B	MTA_L_14318	IMTA_L_14318
7110_MTA-1	Línea aérea por fase	B	MTA_L_7109	MTA_S_7111
7111_MTA-1	Línea aérea por fase	B	MTA_S_7111	MTA_S_7113
7112_MTA-1	Línea aérea por fase	B	MTA_S_7113	MTA_L_7112
7113_MTA-1	Línea aérea por fase	B	MTA_S_7113	MTA_S_11409
2254	Fusible	B	MTA_S_11409	MTA_S_13394
11409_MTA-1	Línea aérea por fase	B	MTA_S_11409	MTA_S_13394
9079	Transformador con dos devanados	B	MTA_S_13394	MTA_L_13394
13394_MTA-1	Línea aérea por fase	B	MTA_S_13394	MTA_L_13394
I13394_MTA-1	Línea aérea por fase	B	MTA_L_13394	IMTA_L_13394
7114_MTA-1	Línea aérea por fase	B	MTA_S_7113	MTA_S_7115
7115_MTA-1	Línea aérea por fase	B	MTA_S_7115	MTA_L_7115
7116_MTA-1	Línea aérea por fase	B	MTA_L_7115	MTA_S_7118
7117_MTA-1	Línea aérea por fase	B	MTA_S_7118	MTA_S_10561
1242	Fusible	B	MTA_S_10561	MTA_S_14319
10561_MTA-1	Línea aérea por fase	B	MTA_S_10561	MTA_S_14319
10734	Transformador con dos devanados	B	MTA_S_14319	MTA_L_14319
14319_MTA-1	Línea aérea por fase	B	MTA_S_14319	MTA_L_14319

Topología - Elementos ramales

Nro. equipo	Código	Fase	Nodo origen	Nodo destino
I14319_MTA-1	Línea aérea por fase	B	MTA_L_14319	IMTA_L_14319
7118_MTA-1	Línea aérea por fase	B	MTA_S_7118	MTA_L_7118
7119_MTA-1	Línea aérea por fase	B	MTA_S_7118	MTA_L_7119
7613_MTA-1	Línea aérea por fase	B	MTA_S_7613	MTA_L_7613
6835_MTA-1	Línea aérea por fase	B	MTA_L_7613	MTA_L_6835
7106_MTA-1	Línea aérea por fase	B	MTA_L_6835	MTA_L_7106
1240	Fusible	B	MTA_L_7106	MTA_S_14317
10559_MTA-1	Línea aérea por fase	B	MTA_L_7106	MTA_S_14317
202	Transformador con dos devanados	B	MTA_S_14317	MTA_L_14317
14317_MTA-1	Línea aérea por fase	B	MTA_S_14317	MTA_L_14317
I14317_MTA-1	Línea aérea por fase	B	MTA_L_14317	IMTA_L_14317
8098_MTA-1	Línea aérea por fase	B	MTA_S_8098	MTA_L_8098
7916_MTA-1	Línea aérea por fase	C	MTA_S_7916	MTA_S_7917
1239	Fusible	C	MTA_S_7917	MTA_S_14316
10558_MTA-1	Línea aérea por fase	C	MTA_S_7917	MTA_S_14316
46	Transformador con dos devanados	C	MTA_S_14316	MTA_L_14316
14316_MTA-1	Línea aérea por fase	C	MTA_S_14316	MTA_L_14316
I14316_MTA-1	Línea aérea por fase	C	MTA_L_14316	IMTA_L_14316
7917_MTA-1	Línea aérea por fase	C	MTA_S_7917	MTA_L_7917
7910_MTA-1	Línea aérea por fase	B	MTA_S_7910	MTA_S_9923
7911_MTA-1	Línea aérea por fase	B	MTA_S_9923	MTA_L_7911
657	Fusible	B	MTA_S_9923	MTA_S_14146
9923_MTA-1	Línea aérea por fase	B	MTA_S_9923	MTA_S_14146
12794	Transformador con dos devanados	B	MTA_S_14146	MTA_L_14146
14146_MTA-1	Línea aérea por fase	B	MTA_S_14146	MTA_L_14146
I14146_MTA-1	Línea aérea por fase	B	MTA_L_14146	IMTA_L_14146
8077_MTA-1	Línea aérea por fase	ABC	MTA_S_7265	MTA_L_8077
24214	Fusible	ABC	MTA_L_8077	MTA_S_70446
70445_MTA-1	Línea aérea por fase	ABC	MTA_L_8077	MTA_S_70446
70446_MTA-1	Línea aérea por fase	ABC	MTA_S_70446	MTA_L_70446
8079_MTA-1	Línea aérea por fase	ABC	MTA_L_70446	MTA_S_8080

Topología - Elementos ramales

Nro. equipo	Código	Fase	Nodo origen	Nodo destino
6395_MTA-1	Línea aérea por fase	ABC	MTA_S_8080	MTA_S_70690
70690_MTA-1	Línea aérea por fase	ABC	MTA_S_70690	MTA_L_70690
24213	Fusible	ABC	MTA_L_70690	MTA_L_70444
70444_MTA-1	Línea aérea por fase	ABC	MTA_L_70690	MTA_L_70444
6397_MTA-1	Línea aérea por fase	ABC	MTA_L_70444	MTA_L_6397
6398_MTA-1	Línea aérea por fase	ABC	MTA_L_6397	MTA_L_6398
6399_MTA-1	Línea aérea por fase	ABC	MTA_L_6398	MTA_L_6399
100587	Fusible	A	MTA_L_6399	MTA_S_214500
214499_MTA-1	Línea aérea por fase	A	MTA_L_6399	MTA_S_214500
214500_MTA-1	Línea aérea por fase	A	MTA_S_214500	MTA_S_5943
5943_MTA-1	Línea aérea por fase	A	MTA_S_5943	MTA_S_11881
593	Fusible	A	MTA_S_11881	MTA_S_14448
11881_MTA-1	Línea aérea por fase	A	MTA_S_11881	MTA_S_14448
848	Transformador con dos devanados	A	MTA_S_14448	MTA_L_14448
14448_MTA-1	Línea aérea por fase	A	MTA_S_14448	MTA_L_14448
I14448_MTA-1	Línea aérea por fase	A	MTA_L_14448	IMTA_L_14448
4671_MTA-1	Línea aérea por fase	A	MTA_S_11881	MTA_L_4671
5081_MTA-1	Línea aérea por fase	A	MTA_L_4671	MTA_L_5081
594	Fusible	A	MTA_L_5081	MTA_L_11882
11882_MTA-1	Línea aérea por fase	A	MTA_L_5081	MTA_L_11882
10120	Transformador con dos devanados	A	MTA_L_11882	MTA_L_14449
14449_MTA-1	Línea aérea por fase	A	MTA_L_11882	MTA_L_14449
I14449_MTA-1	Línea aérea por fase	A	MTA_L_14449	IMTA_L_14449
100588	Fusible	ABC	MTA_L_6399	MTA_S_214503
214502_MTA-1	Línea aérea por fase	ABC	MTA_L_6399	MTA_S_214503
17164	Transformador con dos devanados	ABC	MTA_S_214503	MTA_L_214503
214503_MTA-1	Línea aérea por fase	ABC	MTA_S_214503	MTA_L_214503
I214503_MTA-1	Línea aérea por fase	ABC	MTA_L_214503	IMTA_L_214503
29073	Fusible	ABC	MTA_S_8080	MTA_L_79645
79645_MTA-1	Línea aérea por fase	ABC	MTA_S_8080	MTA_L_79645
79646_MTA-1	Línea aérea por fase	ABC	MTA_L_79645	MTA_L_79646

Topología - Elementos ramales

Nro. equipo	Código	Fase	Nodo origen	Nodo destino
6393_MTA-1	Línea aérea por fase	ABC	MTA_L_79646	MTA_S_14569
14569_MTA-1	Línea aérea por fase	ABC	MTA_S_14569	MTA_L_14569
591	Fusible	B	MTA_L_14569	MTA_L_14570
14570_MTA-1	Línea aérea por fase	B	MTA_L_14569	MTA_L_14570
10875	Transformador con dos devanados	B	MTA_L_14570	MTA_L_14446
14446_MTA-1	Línea aérea por fase	B	MTA_L_14570	MTA_L_14446
I14446_MTA-1	Línea aérea por fase	B	MTA_L_14446	IMTA_L_14446
14571_MTA-1	Línea aérea por fase	C	MTA_S_14569	MTA_L_14571
6394_MTA-1	Línea aérea por fase	C	MTA_S_14569	MTA_S_11880
592	Fusible	C	MTA_S_11880	MTA_L_11880
11880_MTA-1	Línea aérea por fase	C	MTA_S_11880	MTA_L_11880
709	Transformador con dos devanados	C	MTA_L_11880	MTA_L_14447
14447_MTA-1	Línea aérea por fase	C	MTA_L_11880	MTA_L_14447
I14447_MTA-1	Línea aérea por fase	C	MTA_L_14447	IMTA_L_14447
8080_MTA-1	Línea aérea por fase	ABC	MTA_S_8080	MTA_S_5082
5082_MTA-1	Línea aérea por fase	ABC	MTA_S_5082	MTA_L_5082
14725	Interruptor seccionador	ABC	MTA_L_5082	MTA_L_118739
118739_MTA-1	Línea aérea por fase	ABC	MTA_L_5082	MTA_L_118739
118740_MTA-1	Línea aérea por fase	ABC	MTA_L_118739	MTA_S_5084
5084_MTA-1	Línea aérea por fase	ABC	MTA_S_5084	MTA_L_5084
6314_MTA-1	Línea aérea por fase	ABC	MTA_L_5084	MTA_L_6314
595	Fusible	ABC	MTA_L_6314	MTA_L_11883
11883_MTA-1	Línea aérea por fase	ABC	MTA_L_6314	MTA_L_11883
16858	Transformador con dos devanados	ABC	MTA_L_11883	MTA_L_14450
14450_MTA-1	Línea aérea por fase	ABC	MTA_L_11883	MTA_L_14450
I14450_MTA-1	Línea aérea por fase	ABC	MTA_L_14450	IMTA_L_14450
6315_MTA-1	Línea aérea por fase	ABC	MTA_L_5084	MTA_S_4715
4715_MTA-1	Línea aérea por fase	ABC	MTA_S_4715	MTA_S_118741
49174	Fusible	ABC	MTA_S_118741	MTA_S_118742
118741_MTA-1	Línea aérea por fase	ABC	MTA_S_118741	MTA_S_118742
118742_MTA-1	Línea aérea por fase	ABC	MTA_S_118742	MTA_S_4717

Topología - Elementos ramales

Nro. equipo	Código	Fase	Nodo origen	Nodo destino
4717_MTA-1	Línea aérea por fase	ABC	MTA_S_4717	MTA_L_4717
4342	Fusible	A	MTA_L_4717	MTA_S_16610
16609_MTA-1	Línea aérea por fase	A	MTA_L_4717	MTA_S_16610
2702	Transformador con dos devanados	A	MTA_S_16610	MTA_L_16610
16610_MTA-1	Línea aérea por fase	A	MTA_S_16610	MTA_L_16610
I16610_MTA-1	Línea aérea por fase	A	MTA_L_16610	IMTA_L_16610
4718_MTA-1	Línea aérea por fase	ABC	MTA_L_4717	MTA_S_167451
71454	Fusible	ABC	MTA_S_167451	MTA_L_167451
167451_MTA-1	Línea aérea por fase	ABC	MTA_S_167451	MTA_L_167451
167452_MTA-1	Línea aérea por fase	ABC	MTA_L_167451	MTA_S_11884
596	Fusible	ABC	MTA_S_11884	MTA_L_11884
11884_MTA-1	Línea aérea por fase	ABC	MTA_S_11884	MTA_L_11884
715	Transformador con dos devanados	ABC	MTA_L_11884	MTA_L_14451
14451_MTA-1	Línea aérea por fase	ABC	MTA_L_11884	MTA_L_14451
I14451_MTA-1	Línea aérea por fase	ABC	MTA_L_14451	IMTA_L_14451
5950_MTA-1	Línea aérea por fase	ABC	MTA_S_167451	MTA_L_5950
5951_MTA-1	Línea aérea por fase	ABC	MTA_L_5950	MTA_L_5951
5952_MTA-1	Línea aérea por fase	ABC	MTA_L_5951	MTA_S_5953
5953_MTA-1	Línea aérea por fase	ABC	MTA_S_5953	MTA_S_11885
597	Fusible	ABC	MTA_S_11885	MTA_S_14452
11885_MTA-1	Línea aérea por fase	ABC	MTA_S_11885	MTA_S_14452
716	Transformador con dos devanados	ABC	MTA_S_14452	MTA_L_14452
14452_MTA-1	Línea aérea por fase	ABC	MTA_S_14452	MTA_L_14452
I14452_MTA-1	Línea aérea por fase	ABC	MTA_L_14452	IMTA_L_14452
5956_MTA-1	Línea aérea por fase	ABC	MTA_S_11885	MTA_L_5956
5957_MTA-1	Línea aérea por fase	ABC	MTA_L_5956	MTA_L_5957
72218	Fusible	ABC	MTA_L_5957	MTA_L_168743
168743_MTA-1	Línea aérea por fase	ABC	MTA_L_5957	MTA_L_168743
168744_MTA-1	Línea aérea por fase	ABC	MTA_L_168743	MTA_L_168744
5959_MTA-1	Línea aérea por fase	ABC	MTA_L_168744	MTA_L_5959
5960_MTA-1	Línea aérea por fase	ABC	MTA_L_5959	MTA_L_5960

Topología - Elementos ramales

Nro. equipo	Código	Fase	Nodo origen	Nodo destino
2441	Fusible	AB	MTA_L_5960	MTA_S_13569
11582_MTA-1	Línea aérea por fase	AB	MTA_L_5960	MTA_S_13569
719;720	Transformador con dos devanados	AB	MTA_S_13569	MTA_L_13569
13569_MTA-1	Línea aérea por fase	AB	MTA_S_13569	MTA_L_13569
l13569_MTA-1	Línea aérea por fase	AB	MTA_L_13569	IMTA_L_13569
5853_MTA-1	Línea aérea por fase	ABC	MTA_L_5957	MTA_S_63973
5854_MTA-1	Línea aérea por fase	ABC	MTA_S_63973	MTA_L_5854
21864	Interruptor seccionador	ABC	MTA_L_5854	MTA_L_168745
168745_MTA-1	Línea aérea por fase	ABC	MTA_L_5854	MTA_L_168745
63742_MTA-1	Línea aérea por fase	ABC	MTA_L_168745	MTA_S_5856
600	Fusible	C	MTA_S_5856	MTA_L_11888
11888_MTA-1	Línea aérea por fase	C	MTA_S_5856	MTA_L_11888
722	Transformador con dos devanados	C	MTA_L_11888	MTA_L_14455
14455_MTA-1	Línea aérea por fase	C	MTA_L_11888	MTA_L_14455
l14455_MTA-1	Línea aérea por fase	C	MTA_L_14455	IMTA_L_14455
217365_MTA-1	Línea aérea por fase	ABC	MTA_S_217365	MTA_S_5856
27908	Interruptor seccionador	ABC	MTA_S_217364	MTA_S_217365
217364_MTA-1	Línea aérea por fase	ABC	MTA_S_217364	MTA_S_217365
217104_MTA-1	Línea aérea por fase	ABC	MTA_S_217104	MTA_S_217364
217106_MTA-1	Línea aérea por fase	ABC	MTA_S_217106	MTA_S_217104
8072_MTA-1	Línea aérea por fase	A	MTA_S_217104	MTA_S_8073
8073_MTA-1	Línea aérea por fase	A	MTA_S_8073	MTA_S_8074
8074_MTA-1	Línea aérea por fase	A	MTA_S_8074	MTA_S_8075
8075_MTA-1	Línea aérea por fase	A	MTA_S_8075	MTA_S_117823
117823_MTA-1	Línea aérea por fase	A	MTA_S_117823	MTA_S_117824
117821_MTA-1	Línea aérea por fase	A	MTA_S_117821	MTA_S_117824
117822_MTA-1	Línea aérea por fase	A	MTA_S_117824	MTA_S_117820
117820_MTA-1	Línea aérea por fase	A	MTA_S_117820	MTA_S_117826
49164	Fusible	A	MTA_S_117826	MTA_S_117827
117826_MTA-1	Línea aérea por fase	A	MTA_S_117826	MTA_S_117827
13164	Transformador con dos devanados	A	MTA_S_117827	MTA_L_117827

Topología - Elementos ramales

Nro. equipo	Código	Fase	Nodo origen	Nodo destino
117827_MTA-1	Línea aérea por fase	A	MTA_S_117827	MTA_L_117827
l117827_MTA-1	Línea aérea por fase	A	MTA_L_117827	IMTA_L_117827
117824_MTA-1	Línea aérea por fase	A	MTA_S_117824	MTA_S_11879
590	Fusible	A	MTA_S_11879	MTA_S_14445
11879_MTA-1	Línea aérea por fase	A	MTA_S_11879	MTA_S_14445
1460	Transformador con dos devanados	A	MTA_S_14445	MTA_L_14445
14445_MTA-1	Línea aérea por fase	A	MTA_S_14445	MTA_L_14445
l14445_MTA-1	Línea aérea por fase	A	MTA_L_14445	IMTA_L_14445
5856_MTA-1	Línea aérea por fase	ABC	MTA_S_5856	MTA_S_5857
5857_MTA-1	Línea aérea por fase	ABC	MTA_S_5857	MTA_L_5857
1233	Fusible	ABC	MTA_L_5857	MTA_L_10554
10554_MTA-1	Línea aérea por fase	ABC	MTA_L_5857	MTA_L_10554
15720	Transformador con dos devanados	ABC	MTA_L_10554	MTA_L_14312
14312_MTA-1	Línea aérea por fase	ABC	MTA_L_10554	MTA_L_14312
l14312_MTA-1	Línea aérea por fase	ABC	MTA_L_14312	IMTA_L_14312
5858_MTA-1	Línea aérea por fase	ABC	MTA_L_5857	MTA_S_5859
5859_MTA-1	Línea aérea por fase	ABC	MTA_S_5859	MTA_S_11889
601	Fusible	ABC	MTA_S_11889	MTA_L_11889
11889_MTA-1	Línea aérea por fase	ABC	MTA_S_11889	MTA_L_11889
724;725;723	Transformador con dos devanados	ABC	MTA_L_11889	MTA_L_14456
14456_MTA-1	Línea aérea por fase	ABC	MTA_L_11889	MTA_L_14456
l14456_MTA-1	Línea aérea por fase	ABC	MTA_L_14456	IMTA_L_14456
5860_MTA-1	Línea aérea por fase	ABC	MTA_S_11889	MTA_S_120393
49813	Fusible	C	MTA_S_120393	MTA_L_120393
120393_MTA-1	Línea aérea por fase	C	MTA_S_120393	MTA_L_120393
120394_MTA-1	Línea aérea por fase	C	MTA_L_120393	MTA_L_120394
50107	Fusible	C	MTA_L_120394	MTA_L_119912
119912_MTA-1	Línea aérea por fase	C	MTA_L_120394	MTA_L_119912
119913_MTA-1	Línea aérea por fase	C	MTA_L_119912	MTA_S_9909
643	Fusible	C	MTA_S_9909	MTA_L_9909
9909_MTA-1	Línea aérea por fase	C	MTA_S_9909	MTA_L_9909

Topología - Elementos ramales

Nro. equipo	Código	Fase	Nodo origen	Nodo destino
6385	Transformador con dos devanados	C	MTA_L_9909	MTA_L_14132
14132_MTA-1	Línea aérea por fase	C	MTA_L_9909	MTA_L_14132
l14132_MTA-1	Línea aérea por fase	C	MTA_L_14132	IMTA_L_14132
6487_MTA-1	Línea aérea por fase	C	MTA_L_120394	MTA_L_6487
6661_MTA-1	Línea aérea por fase	C	MTA_L_6487	MTA_S_9910
120395_MTA-1	Línea aérea por fase	C	MTA_S_9910	MTA_S_120396
49814	Fusible	C	MTA_S_120396	MTA_L_120396
120396_MTA-1	Línea aérea por fase	C	MTA_S_120396	MTA_L_120396
6489_MTA-1	Línea aérea por fase	C	MTA_L_120396	MTA_L_6489
6490_MTA-1	Línea aérea por fase	C	MTA_L_6489	MTA_S_120397
120397_MTA-1	Línea aérea por fase	C	MTA_S_120397	MTA_S_120398
120398_MTA-1	Línea aérea por fase	C	MTA_S_120398	MTA_S_6492
1284	Fusible	C	MTA_S_6492	MTA_S_12604
10599_MTA-1	Línea aérea por fase	C	MTA_S_6492	MTA_S_12604
728	Transformador con dos devanados	C	MTA_S_12604	MTA_L_12604
12604_MTA-1	Línea aérea por fase	C	MTA_S_12604	MTA_L_12604
l12604_MTA-1	Línea aérea por fase	C	MTA_L_12604	IMTA_L_12604
6492_MTA-1	Línea aérea por fase	C	MTA_S_6492	MTA_S_6404
6404_MTA-1	Línea aérea por fase	C	MTA_S_6404	MTA_S_6405
6405_MTA-1	Línea aérea por fase	C	MTA_S_6405	MTA_S_6406
6406_MTA-1	Línea aérea por fase	C	MTA_S_6406	MTA_S_6407
6407_MTA-1	Línea aérea por fase	C	MTA_S_6407	MTA_S_9912
120399_MTA-1	Línea aérea por fase	C	MTA_S_9912	MTA_L_120399
120400_MTA-1	Línea aérea por fase	C	MTA_L_120399	MTA_L_120400
24795	Fusible	C	MTA_L_120400	MTA_S_120677
71641_MTA-1	Línea aérea por fase	C	MTA_L_120400	MTA_S_120677
120677_MTA-1	Línea aérea por fase	C	MTA_S_120677	MTA_S_120678
120678_MTA-1	Línea aérea por fase	C	MTA_S_120678	MTA_S_7568
24216	Fusible	C	MTA_S_7568	MTA_S_71639
71638_MTA-1	Línea aérea por fase	C	MTA_S_7568	MTA_S_71639
71639_MTA-1	Transformador con dos devanados	C	MTA_S_71639	MTA_L_71639

Topología - Elementos ramales

Nro. equipo	Código	Fase	Nodo origen	Nodo destino
71639_MTA-1	Línea aérea por fase	C	MTA_S_71639	MTA_L_71639
I71639_MTA-1	Línea aérea por fase	C	MTA_L_71639	IMTA_L_71639
7568_MTA-1	Línea aérea por fase	C	MTA_S_7568	MTA_S_7569
7569_MTA-1	Línea aérea por fase	C	MTA_S_7569	MTA_L_7569
648	Fusible	C	MTA_L_7569	MTA_S_14137
9914_MTA-1	Línea aérea por fase	C	MTA_L_7569	MTA_S_14137
11283	Transformador con dos devanados	C	MTA_S_14137	MTA_L_14137
14137_MTA-1	Línea aérea por fase	C	MTA_S_14137	MTA_L_14137
I14137_MTA-1	Línea aérea por fase	C	MTA_L_14137	IMTA_L_14137
647	Fusible	C	MTA_S_7569	MTA_L_9913
9913_MTA-1	Línea aérea por fase	C	MTA_S_7569	MTA_L_9913
12388	Transformador con dos devanados	C	MTA_L_9913	MTA_L_14136
14136_MTA-1	Línea aérea por fase	C	MTA_L_9913	MTA_L_14136
I14136_MTA-1	Línea aérea por fase	C	MTA_L_14136	IMTA_L_14136
193388_MTA	Línea aérea por fase	C	MTA_S_120677	MTA_L_193388
84590	Fusible	C	MTA_L_193388	MTA_S_193383
193389_MTA	Línea aérea por fase	C	MTA_L_193388	MTA_S_193383
193383_MTA	Línea aérea por fase	C	MTA_S_193383	MTA_S_193384
193384_MTA	Línea aérea por fase	C	MTA_S_193384	MTA_S_193385
193385_MTA	Línea aérea por fase	C	MTA_S_193385	MTA_S_193386
193386_MTA	Línea aérea por fase	C	MTA_S_193386	MTA_L_193386
193387_MTA	Línea aérea por fase	C	MTA_L_193386	MTA_S_193391
84591	Fusible	C	MTA_S_193391	MTA_L_193391
193391_MTA	Línea aérea por fase	C	MTA_S_193391	MTA_L_193391
17329	Transformador con dos devanados	C	MTA_L_193391	MTA_L_193392
193392_MTA	Línea aérea por fase	C	MTA_L_193391	MTA_L_193392
I193392_MTA	Línea aérea por fase	C	MTA_L_193392	IMTA_L_193392
646	Fusible	C	MTA_S_9912	MTA_L_9912
9912_MTA-1	Línea aérea por fase	C	MTA_S_9912	MTA_L_9912
13536	Transformador con dos devanados	C	MTA_L_9912	MTA_L_14135
14135_MTA-1	Línea aérea por fase	C	MTA_L_9912	MTA_L_14135

Topología - Elementos ramales

Nro. equipo	Código	Fase	Nodo origen	Nodo destino
I14135_MTA-1	Línea aérea por fase	C	MTA_L_14135	IMTA_L_14135
201376_MTA-1	Línea aérea por fase	C	MTA_S_120397	MTA_L_201376
89696	Fusible	C	MTA_L_201376	MTA_S_190172
201377_MTA-1	Línea aérea por fase	C	MTA_L_201376	MTA_S_190172
82341	Fusible	C	MTA_S_190172	MTA_S_190173
190172_MTA-1	Línea aérea por fase	C	MTA_S_190172	MTA_S_190173
18081	Transformador con dos devanados	C	MTA_S_190173	MTA_L_190173
190173_MTA-1	Línea aérea por fase	C	MTA_S_190173	MTA_L_190173
I190173_MTA-1	Línea aérea por fase	C	MTA_L_190173	IMTA_L_190173
645	Fusible	C	MTA_S_120397	MTA_S_14134
9911_MTA-1	Línea aérea por fase	C	MTA_S_120397	MTA_S_14134
727	Transformador con dos devanados	C	MTA_S_14134	MTA_L_14134
14134_MTA-1	Línea aérea por fase	C	MTA_S_14134	MTA_L_14134
I14134_MTA-1	Línea aérea por fase	C	MTA_L_14134	IMTA_L_14134
644	Fusible	C	MTA_S_9910	MTA_L_9910
9910_MTA-1	Línea aérea por fase	C	MTA_S_9910	MTA_L_9910
6110	Transformador con dos devanados	C	MTA_L_9910	MTA_L_14133
14133_MTA-1	Línea aérea por fase	C	MTA_L_9910	MTA_L_14133
I14133_MTA-1	Línea aérea por fase	C	MTA_L_14133	IMTA_L_14133
22132	Fusible	A	MTA_S_63973	MTA_S_63974
63973_MTA-1	Línea aérea por fase	A	MTA_S_63973	MTA_S_63974
37	Transformador con dos devanados	A	MTA_S_63974	MTA_L_63974
63974_MTA-1	Línea aérea por fase	A	MTA_S_63974	MTA_L_63974
I63974_MTA-1	Línea aérea por fase	A	MTA_L_63974	IMTA_L_63974
65862_MTA-1	Línea aérea por fase	A	MTA_S_11885	MTA_L_65862
22428	Fusible	A	MTA_L_65862	MTA_L_65863
65863_MTA-1	Línea aérea por fase	A	MTA_L_65862	MTA_L_65863
5955_MTA-1	Línea aérea por fase	A	MTA_L_65863	MTA_S_5961
5961_MTA-1	Línea aérea por fase	A	MTA_S_5961	MTA_L_5961
5844_MTA-1	Línea aérea por fase	A	MTA_L_5961	MTA_S_14575
14575_MTA-1	Línea aérea por fase	A	MTA_S_14575	MTA_L_14575

Topología - Elementos ramales

Nro. equipo	Código	Fase	Nodo origen	Nodo destino
5845_MTA-1	Línea aérea por fase	A	MTA_S_14575	MTA_S_5846
5846_MTA-1	Línea aérea por fase	A	MTA_S_5846	MTA_L_5846
5847_MTA-1	Línea aérea por fase	A	MTA_L_5846	MTA_S_5848
5848_MTA-1	Línea aérea por fase	A	MTA_S_5848	MTA_L_5848
5849_MTA-1	Línea aérea por fase	A	MTA_L_5848	MTA_S_11886
598	Fusible	A	MTA_S_11886	MTA_S_14453
11886_MTA-1	Línea aérea por fase	A	MTA_S_11886	MTA_S_14453
3909	Transformador con dos devanados	A	MTA_S_14453	MTA_L_14453
14453_MTA-1	Línea aérea por fase	A	MTA_S_14453	MTA_L_14453
l14453_MTA-1	Línea aérea por fase	A	MTA_L_14453	IMTA_L_14453
22427	Fusible	A	MTA_L_5848	MTA_L_65860
65860_MTA-1	Línea aérea por fase	A	MTA_L_5848	MTA_L_65860
13555	Transformador con dos devanados	A	MTA_L_65860	MTA_L_65861
65861_MTA-1	Línea aérea por fase	A	MTA_L_65860	MTA_L_65861
l65861_MTA-1	Línea aérea por fase	A	MTA_L_65861	IMTA_L_65861
5850_MTA-1	Línea aérea por fase	A	MTA_S_14575	MTA_L_5850
5851_MTA-1	Línea aérea por fase	A	MTA_L_5850	MTA_L_5851
5852_MTA-1	Línea aérea por fase	A	MTA_L_5851	MTA_L_5852
599	Fusible	A	MTA_L_5852	MTA_S_14454
11887_MTA-1	Línea aérea por fase	A	MTA_L_5852	MTA_S_14454
718	Transformador con dos devanados	A	MTA_S_14454	MTA_L_14454
14454_MTA-1	Línea aérea por fase	A	MTA_S_14454	MTA_L_14454
l14454_MTA-1	Línea aérea por fase	A	MTA_L_14454	IMTA_L_14454
4343	Fusible	B	MTA_L_5082	MTA_L_16932
16932_MTA-1	Línea aérea por fase	B	MTA_L_5082	MTA_L_16932
1163	Transformador con dos devanados	B	MTA_L_16932	MTA_L_16933
16933_MTA-1	Línea aérea por fase	B	MTA_L_16932	MTA_L_16933
l16933_MTA-1	Línea aérea por fase	B	MTA_L_16933	IMTA_L_16933
7570_MTA-1	Línea aérea por fase	ABC	MTA_S_5082	MTA_S_7571
7571_MTA-1	Línea aérea por fase	ABC	MTA_S_7571	MTA_S_7572
7572_MTA-1	Línea aérea por fase	ABC	MTA_S_7572	MTA_L_7572

Topología - Elementos ramales

Nro. equipo	Código	Fase	Nodo origen	Nodo destino
7573_MTA-1	Línea aérea por fase	ABC	MTA_L_7572	MTA_S_11413
2259	Fusible	B	MTA_S_11413	MTA_L_11413
11413_MTA-1	Línea aérea por fase	B	MTA_S_11413	MTA_L_11413
14494	Transformador con dos devanados	B	MTA_L_11413	MTA_L_13398
13398_MTA-1	Línea aérea por fase	B	MTA_L_11413	MTA_L_13398
l13398_MTA-1	Línea aérea por fase	B	MTA_L_13398	IMTA_L_13398
120668_MTA-1	Línea aérea por fase	ABC	MTA_S_11413	MTA_L_120668
14727	Interruptor seccionador	ABC	MTA_L_120668	MTA_S_120672
120669_MTA-1	Línea aérea por fase	ABC	MTA_L_120668	MTA_S_120672
120672_MTA-1	Línea aérea por fase	A	MTA_S_120672	MTA_S_120673
50112	Fusible	A	MTA_S_120673	MTA_S_120674
120673_MTA-1	Línea aérea por fase	A	MTA_S_120673	MTA_S_120674
120674_MTA-1	Línea aérea por fase	A	MTA_S_120674	MTA_S_7585
7585_MTA-1	Línea aérea por fase	A	MTA_S_7585	MTA_S_7586
7586_MTA-1	Línea aérea por fase	A	MTA_S_7586	MTA_L_7586
649	Fusible	A	MTA_L_7586	MTA_L_9915
9915_MTA-1	Línea aérea por fase	A	MTA_L_7586	MTA_L_9915
730	Transformador con dos devanados	A	MTA_L_9915	MTA_L_14138
14138_MTA-1	Línea aérea por fase	A	MTA_L_9915	MTA_L_14138
l14138_MTA-1	Línea aérea por fase	A	MTA_L_14138	IMTA_L_14138
7575_MTA-1	Línea aérea por fase	ABC	MTA_S_120672	MTA_L_7575
7576_MTA-1	Línea aérea por fase	ABC	MTA_L_7575	MTA_S_7577
51482	Fusible	B	MTA_S_7577	MTA_L_125876
125876_MTA-1	Línea aérea por fase	B	MTA_S_7577	MTA_L_125876
125877_MTA-1	Línea aérea por fase	B	MTA_L_125876	MTA_S_7588
7588_MTA-1	Línea aérea por fase	B	MTA_S_7588	MTA_S_7589
7589_MTA-1	Línea aérea por fase	B	MTA_S_7589	MTA_S_9917
651	Fusible	B	MTA_S_9917	MTA_S_14139
9916_MTA-1	Línea aérea por fase	B	MTA_S_9917	MTA_S_14139
7435	Transformador con dos devanados	B	MTA_S_14139	MTA_L_14139
14139_MTA-1	Línea aérea por fase	B	MTA_S_14139	MTA_L_14139

Topología - Elementos ramales

Nro. equipo	Código	Fase	Nodo origen	Nodo destino
I14139_MTA-1	Línea aérea por fase	B	MTA_L_14139	IMTA_L_14139
650	Fusible	B	MTA_S_9917	MTA_S_14140
9917_MTA-1	Línea aérea por fase	B	MTA_S_9917	MTA_S_14140
7714	Transformador con dos devanados	B	MTA_S_14140	MTA_L_14140
14140_MTA-1	Línea aérea por fase	B	MTA_S_14140	MTA_L_14140
I14140_MTA-1	Línea aérea por fase	B	MTA_L_14140	IMTA_L_14140
7577_MTA-1	Línea aérea por fase	ABC	MTA_S_7577	MTA_L_7577
7578_MTA-1	Línea aérea por fase	ABC	MTA_L_7577	MTA_L_7578
14576_MTA-1	Línea aérea por fase	C	MTA_L_7578	MTA_L_14576
7579_MTA-1	Línea aérea por fase	ABC	MTA_L_7578	MTA_S_7580
7580_MTA-1	Línea aérea por fase	ABC	MTA_S_7580	MTA_L_7580
7581_MTA-1	Línea aérea por fase	ABC	MTA_L_7580	MTA_L_7581
15042	Interruptor seccionador	ABC	MTA_L_7581	MTA_L_125884
125884_MTA-1	Línea aérea por fase	ABC	MTA_L_7581	MTA_L_125884
125885_MTA-1	Línea aérea por fase	ABC	MTA_L_125884	MTA_S_4765
4765_MTA-1	Línea aérea por fase	ABC	MTA_S_4765	MTA_L_4765
125890_MTA-1	Línea aérea por fase	ABC	MTA_L_4765	MTA_S_126111
20227	Interruptor seccionador	ABC	MTA_S_126111	MTA_S_4767
126111_MTA-1	Línea aérea por fase	ABC	MTA_S_126111	MTA_S_4767
4767_MTA-1	Línea aérea por fase	ABC	MTA_S_4767	MTA_S_162985
68895	Fusible	ABC	MTA_S_162985	MTA_L_162985
162985_MTA-1	Línea aérea por fase	ABC	MTA_S_162985	MTA_L_162985
162986_MTA-1	Línea aérea por fase	ABC	MTA_L_162985	MTA_L_162986
1612_MTA-1	Línea aérea por fase	ABC	MTA_L_162986	MTA_L_1612
1613_MTA-1	Línea aérea por fase	ABC	MTA_L_1612	MTA_S_1614
14568_MTA-1	Línea aérea por fase	ABC	MTA_S_1614	MTA_L_14568
1614_MTA-1	Línea aérea por fase	ABC	MTA_S_1614	MTA_L_1614
168760_MTA-1	Línea aérea por fase	A	MTA_S_168760	MTA_L_1614
51493	Fusible	A	MTA_S_168760	MTS_L_33283
33283_MTS-1	Cable	A	MTA_S_168760	MTS_L_33283
33285_MTS-1	Cable	A	MTS_L_33283	MTS_L_33285

Topología - Elementos ramales

Nro. equipo	Código	Fase	Nodo origen	Nodo destino
33287_MTS-1	Cable	A	MTS_L_33285	MTS_L_33287
21848	Interruptor seccionador	A	MTS_L_33287	MTS_L_33289
33289_MTS-1	Cable	A	MTS_L_33287	MTS_L_33289
33290_MTS-1	Cable	A	MTS_L_33289	MTS_L_33290
29944	Fusible	A	MTS_L_33290	MTS_L_9594
9594_MTS-1	Cable	A	MTS_L_33290	MTS_L_9594
16619	Transformador con dos devanados	A	MTS_L_9594	MTS_L_9593
9593_MTS-1	Cable	A	MTS_L_9594	MTS_L_9593
19593_MTS-1	Cable	A	MTS_L_9593	IMTS_L_9593
1615_MTA-1	Línea aérea por fase	ABC	MTA_S_1614	MTA_L_1615
1616_MTA-1	Línea aérea por fase	ABC	MTA_L_1615	MTA_S_11583
2442	Fusible	B	MTA_S_11583	MTA_S_13570
11583_MTA-1	Línea aérea por fase	B	MTA_S_11583	MTA_S_13570
737	Transformador con dos devanados	B	MTA_S_13570	MTA_L_13570
13570_MTA-1	Línea aérea por fase	B	MTA_S_13570	MTA_L_13570
I13570_MTA-1	Línea aérea por fase	B	MTA_L_13570	IMTA_L_13570
70188	Fusible	ABC	MTA_S_11583	MTA_S_164598
164597_MTA-1	Línea aérea por fase	ABC	MTA_S_11583	MTA_S_164598
164598_MTA-1	Línea aérea por fase	ABC	MTA_S_164598	MTA_L_164598
130351_MTA-1	Línea aérea por fase	ABC	MTA_L_164598	MTA_S_1617
1617_MTA-1	Línea aérea por fase	ABC	MTA_S_1617	MTA_L_1617
2433	Fusible	AB	MTA_L_1617	MTA_S_13561
11574_MTA-1	Línea aérea por fase	AB	MTA_L_1617	MTA_S_13561
5648;4255	Transformador con dos devanados	AB	MTA_S_13561	MTA_L_13561
13561_MTA-1	Línea aérea por fase	AB	MTA_S_13561	MTA_L_13561
I13561_MTA-1	Línea aérea por fase	AB	MTA_L_13561	IMTA_L_13561
15958_MTS-1	Cable	A	MTA_L_1617	MTS_L_15958
15957_MTS-1	Cable	A	MTS_L_15958	MTS_L_15957
7975_MTA-1	Línea aérea por fase	ABC	MTA_L_1617	MTA_S_7029
7029_MTA-1	Línea aérea por fase	ABC	MTA_S_7029	MTS_S_47061
47061_MTS-1	Cable	ABC	MTS_S_47061	MTS_L_47061

Topología - Elementos ramales

Nro. equipo	Código	Fase	Nodo origen	Nodo destino
92915	Fusible	ABC	MTS_L_47061	MTS_L_47062
47062_MTS-1	Cable	ABC	MTS_L_47061	MTS_L_47062
47058_MTS-1	Cable	ABC	MTS_L_47062	MTS_L_47058
47059_MTS-1	Cable	ABC	MTS_L_47058	MTS_L_47059
92916	Fusible	ABC	MTS_L_47059	MTS_L_47063
47063_MTS-1	Cable	ABC	MTS_L_47059	MTS_L_47063
18156	Transformador con dos devanados	ABC	MTS_L_47063	MTS_L_47064
47064_MTS-1	Cable	ABC	MTS_L_47063	MTS_L_47064
I47064_MTS-1	Cable	ABC	MTS_L_47064	IMTS_L_47064
7234_MTA-1	Línea aérea por fase	A	MTS_S_47061	MTA_S_11575
2434	Fusible	A	MTA_S_11575	MTA_L_11575
11575_MTA-1	Línea aérea por fase	A	MTA_S_11575	MTA_L_11575
4430	Transformador con dos devanados	A	MTA_L_11575	MTA_L_13562
13562_MTA-1	Línea aérea por fase	A	MTA_L_11575	MTA_L_13562
I13562_MTA-1	Línea aérea por fase	A	MTA_L_13562	IMTA_L_13562
7235_MTA-1	Línea aérea por fase	A	MTS_S_47061	MTA_L_7235
7236_MTA-1	Línea aérea por fase	A	MTA_L_7235	MTA_L_7236
7237_MTA-1	Línea aérea por fase	A	MTA_L_7236	MTA_S_7238
7238_MTA-1	Línea aérea por fase	A	MTA_S_7238	MTA_S_6449
6449_MTA-1	Línea aérea por fase	A	MTA_S_6449	MTA_L_6449
2454	Fusible	A	MTA_L_6449	MTA_S_13582
11595_MTA-1	Línea aérea por fase	A	MTA_L_6449	MTA_S_13582
631	Transformador con dos devanados	A	MTA_S_13582	MTA_L_13582
13582_MTA-1	Línea aérea por fase	A	MTA_S_13582	MTA_L_13582
I13582_MTA-1	Línea aérea por fase	A	MTA_L_13582	IMTA_L_13582
6450_MTA-1	Línea aérea por fase	A	MTA_L_6449	MTA_S_132623
2443	Fusible	A	MTA_S_132623	MTA_L_11584
11584_MTA-1	Línea aérea por fase	A	MTA_S_132623	MTA_L_11584
973	Transformador con dos devanados	A	MTA_L_11584	MTA_L_13571
13571_MTA-1	Línea aérea por fase	A	MTA_L_11584	MTA_L_13571
I13571_MTA-1	Línea aérea por fase	A	MTA_L_13571	IMTA_L_13571

Topología - Elementos ramales

Nro. equipo	Código	Fase	Nodo origen	Nodo destino
132623_MTA-1	Línea aérea por fase	A	MTA_S_132623	MTA_S_132625
54913	Fusible	A	MTA_S_132625	MTA_S_132626
132625_MTA-1	Línea aérea por fase	A	MTA_S_132625	MTA_S_132626
132626_MTA-1	Transformador con dos devanados	A	MTA_S_132626	MTA_L_132626
132626_MTA-1	Línea aérea por fase	A	MTA_S_132626	MTA_L_132626
l132626_MTA-1	Línea aérea por fase	A	MTA_L_132626	IMTA_L_132626
1618_MTA-1	Línea aérea por fase	ABC	MTA_S_1617	MTA_L_1618
1619_MTA-1	Línea aérea por fase	ABC	MTA_S_1617	MTA_L_1619
1620_MTA-1	Línea aérea por fase	ABC	MTA_L_1619	MTA_S_132563
132563_MTA-1	Línea aérea por fase	C	MTA_S_132563	MTA_S_132564
54588	Fusible	C	MTA_S_132564	MTA_L_132564
132564_MTA-1	Línea aérea por fase	C	MTA_S_132564	MTA_L_132564
1622_MTA-1	Línea aérea por fase	C	MTA_L_132564	MTA_L_1622
1623_MTA-1	Línea aérea por fase	C	MTA_L_1622	MTA_S_7025
7025_MTA-1	Línea aérea por fase	C	MTA_S_7025	MTA_S_132613
132613_MTA-1	Línea aérea por fase	C	MTA_S_132613	MTA_L_132620
132620_MTA-1	Línea aérea por fase	C	MTA_S_132620	MTA_L_132620
54911	Fusible	C	MTA_S_132620	MTA_S_132617
132621_MTA-1	Línea aérea por fase	C	MTA_S_132620	MTA_S_132617
738	Transformador con dos devanados	C	MTA_S_132617	MTA_L_132617
132617_MTA-1	Línea aérea por fase	C	MTA_S_132617	MTA_L_132617
l132617_MTA-1	Línea aérea por fase	C	MTA_L_132617	IMTA_L_132617
54912	Fusible	C	MTA_S_132620	MTA_L_132622
132622_MTA-1	Línea aérea por fase	C	MTA_S_132620	MTA_L_132622
754	Transformador con dos devanados	C	MTA_L_132622	MTA_L_132619
132619_MTA-1	Línea aérea por fase	C	MTA_L_132622	MTA_L_132619
l132619_MTA-1	Línea aérea por fase	C	MTA_L_132619	IMTA_L_132619
677	Fusible	C	MTA_S_132613	MTA_L_9941
9941_MTA-1	Línea aérea por fase	C	MTA_S_132613	MTA_L_9941
0740	Transformador con dos devanados	C	MTA_L_9941	MTA_L_14164
14164_MTA-1	Línea aérea por fase	C	MTA_L_9941	MTA_L_14164

Topología - Elementos ramales

Nro. equipo	Código	Fase	Nodo origen	Nodo destino
I14164_MTA-1	Línea aérea por fase	C	MTA_L_14164	IMTA_L_14164
676	Fusible	B	MTA_S_132563	MTA_L_9940
9940_MTA-1	Línea aérea por fase	B	MTA_S_132563	MTA_L_9940
16208	Transformador con dos devanados	B	MTA_L_9940	MTA_L_14163
14163_MTA-1	Línea aérea por fase	B	MTA_L_9940	MTA_L_14163
I14163_MTA-1	Línea aérea por fase	B	MTA_L_14163	IMTA_L_14163
7026_MTA-1	Línea aérea por fase	C	MTA_L_164598	MTA_S_7027
7027_MTA-1	Línea aérea por fase	C	MTA_S_7027	MTA_S_7028
2453	Fusible	C	MTA_S_7028	MTA_S_13581
11594_MTA-1	Línea aérea por fase	C	MTA_S_7028	MTA_S_13581
6443	Transformador con dos devanados	C	MTA_S_13581	MTA_L_13581
13581_MTA-1	Línea aérea por fase	C	MTA_S_13581	MTA_L_13581
I13581_MTA-1	Línea aérea por fase	C	MTA_L_13581	IMTA_L_13581
7028_MTA-1	Línea aérea por fase	C	MTA_S_7028	MTA_L_7028
675	Fusible	A	MTA_L_162986	MTA_L_9939
9939_MTA-1	Línea aérea por fase	A	MTA_L_162986	MTA_L_9939
7247	Transformador con dos devanados	A	MTA_L_9939	MTA_L_14162
14162_MTA-1	Línea aérea por fase	A	MTA_L_9939	MTA_L_14162
I14162_MTA-1	Línea aérea por fase	A	MTA_L_14162	IMTA_L_14162
4768_MTA-1	Línea aérea por fase	ABC	MTA_S_162985	MTA_L_4768
181573_MTA-1	Línea aérea por fase	ABC	MTA_L_4768	MTA_L_181573
181574_MTA-1	Línea aérea por fase	ABC	MTA_L_181573	MTA_S_4770
2533	Fusible	A	MTA_S_4770	MTA_S_13657
11670_MTA-1	Línea aérea por fase	A	MTA_S_4770	MTA_S_13657
0744	Transformador con dos devanados	A	MTA_S_13657	MTA_L_13657
13657_MTA-1	Línea aérea por fase	A	MTA_S_13657	MTA_L_13657
I13657_MTA-1	Línea aérea por fase	A	MTA_L_13657	IMTA_L_13657
4770_MTA-1	Línea aérea por fase	ABC	MTA_S_4770	MTA_S_4771
4771_MTA-1	Línea aérea por fase	ABC	MTA_S_4771	MTA_S_4772
4772_MTA-1	Línea aérea por fase	ABC	MTA_S_4772	MTA_L_4772
53038	Fusible	ABC	MTA_L_4772	MTA_L_129939

Topología - Elementos ramales

Nro. equipo	Código	Fase	Nodo origen	Nodo destino
129939_MTA-1	Línea aérea por fase	ABC	MTA_L_4772	MTA_L_129939
129940_MTA-1	Línea aérea por fase	ABC	MTA_L_129939	MTA_S_11671
2534	Fusible	C	MTA_S_11671	MTA_L_11671
11671_MTA-1	Línea aérea por fase	C	MTA_S_11671	MTA_L_11671
7587	Transformador con dos devanados	C	MTA_L_11671	MTA_L_13658
13658_MTA-1	Línea aérea por fase	C	MTA_L_11671	MTA_L_13658
I13658_MTA-1	Línea aérea por fase	C	MTA_L_13658	IMTA_L_13658
4774_MTA-1	Línea aérea por fase	ABC	MTA_S_11671	MTA_L_4774
4775_MTA-1	Línea aérea por fase	ABC	MTA_L_4774	MTA_L_4775
4776_MTA-1	Línea aérea por fase	ABC	MTA_L_4775	MTA_L_4776
4777_MTA-1	Línea aérea por fase	ABC	MTA_L_4776	MTA_S_4782
2535	Fusible	ABC	MTA_S_162335	MTA_S_4782
162335_MTA-1	Línea aérea por fase	ABC	MTA_S_162335	MTA_S_4782
9081;8723;8798	Transformador con dos devanados	ABC	MTA_S_162335	MTA_L_13659
13659_MTA-1	Línea aérea por fase	ABC	MTA_S_162335	MTA_L_13659
I13659_MTA-1	Línea aérea por fase	ABC	MTA_L_13659	IMTA_L_13659
4778_MTA-1	Línea aérea por fase	A	MTA_S_4782	MTA_S_168768
130346_MTA-1	Línea aérea por fase	A	MTA_S_168768	MTA_S_130347
54289	Fusible	A	MTA_S_130347	MTA_S_4780
130347_MTA-1	Línea aérea por fase	A	MTA_S_130347	MTA_S_4780
4780_MTA-1	Línea aérea por fase	A	MTA_S_4780	MTA_S_4781
4781_MTA-1	Línea aérea por fase	A	MTA_S_4781	MTA_S_11673
2536	Fusible	A	MTA_S_11673	MTA_S_13660
11673_MTA-1	Línea aérea por fase	A	MTA_S_11673	MTA_S_13660
10676	Transformador con dos devanados	A	MTA_S_13660	MTA_L_13660
13660_MTA-1	Línea aérea por fase	A	MTA_S_13660	MTA_L_13660
I13660_MTA-1	Línea aérea por fase	A	MTA_L_13660	IMTA_L_13660
168768_MTA-1	Línea aérea por fase	A	MTA_S_168768	MTA_L_168768
54290	Fusible	A	MTA_L_168768	MTS_L_33369
33369_MTS-1	Cable	A	MTA_L_168768	MTS_L_33369
33371_MTS-1	Cable	A	MTS_L_33369	MTS_L_33371

Topología - Elementos ramales

Nro. equipo	Código	Fase	Nodo origen	Nodo destino
33373_MTS-1	Cable	A	MTS_L_33371	MTS_L_33373
33375_MTS-1	Cable	A	MTS_L_33373	MTS_L_33375
33385_MTS-1	Cable	A	MTS_L_33375	MTS_L_33385
21869	Interruptor seccionador	A	MTS_L_33385	MTS_L_33387
33387_MTS-1	Cable	A	MTS_L_33385	MTS_L_33387
33388_MTS-1	Cable	A	MTS_L_33387	MTS_L_33388
1230	Fusible	A	MTS_L_33388	MTS_L_350
350_MTS-1	Cable	A	MTS_L_33388	MTS_L_350
15769	Transformador con dos devanados	A	MTS_L_350	MTS_L_466
466_MTS-1	Cable	A	MTS_L_350	MTS_L_466
I466_MTS-1	Cable	A	MTS_L_466	IMTS_L_466
4782_MTA-1	Línea aérea por fase	ABC	MTA_S_4782	MTA_S_11674
2537	Fusible	C	MTA_S_11674	MTA_S_13661
11674_MTA-1	Línea aérea por fase	C	MTA_S_11674	MTA_S_13661
9568	Transformador con dos devanados	C	MTA_S_13661	MTA_L_13661
13661_MTA-1	Línea aérea por fase	C	MTA_S_13661	MTA_L_13661
I13661_MTA-1	Línea aérea por fase	C	MTA_L_13661	IMTA_L_13661
54287	Fusible	B	MTA_S_11674	MTA_S_130343
130342_MTA-1	Línea aérea por fase	B	MTA_S_11674	MTA_S_130343
8648	Transformador con dos devanados	B	MTA_S_130343	MTA_L_130343
130343_MTA-1	Línea aérea por fase	B	MTA_S_130343	MTA_L_130343
I130343_MTA-1	Línea aérea por fase	B	MTA_L_130343	IMTA_L_130343
4783_MTA-1	Línea aérea por fase	ABC	MTA_S_11674	MTA_L_4783
4784_MTA-1	Línea aérea por fase	ABC	MTA_L_4783	MTA_S_4785
4785_MTA-1	Línea aérea por fase	ABC	MTA_S_4785	MTA_S_7408
4786_MTA-1	Línea aérea por fase	ABC	MTA_S_7408	MTA_S_130344
2542	Fusible	A	MTA_S_130344	MTA_S_13666
11679_MTA-1	Línea aérea por fase	A	MTA_S_130344	MTA_S_13666
13070	Transformador con dos devanados	A	MTA_S_13666	MTA_L_13666
13666_MTA-1	Línea aérea por fase	A	MTA_S_13666	MTA_L_13666
I13666_MTA-1	Línea aérea por fase	A	MTA_L_13666	IMTA_L_13666

Topología - Elementos ramales

Nro. equipo	Código	Fase	Nodo origen	Nodo destino
130344_MTA-1	Línea aérea por fase	B	MTA_S_130344	MTA_S_130345
54288	Fusible	B	MTA_S_130345	MTA_S_7404
130345_MTA-1	Línea aérea por fase	B	MTA_S_130345	MTA_S_7404
7404_MTA-1	Línea aérea por fase	B	MTA_S_7404	MTA_L_7404
7405_MTA-1	Línea aérea por fase	B	MTA_L_7404	MTA_S_7406
7406_MTA-1	Línea aérea por fase	B	MTA_S_7406	MTA_L_7406
7407_MTA-1	Línea aérea por fase	B	MTA_L_7406	MTA_L_7407
674	Fusible	B	MTA_S_7406	MTA_L_9938
9938_MTA-1	Línea aérea por fase	B	MTA_S_7406	MTA_L_9938
14595	Transformador con dos devanados	B	MTA_L_9938	MTA_L_14161
14161_MTA-1	Línea aérea por fase	B	MTA_L_9938	MTA_L_14161
I14161_MTA-1	Línea aérea por fase	B	MTA_L_14161	IMTA_L_14161
7402_MTA-1	Línea aérea por fase	ABC	MTA_S_7408	MTA_L_7402
7408_MTA-1	Línea aérea por fase	ABC	MTA_S_7408	MTA_S_133154
55393	Fusible	ABC	MTA_S_133154	MTA_L_133154
133154_MTA-1	Línea aérea por fase	ABC	MTA_S_133154	MTA_L_133154
133207_MTA-1	Línea aérea por fase	ABC	MTA_L_133154	MTA_L_133207
6881_MTA-1	Línea aérea por fase	ABC	MTA_L_133207	MTA_L_6881
168770_MTA-1	Línea aérea por fase	ABC	MTA_L_6881	MTA_L_168770
55394	Fusible	ABC	MTA_L_168770	MTS_L_33395
33395_MTS-1	Cable	ABC	MTA_L_168770	MTS_L_33395
33397_MTS-1	Cable	ABC	MTS_L_33395	MTS_L_33397
33399_MTS-1	Cable	ABC	MTS_L_33397	MTS_L_33399
33401_MTS-1	Cable	ABC	MTS_L_33399	MTS_L_33401
33403_MTS-1	Cable	ABC	MTS_L_33401	MTS_L_33403
33405_MTS-1	Cable	ABC	MTS_L_33403	MTS_L_33405
33407_MTS-1	Cable	ABC	MTS_L_33405	MTS_L_33407
21871	Interruptor seccionador	ABC	MTS_L_33407	MTS_L_33425
33425_MTS-1	Cable	ABC	MTS_L_33407	MTS_L_33425
33426_MTS-1	Cable	ABC	MTS_L_33425	MTS_L_33426
2437	Fusible	ABC	MTS_L_33426	MTS_L_33428

Topología - Elementos ramales

Nro. equipo	Código	Fase	Nodo origen	Nodo destino
33428_MTS-1	Cable	ABC	MTS_L_33426	MTS_L_33428
12006	Transformador con dos devanados	ABC	MTS_L_33428	MTS_L_33427
33427_MTS-1	Cable	ABC	MTS_L_33428	MTS_L_33427
I33427_MTS-1	Cable	ABC	MTS_L_33427	IMTS_L_33427
6882_MTA-1	Línea aérea por fase	ABC	MTA_L_6881	MTA_L_6882
2538	Fusible	ABC	MTA_L_6882	MTA_S_13662
11675_MTA-1	Línea aérea por fase	ABC	MTA_L_6882	MTA_S_13662
9498;11727;11728	Transformador con dos devanados	ABC	MTA_S_13662	MTA_L_13662
13662_MTA-1	Línea aérea por fase	ABC	MTA_S_13662	MTA_L_13662
I13662_MTA-1	Línea aérea por fase	ABC	MTA_L_13662	IMTA_L_13662
6517_MTA-1	Línea aérea por fase	ABC	MTA_L_6882	MTA_L_6517
6518_MTA-1	Línea aérea por fase	ABC	MTA_L_6517	MTA_S_1606
1606_MTA-1	Línea aérea por fase	ABC	MTA_S_1606	MTA_L_1606
1607_MTA-1	Línea aérea por fase	ABC	MTA_L_1606	MTA_L_1607
2539	Fusible	ABC	MTA_L_1607	MTA_S_13663
11676_MTA-1	Línea aérea por fase	ABC	MTA_L_1607	MTA_S_13663
14334;3379;14335	Transformador con dos devanados	ABC	MTA_S_13663	MTA_L_13663
13663_MTA-1	Línea aérea por fase	ABC	MTA_S_13663	MTA_L_13663
I13663_MTA-1	Línea aérea por fase	ABC	MTA_L_13663	IMTA_L_13663
1608_MTA-1	Línea aérea por fase	ABC	MTA_L_1607	MTA_S_11677
2540	Fusible	ABC	MTA_S_11677	MTA_S_13664
11677_MTA-1	Línea aérea por fase	ABC	MTA_S_11677	MTA_S_13664
5888;5887;5889	Transformador con dos devanados	ABC	MTA_S_13664	MTA_L_13664
13664_MTA-1	Línea aérea por fase	ABC	MTA_S_13664	MTA_L_13664
I13664_MTA-1	Línea aérea por fase	ABC	MTA_L_13664	IMTA_L_13664
1609_MTA-1	Línea aérea por fase	ABC	MTA_S_11677	MTA_S_1610
1610_MTA-1	Línea aérea por fase	ABC	MTA_S_1610	MTA_L_1610
2541	Fusible	ABC	MTA_L_1610	MTA_L_11678
11678_MTA-1	Línea aérea por fase	ABC	MTA_L_1610	MTA_L_11678
760;3599;758	Transformador con dos devanados	ABC	MTA_L_11678	MTA_L_13665
13665_MTA-1	Línea aérea por fase	ABC	MTA_L_11678	MTA_L_13665

Topología - Elementos ramales

Nro. equipo	Código	Fase	Nodo origen	Nodo destino
I13665_MTA-1	Línea aérea por fase	ABC	MTA_L_13665	IMTA_L_13665
168769_MTA-1	Línea aérea por fase	ABC	MTA_L_1607	MTS_S_33389
55395	Fusible	ABC	MTS_S_33389	MTS_L_33389
33389_MTS-1	Cable	ABC	MTS_S_33389	MTS_L_33389
33391_MTS-1	Cable	ABC	MTS_L_33389	MTS_L_33391
21870	Interruptor seccionador	ABC	MTS_L_33391	MTS_L_33393
33393_MTS-1	Cable	ABC	MTS_L_33391	MTS_L_33393
33394_MTS-1	Cable	ABC	MTS_L_33393	MTS_L_33394
2258	Fusible	ABC	MTS_L_33394	MTS_L_386
386_MTS-1	Cable	ABC	MTS_L_33394	MTS_L_386
14631	Transformador con dos devanados	ABC	MTS_L_386	MTS_L_511
511_MTS-1	Cable	ABC	MTS_L_386	MTS_L_511
I511_MTS-1	Cable	ABC	MTS_L_511	IMTS_L_511
7740_MTA-1	Línea aérea por fase	ABC	MTA_S_4772	MTA_S_7919
7919_MTA-1	Línea aérea por fase	ABC	MTA_S_7919	MTA_S_10487
1707	Fusible	C	MTA_S_10487	MTA_S_14243
10487_MTA-1	Línea aérea por fase	C	MTA_S_10487	MTA_S_14243
745	Transformador con dos devanados	C	MTA_S_14243	MTA_L_14243
14243_MTA-1	Línea aérea por fase	C	MTA_S_14243	MTA_L_14243
I14243_MTA-1	Línea aérea por fase	C	MTA_L_14243	IMTA_L_14243
125888_MTA-1	Línea aérea por fase	B	MTA_S_10487	MTA_S_125889
51711	Fusible	B	MTA_S_125889	MTA_S_7921
125889_MTA-1	Línea aérea por fase	B	MTA_S_125889	MTA_S_7921
1708	Fusible	B	MTA_S_7921	MTA_S_14244
10488_MTA-1	Línea aérea por fase	B	MTA_S_7921	MTA_S_14244
747	Transformador con dos devanados	B	MTA_S_14244	MTA_L_14244
14244_MTA-1	Línea aérea por fase	B	MTA_S_14244	MTA_L_14244
I14244_MTA-1	Línea aérea por fase	B	MTA_L_14244	IMTA_L_14244
7921_MTA-1	Línea aérea por fase	B	MTA_S_7921	MTA_L_7921
8099_MTA-1	Línea aérea por fase	B	MTA_L_7921	MTA_S_10489
1709	Fusible	B	MTA_S_10489	MTA_S_14245

Topología - Elementos ramales

Nro. equipo	Código	Fase	Nodo origen	Nodo destino
10489_MTA-1	Línea aérea por fase	B	MTA_S_10489	MTA_S_14245
8957	Transformador con dos devanados	B	MTA_S_14245	MTA_L_14245
14245_MTA-1	Línea aérea por fase	B	MTA_S_14245	MTA_L_14245
l14245_MTA-1	Línea aérea por fase	B	MTA_L_14245	IMTA_L_14245
168460_MTA-1	Línea aérea por fase	ABC	MTA_S_10487	MTA_L_168460
51710	Fusible	ABC	MTA_L_168460	MTS_L_33002
33002_MTS-1	Cable	ABC	MTA_L_168460	MTS_L_33002
33007_MTS-1	Cable	ABC	MTS_L_33002	MTS_L_33007
33008_MTS-1	Cable	ABC	MTS_L_33007	MTS_L_33008
33010_MTS-1	Cable	ABC	MTS_L_33008	MTS_L_33010
33012_MTS-1	Cable	ABC	MTS_L_33010	MTS_L_33012
21845	Interruptor seccionador	ABC	MTS_L_33012	MTS_L_33014
33013_MTS-1	Cable	ABC	MTS_L_33012	MTS_L_33014
33014_MTS-1	Cable	ABC	MTS_S_33014	MTS_L_33014
1234	Fusible	ABC	MTS_S_33014	MTS_L_563
563_MTS-1	Cable	ABC	MTS_S_33014	MTS_L_563
15831	Transformador con dos devanados	ABC	MTS_L_563	MTS_L_467
467_MTS-1	Cable	ABC	MTS_L_563	MTS_L_467
l467_MTS-1	Cable	ABC	MTS_L_467	IMTS_L_467
33015_MTS-1	Cable	ABC	MTS_L_33014	MTS_L_33015
1235	Fusible	ABC	MTS_L_33015	MTS_L_351
351_MTS-1	Cable	ABC	MTS_L_33015	MTS_L_351
12670	Transformador con dos devanados	ABC	MTS_L_351	MTS_L_468
468_MTS-1	Cable	ABC	MTS_L_351	MTS_L_468
l468_MTS-1	Cable	ABC	MTS_L_468	IMTS_L_468
8106_MTA-1	Línea aérea por fase	ABC	MTA_S_4772	MTA_S_8107
8107_MTA-1	Línea aérea por fase	ABC	MTA_S_8107	MTA_S_129416
129416_MTA-1	Línea aérea por fase	ABC	MTA_S_129416	MTA_S_129417
53017	Fusible	ABC	MTA_S_129417	MTA_S_8109
129417_MTA-1	Línea aérea por fase	ABC	MTA_S_129417	MTA_S_8109
8109_MTA-1	Línea aérea por fase	ABC	MTA_S_8109	MTA_L_8109

Topología - Elementos ramales

Nro. equipo	Código	Fase	Nodo origen	Nodo destino
53039	Fusible	C	MTA_L_8109	MTA_S_129942
129941_MTA-1	Línea aérea por fase	C	MTA_L_8109	MTA_S_129942
129942_MTA-1	Línea aérea por fase	C	MTA_S_129942	MTA_S_8113
8113_MTA-1	Línea aérea por fase	C	MTA_S_8113	MTA_S_11581
1710	Fusible	C	MTA_S_11581	MTA_L_11581
11581_MTA-1	Línea aérea por fase	C	MTA_S_11581	MTA_L_11581
13501	Transformador con dos devanados	C	MTA_L_11581	MTA_L_14246
14246_MTA-1	Línea aérea por fase	C	MTA_L_11581	MTA_L_14246
l14246_MTA-1	Línea aérea por fase	C	MTA_L_14246	IMTA_L_14246
8110_MTA-1	Línea aérea por fase	C	MTA_L_8109	MTA_S_8111
1711	Fusible	C	MTA_S_8111	MTA_S_14247
10491_MTA-1	Línea aérea por fase	C	MTA_S_8111	MTA_S_14247
761	Transformador con dos devanados	C	MTA_S_14247	MTA_L_14247
14247_MTA-1	Línea aérea por fase	C	MTA_S_14247	MTA_L_14247
l14247_MTA-1	Línea aérea por fase	C	MTA_L_14247	IMTA_L_14247
8111_MTA-1	Línea aérea por fase	C	MTA_S_8111	MTA_S_10492
1712	Fusible	C	MTA_S_10492	MTA_S_14248
10492_MTA-1	Línea aérea por fase	C	MTA_S_10492	MTA_S_14248
11899	Transformador con dos devanados	C	MTA_S_14248	MTA_L_14248
14248_MTA-1	Línea aérea por fase	C	MTA_S_14248	MTA_L_14248
l14248_MTA-1	Línea aérea por fase	C	MTA_L_14248	IMTA_L_14248
8114_MTA-1	Línea aérea por fase	ABC	MTA_L_8109	MTA_S_8115
8115_MTA-1	Línea aérea por fase	ABC	MTA_S_8115	MTA_S_8116
1713	Fusible	ABC	MTA_S_8116	MTA_L_10493
10493_MTA-1	Línea aérea por fase	ABC	MTA_S_8116	MTA_L_10493
10317;10318;10316	Transformador con dos devanados	ABC	MTA_L_10493	MTA_L_14249
14249_MTA-1	Línea aérea por fase	ABC	MTA_L_10493	MTA_L_14249
l14249_MTA-1	Línea aérea por fase	ABC	MTA_L_14249	IMTA_L_14249
8116_MTA-1	Línea aérea por fase	ABC	MTA_S_8116	MTA_S_5565
4171	Interruptor seccionador	ABC	MTA_S_5565	MTA_L_4745
5565_MTA-1	Línea aérea por fase	ABC	MTA_S_5565	MTA_L_4745

Topología - Elementos ramales

Nro. equipo	Código	Fase	Nodo origen	Nodo destino
7715_MTA-1	Línea aérea por fase	ABC	MTA_S_5565	MTA_S_11579
2438	Fusible	C	MTA_S_11579	MTA_S_13566
11579_MTA-1	Línea aérea por fase	C	MTA_S_11579	MTA_S_13566
8616	Transformador con dos devanados	C	MTA_S_13566	MTA_L_13566
13566_MTA-1	Línea aérea por fase	C	MTA_S_13566	MTA_L_13566
I13566_MTA-1	Línea aérea por fase	C	MTA_L_13566	IMTA_L_13566
7716_MTA-1	Línea aérea por fase	ABC	MTA_S_11579	MTA_L_7716
2439	Fusible	ABC	MTA_L_7716	MTA_L_11580
11580_MTA-1	Línea aérea por fase	ABC	MTA_L_7716	MTA_L_11580
766;7085;7085	Transformador con dos devanados	ABC	MTA_L_11580	MTA_L_13567
13567_MTA-1	Línea aérea por fase	ABC	MTA_L_11580	MTA_L_13567
I13567_MTA-1	Línea aérea por fase	ABC	MTA_L_13567	IMTA_L_13567
7717_MTA-1	Línea aérea por fase	ABC	MTA_L_7716	MTA_L_7717
175162_MTA-1	Línea aérea por fase	A	MTA_L_7717	MTA_L_175162
55547	Fusible	A	MTA_L_175162	MTS_L_18838
18838_MTS-1	Cable	A	MTA_L_175162	MTS_L_18838
38735_MTS-1	Cable	A	MTS_L_18838	MTS_L_38735
39040_MTS-1	Cable	A	MTS_L_38735	MTS_L_39040
39041_MTS-1	Cable	A	MTS_L_39040	MTS_L_39041
39042_MTS-1	Cable	A	MTS_L_39041	MTS_L_39042
39044_MTS-1	Cable	A	MTS_L_39042	MTS_L_39044
39045_MTS-1	Cable	A	MTS_S_39046	MTS_L_39044
39046_MTS-1	Cable	A	MTS_S_39046	MTS_L_39046
39047_MTS-1	Cable	A	MTS_L_39046	MTS_L_39047
39049_MTS-1	Cable	A	MTS_L_39047	MTS_L_39049
39051_MTS-1	Cable	A	MTS_L_39049	MTS_L_39051
23435	Interruptor seccionador	A	MTS_L_39051	MTS_L_39052
39052_MTS-1	Cable	A	MTS_L_39051	MTS_L_39052
75305	Fusible	A	MTS_L_39052	MTS_L_39054
39054_MTS-1	Cable	A	MTS_L_39052	MTS_L_39054
12429	Transformador con dos devanados	A	MTS_L_39054	MTS_L_39055

Topología - Elementos ramales

Nro. equipo	Código	Fase	Nodo origen	Nodo destino
39055_MTS-1	Cable	A	MTS_L_39054	MTS_L_39055
I39055_MTS-1	Cable	A	MTS_L_39055	IMTS_L_39055
7718_MTA-1	Línea aérea por fase	ABC	MTA_S_5565	MTA_L_7718
7719_MTA-1	Línea aérea por fase	ABC	MTA_L_7718	MTA_L_7719
30577	Fusible	ABC	MTA_L_7719	MTA_S_7721
7720_MTA-1	Línea aérea por fase	ABC	MTA_L_7719	MTA_S_7721
2444	Fusible	A	MTA_S_7721	MTA_L_11585
11585_MTA-1	Línea aérea por fase	A	MTA_S_7721	MTA_L_11585
14166	Transformador con dos devanados	A	MTA_L_11585	MTA_L_13572
13572_MTA-1	Línea aérea por fase	A	MTA_L_11585	MTA_L_13572
I13572_MTA-1	Línea aérea por fase	A	MTA_L_13572	IMTA_L_13572
7721_MTA-1	Línea aérea por fase	ABC	MTA_S_7721	MTA_S_7722
1321	Fusible	A	MTA_S_7722	MTA_S_13311
11327_MTA-1	Línea aérea por fase	A	MTA_S_7722	MTA_S_13311
15209	Transformador con dos devanados	A	MTA_S_13311	MTA_L_13311
13311_MTA-1	Línea aérea por fase	A	MTA_S_13311	MTA_L_13311
I13311_MTA-1	Línea aérea por fase	A	MTA_L_13311	IMTA_L_13311
7722_MTA-1	Línea aérea por fase	ABC	MTA_S_7722	MTA_L_7722
37935	Fusible	ABC	MTA_S_163300	MTA_L_7722
163300_MTA-1	Línea aérea por fase	ABC	MTA_S_163300	MTA_L_7722
30406_MTS-1	Cable	ABC	MTA_S_163300	MTS_L_30406
30407_MTS-1	Cable	ABC	MTS_L_30406	MTS_L_30407
22789	Interruptor seccionador	ABC	MTS_L_30407	MTS_L_34892
34892_MTS-1	Cable	ABC	MTS_L_30407	MTS_L_34892
34893_MTS-1	Cable	ABC	MTS_L_34892	MTS_L_34893
1404	Fusible	ABC	MTS_L_34893	MTS_L_365
365_MTS-1	Cable	ABC	MTS_L_34893	MTS_L_365
14692	Transformador con dos devanados	ABC	MTS_L_365	MTS_L_483
483_MTS-1	Cable	ABC	MTS_L_365	MTS_L_483
I483_MTS-1	Cable	ABC	MTS_L_483	IMTS_L_483
7723_MTA-1	Línea aérea por fase	ABC	MTA_L_7722	MTA_L_7723

Topología - Elementos ramales

Nro. equipo	Código	Fase	Nodo origen	Nodo destino
7724_MTA-1	Línea aérea por fase	ABC	MTA_L_7723	MTA_L_7724
98911_MTA-1	Línea aérea por fase	ABC	MTA_L_7724	MTA_L_98911
37934	Fusible	ABC	MTA_L_98911	MTA_L_98912
98912_MTA-1	Línea aérea por fase	ABC	MTA_L_98911	MTA_L_98912
7753_MTA-1	Línea aérea por fase	ABC	MTA_L_98912	MTA_L_7753
7726_MTA-1	Línea aérea por fase	ABC	MTA_L_7723	MTA_L_7726
1714	Fusible	ABC	MTA_L_7726	MTA_S_14250
10494_MTA-1	Línea aérea por fase	ABC	MTA_L_7726	MTA_S_14250
338;340;339	Transformador con dos devanados	ABC	MTA_S_14250	MTA_L_14250
14250_MTA-1	Línea aérea por fase	ABC	MTA_S_14250	MTA_L_14250
I14250_MTA-1	Línea aérea por fase	ABC	MTA_L_14250	IMTA_L_14250
7727_MTA-1	Línea aérea por fase	ABC	MTA_L_7726	MTA_L_7727
7728_MTA-1	Línea aérea por fase	ABC	MTA_L_7727	MTA_S_98894
88083_MTA-1	Línea aérea por fase	ABC	MTA_S_98894	MTA_L_88083
88084_MTA-1	Línea aérea por fase	ABC	MTA_L_88083	MTA_L_88084
5752_MTA-1	Línea aérea por fase	ABC	MTA_L_88084	MTA_L_5752
157923_MTA-1	Línea aérea por fase	ABC	MTA_L_5752	MTA_L_157923
7298_MTA-1	Línea aérea por fase	ABC	MTA_L_157923	MTA_L_7298
6561_MTA-1	Línea aérea por fase	ABC	MTA_S_6561	MTA_L_7298
6562_MTA-1	Línea aérea por fase	ABC	MTA_L_7298	MTA_L_6562
6563_MTA-1	Línea aérea por fase	ABC	MTA_L_6562	MTA_S_99827
38603	Fusible	ABC	MTA_S_99827	MTA_S_99828
99827_MTA-1	Línea aérea por fase	ABC	MTA_S_99827	MTA_S_99828
99828_MTA-1	Línea aérea por fase	ABC	MTA_S_99828	MTA_S_98890
7217_MTA-1	Línea aérea por fase	B	MTA_S_98890	MTA_L_7217
7218_MTA-1	Línea aérea por fase	B	MTA_L_7217	MTA_L_7218
7219_MTA-1	Línea aérea por fase	B	MTA_L_7218	MTA_L_7219
1715	Fusible	B	MTA_L_7219	MTA_L_10495
10495_MTA-1	Línea aérea por fase	B	MTA_L_7219	MTA_L_10495
459	Transformador con dos devanados	B	MTA_L_10495	MTA_L_14251
14251_MTA-1	Línea aérea por fase	B	MTA_L_10495	MTA_L_14251

Topología - Elementos ramales

Nro. equipo	Código	Fase	Nodo origen	Nodo destino
I14251_MTA-1	Línea aérea por fase	B	MTA_L_14251	IMTA_L_14251
7220_MTA-1	Línea aérea por fase	ABC	MTA_S_98890	MTA_L_7220
27210_MTS-1	Cable	ABC	MTA_L_7220	MTS_L_27210
8322	Interruptor seccionador	ABC	MTS_L_27210	MTS_L_27211
27211_MTS-1	Cable	ABC	MTS_L_27210	MTS_L_27211
27212_MTS-1	Cable	ABC	MTS_L_27211	MTS_L_27212
27213_MTS-1	Cable	ABC	MTS_L_27212	MTS_L_27213
27214_MTS-1	Cable	ABC	MTS_L_27213	MTS_L_27214
27215_MTS-1	Cable	ABC	MTS_L_27214	MTS_L_27215
38583	Fusible	ABC	MTS_L_27215	MTS_L_27520
27520_MTS-1	Cable	ABC	MTS_L_27215	MTS_L_27520
100460_MTA-1	Línea aérea por fase	ABC	MTS_L_27520	MTA_L_100460
7622_MTA-1	Línea aérea por fase	ABC	MTA_L_100460	MTA_S_14508
550	Fusible	ABC	MTA_S_14508	MTA_L_11295
11295_MTA-1	Línea aérea por fase	ABC	MTA_S_14508	MTA_L_11295
8453	Transformador con dos devanados	ABC	MTA_L_11295	MTA_L_13278
13278_MTA-1	Línea aérea por fase	ABC	MTA_L_11295	MTA_L_13278
I13278_MTA-1	Línea aérea por fase	ABC	MTA_L_13278	IMTA_L_13278
14508_MTA-1	Línea aérea por fase	ABC	MTA_S_14508	MTA_S_14509
551	Fusible	ABC	MTA_S_14509	MTA_S_13279
14509_MTA-1	Línea aérea por fase	ABC	MTA_S_14509	MTA_S_13279
4245	Transformador con dos devanados	ABC	MTA_S_13279	MTA_L_13279
13279_MTA-1	Línea aérea por fase	ABC	MTA_S_13279	MTA_L_13279
I13279_MTA-1	Línea aérea por fase	ABC	MTA_L_13279	IMTA_L_13279
27521_MTS-1	Cable	ABC	MTS_L_27214	MTS_L_27521
8321	Interruptor seccionador	ABC	MTS_L_27521	MTA_L_100459
27522_MTS-1	Cable	ABC	MTS_L_27521	MTA_L_100459
100459_MTA-1	Línea aérea por fase	ABC	MTA_S_7512	MTA_L_100459
7512_MTA-1	Línea aérea por fase	ABC	MTA_S_7512	MTA_S_7513
7513_MTA-1	Línea aérea por fase	ABC	MTA_S_7513	MTA_S_7514
552	Fusible	ABC	MTA_S_7514	MTA_L_11296

Topología - Elementos ramales

Nro. equipo	Código	Fase	Nodo origen	Nodo destino
11296_MTA-1	Línea aérea por fase	ABC	MTA_S_7514	MTA_L_11296
104;16771;105	Transformador con dos devanados	ABC	MTA_L_11296	MTA_L_13280
13280_MTA-1	Línea aérea por fase	ABC	MTA_L_11296	MTA_L_13280
l13280_MTA-1	Línea aérea por fase	ABC	MTA_L_13280	IMTA_L_13280
7514_MTA-1	Línea aérea por fase	ABC	MTA_S_7514	MTA_S_7515
7515_MTA-1	Línea aérea por fase	ABC	MTA_S_7515	MTA_L_7515
7516_MTA-1	Línea aérea por fase	ABC	MTA_L_7515	MTA_L_7516
7125_MTA-1	Línea aérea por fase	A	MTA_L_7516	MTA_L_7125
7517_MTA-1	Línea aérea por fase	ABC	MTA_L_7516	MTA_L_7517
9928	Interruptor seccionador	ABC	MTA_L_7517	MTA_S_100473
100472_MTA-1	Línea aérea por fase	ABC	MTA_L_7517	MTA_S_100473
100473_MTA-1	Línea aérea por fase	ABC	MTA_S_100473	MTA_L_100473
1290	Fusible	AB	MTA_L_100473	MTA_L_11298
11298_MTA-1	Línea aérea por fase	AB	MTA_L_100473	MTA_L_11298
112;111	Transformador con dos devanados	AB	MTA_L_11298	MTA_L_13282
13282_MTA-1	Línea aérea por fase	AB	MTA_L_11298	MTA_L_13282
l13282_MTA-1	Línea aérea por fase	AB	MTA_L_13282	IMTA_L_13282
7519_MTA-1	Línea aérea por fase	ABC	MTA_L_100473	MTA_L_7519
7520_MTA-1	Línea aérea por fase	ABC	MTA_L_7519	MTA_S_7123
7123_MTA-1	Línea aérea por fase	ABC	MTA_S_7123	MTA_S_9979
93749_MTA-1	Línea aérea por fase	ABC	MTA_S_9979	MTA_S_93750
8323	Interruptor seccionador	ABC	MTA_S_93750	MTA_L_1105
93750_MTA-1	Línea aérea por fase	ABC	MTA_S_93750	MTA_L_1105
716	Fusible	B	MTA_S_9979	MTA_L_9979
9979_MTA-1	Línea aérea por fase	B	MTA_S_9979	MTA_L_9979
9204	Transformador con dos devanados	B	MTA_L_9979	MTA_L_14202
14202_MTA-1	Línea aérea por fase	B	MTA_L_9979	MTA_L_14202
l14202_MTA-1	Línea aérea por fase	B	MTA_L_14202	IMTA_L_14202
1289	Fusible	B	MTA_L_7517	MTA_L_11297
11297_MTA-1	Línea aérea por fase	B	MTA_L_7517	MTA_L_11297
110	Transformador con dos devanados	B	MTA_L_11297	MTA_L_13281

Topología - Elementos ramales

Nro. equipo	Código	Fase	Nodo origen	Nodo destino
13281_MTA-1	Línea aérea por fase	B	MTA_L_11297	MTA_L_13281
I13281_MTA-1	Línea aérea por fase	B	MTA_L_13281	IMTA_L_13281
30580	Fusible	A	MTA_L_7516	MTA_S_83545
83544_MTA-1	Línea aérea por fase	A	MTA_L_7516	MTA_S_83545
37650	Fusible	B	MTA_S_98890	MTA_S_98891
98890_MTA-1	Línea aérea por fase	B	MTA_S_98890	MTA_S_98891
98891_MTA-1	Línea aérea por fase	B	MTA_S_98891	MTA_L_98891
2193	Fusible	B	MTA_L_98891	MTA_L_11357
11357_MTA-1	Línea aérea por fase	B	MTA_L_98891	MTA_L_11357
15692	Transformador con dos devanados	B	MTA_L_11357	MTA_L_13341
13341_MTA-1	Línea aérea por fase	B	MTA_L_11357	MTA_L_13341
I13341_MTA-1	Línea aérea por fase	B	MTA_L_13341	IMTA_L_13341
7127_MTA-1	Línea aérea por fase	B	MTA_L_98891	MTA_L_7127
7128_MTA-1	Línea aérea por fase	B	MTA_L_7127	MTA_L_7128
7129_MTA-1	Línea aérea por fase	B	MTA_L_7128	MTA_L_7129
7130_MTA-1	Línea aérea por fase	B	MTA_L_7129	MTA_L_7130
1291	Fusible	B	MTA_L_7130	MTA_S_13283
11299_MTA-1	Línea aérea por fase	B	MTA_L_7130	MTA_S_13283
108	Transformador con dos devanados	B	MTA_S_13283	MTA_L_13283
13283_MTA-1	Línea aérea por fase	B	MTA_S_13283	MTA_L_13283
I13283_MTA-1	Línea aérea por fase	B	MTA_L_13283	IMTA_L_13283
7131_MTA-1	Línea aérea por fase	B	MTA_L_7130	MTA_S_11300
1292	Fusible	B	MTA_S_11300	MTA_L_11300
11300_MTA-1	Línea aérea por fase	B	MTA_S_11300	MTA_L_11300
109	Transformador con dos devanados	B	MTA_L_11300	MTA_L_13284
13284_MTA-1	Línea aérea por fase	B	MTA_L_11300	MTA_L_13284
I13284_MTA-1	Línea aérea por fase	B	MTA_L_13284	IMTA_L_13284
7132_MTA-1	Línea aérea por fase	ABC	MTA_L_7298	MTA_L_7132
6670_MTA-1	Línea aérea por fase	ABC	MTA_L_7132	MTA_L_6670
98896_MTA-1	Línea aérea por fase	ABC	MTA_L_6670	MTA_L_98896
37653	Fusible	ABC	MTA_L_98896	MTA_L_98897

Topología - Elementos ramales

Nro. equipo	Código	Fase	Nodo origen	Nodo destino
98897_MTA-1	Línea aérea por fase	ABC	MTA_L_98896	MTA_L_98897
1295	Fusible	ABC	MTA_L_98897	MTA_L_11303
11303_MTA-1	Línea aérea por fase	ABC	MTA_L_98897	MTA_L_11303
348;349;350	Transformador con dos devanados	ABC	MTA_L_11303	MTA_L_13287
13287_MTA-1	Línea aérea por fase	ABC	MTA_L_11303	MTA_L_13287
I13287_MTA-1	Línea aérea por fase	ABC	MTA_L_13287	IMTA_L_13287
7982_MTA-1	Línea aérea por fase	ABC	MTA_L_98897	MTA_L_7982
7623_MTA-1	Línea aérea por fase	ABC	MTA_L_7982	MTA_L_7623
7624_MTA-1	Línea aérea por fase	ABC	MTA_L_7623	MTA_L_7624
37654	Fusible	B	MTA_L_7624	MTA_L_98914
98914_MTA-1	Línea aérea por fase	B	MTA_L_7624	MTA_L_98914
623	Transformador con dos devanados	B	MTA_L_98914	MTA_L_99171
99171_MTA-1	Línea aérea por fase	B	MTA_L_98914	MTA_L_99171
I99171_MTA-1	Línea aérea por fase	B	MTA_L_99171	IMTA_L_99171
99172_MTA-1	Línea aérea por fase	ABC	MTA_L_7624	MTA_L_99172
37655	Fusible	ABC	MTA_L_99172	MTS_L_27560
27560_MTS-1	Cable	ABC	MTA_L_99172	MTS_L_27560
27561_MTS-1	Cable	ABC	MTS_L_27560	MTS_L_27561
27562_MTS-1	Cable	ABC	MTS_L_27561	MTS_L_27562
27564_MTS-1	Cable	ABC	MTS_L_27562	MTS_L_27564
19595	Interruptor seccionador	ABC	MTS_L_27564	MTS_L_27565
27565_MTS-1	Cable	ABC	MTS_L_27564	MTS_L_27565
66986	Fusible	ABC	MTS_L_27565	MTS_L_27567
27567_MTS-1	Cable	ABC	MTS_L_27565	MTS_L_27567
13645	Transformador con dos devanados	ABC	MTS_L_27567	MTS_L_27568
27568_MTS-1	Cable	ABC	MTS_L_27567	MTS_L_27568
I27568_MTS-1	Cable	ABC	MTS_L_27568	IMTS_L_27568
99173_MTA-1	Línea aérea por fase	B	MTA_L_7624	MTA_L_99173
37656	Fusible	B	MTA_L_99173	MTA_L_99174
99174_MTA-1	Línea aérea por fase	B	MTA_L_99173	MTA_L_99174
7773_MTA-1	Línea aérea por fase	B	MTA_L_99174	MTA_L_7773

Topología - Elementos ramales

Nro. equipo	Código	Fase	Nodo origen	Nodo destino
1297	Fusible	B	MTA_L_7773	MTA_L_11305
11305_MTA-1	Línea aérea por fase	B	MTA_L_7773	MTA_L_11305
4237	Transformador con dos devanados	B	MTA_L_11305	MTA_L_13289
13289_MTA-1	Línea aérea por fase	B	MTA_L_11305	MTA_L_13289
I13289_MTA-1	Línea aérea por fase	B	MTA_L_13289	IMTA_L_13289
7774_MTA-1	Línea aérea por fase	B	MTA_L_7773	MTA_L_7774
7870_MTA-1	Línea aérea por fase	B	MTA_L_7774	MTA_S_6555
6555_MTA-1	Línea aérea por fase	B	MTA_S_6555	MTA_S_11586
2445	Fusible	B	MTA_S_11586	MTA_L_11586
11586_MTA-1	Línea aérea por fase	B	MTA_S_11586	MTA_L_11586
12540	Transformador con dos devanados	B	MTA_L_11586	MTA_L_13573
13573_MTA-1	Línea aérea por fase	B	MTA_L_11586	MTA_L_13573
I13573_MTA-1	Línea aérea por fase	B	MTA_L_13573	IMTA_L_13573
7871_MTA-1	Línea aérea por fase	B	MTA_S_6555	MTA_S_7872
7872_MTA-1	Línea aérea por fase	B	MTA_S_7872	MTA_L_7872
7873_MTA-1	Línea aérea por fase	B	MTA_L_7872	MTA_L_7873
7874_MTA-1	Línea aérea por fase	B	MTA_L_7873	MTA_L_7874
7875_MTA-1	Línea aérea por fase	B	MTA_L_7874	MTA_S_7876
7876_MTA-1	Línea aérea por fase	B	MTA_S_7876	MTA_S_7877
7877_MTA-1	Línea aérea por fase	B	MTA_S_7877	MTA_S_7878
1299	Fusible	B	MTA_S_7878	MTA_S_13291
11307_MTA-1	Línea aérea por fase	B	MTA_S_7878	MTA_S_13291
13176	Transformador con dos devanados	B	MTA_S_13291	MTA_L_13291
13291_MTA-1	Línea aérea por fase	B	MTA_S_13291	MTA_L_13291
I13291_MTA-1	Línea aérea por fase	B	MTA_L_13291	IMTA_L_13291
7878_MTA-1	Línea aérea por fase	B	MTA_S_7878	MTA_L_7878
7879_MTA-1	Línea aérea por fase	B	MTA_L_7878	MTA_S_7880
7880_MTA-1	Línea aérea por fase	B	MTA_S_7880	MTA_S_7881
7881_MTA-1	Línea aérea por fase	B	MTA_S_7881	MTA_L_7881
7882_MTA-1	Línea aérea por fase	B	MTA_L_7881	MTA_L_7882
37936	Fusible	B	MTA_L_7882	MTA_L_99175

Topología - Elementos ramales

Nro. equipo	Código	Fase	Nodo origen	Nodo destino
99175_MTA-1	Línea aérea por fase	B	MTA_L_7882	MTA_L_99175
99176_MTA-1	Línea aérea por fase	B	MTA_L_99175	MTA_L_99176
7884_MTA-1	Línea aérea por fase	B	MTA_L_99176	MTA_L_7884
7885_MTA-1	Línea aérea por fase	B	MTA_L_7884	MTA_L_7885
7886_MTA-1	Línea aérea por fase	B	MTA_L_7885	MTA_L_7886
7887_MTA-1	Línea aérea por fase	B	MTA_L_7886	MTA_L_7887
1300	Fusible	B	MTA_L_7887	MTA_L_11308
11308_MTA-1	Línea aérea por fase	B	MTA_L_7887	MTA_L_11308
10458	Transformador con dos devanados	B	MTA_L_11308	MTA_L_13292
13292_MTA-1	Línea aérea por fase	B	MTA_L_11308	MTA_L_13292
I13292_MTA-1	Línea aérea por fase	B	MTA_L_13292	IMTA_L_13292
7888_MTA-1	Línea aérea por fase	B	MTA_L_7887	MTA_L_7888
7889_MTA-1	Línea aérea por fase	B	MTA_L_7888	MTA_S_8205
8205_MTA-1	Línea aérea por fase	B	MTA_S_8205	MTA_L_8205
6438_MTA-1	Línea aérea por fase	B	MTA_L_8205	MTA_L_6438
6439_MTA-1	Línea aérea por fase	B	MTA_L_8205	MTA_L_6439
1517_MTA-1	Línea aérea por fase	B	MTA_L_6439	MTA_L_1517
6215_MTA-1	Línea aérea por fase	B	MTA_L_1517	MTA_L_6215
33135	Fusible	B	MTA_L_6215	MTA_L_88634
88634_MTA-1	Línea aérea por fase	B	MTA_L_6215	MTA_L_88634
17040	Transformador con dos devanados	B	MTA_L_88634	MTA_L_88633
88633_MTA-1	Línea aérea por fase	B	MTA_L_88634	MTA_L_88633
I88633_MTA-1	Línea aérea por fase	B	MTA_L_88633	IMTA_L_88633
6216_MTA-1	Línea aérea por fase	B	MTA_L_1517	MTA_L_6216
6217_MTA-1	Línea aérea por fase	B	MTA_L_6216	MTA_L_6217
6218_MTA-1	Línea aérea por fase	B	MTA_L_6217	MTA_L_6218
12501	Fusible	B	MTA_L_6218	MTA_L_42545
42545_MTA-1	Línea aérea por fase	B	MTA_L_6218	MTA_L_42545
16658	Transformador con dos devanados	B	MTA_L_42545	MTA_L_42546
42546_MTA-1	Línea aérea por fase	B	MTA_L_42545	MTA_L_42546
I42546_MTA-1	Línea aérea por fase	B	MTA_L_42546	IMTA_L_42546

Topología - Elementos ramales

Nro. equipo	Código	Fase	Nodo origen	Nodo destino
6219_MTA-1	Línea aérea por fase	B	MTA_L_6218	MTA_L_6219
1301	Fusible	B	MTA_L_6219	MTA_S_13293
11309_MTA-1	Línea aérea por fase	B	MTA_L_6219	MTA_S_13293
10422	Transformador con dos devanados	B	MTA_S_13293	MTA_L_13293
13293_MTA-1	Línea aérea por fase	B	MTA_S_13293	MTA_L_13293
I13293_MTA-1	Línea aérea por fase	B	MTA_L_13293	IMTA_L_13293
6220_MTA-1	Línea aérea por fase	B	MTA_L_1517	MTA_S_99177
37937	Fusible	B	MTA_S_99177	MTA_S_99178
99177_MTA-1	Línea aérea por fase	B	MTA_S_99177	MTA_S_99178
99178_MTA-1	Línea aérea por fase	B	MTA_S_99178	MTA_S_7762
7762_MTA-1	Línea aérea por fase	B	MTA_S_7762	MTA_S_7444
7444_MTA-1	Línea aérea por fase	B	MTA_S_7444	MTA_L_7444
1302	Fusible	B	MTA_L_7444	MTA_L_11310
11310_MTA-1	Línea aérea por fase	B	MTA_L_7444	MTA_L_11310
10529	Transformador con dos devanados	B	MTA_L_11310	MTA_L_13294
13294_MTA-1	Línea aérea por fase	B	MTA_L_11310	MTA_L_13294
I13294_MTA-1	Línea aérea por fase	B	MTA_L_13294	IMTA_L_13294
8206_MTA-1	Línea aérea por fase	B	MTA_L_8205	MTA_L_8206
8207_MTA-1	Línea aérea por fase	B	MTA_L_8206	MTA_L_8207
8208_MTA-1	Línea aérea por fase	B	MTA_L_8207	MTA_L_8208
8209_MTA-1	Línea aérea por fase	B	MTA_L_8208	MTA_L_8209
8210_MTA-1	Línea aérea por fase	B	MTA_L_8209	MTA_L_8210
5306_MTA-1	Línea aérea por fase	B	MTA_L_8210	MTA_L_5306
35038	Fusible	B	MTA_S_7877	MTA_L_93550
93550_MTA-1	Línea aérea por fase	B	MTA_S_7877	MTA_L_93550
8749	Transformador con dos devanados	B	MTA_L_93550	MTA_L_93551
93551_MTA-1	Línea aérea por fase	B	MTA_L_93550	MTA_L_93551
I93551_MTA-1	Línea aérea por fase	B	MTA_L_93551	IMTA_L_93551
8211_MTA-1	Línea aérea por fase	B	MTA_S_6555	MTA_L_8211
1298	Fusible	B	MTA_L_8211	MTA_L_11306
11306_MTA-1	Línea aérea por fase	B	MTA_L_8211	MTA_L_11306

Topología - Elementos ramales

Nro. equipo	Código	Fase	Nodo origen	Nodo destino
355	Transformador con dos devanados	B	MTA_L_11306	MTA_L_13290
13290_MTA-1	Línea aérea por fase	B	MTA_L_11306	MTA_L_13290
I13290_MTA-1	Línea aérea por fase	B	MTA_L_13290	IMTA_L_13290
7729_MTA-1	Línea aérea por fase	ABC	MTA_L_7132	MTA_L_7729
7730_MTA-1	Línea aérea por fase	ABC	MTA_L_7132	MTA_S_8770
8770_MTA-1	Línea aérea por fase	ABC	MTA_S_8770	MTA_S_11301
1293	Fusible	A	MTA_S_11301	MTA_L_11301
11301_MTA-1	Línea aérea por fase	A	MTA_S_11301	MTA_L_11301
13285_MTA-1	Transformador con dos devanados	A	MTA_L_11301	MTA_L_13285
13285_MTA-1	Línea aérea por fase	A	MTA_L_11301	MTA_L_13285
I13285_MTA-1	Línea aérea por fase	A	MTA_L_13285	IMTA_L_13285
6669_MTA-1	Línea aérea por fase	ABC	MTA_S_11301	MTA_L_6669
1294	Fusible	ABC	MTA_L_6669	MTA_L_11302
11302_MTA-1	Línea aérea por fase	ABC	MTA_L_6669	MTA_L_11302
8789;8787;8788	Transformador con dos devanados	ABC	MTA_L_11302	MTA_L_13286
13286_MTA-1	Línea aérea por fase	ABC	MTA_L_11302	MTA_L_13286
I13286_MTA-1	Línea aérea por fase	ABC	MTA_L_13286	IMTA_L_13286
157932_MTA-1	Línea aérea por fase	ABC	MTA_L_6669	MTA_L_157932
99495_MTA-1	Línea aérea por fase	ABC	MTA_S_99495	MTA_L_157932
38267	Fusible	ABC	MTS_L_27525	MTA_S_99495
27524_MTS-1	Cable	ABC	MTS_L_27525	MTA_S_99495
27525_MTS-1	Cable	ABC	MTS_S_27525	MTS_L_27525
27526_MTS-1	Cable	ABC	MTS_S_27525	MTS_L_27526
27527_MTS-1	Cable	ABC	MTS_L_27526	MTS_L_27527
27528_MTS-1	Cable	ABC	MTS_L_27527	MTS_L_27528
19278	Interruptor seccionador	ABC	MTS_L_27528	MTS_L_27530
27530_MTS-1	Cable	ABC	MTS_L_27528	MTS_L_27530
27531_MTS-1	Cable	ABC	MTS_L_27530	MTS_L_27531
66999	Fusible	ABC	MTS_L_27531	MTS_L_27533
27533_MTS-1	Cable	ABC	MTS_L_27531	MTS_L_27533
16980	Transformador con dos devanados	ABC	MTS_L_27533	MTS_L_27534

Topología - Elementos ramales

Nro. equipo	Código	Fase	Nodo origen	Nodo destino
27534_MTS-1	Cable	ABC	MTS_L_27533	MTS_L_27534
I27534_MTS-1	Cable	ABC	MTS_L_27534	IMTS_L_27534
98892_MTA-1	Línea aérea por fase	ABC	MTA_L_88083	MTA_L_98892
37651	Fusible	ABC	MTA_L_98892	MTS_L_26927
26927_MTS-1	Cable	ABC	MTA_L_98892	MTS_L_26927
27200_MTS-1	Cable	ABC	MTS_L_26927	MTS_L_27200
19592	Interruptor seccionador	ABC	MTS_L_27200	MTS_L_27201
27201_MTS-1	Cable	ABC	MTS_L_27200	MTS_L_27201
66980	Fusible	ABC	MTS_L_27201	MTS_L_27203
27203_MTS-1	Cable	ABC	MTS_L_27201	MTS_L_27203
15902	Transformador con dos devanados	ABC	MTS_L_27203	MTS_L_27204
27204_MTS-1	Cable	ABC	MTS_L_27203	MTS_L_27204
I27204_MTS-1	Cable	ABC	MTS_L_27204	IMTS_L_27204
37652	Fusible	ABC	MTA_S_98894	MTA_L_98894
98894_MTA-1	Línea aérea por fase	ABC	MTA_S_98894	MTA_L_98894
13505	Transformador con dos devanados	ABC	MTA_L_98894	MTA_L_98895
98895_MTA-1	Línea aérea por fase	ABC	MTA_L_98894	MTA_L_98895
I98895_MTA-1	Línea aérea por fase	ABC	MTA_L_98895	IMTA_L_98895
20639	Fusible	ABC	MTA_L_7723	MTA_L_2041
7823_MTA-1	Línea aérea por fase	ABC	MTA_L_7723	MTA_L_2041
78204	Fusible	A	MTA_L_181573	MTA_S_181577
181576_MTA-1	Línea aérea por fase	A	MTA_L_181573	MTA_S_181577
2580291	Transformador con dos devanados	A	MTA_S_181577	MTA_L_181577
181577_MTA-1	Línea aérea por fase	A	MTA_S_181577	MTA_L_181577
I181577_MTA-1	Línea aérea por fase	A	MTA_L_181577	IMTA_L_181577
8100_MTA-1	Línea aérea por fase	ABC	MTA_S_162985	MTA_L_8100
52229	Fusible	AC	MTA_L_8100	MTA_L_127665
127665_MTA-1	Línea aérea por fase	AC	MTA_L_8100	MTA_L_127665
127666_MTA-1	Línea aérea por fase	AC	MTA_L_127665	MTA_L_127666
8102_MTA-1	Línea aérea por fase	AC	MTA_L_127666	MTA_S_8103
8103_MTA-1	Línea aérea por fase	AC	MTA_S_8103	MTA_L_8103

Topología - Elementos ramales

Nro. equipo	Código	Fase	Nodo origen	Nodo destino
8104_MTA-1	Línea aérea por fase	AC	MTA_L_8103	MTA_S_8105
2430	Fusible	AC	MTA_S_8105	MTA_L_11571
11571_MTA-1	Línea aérea por fase	AC	MTA_S_8105	MTA_L_11571
1012;16195	Transformador con dos devanados	AC	MTA_L_11571	MTA_L_13558
13558_MTA-1	Línea aérea por fase	AC	MTA_L_11571	MTA_L_13558
I13558_MTA-1	Línea aérea por fase	AC	MTA_L_13558	IMTA_L_13558
8105_MTA-1	Línea aérea por fase	AC	MTA_S_8105	MTA_S_11457
2309	Fusible	C	MTA_S_11457	MTA_S_13442
11457_MTA-1	Línea aérea por fase	C	MTA_S_11457	MTA_S_13442
15104	Transformador con dos devanados	C	MTA_S_13442	MTA_L_13442
13442_MTA-1	Línea aérea por fase	C	MTA_S_13442	MTA_L_13442
I13442_MTA-1	Línea aérea por fase	C	MTA_L_13442	IMTA_L_13442
17583_MTA-1	Línea aérea por fase	A	MTA_S_11457	MTA_L_17583
4964	Fusible	A	MTA_L_17583	MTS_L_32991
32991_MTS-1	Cable	A	MTA_L_17583	MTS_L_32991
32992_MTS-1	Cable	A	MTS_L_32991	MTS_L_32992
21839	Interruptor seccionador	A	MTS_L_32992	MTS_L_32993
32993_MTS-1	Cable	A	MTS_L_32992	MTS_L_32993
4965	Fusible	A	MTS_L_32993	MTS_L_1239
1239_MTS-1	Cable	A	MTS_L_32993	MTS_L_1239
14423	Transformador con dos devanados	A	MTS_L_1239	MTS_L_1240
1240_MTS-1	Cable	A	MTS_L_1239	MTS_L_1240
I1240_MTS-1	Cable	A	MTS_L_1240	IMTS_L_1240
6819_MTA-1	Línea aérea por fase	ABC	MTA_S_4765	MTA_S_9920
6779_MTA-1	Línea aérea por fase	ABC	MTA_S_9920	MTA_L_6779
1578_MTA-1	Línea aérea por fase	ABC	MTA_L_6779	MTA_L_1578
125886_MTA-1	Línea aérea por fase	ABC	MTA_L_1578	MTA_L_125886
51708	Fusible	ABC	MTA_L_125886	MTA_S_168765
125887_MTA-1	Línea aérea por fase	ABC	MTA_L_125886	MTA_S_168765
1580_MTA-1	Línea aérea por fase	ABC	MTA_S_168765	MTA_S_9921
1581_MTA-1	Línea aérea por fase	ABC	MTA_S_9921	MTA_L_1581

Topología - Elementos ramales

Nro. equipo	Código	Fase	Nodo origen	Nodo destino
129420_MTA-1	Línea aérea por fase	ABC	MTA_L_1581	MTA_L_129420
53036	Fusible	ABC	MTA_L_129420	MTA_S_168763
129421_MTA-1	Línea aérea por fase	ABC	MTA_L_129420	MTA_S_168763
1583_MTA-1	Línea aérea por fase	ABC	MTA_S_168763	MTA_L_1583
5687_MTA-1	Línea aérea por fase	ABC	MTA_L_1583	MTA_L_5687
168766_MTA-1	Línea aérea por fase	ABC	MTA_L_5687	MTS_S_33344
5276	Fusible	ABC	MTS_S_33344	MTS_L_33344
33344_MTS-1	Cable	ABC	MTS_S_33344	MTS_L_33344
33345_MTS-1	Cable	ABC	MTS_L_33344	MTS_L_33345
33347_MTS-1	Cable	ABC	MTS_L_33345	MTS_L_33347
33349_MTS-1	Cable	ABC	MTS_L_33347	MTS_L_33349
33350_MTS-1	Cable	ABC	MTS_L_33349	MTS_L_33350
21866	Interruptor seccionador	ABC	MTS_L_33350	MTS_L_33351
33351_MTS-1	Cable	ABC	MTS_L_33350	MTS_L_33351
33352_MTS-1	Cable	ABC	MTS_L_33351	MTS_L_33352
5277	Fusible	ABC	MTS_L_33352	MTS_L_1559
1559_MTS-1	Cable	ABC	MTS_L_33352	MTS_L_1559
12713	Transformador con dos devanados	ABC	MTS_L_1559	MTS_L_1560
1560_MTS-1	Cable	ABC	MTS_L_1559	MTS_L_1560
I1560_MTS-1	Cable	ABC	MTS_L_1560	IMTS_L_1560
5688_MTA-1	Línea aérea por fase	ABC	MTA_L_5687	MTA_S_129418
53018	Fusible	ABC	MTA_S_129418	MTA_L_129418
129418_MTA-1	Línea aérea por fase	ABC	MTA_S_129418	MTA_L_129418
129419_MTA-1	Línea aérea por fase	ABC	MTA_L_129418	MTA_L_129419
2262_MTA-1	Línea aérea por fase	ABC	MTA_L_129419	MTA_S_10789
1545	Fusible	ABC	MTA_S_10789	MTA_S_12794
10789_MTA-1	Línea aérea por fase	ABC	MTA_S_10789	MTA_S_12794
7497	Transformador con dos devanados	ABC	MTA_S_12794	MTA_L_12794
12794_MTA-1	Línea aérea por fase	ABC	MTA_S_12794	MTA_L_12794
I12794_MTA-1	Línea aérea por fase	ABC	MTA_L_12794	IMTA_L_12794
87	Seccionador	ABC	MTA_S_12794	87

Topología - Elementos ramales

Nro. equipo	Código	Fase	Nodo origen	Nodo destino
91-1	Transformador con dos devanados	ABC	87	88
5691_MTA-1	Línea aérea por fase	C	MTA_L_5687	MTA_S_11488
2340	Fusible	C	MTA_S_11488	MTA_L_11488
11488_MTA-1	Línea aérea por fase	C	MTA_S_11488	MTA_L_11488
13473_MTA-1	Transformador con dos devanados	C	MTA_L_11488	MTA_L_13473
13473_MTA-1	Línea aérea por fase	C	MTA_L_11488	MTA_L_13473
l13473_MTA-1	Línea aérea por fase	C	MTA_L_13473	IMTA_L_13473
168767_MTA-1	Línea aérea por fase	C	MTS_S_33355	MTA_S_11488
72229	Fusible	C	MTS_S_33355	MTS_L_33355
33355_MTS-1	Cable	C	MTS_S_33355	MTS_L_33355
33357_MTS-1	Cable	C	MTS_L_33355	MTS_L_33357
33359_MTS-1	Cable	C	MTS_L_33357	MTS_L_33359
33363_MTS-1	Cable	C	MTS_L_33359	MTS_L_33363
33364_MTS-1	Cable	C	MTS_L_33363	MTS_L_33364
21867	Interruptor seccionador	C	MTS_L_33364	MTS_L_33365
33365_MTS-1	Cable	C	MTS_L_33364	MTS_L_33365
33366_MTS-1	Cable	C	MTS_L_33365	MTS_L_33366
2432	Fusible	C	MTS_L_33366	MTS_L_33367
33367_MTS-1	Cable	C	MTS_L_33366	MTS_L_33367
11864	Transformador con dos devanados	C	MTS_L_33367	MTS_L_42880
42880_MTS-1	Cable	C	MTS_L_33367	MTS_L_42880
l42880_MTS-1	Cable	C	MTS_L_42880	IMTS_L_42880
5692_MTA-1	Línea aérea por fase	C	MTA_S_11488	MTA_S_10788
1544	Fusible	C	MTA_S_10788	MTA_L_10788
10788_MTA-1	Línea aérea por fase	C	MTA_S_10788	MTA_L_10788
4453	Transformador con dos devanados	C	MTA_L_10788	MTA_L_12793
12793_MTA-1	Línea aérea por fase	C	MTA_L_10788	MTA_L_12793
l12793_MTA-1	Línea aérea por fase	C	MTA_L_12793	IMTA_L_12793
168763_MTA-1	Línea aérea por fase	ABC	MTA_S_168763	MTS_L_33308
53035	Fusible	ABC	MTS_L_33310	MTS_L_33308
33308_MTS-1	Cable	ABC	MTS_L_33310	MTS_L_33308

Topología - Elementos ramales

Nro. equipo	Código	Fase	Nodo origen	Nodo destino
33310_MTS-1	Cable	ABC	MTS_L_33312	MTS_L_33310
21851	Interruptor seccionador	ABC	MTS_L_33311	MTS_L_33312
33312_MTS-1	Cable	ABC	MTS_L_33311	MTS_L_33312
33311_MTS-1	Cable	ABC	MTS_S_33313	MTS_L_33311
2431	Fusible	ABC	MTS_S_33313	MTS_L_33313
33313_MTS-1	Cable	ABC	MTS_S_33313	MTS_L_33313
12247	Transformador con dos devanados	ABC	MTS_L_33313	MTS_L_33314
33314_MTS-1	Cable	ABC	MTS_L_33313	MTS_L_33314
I33314_MTS-1	Cable	ABC	MTS_L_33314	IMTS_L_33314
53037	Fusible	ABC	MTA_L_1581	MTA_L_129422
129422_MTA-1	Línea aérea por fase	ABC	MTA_L_1581	MTA_L_129422
129423_MTA-1	Línea aérea por fase	ABC	MTA_L_129422	MTA_L_129423
5694_MTA-1	Línea aérea por fase	ABC	MTA_L_129423	MTA_S_11877
588	Fusible	A	MTA_S_11877	MTA_S_14443
11877_MTA-1	Línea aérea por fase	A	MTA_S_11877	MTA_S_14443
14956	Transformador con dos devanados	A	MTA_S_14443	MTA_L_14443
14443_MTA-1	Línea aérea por fase	A	MTA_S_14443	MTA_L_14443
I14443_MTA-1	Línea aérea por fase	A	MTA_L_14443	IMTA_L_14443
1738_MTA-1	Línea aérea por fase	ABC	MTA_S_5695	MTA_S_11877
2522	Fusible	ABC	MTA_S_5695	MTA_L_11659
11659_MTA-1	Línea aérea por fase	ABC	MTA_S_5695	MTA_L_11659
7096	Transformador con dos devanados	ABC	MTA_L_11659	MTA_L_13646
13646_MTA-1	Línea aérea por fase	ABC	MTA_L_11659	MTA_L_13646
I13646_MTA-1	Línea aérea por fase	ABC	MTA_L_13646	IMTA_L_13646
5695_MTA-1	Línea aérea por fase	ABC	MTA_S_5695	MTA_S_5696
5696_MTA-1	Línea aérea por fase	ABC	MTA_S_5696	MTA_L_5696
5697_MTA-1	Línea aérea por fase	ABC	MTA_L_5696	MTA_L_5697
6371_MTA-1	Línea aérea por fase	ABC	MTA_L_5697	MTA_L_6371
76789_MTA-1	Línea aérea por fase	ABC	MTA_L_1581	MTA_S_5698
25985	Interruptor seccionador	ABC	MTA_S_5698	MTA_S_5699
5698_MTA-1	Línea aérea por fase	ABC	MTA_S_5698	MTA_S_5699

Topología - Elementos ramales

Nro. equipo	Código	Fase	Nodo origen	Nodo destino
76791_MTA-1	Línea aérea por fase	ABC	MTA_S_5698	MTA_L_76791
27701	Fusible	ABC	MTA_L_76791	MTS_L_32079
32079_MTS-1	Cable	ABC	MTA_L_76791	MTS_L_32079
32081_MTS-1	Cable	ABC	MTS_L_32079	MTS_L_32081
32083_MTS-1	Cable	ABC	MTS_L_32081	MTS_L_32083
32085_MTS-1	Cable	ABC	MTS_L_32083	MTS_L_32085
32087_MTS-1	Cable	ABC	MTS_L_32085	MTS_L_32087
21513	Interruptor seccionador	ABC	MTS_L_32087	MTS_L_32088
32088_MTS-1	Cable	ABC	MTS_L_32087	MTS_L_32088
1332	Fusible	ABC	MTS_L_32088	MTS_L_380
380_MTS-1	Cable	ABC	MTS_L_32088	MTS_L_380
12960	Transformador con dos devanados	ABC	MTS_L_380	MTS_L_505
505_MTS-1	Cable	ABC	MTS_L_380	MTS_L_505
I505_MTS-1	Cable	ABC	MTS_L_505	IMTS_L_505
200148_MTA-1	Línea aérea por fase	ABC	MTA_S_9921	MTA_L_200148
89052	Fusible	ABC	MTA_L_200148	MTA_L_200149
200149_MTA-1	Línea aérea por fase	ABC	MTA_L_200148	MTA_L_200149
44827_MTS-1	Cable	ABC	MTA_L_200149	MTS_L_44827
44829_MTS-1	Cable	ABC	MTS_L_44827	MTS_L_44829
44831_MTS-1	Cable	ABC	MTS_L_44829	MTS_L_44831
45120_MTS-1	Cable	ABC	MTS_L_44831	MTS_L_45120
91641	Fusible	ABC	MTS_L_45120	MTS_L_46760
46760_MTS-1	Cable	ABC	MTS_L_45120	MTS_L_46760
18151	Transformador con dos devanados	ABC	MTS_L_46760	MTS_L_46761
46761_MTS-1	Cable	ABC	MTS_L_46760	MTS_L_46761
I46761_MTS-1	Cable	ABC	MTS_L_46761	IMTS_L_46761
655	Fusible	A	MTA_S_9921	MTA_S_14144
9921_MTA-1	Línea aérea por fase	A	MTA_S_9921	MTA_S_14144
8916	Transformador con dos devanados	A	MTA_S_14144	MTA_L_14144
14144_MTA-1	Línea aérea por fase	A	MTA_S_14144	MTA_L_14144
I14144_MTA-1	Línea aérea por fase	A	MTA_L_14144	IMTA_L_14144

Topología - Elementos ramales

Nro. equipo	Código	Fase	Nodo origen	Nodo destino
168765_MTA-1	Línea aérea por fase	ABC	MTA_S_168765	MTA_L_168765
51709	Fusible	ABC	MTA_L_168765	MTS_L_33315
33315_MTS-1	Cable	ABC	MTA_L_168765	MTS_L_33315
33317_MTS-1	Cable	ABC	MTS_L_33315	MTS_L_33317
21852	Interruptor seccionador	ABC	MTS_L_33317	MTS_L_33321
33321_MTS-1	Cable	ABC	MTS_L_33317	MTS_L_33321
33322_MTS-1	Cable	ABC	MTS_L_33321	MTS_L_33322
538_MTS-1	Cable	B	MTS_L_33322	MTS_L_538
1327	Fusible	B	MTS_L_538	MTS_L_540
540_MTS-1	Cable	B	MTS_L_538	MTS_L_540
14995	Transformador con dos devanados	B	MTS_L_540	MTS_L_503
503_MTS-1	Cable	B	MTS_L_540	MTS_L_503
I503_MTS-1	Cable	B	MTS_L_503	IMTS_L_503
539_MTS-1	Cable	A	MTS_L_33322	MTS_L_539
1326	Fusible	A	MTS_L_539	MTS_L_541
541_MTS-1	Cable	A	MTS_L_539	MTS_L_541
15189	Transformador con dos devanados	A	MTS_L_541	MTS_L_502
502_MTS-1	Cable	A	MTS_L_541	MTS_L_502
I502_MTS-1	Cable	A	MTS_L_502	IMTS_L_502
654	Fusible	A	MTA_S_9920	MTA_S_14143
9920_MTA-1	Línea aérea por fase	A	MTA_S_9920	MTA_S_14143
292	Transformador con dos devanados	A	MTA_S_14143	MTA_L_14143
14143_MTA-1	Línea aérea por fase	A	MTA_S_14143	MTA_L_14143
I14143_MTA-1	Línea aérea por fase	A	MTA_L_14143	IMTA_L_14143
7583_MTA-1	Línea aérea por fase	ABC	MTA_S_4765	MTA_S_9919
653	Fusible	C	MTA_S_9919	MTA_S_14142
9919_MTA-1	Línea aérea por fase	C	MTA_S_9919	MTA_S_14142
10237	Transformador con dos devanados	C	MTA_S_14142	MTA_L_14142
14142_MTA-1	Línea aérea por fase	C	MTA_S_14142	MTA_L_14142
I14142_MTA-1	Línea aérea por fase	C	MTA_L_14142	IMTA_L_14142
7590_MTA-1	Línea aérea por fase	C	MTA_L_7578	MTA_L_7590

Topología - Elementos ramales

Nro. equipo	Código	Fase	Nodo origen	Nodo destino
6818_MTA-1	Línea aérea por fase	C	MTA_L_7590	MTA_L_6818
2337	Fusible	C	MTA_L_6818	MTA_L_11485
11485_MTA-1	Línea aérea por fase	C	MTA_L_6818	MTA_L_11485
12320	Transformador con dos devanados	C	MTA_L_11485	MTA_L_13470
13470_MTA-1	Línea aérea por fase	C	MTA_L_11485	MTA_L_13470
I13470_MTA-1	Línea aérea por fase	C	MTA_L_13470	IMTA_L_13470
652	Fusible	A	MTA_L_7577	MTA_L_9918
9918_MTA-1	Línea aérea por fase	A	MTA_L_7577	MTA_L_9918
253	Transformador con dos devanados	A	MTA_L_9918	MTA_L_14141
14141_MTA-1	Línea aérea por fase	A	MTA_L_9918	MTA_L_14141
I14141_MTA-1	Línea aérea por fase	A	MTA_L_14141	IMTA_L_14141
7120_MTA-1	Línea aérea por fase	ABC	MTA_S_6416	MTA_L_7120
7121_MTA-1	Línea aérea por fase	ABC	MTA_L_7120	MTA_L_7121
1243	Fusible	B	MTA_L_7121	MTA_L_10562
10562_MTA-1	Línea aérea por fase	B	MTA_L_7121	MTA_L_10562
16133	Transformador con dos devanados	B	MTA_L_10562	MTA_L_14320
14320_MTA-1	Línea aérea por fase	B	MTA_L_10562	MTA_L_14320
I14320_MTA-1	Línea aérea por fase	B	MTA_L_14320	IMTA_L_14320
115287_MTA-1	Línea aérea por fase	ABC	MTA_L_7121	MTA_L_115287
48541	Fusible	ABC	MTA_L_115287	MTA_S_5810
115288_MTA-1	Línea aérea por fase	ABC	MTA_L_115287	MTA_S_5810
48542	Fusible	A	MTA_S_5810	MTA_L_115289
115289_MTA-1	Línea aérea por fase	A	MTA_S_5810	MTA_L_115289
115290_MTA-1	Línea aérea por fase	A	MTA_L_115289	MTA_L_115290
5809_MTA-1	Línea aérea por fase	A	MTA_L_115290	MTA_S_10563
1244	Fusible	A	MTA_S_10563	MTA_L_10563
10563_MTA-1	Línea aérea por fase	A	MTA_S_10563	MTA_L_10563
6230	Transformador con dos devanados	A	MTA_L_10563	MTA_L_14321
14321_MTA-1	Línea aérea por fase	A	MTA_L_10563	MTA_L_14321
I14321_MTA-1	Línea aérea por fase	A	MTA_L_14321	IMTA_L_14321
5810_MTA-1	Línea aérea por fase	ABC	MTA_S_5810	MTA_S_5811

Topología - Elementos ramales

Nro. equipo	Código	Fase	Nodo origen	Nodo destino
5811_MTA-1	Línea aérea por fase	ABC	MTA_S_5811	MTA_S_5812
5812_MTA-1	Línea aérea por fase	ABC	MTA_S_5812	MTA_S_5813
5813_MTA-1	Línea aérea por fase	ABC	MTA_S_5813	MTA_S_5814
5814_MTA-1	Línea aérea por fase	ABC	MTA_S_5814	MTA_S_5815
5815_MTA-1	Línea aérea por fase	ABC	MTA_S_5815	MTA_S_5816
5816_MTA-1	Línea aérea por fase	ABC	MTA_S_5816	MTA_S_10564
1245	Fusible	B	MTA_S_10564	MTA_S_14322
10564_MTA-1	Línea aérea por fase	B	MTA_S_10564	MTA_S_14322
8506	Transformador con dos devanados	B	MTA_S_14322	MTA_L_14322
14322_MTA-1	Línea aérea por fase	B	MTA_S_14322	MTA_L_14322
I14322_MTA-1	Línea aérea por fase	B	MTA_L_14322	IMTA_L_14322
7591_MTA-1	Línea aérea por fase	ABC	MTA_S_10564	MTA_L_7591
1665_MTA-1	Línea aérea por fase	ABC	MTA_L_7591	MTA_L_1665
1666_MTA-1	Línea aérea por fase	ABC	MTA_L_1665	MTA_S_1667
1667_MTA-1	Línea aérea por fase	ABC	MTA_S_1667	MTA_L_1667
7593_MTA-1	Línea aérea por fase	ABC	MTA_L_1667	MTA_S_7212
7212_MTA-1	Línea aérea por fase	ABC	MTA_S_7212	MTA_S_115293
48544	Fusible	ABC	MTA_S_115293	MTA_L_115293
115293_MTA-1	Línea aérea por fase	ABC	MTA_S_115293	MTA_L_115293
115294_MTA-1	Línea aérea por fase	ABC	MTA_L_115293	MTA_L_115294
1246	Fusible	A	MTA_L_115294	MTA_S_14323
10565_MTA-1	Línea aérea por fase	A	MTA_L_115294	MTA_S_14323
7586	Transformador con dos devanados	A	MTA_S_14323	MTA_L_14323
14323_MTA-1	Línea aérea por fase	A	MTA_S_14323	MTA_L_14323
I14323_MTA-1	Línea aérea por fase	A	MTA_L_14323	IMTA_L_14323
7214_MTA-1	Línea aérea por fase	ABC	MTA_L_115294	MTA_L_7214
7215_MTA-1	Línea aérea por fase	ABC	MTA_L_7214	MTA_L_7215
7503_MTA-1	Línea aérea por fase	ABC	MTA_L_7215	MTA_S_7504
1247	Fusible	A	MTA_S_7504	MTA_S_14324
10566_MTA-1	Línea aérea por fase	A	MTA_S_7504	MTA_S_14324
16890	Transformador con dos devanados	A	MTA_S_14324	MTA_L_14324

Topología - Elementos ramales

Nro. equipo	Código	Fase	Nodo origen	Nodo destino
14324_MTA-1	Línea aérea por fase	A	MTA_S_14324	MTA_L_14324
l14324_MTA-1	Línea aérea por fase	A	MTA_L_14324	IMTA_L_14324
7504_MTA-1	Línea aérea por fase	ABC	MTA_S_7504	MTA_L_7504
7505_MTA-1	Línea aérea por fase	ABC	MTA_L_7504	MTA_L_7505
6147_MTA-1	Línea aérea por fase	ABC	MTA_S_6147	MTA_L_7505
115265_MTA-1	Línea aérea por fase	A	MTA_S_6147	MTA_L_115265
48511	Fusible	A	MTA_L_115265	MTA_L_115266
115266_MTA-1	Línea aérea por fase	A	MTA_L_115265	MTA_L_115266
7822_MTA-1	Línea aérea por fase	A	MTA_L_115266	MTA_L_7822
6861_MTA-1	Línea aérea por fase	A	MTA_L_7822	MTA_S_6862
6862_MTA-1	Línea aérea por fase	A	MTA_S_6862	MTA_S_6863
6863_MTA-1	Línea aérea por fase	A	MTA_S_6863	MTA_S_6864
48513	Fusible	A	MTA_S_6864	MTA_L_115556
115556_MTA-1	Línea aérea por fase	A	MTA_S_6864	MTA_L_115556
16176	Transformador con dos devanados	A	MTA_L_115556	MTA_L_115557
115557_MTA-1	Línea aérea por fase	A	MTA_L_115556	MTA_L_115557
l115557_MTA-1	Línea aérea por fase	A	MTA_L_115557	IMTA_L_115557
6864_MTA-1	Línea aérea por fase	A	MTA_S_6864	MTA_S_6865
6865_MTA-1	Línea aérea por fase	A	MTA_S_6865	MTA_L_6865
7642_MTA-1	Línea aérea por fase	A	MTA_L_6865	MTA_S_6866
1252	Fusible	A	MTA_S_6866	MTA_L_10571
10571_MTA-1	Línea aérea por fase	A	MTA_S_6866	MTA_L_10571
113	Transformador con dos devanados	A	MTA_L_10571	MTA_L_14329
14329_MTA-1	Línea aérea por fase	A	MTA_L_10571	MTA_L_14329
l14329_MTA-1	Línea aérea por fase	A	MTA_L_14329	IMTA_L_14329
6866_MTA-1	Línea aérea por fase	A	MTA_S_6866	MTA_S_6867
6867_MTA-1	Línea aérea por fase	A	MTA_S_6867	MTA_S_6868
6868_MTA-1	Línea aérea por fase	A	MTA_S_6868	MTA_S_6869
1253	Fusible	A	MTA_S_6869	MTA_L_10572
10572_MTA-1	Línea aérea por fase	A	MTA_S_6869	MTA_L_10572
11996	Transformador con dos devanados	A	MTA_L_10572	MTA_L_14330

Topología - Elementos ramales

Nro. equipo	Código	Fase	Nodo origen	Nodo destino
14330_MTA-1	Línea aérea por fase	A	MTA_L_10572	MTA_L_14330
l14330_MTA-1	Línea aérea por fase	A	MTA_L_14330	IMTA_L_14330
6869_MTA-1	Línea aérea por fase	A	MTA_S_6869	MTA_L_6869
6870_MTA-1	Línea aérea por fase	A	MTA_L_6869	MTA_S_10598
1283	Fusible	A	MTA_S_10598	MTA_L_10598
10598_MTA-1	Línea aérea por fase	A	MTA_S_10598	MTA_L_10598
10463	Transformador con dos devanados	A	MTA_L_10598	MTA_L_12603
12603_MTA-1	Línea aérea por fase	A	MTA_L_10598	MTA_L_12603
l12603_MTA-1	Línea aérea por fase	A	MTA_L_12603	IMTA_L_12603
9020_MTA-1	Línea aérea por fase	A	MTA_S_10598	MTA_S_115558
115558_MTA-1	Línea aérea por fase	A	MTA_S_115558	MTA_L_115558
48514	Fusible	A	MTA_L_115558	MTA_S_115562
115559_MTA-1	Línea aérea por fase	A	MTA_L_115558	MTA_S_115562
115562_MTA-1	Línea aérea por fase	A	MTA_S_115562	MTA_L_115562
115563_MTA-1	Línea aérea por fase	A	MTA_L_115562	MTA_S_9029
9029_MTA-1	Línea aérea por fase	A	MTA_S_9029	MTA_S_9030
9030_MTA-1	Línea aérea por fase	A	MTA_S_9030	MTA_S_9031
9031_MTA-1	Línea aérea por fase	A	MTA_S_9031	MTA_L_9031
1250	Fusible	A	MTA_L_9031	MTA_L_10569
10569_MTA-1	Línea aérea por fase	A	MTA_L_9031	MTA_L_10569
8972	Transformador con dos devanados	A	MTA_L_10569	MTA_L_14327
14327_MTA-1	Línea aérea por fase	A	MTA_L_10569	MTA_L_14327
l14327_MTA-1	Línea aérea por fase	A	MTA_L_14327	IMTA_L_14327
9032_MTA-1	Línea aérea por fase	A	MTA_L_9031	MTA_S_9094
9094_MTA-1	Línea aérea por fase	A	MTA_S_9094	MTA_S_9095
9095_MTA-1	Línea aérea por fase	A	MTA_S_9095	MTA_L_6858
115564_MTA-1	Línea aérea por fase	A	MTA_L_6858	MTA_S_115565
48529	Fusible	A	MTA_S_115565	MTA_S_6860
115565_MTA-1	Línea aérea por fase	A	MTA_S_115565	MTA_S_6860
6860_MTA-1	Línea aérea por fase	A	MTA_S_6860	MTA_L_6860
6858_MTA-1	Línea aérea por fase	A	MTA_S_6858	MTA_L_6858

Topología - Elementos ramales

Nro. equipo	Código	Fase	Nodo origen	Nodo destino
7511_MTA-1	Línea aérea por fase	A	MTA_S_7511	MTA_S_6858
7509_MTA-1	Línea aérea por fase	A	MTA_S_10568	MTA_S_7511
1249	Fusible	A	MTA_S_10568	MTA_S_14326
10568_MTA-1	Línea aérea por fase	A	MTA_S_10568	MTA_S_14326
5735	Transformador con dos devanados	A	MTA_S_14326	MTA_L_14326
14326_MTA-1	Línea aérea por fase	A	MTA_S_14326	MTA_L_14326
I14326_MTA-1	Línea aérea por fase	A	MTA_L_14326	IMTA_L_14326
9025_MTA-1	Línea aérea por fase	A	MTA_S_115562	MTA_L_9025
9026_MTA-1	Línea aérea por fase	A	MTA_L_9025	MTA_S_11354
2189	Fusible	A	MTA_S_11354	MTA_S_13338
11354_MTA-1	Línea aérea por fase	A	MTA_S_11354	MTA_S_13338
14246	Transformador con dos devanados	A	MTA_S_13338	MTA_L_13338
13338_MTA-1	Línea aérea por fase	A	MTA_S_13338	MTA_L_13338
I13338_MTA-1	Línea aérea por fase	A	MTA_L_13338	IMTA_L_13338
9027_MTA-1	Línea aérea por fase	A	MTA_S_11354	MTA_L_9027
48510	Fusible	ABC	MTA_S_6147	MTA_L_115295
115295_MTA-1	Línea aérea por fase	ABC	MTA_S_6147	MTA_L_115295
115296_MTA-1	Línea aérea por fase	ABC	MTA_L_115295	MTA_L_115296
7507_MTA-1	Línea aérea por fase	ABC	MTA_L_115296	MTA_L_7507
1248	Fusible	ABC	MTA_L_7507	MTA_L_10567
10567_MTA-1	Línea aérea por fase	ABC	MTA_L_7507	MTA_L_10567
11981;10733;11982	Transformador con dos devanados	ABC	MTA_L_10567	MTA_L_14325
14325_MTA-1	Línea aérea por fase	ABC	MTA_L_10567	MTA_L_14325
I14325_MTA-1	Línea aérea por fase	ABC	MTA_L_14325	IMTA_L_14325
9038_MTA-1	Línea aérea por fase	B	MTA_S_5811	MTA_L_9038
48543	Fusible	B	MTA_L_9038	MTA_S_115292
115291_MTA-1	Línea aérea por fase	B	MTA_L_9038	MTA_S_115292
115292_MTA-1	Línea aérea por fase	B	MTA_S_115292	MTA_L_115292
9040_MTA-1	Línea aérea por fase	B	MTA_L_115292	MTA_L_9040
9041_MTA-1	Línea aérea por fase	B	MTA_L_9040	MTA_S_9042
622	Fusible	B	MTA_S_9042	MTA_S_14477

Topología - Elementos ramales

Nro. equipo	Código	Fase	Nodo origen	Nodo destino
11910_MTA-1	Línea aérea por fase	B	MTA_S_9042	MTA_S_14477
13557	Transformador con dos devanados	B	MTA_S_14477	MTA_L_14477
14477_MTA-1	Línea aérea por fase	B	MTA_S_14477	MTA_L_14477
l14477_MTA-1	Línea aérea por fase	B	MTA_L_14477	IMTA_L_14477
9042_MTA-1	Línea aérea por fase	B	MTA_S_9042	MTA_S_9043
9043_MTA-1	Línea aérea por fase	B	MTA_S_9043	MTA_S_9044
9044_MTA-1	Línea aérea por fase	B	MTA_S_9044	MTA_L_9044
2639	Fusible	AC	MTA_L_114613	MTA_S_13763
11776_MTA-1	Línea aérea por fase	AC	MTA_L_114613	MTA_S_13763
3743;3697	Transformador con dos devanados	AC	MTA_S_13763	MTA_L_13763
13763_MTA-1	Línea aérea por fase	AC	MTA_S_13763	MTA_L_13763
l13763_MTA-1	Línea aérea por fase	AC	MTA_L_13763	IMTA_L_13763
2638	Fusible	B	MTA_S_11775	MTA_L_11775
11775_MTA-1	Línea aérea por fase	B	MTA_S_11775	MTA_L_11775
5935	Transformador con dos devanados	B	MTA_L_11775	MTA_L_13762
13762_MTA-1	Línea aérea por fase	B	MTA_L_11775	MTA_L_13762
l13762_MTA-1	Línea aérea por fase	B	MTA_L_13762	IMTA_L_13762
1726_MTA-1	Línea aérea por fase	ABC	MTA_S_1726	MTA_S_1727
1727_MTA-1	Línea aérea por fase	ABC	MTA_S_1727	MTA_S_2984
2984_MTA-1	Línea aérea por fase	ABC	MTA_S_2984	MTA_S_11907
619	Fusible	ABC	MTA_S_11907	MTA_S_14474
11907_MTA-1	Línea aérea por fase	ABC	MTA_S_11907	MTA_S_14474
14244	Transformador con dos devanados	ABC	MTA_S_14474	MTA_L_14474
14474_MTA-1	Línea aérea por fase	ABC	MTA_S_14474	MTA_L_14474
l14474_MTA-1	Línea aérea por fase	ABC	MTA_L_14474	IMTA_L_14474
17905_MTA-1	Línea aérea por fase	B	MTA_S_11907	MTA_S_114604
47871	Fusible	B	MTA_S_114604	MTA_L_114604
114604_MTA-1	Línea aérea por fase	B	MTA_S_114604	MTA_L_114604
15986	Transformador con dos devanados	B	MTA_L_114604	MTA_L_114605
114605_MTA-1	Línea aérea por fase	B	MTA_L_114604	MTA_L_114605
l114605_MTA-1	Línea aérea por fase	B	MTA_L_114605	IMTA_L_114605

Topología - Elementos shunt

Nro. equipo	Código	Fase	Nodo origen
MTA_L_13780	Carga concentrada	B	MTA_L_13780
MTS_L_506	Carga concentrada	ABC	MTS_L_506
MTS_L_464	Carga concentrada	ABC	MTS_L_464
MTA_L_13704	Carga concentrada	B	MTA_L_13704
MTA_L_13471	Carga concentrada	B	MTA_L_13471
MTA_L_114960	Carga concentrada	A	MTA_L_114960
MTA_L_114963	Carga concentrada	B	MTA_L_114963
MTA_L_13781	Carga concentrada	C	MTA_L_13781
MTA_L_114966	Carga concentrada	A	MTA_L_114966
MTA_L_115255	Carga concentrada	B	MTA_L_115255
MTS_L_514	Carga concentrada	ABC	MTS_L_514
MTS_L_42571	Carga concentrada	ABC	MTS_L_42571
MTA_L_13782	Carga concentrada	B	MTA_L_13782
MTA_L_14363	Carga concentrada	C	MTA_L_14363
MTA_L_13643	Carga concentrada	ABC	MTA_L_13643
MTA_L_17892	Carga concentrada	B	MTA_L_17892
MTA_L_114624	Carga concentrada	B	MTA_L_114624
MTA_L_189261	Carga concentrada	ABC	MTA_L_189261
MTA_L_13644	Carga concentrada	C	MTA_L_13644
MTA_L_114591	Carga concentrada	ABC	MTA_L_114591
MTA_L_13299	Carga concentrada	C	MTA_L_13299
MTA_L_13645	Carga concentrada	C	MTA_L_13645
MTA_L_14365	Carga concentrada	B	MTA_L_14365
MTA_L_14366	Carga concentrada	B	MTA_L_14366
MTA_L_14367	Carga concentrada	B	MTA_L_14367
MTA_L_189622	Carga concentrada	A	MTA_L_189622
MTA_L_114973	Carga concentrada	B	MTA_L_114973
MTA_L_14368	Carga concentrada	B	MTA_L_14368
MTA_L_14369	Carga concentrada	B	MTA_L_14369
MTA_L_19164	Carga concentrada	B	MTA_L_19164
MTA_L_19162	Carga concentrada	A	MTA_L_19162

Topología - Elementos shunt			
Nro. equipo	Código	Fase	Nodo origen
MTA_L_14370	Carga concentrada	A	MTA_L_14370
MTA_L_14372	Carga concentrada	C	MTA_L_14372
MTA_L_14371	Carga concentrada	A	MTA_L_14371
MTS_L_501	Carga concentrada	ABC	MTS_L_501
MTA_L_14411	Carga concentrada	B	MTA_L_14411
MTS_L_1872	Carga concentrada	ABC	MTS_L_1872
MTA_L_14412	Carga concentrada	B	MTA_L_14412
MTA_L_14413	Carga concentrada	B	MTA_L_14413
MTA_L_14414	Carga concentrada	A	MTA_L_14414
MTA_L_14415	Carga concentrada	B	MTA_L_14415
MTA_L_14416	Carga concentrada	AB	MTA_L_14416
MTS_L_521	Carga concentrada	ABC	MTS_L_521
MTA_L_14417	Carga concentrada	B	MTA_L_14417
MTA_L_13555	Carga concentrada	ABC	MTA_L_13555
MTA_L_14145	Carga concentrada	B	MTA_L_14145
MTA_L_17589	Carga concentrada	ABC	MTA_L_17589
MTA_L_13556	Carga concentrada	A	MTA_L_13556
MTA_L_13557	Carga concentrada	ABC	MTA_L_13557
MTA_L_206835	Carga concentrada	ABC	MTA_L_206835
MTA_L_14315	Carga concentrada	B	MTA_L_14315
MTA_L_14301	Carga concentrada	ABC	MTA_L_14301
MTA_L_12605	Carga concentrada	B	MTA_L_12605
MTA_L_13300	Carga concentrada	B	MTA_L_13300
MTS_L_33001	Carga concentrada	ABC	MTS_L_33001
MTS_L_46782	Carga concentrada	ABC	MTS_L_46782
MTA_L_12610	Carga concentrada	C	MTA_L_12610
MTA_L_12611	Carga concentrada	C	MTA_L_12611
MTA_L_116204	Carga concentrada	C	MTA_L_116204
MTA_L_17587	Carga concentrada	C	MTA_L_17587
MTA_L_14219	Carga concentrada	C	MTA_L_14219
MTA_L_116207	Carga concentrada	C	MTA_L_116207

Topología - Elementos shunt

Nro. equipo	Código	Fase	Nodo origen
MTA_L_12609	Carga concentrada	C	MTA_L_12609
MTA_L_17582	Carga concentrada	ABC	MTA_L_17582
MTA_L_12607	Carga concentrada	B	MTA_L_12607
MTA_L_12608	Carga concentrada	B	MTA_L_12608
MTS_L_520	Carga concentrada	ABC	MTS_L_520
MTA_L_14418	Carga concentrada	B	MTA_L_14418
MTA_L_14419	Carga concentrada	C	MTA_L_14419
MTA_L_14421	Carga concentrada	B	MTA_L_14421
MTA_L_14422	Carga concentrada	C	MTA_L_14422
MTA_L_14420	Carga concentrada	A	MTA_L_14420
MTA_L_14220	Carga concentrada	A	MTA_L_14220
MTA_L_14224	Carga concentrada	A	MTA_L_14224
MTA_L_14225	Carga concentrada	C	MTA_L_14225
MTA_L_13472	Carga concentrada	C	MTA_L_13472
MTA_L_14222	Carga concentrada	C	MTA_L_14222
MTA_L_14223	Carga concentrada	B	MTA_L_14223
MTA_L_186678	Carga concentrada	B	MTA_L_186678
MTA_L_14221	Carga concentrada	A	MTA_L_14221
MTA_L_116822	Carga concentrada	A	MTA_L_116822
MTA_L_116824	Carga concentrada	A	MTA_L_116824
MTA_L_14318	Carga concentrada	B	MTA_L_14318
MTA_L_13394	Carga concentrada	B	MTA_L_13394
MTA_L_14319	Carga concentrada	B	MTA_L_14319
MTA_L_14317	Carga concentrada	B	MTA_L_14317
MTA_L_14316	Carga concentrada	C	MTA_L_14316
MTA_L_14146	Carga concentrada	B	MTA_L_14146
MTA_L_14448	Carga concentrada	A	MTA_L_14448
MTA_L_14449	Carga concentrada	A	MTA_L_14449
MTA_L_214503	Carga concentrada	ABC	MTA_L_214503
MTA_L_14446	Carga concentrada	B	MTA_L_14446
MTA_L_14447	Carga concentrada	C	MTA_L_14447

Topología - Elementos shunt

Nro. equipo	Código	Fase	Nodo origen
MTA_L_14450	Carga concentrada	ABC	MTA_L_14450
MTA_L_16610	Carga concentrada	A	MTA_L_16610
MTA_L_14451	Carga concentrada	ABC	MTA_L_14451
MTA_L_14452	Carga concentrada	ABC	MTA_L_14452
MTA_L_13569	Carga concentrada	AB	MTA_L_13569
MTA_L_14455	Carga concentrada	C	MTA_L_14455
MTA_L_117827	Carga concentrada	A	MTA_L_117827
MTA_L_14445	Carga concentrada	A	MTA_L_14445
MTA_L_14312	Carga concentrada	ABC	MTA_L_14312
MTA_L_14456	Carga concentrada	ABC	MTA_L_14456
MTA_L_14132	Carga concentrada	C	MTA_L_14132
MTA_L_12604	Carga concentrada	C	MTA_L_12604
MTA_L_71639	Carga concentrada	C	MTA_L_71639
MTA_L_14137	Carga concentrada	C	MTA_L_14137
MTA_L_14136	Carga concentrada	C	MTA_L_14136
MTA_L_193392	Carga concentrada	C	MTA_L_193392
MTA_L_14135	Carga concentrada	C	MTA_L_14135
MTA_L_190173	Carga concentrada	C	MTA_L_190173
MTA_L_14134	Carga concentrada	C	MTA_L_14134
MTA_L_14133	Carga concentrada	C	MTA_L_14133
MTA_L_63974	Carga concentrada	A	MTA_L_63974
MTA_L_14453	Carga concentrada	A	MTA_L_14453
MTA_L_65861	Carga concentrada	A	MTA_L_65861
MTA_L_14454	Carga concentrada	A	MTA_L_14454
MTA_L_16933	Carga concentrada	B	MTA_L_16933
MTA_L_13398	Carga concentrada	B	MTA_L_13398
MTA_L_14138	Carga concentrada	A	MTA_L_14138
MTA_L_14139	Carga concentrada	B	MTA_L_14139
MTA_L_14140	Carga concentrada	B	MTA_L_14140
MTS_L_9593	Carga concentrada	A	MTS_L_9593
MTA_L_13570	Carga concentrada	B	MTA_L_13570

Topología - Elementos shunt

Nro. equipo	Código	Fase	Nodo origen
MTA_L_13561	Carga concentrada	AB	MTA_L_13561
MTS_L_47064	Carga concentrada	ABC	MTS_L_47064
MTA_L_13562	Carga concentrada	A	MTA_L_13562
MTA_L_13582	Carga concentrada	A	MTA_L_13582
MTA_L_13571	Carga concentrada	A	MTA_L_13571
MTA_L_132626	Carga concentrada	A	MTA_L_132626
MTA_L_132617	Carga concentrada	C	MTA_L_132617
MTA_L_132619	Carga concentrada	C	MTA_L_132619
MTA_L_14164	Carga concentrada	C	MTA_L_14164
MTA_L_14163	Carga concentrada	B	MTA_L_14163
MTA_L_13581	Carga concentrada	C	MTA_L_13581
MTA_L_14162	Carga concentrada	A	MTA_L_14162
322_CON	Condensador shunt	ABC	MTA_S_162985
MTA_L_13657	Carga concentrada	A	MTA_L_13657
MTA_L_13658	Carga concentrada	C	MTA_L_13658
MTA_L_13659	Carga concentrada	ABC	MTA_L_13659
MTA_L_13660	Carga concentrada	A	MTA_L_13660
MTS_L_466	Carga concentrada	A	MTS_L_466
MTA_L_13661	Carga concentrada	C	MTA_L_13661
MTA_L_130343	Carga concentrada	B	MTA_L_130343
MTA_L_13666	Carga concentrada	A	MTA_L_13666
MTA_L_14161	Carga concentrada	B	MTA_L_14161
MTS_L_33427	Carga concentrada	ABC	MTS_L_33427
MTA_L_13662	Carga concentrada	ABC	MTA_L_13662
MTA_L_13663	Carga concentrada	ABC	MTA_L_13663
MTA_L_13664	Carga concentrada	ABC	MTA_L_13664
MTA_L_13665	Carga concentrada	ABC	MTA_L_13665
MTS_L_511	Carga concentrada	ABC	MTS_L_511
MTA_L_14243	Carga concentrada	C	MTA_L_14243
MTA_L_14244	Carga concentrada	B	MTA_L_14244
MTA_L_14245	Carga concentrada	B	MTA_L_14245

Topología - Elementos shunt

Nro. equipo	Código	Fase	Nodo origen
MTS_L_467	Carga concentrada	ABC	MTS_L_467
MTS_L_468	Carga concentrada	ABC	MTS_L_468
MTA_L_14246	Carga concentrada	C	MTA_L_14246
MTA_L_14247	Carga concentrada	C	MTA_L_14247
MTA_L_14248	Carga concentrada	C	MTA_L_14248
MTA_L_14249	Carga concentrada	ABC	MTA_L_14249
MTA_L_13566	Carga concentrada	C	MTA_L_13566
MTA_L_13567	Carga concentrada	ABC	MTA_L_13567
MTS_L_39055	Carga concentrada	A	MTS_L_39055
MTA_L_13572	Carga concentrada	A	MTA_L_13572
MTA_L_13311	Carga concentrada	A	MTA_L_13311
MTS_L_483	Carga concentrada	ABC	MTS_L_483
MTA_L_14250	Carga concentrada	ABC	MTA_L_14250
MTA_L_14251	Carga concentrada	B	MTA_L_14251
MTA_L_13278	Carga concentrada	ABC	MTA_L_13278
MTA_L_13279	Carga concentrada	ABC	MTA_L_13279
MTA_L_13280	Carga concentrada	ABC	MTA_L_13280
MTA_L_13282	Carga concentrada	AB	MTA_L_13282
MTA_L_14202	Carga concentrada	B	MTA_L_14202
MTA_L_13281	Carga concentrada	B	MTA_L_13281
MTA_L_13341	Carga concentrada	B	MTA_L_13341
MTA_L_13283	Carga concentrada	B	MTA_L_13283
MTA_L_13284	Carga concentrada	B	MTA_L_13284
MTA_L_13287	Carga concentrada	ABC	MTA_L_13287
MTA_L_99171	Carga concentrada	B	MTA_L_99171
MTS_L_27568	Carga concentrada	ABC	MTS_L_27568
MTA_L_13289	Carga concentrada	B	MTA_L_13289
MTA_L_13573	Carga concentrada	B	MTA_L_13573
MTA_L_13291	Carga concentrada	B	MTA_L_13291
MTA_L_13292	Carga concentrada	B	MTA_L_13292
MTA_L_88633	Carga concentrada	B	MTA_L_88633

Topología - Elementos shunt			
Nro. equipo	Código	Fase	Nodo origen
MTA_L_42546	Carga concentrada	B	MTA_L_42546
MTA_L_13293	Carga concentrada	B	MTA_L_13293
MTA_L_13294	Carga concentrada	B	MTA_L_13294
MTA_L_93551	Carga concentrada	B	MTA_L_93551
MTA_L_13290	Carga concentrada	B	MTA_L_13290
MTA_L_13285	Carga concentrada	A	MTA_L_13285
MTA_L_13286	Carga concentrada	ABC	MTA_L_13286
MTS_L_27534	Carga concentrada	ABC	MTS_L_27534
MTS_L_27204	Carga concentrada	ABC	MTS_L_27204
MTA_L_98895	Carga concentrada	ABC	MTA_L_98895
MTA_L_181577	Carga concentrada	A	MTA_L_181577
MTA_L_13558	Carga concentrada	AC	MTA_L_13558
MTA_L_13442	Carga concentrada	C	MTA_L_13442
MTS_L_1240	Carga concentrada	A	MTS_L_1240
MTS_L_1560	Carga concentrada	ABC	MTS_L_1560
MTA_L_12794	Carga concentrada	ABC	MTA_L_12794
94	Carga concentrada	ABC	88
MTA_L_13473	Carga concentrada	C	MTA_L_13473
MTS_L_42880	Carga concentrada	C	MTS_L_42880
MTA_L_12793	Carga concentrada	C	MTA_L_12793
MTS_L_33314	Carga concentrada	ABC	MTS_L_33314
MTA_L_14443	Carga concentrada	A	MTA_L_14443
MTA_L_13646	Carga concentrada	ABC	MTA_L_13646
MTS_L_505	Carga concentrada	ABC	MTS_L_505
MTS_L_46761	Carga concentrada	ABC	MTS_L_46761
MTA_L_14144	Carga concentrada	A	MTA_L_14144
MTS_L_503	Carga concentrada	B	MTS_L_503
MTS_L_502	Carga concentrada	A	MTS_L_502
MTA_L_14143	Carga concentrada	A	MTA_L_14143
MTA_L_14142	Carga concentrada	C	MTA_L_14142
MTA_L_13470	Carga concentrada	C	MTA_L_13470

Topología - Elementos shunt

Nro. equipo	Código	Fase	Nodo origen
MTA_L_14141	Carga concentrada	A	MTA_L_14141
MTA_L_14320	Carga concentrada	B	MTA_L_14320
MTA_L_14321	Carga concentrada	A	MTA_L_14321
MTA_L_14322	Carga concentrada	B	MTA_L_14322
MTA_L_14323	Carga concentrada	A	MTA_L_14323
MTA_L_14324	Carga concentrada	A	MTA_L_14324
MTA_L_115557	Carga concentrada	A	MTA_L_115557
MTA_L_14329	Carga concentrada	A	MTA_L_14329
MTA_L_14330	Carga concentrada	A	MTA_L_14330
MTA_L_12603	Carga concentrada	A	MTA_L_12603
MTA_L_14327	Carga concentrada	A	MTA_L_14327
MTA_L_14326	Carga concentrada	A	MTA_L_14326
MTA_L_13338	Carga concentrada	A	MTA_L_13338
MTA_L_14325	Carga concentrada	ABC	MTA_L_14325
MTA_L_14477	Carga concentrada	B	MTA_L_14477
MTA_L_13763	Carga concentrada	AC	MTA_L_13763
MTA_L_13762	Carga concentrada	B	MTA_L_13762
MTA_L_14474	Carga concentrada	ABC	MTA_L_14474
MTA_L_114605	Carga concentrada	B	MTA_L_114605

Flujo de carga - Condiciones anormales

Nombre alim.	Nombre del tramo	Id equipo	Código	Carga A (%)	Carga B (%)	Carga C (%)	VA (%)	VB (%)	VC (%)
ALIM-1800020T11	74198_MTA	3C100T	Interruptor seccionador	118.5	129.8	111.8	99.75	99.73	99.79
ALIM-1800020T11	I42571_MTS	3P_15KV.CU.2	Cable	102.5	102.5	102.4	97.78	97.79	97.83
ALIM-1800020T11	114607_MTA	3A100T	Interruptor seccionador	108.9	117.6	102.2	99.16	99.08	99.29
ALIM-1800020T11	91	500_KVA_13.8/480	Transformador con dos devanados	95.8	95.8	95.8	93.62	93.64	93.76
ALIM-1800020T11	94		Carga concentrada	31.9	31.9	31.9	93.62	93.64	93.76

Método de cálculo: Caída de tensión - Desequilibrada
Tolerancia: 0.1 %
Factores de carga: Global (P=100.00%, Q=100.00%)
Factores de motor: Como definido
Factores de generador: Como definido
Condensadores shunt: On
Modelo de carga de sensibilidad: De la biblioteca

Flujo de carga - Reporte sumario				
Resumen total	kW	kvar	kVA	FP(%)
Fuentes (Potencia de equilibrio)	2420.92	1539.15	2868.77	84.39
Generadores	0.00	0.00	0.00	0.00
Producción total	2420.92	1539.15	2868.77	84.39
Carga leída (no regulada)	2339.41	1745.74	2918.98	80.14
Carga utilizada (regulada)	2339.27	1745.40	2918.67	80.15
Condensadores shunt (regulados)	0.00	-287.10	287.10	0.00
Reactancias shunt(reguladas)	0.00	0.00	0.00	0.00
Motores	0.00	0.00	0.00	0.00
Cargas totales	2339.27	1458.30	2756.60	84.86
Capacitancia del cable	-0.00	-14.48	14.48	0.00
Capacitancia de la línea	0.00	-11.77	11.77	0.00
Capacitancia shunt total	-0.00	-26.25	26.25	0.00
Pérdidas en las líneas	40.95	39.51	56.90	71.96
Pérdidas en los cables	0.00	0.00	0.01	96.44
Pérdidas de carga del transformador	23.47	76.42	79.94	29.36
Pérdidas en vacío del transformador	28.63	-0.00	28.63	100.00
Pérdidas totales	93.48	115.94	148.93	62.77

Condiciones anormales				
	Fase	Conteo	Peor caso	Valor
Sobrecarga	A	3	74198_MTA	118.50 %
	B	4	74198_MTA	129.76 %
	C	4	74198_MTA	111.81 %

Subtensión	A	5	88	93.62 %
	B	3	88	93.64 %
	C	3	88	93.76 %
Sobretensión	A	0	7604_MTA	100.00 %
	B	0	7604_MTA	100.00 %
	C	0	7604_MTA	100.00 %

Costo anual de las pérdidas del sistema			
	kW	MW-h/año	k\$/año
Pérdidas en las líneas	40.95	129.72	12.97
Pérdidas en los cables	0.00	0.02	0.00
Pérdidas de carga del transformador	23.47	74.36	7.44
Pérdidas en vacío del transformador	28.63	250.82	25.08
Pérdidas totales	93.48	456.28	45.63

CYME Complete Report

Project Name: INGRESO DE CARGAS ESPECIALES A LA RED DE DISTRIBUCIÓN PRIMARIA
Author: Walter Gonzalo Minga Solano
Company: Universidad Nacional de Loja
File Name: INGRESO DE CARGAS ESPECIALES A LA RED DE DISTRIBUCIÓN PRIMARIA estado proyectado 2.xst
Date: Wed Jul 17 2024
CYME Version: CYME 9.0 r4

Description: Análisis del alimentador primario sur de la ciudad de Loja perteneciente a la EERSSA considerando el ingreso de 12 electrolinieras con capacidad para 24 vehículos cargando en carga rápida simultáneamente.

Topología - Elementos ramales

Nro. equipo	Código	Fase	Nodo origen	Nodo destino
646_PD	Interruptor automático	ABC	NODOFUENTE-646	MTA_L_7604
7604_MTA-1	Línea aérea por fase	ABC	NODOFUENTE-646	MTA_L_7604
5682_MTA-1	Línea aérea por fase	ABC	MTA_L_7604	MTA_L_5682
5683_MTA-1	Línea aérea por fase	ABC	MTA_L_5682	MTA_S_74197
74197_MTA-1	Línea aérea por fase	ABC	MTA_S_74197	MTA_L_74197
5441	Interruptor seccionador	ABC	MTA_L_74197	MTA_L_74198
74198_MTA-1	Línea aérea por fase	ABC	MTA_L_74197	MTA_L_74198
74199_MTA-1	Línea aérea por fase	ABC	MTA_L_74198	MTA_S_5686
2657	Fusible	B	MTA_S_5686	MTA_S_13780
11793_MTA-1	Línea aérea por fase	B	MTA_S_5686	MTA_S_13780
650	Transformador con dos devanados	B	MTA_S_13780	MTA_L_13780
13780_MTA-1	Línea aérea por fase	B	MTA_S_13780	MTA_L_13780
I13780_MTA-1	Línea aérea por fase	B	MTA_L_13780	IMTA_L_13780
168759_MTA-1	Línea aérea por fase	ABC	MTA_S_168759	MTA_S_5686
25945	Fusible	ABC	MTA_S_168759	MTS_L_33033
33033_MTS-1	Cable	ABC	MTA_S_168759	MTS_L_33033
33035_MTS-1	Cable	ABC	MTS_L_33033	MTS_L_33035
33037_MTS-1	Cable	ABC	MTS_L_33035	MTS_L_33037
33039_MTS-1	Cable	ABC	MTS_L_33037	MTS_L_33039
21847	Interruptor seccionador	ABC	MTS_L_33039	MTS_L_33281
33281_MTS-1	Cable	ABC	MTS_L_33039	MTS_L_33281
33282_MTS-1	Cable	ABC	MTS_L_33281	MTS_L_33282
2192	Fusible	ABC	MTS_L_33282	MTS_L_381
381_MTS-1	Cable	ABC	MTS_L_33282	MTS_L_381
15644	Transformador con dos devanados	ABC	MTS_L_381	MTS_L_506
506_MTS-1	Cable	ABC	MTS_L_381	MTS_L_506
I506_MTS-1	Cable	ABC	MTS_L_506	IMTS_L_506
5686_MTA-1	Línea aérea por fase	ABC	MTA_S_5686	MTA_S_74202
74202_MTA-1	Línea aérea por fase	ABC	MTA_S_74202	MTA_L_168762
168762_MTA-1	Línea aérea por fase	ABC	MTS_S_33299	MTA_L_168762
30877	Fusible	ABC	MTS_S_33299	MTS_L_33299

Topología - Elementos ramales

Nro. equipo	Código	Fase	Nodo origen	Nodo destino
33299_MTS-1	Cable	ABC	MTS_S_33299	MTS_L_33299
33301_MTS-1	Cable	ABC	MTS_L_33299	MTS_L_33301
21850	Interruptor seccionador	ABC	MTS_L_33301	MTS_L_33305
33305_MTS-1	Cable	ABC	MTS_L_33301	MTS_L_33305
33306_MTS-1	Cable	ABC	MTS_L_33305	MTS_L_33306
1219	Fusible	ABC	MTS_L_33306	MTS_L_349
349_MTS-1	Cable	ABC	MTS_L_33306	MTS_L_349
15475	Transformador con dos devanados	ABC	MTS_L_349	MTS_L_464
464_MTS-1	Cable	ABC	MTS_L_349	MTS_L_464
I464_MTS-1	Cable	ABC	MTS_L_464	IMTS_L_464
170338_MTA-1	Línea aérea por fase	B	MTA_L_74205	MTA_L_168762
26077	Fusible	B	MTA_S_11717	MTA_L_74205
74205_MTA-1	Línea aérea por fase	B	MTA_S_11717	MTA_L_74205
2580	Fusible	B	MTA_S_11717	MTA_S_13704
11717_MTA-1	Línea aérea por fase	B	MTA_S_11717	MTA_S_13704
0651	Transformador con dos devanados	B	MTA_S_13704	MTA_L_13704
13704_MTA-1	Línea aérea por fase	B	MTA_S_13704	MTA_L_13704
I13704_MTA-1	Línea aérea por fase	B	MTA_L_13704	IMTA_L_13704
7971_MTA-1	Línea aérea por fase	ABC	MTA_L_168762	MTA_S_11486
2338	Fusible	B	MTA_S_11486	MTA_S_13471
11486_MTA-1	Línea aérea por fase	B	MTA_S_11486	MTA_S_13471
652	Transformador con dos devanados	B	MTA_S_13471	MTA_L_13471
13471_MTA-1	Línea aérea por fase	B	MTA_S_13471	MTA_L_13471
I13471_MTA-1	Línea aérea por fase	B	MTA_L_13471	IMTA_L_13471
7004_MTA-1	Línea aérea por fase	ABC	MTA_S_11486	MTA_S_114959
48187	Fusible	A	MTA_S_114959	MTA_L_114959
114959_MTA-1	Línea aérea por fase	A	MTA_S_114959	MTA_L_114959
653	Transformador con dos devanados	A	MTA_L_114959	MTA_L_114960
114960_MTA-1	Línea aérea por fase	A	MTA_L_114959	MTA_L_114960
I114960_MTA-1	Línea aérea por fase	A	MTA_L_114960	IMTA_L_114960
48188	Fusible	B	MTA_S_114959	MTA_L_114962

Topología - Elementos ramales

Nro. equipo	Código	Fase	Nodo origen	Nodo destino
114962_MTA-1	Línea aérea por fase	B	MTA_S_114959	MTA_L_114962
7639	Transformador con dos devanados	B	MTA_L_114962	MTA_L_114963
114963_MTA-1	Línea aérea por fase	B	MTA_L_114962	MTA_L_114963
114963_MTA-1	Línea aérea por fase	B	MTA_L_114963	IMTA_L_114963
7005_MTA-1	Línea aérea por fase	ABC	MTA_S_114959	MTA_L_7005
7006_MTA-1	Línea aérea por fase	ABC	MTA_L_7005	MTA_S_11794
2658	Fusible	C	MTA_S_11794	MTA_S_13781
11794_MTA-1	Línea aérea por fase	C	MTA_S_11794	MTA_S_13781
2391	Transformador con dos devanados	C	MTA_S_13781	MTA_L_13781
13781_MTA-1	Línea aérea por fase	C	MTA_S_13781	MTA_L_13781
13781_MTA-1	Línea aérea por fase	C	MTA_L_13781	IMTA_L_13781
1725_MTA-1	Línea aérea por fase	ABC	MTA_S_11794	MTA_S_1727
1724_MTA-1	Línea aérea por fase	ABC	MTA_S_1727	MTA_S_7972
7972_MTA-1	Línea aérea por fase	ABC	MTA_S_7972	MTA_L_7972
48189	Fusible	A	MTA_L_7972	MTA_L_114965
114965_MTA-1	Línea aérea por fase	A	MTA_L_7972	MTA_L_114965
656	Transformador con dos devanados	A	MTA_L_114965	MTA_L_114966
114966_MTA-1	Línea aérea por fase	A	MTA_L_114965	MTA_L_114966
114966_MTA-1	Línea aérea por fase	A	MTA_L_114966	IMTA_L_114966
48508	Fusible	B	MTA_L_7972	MTA_L_115254
115254_MTA-1	Línea aérea por fase	B	MTA_L_7972	MTA_L_115254
655	Transformador con dos devanados	B	MTA_L_115254	MTA_L_115255
115255_MTA-1	Línea aérea por fase	B	MTA_L_115254	MTA_L_115255
115255_MTA-1	Línea aérea por fase	B	MTA_L_115255	IMTA_L_115255
7973_MTA-1	Línea aérea por fase	ABC	MTA_L_7972	MTA_S_7007
168740_MTA-1	Línea aérea por fase	ABC	MTA_S_168740	MTA_S_7007
72217	Fusible	ABC	MTS_L_33032	MTA_S_168740
33030_MTS-1	Cable	ABC	MTS_L_33032	MTA_S_168740
21863	Interruptor seccionador	ABC	MTS_L_33031	MTS_L_33032
33032_MTS-1	Cable	ABC	MTS_L_33031	MTS_L_33032
33031_MTS-1	Cable	ABC	MTS_S_389	MTS_L_33031

Topología - Elementos ramales

Nro. equipo	Código	Fase	Nodo origen	Nodo destino
2265	Fusible	ABC	MTS_S_389	MTS_L_389
389_MTS-1	Cable	ABC	MTS_S_389	MTS_L_389
15385	Transformador con dos devanados	ABC	MTS_L_389	MTS_L_514
514_MTS-1	Cable	ABC	MTS_L_389	MTS_L_514
I514_MTS-1	Cable	ABC	MTS_L_514	IMTS_L_514
7007_MTA-1	Línea aérea por fase	ABC	MTA_S_7007	MTA_S_17919
17919_MTA-1	Línea aérea por fase	ABC	MTA_S_17919	MTS_L_33016
5288	Fusible	ABC	MTS_S_33016	MTS_L_33016
33016_MTS-1	Cable	ABC	MTS_S_33016	MTS_L_33016
33017_MTS-1	Cable	ABC	MTS_S_33016	MTS_L_33017
33019_MTS-1	Cable	ABC	MTS_L_33017	MTS_L_33019
33021_MTS-1	Cable	ABC	MTS_L_33019	MTS_L_33021
33023_MTS-1	Cable	ABC	MTS_L_33021	MTS_L_33023
21846	Interruptor seccionador	ABC	MTS_L_33023	MTS_L_33025
33025_MTS-1	Cable	ABC	MTS_L_33023	MTS_L_33025
33026_MTS-1	Cable	ABC	MTS_L_33025	MTS_L_33026
5289	Fusible	ABC	MTS_L_33026	MTS_L_1890
1890_MTS-1	Cable	ABC	MTS_L_33026	MTS_L_1890
14385	Transformador con dos devanados	ABC	MTS_L_1890	MTS_L_42571
42571_MTS-1	Cable	ABC	MTS_L_1890	MTS_L_42571
I42571_MTS-1	Cable	ABC	MTS_L_42571	IMTS_L_42571
7008_MTA-1	Línea aérea por fase	ABC	MTA_S_17919	MTA_L_7008
2659	Fusible	B	MTA_L_7008	MTA_L_11795
11795_MTA-1	Línea aérea por fase	B	MTA_L_7008	MTA_L_11795
8697	Transformador con dos devanados	B	MTA_L_11795	MTA_L_13782
13782_MTA-1	Línea aérea por fase	B	MTA_L_11795	MTA_L_13782
I13782_MTA-1	Línea aérea por fase	B	MTA_L_13782	IMTA_L_13782
7009_MTA-1	Línea aérea por fase	ABC	MTA_L_7008	MTA_S_7013
7013_MTA-1	Línea aérea por fase	ABC	MTA_S_7013	MTA_S_114606
114606_MTA-1	Línea aérea por fase	ABC	MTA_S_114606	MTA_S_114607
14081	Interruptor seccionador	ABC	MTA_S_114607	MTA_L_114607

Topología - Elementos ramales

Nro. equipo	Código	Fase	Nodo origen	Nodo destino
114607_MTA-1	Línea aérea por fase	ABC	MTA_S_114607	MTA_L_114607
2661	Fusible	C	MTA_L_114607	MTA_S_14363
11797_MTA-1	Línea aérea por fase	C	MTA_L_114607	MTA_S_14363
4820	Transformador con dos devanados	C	MTA_S_14363	MTA_L_14363
14363_MTA-1	Línea aérea por fase	C	MTA_S_14363	MTA_L_14363
I14363_MTA-1	Línea aérea por fase	C	MTA_L_14363	IMTA_L_14363
16276_MTS-1	Cable	ABC	MTA_L_114607	MTS_L_16276
47872	Fusible	ABC	MTS_L_16276	MTS_L_16277
16277_MTS-1	Cable	ABC	MTS_L_16276	MTS_L_16277
7015_MTA-1	Línea aérea por fase	ABC	MTA_L_114607	MTA_L_7015
7016_MTA-1	Línea aérea por fase	ABC	MTA_L_7015	MTA_S_11775
114613_MTA-1	Línea aérea por fase	ABC	MTA_S_11775	MTA_L_114613
114614_MTA-1	Línea aérea por fase	ABC	MTA_L_114613	MTA_L_114614
2519	Fusible	ABC	MTA_L_114614	MTA_L_11656
11656_MTA-1	Línea aérea por fase	ABC	MTA_L_114614	MTA_L_11656
10513;10515;7778	Transformador con dos devanados	ABC	MTA_L_11656	MTA_L_13643
13643_MTA-1	Línea aérea por fase	ABC	MTA_L_11656	MTA_L_13643
I13643_MTA-1	Línea aérea por fase	ABC	MTA_L_13643	IMTA_L_13643
7019_MTA-1	Línea aérea por fase	ABC	MTA_L_114614	MTA_L_7019
47873	Fusible	ABC	MTA_L_114615	MTA_L_7019
114616_MTA-1	Línea aérea por fase	ABC	MTA_L_114615	MTA_L_7019
114615_MTA-1	Línea aérea por fase	ABC	MTA_S_11657	MTA_L_114615
114619_MTA-1	Línea aérea por fase	ABC	MTA_S_11657	MTA_L_114619
114620_MTA-1	Línea aérea por fase	ABC	MTA_L_114619	MTA_S_17893
5285	Fusible	B	MTA_S_17893	MTA_L_17891
17891_MTA-1	Línea aérea por fase	B	MTA_S_17893	MTA_L_17891
10138	Transformador con dos devanados	B	MTA_L_17891	MTA_L_17892
17892_MTA-1	Línea aérea por fase	B	MTA_L_17891	MTA_L_17892
I17892_MTA-1	Línea aérea por fase	B	MTA_L_17892	IMTA_L_17892
17893_MTA-1	Línea aérea por fase	ABC	MTA_S_17893	MTA_L_17893
86817	Fusible	B	MTA_S_196606	MTA_L_17893

Topología - Elementos ramales

Nro. equipo	Código	Fase	Nodo origen	Nodo destino
196606_MTA	Línea aérea por fase	B	MTA_S_196606	MTA_L_17893
196605_MTA	Línea aérea por fase	B	MTA_S_196605	MTA_S_196606
47874	Fusible	B	MTA_S_196605	MTA_L_114623
114623_MTA-1	Línea aérea por fase	B	MTA_S_196605	MTA_L_114623
16628	Transformador con dos devanados	B	MTA_L_114623	MTA_L_114624
114624_MTA-1	Línea aérea por fase	B	MTA_L_114623	MTA_L_114624
l114624_MTA-1	Línea aérea por fase	B	MTA_L_114624	IMTA_L_114624
25118	Fusible	ABC	MTA_S_189261	MTA_L_17893
71959_MTA-1	Línea aérea por fase	ABC	MTA_S_189261	MTA_L_17893
13981	Transformador con dos devanados	ABC	MTA_S_189261	MTA_L_189261
189261_MTA-1	Línea aérea por fase	ABC	MTA_S_189261	MTA_L_189261
l189261_MTA-1	Línea aérea por fase	ABC	MTA_L_189261	IMTA_L_189261
2520	Fusible	C	MTA_S_11657	MTA_S_13644
11657_MTA-1	Línea aérea por fase	C	MTA_S_11657	MTA_S_13644
7050	Transformador con dos devanados	C	MTA_S_13644	MTA_L_13644
13644_MTA-1	Línea aérea por fase	C	MTA_S_13644	MTA_L_13644
l13644_MTA-1	Línea aérea por fase	C	MTA_L_13644	IMTA_L_13644
114617_MTA-1	Línea aérea por fase	ABC	MTA_L_7019	MTA_L_114617
47889	Fusible	ABC	MTA_L_114617	MTA_L_114590
114590_MTA-1	Línea aérea por fase	ABC	MTA_L_114617	MTA_L_114590
16055	Transformador con dos devanados	ABC	MTA_L_114590	MTA_L_114591
114591_MTA-1	Línea aérea por fase	ABC	MTA_L_114590	MTA_L_114591
l114591_MTA-1	Línea aérea por fase	ABC	MTA_L_114591	IMTA_L_114591
114618_MTA-1	Línea aérea por fase	ABC	MTA_L_114617	MTA_L_162652
114625_MTA-1	Línea aérea por fase	C	MTA_L_162652	MTA_S_114626
47875	Fusible	C	MTA_S_114626	MTA_S_6647
114626_MTA-1	Línea aérea por fase	C	MTA_S_114626	MTA_S_6647
6647_MTA-1	Línea aérea por fase	C	MTA_S_6647	MTA_S_7974
7974_MTA-1	Línea aérea por fase	C	MTA_S_7974	MTA_S_11658
2521	Fusible	C	MTA_S_11658	MTA_L_11315
11315_MTA-1	Línea aérea por fase	C	MTA_S_11658	MTA_L_11315

Topología - Elementos ramales

Nro. equipo	Código	Fase	Nodo origen	Nodo destino
9443	Transformador con dos devanados	C	MTA_L_11315	MTA_L_13299
13299_MTA-1	Línea aérea por fase	C	MTA_L_11315	MTA_L_13299
I13299_MTA-1	Línea aérea por fase	C	MTA_L_13299	IMTA_L_13299
1307	Fusible	C	MTA_S_11658	MTA_L_11658
11658_MTA-1	Línea aérea por fase	C	MTA_S_11658	MTA_L_11658
7229	Transformador con dos devanados	C	MTA_L_11658	MTA_L_13645
13645_MTA-1	Línea aérea por fase	C	MTA_L_11658	MTA_L_13645
I13645_MTA-1	Línea aérea por fase	C	MTA_L_13645	IMTA_L_13645
6554_MTA-1	Línea aérea por fase	C	MTA_S_11658	MTA_L_6554
47876	Fusible	ABC	MTA_S_114593	MTA_L_162652
162652_MTA-1	Línea aérea por fase	ABC	MTA_S_114593	MTA_L_162652
114593_MTA-1	Línea aérea por fase	ABC	MTA_S_114593	MTA_L_114593
6648_MTA-1	Línea aérea por fase	ABC	MTA_L_114593	MTA_L_6648
2663	Fusible	B	MTA_L_6648	MTA_L_11799
11799_MTA-1	Línea aérea por fase	B	MTA_L_6648	MTA_L_11799
660	Transformador con dos devanados	B	MTA_L_11799	MTA_L_14365
14365_MTA-1	Línea aérea por fase	B	MTA_L_11799	MTA_L_14365
I14365_MTA-1	Línea aérea por fase	B	MTA_L_14365	IMTA_L_14365
6649_MTA-1	Línea aérea por fase	ABC	MTA_L_6648	MTA_L_6649
6650_MTA-1	Línea aérea por fase	ABC	MTA_L_6649	MTA_S_6651
6651_MTA-1	Línea aérea por fase	ABC	MTA_S_6651	MTA_S_6652
6652_MTA-1	Línea aérea por fase	B	MTA_S_6652	MTA_S_6653
6653_MTA-1	Línea aérea por fase	B	MTA_S_6653	MTA_L_6653
6654_MTA-1	Línea aérea por fase	B	MTA_L_6653	MTA_L_6654
2664	Fusible	B	MTA_L_6654	MTA_L_11800
11800_MTA-1	Línea aérea por fase	B	MTA_L_6654	MTA_L_11800
8714	Transformador con dos devanados	B	MTA_L_11800	MTA_L_14366
14366_MTA-1	Línea aérea por fase	B	MTA_L_11800	MTA_L_14366
I14366_MTA-1	Línea aérea por fase	B	MTA_L_14366	IMTA_L_14366
6655_MTA-1	Línea aérea por fase	ABC	MTA_S_6652	MTA_S_7242
115251_MTA-1	Línea aérea por fase	B	MTA_S_7242	MTA_L_115251

Topología - Elementos ramales

Nro. equipo	Código	Fase	Nodo origen	Nodo destino
48507	Fusible	B	MTA_L_115251	MTA_L_115252
115252_MTA-1	Línea aérea por fase	B	MTA_L_115251	MTA_L_115252
6657_MTA-1	Línea aérea por fase	B	MTA_L_115252	MTA_L_6657
7241_MTA-1	Línea aérea por fase	B	MTA_L_6657	MTA_S_11801
2665	Fusible	B	MTA_S_11801	MTA_L_11801
11801_MTA-1	Línea aérea por fase	B	MTA_S_11801	MTA_L_11801
8715	Transformador con dos devanados	B	MTA_L_11801	MTA_L_14367
14367_MTA-1	Línea aérea por fase	B	MTA_L_11801	MTA_L_14367
l14367_MTA-1	Línea aérea por fase	B	MTA_L_14367	IMTA_L_14367
6359	Fusible	A	MTA_S_19160	MTA_S_7242
19160_MTA-1	Línea aérea por fase	A	MTA_S_19160	MTA_S_7242
13281	Transformador con dos devanados	A	MTA_S_19160	MTA_L_189622
189622_MTA-1	Línea aérea por fase	A	MTA_S_19160	MTA_L_189622
l189622_MTA-1	Línea aérea por fase	A	MTA_L_189622	IMTA_L_189622
7242_MTA-1	Línea aérea por fase	ABC	MTA_S_7242	MTA_L_7242
48191	Fusible	B	MTA_L_7242	MTA_L_114969
114969_MTA-1	Línea aérea por fase	B	MTA_L_7242	MTA_L_114969
114970_MTA-1	Línea aérea por fase	B	MTA_L_114969	MTA_L_114970
7244_MTA-1	Línea aérea por fase	B	MTA_L_114970	MTA_S_11802
48192	Fusible	B	MTA_S_11802	MTA_L_114972
114972_MTA-1	Línea aérea por fase	B	MTA_S_11802	MTA_L_114972
16625	Transformador con dos devanados	B	MTA_L_114972	MTA_L_114973
114973_MTA-1	Línea aérea por fase	B	MTA_L_114972	MTA_L_114973
l114973_MTA-1	Línea aérea por fase	B	MTA_L_114973	IMTA_L_114973
2666	Fusible	B	MTA_S_11802	MTA_S_14368
11802_MTA-1	Línea aérea por fase	B	MTA_S_11802	MTA_S_14368
8716	Transformador con dos devanados	B	MTA_S_14368	MTA_L_14368
14368_MTA-1	Línea aérea por fase	B	MTA_S_14368	MTA_L_14368
l14368_MTA-1	Línea aérea por fase	B	MTA_L_14368	IMTA_L_14368
7245_MTA-1	Línea aérea por fase	B	MTA_S_11802	MTA_S_7246
7246_MTA-1	Línea aérea por fase	B	MTA_S_7246	MTA_S_5085

Topología - Elementos ramales

Nro. equipo	Código	Fase	Nodo origen	Nodo destino
5085_MTA-1	Línea aérea por fase	B	MTA_S_5085	MTA_S_5086
5086_MTA-1	Línea aérea por fase	B	MTA_S_5086	MTA_L_5086
5087_MTA-1	Línea aérea por fase	B	MTA_L_5086	MTA_S_11803
2667	Fusible	B	MTA_S_11803	MTA_S_14369
11803_MTA-1	Línea aérea por fase	B	MTA_S_11803	MTA_S_14369
8717	Transformador con dos devanados	B	MTA_S_14369	MTA_L_14369
14369_MTA-1	Línea aérea por fase	B	MTA_S_14369	MTA_L_14369
l14369_MTA-1	Línea aérea por fase	B	MTA_L_14369	IMTA_L_14369
19157_MTA-1	Línea aérea por fase	ABC	MTA_L_7242	MTA_L_19157
6361	Fusible	B	MTA_L_19157	MTA_S_19164
19163_MTA-1	Línea aérea por fase	B	MTA_L_19157	MTA_S_19164
13279	Transformador con dos devanados	B	MTA_S_19164	MTA_L_19164
19164_MTA-1	Línea aérea por fase	B	MTA_S_19164	MTA_L_19164
l19164_MTA-1	Línea aérea por fase	B	MTA_L_19164	IMTA_L_19164
6360	Fusible	A	MTA_L_7242	MTA_S_19162
19161_MTA-1	Línea aérea por fase	A	MTA_L_7242	MTA_S_19162
13280	Transformador con dos devanados	A	MTA_S_19162	MTA_L_19162
19162_MTA-1	Línea aérea por fase	A	MTA_S_19162	MTA_L_19162
l19162_MTA-1	Línea aérea por fase	A	MTA_L_19162	IMTA_L_19162
6664_MTA-1	Línea aérea por fase	ABC	MTA_L_162652	MTA_L_6664
2668	Fusible	A	MTA_L_6664	MTA_L_11804
11804_MTA-1	Línea aérea por fase	A	MTA_L_6664	MTA_L_11804
662	Transformador con dos devanados	A	MTA_L_11804	MTA_L_14370
14370_MTA-1	Línea aérea por fase	A	MTA_L_11804	MTA_L_14370
l14370_MTA-1	Línea aérea por fase	A	MTA_L_14370	IMTA_L_14370
6824_MTA-1	Línea aérea por fase	ABC	MTA_L_6664	MTA_S_115258
115256_MTA-1	Línea aérea por fase	C	MTA_S_115258	MTA_L_115256
48524	Fusible	C	MTA_L_115256	MTA_S_6826
115257_MTA-1	Línea aérea por fase	C	MTA_L_115256	MTA_S_6826
6826_MTA-1	Línea aérea por fase	C	MTA_S_6826	MTA_S_6827
6827_MTA-1	Línea aérea por fase	C	MTA_S_6827	MTA_L_6827

Topología - Elementos ramales

Nro. equipo	Código	Fase	Nodo origen	Nodo destino
2670	Fusible	C	MTA_L_6827	MTA_S_14372
11806_MTA-1	Línea aérea por fase	C	MTA_L_6827	MTA_S_14372
2473	Transformador con dos devanados	C	MTA_S_14372	MTA_L_14372
14372_MTA-1	Línea aérea por fase	C	MTA_S_14372	MTA_L_14372
I14372_MTA-1	Línea aérea por fase	C	MTA_L_14372	IMTA_L_14372
115258_MTA-1	Línea aérea por fase	A	MTA_S_115258	MTA_L_115258
48525	Fusible	A	MTA_L_115258	MTA_S_6410
115259_MTA-1	Línea aérea por fase	A	MTA_L_115258	MTA_S_6410
6410_MTA-1	Línea aérea por fase	A	MTA_S_6410	MTA_S_11805
2669	Fusible	A	MTA_S_11805	MTA_L_11805
11805_MTA-1	Línea aérea por fase	A	MTA_S_11805	MTA_L_11805
9272	Transformador con dos devanados	A	MTA_L_11805	MTA_L_14371
14371_MTA-1	Línea aérea por fase	A	MTA_L_11805	MTA_L_14371
I14371_MTA-1	Línea aérea por fase	A	MTA_L_14371	IMTA_L_14371
6411_MTA-1	Línea aérea por fase	ABC	MTA_S_115258	MTA_S_168459
168459_MTA-1	Línea aérea por fase	ABC	MTA_S_168459	MTA_L_168459
48526	Fusible	ABC	MTA_L_168459	MTS_L_32983
32983_MTS-1	Cable	ABC	MTA_L_168459	MTS_L_32983
32985_MTS-1	Cable	ABC	MTS_L_32983	MTS_L_32985
32987_MTS-1	Cable	ABC	MTS_L_32985	MTS_L_32987
32989_MTS-1	Cable	ABC	MTS_L_32987	MTS_L_32989
21838	Interruptor seccionador	ABC	MTS_L_32989	MTS_L_32990
32990_MTS-1	Cable	ABC	MTS_L_32989	MTS_L_32990
1324	Fusible	ABC	MTS_L_32990	MTS_L_378
378_MTS-1	Cable	ABC	MTS_L_32990	MTS_L_378
13302	Transformador con dos devanados	ABC	MTS_L_378	MTS_L_501
501_MTS-1	Cable	ABC	MTS_L_378	MTS_L_501
I501_MTS-1	Cable	ABC	MTS_L_501	IMTS_L_501
6412_MTA-1	Línea aérea por fase	ABC	MTA_S_168459	MTA_S_6416
115285_MTA-1	Línea aérea por fase	ABC	MTA_S_6416	MTA_S_115286
48540	Fusible	ABC	MTA_S_115286	MTA_L_115286

Topología - Elementos ramales

Nro. equipo	Código	Fase	Nodo origen	Nodo destino
115286_MTA-1	Línea aérea por fase	ABC	MTA_S_115286	MTA_L_115286
6414_MTA-1	Línea aérea por fase	ABC	MTA_L_115286	MTA_L_6414
6415_MTA-1	Línea aérea por fase	ABC	MTA_L_6414	MTA_L_6415
555	Fusible	B	MTA_L_6415	MTA_L_11845
11845_MTA-1	Línea aérea por fase	B	MTA_L_6415	MTA_L_11845
12656	Transformador con dos devanados	B	MTA_L_11845	MTA_L_14411
14411_MTA-1	Línea aérea por fase	B	MTA_L_11845	MTA_L_14411
114411_MTA-1	Línea aérea por fase	B	MTA_L_14411	IMTA_L_14411
17876_MTA-1	Línea aérea por fase	ABC	MTA_L_6415	MTS_L_32976
5279	Fusible	ABC	MTS_S_32979	MTS_L_32976
32976_MTS-1	Cable	ABC	MTS_S_32979	MTS_L_32976
32979_MTS-1	Cable	ABC	MTS_S_32979	MTS_L_32979
32981_MTS-1	Cable	ABC	MTS_L_32979	MTS_L_32981
21837	Interruptor seccionador	ABC	MTS_L_32981	MTS_L_32982
32982_MTS-1	Cable	ABC	MTS_L_32981	MTS_L_32982
5280	Fusible	ABC	MTS_L_32982	MTS_L_1567
1567_MTS-1	Cable	ABC	MTS_L_32982	MTS_L_1567
15907	Transformador con dos devanados	ABC	MTS_L_1567	MTS_L_1872
1872_MTS-1	Cable	ABC	MTS_L_1567	MTS_L_1872
11872_MTS-1	Cable	ABC	MTS_L_1872	IMTS_L_1872
6416_MTA-1	Línea aérea por fase	ABC	MTA_S_6416	MTA_L_6416
6417_MTA-1	Línea aérea por fase	ABC	MTA_S_6417	MTA_L_6416
556	Fusible	B	MTA_S_6417	MTA_L_11846
11846_MTA-1	Línea aérea por fase	B	MTA_S_6417	MTA_L_11846
6367	Transformador con dos devanados	B	MTA_L_11846	MTA_L_14412
14412_MTA-1	Línea aérea por fase	B	MTA_L_11846	MTA_L_14412
114412_MTA-1	Línea aérea por fase	B	MTA_L_14412	IMTA_L_14412
6418_MTA-1	Línea aérea por fase	ABC	MTA_S_6417	MTA_S_6419
557	Fusible	B	MTA_S_6419	MTA_S_14413
11847_MTA-1	Línea aérea por fase	B	MTA_S_6419	MTA_S_14413
673	Transformador con dos devanados	B	MTA_S_14413	MTA_L_14413

Topología - Elementos ramales

Nro. equipo	Código	Fase	Nodo origen	Nodo destino
14413_MTA-1	Línea aérea por fase	B	MTA_S_14413	MTA_L_14413
I14413_MTA-1	Línea aérea por fase	B	MTA_L_14413	IMTA_L_14413
6419_MTA-1	Línea aérea por fase	ABC	MTA_S_6419	MTA_L_6419
14404	Interruptor seccionador	ABC	MTA_L_6419	MTA_L_115566
115566_MTA-1	Línea aérea por fase	ABC	MTA_L_6419	MTA_L_115566
115567_MTA-1	Línea aérea por fase	ABC	MTA_L_115566	MTA_S_7057
6421_MTA-1	Línea aérea por fase	ABC	MTA_S_7057	MTA_S_6422
6422_MTA-1	Línea aérea por fase	ABC	MTA_S_6422	MTA_L_6422
6423_MTA-1	Línea aérea por fase	ABC	MTA_S_6422	MTA_L_6423
6424_MTA-1	Línea aérea por fase	ABC	MTA_L_6423	MTA_L_6424
558	Fusible	A	MTA_L_6424	MTA_L_11848
11848_MTA-1	Línea aérea por fase	A	MTA_L_6424	MTA_L_11848
674	Transformador con dos devanados	A	MTA_L_11848	MTA_L_14414
14414_MTA-1	Línea aérea por fase	A	MTA_L_11848	MTA_L_14414
I14414_MTA-1	Línea aérea por fase	A	MTA_L_14414	IMTA_L_14414
1628_MTA-1	Línea aérea por fase	ABC	MTA_L_6424	MTA_S_1629
1629_MTA-1	Línea aérea por fase	ABC	MTA_S_1629	MTA_L_1629
1630_MTA-1	Línea aérea por fase	ABC	MTA_L_1629	MTA_L_1630
1631_MTA-1	Línea aérea por fase	B	MTA_L_1630	MTA_S_1632
1632_MTA-1	Línea aérea por fase	B	MTA_S_1632	MTA_S_1633
1633_MTA-1	Línea aérea por fase	B	MTA_S_1633	MTA_S_11849
559	Fusible	B	MTA_S_11849	MTA_S_14415
11849_MTA-1	Línea aérea por fase	B	MTA_S_11849	MTA_S_14415
2392	Transformador con dos devanados	B	MTA_S_14415	MTA_L_14415
14415_MTA-1	Línea aérea por fase	B	MTA_S_14415	MTA_L_14415
I14415_MTA-1	Línea aérea por fase	B	MTA_L_14415	IMTA_L_14415
1634_MTA-1	Línea aérea por fase	B	MTA_L_1630	MTA_L_1634
1635_MTA-1	Línea aérea por fase	ABC	MTA_L_1630	MTA_S_1636
560	Fusible	AB	MTA_S_1636	MTA_S_14416
11850_MTA-1	Línea aérea por fase	AB	MTA_S_1636	MTA_S_14416
679;678	Transformador con dos devanados	AB	MTA_S_14416	MTA_L_14416

Topología - Elementos ramales

Nro. equipo	Código	Fase	Nodo origen	Nodo destino
14416_MTA-1	Línea aérea por fase	AB	MTA_S_14416	MTA_L_14416
l14416_MTA-1	Línea aérea por fase	AB	MTA_L_14416	IMTA_L_14416
1636_MTA-1	Línea aérea por fase	ABC	MTA_S_1636	MTA_S_1637
1637_MTA-1	Línea aérea por fase	ABC	MTA_S_1637	MTA_L_1637
115861_MTA-1	Línea aérea por fase	ABC	MTA_L_1637	MTA_S_115862
48516	Fusible	ABC	MTA_S_115862	MTA_S_1639
115862_MTA-1	Línea aérea por fase	ABC	MTA_S_115862	MTA_S_1639
1639_MTA-1	Línea aérea por fase	ABC	MTA_S_1639	MTA_L_1639
2426	Fusible	ABC	MTA_S_1639	MTS_L_396
396_MTS-1	Cable	ABC	MTA_S_1639	MTS_L_396
12395	Transformador con dos devanados	ABC	MTS_L_396	MTS_L_521
521_MTS-1	Cable	ABC	MTS_L_396	MTS_L_521
l521_MTS-1	Cable	ABC	MTS_L_521	IMTS_L_521
24475	Fusible	ABC	MTA_S_6422	MTA_L_165866
71005_MTA-1	Línea aérea por fase	ABC	MTA_S_6422	MTA_L_165866
7057_MTA-1	Línea aérea por fase	ABC	MTA_S_7057	MTA_L_7057
7058_MTA-1	Línea aérea por fase	ABC	MTA_S_7057	MTA_S_6682
561	Fusible	B	MTA_S_6682	MTA_L_11851
11851_MTA-1	Línea aérea por fase	B	MTA_S_6682	MTA_L_11851
680	Transformador con dos devanados	B	MTA_L_11851	MTA_L_14417
14417_MTA-1	Línea aérea por fase	B	MTA_L_11851	MTA_L_14417
l14417_MTA-1	Línea aérea por fase	B	MTA_L_14417	IMTA_L_14417
6682_MTA-1	Línea aérea por fase	ABC	MTA_S_6682	MTA_S_6683
6683_MTA-1	Línea aérea por fase	ABC	MTA_S_6683	MTA_S_6684
6684_MTA-1	Línea aérea por fase	ABC	MTA_S_6684	MTA_L_6684
1604_MTA-1	Línea aérea por fase	ABC	MTA_L_6684	MTA_S_1605
1605_MTA-1	Línea aérea por fase	ABC	MTA_S_1605	MTA_S_6783
6783_MTA-1	Línea aérea por fase	ABC	MTA_S_6783	MTA_S_6784
6784_MTA-1	Línea aérea por fase	ABC	MTA_S_6784	MTA_L_6784
115895_MTA-1	Línea aérea por fase	ABC	MTA_L_6784	MTA_L_115895
14405	Interruptor seccionador	ABC	MTA_L_115895	MTA_L_115896

Topología - Elementos ramales

Nro. equipo	Código	Fase	Nodo origen	Nodo destino
115896_MTA-1	Línea aérea por fase	ABC	MTA_L_115895	MTA_L_115896
6786_MTA-1	Línea aérea por fase	ABC	MTA_L_115896	MTA_L_6786
6787_MTA-1	Línea aérea por fase	ABC	MTA_L_6786	MTA_S_7258
6788_MTA-1	Línea aérea por fase	ABC	MTA_S_7258	MTA_L_6788
6789_MTA-1	Línea aérea por fase	ABC	MTA_S_7258	MTA_L_6789
2427	Fusible	ABC	MTA_L_6789	MTA_S_13555
11568_MTA-1	Línea aérea por fase	ABC	MTA_L_6789	MTA_S_13555
681	Transformador con dos devanados	ABC	MTA_S_13555	MTA_L_13555
13555_MTA-1	Línea aérea por fase	ABC	MTA_S_13555	MTA_L_13555
l13555_MTA-1	Línea aérea por fase	ABC	MTA_L_13555	IMTA_L_13555
6790_MTA-1	Línea aérea por fase	ABC	MTA_L_6789	MTA_S_6791
6791_MTA-1	Línea aérea por fase	BC	MTA_S_6791	MTA_L_6791
48548	Fusible	B	MTA_L_6791	MTA_L_115897
115897_MTA-1	Línea aérea por fase	B	MTA_L_6791	MTA_L_115897
115898_MTA-1	Línea aérea por fase	B	MTA_L_115897	MTA_S_6795
6793_MTA-1	Línea aérea por fase	B	MTA_S_6795	MTA_S_9922
656	Fusible	B	MTA_S_9922	MTA_L_9922
9922_MTA-1	Línea aérea por fase	B	MTA_S_9922	MTA_L_9922
16946	Transformador con dos devanados	B	MTA_L_9922	MTA_L_14145
14145_MTA-1	Línea aérea por fase	B	MTA_L_9922	MTA_L_14145
l14145_MTA-1	Línea aérea por fase	B	MTA_L_14145	IMTA_L_14145
6794_MTA-1	Línea aérea por fase	B	MTA_S_6795	MTA_L_6794
6795_MTA-1	Línea aérea por fase	B	MTA_S_6795	MTA_L_6795
7258_MTA-1	Línea aérea por fase	ABC	MTA_S_7258	MTA_S_7259
7259_MTA-1	Línea aérea por fase	ABC	MTA_S_7259	MTA_L_7259
7260_MTA-1	Línea aérea por fase	ABC	MTA_L_7259	MTA_S_7261
4967	Fusible	ABC	MTA_S_7261	MTA_S_17589
17588_MTA-1	Línea aérea por fase	ABC	MTA_S_7261	MTA_S_17589
14150	Transformador con dos devanados	ABC	MTA_S_17589	MTA_L_17589
17589_MTA-1	Línea aérea por fase	ABC	MTA_S_17589	MTA_L_17589
l17589_MTA-1	Línea aérea por fase	ABC	MTA_L_17589	IMTA_L_17589

Topología - Elementos ramales

Nro. equipo	Código	Fase	Nodo origen	Nodo destino
7261_MTA-1	Línea aérea por fase	ABC	MTA_S_7261	MTA_S_11569
2428	Fusible	A	MTA_S_11569	MTA_S_13556
11569_MTA-1	Línea aérea por fase	A	MTA_S_11569	MTA_S_13556
8304	Transformador con dos devanados	A	MTA_S_13556	MTA_L_13556
13556_MTA-1	Línea aérea por fase	A	MTA_S_13556	MTA_L_13556
I13556_MTA-1	Línea aérea por fase	A	MTA_L_13556	IMTA_L_13556
7262_MTA-1	Línea aérea por fase	ABC	MTA_S_11569	MTA_S_11570
2429	Fusible	ABC	MTA_S_11570	MTA_S_13557
11570_MTA-1	Línea aérea por fase	ABC	MTA_S_11570	MTA_S_13557
686;687;685	Transformador con dos devanados	ABC	MTA_S_13557	MTA_L_13557
13557_MTA-1	Línea aérea por fase	ABC	MTA_S_13557	MTA_L_13557
I13557_MTA-1	Línea aérea por fase	ABC	MTA_L_13557	IMTA_L_13557
7263_MTA-1	Línea aérea por fase	ABC	MTA_S_11570	MTA_L_7263
93551	Fusible	ABC	MTA_L_7263	MTA_L_206834
206834_MTA-1	Línea aérea por fase	ABC	MTA_L_7263	MTA_L_206834
18230	Transformador con dos devanados	ABC	MTA_L_206834	MTA_L_206835
206835_MTA-1	Línea aérea por fase	ABC	MTA_L_206834	MTA_L_206835
I206835_MTA-1	Línea aérea por fase	ABC	MTA_L_206835	IMTA_L_206835
7264_MTA-1	Línea aérea por fase	ABC	MTA_L_7263	MTA_S_7265
7265_MTA-1	Línea aérea por fase	ABC	MTA_S_7265	MTA_L_7265
48530	Fusible	ABC	MTA_L_7265	MTA_L_115883
115883_MTA-1	Línea aérea por fase	ABC	MTA_L_7265	MTA_L_115883
115884_MTA-1	Línea aérea por fase	ABC	MTA_L_115883	MTA_L_115884
7267_MTA-1	Línea aérea por fase	ABC	MTA_L_115884	MTA_S_7268
7268_MTA-1	Línea aérea por fase	ABC	MTA_S_7268	MTA_S_7910
14572_MTA-1	Línea aérea por fase	B	MTA_S_7910	MTA_L_14572
7559_MTA-1	Línea aérea por fase	ABC	MTA_S_7910	MTA_S_7912
7912_MTA-1	Línea aérea por fase	ABC	MTA_S_7912	MTA_S_7916
14573_MTA-1	Línea aérea por fase	C	MTA_S_7916	MTA_L_14573
7913_MTA-1	Línea aérea por fase	ABC	MTA_S_7916	MTA_L_7913
7914_MTA-1	Línea aérea por fase	ABC	MTA_L_7913	MTA_L_7914

Topología - Elementos ramales

Nro. equipo	Código	Fase	Nodo origen	Nodo destino
7915_MTA-1	Línea aérea por fase	ABC	MTA_L_7914	MTA_S_5862
5862_MTA-1	Línea aérea por fase	ABC	MTA_S_5862	MTA_L_5862
5794_MTA-1	Línea aérea por fase	ABC	MTA_L_5862	MTA_S_5795
5795_MTA-1	Línea aérea por fase	ABC	MTA_S_5795	MTA_S_8095
1238	Fusible	B	MTA_S_8095	MTA_S_14315
10557_MTA-1	Línea aérea por fase	B	MTA_S_8095	MTA_S_14315
690	Transformador con dos devanados	B	MTA_S_14315	MTA_L_14315
14315_MTA-1	Línea aérea por fase	B	MTA_S_14315	MTA_L_14315
I14315_MTA-1	Línea aérea por fase	B	MTA_L_14315	IMTA_L_14315
8095_MTA-1	Línea aérea por fase	ABC	MTA_S_8095	MTA_S_8096
8096_MTA-1	Línea aérea por fase	ABC	MTA_S_8096	MTA_S_10544
1220	Fusible	ABC	MTA_S_10544	MTA_L_10544
10544_MTA-1	Línea aérea por fase	ABC	MTA_S_10544	MTA_L_10544
13986	Transformador con dos devanados	ABC	MTA_L_10544	MTA_L_14301
14301_MTA-1	Línea aérea por fase	ABC	MTA_L_10544	MTA_L_14301
I14301_MTA-1	Línea aérea por fase	ABC	MTA_L_14301	IMTA_L_14301
8097_MTA-1	Línea aérea por fase	ABC	MTA_S_10544	MTA_S_8098
6871_MTA-1	Línea aérea por fase	ABC	MTA_S_8098	MTA_S_7207
1285	Fusible	B	MTA_S_7207	MTA_L_10600
10600_MTA-1	Línea aérea por fase	B	MTA_S_7207	MTA_L_10600
693	Transformador con dos devanados	B	MTA_L_10600	MTA_L_12605
12605_MTA-1	Línea aérea por fase	B	MTA_L_10600	MTA_L_12605
I12605_MTA-1	Línea aérea por fase	B	MTA_L_12605	IMTA_L_12605
7207_MTA-1	Línea aérea por fase	ABC	MTA_S_7207	MTA_S_6666
6666_MTA-1	Línea aérea por fase	ABC	MTA_S_6666	MTA_S_6667
169726_MTA-1	Línea aérea por fase	ABC	MTA_S_6667	MTA_S_169727
48828	Fusible	ABC	MTA_S_169727	MTA_L_169727
169727_MTA-1	Línea aérea por fase	ABC	MTA_S_169727	MTA_L_169727
116200_MTA-1	Línea aérea por fase	ABC	MTA_L_169727	MTA_L_116200
63731_MTA-1	Línea aérea por fase	ABC	MTA_L_116200	MTA_S_7925
1308	Fusible	B	MTA_S_7925	MTA_S_13300

Topología - Elementos ramales

Nro. equipo	Código	Fase	Nodo origen	Nodo destino
10601_MTA-1	Línea aérea por fase	B	MTA_S_7925	MTA_S_13300
694	Transformador con dos devanados	B	MTA_S_13300	MTA_L_13300
13300_MTA-1	Línea aérea por fase	B	MTA_S_13300	MTA_L_13300
l13300_MTA-1	Línea aérea por fase	B	MTA_L_13300	IMTA_L_13300
32917_MTA-1	Línea aérea por fase	ABC	MTA_S_7925	MTA_L_32917
1286	Fusible	ABC	MTA_L_32917	MTS_L_32994
32994_MTS-1	Cable	ABC	MTA_L_32917	MTS_L_32994
32995_MTS-1	Cable	ABC	MTS_S_32995	MTS_L_32994
32996_MTS-1	Cable	ABC	MTS_S_32995	MTS_L_32996
21840	Interruptor seccionador	ABC	MTS_L_32996	MTS_L_32997
32997_MTS-1	Cable	ABC	MTS_L_32996	MTS_L_32997
32998_MTS-1	Cable	ABC	MTS_L_32997	MTS_L_32998
72225	Fusible	ABC	MTS_L_32998	MTS_L_33000
33000_MTS-1	Cable	ABC	MTS_L_32998	MTS_L_33000
12154	Transformador con dos devanados	ABC	MTS_L_33000	MTS_L_33001
33001_MTS-1	Cable	ABC	MTS_L_33000	MTS_L_33001
l33001_MTS-1	Cable	ABC	MTS_L_33001	IMTS_L_33001
7925_MTA-1	Línea aérea por fase	ABC	MTA_S_7925	MTA_S_7770
6672_MTA-1	Línea aérea por fase	ABC	MTA_S_7770	MTA_S_200727
200727_MTA-1	Línea aérea por fase	ABC	MTA_S_200727	MTS_S_45134
89061	Fusible	ABC	MTS_S_45134	MTS_L_45134
45134_MTS-1	Cable	ABC	MTS_S_45134	MTS_L_45134
45135_MTS-1	Cable	ABC	MTS_L_45134	MTS_L_45135
45133_MTS-1	Cable	ABC	MTS_L_45135	MTS_L_45133
45131_MTS-1	Cable	ABC	MTS_L_45133	MTS_L_45131
91655	Fusible	ABC	MTS_L_45131	MTS_L_46781
46781_MTS-1	Cable	ABC	MTS_L_45131	MTS_L_46781
18096	Transformador con dos devanados	ABC	MTS_L_46781	MTS_L_46782
46782_MTS-1	Cable	ABC	MTS_L_46781	MTS_L_46782
l46782_MTS-1	Cable	ABC	MTS_L_46782	IMTS_L_46782
6673_MTA-1	Línea aérea por fase	ABC	MTA_S_200727	MTA_S_6674

Topología - Elementos ramales

Nro. equipo	Código	Fase	Nodo origen	Nodo destino
6674_MTA-1	Línea aérea por fase	ABC	MTA_S_6674	MTA_S_6675
1668_MTA-1	Línea aérea por fase	ABC	MTA_S_6675	MTA_L_1668
22140	Fusible	C	MTA_L_1668	MTA_L_63733
63733_MTA-1	Línea aérea por fase	C	MTA_L_1668	MTA_L_63733
63734_MTA-1	Línea aérea por fase	C	MTA_L_63733	MTA_L_63734
1670_MTA-1	Línea aérea por fase	C	MTA_L_63734	MTA_L_1670
1671_MTA-1	Línea aérea por fase	C	MTA_L_63734	MTA_L_1671
1672_MTA-1	Línea aérea por fase	C	MTA_L_1671	MTA_S_10605
1349	Fusible	C	MTA_S_10605	MTA_S_12610
10605_MTA-1	Línea aérea por fase	C	MTA_S_10605	MTA_S_12610
7907	Transformador con dos devanados	C	MTA_S_12610	MTA_L_12610
12610_MTA-1	Línea aérea por fase	C	MTA_S_12610	MTA_L_12610
I12610_MTA-1	Línea aérea por fase	C	MTA_L_12610	IMTA_L_12610
1673_MTA-1	Línea aérea por fase	C	MTA_L_63734	MTA_S_1674
1674_MTA-1	Línea aérea por fase	C	MTA_S_1674	MTA_S_1675
1675_MTA-1	Línea aérea por fase	C	MTA_S_1675	MTA_S_1678
1676_MTA-1	Línea aérea por fase	C	MTA_S_1678	MTA_L_1676
1677_MTA-1	Línea aérea por fase	C	MTA_S_1678	MTA_L_1677
1678_MTA-1	Línea aérea por fase	C	MTA_S_1678	MTA_S_6928
1350	Fusible	C	MTA_S_6928	MTA_L_10606
10606_MTA-1	Línea aérea por fase	C	MTA_S_6928	MTA_L_10606
10735	Transformador con dos devanados	C	MTA_L_10606	MTA_L_12611
12611_MTA-1	Línea aérea por fase	C	MTA_L_10606	MTA_L_12611
I12611_MTA-1	Línea aérea por fase	C	MTA_L_12611	IMTA_L_12611
6928_MTA-1	Línea aérea por fase	C	MTA_S_6928	MTA_S_17586
116201_MTA-1	Línea aérea por fase	C	MTA_S_116201	MTA_S_17586
48830	Fusible	C	MTA_S_116201	MTA_L_116203
116203_MTA-1	Línea aérea por fase	C	MTA_S_116201	MTA_L_116203
15896	Transformador con dos devanados	C	MTA_L_116203	MTA_L_116204
116204_MTA-1	Línea aérea por fase	C	MTA_L_116203	MTA_L_116204
I116204_MTA-1	Línea aérea por fase	C	MTA_L_116204	IMTA_L_116204

Topología - Elementos ramales

Nro. equipo	Código	Fase	Nodo origen	Nodo destino
4966	Fusible	C	MTA_S_17586	MTA_S_17587
17586_MTA-1	Línea aérea por fase	C	MTA_S_17586	MTA_S_17587
13967	Transformador con dos devanados	C	MTA_S_17587	MTA_L_17587
17587_MTA-1	Línea aérea por fase	C	MTA_S_17587	MTA_L_17587
I17587_MTA-1	Línea aérea por fase	C	MTA_L_17587	IMTA_L_17587
22141	Fusible	C	MTA_S_17586	MTA_L_63735
63735_MTA-1	Línea aérea por fase	C	MTA_S_17586	MTA_L_63735
63736_MTA-1	Línea aérea por fase	C	MTA_L_63735	MTA_S_10463
1683	Fusible	C	MTA_S_10463	MTA_S_14219
10463_MTA-1	Línea aérea por fase	C	MTA_S_10463	MTA_S_14219
12640	Transformador con dos devanados	C	MTA_S_14219	MTA_L_14219
14219_MTA-1	Línea aérea por fase	C	MTA_S_14219	MTA_L_14219
I14219_MTA-1	Línea aérea por fase	C	MTA_L_14219	IMTA_L_14219
63737_MTA-1	Línea aérea por fase	C	MTA_S_10463	MTA_S_63738
63738_MTA-1	Línea aérea por fase	C	MTA_S_63738	MTA_S_116206
48844	Fusible	C	MTA_S_116206	MTA_L_116206
116206_MTA-1	Línea aérea por fase	C	MTA_S_116206	MTA_L_116206
16048	Transformador con dos devanados	C	MTA_L_116206	MTA_L_116207
116207_MTA-1	Línea aérea por fase	C	MTA_L_116206	MTA_L_116207
I116207_MTA-1	Línea aérea por fase	C	MTA_L_116207	IMTA_L_116207
6675_MTA-1	Línea aérea por fase	ABC	MTA_S_6675	MTA_L_6675
6676_MTA-1	Línea aérea por fase	ABC	MTA_S_6675	MTA_S_6677
6677_MTA-1	Línea aérea por fase	ABC	MTA_S_6677	MTA_S_10604
1348	Fusible	C	MTA_S_10604	MTA_S_12609
10604_MTA-1	Línea aérea por fase	C	MTA_S_10604	MTA_S_12609
696	Transformador con dos devanados	C	MTA_S_12609	MTA_L_12609
12609_MTA-1	Línea aérea por fase	C	MTA_S_12609	MTA_L_12609
I12609_MTA-1	Línea aérea por fase	C	MTA_L_12609	IMTA_L_12609
17579_MTA-1	Línea aérea por fase	ABC	MTA_S_10604	MTA_S_17581
4963	Fusible	ABC	MTA_S_17581	MTA_S_17582
17581_MTA-1	Línea aérea por fase	ABC	MTA_S_17581	MTA_S_17582

Topología - Elementos ramales

Nro. equipo	Código	Fase	Nodo origen	Nodo destino
14371	Transformador con dos devanados	ABC	MTA_S_17582	MTA_L_17582
17582_MTA-1	Línea aérea por fase	ABC	MTA_S_17582	MTA_L_17582
I17582_MTA-1	Línea aérea por fase	ABC	MTA_L_17582	IMTA_L_17582
7769_MTA-1	Línea aérea por fase	B	MTA_S_7770	MTA_S_10602
1287	Fusible	B	MTA_S_10602	MTA_S_12607
10602_MTA-1	Línea aérea por fase	B	MTA_S_10602	MTA_S_12607
10913	Transformador con dos devanados	B	MTA_S_12607	MTA_L_12607
12607_MTA-1	Línea aérea por fase	B	MTA_S_12607	MTA_L_12607
I12607_MTA-1	Línea aérea por fase	B	MTA_L_12607	IMTA_L_12607
7770_MTA-1	Línea aérea por fase	B	MTA_S_7770	MTA_S_7771
7771_MTA-1	Línea aérea por fase	B	MTA_S_7771	MTA_S_6465
6465_MTA-1	Línea aérea por fase	B	MTA_S_6465	MTA_S_10603
1288	Fusible	B	MTA_S_10603	MTA_L_10603
10603_MTA-1	Línea aérea por fase	B	MTA_S_10603	MTA_L_10603
695	Transformador con dos devanados	B	MTA_L_10603	MTA_L_12608
12608_MTA-1	Línea aérea por fase	B	MTA_L_10603	MTA_L_12608
I12608_MTA-1	Línea aérea por fase	B	MTA_L_12608	IMTA_L_12608
168761_MTA-1	Línea aérea por fase	ABC	MTS_S_33291	MTA_L_169727
48827	Fusible	ABC	MTS_S_33291	MTS_L_33291
33291_MTS-1	Cable	ABC	MTS_S_33291	MTS_L_33291
33293_MTS-1	Cable	ABC	MTS_L_33291	MTS_L_33293
33295_MTS-1	Cable	ABC	MTS_L_33293	MTS_L_33295
33297_MTS-1	Cable	ABC	MTS_L_33295	MTS_L_33297
21849	Interruptor seccionador	ABC	MTS_L_33297	MTS_L_33298
33298_MTS-1	Cable	ABC	MTS_L_33297	MTS_L_33298
2421	Fusible	ABC	MTS_L_33298	MTS_L_395
395_MTS-1	Cable	ABC	MTS_L_33298	MTS_L_395
15589	Transformador con dos devanados	ABC	MTS_L_395	MTS_L_520
520_MTS-1	Cable	ABC	MTS_L_395	MTS_L_520
I520_MTS-1	Cable	ABC	MTS_L_520	IMTS_L_520
6667_MTA-1	Línea aérea por fase	ABC	MTA_S_6667	MTA_L_6667

Topología - Elementos ramales

Nro. equipo	Código	Fase	Nodo origen	Nodo destino
6930_MTA-1	Línea aérea por fase	ABC	MTA_S_6667	MTA_L_6930
6931_MTA-1	Línea aérea por fase	ABC	MTA_L_6930	MTA_L_6931
63771	Fusible	ABC	MTA_L_6931	MTA_L_151123
151123_MTA-1	Línea aérea por fase	ABC	MTA_L_6931	MTA_L_151123
151124_MTA-1	Línea aérea por fase	ABC	MTA_L_151123	MTA_S_6933
6933_MTA-1	Línea aérea por fase	ABC	MTA_S_6933	MTA_S_6367
6367_MTA-1	Línea aérea por fase	ABC	MTA_S_6367	MTA_S_6368
6368_MTA-1	Línea aérea por fase	ABC	MTA_S_6368	MTA_S_6369
6369_MTA-1	Línea aérea por fase	ABC	MTA_S_6369	MTA_S_7372
7372_MTA-1	Línea aérea por fase	ABC	MTA_S_7372	MTA_S_7373
562	Fusible	B	MTA_S_7373	MTA_S_14418
11852_MTA-1	Línea aérea por fase	B	MTA_S_7373	MTA_S_14418
17413	Transformador con dos devanados	B	MTA_S_14418	MTA_L_14418
14418_MTA-1	Línea aérea por fase	B	MTA_S_14418	MTA_L_14418
114418_MTA-1	Línea aérea por fase	B	MTA_L_14418	IMTA_L_14418
7373_MTA-1	Línea aérea por fase	ABC	MTA_S_7373	MTA_S_7374
7374_MTA-1	Línea aérea por fase	ABC	MTA_S_7374	MTA_L_7374
25495	Fusible	ABC	MTA_L_7374	MTA_L_7375
7375_MTA-1	Línea aérea por fase	ABC	MTA_L_7374	MTA_L_7375
74208_MTA-1	Línea aérea por fase	ABC	MTA_L_7375	MTA_S_7377
5680_MTA-1	Línea aérea por fase	B	MTA_S_7377	MTA_L_5680
6466_MTA-1	Línea aérea por fase	B	MTA_S_7377	MTA_S_6467
6467_MTA-1	Línea aérea por fase	B	MTA_S_6467	MTA_S_6921
6921_MTA-1	Línea aérea por fase	B	MTA_S_6921	MTA_L_6921
7377_MTA-1	Línea aérea por fase	ABC	MTA_S_7377	MTA_S_7378
7378_MTA-1	Línea aérea por fase	ABC	MTA_S_7378	MTA_L_7378
7379_MTA-1	Línea aérea por fase	ABC	MTA_L_7378	MTA_L_7379
7380_MTA-1	Línea aérea por fase	ABC	MTA_L_7379	MTA_L_7381
7381_MTA-1	Línea aérea por fase	ABC	MTA_S_7382	MTA_L_7381
6922_MTA-1	Línea aérea por fase	C	MTA_S_7382	MTA_L_6922
6923_MTA-1	Línea aérea por fase	C	MTA_S_7382	MTA_L_6923

Topología - Elementos ramales

Nro. equipo	Código	Fase	Nodo origen	Nodo destino
6924_MTA-1	Línea aérea por fase	C	MTA_L_6923	MTA_L_6924
563	Fusible	C	MTA_L_6924	MTA_L_11853
11853_MTA-1	Línea aérea por fase	C	MTA_L_6924	MTA_L_11853
5601	Transformador con dos devanados	C	MTA_L_11853	MTA_L_14419
14419_MTA-1	Línea aérea por fase	C	MTA_L_11853	MTA_L_14419
I14419_MTA-1	Línea aérea por fase	C	MTA_L_14419	IMTA_L_14419
7382_MTA-1	Línea aérea por fase	ABC	MTA_S_7382	MTA_S_6774
6774_MTA-1	Línea aérea por fase	ABC	MTA_S_6774	MTA_S_6775
6775_MTA-1	Línea aérea por fase	ABC	MTA_S_6775	MTA_S_6776
6776_MTA-1	Línea aérea por fase	ABC	MTA_S_6776	MTA_L_6776
6777_MTA-1	Línea aérea por fase	ABC	MTA_L_6776	MTA_S_6778
565	Fusible	B	MTA_S_6778	MTA_L_11855
11855_MTA-1	Línea aérea por fase	B	MTA_S_6778	MTA_L_11855
5852	Transformador con dos devanados	B	MTA_L_11855	MTA_L_14421
14421_MTA-1	Línea aérea por fase	B	MTA_L_11855	MTA_L_14421
I14421_MTA-1	Línea aérea por fase	B	MTA_L_14421	IMTA_L_14421
6778_MTA-1	Línea aérea por fase	ABC	MTA_S_6778	MTA_S_6611
6611_MTA-1	Línea aérea por fase	ABC	MTA_S_6611	MTA_L_6611
5677_MTA-1	Línea aérea por fase	ABC	MTA_L_6611	MTA_S_8071
14574_MTA-1	Línea aérea por fase	C	MTA_S_8071	MTA_L_14574
5678_MTA-1	Línea aérea por fase	ABC	MTA_S_8071	MTA_L_5678
27907	Interruptor seccionador	ABC	MTA_L_5678	MTA_S_217106
217105_MTA-1	Línea aérea por fase	ABC	MTA_L_5678	MTA_S_217106
8071_MTA-1	Línea aérea por fase	C	MTA_S_8071	MTA_S_11856
566	Fusible	C	MTA_S_11856	MTA_S_14422
11856_MTA-1	Línea aérea por fase	C	MTA_S_11856	MTA_S_14422
706	Transformador con dos devanados	C	MTA_S_14422	MTA_L_14422
14422_MTA-1	Línea aérea por fase	C	MTA_S_14422	MTA_L_14422
I14422_MTA-1	Línea aérea por fase	C	MTA_L_14422	IMTA_L_14422
6925_MTA-1	Línea aérea por fase	A	MTA_S_6775	MTA_L_6925
6926_MTA-1	Línea aérea por fase	A	MTA_S_6775	MTA_L_6926

Topología - Elementos ramales

Nro. equipo	Código	Fase	Nodo origen	Nodo destino
564	Fusible	A	MTA_L_6926	MTA_L_11854
11854_MTA-1	Línea aérea por fase	A	MTA_L_6926	MTA_L_11854
704	Transformador con dos devanados	A	MTA_L_11854	MTA_L_14420
14420_MTA-1	Línea aérea por fase	A	MTA_L_11854	MTA_L_14420
I14420_MTA-1	Línea aérea por fase	A	MTA_L_14420	IMTA_L_14420
6934_MTA-1	Línea aérea por fase	ABC	MTA_S_6367	MTA_L_6934
74209_MTA-1	Línea aérea por fase	ABC	MTA_S_6367	MTA_L_74209
26079	Fusible	ABC	MTA_L_74209	MTA_L_74210
74210_MTA-1	Línea aérea por fase	ABC	MTA_L_74209	MTA_L_74210
74239_MTA-1	Línea aérea por fase	ABC	MTA_L_74210	MTA_S_6937
1684	Fusible	A	MTA_S_6937	MTA_S_14220
10464_MTA-1	Línea aérea por fase	A	MTA_S_6937	MTA_S_14220
16214	Transformador con dos devanados	A	MTA_S_14220	MTA_L_14220
14220_MTA-1	Línea aérea por fase	A	MTA_S_14220	MTA_L_14220
I14220_MTA-1	Línea aérea por fase	A	MTA_L_14220	IMTA_L_14220
6937_MTA-1	Línea aérea por fase	ABC	MTA_S_6937	MTA_S_6938
6938_MTA-1	Línea aérea por fase	ABC	MTA_S_6938	MTA_S_6939
6939_MTA-1	Línea aérea por fase	ABC	MTA_S_6939	MTA_S_6546
6546_MTA-1	Línea aérea por fase	ABC	MTA_S_6546	MTA_L_6546
5142_MTA-1	Línea aérea por fase	ABC	MTA_L_6546	MTA_L_5142
1688	Fusible	A	MTA_L_5142	MTA_S_14224
10468_MTA-1	Línea aérea por fase	A	MTA_L_5142	MTA_S_14224
14591	Transformador con dos devanados	A	MTA_S_14224	MTA_L_14224
14224_MTA-1	Línea aérea por fase	A	MTA_S_14224	MTA_L_14224
I14224_MTA-1	Línea aérea por fase	A	MTA_L_14224	IMTA_L_14224
6358_MTA-1	Línea aérea por fase	ABC	MTA_L_5142	MTA_S_6359
6359_MTA-1	Línea aérea por fase	ABC	MTA_S_6359	MTA_S_74241
74241_MTA-1	Línea aérea por fase	C	MTA_S_74241	MTA_L_74241
25494	Fusible	C	MTA_L_74241	MTA_L_74242
74242_MTA-1	Línea aérea por fase	C	MTA_L_74241	MTA_L_74242
6361_MTA-1	Línea aérea por fase	C	MTA_L_74242	MTA_S_8218

Topología - Elementos ramales

Nro. equipo	Código	Fase	Nodo origen	Nodo destino
1689	Fusible	C	MTA_S_8218	MTA_L_10469
10469_MTA-1	Línea aérea por fase	C	MTA_S_8218	MTA_L_10469
10530	Transformador con dos devanados	C	MTA_L_10469	MTA_L_14225
14225_MTA-1	Línea aérea por fase	C	MTA_L_10469	MTA_L_14225
I14225_MTA-1	Línea aérea por fase	C	MTA_L_14225	IMTA_L_14225
8218_MTA-1	Línea aérea por fase	C	MTA_S_8218	MTA_L_8218
6484_MTA-1	Línea aérea por fase	C	MTA_L_8218	MTA_S_6362
6362_MTA-1	Línea aérea por fase	C	MTA_S_6362	MTA_L_6362
6363_MTA-1	Línea aérea por fase	C	MTA_L_6362	MTA_L_6363
6364_MTA-1	Línea aérea por fase	C	MTA_L_6363	MTA_L_6364
6365_MTA-1	Línea aérea por fase	C	MTA_L_6364	MTA_L_6365
6366_MTA-1	Línea aérea por fase	C	MTA_L_6365	MTA_L_6366
2339	Fusible	C	MTA_L_6366	MTA_S_13472
11487_MTA-1	Línea aérea por fase	C	MTA_L_6366	MTA_S_13472
12950	Transformador con dos devanados	C	MTA_S_13472	MTA_L_13472
13472_MTA-1	Línea aérea por fase	C	MTA_S_13472	MTA_L_13472
I13472_MTA-1	Línea aérea por fase	C	MTA_L_13472	IMTA_L_13472
6940_MTA-1	Línea aérea por fase	ABC	MTA_S_6546	MTA_L_6940
6941_MTA-1	Línea aérea por fase	ABC	MTA_S_6546	MTA_S_116513
116513_MTA-1	Línea aérea por fase	ABC	MTA_S_116513	MTA_S_116514
116514_MTA-1	Línea aérea por fase	ABC	MTA_S_116514	MTA_L_116514
6943_MTA-1	Línea aérea por fase	ABC	MTA_L_116514	MTA_S_8148
6436_MTA-1	Línea aérea por fase	ABC	MTA_S_6436	MTA_S_8148
6437_MTA-1	Línea aérea por fase	ABC	MTA_S_6436	MTA_S_8245
8245_MTA-1	Línea aérea por fase	ABC	MTA_S_8245	MTA_L_8245
1686	Fusible	C	MTA_L_8245	MTA_L_10466
10466_MTA-1	Línea aérea por fase	C	MTA_L_8245	MTA_L_10466
7265	Transformador con dos devanados	C	MTA_L_10466	MTA_L_14222
14222_MTA-1	Línea aérea por fase	C	MTA_L_10466	MTA_L_14222
I14222_MTA-1	Línea aérea por fase	C	MTA_L_14222	IMTA_L_14222
8246_MTA-1	Línea aérea por fase	ABC	MTA_L_8245	MTA_L_8246

Topología - Elementos ramales

Nro. equipo	Código	Fase	Nodo origen	Nodo destino
8147_MTA-1	Línea aérea por fase	B	MTA_L_8246	MTA_L_186675
1687	Fusible	B	MTA_L_186675	MTA_L_10467
10467_MTA-1	Línea aérea por fase	B	MTA_L_186675	MTA_L_10467
701	Transformador con dos devanados	B	MTA_L_10467	MTA_L_14223
14223_MTA-1	Línea aérea por fase	B	MTA_L_10467	MTA_L_14223
I14223_MTA-1	Línea aérea por fase	B	MTA_L_14223	IMTA_L_14223
186675_MTA-1	Línea aérea por fase	B	MTA_S_186677	MTA_L_186675
80107	Fusible	B	MTA_S_186677	MTA_S_186678
186677_MTA-1	Línea aérea por fase	B	MTA_S_186677	MTA_S_186678
17162	Transformador con dos devanados	B	MTA_S_186678	MTA_L_186678
186678_MTA-1	Línea aérea por fase	B	MTA_S_186678	MTA_L_186678
I186678_MTA-1	Línea aérea por fase	B	MTA_L_186678	IMTA_L_186678
7432_MTA-1	Línea aérea por fase	A	MTA_S_8148	MTA_L_7432
1685	Fusible	A	MTA_L_7432	MTA_L_10465
10465_MTA-1	Línea aérea por fase	A	MTA_L_7432	MTA_L_10465
13539	Transformador con dos devanados	A	MTA_L_10465	MTA_L_14221
14221_MTA-1	Línea aérea por fase	A	MTA_L_10465	MTA_L_14221
I14221_MTA-1	Línea aérea por fase	A	MTA_L_14221	IMTA_L_14221
7433_MTA-1	Línea aérea por fase	A	MTA_L_7432	MTA_L_7433
8148_MTA-1	Línea aérea por fase	A	MTA_S_8148	MTA_L_8148
116529_MTA-1	Línea aérea por fase	A	MTA_S_116529	MTA_S_116514
116527_MTA-1	Línea aérea por fase	A	MTA_S_116821	MTA_S_116529
48834	Fusible	A	MTA_S_116821	MTA_S_116822
116821_MTA-1	Línea aérea por fase	A	MTA_S_116821	MTA_S_116822
16261	Transformador con dos devanados	A	MTA_S_116822	MTA_L_116822
116822_MTA-1	Línea aérea por fase	A	MTA_S_116822	MTA_L_116822
I116822_MTA-1	Línea aérea por fase	A	MTA_L_116822	IMTA_L_116822
48836	Fusible	A	MTA_S_116821	MTA_L_116823
116823_MTA-1	Línea aérea por fase	A	MTA_S_116821	MTA_L_116823
16193	Transformador con dos devanados	A	MTA_L_116823	MTA_L_116824
116824_MTA-1	Línea aérea por fase	A	MTA_L_116823	MTA_L_116824

Topología - Elementos ramales

Nro. equipo	Código	Fase	Nodo origen	Nodo destino
I116824_MTA-1	Línea aérea por fase	A	MTA_L_116824	IMTA_L_116824
116530_MTA-1	Línea aérea por fase	A	MTA_S_116514	MTA_L_116530
7611_MTA-1	Línea aérea por fase	B	MTA_S_8098	MTA_S_150438
150438_MTA-1	Línea aérea por fase	B	MTA_S_150438	MTA_S_150439
63234	Fusible	B	MTA_S_150439	MTA_S_7613
150439_MTA-1	Línea aérea por fase	B	MTA_S_150439	MTA_S_7613
7107_MTA-1	Línea aérea por fase	B	MTA_S_7613	MTA_L_7107
7108_MTA-1	Línea aérea por fase	B	MTA_L_7107	MTA_L_7108
7109_MTA-1	Línea aérea por fase	B	MTA_L_7108	MTA_L_7109
1241	Fusible	B	MTA_L_7109	MTA_S_14318
10560_MTA-1	Línea aérea por fase	B	MTA_L_7109	MTA_S_14318
15200	Transformador con dos devanados	B	MTA_S_14318	MTA_L_14318
14318_MTA-1	Línea aérea por fase	B	MTA_S_14318	MTA_L_14318
I14318_MTA-1	Línea aérea por fase	B	MTA_L_14318	IMTA_L_14318
7110_MTA-1	Línea aérea por fase	B	MTA_L_7109	MTA_S_7111
7111_MTA-1	Línea aérea por fase	B	MTA_S_7111	MTA_S_7113
7112_MTA-1	Línea aérea por fase	B	MTA_S_7113	MTA_L_7112
7113_MTA-1	Línea aérea por fase	B	MTA_S_7113	MTA_S_11409
2254	Fusible	B	MTA_S_11409	MTA_S_13394
11409_MTA-1	Línea aérea por fase	B	MTA_S_11409	MTA_S_13394
9079	Transformador con dos devanados	B	MTA_S_13394	MTA_L_13394
13394_MTA-1	Línea aérea por fase	B	MTA_S_13394	MTA_L_13394
I13394_MTA-1	Línea aérea por fase	B	MTA_L_13394	IMTA_L_13394
7114_MTA-1	Línea aérea por fase	B	MTA_S_7113	MTA_S_7115
7115_MTA-1	Línea aérea por fase	B	MTA_S_7115	MTA_L_7115
7116_MTA-1	Línea aérea por fase	B	MTA_L_7115	MTA_S_7118
7117_MTA-1	Línea aérea por fase	B	MTA_S_7118	MTA_S_10561
1242	Fusible	B	MTA_S_10561	MTA_S_14319
10561_MTA-1	Línea aérea por fase	B	MTA_S_10561	MTA_S_14319
10734	Transformador con dos devanados	B	MTA_S_14319	MTA_L_14319
14319_MTA-1	Línea aérea por fase	B	MTA_S_14319	MTA_L_14319

Topología - Elementos ramales

Nro. equipo	Código	Fase	Nodo origen	Nodo destino
I14319_MTA-1	Línea aérea por fase	B	MTA_L_14319	IMTA_L_14319
7118_MTA-1	Línea aérea por fase	B	MTA_S_7118	MTA_L_7118
7119_MTA-1	Línea aérea por fase	B	MTA_S_7118	MTA_L_7119
7613_MTA-1	Línea aérea por fase	B	MTA_S_7613	MTA_L_7613
6835_MTA-1	Línea aérea por fase	B	MTA_L_7613	MTA_L_6835
7106_MTA-1	Línea aérea por fase	B	MTA_L_6835	MTA_L_7106
1240	Fusible	B	MTA_L_7106	MTA_S_14317
10559_MTA-1	Línea aérea por fase	B	MTA_L_7106	MTA_S_14317
202	Transformador con dos devanados	B	MTA_S_14317	MTA_L_14317
14317_MTA-1	Línea aérea por fase	B	MTA_S_14317	MTA_L_14317
I14317_MTA-1	Línea aérea por fase	B	MTA_L_14317	IMTA_L_14317
8098_MTA-1	Línea aérea por fase	B	MTA_S_8098	MTA_L_8098
7916_MTA-1	Línea aérea por fase	C	MTA_S_7916	MTA_S_7917
1239	Fusible	C	MTA_S_7917	MTA_S_14316
10558_MTA-1	Línea aérea por fase	C	MTA_S_7917	MTA_S_14316
46	Transformador con dos devanados	C	MTA_S_14316	MTA_L_14316
14316_MTA-1	Línea aérea por fase	C	MTA_S_14316	MTA_L_14316
I14316_MTA-1	Línea aérea por fase	C	MTA_L_14316	IMTA_L_14316
7917_MTA-1	Línea aérea por fase	C	MTA_S_7917	MTA_L_7917
7910_MTA-1	Línea aérea por fase	B	MTA_S_7910	MTA_S_9923
7911_MTA-1	Línea aérea por fase	B	MTA_S_9923	MTA_L_7911
657	Fusible	B	MTA_S_9923	MTA_S_14146
9923_MTA-1	Línea aérea por fase	B	MTA_S_9923	MTA_S_14146
12794	Transformador con dos devanados	B	MTA_S_14146	MTA_L_14146
14146_MTA-1	Línea aérea por fase	B	MTA_S_14146	MTA_L_14146
I14146_MTA-1	Línea aérea por fase	B	MTA_L_14146	IMTA_L_14146
8077_MTA-1	Línea aérea por fase	ABC	MTA_S_7265	MTA_L_8077
24214	Fusible	ABC	MTA_L_8077	MTA_S_70446
70445_MTA-1	Línea aérea por fase	ABC	MTA_L_8077	MTA_S_70446
70446_MTA-1	Línea aérea por fase	ABC	MTA_S_70446	MTA_L_70446
8079_MTA-1	Línea aérea por fase	ABC	MTA_L_70446	MTA_S_8080

Topología - Elementos ramales

Nro. equipo	Código	Fase	Nodo origen	Nodo destino
6395_MTA-1	Línea aérea por fase	ABC	MTA_S_8080	MTA_S_70690
70690_MTA-1	Línea aérea por fase	ABC	MTA_S_70690	MTA_L_70690
24213	Fusible	ABC	MTA_L_70690	MTA_L_70444
70444_MTA-1	Línea aérea por fase	ABC	MTA_L_70690	MTA_L_70444
6397_MTA-1	Línea aérea por fase	ABC	MTA_L_70444	MTA_L_6397
6398_MTA-1	Línea aérea por fase	ABC	MTA_L_6397	MTA_L_6398
6399_MTA-1	Línea aérea por fase	ABC	MTA_L_6398	MTA_L_6399
100587	Fusible	A	MTA_L_6399	MTA_S_214500
214499_MTA-1	Línea aérea por fase	A	MTA_L_6399	MTA_S_214500
214500_MTA-1	Línea aérea por fase	A	MTA_S_214500	MTA_S_5943
5943_MTA-1	Línea aérea por fase	A	MTA_S_5943	MTA_S_11881
593	Fusible	A	MTA_S_11881	MTA_S_14448
11881_MTA-1	Línea aérea por fase	A	MTA_S_11881	MTA_S_14448
848	Transformador con dos devanados	A	MTA_S_14448	MTA_L_14448
14448_MTA-1	Línea aérea por fase	A	MTA_S_14448	MTA_L_14448
I14448_MTA-1	Línea aérea por fase	A	MTA_L_14448	IMTA_L_14448
4671_MTA-1	Línea aérea por fase	A	MTA_S_11881	MTA_L_4671
5081_MTA-1	Línea aérea por fase	A	MTA_L_4671	MTA_L_5081
594	Fusible	A	MTA_L_5081	MTA_L_11882
11882_MTA-1	Línea aérea por fase	A	MTA_L_5081	MTA_L_11882
10120	Transformador con dos devanados	A	MTA_L_11882	MTA_L_14449
14449_MTA-1	Línea aérea por fase	A	MTA_L_11882	MTA_L_14449
I14449_MTA-1	Línea aérea por fase	A	MTA_L_14449	IMTA_L_14449
100588	Fusible	ABC	MTA_L_6399	MTA_S_214503
214502_MTA-1	Línea aérea por fase	ABC	MTA_L_6399	MTA_S_214503
17164	Transformador con dos devanados	ABC	MTA_S_214503	MTA_L_214503
214503_MTA-1	Línea aérea por fase	ABC	MTA_S_214503	MTA_L_214503
I214503_MTA-1	Línea aérea por fase	ABC	MTA_L_214503	IMTA_L_214503
29073	Fusible	ABC	MTA_S_8080	MTA_L_79645
79645_MTA-1	Línea aérea por fase	ABC	MTA_S_8080	MTA_L_79645
79646_MTA-1	Línea aérea por fase	ABC	MTA_L_79645	MTA_L_79646

Topología - Elementos ramales

Nro. equipo	Código	Fase	Nodo origen	Nodo destino
6393_MTA-1	Línea aérea por fase	ABC	MTA_L_79646	MTA_S_14569
14569_MTA-1	Línea aérea por fase	ABC	MTA_S_14569	MTA_L_14569
591	Fusible	B	MTA_L_14569	MTA_L_14570
14570_MTA-1	Línea aérea por fase	B	MTA_L_14569	MTA_L_14570
10875	Transformador con dos devanados	B	MTA_L_14570	MTA_L_14446
14446_MTA-1	Línea aérea por fase	B	MTA_L_14570	MTA_L_14446
I14446_MTA-1	Línea aérea por fase	B	MTA_L_14446	IMTA_L_14446
14571_MTA-1	Línea aérea por fase	C	MTA_S_14569	MTA_L_14571
6394_MTA-1	Línea aérea por fase	C	MTA_S_14569	MTA_S_11880
592	Fusible	C	MTA_S_11880	MTA_L_11880
11880_MTA-1	Línea aérea por fase	C	MTA_S_11880	MTA_L_11880
709	Transformador con dos devanados	C	MTA_L_11880	MTA_L_14447
14447_MTA-1	Línea aérea por fase	C	MTA_L_11880	MTA_L_14447
I14447_MTA-1	Línea aérea por fase	C	MTA_L_14447	IMTA_L_14447
8080_MTA-1	Línea aérea por fase	ABC	MTA_S_8080	MTA_S_5082
5082_MTA-1	Línea aérea por fase	ABC	MTA_S_5082	MTA_L_5082
14725	Interruptor seccionador	ABC	MTA_L_5082	MTA_L_118739
118739_MTA-1	Línea aérea por fase	ABC	MTA_L_5082	MTA_L_118739
118740_MTA-1	Línea aérea por fase	ABC	MTA_L_118739	MTA_S_5084
5084_MTA-1	Línea aérea por fase	ABC	MTA_S_5084	MTA_L_5084
6314_MTA-1	Línea aérea por fase	ABC	MTA_L_5084	MTA_L_6314
595	Fusible	ABC	MTA_L_6314	MTA_L_11883
11883_MTA-1	Línea aérea por fase	ABC	MTA_L_6314	MTA_L_11883
16858	Transformador con dos devanados	ABC	MTA_L_11883	MTA_L_14450
14450_MTA-1	Línea aérea por fase	ABC	MTA_L_11883	MTA_L_14450
I14450_MTA-1	Línea aérea por fase	ABC	MTA_L_14450	IMTA_L_14450
6315_MTA-1	Línea aérea por fase	ABC	MTA_L_5084	MTA_S_4715
4715_MTA-1	Línea aérea por fase	ABC	MTA_S_4715	MTA_S_118741
49174	Fusible	ABC	MTA_S_118741	MTA_S_118742
118741_MTA-1	Línea aérea por fase	ABC	MTA_S_118741	MTA_S_118742
118742_MTA-1	Línea aérea por fase	ABC	MTA_S_118742	MTA_S_4717

Topología - Elementos ramales

Nro. equipo	Código	Fase	Nodo origen	Nodo destino
4717_MTA-1	Línea aérea por fase	ABC	MTA_S_4717	MTA_L_4717
4342	Fusible	A	MTA_L_4717	MTA_S_16610
16609_MTA-1	Línea aérea por fase	A	MTA_L_4717	MTA_S_16610
2702	Transformador con dos devanados	A	MTA_S_16610	MTA_L_16610
16610_MTA-1	Línea aérea por fase	A	MTA_S_16610	MTA_L_16610
I16610_MTA-1	Línea aérea por fase	A	MTA_L_16610	IMTA_L_16610
4718_MTA-1	Línea aérea por fase	ABC	MTA_L_4717	MTA_S_167451
71454	Fusible	ABC	MTA_S_167451	MTA_L_167451
167451_MTA-1	Línea aérea por fase	ABC	MTA_S_167451	MTA_L_167451
167452_MTA-1	Línea aérea por fase	ABC	MTA_L_167451	MTA_S_11884
596	Fusible	ABC	MTA_S_11884	MTA_L_11884
11884_MTA-1	Línea aérea por fase	ABC	MTA_S_11884	MTA_L_11884
715	Transformador con dos devanados	ABC	MTA_L_11884	MTA_L_14451
14451_MTA-1	Línea aérea por fase	ABC	MTA_L_11884	MTA_L_14451
I14451_MTA-1	Línea aérea por fase	ABC	MTA_L_14451	IMTA_L_14451
5950_MTA-1	Línea aérea por fase	ABC	MTA_S_167451	MTA_L_5950
5951_MTA-1	Línea aérea por fase	ABC	MTA_L_5950	MTA_L_5951
5952_MTA-1	Línea aérea por fase	ABC	MTA_L_5951	MTA_S_5953
5953_MTA-1	Línea aérea por fase	ABC	MTA_S_5953	MTA_S_11885
597	Fusible	ABC	MTA_S_11885	MTA_S_14452
11885_MTA-1	Línea aérea por fase	ABC	MTA_S_11885	MTA_S_14452
716	Transformador con dos devanados	ABC	MTA_S_14452	MTA_L_14452
14452_MTA-1	Línea aérea por fase	ABC	MTA_S_14452	MTA_L_14452
I14452_MTA-1	Línea aérea por fase	ABC	MTA_L_14452	IMTA_L_14452
5956_MTA-1	Línea aérea por fase	ABC	MTA_S_11885	MTA_L_5956
5957_MTA-1	Línea aérea por fase	ABC	MTA_L_5956	MTA_L_5957
72218	Fusible	ABC	MTA_L_5957	MTA_L_168743
168743_MTA-1	Línea aérea por fase	ABC	MTA_L_5957	MTA_L_168743
168744_MTA-1	Línea aérea por fase	ABC	MTA_L_168743	MTA_L_168744
5959_MTA-1	Línea aérea por fase	ABC	MTA_L_168744	MTA_L_5959
5960_MTA-1	Línea aérea por fase	ABC	MTA_L_5959	MTA_L_5960

Topología - Elementos ramales

Nro. equipo	Código	Fase	Nodo origen	Nodo destino
2441	Fusible	AB	MTA_L_5960	MTA_S_13569
11582_MTA-1	Línea aérea por fase	AB	MTA_L_5960	MTA_S_13569
719;720	Transformador con dos devanados	AB	MTA_S_13569	MTA_L_13569
13569_MTA-1	Línea aérea por fase	AB	MTA_S_13569	MTA_L_13569
l13569_MTA-1	Línea aérea por fase	AB	MTA_L_13569	IMTA_L_13569
5853_MTA-1	Línea aérea por fase	ABC	MTA_L_5957	MTA_S_63973
5854_MTA-1	Línea aérea por fase	ABC	MTA_S_63973	MTA_L_5854
21864	Interruptor seccionador	ABC	MTA_L_5854	MTA_L_168745
168745_MTA-1	Línea aérea por fase	ABC	MTA_L_5854	MTA_L_168745
63742_MTA-1	Línea aérea por fase	ABC	MTA_L_168745	MTA_S_5856
600	Fusible	C	MTA_S_5856	MTA_L_11888
11888_MTA-1	Línea aérea por fase	C	MTA_S_5856	MTA_L_11888
722	Transformador con dos devanados	C	MTA_L_11888	MTA_L_14455
14455_MTA-1	Línea aérea por fase	C	MTA_L_11888	MTA_L_14455
l14455_MTA-1	Línea aérea por fase	C	MTA_L_14455	IMTA_L_14455
217365_MTA-1	Línea aérea por fase	ABC	MTA_S_217365	MTA_S_5856
27908	Interruptor seccionador	ABC	MTA_S_217364	MTA_S_217365
217364_MTA-1	Línea aérea por fase	ABC	MTA_S_217364	MTA_S_217365
217104_MTA-1	Línea aérea por fase	ABC	MTA_S_217104	MTA_S_217364
217106_MTA-1	Línea aérea por fase	ABC	MTA_S_217106	MTA_S_217104
8072_MTA-1	Línea aérea por fase	A	MTA_S_217104	MTA_S_8073
8073_MTA-1	Línea aérea por fase	A	MTA_S_8073	MTA_S_8074
8074_MTA-1	Línea aérea por fase	A	MTA_S_8074	MTA_S_8075
8075_MTA-1	Línea aérea por fase	A	MTA_S_8075	MTA_S_117823
117823_MTA-1	Línea aérea por fase	A	MTA_S_117823	MTA_S_117824
117821_MTA-1	Línea aérea por fase	A	MTA_S_117821	MTA_S_117824
117822_MTA-1	Línea aérea por fase	A	MTA_S_117824	MTA_S_117820
117820_MTA-1	Línea aérea por fase	A	MTA_S_117820	MTA_S_117826
49164	Fusible	A	MTA_S_117826	MTA_S_117827
117826_MTA-1	Línea aérea por fase	A	MTA_S_117826	MTA_S_117827
13164	Transformador con dos devanados	A	MTA_S_117827	MTA_L_117827

Topología - Elementos ramales

Nro. equipo	Código	Fase	Nodo origen	Nodo destino
117827_MTA-1	Línea aérea por fase	A	MTA_S_117827	MTA_L_117827
l117827_MTA-1	Línea aérea por fase	A	MTA_L_117827	IMTA_L_117827
117824_MTA-1	Línea aérea por fase	A	MTA_S_117824	MTA_S_11879
590	Fusible	A	MTA_S_11879	MTA_S_14445
11879_MTA-1	Línea aérea por fase	A	MTA_S_11879	MTA_S_14445
1460	Transformador con dos devanados	A	MTA_S_14445	MTA_L_14445
14445_MTA-1	Línea aérea por fase	A	MTA_S_14445	MTA_L_14445
l14445_MTA-1	Línea aérea por fase	A	MTA_L_14445	IMTA_L_14445
5856_MTA-1	Línea aérea por fase	ABC	MTA_S_5856	MTA_S_5857
5857_MTA-1	Línea aérea por fase	ABC	MTA_S_5857	MTA_L_5857
1233	Fusible	ABC	MTA_L_5857	MTA_L_10554
10554_MTA-1	Línea aérea por fase	ABC	MTA_L_5857	MTA_L_10554
15720	Transformador con dos devanados	ABC	MTA_L_10554	MTA_L_14312
14312_MTA-1	Línea aérea por fase	ABC	MTA_L_10554	MTA_L_14312
l14312_MTA-1	Línea aérea por fase	ABC	MTA_L_14312	IMTA_L_14312
5858_MTA-1	Línea aérea por fase	ABC	MTA_L_5857	MTA_S_5859
5859_MTA-1	Línea aérea por fase	ABC	MTA_S_5859	MTA_S_11889
601	Fusible	ABC	MTA_S_11889	MTA_L_11889
11889_MTA-1	Línea aérea por fase	ABC	MTA_S_11889	MTA_L_11889
724;725;723	Transformador con dos devanados	ABC	MTA_L_11889	MTA_L_14456
14456_MTA-1	Línea aérea por fase	ABC	MTA_L_11889	MTA_L_14456
l14456_MTA-1	Línea aérea por fase	ABC	MTA_L_14456	IMTA_L_14456
5860_MTA-1	Línea aérea por fase	ABC	MTA_S_11889	MTA_S_120393
49813	Fusible	C	MTA_S_120393	MTA_L_120393
120393_MTA-1	Línea aérea por fase	C	MTA_S_120393	MTA_L_120393
120394_MTA-1	Línea aérea por fase	C	MTA_L_120393	MTA_L_120394
50107	Fusible	C	MTA_L_120394	MTA_L_119912
119912_MTA-1	Línea aérea por fase	C	MTA_L_120394	MTA_L_119912
119913_MTA-1	Línea aérea por fase	C	MTA_L_119912	MTA_S_9909
643	Fusible	C	MTA_S_9909	MTA_L_9909
9909_MTA-1	Línea aérea por fase	C	MTA_S_9909	MTA_L_9909

Topología - Elementos ramales

Nro. equipo	Código	Fase	Nodo origen	Nodo destino
6385	Transformador con dos devanados	C	MTA_L_9909	MTA_L_14132
14132_MTA-1	Línea aérea por fase	C	MTA_L_9909	MTA_L_14132
l14132_MTA-1	Línea aérea por fase	C	MTA_L_14132	IMTA_L_14132
6487_MTA-1	Línea aérea por fase	C	MTA_L_120394	MTA_L_6487
6661_MTA-1	Línea aérea por fase	C	MTA_L_6487	MTA_S_9910
120395_MTA-1	Línea aérea por fase	C	MTA_S_9910	MTA_S_120396
49814	Fusible	C	MTA_S_120396	MTA_L_120396
120396_MTA-1	Línea aérea por fase	C	MTA_S_120396	MTA_L_120396
6489_MTA-1	Línea aérea por fase	C	MTA_L_120396	MTA_L_6489
6490_MTA-1	Línea aérea por fase	C	MTA_L_6489	MTA_S_120397
120397_MTA-1	Línea aérea por fase	C	MTA_S_120397	MTA_S_120398
120398_MTA-1	Línea aérea por fase	C	MTA_S_120398	MTA_S_6492
1284	Fusible	C	MTA_S_6492	MTA_S_12604
10599_MTA-1	Línea aérea por fase	C	MTA_S_6492	MTA_S_12604
728	Transformador con dos devanados	C	MTA_S_12604	MTA_L_12604
12604_MTA-1	Línea aérea por fase	C	MTA_S_12604	MTA_L_12604
l12604_MTA-1	Línea aérea por fase	C	MTA_L_12604	IMTA_L_12604
6492_MTA-1	Línea aérea por fase	C	MTA_S_6492	MTA_S_6404
6404_MTA-1	Línea aérea por fase	C	MTA_S_6404	MTA_S_6405
6405_MTA-1	Línea aérea por fase	C	MTA_S_6405	MTA_S_6406
6406_MTA-1	Línea aérea por fase	C	MTA_S_6406	MTA_S_6407
6407_MTA-1	Línea aérea por fase	C	MTA_S_6407	MTA_S_9912
120399_MTA-1	Línea aérea por fase	C	MTA_S_9912	MTA_L_120399
120400_MTA-1	Línea aérea por fase	C	MTA_L_120399	MTA_L_120400
24795	Fusible	C	MTA_L_120400	MTA_S_120677
71641_MTA-1	Línea aérea por fase	C	MTA_L_120400	MTA_S_120677
120677_MTA-1	Línea aérea por fase	C	MTA_S_120677	MTA_S_120678
120678_MTA-1	Línea aérea por fase	C	MTA_S_120678	MTA_S_7568
24216	Fusible	C	MTA_S_7568	MTA_S_71639
71638_MTA-1	Línea aérea por fase	C	MTA_S_7568	MTA_S_71639
71639_MTA-1	Transformador con dos devanados	C	MTA_S_71639	MTA_L_71639

Topología - Elementos ramales

Nro. equipo	Código	Fase	Nodo origen	Nodo destino
71639_MTA-1	Línea aérea por fase	C	MTA_S_71639	MTA_L_71639
I71639_MTA-1	Línea aérea por fase	C	MTA_L_71639	IMTA_L_71639
7568_MTA-1	Línea aérea por fase	C	MTA_S_7568	MTA_S_7569
7569_MTA-1	Línea aérea por fase	C	MTA_S_7569	MTA_L_7569
648	Fusible	C	MTA_L_7569	MTA_S_14137
9914_MTA-1	Línea aérea por fase	C	MTA_L_7569	MTA_S_14137
11283	Transformador con dos devanados	C	MTA_S_14137	MTA_L_14137
14137_MTA-1	Línea aérea por fase	C	MTA_S_14137	MTA_L_14137
I14137_MTA-1	Línea aérea por fase	C	MTA_L_14137	IMTA_L_14137
647	Fusible	C	MTA_S_7569	MTA_L_9913
9913_MTA-1	Línea aérea por fase	C	MTA_S_7569	MTA_L_9913
12388	Transformador con dos devanados	C	MTA_L_9913	MTA_L_14136
14136_MTA-1	Línea aérea por fase	C	MTA_L_9913	MTA_L_14136
I14136_MTA-1	Línea aérea por fase	C	MTA_L_14136	IMTA_L_14136
193388_MTA	Línea aérea por fase	C	MTA_S_120677	MTA_L_193388
84590	Fusible	C	MTA_L_193388	MTA_S_193383
193389_MTA	Línea aérea por fase	C	MTA_L_193388	MTA_S_193383
193383_MTA	Línea aérea por fase	C	MTA_S_193383	MTA_S_193384
193384_MTA	Línea aérea por fase	C	MTA_S_193384	MTA_S_193385
193385_MTA	Línea aérea por fase	C	MTA_S_193385	MTA_S_193386
193386_MTA	Línea aérea por fase	C	MTA_S_193386	MTA_L_193386
193387_MTA	Línea aérea por fase	C	MTA_L_193386	MTA_S_193391
84591	Fusible	C	MTA_S_193391	MTA_L_193391
193391_MTA	Línea aérea por fase	C	MTA_S_193391	MTA_L_193391
17329	Transformador con dos devanados	C	MTA_L_193391	MTA_L_193392
193392_MTA	Línea aérea por fase	C	MTA_L_193391	MTA_L_193392
I193392_MTA	Línea aérea por fase	C	MTA_L_193392	IMTA_L_193392
646	Fusible	C	MTA_S_9912	MTA_L_9912
9912_MTA-1	Línea aérea por fase	C	MTA_S_9912	MTA_L_9912
13536	Transformador con dos devanados	C	MTA_L_9912	MTA_L_14135
14135_MTA-1	Línea aérea por fase	C	MTA_L_9912	MTA_L_14135

Topología - Elementos ramales

Nro. equipo	Código	Fase	Nodo origen	Nodo destino
I14135_MTA-1	Línea aérea por fase	C	MTA_L_14135	IMTA_L_14135
201376_MTA-1	Línea aérea por fase	C	MTA_S_120397	MTA_L_201376
89696	Fusible	C	MTA_L_201376	MTA_S_190172
201377_MTA-1	Línea aérea por fase	C	MTA_L_201376	MTA_S_190172
82341	Fusible	C	MTA_S_190172	MTA_S_190173
190172_MTA-1	Línea aérea por fase	C	MTA_S_190172	MTA_S_190173
18081	Transformador con dos devanados	C	MTA_S_190173	MTA_L_190173
190173_MTA-1	Línea aérea por fase	C	MTA_S_190173	MTA_L_190173
I190173_MTA-1	Línea aérea por fase	C	MTA_L_190173	IMTA_L_190173
645	Fusible	C	MTA_S_120397	MTA_S_14134
9911_MTA-1	Línea aérea por fase	C	MTA_S_120397	MTA_S_14134
727	Transformador con dos devanados	C	MTA_S_14134	MTA_L_14134
14134_MTA-1	Línea aérea por fase	C	MTA_S_14134	MTA_L_14134
I14134_MTA-1	Línea aérea por fase	C	MTA_L_14134	IMTA_L_14134
644	Fusible	C	MTA_S_9910	MTA_L_9910
9910_MTA-1	Línea aérea por fase	C	MTA_S_9910	MTA_L_9910
6110	Transformador con dos devanados	C	MTA_L_9910	MTA_L_14133
14133_MTA-1	Línea aérea por fase	C	MTA_L_9910	MTA_L_14133
I14133_MTA-1	Línea aérea por fase	C	MTA_L_14133	IMTA_L_14133
22132	Fusible	A	MTA_S_63973	MTA_S_63974
63973_MTA-1	Línea aérea por fase	A	MTA_S_63973	MTA_S_63974
37	Transformador con dos devanados	A	MTA_S_63974	MTA_L_63974
63974_MTA-1	Línea aérea por fase	A	MTA_S_63974	MTA_L_63974
I63974_MTA-1	Línea aérea por fase	A	MTA_L_63974	IMTA_L_63974
65862_MTA-1	Línea aérea por fase	A	MTA_S_11885	MTA_L_65862
22428	Fusible	A	MTA_L_65862	MTA_L_65863
65863_MTA-1	Línea aérea por fase	A	MTA_L_65862	MTA_L_65863
5955_MTA-1	Línea aérea por fase	A	MTA_L_65863	MTA_S_5961
5961_MTA-1	Línea aérea por fase	A	MTA_S_5961	MTA_L_5961
5844_MTA-1	Línea aérea por fase	A	MTA_L_5961	MTA_S_14575
14575_MTA-1	Línea aérea por fase	A	MTA_S_14575	MTA_L_14575

Topología - Elementos ramales

Nro. equipo	Código	Fase	Nodo origen	Nodo destino
5845_MTA-1	Línea aérea por fase	A	MTA_S_14575	MTA_S_5846
5846_MTA-1	Línea aérea por fase	A	MTA_S_5846	MTA_L_5846
5847_MTA-1	Línea aérea por fase	A	MTA_L_5846	MTA_S_5848
5848_MTA-1	Línea aérea por fase	A	MTA_S_5848	MTA_L_5848
5849_MTA-1	Línea aérea por fase	A	MTA_L_5848	MTA_S_11886
598	Fusible	A	MTA_S_11886	MTA_S_14453
11886_MTA-1	Línea aérea por fase	A	MTA_S_11886	MTA_S_14453
3909	Transformador con dos devanados	A	MTA_S_14453	MTA_L_14453
14453_MTA-1	Línea aérea por fase	A	MTA_S_14453	MTA_L_14453
l14453_MTA-1	Línea aérea por fase	A	MTA_L_14453	IMTA_L_14453
22427	Fusible	A	MTA_L_5848	MTA_L_65860
65860_MTA-1	Línea aérea por fase	A	MTA_L_5848	MTA_L_65860
13555	Transformador con dos devanados	A	MTA_L_65860	MTA_L_65861
65861_MTA-1	Línea aérea por fase	A	MTA_L_65860	MTA_L_65861
l65861_MTA-1	Línea aérea por fase	A	MTA_L_65861	IMTA_L_65861
5850_MTA-1	Línea aérea por fase	A	MTA_S_14575	MTA_L_5850
5851_MTA-1	Línea aérea por fase	A	MTA_L_5850	MTA_L_5851
5852_MTA-1	Línea aérea por fase	A	MTA_L_5851	MTA_L_5852
599	Fusible	A	MTA_L_5852	MTA_S_14454
11887_MTA-1	Línea aérea por fase	A	MTA_L_5852	MTA_S_14454
718	Transformador con dos devanados	A	MTA_S_14454	MTA_L_14454
14454_MTA-1	Línea aérea por fase	A	MTA_S_14454	MTA_L_14454
l14454_MTA-1	Línea aérea por fase	A	MTA_L_14454	IMTA_L_14454
4343	Fusible	B	MTA_L_5082	MTA_L_16932
16932_MTA-1	Línea aérea por fase	B	MTA_L_5082	MTA_L_16932
1163	Transformador con dos devanados	B	MTA_L_16932	MTA_L_16933
16933_MTA-1	Línea aérea por fase	B	MTA_L_16932	MTA_L_16933
l16933_MTA-1	Línea aérea por fase	B	MTA_L_16933	IMTA_L_16933
7570_MTA-1	Línea aérea por fase	ABC	MTA_S_5082	MTA_S_7571
7571_MTA-1	Línea aérea por fase	ABC	MTA_S_7571	MTA_S_7572
7572_MTA-1	Línea aérea por fase	ABC	MTA_S_7572	MTA_L_7572

Topología - Elementos ramales

Nro. equipo	Código	Fase	Nodo origen	Nodo destino
7573_MTA-1	Línea aérea por fase	ABC	MTA_L_7572	MTA_S_11413
2259	Fusible	B	MTA_S_11413	MTA_L_11413
11413_MTA-1	Línea aérea por fase	B	MTA_S_11413	MTA_L_11413
14494	Transformador con dos devanados	B	MTA_L_11413	MTA_L_13398
13398_MTA-1	Línea aérea por fase	B	MTA_L_11413	MTA_L_13398
l13398_MTA-1	Línea aérea por fase	B	MTA_L_13398	IMTA_L_13398
120668_MTA-1	Línea aérea por fase	ABC	MTA_S_11413	MTA_L_120668
14727	Interruptor seccionador	ABC	MTA_L_120668	MTA_S_120672
120669_MTA-1	Línea aérea por fase	ABC	MTA_L_120668	MTA_S_120672
120672_MTA-1	Línea aérea por fase	A	MTA_S_120672	MTA_S_120673
50112	Fusible	A	MTA_S_120673	MTA_S_120674
120673_MTA-1	Línea aérea por fase	A	MTA_S_120673	MTA_S_120674
120674_MTA-1	Línea aérea por fase	A	MTA_S_120674	MTA_S_7585
7585_MTA-1	Línea aérea por fase	A	MTA_S_7585	MTA_S_7586
7586_MTA-1	Línea aérea por fase	A	MTA_S_7586	MTA_L_7586
649	Fusible	A	MTA_L_7586	MTA_L_9915
9915_MTA-1	Línea aérea por fase	A	MTA_L_7586	MTA_L_9915
730	Transformador con dos devanados	A	MTA_L_9915	MTA_L_14138
14138_MTA-1	Línea aérea por fase	A	MTA_L_9915	MTA_L_14138
l14138_MTA-1	Línea aérea por fase	A	MTA_L_14138	IMTA_L_14138
7575_MTA-1	Línea aérea por fase	ABC	MTA_S_120672	MTA_L_7575
7576_MTA-1	Línea aérea por fase	ABC	MTA_L_7575	MTA_S_7577
51482	Fusible	B	MTA_S_7577	MTA_L_125876
125876_MTA-1	Línea aérea por fase	B	MTA_S_7577	MTA_L_125876
125877_MTA-1	Línea aérea por fase	B	MTA_L_125876	MTA_S_7588
7588_MTA-1	Línea aérea por fase	B	MTA_S_7588	MTA_S_7589
7589_MTA-1	Línea aérea por fase	B	MTA_S_7589	MTA_S_9917
651	Fusible	B	MTA_S_9917	MTA_S_14139
9916_MTA-1	Línea aérea por fase	B	MTA_S_9917	MTA_S_14139
7435	Transformador con dos devanados	B	MTA_S_14139	MTA_L_14139
14139_MTA-1	Línea aérea por fase	B	MTA_S_14139	MTA_L_14139

Topología - Elementos ramales

Nro. equipo	Código	Fase	Nodo origen	Nodo destino
I14139_MTA-1	Línea aérea por fase	B	MTA_L_14139	IMTA_L_14139
650	Fusible	B	MTA_S_9917	MTA_S_14140
9917_MTA-1	Línea aérea por fase	B	MTA_S_9917	MTA_S_14140
7714	Transformador con dos devanados	B	MTA_S_14140	MTA_L_14140
14140_MTA-1	Línea aérea por fase	B	MTA_S_14140	MTA_L_14140
I14140_MTA-1	Línea aérea por fase	B	MTA_L_14140	IMTA_L_14140
7577_MTA-1	Línea aérea por fase	ABC	MTA_S_7577	MTA_L_7577
7578_MTA-1	Línea aérea por fase	ABC	MTA_L_7577	MTA_L_7578
14576_MTA-1	Línea aérea por fase	C	MTA_L_7578	MTA_L_14576
7579_MTA-1	Línea aérea por fase	ABC	MTA_L_7578	MTA_S_7580
7580_MTA-1	Línea aérea por fase	ABC	MTA_S_7580	MTA_L_7580
7581_MTA-1	Línea aérea por fase	ABC	MTA_L_7580	MTA_L_7581
15042	Interruptor seccionador	ABC	MTA_L_7581	MTA_L_125884
125884_MTA-1	Línea aérea por fase	ABC	MTA_L_7581	MTA_L_125884
125885_MTA-1	Línea aérea por fase	ABC	MTA_L_125884	MTA_S_4765
4765_MTA-1	Línea aérea por fase	ABC	MTA_S_4765	MTA_L_4765
125890_MTA-1	Línea aérea por fase	ABC	MTA_L_4765	MTA_S_126111
20227	Interruptor seccionador	ABC	MTA_S_126111	MTA_S_4767
126111_MTA-1	Línea aérea por fase	ABC	MTA_S_126111	MTA_S_4767
4767_MTA-1	Línea aérea por fase	ABC	MTA_S_4767	MTA_S_162985
68895	Fusible	ABC	MTA_S_162985	MTA_L_162985
162985_MTA-1	Línea aérea por fase	ABC	MTA_S_162985	MTA_L_162985
162986_MTA-1	Línea aérea por fase	ABC	MTA_L_162985	MTA_L_162986
1612_MTA-1	Línea aérea por fase	ABC	MTA_L_162986	MTA_L_1612
1613_MTA-1	Línea aérea por fase	ABC	MTA_L_1612	MTA_S_1614
14568_MTA-1	Línea aérea por fase	ABC	MTA_S_1614	MTA_L_14568
1614_MTA-1	Línea aérea por fase	ABC	MTA_S_1614	MTA_L_1614
168760_MTA-1	Línea aérea por fase	A	MTA_S_168760	MTA_L_1614
51493	Fusible	A	MTA_S_168760	MTS_L_33283
33283_MTS-1	Cable	A	MTA_S_168760	MTS_L_33283
33285_MTS-1	Cable	A	MTS_L_33283	MTS_L_33285

Topología - Elementos ramales

Nro. equipo	Código	Fase	Nodo origen	Nodo destino
33287_MTS-1	Cable	A	MTS_L_33285	MTS_L_33287
21848	Interruptor seccionador	A	MTS_L_33287	MTS_L_33289
33289_MTS-1	Cable	A	MTS_L_33287	MTS_L_33289
33290_MTS-1	Cable	A	MTS_L_33289	MTS_L_33290
29944	Fusible	A	MTS_L_33290	MTS_L_9594
9594_MTS-1	Cable	A	MTS_L_33290	MTS_L_9594
16619	Transformador con dos devanados	A	MTS_L_9594	MTS_L_9593
9593_MTS-1	Cable	A	MTS_L_9594	MTS_L_9593
19593_MTS-1	Cable	A	MTS_L_9593	IMTS_L_9593
1615_MTA-1	Línea aérea por fase	ABC	MTA_S_1614	MTA_L_1615
1616_MTA-1	Línea aérea por fase	ABC	MTA_L_1615	MTA_S_11583
2442	Fusible	B	MTA_S_11583	MTA_S_13570
11583_MTA-1	Línea aérea por fase	B	MTA_S_11583	MTA_S_13570
737	Transformador con dos devanados	B	MTA_S_13570	MTA_L_13570
13570_MTA-1	Línea aérea por fase	B	MTA_S_13570	MTA_L_13570
I13570_MTA-1	Línea aérea por fase	B	MTA_L_13570	IMTA_L_13570
70188	Fusible	ABC	MTA_S_11583	MTA_S_164598
164597_MTA-1	Línea aérea por fase	ABC	MTA_S_11583	MTA_S_164598
164598_MTA-1	Línea aérea por fase	ABC	MTA_S_164598	MTA_L_164598
130351_MTA-1	Línea aérea por fase	ABC	MTA_L_164598	MTA_S_1617
1617_MTA-1	Línea aérea por fase	ABC	MTA_S_1617	MTA_L_1617
2433	Fusible	AB	MTA_L_1617	MTA_S_13561
11574_MTA-1	Línea aérea por fase	AB	MTA_L_1617	MTA_S_13561
5648;4255	Transformador con dos devanados	AB	MTA_S_13561	MTA_L_13561
13561_MTA-1	Línea aérea por fase	AB	MTA_S_13561	MTA_L_13561
I13561_MTA-1	Línea aérea por fase	AB	MTA_L_13561	IMTA_L_13561
15958_MTS-1	Cable	A	MTA_L_1617	MTS_L_15958
15957_MTS-1	Cable	A	MTS_L_15958	MTS_L_15957
7975_MTA-1	Línea aérea por fase	ABC	MTA_L_1617	MTA_S_7029
7029_MTA-1	Línea aérea por fase	ABC	MTA_S_7029	MTS_S_47061
47061_MTS-1	Cable	ABC	MTS_S_47061	MTS_L_47061

Topología - Elementos ramales

Nro. equipo	Código	Fase	Nodo origen	Nodo destino
92915	Fusible	ABC	MTS_L_47061	MTS_L_47062
47062_MTS-1	Cable	ABC	MTS_L_47061	MTS_L_47062
47058_MTS-1	Cable	ABC	MTS_L_47062	MTS_L_47058
47059_MTS-1	Cable	ABC	MTS_L_47058	MTS_L_47059
92916	Fusible	ABC	MTS_L_47059	MTS_L_47063
47063_MTS-1	Cable	ABC	MTS_L_47059	MTS_L_47063
18156	Transformador con dos devanados	ABC	MTS_L_47063	MTS_L_47064
47064_MTS-1	Cable	ABC	MTS_L_47063	MTS_L_47064
I47064_MTS-1	Cable	ABC	MTS_L_47064	IMTS_L_47064
7234_MTA-1	Línea aérea por fase	A	MTS_S_47061	MTA_S_11575
2434	Fusible	A	MTA_S_11575	MTA_L_11575
11575_MTA-1	Línea aérea por fase	A	MTA_S_11575	MTA_L_11575
4430	Transformador con dos devanados	A	MTA_L_11575	MTA_L_13562
13562_MTA-1	Línea aérea por fase	A	MTA_L_11575	MTA_L_13562
I13562_MTA-1	Línea aérea por fase	A	MTA_L_13562	IMTA_L_13562
7235_MTA-1	Línea aérea por fase	A	MTS_S_47061	MTA_L_7235
7236_MTA-1	Línea aérea por fase	A	MTA_L_7235	MTA_L_7236
7237_MTA-1	Línea aérea por fase	A	MTA_L_7236	MTA_S_7238
7238_MTA-1	Línea aérea por fase	A	MTA_S_7238	MTA_S_6449
6449_MTA-1	Línea aérea por fase	A	MTA_S_6449	MTA_L_6449
2454	Fusible	A	MTA_L_6449	MTA_S_13582
11595_MTA-1	Línea aérea por fase	A	MTA_L_6449	MTA_S_13582
631	Transformador con dos devanados	A	MTA_S_13582	MTA_L_13582
13582_MTA-1	Línea aérea por fase	A	MTA_S_13582	MTA_L_13582
I13582_MTA-1	Línea aérea por fase	A	MTA_L_13582	IMTA_L_13582
6450_MTA-1	Línea aérea por fase	A	MTA_L_6449	MTA_S_132623
2443	Fusible	A	MTA_S_132623	MTA_L_11584
11584_MTA-1	Línea aérea por fase	A	MTA_S_132623	MTA_L_11584
973	Transformador con dos devanados	A	MTA_L_11584	MTA_L_13571
13571_MTA-1	Línea aérea por fase	A	MTA_L_11584	MTA_L_13571
I13571_MTA-1	Línea aérea por fase	A	MTA_L_13571	IMTA_L_13571

Topología - Elementos ramales

Nro. equipo	Código	Fase	Nodo origen	Nodo destino
132623_MTA-1	Línea aérea por fase	A	MTA_S_132623	MTA_S_132625
54913	Fusible	A	MTA_S_132625	MTA_S_132626
132625_MTA-1	Línea aérea por fase	A	MTA_S_132625	MTA_S_132626
132626_MTA-1	Transformador con dos devanados	A	MTA_S_132626	MTA_L_132626
132626_MTA-1	Línea aérea por fase	A	MTA_S_132626	MTA_L_132626
l132626_MTA-1	Línea aérea por fase	A	MTA_L_132626	IMTA_L_132626
1618_MTA-1	Línea aérea por fase	ABC	MTA_S_1617	MTA_L_1618
1619_MTA-1	Línea aérea por fase	ABC	MTA_S_1617	MTA_L_1619
1620_MTA-1	Línea aérea por fase	ABC	MTA_L_1619	MTA_S_132563
132563_MTA-1	Línea aérea por fase	C	MTA_S_132563	MTA_S_132564
54588	Fusible	C	MTA_S_132564	MTA_L_132564
132564_MTA-1	Línea aérea por fase	C	MTA_S_132564	MTA_L_132564
1622_MTA-1	Línea aérea por fase	C	MTA_L_132564	MTA_L_1622
1623_MTA-1	Línea aérea por fase	C	MTA_L_1622	MTA_S_7025
7025_MTA-1	Línea aérea por fase	C	MTA_S_7025	MTA_S_132613
132613_MTA-1	Línea aérea por fase	C	MTA_S_132613	MTA_L_132620
132620_MTA-1	Línea aérea por fase	C	MTA_S_132620	MTA_L_132620
54911	Fusible	C	MTA_S_132620	MTA_S_132617
132621_MTA-1	Línea aérea por fase	C	MTA_S_132620	MTA_S_132617
738	Transformador con dos devanados	C	MTA_S_132617	MTA_L_132617
132617_MTA-1	Línea aérea por fase	C	MTA_S_132617	MTA_L_132617
l132617_MTA-1	Línea aérea por fase	C	MTA_L_132617	IMTA_L_132617
54912	Fusible	C	MTA_S_132620	MTA_L_132622
132622_MTA-1	Línea aérea por fase	C	MTA_S_132620	MTA_L_132622
754	Transformador con dos devanados	C	MTA_L_132622	MTA_L_132619
132619_MTA-1	Línea aérea por fase	C	MTA_L_132622	MTA_L_132619
l132619_MTA-1	Línea aérea por fase	C	MTA_L_132619	IMTA_L_132619
677	Fusible	C	MTA_S_132613	MTA_L_9941
9941_MTA-1	Línea aérea por fase	C	MTA_S_132613	MTA_L_9941
0740	Transformador con dos devanados	C	MTA_L_9941	MTA_L_14164
14164_MTA-1	Línea aérea por fase	C	MTA_L_9941	MTA_L_14164

Topología - Elementos ramales

Nro. equipo	Código	Fase	Nodo origen	Nodo destino
I14164_MTA-1	Línea aérea por fase	C	MTA_L_14164	IMTA_L_14164
676	Fusible	B	MTA_S_132563	MTA_L_9940
9940_MTA-1	Línea aérea por fase	B	MTA_S_132563	MTA_L_9940
16208	Transformador con dos devanados	B	MTA_L_9940	MTA_L_14163
14163_MTA-1	Línea aérea por fase	B	MTA_L_9940	MTA_L_14163
I14163_MTA-1	Línea aérea por fase	B	MTA_L_14163	IMTA_L_14163
7026_MTA-1	Línea aérea por fase	C	MTA_L_164598	MTA_S_7027
7027_MTA-1	Línea aérea por fase	C	MTA_S_7027	MTA_S_7028
2453	Fusible	C	MTA_S_7028	MTA_S_13581
11594_MTA-1	Línea aérea por fase	C	MTA_S_7028	MTA_S_13581
6443	Transformador con dos devanados	C	MTA_S_13581	MTA_L_13581
13581_MTA-1	Línea aérea por fase	C	MTA_S_13581	MTA_L_13581
I13581_MTA-1	Línea aérea por fase	C	MTA_L_13581	IMTA_L_13581
7028_MTA-1	Línea aérea por fase	C	MTA_S_7028	MTA_L_7028
675	Fusible	A	MTA_L_162986	MTA_L_9939
9939_MTA-1	Línea aérea por fase	A	MTA_L_162986	MTA_L_9939
7247	Transformador con dos devanados	A	MTA_L_9939	MTA_L_14162
14162_MTA-1	Línea aérea por fase	A	MTA_L_9939	MTA_L_14162
I14162_MTA-1	Línea aérea por fase	A	MTA_L_14162	IMTA_L_14162
4768_MTA-1	Línea aérea por fase	ABC	MTA_S_162985	MTA_L_4768
181573_MTA-1	Línea aérea por fase	ABC	MTA_L_4768	MTA_L_181573
181574_MTA-1	Línea aérea por fase	ABC	MTA_L_181573	MTA_S_4770
2533	Fusible	A	MTA_S_4770	MTA_S_13657
11670_MTA-1	Línea aérea por fase	A	MTA_S_4770	MTA_S_13657
0744	Transformador con dos devanados	A	MTA_S_13657	MTA_L_13657
13657_MTA-1	Línea aérea por fase	A	MTA_S_13657	MTA_L_13657
I13657_MTA-1	Línea aérea por fase	A	MTA_L_13657	IMTA_L_13657
4770_MTA-1	Línea aérea por fase	ABC	MTA_S_4770	MTA_S_4771
4771_MTA-1	Línea aérea por fase	ABC	MTA_S_4771	MTA_S_4772
4772_MTA-1	Línea aérea por fase	ABC	MTA_S_4772	MTA_L_4772
53038	Fusible	ABC	MTA_L_4772	MTA_L_129939

Topología - Elementos ramales

Nro. equipo	Código	Fase	Nodo origen	Nodo destino
129939_MTA-1	Línea aérea por fase	ABC	MTA_L_4772	MTA_L_129939
129940_MTA-1	Línea aérea por fase	ABC	MTA_L_129939	MTA_S_11671
2534	Fusible	C	MTA_S_11671	MTA_L_11671
11671_MTA-1	Línea aérea por fase	C	MTA_S_11671	MTA_L_11671
7587	Transformador con dos devanados	C	MTA_L_11671	MTA_L_13658
13658_MTA-1	Línea aérea por fase	C	MTA_L_11671	MTA_L_13658
I13658_MTA-1	Línea aérea por fase	C	MTA_L_13658	IMTA_L_13658
4774_MTA-1	Línea aérea por fase	ABC	MTA_S_11671	MTA_L_4774
4775_MTA-1	Línea aérea por fase	ABC	MTA_L_4774	MTA_L_4775
4776_MTA-1	Línea aérea por fase	ABC	MTA_L_4775	MTA_L_4776
4777_MTA-1	Línea aérea por fase	ABC	MTA_L_4776	MTA_S_4782
2535	Fusible	ABC	MTA_S_162335	MTA_S_4782
162335_MTA-1	Línea aérea por fase	ABC	MTA_S_162335	MTA_S_4782
9081;8723;8798	Transformador con dos devanados	ABC	MTA_S_162335	MTA_L_13659
13659_MTA-1	Línea aérea por fase	ABC	MTA_S_162335	MTA_L_13659
I13659_MTA-1	Línea aérea por fase	ABC	MTA_L_13659	IMTA_L_13659
4778_MTA-1	Línea aérea por fase	A	MTA_S_4782	MTA_S_168768
130346_MTA-1	Línea aérea por fase	A	MTA_S_168768	MTA_S_130347
54289	Fusible	A	MTA_S_130347	MTA_S_4780
130347_MTA-1	Línea aérea por fase	A	MTA_S_130347	MTA_S_4780
4780_MTA-1	Línea aérea por fase	A	MTA_S_4780	MTA_S_4781
4781_MTA-1	Línea aérea por fase	A	MTA_S_4781	MTA_S_11673
2536	Fusible	A	MTA_S_11673	MTA_S_13660
11673_MTA-1	Línea aérea por fase	A	MTA_S_11673	MTA_S_13660
10676	Transformador con dos devanados	A	MTA_S_13660	MTA_L_13660
13660_MTA-1	Línea aérea por fase	A	MTA_S_13660	MTA_L_13660
I13660_MTA-1	Línea aérea por fase	A	MTA_L_13660	IMTA_L_13660
168768_MTA-1	Línea aérea por fase	A	MTA_S_168768	MTA_L_168768
54290	Fusible	A	MTA_L_168768	MTS_L_33369
33369_MTS-1	Cable	A	MTA_L_168768	MTS_L_33369
33371_MTS-1	Cable	A	MTS_L_33369	MTS_L_33371

Topología - Elementos ramales

Nro. equipo	Código	Fase	Nodo origen	Nodo destino
33373_MTS-1	Cable	A	MTS_L_33371	MTS_L_33373
33375_MTS-1	Cable	A	MTS_L_33373	MTS_L_33375
33385_MTS-1	Cable	A	MTS_L_33375	MTS_L_33385
21869	Interruptor seccionador	A	MTS_L_33385	MTS_L_33387
33387_MTS-1	Cable	A	MTS_L_33385	MTS_L_33387
33388_MTS-1	Cable	A	MTS_L_33387	MTS_L_33388
1230	Fusible	A	MTS_L_33388	MTS_L_350
350_MTS-1	Cable	A	MTS_L_33388	MTS_L_350
15769	Transformador con dos devanados	A	MTS_L_350	MTS_L_466
466_MTS-1	Cable	A	MTS_L_350	MTS_L_466
I466_MTS-1	Cable	A	MTS_L_466	IMTS_L_466
4782_MTA-1	Línea aérea por fase	ABC	MTA_S_4782	MTA_S_11674
2537	Fusible	C	MTA_S_11674	MTA_S_13661
11674_MTA-1	Línea aérea por fase	C	MTA_S_11674	MTA_S_13661
9568	Transformador con dos devanados	C	MTA_S_13661	MTA_L_13661
13661_MTA-1	Línea aérea por fase	C	MTA_S_13661	MTA_L_13661
I13661_MTA-1	Línea aérea por fase	C	MTA_L_13661	IMTA_L_13661
54287	Fusible	B	MTA_S_11674	MTA_S_130343
130342_MTA-1	Línea aérea por fase	B	MTA_S_11674	MTA_S_130343
8648	Transformador con dos devanados	B	MTA_S_130343	MTA_L_130343
130343_MTA-1	Línea aérea por fase	B	MTA_S_130343	MTA_L_130343
I130343_MTA-1	Línea aérea por fase	B	MTA_L_130343	IMTA_L_130343
4783_MTA-1	Línea aérea por fase	ABC	MTA_S_11674	MTA_L_4783
4784_MTA-1	Línea aérea por fase	ABC	MTA_L_4783	MTA_S_4785
4785_MTA-1	Línea aérea por fase	ABC	MTA_S_4785	MTA_S_7408
4786_MTA-1	Línea aérea por fase	ABC	MTA_S_7408	MTA_S_130344
2542	Fusible	A	MTA_S_130344	MTA_S_13666
11679_MTA-1	Línea aérea por fase	A	MTA_S_130344	MTA_S_13666
13070	Transformador con dos devanados	A	MTA_S_13666	MTA_L_13666
13666_MTA-1	Línea aérea por fase	A	MTA_S_13666	MTA_L_13666
I13666_MTA-1	Línea aérea por fase	A	MTA_L_13666	IMTA_L_13666

Topología - Elementos ramales

Nro. equipo	Código	Fase	Nodo origen	Nodo destino
130344_MTA-1	Línea aérea por fase	B	MTA_S_130344	MTA_S_130345
54288	Fusible	B	MTA_S_130345	MTA_S_7404
130345_MTA-1	Línea aérea por fase	B	MTA_S_130345	MTA_S_7404
7404_MTA-1	Línea aérea por fase	B	MTA_S_7404	MTA_L_7404
7405_MTA-1	Línea aérea por fase	B	MTA_L_7404	MTA_S_7406
7406_MTA-1	Línea aérea por fase	B	MTA_S_7406	MTA_L_7406
7407_MTA-1	Línea aérea por fase	B	MTA_L_7406	MTA_L_7407
674	Fusible	B	MTA_S_7406	MTA_L_9938
9938_MTA-1	Línea aérea por fase	B	MTA_S_7406	MTA_L_9938
14595	Transformador con dos devanados	B	MTA_L_9938	MTA_L_14161
14161_MTA-1	Línea aérea por fase	B	MTA_L_9938	MTA_L_14161
I14161_MTA-1	Línea aérea por fase	B	MTA_L_14161	IMTA_L_14161
7402_MTA-1	Línea aérea por fase	ABC	MTA_S_7408	MTA_L_7402
7408_MTA-1	Línea aérea por fase	ABC	MTA_S_7408	MTA_S_133154
55393	Fusible	ABC	MTA_S_133154	MTA_L_133154
133154_MTA-1	Línea aérea por fase	ABC	MTA_S_133154	MTA_L_133154
133207_MTA-1	Línea aérea por fase	ABC	MTA_L_133154	MTA_L_133207
6881_MTA-1	Línea aérea por fase	ABC	MTA_L_133207	MTA_L_6881
168770_MTA-1	Línea aérea por fase	ABC	MTA_L_6881	MTA_L_168770
55394	Fusible	ABC	MTA_L_168770	MTS_L_33395
33395_MTS-1	Cable	ABC	MTA_L_168770	MTS_L_33395
33397_MTS-1	Cable	ABC	MTS_L_33395	MTS_L_33397
33399_MTS-1	Cable	ABC	MTS_L_33397	MTS_L_33399
33401_MTS-1	Cable	ABC	MTS_L_33399	MTS_L_33401
33403_MTS-1	Cable	ABC	MTS_L_33401	MTS_L_33403
33405_MTS-1	Cable	ABC	MTS_L_33403	MTS_L_33405
33407_MTS-1	Cable	ABC	MTS_L_33405	MTS_L_33407
21871	Interruptor seccionador	ABC	MTS_L_33407	MTS_L_33425
33425_MTS-1	Cable	ABC	MTS_L_33407	MTS_L_33425
33426_MTS-1	Cable	ABC	MTS_L_33425	MTS_L_33426
2437	Fusible	ABC	MTS_L_33426	MTS_L_33428

Topología - Elementos ramales

Nro. equipo	Código	Fase	Nodo origen	Nodo destino
33428_MTS-1	Cable	ABC	MTS_L_33426	MTS_L_33428
12006	Transformador con dos devanados	ABC	MTS_L_33428	MTS_L_33427
33427_MTS-1	Cable	ABC	MTS_L_33428	MTS_L_33427
I33427_MTS-1	Cable	ABC	MTS_L_33427	IMTS_L_33427
6882_MTA-1	Línea aérea por fase	ABC	MTA_L_6881	MTA_L_6882
2538	Fusible	ABC	MTA_L_6882	MTA_S_13662
11675_MTA-1	Línea aérea por fase	ABC	MTA_L_6882	MTA_S_13662
9498;11727;11728	Transformador con dos devanados	ABC	MTA_S_13662	MTA_L_13662
13662_MTA-1	Línea aérea por fase	ABC	MTA_S_13662	MTA_L_13662
I13662_MTA-1	Línea aérea por fase	ABC	MTA_L_13662	IMTA_L_13662
6517_MTA-1	Línea aérea por fase	ABC	MTA_L_6882	MTA_L_6517
6518_MTA-1	Línea aérea por fase	ABC	MTA_L_6517	MTA_S_1606
1606_MTA-1	Línea aérea por fase	ABC	MTA_S_1606	MTA_L_1606
1607_MTA-1	Línea aérea por fase	ABC	MTA_L_1606	MTA_L_1607
2539	Fusible	ABC	MTA_L_1607	MTA_S_13663
11676_MTA-1	Línea aérea por fase	ABC	MTA_L_1607	MTA_S_13663
14334;3379;14335	Transformador con dos devanados	ABC	MTA_S_13663	MTA_L_13663
13663_MTA-1	Línea aérea por fase	ABC	MTA_S_13663	MTA_L_13663
I13663_MTA-1	Línea aérea por fase	ABC	MTA_L_13663	IMTA_L_13663
1608_MTA-1	Línea aérea por fase	ABC	MTA_L_1607	MTA_S_11677
2540	Fusible	ABC	MTA_S_11677	MTA_S_13664
11677_MTA-1	Línea aérea por fase	ABC	MTA_S_11677	MTA_S_13664
5888;5887;5889	Transformador con dos devanados	ABC	MTA_S_13664	MTA_L_13664
13664_MTA-1	Línea aérea por fase	ABC	MTA_S_13664	MTA_L_13664
I13664_MTA-1	Línea aérea por fase	ABC	MTA_L_13664	IMTA_L_13664
1609_MTA-1	Línea aérea por fase	ABC	MTA_S_11677	MTA_S_1610
1610_MTA-1	Línea aérea por fase	ABC	MTA_S_1610	MTA_L_1610
2541	Fusible	ABC	MTA_L_1610	MTA_L_11678
11678_MTA-1	Línea aérea por fase	ABC	MTA_L_1610	MTA_L_11678
760;3599;758	Transformador con dos devanados	ABC	MTA_L_11678	MTA_L_13665
13665_MTA-1	Línea aérea por fase	ABC	MTA_L_11678	MTA_L_13665

Topología - Elementos ramales

Nro. equipo	Código	Fase	Nodo origen	Nodo destino
I13665_MTA-1	Línea aérea por fase	ABC	MTA_L_13665	IMTA_L_13665
168769_MTA-1	Línea aérea por fase	ABC	MTA_L_1607	MTS_S_33389
55395	Fusible	ABC	MTS_S_33389	MTS_L_33389
33389_MTS-1	Cable	ABC	MTS_S_33389	MTS_L_33389
33391_MTS-1	Cable	ABC	MTS_L_33389	MTS_L_33391
21870	Interruptor seccionador	ABC	MTS_L_33391	MTS_L_33393
33393_MTS-1	Cable	ABC	MTS_L_33391	MTS_L_33393
33394_MTS-1	Cable	ABC	MTS_L_33393	MTS_L_33394
2258	Fusible	ABC	MTS_L_33394	MTS_L_386
386_MTS-1	Cable	ABC	MTS_L_33394	MTS_L_386
14631	Transformador con dos devanados	ABC	MTS_L_386	MTS_L_511
511_MTS-1	Cable	ABC	MTS_L_386	MTS_L_511
I511_MTS-1	Cable	ABC	MTS_L_511	IMTS_L_511
7740_MTA-1	Línea aérea por fase	ABC	MTA_S_4772	MTA_S_7919
7919_MTA-1	Línea aérea por fase	ABC	MTA_S_7919	MTA_S_10487
1707	Fusible	C	MTA_S_10487	MTA_S_14243
10487_MTA-1	Línea aérea por fase	C	MTA_S_10487	MTA_S_14243
745	Transformador con dos devanados	C	MTA_S_14243	MTA_L_14243
14243_MTA-1	Línea aérea por fase	C	MTA_S_14243	MTA_L_14243
I14243_MTA-1	Línea aérea por fase	C	MTA_L_14243	IMTA_L_14243
125888_MTA-1	Línea aérea por fase	B	MTA_S_10487	MTA_S_125889
51711	Fusible	B	MTA_S_125889	MTA_S_7921
125889_MTA-1	Línea aérea por fase	B	MTA_S_125889	MTA_S_7921
1708	Fusible	B	MTA_S_7921	MTA_S_14244
10488_MTA-1	Línea aérea por fase	B	MTA_S_7921	MTA_S_14244
747	Transformador con dos devanados	B	MTA_S_14244	MTA_L_14244
14244_MTA-1	Línea aérea por fase	B	MTA_S_14244	MTA_L_14244
I14244_MTA-1	Línea aérea por fase	B	MTA_L_14244	IMTA_L_14244
7921_MTA-1	Línea aérea por fase	B	MTA_S_7921	MTA_L_7921
8099_MTA-1	Línea aérea por fase	B	MTA_L_7921	MTA_S_10489
1709	Fusible	B	MTA_S_10489	MTA_S_14245

Topología - Elementos ramales

Nro. equipo	Código	Fase	Nodo origen	Nodo destino
10489_MTA-1	Línea aérea por fase	B	MTA_S_10489	MTA_S_14245
8957	Transformador con dos devanados	B	MTA_S_14245	MTA_L_14245
14245_MTA-1	Línea aérea por fase	B	MTA_S_14245	MTA_L_14245
l14245_MTA-1	Línea aérea por fase	B	MTA_L_14245	IMTA_L_14245
168460_MTA-1	Línea aérea por fase	ABC	MTA_S_10487	MTA_L_168460
51710	Fusible	ABC	MTA_L_168460	MTS_L_33002
33002_MTS-1	Cable	ABC	MTA_L_168460	MTS_L_33002
33007_MTS-1	Cable	ABC	MTS_L_33002	MTS_L_33007
33008_MTS-1	Cable	ABC	MTS_L_33007	MTS_L_33008
33010_MTS-1	Cable	ABC	MTS_L_33008	MTS_L_33010
33012_MTS-1	Cable	ABC	MTS_L_33010	MTS_L_33012
21845	Interruptor seccionador	ABC	MTS_L_33012	MTS_L_33014
33013_MTS-1	Cable	ABC	MTS_L_33012	MTS_L_33014
33014_MTS-1	Cable	ABC	MTS_S_33014	MTS_L_33014
1234	Fusible	ABC	MTS_S_33014	MTS_L_563
563_MTS-1	Cable	ABC	MTS_S_33014	MTS_L_563
15831	Transformador con dos devanados	ABC	MTS_L_563	MTS_L_467
467_MTS-1	Cable	ABC	MTS_L_563	MTS_L_467
l467_MTS-1	Cable	ABC	MTS_L_467	IMTS_L_467
33015_MTS-1	Cable	ABC	MTS_L_33014	MTS_L_33015
1235	Fusible	ABC	MTS_L_33015	MTS_L_351
351_MTS-1	Cable	ABC	MTS_L_33015	MTS_L_351
12670	Transformador con dos devanados	ABC	MTS_L_351	MTS_L_468
468_MTS-1	Cable	ABC	MTS_L_351	MTS_L_468
l468_MTS-1	Cable	ABC	MTS_L_468	IMTS_L_468
8106_MTA-1	Línea aérea por fase	ABC	MTA_S_4772	MTA_S_8107
8107_MTA-1	Línea aérea por fase	ABC	MTA_S_8107	MTA_S_129416
129416_MTA-1	Línea aérea por fase	ABC	MTA_S_129416	MTA_S_129417
53017	Fusible	ABC	MTA_S_129417	MTA_S_8109
129417_MTA-1	Línea aérea por fase	ABC	MTA_S_129417	MTA_S_8109
8109_MTA-1	Línea aérea por fase	ABC	MTA_S_8109	MTA_L_8109

Topología - Elementos ramales

Nro. equipo	Código	Fase	Nodo origen	Nodo destino
53039	Fusible	C	MTA_L_8109	MTA_S_129942
129941_MTA-1	Línea aérea por fase	C	MTA_L_8109	MTA_S_129942
129942_MTA-1	Línea aérea por fase	C	MTA_S_129942	MTA_S_8113
8113_MTA-1	Línea aérea por fase	C	MTA_S_8113	MTA_S_11581
1710	Fusible	C	MTA_S_11581	MTA_L_11581
11581_MTA-1	Línea aérea por fase	C	MTA_S_11581	MTA_L_11581
13501	Transformador con dos devanados	C	MTA_L_11581	MTA_L_14246
14246_MTA-1	Línea aérea por fase	C	MTA_L_11581	MTA_L_14246
l14246_MTA-1	Línea aérea por fase	C	MTA_L_14246	IMTA_L_14246
8110_MTA-1	Línea aérea por fase	C	MTA_L_8109	MTA_S_8111
1711	Fusible	C	MTA_S_8111	MTA_S_14247
10491_MTA-1	Línea aérea por fase	C	MTA_S_8111	MTA_S_14247
761	Transformador con dos devanados	C	MTA_S_14247	MTA_L_14247
14247_MTA-1	Línea aérea por fase	C	MTA_S_14247	MTA_L_14247
l14247_MTA-1	Línea aérea por fase	C	MTA_L_14247	IMTA_L_14247
8111_MTA-1	Línea aérea por fase	C	MTA_S_8111	MTA_S_10492
1712	Fusible	C	MTA_S_10492	MTA_S_14248
10492_MTA-1	Línea aérea por fase	C	MTA_S_10492	MTA_S_14248
11899	Transformador con dos devanados	C	MTA_S_14248	MTA_L_14248
14248_MTA-1	Línea aérea por fase	C	MTA_S_14248	MTA_L_14248
l14248_MTA-1	Línea aérea por fase	C	MTA_L_14248	IMTA_L_14248
8114_MTA-1	Línea aérea por fase	ABC	MTA_L_8109	MTA_S_8115
8115_MTA-1	Línea aérea por fase	ABC	MTA_S_8115	MTA_S_8116
1713	Fusible	ABC	MTA_S_8116	MTA_L_10493
10493_MTA-1	Línea aérea por fase	ABC	MTA_S_8116	MTA_L_10493
10317;10318;10316	Transformador con dos devanados	ABC	MTA_L_10493	MTA_L_14249
14249_MTA-1	Línea aérea por fase	ABC	MTA_L_10493	MTA_L_14249
l14249_MTA-1	Línea aérea por fase	ABC	MTA_L_14249	IMTA_L_14249
8116_MTA-1	Línea aérea por fase	ABC	MTA_S_8116	MTA_S_5565
4171	Interruptor seccionador	ABC	MTA_S_5565	MTA_L_4745
5565_MTA-1	Línea aérea por fase	ABC	MTA_S_5565	MTA_L_4745

Topología - Elementos ramales

Nro. equipo	Código	Fase	Nodo origen	Nodo destino
7715_MTA-1	Línea aérea por fase	ABC	MTA_S_5565	MTA_S_11579
2438	Fusible	C	MTA_S_11579	MTA_S_13566
11579_MTA-1	Línea aérea por fase	C	MTA_S_11579	MTA_S_13566
8616	Transformador con dos devanados	C	MTA_S_13566	MTA_L_13566
13566_MTA-1	Línea aérea por fase	C	MTA_S_13566	MTA_L_13566
I13566_MTA-1	Línea aérea por fase	C	MTA_L_13566	IMTA_L_13566
7716_MTA-1	Línea aérea por fase	ABC	MTA_S_11579	MTA_L_7716
2439	Fusible	ABC	MTA_L_7716	MTA_L_11580
11580_MTA-1	Línea aérea por fase	ABC	MTA_L_7716	MTA_L_11580
766;7085;7085	Transformador con dos devanados	ABC	MTA_L_11580	MTA_L_13567
13567_MTA-1	Línea aérea por fase	ABC	MTA_L_11580	MTA_L_13567
I13567_MTA-1	Línea aérea por fase	ABC	MTA_L_13567	IMTA_L_13567
7717_MTA-1	Línea aérea por fase	ABC	MTA_L_7716	MTA_L_7717
175162_MTA-1	Línea aérea por fase	A	MTA_L_7717	MTA_L_175162
55547	Fusible	A	MTA_L_175162	MTS_L_18838
18838_MTS-1	Cable	A	MTA_L_175162	MTS_L_18838
38735_MTS-1	Cable	A	MTS_L_18838	MTS_L_38735
39040_MTS-1	Cable	A	MTS_L_38735	MTS_L_39040
39041_MTS-1	Cable	A	MTS_L_39040	MTS_L_39041
39042_MTS-1	Cable	A	MTS_L_39041	MTS_L_39042
39044_MTS-1	Cable	A	MTS_L_39042	MTS_L_39044
39045_MTS-1	Cable	A	MTS_S_39046	MTS_L_39044
39046_MTS-1	Cable	A	MTS_S_39046	MTS_L_39046
39047_MTS-1	Cable	A	MTS_L_39046	MTS_L_39047
39049_MTS-1	Cable	A	MTS_L_39047	MTS_L_39049
39051_MTS-1	Cable	A	MTS_L_39049	MTS_L_39051
23435	Interruptor seccionador	A	MTS_L_39051	MTS_L_39052
39052_MTS-1	Cable	A	MTS_L_39051	MTS_L_39052
75305	Fusible	A	MTS_L_39052	MTS_L_39054
39054_MTS-1	Cable	A	MTS_L_39052	MTS_L_39054
12429	Transformador con dos devanados	A	MTS_L_39054	MTS_L_39055

Topología - Elementos ramales

Nro. equipo	Código	Fase	Nodo origen	Nodo destino
39055_MTS-1	Cable	A	MTS_L_39054	MTS_L_39055
I39055_MTS-1	Cable	A	MTS_L_39055	IMTS_L_39055
7718_MTA-1	Línea aérea por fase	ABC	MTA_S_5565	MTA_L_7718
7719_MTA-1	Línea aérea por fase	ABC	MTA_L_7718	MTA_L_7719
30577	Fusible	ABC	MTA_L_7719	MTA_S_7721
7720_MTA-1	Línea aérea por fase	ABC	MTA_L_7719	MTA_S_7721
2444	Fusible	A	MTA_S_7721	MTA_L_11585
11585_MTA-1	Línea aérea por fase	A	MTA_S_7721	MTA_L_11585
14166	Transformador con dos devanados	A	MTA_L_11585	MTA_L_13572
13572_MTA-1	Línea aérea por fase	A	MTA_L_11585	MTA_L_13572
I13572_MTA-1	Línea aérea por fase	A	MTA_L_13572	IMTA_L_13572
7721_MTA-1	Línea aérea por fase	ABC	MTA_S_7721	MTA_S_7722
1321	Fusible	A	MTA_S_7722	MTA_S_13311
11327_MTA-1	Línea aérea por fase	A	MTA_S_7722	MTA_S_13311
15209	Transformador con dos devanados	A	MTA_S_13311	MTA_L_13311
13311_MTA-1	Línea aérea por fase	A	MTA_S_13311	MTA_L_13311
I13311_MTA-1	Línea aérea por fase	A	MTA_L_13311	IMTA_L_13311
7722_MTA-1	Línea aérea por fase	ABC	MTA_S_7722	MTA_L_7722
37935	Fusible	ABC	MTA_S_163300	MTA_L_7722
163300_MTA-1	Línea aérea por fase	ABC	MTA_S_163300	MTA_L_7722
30406_MTS-1	Cable	ABC	MTA_S_163300	MTS_L_30406
30407_MTS-1	Cable	ABC	MTS_L_30406	MTS_L_30407
22789	Interruptor seccionador	ABC	MTS_L_30407	MTS_L_34892
34892_MTS-1	Cable	ABC	MTS_L_30407	MTS_L_34892
34893_MTS-1	Cable	ABC	MTS_L_34892	MTS_L_34893
1404	Fusible	ABC	MTS_L_34893	MTS_L_365
365_MTS-1	Cable	ABC	MTS_L_34893	MTS_L_365
14692	Transformador con dos devanados	ABC	MTS_L_365	MTS_L_483
483_MTS-1	Cable	ABC	MTS_L_365	MTS_L_483
I483_MTS-1	Cable	ABC	MTS_L_483	IMTS_L_483
7723_MTA-1	Línea aérea por fase	ABC	MTA_L_7722	MTA_L_7723

Topología - Elementos ramales

Nro. equipo	Código	Fase	Nodo origen	Nodo destino
7724_MTA-1	Línea aérea por fase	ABC	MTA_L_7723	MTA_L_7724
98911_MTA-1	Línea aérea por fase	ABC	MTA_L_7724	MTA_L_98911
37934	Fusible	ABC	MTA_L_98911	MTA_L_98912
98912_MTA-1	Línea aérea por fase	ABC	MTA_L_98911	MTA_L_98912
7753_MTA-1	Línea aérea por fase	ABC	MTA_L_98912	MTA_L_7753
7726_MTA-1	Línea aérea por fase	ABC	MTA_L_7723	MTA_L_7726
1714	Fusible	ABC	MTA_L_7726	MTA_S_14250
10494_MTA-1	Línea aérea por fase	ABC	MTA_L_7726	MTA_S_14250
338;340;339	Transformador con dos devanados	ABC	MTA_S_14250	MTA_L_14250
14250_MTA-1	Línea aérea por fase	ABC	MTA_S_14250	MTA_L_14250
I14250_MTA-1	Línea aérea por fase	ABC	MTA_L_14250	IMTA_L_14250
7727_MTA-1	Línea aérea por fase	ABC	MTA_L_7726	MTA_L_7727
7728_MTA-1	Línea aérea por fase	ABC	MTA_L_7727	MTA_S_98894
88083_MTA-1	Línea aérea por fase	ABC	MTA_S_98894	MTA_L_88083
88084_MTA-1	Línea aérea por fase	ABC	MTA_L_88083	MTA_L_88084
5752_MTA-1	Línea aérea por fase	ABC	MTA_L_88084	MTA_L_5752
157923_MTA-1	Línea aérea por fase	ABC	MTA_L_5752	MTA_L_157923
7298_MTA-1	Línea aérea por fase	ABC	MTA_L_157923	MTA_L_7298
6561_MTA-1	Línea aérea por fase	ABC	MTA_S_6561	MTA_L_7298
6562_MTA-1	Línea aérea por fase	ABC	MTA_L_7298	MTA_L_6562
6563_MTA-1	Línea aérea por fase	ABC	MTA_L_6562	MTA_S_99827
38603	Fusible	ABC	MTA_S_99827	MTA_S_99828
99827_MTA-1	Línea aérea por fase	ABC	MTA_S_99827	MTA_S_99828
99828_MTA-1	Línea aérea por fase	ABC	MTA_S_99828	MTA_S_98890
7217_MTA-1	Línea aérea por fase	B	MTA_S_98890	MTA_L_7217
7218_MTA-1	Línea aérea por fase	B	MTA_L_7217	MTA_L_7218
7219_MTA-1	Línea aérea por fase	B	MTA_L_7218	MTA_L_7219
1715	Fusible	B	MTA_L_7219	MTA_L_10495
10495_MTA-1	Línea aérea por fase	B	MTA_L_7219	MTA_L_10495
459	Transformador con dos devanados	B	MTA_L_10495	MTA_L_14251
14251_MTA-1	Línea aérea por fase	B	MTA_L_10495	MTA_L_14251

Topología - Elementos ramales

Nro. equipo	Código	Fase	Nodo origen	Nodo destino
I14251_MTA-1	Línea aérea por fase	B	MTA_L_14251	IMTA_L_14251
7220_MTA-1	Línea aérea por fase	ABC	MTA_S_98890	MTA_L_7220
27210_MTS-1	Cable	ABC	MTA_L_7220	MTS_L_27210
8322	Interruptor seccionador	ABC	MTS_L_27210	MTS_L_27211
27211_MTS-1	Cable	ABC	MTS_L_27210	MTS_L_27211
27212_MTS-1	Cable	ABC	MTS_L_27211	MTS_L_27212
27213_MTS-1	Cable	ABC	MTS_L_27212	MTS_L_27213
27214_MTS-1	Cable	ABC	MTS_L_27213	MTS_L_27214
27215_MTS-1	Cable	ABC	MTS_L_27214	MTS_L_27215
38583	Fusible	ABC	MTS_L_27215	MTS_L_27520
27520_MTS-1	Cable	ABC	MTS_L_27215	MTS_L_27520
100460_MTA-1	Línea aérea por fase	ABC	MTS_L_27520	MTA_L_100460
7622_MTA-1	Línea aérea por fase	ABC	MTA_L_100460	MTA_S_14508
550	Fusible	ABC	MTA_S_14508	MTA_L_11295
11295_MTA-1	Línea aérea por fase	ABC	MTA_S_14508	MTA_L_11295
8453	Transformador con dos devanados	ABC	MTA_L_11295	MTA_L_13278
13278_MTA-1	Línea aérea por fase	ABC	MTA_L_11295	MTA_L_13278
I13278_MTA-1	Línea aérea por fase	ABC	MTA_L_13278	IMTA_L_13278
14508_MTA-1	Línea aérea por fase	ABC	MTA_S_14508	MTA_S_14509
551	Fusible	ABC	MTA_S_14509	MTA_S_13279
14509_MTA-1	Línea aérea por fase	ABC	MTA_S_14509	MTA_S_13279
4245	Transformador con dos devanados	ABC	MTA_S_13279	MTA_L_13279
13279_MTA-1	Línea aérea por fase	ABC	MTA_S_13279	MTA_L_13279
I13279_MTA-1	Línea aérea por fase	ABC	MTA_L_13279	IMTA_L_13279
27521_MTS-1	Cable	ABC	MTS_L_27214	MTS_L_27521
8321	Interruptor seccionador	ABC	MTS_L_27521	MTA_L_100459
27522_MTS-1	Cable	ABC	MTS_L_27521	MTA_L_100459
100459_MTA-1	Línea aérea por fase	ABC	MTA_S_7512	MTA_L_100459
7512_MTA-1	Línea aérea por fase	ABC	MTA_S_7512	MTA_S_7513
7513_MTA-1	Línea aérea por fase	ABC	MTA_S_7513	MTA_S_7514
552	Fusible	ABC	MTA_S_7514	MTA_L_11296

Topología - Elementos ramales

Nro. equipo	Código	Fase	Nodo origen	Nodo destino
11296_MTA-1	Línea aérea por fase	ABC	MTA_S_7514	MTA_L_11296
104;16771;105	Transformador con dos devanados	ABC	MTA_L_11296	MTA_L_13280
13280_MTA-1	Línea aérea por fase	ABC	MTA_L_11296	MTA_L_13280
l13280_MTA-1	Línea aérea por fase	ABC	MTA_L_13280	IMTA_L_13280
7514_MTA-1	Línea aérea por fase	ABC	MTA_S_7514	MTA_S_7515
7515_MTA-1	Línea aérea por fase	ABC	MTA_S_7515	MTA_L_7515
7516_MTA-1	Línea aérea por fase	ABC	MTA_L_7515	MTA_L_7516
7125_MTA-1	Línea aérea por fase	A	MTA_L_7516	MTA_L_7125
7517_MTA-1	Línea aérea por fase	ABC	MTA_L_7516	MTA_L_7517
9928	Interruptor seccionador	ABC	MTA_L_7517	MTA_S_100473
100472_MTA-1	Línea aérea por fase	ABC	MTA_L_7517	MTA_S_100473
100473_MTA-1	Línea aérea por fase	ABC	MTA_S_100473	MTA_L_100473
1290	Fusible	AB	MTA_L_100473	MTA_L_11298
11298_MTA-1	Línea aérea por fase	AB	MTA_L_100473	MTA_L_11298
112;111	Transformador con dos devanados	AB	MTA_L_11298	MTA_L_13282
13282_MTA-1	Línea aérea por fase	AB	MTA_L_11298	MTA_L_13282
l13282_MTA-1	Línea aérea por fase	AB	MTA_L_13282	IMTA_L_13282
7519_MTA-1	Línea aérea por fase	ABC	MTA_L_100473	MTA_L_7519
7520_MTA-1	Línea aérea por fase	ABC	MTA_L_7519	MTA_S_7123
7123_MTA-1	Línea aérea por fase	ABC	MTA_S_7123	MTA_S_9979
93749_MTA-1	Línea aérea por fase	ABC	MTA_S_9979	MTA_S_93750
8323	Interruptor seccionador	ABC	MTA_S_93750	MTA_L_1105
93750_MTA-1	Línea aérea por fase	ABC	MTA_S_93750	MTA_L_1105
716	Fusible	B	MTA_S_9979	MTA_L_9979
9979_MTA-1	Línea aérea por fase	B	MTA_S_9979	MTA_L_9979
9204	Transformador con dos devanados	B	MTA_L_9979	MTA_L_14202
14202_MTA-1	Línea aérea por fase	B	MTA_L_9979	MTA_L_14202
l14202_MTA-1	Línea aérea por fase	B	MTA_L_14202	IMTA_L_14202
1289	Fusible	B	MTA_L_7517	MTA_L_11297
11297_MTA-1	Línea aérea por fase	B	MTA_L_7517	MTA_L_11297
110	Transformador con dos devanados	B	MTA_L_11297	MTA_L_13281

Topología - Elementos ramales

Nro. equipo	Código	Fase	Nodo origen	Nodo destino
13281_MTA-1	Línea aérea por fase	B	MTA_L_11297	MTA_L_13281
I13281_MTA-1	Línea aérea por fase	B	MTA_L_13281	IMTA_L_13281
30580	Fusible	A	MTA_L_7516	MTA_S_83545
83544_MTA-1	Línea aérea por fase	A	MTA_L_7516	MTA_S_83545
37650	Fusible	B	MTA_S_98890	MTA_S_98891
98890_MTA-1	Línea aérea por fase	B	MTA_S_98890	MTA_S_98891
98891_MTA-1	Línea aérea por fase	B	MTA_S_98891	MTA_L_98891
2193	Fusible	B	MTA_L_98891	MTA_L_11357
11357_MTA-1	Línea aérea por fase	B	MTA_L_98891	MTA_L_11357
15692	Transformador con dos devanados	B	MTA_L_11357	MTA_L_13341
13341_MTA-1	Línea aérea por fase	B	MTA_L_11357	MTA_L_13341
I13341_MTA-1	Línea aérea por fase	B	MTA_L_13341	IMTA_L_13341
7127_MTA-1	Línea aérea por fase	B	MTA_L_98891	MTA_L_7127
7128_MTA-1	Línea aérea por fase	B	MTA_L_7127	MTA_L_7128
7129_MTA-1	Línea aérea por fase	B	MTA_L_7128	MTA_L_7129
7130_MTA-1	Línea aérea por fase	B	MTA_L_7129	MTA_L_7130
1291	Fusible	B	MTA_L_7130	MTA_S_13283
11299_MTA-1	Línea aérea por fase	B	MTA_L_7130	MTA_S_13283
108	Transformador con dos devanados	B	MTA_S_13283	MTA_L_13283
13283_MTA-1	Línea aérea por fase	B	MTA_S_13283	MTA_L_13283
I13283_MTA-1	Línea aérea por fase	B	MTA_L_13283	IMTA_L_13283
7131_MTA-1	Línea aérea por fase	B	MTA_L_7130	MTA_S_11300
1292	Fusible	B	MTA_S_11300	MTA_L_11300
11300_MTA-1	Línea aérea por fase	B	MTA_S_11300	MTA_L_11300
109	Transformador con dos devanados	B	MTA_L_11300	MTA_L_13284
13284_MTA-1	Línea aérea por fase	B	MTA_L_11300	MTA_L_13284
I13284_MTA-1	Línea aérea por fase	B	MTA_L_13284	IMTA_L_13284
7132_MTA-1	Línea aérea por fase	ABC	MTA_L_7298	MTA_L_7132
6670_MTA-1	Línea aérea por fase	ABC	MTA_L_7132	MTA_L_6670
98896_MTA-1	Línea aérea por fase	ABC	MTA_L_6670	MTA_L_98896
37653	Fusible	ABC	MTA_L_98896	MTA_L_98897

Topología - Elementos ramales

Nro. equipo	Código	Fase	Nodo origen	Nodo destino
98897_MTA-1	Línea aérea por fase	ABC	MTA_L_98896	MTA_L_98897
1295	Fusible	ABC	MTA_L_98897	MTA_L_11303
11303_MTA-1	Línea aérea por fase	ABC	MTA_L_98897	MTA_L_11303
348;349;350	Transformador con dos devanados	ABC	MTA_L_11303	MTA_L_13287
13287_MTA-1	Línea aérea por fase	ABC	MTA_L_11303	MTA_L_13287
I13287_MTA-1	Línea aérea por fase	ABC	MTA_L_13287	IMTA_L_13287
7982_MTA-1	Línea aérea por fase	ABC	MTA_L_98897	MTA_L_7982
7623_MTA-1	Línea aérea por fase	ABC	MTA_L_7982	MTA_L_7623
7624_MTA-1	Línea aérea por fase	ABC	MTA_L_7623	MTA_L_7624
37654	Fusible	B	MTA_L_7624	MTA_L_98914
98914_MTA-1	Línea aérea por fase	B	MTA_L_7624	MTA_L_98914
623	Transformador con dos devanados	B	MTA_L_98914	MTA_L_99171
99171_MTA-1	Línea aérea por fase	B	MTA_L_98914	MTA_L_99171
I99171_MTA-1	Línea aérea por fase	B	MTA_L_99171	IMTA_L_99171
99172_MTA-1	Línea aérea por fase	ABC	MTA_L_7624	MTA_L_99172
37655	Fusible	ABC	MTA_L_99172	MTS_L_27560
27560_MTS-1	Cable	ABC	MTA_L_99172	MTS_L_27560
27561_MTS-1	Cable	ABC	MTS_L_27560	MTS_L_27561
27562_MTS-1	Cable	ABC	MTS_L_27561	MTS_L_27562
27564_MTS-1	Cable	ABC	MTS_L_27562	MTS_L_27564
19595	Interruptor seccionador	ABC	MTS_L_27564	MTS_L_27565
27565_MTS-1	Cable	ABC	MTS_L_27564	MTS_L_27565
66986	Fusible	ABC	MTS_L_27565	MTS_L_27567
27567_MTS-1	Cable	ABC	MTS_L_27565	MTS_L_27567
13645	Transformador con dos devanados	ABC	MTS_L_27567	MTS_L_27568
27568_MTS-1	Cable	ABC	MTS_L_27567	MTS_L_27568
I27568_MTS-1	Cable	ABC	MTS_L_27568	IMTS_L_27568
99173_MTA-1	Línea aérea por fase	B	MTA_L_7624	MTA_L_99173
37656	Fusible	B	MTA_L_99173	MTA_L_99174
99174_MTA-1	Línea aérea por fase	B	MTA_L_99173	MTA_L_99174
7773_MTA-1	Línea aérea por fase	B	MTA_L_99174	MTA_L_7773

Topología - Elementos ramales

Nro. equipo	Código	Fase	Nodo origen	Nodo destino
1297	Fusible	B	MTA_L_7773	MTA_L_11305
11305_MTA-1	Línea aérea por fase	B	MTA_L_7773	MTA_L_11305
4237	Transformador con dos devanados	B	MTA_L_11305	MTA_L_13289
13289_MTA-1	Línea aérea por fase	B	MTA_L_11305	MTA_L_13289
I13289_MTA-1	Línea aérea por fase	B	MTA_L_13289	IMTA_L_13289
7774_MTA-1	Línea aérea por fase	B	MTA_L_7773	MTA_L_7774
7870_MTA-1	Línea aérea por fase	B	MTA_L_7774	MTA_S_6555
6555_MTA-1	Línea aérea por fase	B	MTA_S_6555	MTA_S_11586
2445	Fusible	B	MTA_S_11586	MTA_L_11586
11586_MTA-1	Línea aérea por fase	B	MTA_S_11586	MTA_L_11586
12540	Transformador con dos devanados	B	MTA_L_11586	MTA_L_13573
13573_MTA-1	Línea aérea por fase	B	MTA_L_11586	MTA_L_13573
I13573_MTA-1	Línea aérea por fase	B	MTA_L_13573	IMTA_L_13573
7871_MTA-1	Línea aérea por fase	B	MTA_S_6555	MTA_S_7872
7872_MTA-1	Línea aérea por fase	B	MTA_S_7872	MTA_L_7872
7873_MTA-1	Línea aérea por fase	B	MTA_L_7872	MTA_L_7873
7874_MTA-1	Línea aérea por fase	B	MTA_L_7873	MTA_L_7874
7875_MTA-1	Línea aérea por fase	B	MTA_L_7874	MTA_S_7876
7876_MTA-1	Línea aérea por fase	B	MTA_S_7876	MTA_S_7877
7877_MTA-1	Línea aérea por fase	B	MTA_S_7877	MTA_S_7878
1299	Fusible	B	MTA_S_7878	MTA_S_13291
11307_MTA-1	Línea aérea por fase	B	MTA_S_7878	MTA_S_13291
13176	Transformador con dos devanados	B	MTA_S_13291	MTA_L_13291
13291_MTA-1	Línea aérea por fase	B	MTA_S_13291	MTA_L_13291
I13291_MTA-1	Línea aérea por fase	B	MTA_L_13291	IMTA_L_13291
7878_MTA-1	Línea aérea por fase	B	MTA_S_7878	MTA_L_7878
7879_MTA-1	Línea aérea por fase	B	MTA_L_7878	MTA_S_7880
7880_MTA-1	Línea aérea por fase	B	MTA_S_7880	MTA_S_7881
7881_MTA-1	Línea aérea por fase	B	MTA_S_7881	MTA_L_7881
7882_MTA-1	Línea aérea por fase	B	MTA_L_7881	MTA_L_7882
37936	Fusible	B	MTA_L_7882	MTA_L_99175

Topología - Elementos ramales

Nro. equipo	Código	Fase	Nodo origen	Nodo destino
99175_MTA-1	Línea aérea por fase	B	MTA_L_7882	MTA_L_99175
99176_MTA-1	Línea aérea por fase	B	MTA_L_99175	MTA_L_99176
7884_MTA-1	Línea aérea por fase	B	MTA_L_99176	MTA_L_7884
7885_MTA-1	Línea aérea por fase	B	MTA_L_7884	MTA_L_7885
7886_MTA-1	Línea aérea por fase	B	MTA_L_7885	MTA_L_7886
7887_MTA-1	Línea aérea por fase	B	MTA_L_7886	MTA_L_7887
1300	Fusible	B	MTA_L_7887	MTA_L_11308
11308_MTA-1	Línea aérea por fase	B	MTA_L_7887	MTA_L_11308
10458	Transformador con dos devanados	B	MTA_L_11308	MTA_L_13292
13292_MTA-1	Línea aérea por fase	B	MTA_L_11308	MTA_L_13292
I13292_MTA-1	Línea aérea por fase	B	MTA_L_13292	IMTA_L_13292
7888_MTA-1	Línea aérea por fase	B	MTA_L_7887	MTA_L_7888
7889_MTA-1	Línea aérea por fase	B	MTA_L_7888	MTA_S_8205
8205_MTA-1	Línea aérea por fase	B	MTA_S_8205	MTA_L_8205
6438_MTA-1	Línea aérea por fase	B	MTA_L_8205	MTA_L_6438
6439_MTA-1	Línea aérea por fase	B	MTA_L_8205	MTA_L_6439
1517_MTA-1	Línea aérea por fase	B	MTA_L_6439	MTA_L_1517
6215_MTA-1	Línea aérea por fase	B	MTA_L_1517	MTA_L_6215
33135	Fusible	B	MTA_L_6215	MTA_L_88634
88634_MTA-1	Línea aérea por fase	B	MTA_L_6215	MTA_L_88634
17040	Transformador con dos devanados	B	MTA_L_88634	MTA_L_88633
88633_MTA-1	Línea aérea por fase	B	MTA_L_88634	MTA_L_88633
I88633_MTA-1	Línea aérea por fase	B	MTA_L_88633	IMTA_L_88633
6216_MTA-1	Línea aérea por fase	B	MTA_L_1517	MTA_L_6216
6217_MTA-1	Línea aérea por fase	B	MTA_L_6216	MTA_L_6217
6218_MTA-1	Línea aérea por fase	B	MTA_L_6217	MTA_L_6218
12501	Fusible	B	MTA_L_6218	MTA_L_42545
42545_MTA-1	Línea aérea por fase	B	MTA_L_6218	MTA_L_42545
16658	Transformador con dos devanados	B	MTA_L_42545	MTA_L_42546
42546_MTA-1	Línea aérea por fase	B	MTA_L_42545	MTA_L_42546
I42546_MTA-1	Línea aérea por fase	B	MTA_L_42546	IMTA_L_42546

Topología - Elementos ramales

Nro. equipo	Código	Fase	Nodo origen	Nodo destino
6219_MTA-1	Línea aérea por fase	B	MTA_L_6218	MTA_L_6219
1301	Fusible	B	MTA_L_6219	MTA_S_13293
11309_MTA-1	Línea aérea por fase	B	MTA_L_6219	MTA_S_13293
10422	Transformador con dos devanados	B	MTA_S_13293	MTA_L_13293
13293_MTA-1	Línea aérea por fase	B	MTA_S_13293	MTA_L_13293
I13293_MTA-1	Línea aérea por fase	B	MTA_L_13293	IMTA_L_13293
6220_MTA-1	Línea aérea por fase	B	MTA_L_1517	MTA_S_99177
37937	Fusible	B	MTA_S_99177	MTA_S_99178
99177_MTA-1	Línea aérea por fase	B	MTA_S_99177	MTA_S_99178
99178_MTA-1	Línea aérea por fase	B	MTA_S_99178	MTA_S_7762
7762_MTA-1	Línea aérea por fase	B	MTA_S_7762	MTA_S_7444
7444_MTA-1	Línea aérea por fase	B	MTA_S_7444	MTA_L_7444
1302	Fusible	B	MTA_L_7444	MTA_L_11310
11310_MTA-1	Línea aérea por fase	B	MTA_L_7444	MTA_L_11310
10529	Transformador con dos devanados	B	MTA_L_11310	MTA_L_13294
13294_MTA-1	Línea aérea por fase	B	MTA_L_11310	MTA_L_13294
I13294_MTA-1	Línea aérea por fase	B	MTA_L_13294	IMTA_L_13294
8206_MTA-1	Línea aérea por fase	B	MTA_L_8205	MTA_L_8206
8207_MTA-1	Línea aérea por fase	B	MTA_L_8206	MTA_L_8207
8208_MTA-1	Línea aérea por fase	B	MTA_L_8207	MTA_L_8208
8209_MTA-1	Línea aérea por fase	B	MTA_L_8208	MTA_L_8209
8210_MTA-1	Línea aérea por fase	B	MTA_L_8209	MTA_L_8210
5306_MTA-1	Línea aérea por fase	B	MTA_L_8210	MTA_L_5306
35038	Fusible	B	MTA_S_7877	MTA_L_93550
93550_MTA-1	Línea aérea por fase	B	MTA_S_7877	MTA_L_93550
8749	Transformador con dos devanados	B	MTA_L_93550	MTA_L_93551
93551_MTA-1	Línea aérea por fase	B	MTA_L_93550	MTA_L_93551
I93551_MTA-1	Línea aérea por fase	B	MTA_L_93551	IMTA_L_93551
8211_MTA-1	Línea aérea por fase	B	MTA_S_6555	MTA_L_8211
1298	Fusible	B	MTA_L_8211	MTA_L_11306
11306_MTA-1	Línea aérea por fase	B	MTA_L_8211	MTA_L_11306

Topología - Elementos ramales

Nro. equipo	Código	Fase	Nodo origen	Nodo destino
355	Transformador con dos devanados	B	MTA_L_11306	MTA_L_13290
13290_MTA-1	Línea aérea por fase	B	MTA_L_11306	MTA_L_13290
I13290_MTA-1	Línea aérea por fase	B	MTA_L_13290	IMTA_L_13290
7729_MTA-1	Línea aérea por fase	ABC	MTA_L_7132	MTA_L_7729
7730_MTA-1	Línea aérea por fase	ABC	MTA_L_7132	MTA_S_8770
8770_MTA-1	Línea aérea por fase	ABC	MTA_S_8770	MTA_S_11301
1293	Fusible	A	MTA_S_11301	MTA_L_11301
11301_MTA-1	Línea aérea por fase	A	MTA_S_11301	MTA_L_11301
13285_MTA-1	Transformador con dos devanados	A	MTA_L_11301	MTA_L_13285
13285_MTA-1	Línea aérea por fase	A	MTA_L_11301	MTA_L_13285
I13285_MTA-1	Línea aérea por fase	A	MTA_L_13285	IMTA_L_13285
6669_MTA-1	Línea aérea por fase	ABC	MTA_S_11301	MTA_L_6669
1294	Fusible	ABC	MTA_L_6669	MTA_L_11302
11302_MTA-1	Línea aérea por fase	ABC	MTA_L_6669	MTA_L_11302
8789;8787;8788	Transformador con dos devanados	ABC	MTA_L_11302	MTA_L_13286
13286_MTA-1	Línea aérea por fase	ABC	MTA_L_11302	MTA_L_13286
I13286_MTA-1	Línea aérea por fase	ABC	MTA_L_13286	IMTA_L_13286
157932_MTA-1	Línea aérea por fase	ABC	MTA_L_6669	MTA_L_157932
99495_MTA-1	Línea aérea por fase	ABC	MTA_S_99495	MTA_L_157932
38267	Fusible	ABC	MTS_L_27525	MTA_S_99495
27524_MTS-1	Cable	ABC	MTS_L_27525	MTA_S_99495
27525_MTS-1	Cable	ABC	MTS_S_27525	MTS_L_27525
27526_MTS-1	Cable	ABC	MTS_S_27525	MTS_L_27526
27527_MTS-1	Cable	ABC	MTS_L_27526	MTS_L_27527
27528_MTS-1	Cable	ABC	MTS_L_27527	MTS_L_27528
19278	Interruptor seccionador	ABC	MTS_L_27528	MTS_L_27530
27530_MTS-1	Cable	ABC	MTS_L_27528	MTS_L_27530
27531_MTS-1	Cable	ABC	MTS_L_27530	MTS_L_27531
66999	Fusible	ABC	MTS_L_27531	MTS_L_27533
27533_MTS-1	Cable	ABC	MTS_L_27531	MTS_L_27533
16980	Transformador con dos devanados	ABC	MTS_L_27533	MTS_L_27534

Topología - Elementos ramales

Nro. equipo	Código	Fase	Nodo origen	Nodo destino
27534_MTS-1	Cable	ABC	MTS_L_27533	MTS_L_27534
I27534_MTS-1	Cable	ABC	MTS_L_27534	IMTS_L_27534
98892_MTA-1	Línea aérea por fase	ABC	MTA_L_88083	MTA_L_98892
37651	Fusible	ABC	MTA_L_98892	MTS_L_26927
26927_MTS-1	Cable	ABC	MTA_L_98892	MTS_L_26927
27200_MTS-1	Cable	ABC	MTS_L_26927	MTS_L_27200
19592	Interruptor seccionador	ABC	MTS_L_27200	MTS_L_27201
27201_MTS-1	Cable	ABC	MTS_L_27200	MTS_L_27201
66980	Fusible	ABC	MTS_L_27201	MTS_L_27203
27203_MTS-1	Cable	ABC	MTS_L_27201	MTS_L_27203
15902	Transformador con dos devanados	ABC	MTS_L_27203	MTS_L_27204
27204_MTS-1	Cable	ABC	MTS_L_27203	MTS_L_27204
I27204_MTS-1	Cable	ABC	MTS_L_27204	IMTS_L_27204
37652	Fusible	ABC	MTA_S_98894	MTA_L_98894
98894_MTA-1	Línea aérea por fase	ABC	MTA_S_98894	MTA_L_98894
13505	Transformador con dos devanados	ABC	MTA_L_98894	MTA_L_98895
98895_MTA-1	Línea aérea por fase	ABC	MTA_L_98894	MTA_L_98895
I98895_MTA-1	Línea aérea por fase	ABC	MTA_L_98895	IMTA_L_98895
20639	Fusible	ABC	MTA_L_7723	MTA_L_2041
7823_MTA-1	Línea aérea por fase	ABC	MTA_L_7723	MTA_L_2041
78204	Fusible	A	MTA_L_181573	MTA_S_181577
181576_MTA-1	Línea aérea por fase	A	MTA_L_181573	MTA_S_181577
2580291	Transformador con dos devanados	A	MTA_S_181577	MTA_L_181577
181577_MTA-1	Línea aérea por fase	A	MTA_S_181577	MTA_L_181577
I181577_MTA-1	Línea aérea por fase	A	MTA_L_181577	IMTA_L_181577
8100_MTA-1	Línea aérea por fase	ABC	MTA_S_162985	MTA_L_8100
52229	Fusible	AC	MTA_L_8100	MTA_L_127665
127665_MTA-1	Línea aérea por fase	AC	MTA_L_8100	MTA_L_127665
127666_MTA-1	Línea aérea por fase	AC	MTA_L_127665	MTA_L_127666
8102_MTA-1	Línea aérea por fase	AC	MTA_L_127666	MTA_S_8103
8103_MTA-1	Línea aérea por fase	AC	MTA_S_8103	MTA_L_8103

Topología - Elementos ramales

Nro. equipo	Código	Fase	Nodo origen	Nodo destino
8104_MTA-1	Línea aérea por fase	AC	MTA_L_8103	MTA_S_8105
2430	Fusible	AC	MTA_S_8105	MTA_L_11571
11571_MTA-1	Línea aérea por fase	AC	MTA_S_8105	MTA_L_11571
1012;16195	Transformador con dos devanados	AC	MTA_L_11571	MTA_L_13558
13558_MTA-1	Línea aérea por fase	AC	MTA_L_11571	MTA_L_13558
I13558_MTA-1	Línea aérea por fase	AC	MTA_L_13558	IMTA_L_13558
8105_MTA-1	Línea aérea por fase	AC	MTA_S_8105	MTA_S_11457
2309	Fusible	C	MTA_S_11457	MTA_S_13442
11457_MTA-1	Línea aérea por fase	C	MTA_S_11457	MTA_S_13442
15104	Transformador con dos devanados	C	MTA_S_13442	MTA_L_13442
13442_MTA-1	Línea aérea por fase	C	MTA_S_13442	MTA_L_13442
I13442_MTA-1	Línea aérea por fase	C	MTA_L_13442	IMTA_L_13442
17583_MTA-1	Línea aérea por fase	A	MTA_S_11457	MTA_L_17583
4964	Fusible	A	MTA_L_17583	MTS_L_32991
32991_MTS-1	Cable	A	MTA_L_17583	MTS_L_32991
32992_MTS-1	Cable	A	MTS_L_32991	MTS_L_32992
21839	Interruptor seccionador	A	MTS_L_32992	MTS_L_32993
32993_MTS-1	Cable	A	MTS_L_32992	MTS_L_32993
4965	Fusible	A	MTS_L_32993	MTS_L_1239
1239_MTS-1	Cable	A	MTS_L_32993	MTS_L_1239
14423	Transformador con dos devanados	A	MTS_L_1239	MTS_L_1240
1240_MTS-1	Cable	A	MTS_L_1239	MTS_L_1240
I1240_MTS-1	Cable	A	MTS_L_1240	IMTS_L_1240
6819_MTA-1	Línea aérea por fase	ABC	MTA_S_4765	MTA_S_9920
6779_MTA-1	Línea aérea por fase	ABC	MTA_S_9920	MTA_L_6779
1578_MTA-1	Línea aérea por fase	ABC	MTA_L_6779	MTA_L_1578
125886_MTA-1	Línea aérea por fase	ABC	MTA_L_1578	MTA_L_125886
51708	Fusible	ABC	MTA_L_125886	MTA_S_168765
125887_MTA-1	Línea aérea por fase	ABC	MTA_L_125886	MTA_S_168765
1580_MTA-1	Línea aérea por fase	ABC	MTA_S_168765	MTA_S_9921
1581_MTA-1	Línea aérea por fase	ABC	MTA_S_9921	MTA_L_1581

Topología - Elementos ramales

Nro. equipo	Código	Fase	Nodo origen	Nodo destino
129420_MTA-1	Línea aérea por fase	ABC	MTA_L_1581	MTA_L_129420
53036	Fusible	ABC	MTA_L_129420	MTA_S_168763
129421_MTA-1	Línea aérea por fase	ABC	MTA_L_129420	MTA_S_168763
1583_MTA-1	Línea aérea por fase	ABC	MTA_S_168763	MTA_L_1583
5687_MTA-1	Línea aérea por fase	ABC	MTA_L_1583	MTA_L_5687
168766_MTA-1	Línea aérea por fase	ABC	MTA_L_5687	MTS_S_33344
5276	Fusible	ABC	MTS_S_33344	MTS_L_33344
33344_MTS-1	Cable	ABC	MTS_S_33344	MTS_L_33344
33345_MTS-1	Cable	ABC	MTS_L_33344	MTS_L_33345
33347_MTS-1	Cable	ABC	MTS_L_33345	MTS_L_33347
33349_MTS-1	Cable	ABC	MTS_L_33347	MTS_L_33349
33350_MTS-1	Cable	ABC	MTS_L_33349	MTS_L_33350
21866	Interruptor seccionador	ABC	MTS_L_33350	MTS_L_33351
33351_MTS-1	Cable	ABC	MTS_L_33350	MTS_L_33351
33352_MTS-1	Cable	ABC	MTS_L_33351	MTS_L_33352
5277	Fusible	ABC	MTS_L_33352	MTS_L_1559
1559_MTS-1	Cable	ABC	MTS_L_33352	MTS_L_1559
12713	Transformador con dos devanados	ABC	MTS_L_1559	MTS_L_1560
1560_MTS-1	Cable	ABC	MTS_L_1559	MTS_L_1560
I1560_MTS-1	Cable	ABC	MTS_L_1560	IMTS_L_1560
5688_MTA-1	Línea aérea por fase	ABC	MTA_L_5687	MTA_S_129418
53018	Fusible	ABC	MTA_S_129418	MTA_L_129418
129418_MTA-1	Línea aérea por fase	ABC	MTA_S_129418	MTA_L_129418
129419_MTA-1	Línea aérea por fase	ABC	MTA_L_129418	MTA_L_129419
2262_MTA-1	Línea aérea por fase	ABC	MTA_L_129419	MTA_S_10789
1545	Fusible	ABC	MTA_S_10789	MTA_S_12794
10789_MTA-1	Línea aérea por fase	ABC	MTA_S_10789	MTA_S_12794
7497	Transformador con dos devanados	ABC	MTA_S_12794	MTA_L_12794
12794_MTA-1	Línea aérea por fase	ABC	MTA_S_12794	MTA_L_12794
I12794_MTA-1	Línea aérea por fase	ABC	MTA_L_12794	IMTA_L_12794
87	Seccionador	ABC	MTA_S_12794	87

Topología - Elementos ramales

Nro. equipo	Código	Fase	Nodo origen	Nodo destino
91-1	Transformador con dos devanados	ABC	87	88
5691_MTA-1	Línea aérea por fase	C	MTA_L_5687	MTA_S_11488
2340	Fusible	C	MTA_S_11488	MTA_L_11488
11488_MTA-1	Línea aérea por fase	C	MTA_S_11488	MTA_L_11488
13473_MTA-1	Transformador con dos devanados	C	MTA_L_11488	MTA_L_13473
13473_MTA-1	Línea aérea por fase	C	MTA_L_11488	MTA_L_13473
l13473_MTA-1	Línea aérea por fase	C	MTA_L_13473	IMTA_L_13473
168767_MTA-1	Línea aérea por fase	C	MTS_S_33355	MTA_S_11488
72229	Fusible	C	MTS_S_33355	MTS_L_33355
33355_MTS-1	Cable	C	MTS_S_33355	MTS_L_33355
33357_MTS-1	Cable	C	MTS_L_33355	MTS_L_33357
33359_MTS-1	Cable	C	MTS_L_33357	MTS_L_33359
33363_MTS-1	Cable	C	MTS_L_33359	MTS_L_33363
33364_MTS-1	Cable	C	MTS_L_33363	MTS_L_33364
21867	Interruptor seccionador	C	MTS_L_33364	MTS_L_33365
33365_MTS-1	Cable	C	MTS_L_33364	MTS_L_33365
33366_MTS-1	Cable	C	MTS_L_33365	MTS_L_33366
2432	Fusible	C	MTS_L_33366	MTS_L_33367
33367_MTS-1	Cable	C	MTS_L_33366	MTS_L_33367
11864	Transformador con dos devanados	C	MTS_L_33367	MTS_L_42880
42880_MTS-1	Cable	C	MTS_L_33367	MTS_L_42880
l42880_MTS-1	Cable	C	MTS_L_42880	IMTS_L_42880
5692_MTA-1	Línea aérea por fase	C	MTA_S_11488	MTA_S_10788
1544	Fusible	C	MTA_S_10788	MTA_L_10788
10788_MTA-1	Línea aérea por fase	C	MTA_S_10788	MTA_L_10788
4453	Transformador con dos devanados	C	MTA_L_10788	MTA_L_12793
12793_MTA-1	Línea aérea por fase	C	MTA_L_10788	MTA_L_12793
l12793_MTA-1	Línea aérea por fase	C	MTA_L_12793	IMTA_L_12793
168763_MTA-1	Línea aérea por fase	ABC	MTA_S_168763	MTS_L_33308
53035	Fusible	ABC	MTS_L_33310	MTS_L_33308
33308_MTS-1	Cable	ABC	MTS_L_33310	MTS_L_33308

Topología - Elementos ramales

Nro. equipo	Código	Fase	Nodo origen	Nodo destino
33310_MTS-1	Cable	ABC	MTS_L_33312	MTS_L_33310
21851	Interruptor seccionador	ABC	MTS_L_33311	MTS_L_33312
33312_MTS-1	Cable	ABC	MTS_L_33311	MTS_L_33312
33311_MTS-1	Cable	ABC	MTS_S_33313	MTS_L_33311
2431	Fusible	ABC	MTS_S_33313	MTS_L_33313
33313_MTS-1	Cable	ABC	MTS_S_33313	MTS_L_33313
12247	Transformador con dos devanados	ABC	MTS_L_33313	MTS_L_33314
33314_MTS-1	Cable	ABC	MTS_L_33313	MTS_L_33314
I33314_MTS-1	Cable	ABC	MTS_L_33314	IMTS_L_33314
53037	Fusible	ABC	MTA_L_1581	MTA_L_129422
129422_MTA-1	Línea aérea por fase	ABC	MTA_L_1581	MTA_L_129422
129423_MTA-1	Línea aérea por fase	ABC	MTA_L_129422	MTA_L_129423
5694_MTA-1	Línea aérea por fase	ABC	MTA_L_129423	MTA_S_11877
588	Fusible	A	MTA_S_11877	MTA_S_14443
11877_MTA-1	Línea aérea por fase	A	MTA_S_11877	MTA_S_14443
14956	Transformador con dos devanados	A	MTA_S_14443	MTA_L_14443
14443_MTA-1	Línea aérea por fase	A	MTA_S_14443	MTA_L_14443
I14443_MTA-1	Línea aérea por fase	A	MTA_L_14443	IMTA_L_14443
1738_MTA-1	Línea aérea por fase	ABC	MTA_S_5695	MTA_S_11877
2522	Fusible	ABC	MTA_S_5695	MTA_L_11659
11659_MTA-1	Línea aérea por fase	ABC	MTA_S_5695	MTA_L_11659
7096	Transformador con dos devanados	ABC	MTA_L_11659	MTA_L_13646
13646_MTA-1	Línea aérea por fase	ABC	MTA_L_11659	MTA_L_13646
I13646_MTA-1	Línea aérea por fase	ABC	MTA_L_13646	IMTA_L_13646
5695_MTA-1	Línea aérea por fase	ABC	MTA_S_5695	MTA_S_5696
5696_MTA-1	Línea aérea por fase	ABC	MTA_S_5696	MTA_L_5696
5697_MTA-1	Línea aérea por fase	ABC	MTA_L_5696	MTA_L_5697
6371_MTA-1	Línea aérea por fase	ABC	MTA_L_5697	MTA_L_6371
76789_MTA-1	Línea aérea por fase	ABC	MTA_L_1581	MTA_S_5698
25985	Interruptor seccionador	ABC	MTA_S_5698	MTA_S_5699
5698_MTA-1	Línea aérea por fase	ABC	MTA_S_5698	MTA_S_5699

Topología - Elementos ramales

Nro. equipo	Código	Fase	Nodo origen	Nodo destino
76791_MTA-1	Línea aérea por fase	ABC	MTA_S_5698	MTA_L_76791
27701	Fusible	ABC	MTA_L_76791	MTS_L_32079
32079_MTS-1	Cable	ABC	MTA_L_76791	MTS_L_32079
32081_MTS-1	Cable	ABC	MTS_L_32079	MTS_L_32081
32083_MTS-1	Cable	ABC	MTS_L_32081	MTS_L_32083
32085_MTS-1	Cable	ABC	MTS_L_32083	MTS_L_32085
32087_MTS-1	Cable	ABC	MTS_L_32085	MTS_L_32087
21513	Interruptor seccionador	ABC	MTS_L_32087	MTS_L_32088
32088_MTS-1	Cable	ABC	MTS_L_32087	MTS_L_32088
1332	Fusible	ABC	MTS_L_32088	MTS_L_380
380_MTS-1	Cable	ABC	MTS_L_32088	MTS_L_380
12960	Transformador con dos devanados	ABC	MTS_L_380	MTS_L_505
505_MTS-1	Cable	ABC	MTS_L_380	MTS_L_505
I505_MTS-1	Cable	ABC	MTS_L_505	IMTS_L_505
200148_MTA-1	Línea aérea por fase	ABC	MTA_S_9921	MTA_L_200148
89052	Fusible	ABC	MTA_L_200148	MTA_L_200149
200149_MTA-1	Línea aérea por fase	ABC	MTA_L_200148	MTA_L_200149
44827_MTS-1	Cable	ABC	MTA_L_200149	MTS_L_44827
44829_MTS-1	Cable	ABC	MTS_L_44827	MTS_L_44829
44831_MTS-1	Cable	ABC	MTS_L_44829	MTS_L_44831
45120_MTS-1	Cable	ABC	MTS_L_44831	MTS_L_45120
91641	Fusible	ABC	MTS_L_45120	MTS_L_46760
46760_MTS-1	Cable	ABC	MTS_L_45120	MTS_L_46760
18151	Transformador con dos devanados	ABC	MTS_L_46760	MTS_L_46761
46761_MTS-1	Cable	ABC	MTS_L_46760	MTS_L_46761
I46761_MTS-1	Cable	ABC	MTS_L_46761	IMTS_L_46761
655	Fusible	A	MTA_S_9921	MTA_S_14144
9921_MTA-1	Línea aérea por fase	A	MTA_S_9921	MTA_S_14144
8916	Transformador con dos devanados	A	MTA_S_14144	MTA_L_14144
14144_MTA-1	Línea aérea por fase	A	MTA_S_14144	MTA_L_14144
I14144_MTA-1	Línea aérea por fase	A	MTA_L_14144	IMTA_L_14144

Topología - Elementos ramales

Nro. equipo	Código	Fase	Nodo origen	Nodo destino
168765_MTA-1	Línea aérea por fase	ABC	MTA_S_168765	MTA_L_168765
51709	Fusible	ABC	MTA_L_168765	MTS_L_33315
33315_MTS-1	Cable	ABC	MTA_L_168765	MTS_L_33315
33317_MTS-1	Cable	ABC	MTS_L_33315	MTS_L_33317
21852	Interruptor seccionador	ABC	MTS_L_33317	MTS_L_33321
33321_MTS-1	Cable	ABC	MTS_L_33317	MTS_L_33321
33322_MTS-1	Cable	ABC	MTS_L_33321	MTS_L_33322
538_MTS-1	Cable	B	MTS_L_33322	MTS_L_538
1327	Fusible	B	MTS_L_538	MTS_L_540
540_MTS-1	Cable	B	MTS_L_538	MTS_L_540
14995	Transformador con dos devanados	B	MTS_L_540	MTS_L_503
503_MTS-1	Cable	B	MTS_L_540	MTS_L_503
I503_MTS-1	Cable	B	MTS_L_503	IMTS_L_503
539_MTS-1	Cable	A	MTS_L_33322	MTS_L_539
1326	Fusible	A	MTS_L_539	MTS_L_541
541_MTS-1	Cable	A	MTS_L_539	MTS_L_541
15189	Transformador con dos devanados	A	MTS_L_541	MTS_L_502
502_MTS-1	Cable	A	MTS_L_541	MTS_L_502
I502_MTS-1	Cable	A	MTS_L_502	IMTS_L_502
654	Fusible	A	MTA_S_9920	MTA_S_14143
9920_MTA-1	Línea aérea por fase	A	MTA_S_9920	MTA_S_14143
292	Transformador con dos devanados	A	MTA_S_14143	MTA_L_14143
14143_MTA-1	Línea aérea por fase	A	MTA_S_14143	MTA_L_14143
I14143_MTA-1	Línea aérea por fase	A	MTA_L_14143	IMTA_L_14143
7583_MTA-1	Línea aérea por fase	ABC	MTA_S_4765	MTA_S_9919
653	Fusible	C	MTA_S_9919	MTA_S_14142
9919_MTA-1	Línea aérea por fase	C	MTA_S_9919	MTA_S_14142
10237	Transformador con dos devanados	C	MTA_S_14142	MTA_L_14142
14142_MTA-1	Línea aérea por fase	C	MTA_S_14142	MTA_L_14142
I14142_MTA-1	Línea aérea por fase	C	MTA_L_14142	IMTA_L_14142
7590_MTA-1	Línea aérea por fase	C	MTA_L_7578	MTA_L_7590

Topología - Elementos ramales

Nro. equipo	Código	Fase	Nodo origen	Nodo destino
6818_MTA-1	Línea aérea por fase	C	MTA_L_7590	MTA_L_6818
2337	Fusible	C	MTA_L_6818	MTA_L_11485
11485_MTA-1	Línea aérea por fase	C	MTA_L_6818	MTA_L_11485
12320	Transformador con dos devanados	C	MTA_L_11485	MTA_L_13470
13470_MTA-1	Línea aérea por fase	C	MTA_L_11485	MTA_L_13470
I13470_MTA-1	Línea aérea por fase	C	MTA_L_13470	IMTA_L_13470
652	Fusible	A	MTA_L_7577	MTA_L_9918
9918_MTA-1	Línea aérea por fase	A	MTA_L_7577	MTA_L_9918
253	Transformador con dos devanados	A	MTA_L_9918	MTA_L_14141
14141_MTA-1	Línea aérea por fase	A	MTA_L_9918	MTA_L_14141
I14141_MTA-1	Línea aérea por fase	A	MTA_L_14141	IMTA_L_14141
7120_MTA-1	Línea aérea por fase	ABC	MTA_S_6416	MTA_L_7120
7121_MTA-1	Línea aérea por fase	ABC	MTA_L_7120	MTA_L_7121
1243	Fusible	B	MTA_L_7121	MTA_L_10562
10562_MTA-1	Línea aérea por fase	B	MTA_L_7121	MTA_L_10562
16133	Transformador con dos devanados	B	MTA_L_10562	MTA_L_14320
14320_MTA-1	Línea aérea por fase	B	MTA_L_10562	MTA_L_14320
I14320_MTA-1	Línea aérea por fase	B	MTA_L_14320	IMTA_L_14320
115287_MTA-1	Línea aérea por fase	ABC	MTA_L_7121	MTA_L_115287
48541	Fusible	ABC	MTA_L_115287	MTA_S_5810
115288_MTA-1	Línea aérea por fase	ABC	MTA_L_115287	MTA_S_5810
48542	Fusible	A	MTA_S_5810	MTA_L_115289
115289_MTA-1	Línea aérea por fase	A	MTA_S_5810	MTA_L_115289
115290_MTA-1	Línea aérea por fase	A	MTA_L_115289	MTA_L_115290
5809_MTA-1	Línea aérea por fase	A	MTA_L_115290	MTA_S_10563
1244	Fusible	A	MTA_S_10563	MTA_L_10563
10563_MTA-1	Línea aérea por fase	A	MTA_S_10563	MTA_L_10563
6230	Transformador con dos devanados	A	MTA_L_10563	MTA_L_14321
14321_MTA-1	Línea aérea por fase	A	MTA_L_10563	MTA_L_14321
I14321_MTA-1	Línea aérea por fase	A	MTA_L_14321	IMTA_L_14321
5810_MTA-1	Línea aérea por fase	ABC	MTA_S_5810	MTA_S_5811

Topología - Elementos ramales

Nro. equipo	Código	Fase	Nodo origen	Nodo destino
5811_MTA-1	Línea aérea por fase	ABC	MTA_S_5811	MTA_S_5812
5812_MTA-1	Línea aérea por fase	ABC	MTA_S_5812	MTA_S_5813
5813_MTA-1	Línea aérea por fase	ABC	MTA_S_5813	MTA_S_5814
5814_MTA-1	Línea aérea por fase	ABC	MTA_S_5814	MTA_S_5815
5815_MTA-1	Línea aérea por fase	ABC	MTA_S_5815	MTA_S_5816
5816_MTA-1	Línea aérea por fase	ABC	MTA_S_5816	MTA_S_10564
1245	Fusible	B	MTA_S_10564	MTA_S_14322
10564_MTA-1	Línea aérea por fase	B	MTA_S_10564	MTA_S_14322
8506	Transformador con dos devanados	B	MTA_S_14322	MTA_L_14322
14322_MTA-1	Línea aérea por fase	B	MTA_S_14322	MTA_L_14322
I14322_MTA-1	Línea aérea por fase	B	MTA_L_14322	IMTA_L_14322
7591_MTA-1	Línea aérea por fase	ABC	MTA_S_10564	MTA_L_7591
1665_MTA-1	Línea aérea por fase	ABC	MTA_L_7591	MTA_L_1665
1666_MTA-1	Línea aérea por fase	ABC	MTA_L_1665	MTA_S_1667
1667_MTA-1	Línea aérea por fase	ABC	MTA_S_1667	MTA_L_1667
7593_MTA-1	Línea aérea por fase	ABC	MTA_L_1667	MTA_S_7212
7212_MTA-1	Línea aérea por fase	ABC	MTA_S_7212	MTA_S_115293
48544	Fusible	ABC	MTA_S_115293	MTA_L_115293
115293_MTA-1	Línea aérea por fase	ABC	MTA_S_115293	MTA_L_115293
115294_MTA-1	Línea aérea por fase	ABC	MTA_L_115293	MTA_L_115294
1246	Fusible	A	MTA_L_115294	MTA_S_14323
10565_MTA-1	Línea aérea por fase	A	MTA_L_115294	MTA_S_14323
7586	Transformador con dos devanados	A	MTA_S_14323	MTA_L_14323
14323_MTA-1	Línea aérea por fase	A	MTA_S_14323	MTA_L_14323
I14323_MTA-1	Línea aérea por fase	A	MTA_L_14323	IMTA_L_14323
7214_MTA-1	Línea aérea por fase	ABC	MTA_L_115294	MTA_L_7214
7215_MTA-1	Línea aérea por fase	ABC	MTA_L_7214	MTA_L_7215
7503_MTA-1	Línea aérea por fase	ABC	MTA_L_7215	MTA_S_7504
1247	Fusible	A	MTA_S_7504	MTA_S_14324
10566_MTA-1	Línea aérea por fase	A	MTA_S_7504	MTA_S_14324
16890	Transformador con dos devanados	A	MTA_S_14324	MTA_L_14324

Topología - Elementos ramales

Nro. equipo	Código	Fase	Nodo origen	Nodo destino
14324_MTA-1	Línea aérea por fase	A	MTA_S_14324	MTA_L_14324
l14324_MTA-1	Línea aérea por fase	A	MTA_L_14324	IMTA_L_14324
7504_MTA-1	Línea aérea por fase	ABC	MTA_S_7504	MTA_L_7504
7505_MTA-1	Línea aérea por fase	ABC	MTA_L_7504	MTA_L_7505
6147_MTA-1	Línea aérea por fase	ABC	MTA_S_6147	MTA_L_7505
115265_MTA-1	Línea aérea por fase	A	MTA_S_6147	MTA_L_115265
48511	Fusible	A	MTA_L_115265	MTA_L_115266
115266_MTA-1	Línea aérea por fase	A	MTA_L_115265	MTA_L_115266
7822_MTA-1	Línea aérea por fase	A	MTA_L_115266	MTA_L_7822
6861_MTA-1	Línea aérea por fase	A	MTA_L_7822	MTA_S_6862
6862_MTA-1	Línea aérea por fase	A	MTA_S_6862	MTA_S_6863
6863_MTA-1	Línea aérea por fase	A	MTA_S_6863	MTA_S_6864
48513	Fusible	A	MTA_S_6864	MTA_L_115556
115556_MTA-1	Línea aérea por fase	A	MTA_S_6864	MTA_L_115556
16176	Transformador con dos devanados	A	MTA_L_115556	MTA_L_115557
115557_MTA-1	Línea aérea por fase	A	MTA_L_115556	MTA_L_115557
l115557_MTA-1	Línea aérea por fase	A	MTA_L_115557	IMTA_L_115557
6864_MTA-1	Línea aérea por fase	A	MTA_S_6864	MTA_S_6865
6865_MTA-1	Línea aérea por fase	A	MTA_S_6865	MTA_L_6865
7642_MTA-1	Línea aérea por fase	A	MTA_L_6865	MTA_S_6866
1252	Fusible	A	MTA_S_6866	MTA_L_10571
10571_MTA-1	Línea aérea por fase	A	MTA_S_6866	MTA_L_10571
113	Transformador con dos devanados	A	MTA_L_10571	MTA_L_14329
14329_MTA-1	Línea aérea por fase	A	MTA_L_10571	MTA_L_14329
l14329_MTA-1	Línea aérea por fase	A	MTA_L_14329	IMTA_L_14329
6866_MTA-1	Línea aérea por fase	A	MTA_S_6866	MTA_S_6867
6867_MTA-1	Línea aérea por fase	A	MTA_S_6867	MTA_S_6868
6868_MTA-1	Línea aérea por fase	A	MTA_S_6868	MTA_S_6869
1253	Fusible	A	MTA_S_6869	MTA_L_10572
10572_MTA-1	Línea aérea por fase	A	MTA_S_6869	MTA_L_10572
11996	Transformador con dos devanados	A	MTA_L_10572	MTA_L_14330

Topología - Elementos ramales

Nro. equipo	Código	Fase	Nodo origen	Nodo destino
14330_MTA-1	Línea aérea por fase	A	MTA_L_10572	MTA_L_14330
l14330_MTA-1	Línea aérea por fase	A	MTA_L_14330	IMTA_L_14330
6869_MTA-1	Línea aérea por fase	A	MTA_S_6869	MTA_L_6869
6870_MTA-1	Línea aérea por fase	A	MTA_L_6869	MTA_S_10598
1283	Fusible	A	MTA_S_10598	MTA_L_10598
10598_MTA-1	Línea aérea por fase	A	MTA_S_10598	MTA_L_10598
10463	Transformador con dos devanados	A	MTA_L_10598	MTA_L_12603
12603_MTA-1	Línea aérea por fase	A	MTA_L_10598	MTA_L_12603
l12603_MTA-1	Línea aérea por fase	A	MTA_L_12603	IMTA_L_12603
9020_MTA-1	Línea aérea por fase	A	MTA_S_10598	MTA_S_115558
115558_MTA-1	Línea aérea por fase	A	MTA_S_115558	MTA_L_115558
48514	Fusible	A	MTA_L_115558	MTA_S_115562
115559_MTA-1	Línea aérea por fase	A	MTA_L_115558	MTA_S_115562
115562_MTA-1	Línea aérea por fase	A	MTA_S_115562	MTA_L_115562
115563_MTA-1	Línea aérea por fase	A	MTA_L_115562	MTA_S_9029
9029_MTA-1	Línea aérea por fase	A	MTA_S_9029	MTA_S_9030
9030_MTA-1	Línea aérea por fase	A	MTA_S_9030	MTA_S_9031
9031_MTA-1	Línea aérea por fase	A	MTA_S_9031	MTA_L_9031
1250	Fusible	A	MTA_L_9031	MTA_L_10569
10569_MTA-1	Línea aérea por fase	A	MTA_L_9031	MTA_L_10569
8972	Transformador con dos devanados	A	MTA_L_10569	MTA_L_14327
14327_MTA-1	Línea aérea por fase	A	MTA_L_10569	MTA_L_14327
l14327_MTA-1	Línea aérea por fase	A	MTA_L_14327	IMTA_L_14327
9032_MTA-1	Línea aérea por fase	A	MTA_L_9031	MTA_S_9094
9094_MTA-1	Línea aérea por fase	A	MTA_S_9094	MTA_S_9095
9095_MTA-1	Línea aérea por fase	A	MTA_S_9095	MTA_L_6858
115564_MTA-1	Línea aérea por fase	A	MTA_L_6858	MTA_S_115565
48529	Fusible	A	MTA_S_115565	MTA_S_6860
115565_MTA-1	Línea aérea por fase	A	MTA_S_115565	MTA_S_6860
6860_MTA-1	Línea aérea por fase	A	MTA_S_6860	MTA_L_6860
6858_MTA-1	Línea aérea por fase	A	MTA_S_6858	MTA_L_6858

Topología - Elementos ramales

Nro. equipo	Código	Fase	Nodo origen	Nodo destino
7511_MTA-1	Línea aérea por fase	A	MTA_S_7511	MTA_S_6858
7509_MTA-1	Línea aérea por fase	A	MTA_S_10568	MTA_S_7511
1249	Fusible	A	MTA_S_10568	MTA_S_14326
10568_MTA-1	Línea aérea por fase	A	MTA_S_10568	MTA_S_14326
5735	Transformador con dos devanados	A	MTA_S_14326	MTA_L_14326
14326_MTA-1	Línea aérea por fase	A	MTA_S_14326	MTA_L_14326
I14326_MTA-1	Línea aérea por fase	A	MTA_L_14326	IMTA_L_14326
9025_MTA-1	Línea aérea por fase	A	MTA_S_115562	MTA_L_9025
9026_MTA-1	Línea aérea por fase	A	MTA_L_9025	MTA_S_11354
2189	Fusible	A	MTA_S_11354	MTA_S_13338
11354_MTA-1	Línea aérea por fase	A	MTA_S_11354	MTA_S_13338
14246	Transformador con dos devanados	A	MTA_S_13338	MTA_L_13338
13338_MTA-1	Línea aérea por fase	A	MTA_S_13338	MTA_L_13338
I13338_MTA-1	Línea aérea por fase	A	MTA_L_13338	IMTA_L_13338
9027_MTA-1	Línea aérea por fase	A	MTA_S_11354	MTA_L_9027
48510	Fusible	ABC	MTA_S_6147	MTA_L_115295
115295_MTA-1	Línea aérea por fase	ABC	MTA_S_6147	MTA_L_115295
115296_MTA-1	Línea aérea por fase	ABC	MTA_L_115295	MTA_L_115296
7507_MTA-1	Línea aérea por fase	ABC	MTA_L_115296	MTA_L_7507
1248	Fusible	ABC	MTA_L_7507	MTA_L_10567
10567_MTA-1	Línea aérea por fase	ABC	MTA_L_7507	MTA_L_10567
11981;10733;11982	Transformador con dos devanados	ABC	MTA_L_10567	MTA_L_14325
14325_MTA-1	Línea aérea por fase	ABC	MTA_L_10567	MTA_L_14325
I14325_MTA-1	Línea aérea por fase	ABC	MTA_L_14325	IMTA_L_14325
9038_MTA-1	Línea aérea por fase	B	MTA_S_5811	MTA_L_9038
48543	Fusible	B	MTA_L_9038	MTA_S_115292
115291_MTA-1	Línea aérea por fase	B	MTA_L_9038	MTA_S_115292
115292_MTA-1	Línea aérea por fase	B	MTA_S_115292	MTA_L_115292
9040_MTA-1	Línea aérea por fase	B	MTA_L_115292	MTA_L_9040
9041_MTA-1	Línea aérea por fase	B	MTA_L_9040	MTA_S_9042
622	Fusible	B	MTA_S_9042	MTA_S_14477

Topología - Elementos ramales

Nro. equipo	Código	Fase	Nodo origen	Nodo destino
11910_MTA-1	Línea aérea por fase	B	MTA_S_9042	MTA_S_14477
13557	Transformador con dos devanados	B	MTA_S_14477	MTA_L_14477
14477_MTA-1	Línea aérea por fase	B	MTA_S_14477	MTA_L_14477
l14477_MTA-1	Línea aérea por fase	B	MTA_L_14477	IMTA_L_14477
9042_MTA-1	Línea aérea por fase	B	MTA_S_9042	MTA_S_9043
9043_MTA-1	Línea aérea por fase	B	MTA_S_9043	MTA_S_9044
9044_MTA-1	Línea aérea por fase	B	MTA_S_9044	MTA_L_9044
2639	Fusible	AC	MTA_L_114613	MTA_S_13763
11776_MTA-1	Línea aérea por fase	AC	MTA_L_114613	MTA_S_13763
3743;3697	Transformador con dos devanados	AC	MTA_S_13763	MTA_L_13763
13763_MTA-1	Línea aérea por fase	AC	MTA_S_13763	MTA_L_13763
l13763_MTA-1	Línea aérea por fase	AC	MTA_L_13763	IMTA_L_13763
2638	Fusible	B	MTA_S_11775	MTA_L_11775
11775_MTA-1	Línea aérea por fase	B	MTA_S_11775	MTA_L_11775
5935	Transformador con dos devanados	B	MTA_L_11775	MTA_L_13762
13762_MTA-1	Línea aérea por fase	B	MTA_L_11775	MTA_L_13762
l13762_MTA-1	Línea aérea por fase	B	MTA_L_13762	IMTA_L_13762
1726_MTA-1	Línea aérea por fase	ABC	MTA_S_1726	MTA_S_1727
1727_MTA-1	Línea aérea por fase	ABC	MTA_S_1727	MTA_S_2984
2984_MTA-1	Línea aérea por fase	ABC	MTA_S_2984	MTA_S_11907
619	Fusible	ABC	MTA_S_11907	MTA_S_14474
11907_MTA-1	Línea aérea por fase	ABC	MTA_S_11907	MTA_S_14474
14244	Transformador con dos devanados	ABC	MTA_S_14474	MTA_L_14474
14474_MTA-1	Línea aérea por fase	ABC	MTA_S_14474	MTA_L_14474
l14474_MTA-1	Línea aérea por fase	ABC	MTA_L_14474	IMTA_L_14474
17905_MTA-1	Línea aérea por fase	B	MTA_S_11907	MTA_S_114604
47871	Fusible	B	MTA_S_114604	MTA_L_114604
114604_MTA-1	Línea aérea por fase	B	MTA_S_114604	MTA_L_114604
15986	Transformador con dos devanados	B	MTA_L_114604	MTA_L_114605
114605_MTA-1	Línea aérea por fase	B	MTA_L_114604	MTA_L_114605
l114605_MTA-1	Línea aérea por fase	B	MTA_L_114605	IMTA_L_114605

Topología - Elementos shunt

Nro. equipo	Código	Fase	Nodo origen
MTA_L_13780	Carga concentrada	B	MTA_L_13780
MTS_L_506	Carga concentrada	ABC	MTS_L_506
MTS_L_464	Carga concentrada	ABC	MTS_L_464
MTA_L_13704	Carga concentrada	B	MTA_L_13704
MTA_L_13471	Carga concentrada	B	MTA_L_13471
MTA_L_114960	Carga concentrada	A	MTA_L_114960
MTA_L_114963	Carga concentrada	B	MTA_L_114963
MTA_L_13781	Carga concentrada	C	MTA_L_13781
MTA_L_114966	Carga concentrada	A	MTA_L_114966
MTA_L_115255	Carga concentrada	B	MTA_L_115255
MTS_L_514	Carga concentrada	ABC	MTS_L_514
MTS_L_42571	Carga concentrada	ABC	MTS_L_42571
MTA_L_13782	Carga concentrada	B	MTA_L_13782
MTA_L_14363	Carga concentrada	C	MTA_L_14363
MTA_L_13643	Carga concentrada	ABC	MTA_L_13643
MTA_L_17892	Carga concentrada	B	MTA_L_17892
MTA_L_114624	Carga concentrada	B	MTA_L_114624
MTA_L_189261	Carga concentrada	ABC	MTA_L_189261
MTA_L_13644	Carga concentrada	C	MTA_L_13644
MTA_L_114591	Carga concentrada	ABC	MTA_L_114591
MTA_L_13299	Carga concentrada	C	MTA_L_13299
MTA_L_13645	Carga concentrada	C	MTA_L_13645
MTA_L_14365	Carga concentrada	B	MTA_L_14365
MTA_L_14366	Carga concentrada	B	MTA_L_14366
MTA_L_14367	Carga concentrada	B	MTA_L_14367
MTA_L_189622	Carga concentrada	A	MTA_L_189622
MTA_L_114973	Carga concentrada	B	MTA_L_114973
MTA_L_14368	Carga concentrada	B	MTA_L_14368
MTA_L_14369	Carga concentrada	B	MTA_L_14369
MTA_L_19164	Carga concentrada	B	MTA_L_19164
MTA_L_19162	Carga concentrada	A	MTA_L_19162

Topología - Elementos shunt			
Nro. equipo	Código	Fase	Nodo origen
MTA_L_14370	Carga concentrada	A	MTA_L_14370
MTA_L_14372	Carga concentrada	C	MTA_L_14372
MTA_L_14371	Carga concentrada	A	MTA_L_14371
MTS_L_501	Carga concentrada	ABC	MTS_L_501
MTA_L_14411	Carga concentrada	B	MTA_L_14411
MTS_L_1872	Carga concentrada	ABC	MTS_L_1872
MTA_L_14412	Carga concentrada	B	MTA_L_14412
MTA_L_14413	Carga concentrada	B	MTA_L_14413
MTA_L_14414	Carga concentrada	A	MTA_L_14414
MTA_L_14415	Carga concentrada	B	MTA_L_14415
MTA_L_14416	Carga concentrada	AB	MTA_L_14416
MTS_L_521	Carga concentrada	ABC	MTS_L_521
MTA_L_14417	Carga concentrada	B	MTA_L_14417
MTA_L_13555	Carga concentrada	ABC	MTA_L_13555
MTA_L_14145	Carga concentrada	B	MTA_L_14145
MTA_L_17589	Carga concentrada	ABC	MTA_L_17589
MTA_L_13556	Carga concentrada	A	MTA_L_13556
MTA_L_13557	Carga concentrada	ABC	MTA_L_13557
MTA_L_206835	Carga concentrada	ABC	MTA_L_206835
MTA_L_14315	Carga concentrada	B	MTA_L_14315
MTA_L_14301	Carga concentrada	ABC	MTA_L_14301
MTA_L_12605	Carga concentrada	B	MTA_L_12605
MTA_L_13300	Carga concentrada	B	MTA_L_13300
MTS_L_33001	Carga concentrada	ABC	MTS_L_33001
MTS_L_46782	Carga concentrada	ABC	MTS_L_46782
MTA_L_12610	Carga concentrada	C	MTA_L_12610
MTA_L_12611	Carga concentrada	C	MTA_L_12611
MTA_L_116204	Carga concentrada	C	MTA_L_116204
MTA_L_17587	Carga concentrada	C	MTA_L_17587
MTA_L_14219	Carga concentrada	C	MTA_L_14219
MTA_L_116207	Carga concentrada	C	MTA_L_116207

Topología - Elementos shunt

Nro. equipo	Código	Fase	Nodo origen
MTA_L_12609	Carga concentrada	C	MTA_L_12609
MTA_L_17582	Carga concentrada	ABC	MTA_L_17582
MTA_L_12607	Carga concentrada	B	MTA_L_12607
MTA_L_12608	Carga concentrada	B	MTA_L_12608
MTS_L_520	Carga concentrada	ABC	MTS_L_520
MTA_L_14418	Carga concentrada	B	MTA_L_14418
MTA_L_14419	Carga concentrada	C	MTA_L_14419
MTA_L_14421	Carga concentrada	B	MTA_L_14421
MTA_L_14422	Carga concentrada	C	MTA_L_14422
MTA_L_14420	Carga concentrada	A	MTA_L_14420
MTA_L_14220	Carga concentrada	A	MTA_L_14220
MTA_L_14224	Carga concentrada	A	MTA_L_14224
MTA_L_14225	Carga concentrada	C	MTA_L_14225
MTA_L_13472	Carga concentrada	C	MTA_L_13472
MTA_L_14222	Carga concentrada	C	MTA_L_14222
MTA_L_14223	Carga concentrada	B	MTA_L_14223
MTA_L_186678	Carga concentrada	B	MTA_L_186678
MTA_L_14221	Carga concentrada	A	MTA_L_14221
MTA_L_116822	Carga concentrada	A	MTA_L_116822
MTA_L_116824	Carga concentrada	A	MTA_L_116824
MTA_L_14318	Carga concentrada	B	MTA_L_14318
MTA_L_13394	Carga concentrada	B	MTA_L_13394
MTA_L_14319	Carga concentrada	B	MTA_L_14319
MTA_L_14317	Carga concentrada	B	MTA_L_14317
MTA_L_14316	Carga concentrada	C	MTA_L_14316
MTA_L_14146	Carga concentrada	B	MTA_L_14146
MTA_L_14448	Carga concentrada	A	MTA_L_14448
MTA_L_14449	Carga concentrada	A	MTA_L_14449
MTA_L_214503	Carga concentrada	ABC	MTA_L_214503
MTA_L_14446	Carga concentrada	B	MTA_L_14446
MTA_L_14447	Carga concentrada	C	MTA_L_14447

Topología - Elementos shunt

Nro. equipo	Código	Fase	Nodo origen
MTA_L_14450	Carga concentrada	ABC	MTA_L_14450
MTA_L_16610	Carga concentrada	A	MTA_L_16610
MTA_L_14451	Carga concentrada	ABC	MTA_L_14451
MTA_L_14452	Carga concentrada	ABC	MTA_L_14452
MTA_L_13569	Carga concentrada	AB	MTA_L_13569
MTA_L_14455	Carga concentrada	C	MTA_L_14455
MTA_L_117827	Carga concentrada	A	MTA_L_117827
MTA_L_14445	Carga concentrada	A	MTA_L_14445
MTA_L_14312	Carga concentrada	ABC	MTA_L_14312
MTA_L_14456	Carga concentrada	ABC	MTA_L_14456
MTA_L_14132	Carga concentrada	C	MTA_L_14132
MTA_L_12604	Carga concentrada	C	MTA_L_12604
MTA_L_71639	Carga concentrada	C	MTA_L_71639
MTA_L_14137	Carga concentrada	C	MTA_L_14137
MTA_L_14136	Carga concentrada	C	MTA_L_14136
MTA_L_193392	Carga concentrada	C	MTA_L_193392
MTA_L_14135	Carga concentrada	C	MTA_L_14135
MTA_L_190173	Carga concentrada	C	MTA_L_190173
MTA_L_14134	Carga concentrada	C	MTA_L_14134
MTA_L_14133	Carga concentrada	C	MTA_L_14133
MTA_L_63974	Carga concentrada	A	MTA_L_63974
MTA_L_14453	Carga concentrada	A	MTA_L_14453
MTA_L_65861	Carga concentrada	A	MTA_L_65861
MTA_L_14454	Carga concentrada	A	MTA_L_14454
MTA_L_16933	Carga concentrada	B	MTA_L_16933
MTA_L_13398	Carga concentrada	B	MTA_L_13398
MTA_L_14138	Carga concentrada	A	MTA_L_14138
MTA_L_14139	Carga concentrada	B	MTA_L_14139
MTA_L_14140	Carga concentrada	B	MTA_L_14140
MTS_L_9593	Carga concentrada	A	MTS_L_9593
MTA_L_13570	Carga concentrada	B	MTA_L_13570

Topología - Elementos shunt

Nro. equipo	Código	Fase	Nodo origen
MTA_L_13561	Carga concentrada	AB	MTA_L_13561
MTS_L_47064	Carga concentrada	ABC	MTS_L_47064
MTA_L_13562	Carga concentrada	A	MTA_L_13562
MTA_L_13582	Carga concentrada	A	MTA_L_13582
MTA_L_13571	Carga concentrada	A	MTA_L_13571
MTA_L_132626	Carga concentrada	A	MTA_L_132626
MTA_L_132617	Carga concentrada	C	MTA_L_132617
MTA_L_132619	Carga concentrada	C	MTA_L_132619
MTA_L_14164	Carga concentrada	C	MTA_L_14164
MTA_L_14163	Carga concentrada	B	MTA_L_14163
MTA_L_13581	Carga concentrada	C	MTA_L_13581
MTA_L_14162	Carga concentrada	A	MTA_L_14162
322_CON	Condensador shunt	ABC	MTA_S_162985
MTA_L_13657	Carga concentrada	A	MTA_L_13657
MTA_L_13658	Carga concentrada	C	MTA_L_13658
MTA_L_13659	Carga concentrada	ABC	MTA_L_13659
MTA_L_13660	Carga concentrada	A	MTA_L_13660
MTS_L_466	Carga concentrada	A	MTS_L_466
MTA_L_13661	Carga concentrada	C	MTA_L_13661
MTA_L_130343	Carga concentrada	B	MTA_L_130343
MTA_L_13666	Carga concentrada	A	MTA_L_13666
MTA_L_14161	Carga concentrada	B	MTA_L_14161
MTS_L_33427	Carga concentrada	ABC	MTS_L_33427
MTA_L_13662	Carga concentrada	ABC	MTA_L_13662
MTA_L_13663	Carga concentrada	ABC	MTA_L_13663
MTA_L_13664	Carga concentrada	ABC	MTA_L_13664
MTA_L_13665	Carga concentrada	ABC	MTA_L_13665
MTS_L_511	Carga concentrada	ABC	MTS_L_511
MTA_L_14243	Carga concentrada	C	MTA_L_14243
MTA_L_14244	Carga concentrada	B	MTA_L_14244
MTA_L_14245	Carga concentrada	B	MTA_L_14245

Topología - Elementos shunt			
Nro. equipo	Código	Fase	Nodo origen
MTS_L_467	Carga concentrada	ABC	MTS_L_467
MTS_L_468	Carga concentrada	ABC	MTS_L_468
MTA_L_14246	Carga concentrada	C	MTA_L_14246
MTA_L_14247	Carga concentrada	C	MTA_L_14247
MTA_L_14248	Carga concentrada	C	MTA_L_14248
MTA_L_14249	Carga concentrada	ABC	MTA_L_14249
MTA_L_13566	Carga concentrada	C	MTA_L_13566
MTA_L_13567	Carga concentrada	ABC	MTA_L_13567
MTS_L_39055	Carga concentrada	A	MTS_L_39055
MTA_L_13572	Carga concentrada	A	MTA_L_13572
MTA_L_13311	Carga concentrada	A	MTA_L_13311
MTS_L_483	Carga concentrada	ABC	MTS_L_483
MTA_L_14250	Carga concentrada	ABC	MTA_L_14250
MTA_L_14251	Carga concentrada	B	MTA_L_14251
MTA_L_13278	Carga concentrada	ABC	MTA_L_13278
MTA_L_13279	Carga concentrada	ABC	MTA_L_13279
MTA_L_13280	Carga concentrada	ABC	MTA_L_13280
MTA_L_13282	Carga concentrada	AB	MTA_L_13282
MTA_L_14202	Carga concentrada	B	MTA_L_14202
MTA_L_13281	Carga concentrada	B	MTA_L_13281
MTA_L_13341	Carga concentrada	B	MTA_L_13341
MTA_L_13283	Carga concentrada	B	MTA_L_13283
MTA_L_13284	Carga concentrada	B	MTA_L_13284
MTA_L_13287	Carga concentrada	ABC	MTA_L_13287
MTA_L_99171	Carga concentrada	B	MTA_L_99171
MTS_L_27568	Carga concentrada	ABC	MTS_L_27568
MTA_L_13289	Carga concentrada	B	MTA_L_13289
MTA_L_13573	Carga concentrada	B	MTA_L_13573
MTA_L_13291	Carga concentrada	B	MTA_L_13291
MTA_L_13292	Carga concentrada	B	MTA_L_13292
MTA_L_88633	Carga concentrada	B	MTA_L_88633

Topología - Elementos shunt			
Nro. equipo	Código	Fase	Nodo origen
MTA_L_42546	Carga concentrada	B	MTA_L_42546
MTA_L_13293	Carga concentrada	B	MTA_L_13293
MTA_L_13294	Carga concentrada	B	MTA_L_13294
MTA_L_93551	Carga concentrada	B	MTA_L_93551
MTA_L_13290	Carga concentrada	B	MTA_L_13290
MTA_L_13285	Carga concentrada	A	MTA_L_13285
MTA_L_13286	Carga concentrada	ABC	MTA_L_13286
MTS_L_27534	Carga concentrada	ABC	MTS_L_27534
MTS_L_27204	Carga concentrada	ABC	MTS_L_27204
MTA_L_98895	Carga concentrada	ABC	MTA_L_98895
MTA_L_181577	Carga concentrada	A	MTA_L_181577
MTA_L_13558	Carga concentrada	AC	MTA_L_13558
MTA_L_13442	Carga concentrada	C	MTA_L_13442
MTS_L_1240	Carga concentrada	A	MTS_L_1240
MTS_L_1560	Carga concentrada	ABC	MTS_L_1560
MTA_L_12794	Carga concentrada	ABC	MTA_L_12794
94	Carga concentrada	ABC	88
MTA_L_13473	Carga concentrada	C	MTA_L_13473
MTS_L_42880	Carga concentrada	C	MTS_L_42880
MTA_L_12793	Carga concentrada	C	MTA_L_12793
MTS_L_33314	Carga concentrada	ABC	MTS_L_33314
MTA_L_14443	Carga concentrada	A	MTA_L_14443
MTA_L_13646	Carga concentrada	ABC	MTA_L_13646
MTS_L_505	Carga concentrada	ABC	MTS_L_505
MTS_L_46761	Carga concentrada	ABC	MTS_L_46761
MTA_L_14144	Carga concentrada	A	MTA_L_14144
MTS_L_503	Carga concentrada	B	MTS_L_503
MTS_L_502	Carga concentrada	A	MTS_L_502
MTA_L_14143	Carga concentrada	A	MTA_L_14143
MTA_L_14142	Carga concentrada	C	MTA_L_14142
MTA_L_13470	Carga concentrada	C	MTA_L_13470

Topología - Elementos shunt

Nro. equipo	Código	Fase	Nodo origen
MTA_L_14141	Carga concentrada	A	MTA_L_14141
MTA_L_14320	Carga concentrada	B	MTA_L_14320
MTA_L_14321	Carga concentrada	A	MTA_L_14321
MTA_L_14322	Carga concentrada	B	MTA_L_14322
MTA_L_14323	Carga concentrada	A	MTA_L_14323
MTA_L_14324	Carga concentrada	A	MTA_L_14324
MTA_L_115557	Carga concentrada	A	MTA_L_115557
MTA_L_14329	Carga concentrada	A	MTA_L_14329
MTA_L_14330	Carga concentrada	A	MTA_L_14330
MTA_L_12603	Carga concentrada	A	MTA_L_12603
MTA_L_14327	Carga concentrada	A	MTA_L_14327
MTA_L_14326	Carga concentrada	A	MTA_L_14326
MTA_L_13338	Carga concentrada	A	MTA_L_13338
MTA_L_14325	Carga concentrada	ABC	MTA_L_14325
MTA_L_14477	Carga concentrada	B	MTA_L_14477
MTA_L_13763	Carga concentrada	AC	MTA_L_13763
MTA_L_13762	Carga concentrada	B	MTA_L_13762
MTA_L_14474	Carga concentrada	ABC	MTA_L_14474
MTA_L_114605	Carga concentrada	B	MTA_L_114605

Flujo de carga - Condiciones anormales

Nombre alim.	Nombre del tramo	Id equipo	Código	Carga A (%)	Carga B (%)	Carga C (%)	VA (%)	VB (%)	VC (%)
ALIM-1800020T11	74198_MTA	3C100T	Interruptor seccionador	138.7	151.9	131.3	98.26	98.23	98.30
ALIM-1800020T11	I42571_MTS	3P_15KV.CU.2	Cable	110.0	110.0	109.9	96.10	96.11	96.17
ALIM-1800020T11	114607_MTA	3A100T	Interruptor seccionador	128.4	138.8	121.0	97.57	97.47	97.70
ALIM-1800020T11	115566_MTA	3A100T	Interruptor seccionador	108.8	119.7	111.0	96.87	96.70	97.07
ALIM-1800020T11	115896_MTA	3A100T	Interruptor seccionador	103.3	112.6	106.6	96.60	96.39	96.79
ALIM-1800020T11	14315_MTA	1A10T	Transformador con dos devanados		33.7			94.73	
ALIM-1800020T11	I14315_MTA		Carga concentrada		33.7			94.73	
ALIM-1800020T11	12605_MTA	1A25T	Transformador con dos devanados		33.7			94.71	
ALIM-1800020T11	I12605_MTA		Carga concentrada		33.7			94.71	
ALIM-1800020T11	13300_MTA	1A25T	Transformador con dos devanados		33.7			94.70	
ALIM-1800020T11	I13300_MTA		Carga concentrada		33.7			94.70	
ALIM-1800020T11	33001_MTS	3O100T	Transformador con dos devanados	33.7	33.7	33.7	94.90	94.89	95.04
ALIM-1800020T11	I33001_MTS	3P_15KV.CU.3/0	Cable	28.5	28.5	28.4	94.90	94.89	95.04
ALIM-1800020T11	I33001_MTS		Carga concentrada	33.7	33.7	33.7	94.90	94.89	95.04
ALIM-1800020T11	46782_MTS	3P30T	Transformador con dos devanados	33.7	33.7	33.7	94.90	94.89	95.04
ALIM-1800020T11	I46782_MTS	3P_15KV.CU.2	Cable	11.1	11.1	11.1	94.90	94.89	95.04
ALIM-1800020T11	I46782_MTS		Carga concentrada	33.7	33.7	33.7	94.90	94.89	95.04
ALIM-1800020T11	17582_MTA	3C30T	Transformador con dos devanados	33.7	33.7	33.7	94.90	94.89	95.04
ALIM-1800020T11	I17582_MTA		Carga concentrada	33.7	33.7	33.7	94.90	94.89	95.04
ALIM-1800020T11	12607_MTA	1A25T	Transformador con dos devanados		33.7			94.70	
ALIM-1800020T11	I12607_MTA		Carga concentrada		33.7			94.70	

Flujo de carga - Condiciones anormales

Nombre alim.	Nombre del tramo	Id equipo	Código	Carga A (%)	Carga B (%)	Carga C (%)	VA (%)	VB (%)	VC (%)
ALIM-1800020T11	12608_MTA	1A25T	Transformador con dos devanados		33.7			94.70	
ALIM-1800020T11	I12608_MTA		Carga concentrada		33.7			94.70	
ALIM-1800020T11	520_MTS	3O75T	Transformador con dos devanados	33.7	33.7	33.7	94.90	94.90	95.05
ALIM-1800020T11	I520_MTS	3P_15KV.CU.3/0	Cable	21.4	21.4	21.3	94.90	94.90	95.05
ALIM-1800020T11	I520_MTS		Carga concentrada	33.7	33.7	33.7	94.90	94.90	95.05
ALIM-1800020T11	14418_MTA	1A15T	Transformador con dos devanados		33.7			94.70	
ALIM-1800020T11	I14418_MTA		Carga concentrada		33.7			94.70	
ALIM-1800020T11	14421_MTA	1A25T	Transformador con dos devanados		33.7			94.70	
ALIM-1800020T11	I14421_MTA		Carga concentrada		33.7			94.70	
ALIM-1800020T11	14420_MTA	1A25T	Transformador con dos devanados	33.7			94.99		
ALIM-1800020T11	I14420_MTA		Carga concentrada	33.7			94.99		
ALIM-1800020T11	14220_MTA	1A37.5T	Transformador con dos devanados	33.7			94.99		
ALIM-1800020T11	I14220_MTA		Carga concentrada	33.7			94.99		
ALIM-1800020T11	14224_MTA	1A37.5T	Transformador con dos devanados	33.7			94.98		
ALIM-1800020T11	I14224_MTA		Carga concentrada	33.7			94.98		
ALIM-1800020T11	14223_MTA	1A37.5T	Transformador con dos devanados		33.7			94.70	
ALIM-1800020T11	I14223_MTA		Carga concentrada		33.7			94.70	
ALIM-1800020T11	186678_MTA	1A10T	Transformador con dos devanados		33.7			94.70	
ALIM-1800020T11	I186678_MTA		Carga concentrada		33.7			94.70	
ALIM-1800020T11	14221_MTA	1A25T	Transformador con dos devanados	33.7			94.98		
ALIM-1800020T11	I14221_MTA		Carga concentrada	33.7			94.98		

Flujo de carga - Condiciones anormales

Nombre alim.	Nombre del tramo	Id equipo	Código	Carga A (%)	Carga B (%)	Carga C (%)	VA (%)	VB (%)	VC (%)
ALIM-1800020T11	116822_MTA	1A15T	Transformador con dos devanados	33.7			94.98		
ALIM-1800020T11	I116822_MTA		Carga concentrada	33.7			94.98		
ALIM-1800020T11	116824_MTA	1A25T	Transformador con dos devanados	33.7			94.98		
ALIM-1800020T11	I116824_MTA		Carga concentrada	33.7			94.98		
ALIM-1800020T11	14318_MTA	1A25T	Transformador con dos devanados		33.7			94.71	
ALIM-1800020T11	I14318_MTA		Carga concentrada		33.7			94.71	
ALIM-1800020T11	13394_MTA	1A25T	Transformador con dos devanados		33.7			94.70	
ALIM-1800020T11	I13394_MTA		Carga concentrada		33.7			94.70	
ALIM-1800020T11	14319_MTA	1A10T	Transformador con dos devanados		33.7			94.70	
ALIM-1800020T11	I14319_MTA		Carga concentrada		33.7			94.70	
ALIM-1800020T11	14317_MTA	1A10T	Transformador con dos devanados		33.7			94.71	
ALIM-1800020T11	I14317_MTA		Carga concentrada		33.7			94.71	
ALIM-1800020T11	14146_MTA	1A25T	Transformador con dos devanados		33.7			94.78	
ALIM-1800020T11	I14146_MTA		Carga concentrada		33.7			94.78	
ALIM-1800020T11	14448_MTA	1A10T	Transformador con dos devanados	33.7			94.97		
ALIM-1800020T11	I14448_MTA		Carga concentrada	33.7			94.97		
ALIM-1800020T11	14449_MTA	1A25T	Transformador con dos devanados	33.7			94.97		
ALIM-1800020T11	I14449_MTA		Carga concentrada	33.7			94.97		
ALIM-1800020T11	214503_MTA	3C100T	Transformador con dos devanados	33.7	33.7	33.7	94.90	94.91	95.05
ALIM-1800020T11	I214503_MTA		Carga concentrada	33.7	33.7	33.7	94.90	94.91	95.05
ALIM-1800020T11	14446_MTA	1A15T	Transformador con dos devanados		33.7			94.73	

Flujo de carga - Condiciones anormales

Nombre alim.	Nombre del tramo	Id equipo	Código	Carga A (%)	Carga B (%)	Carga C (%)	VA (%)	VB (%)	VC (%)
ALIM-1800020T11	I14446_MTA		Carga concentrada		33.7			94.73	
ALIM-1800020T11	14450_MTA	3C30T	Transformador con dos devanados	33.7	33.7	33.7	94.87	94.88	95.02
ALIM-1800020T11	I14450_MTA		Carga concentrada	33.7	33.7	33.7	94.87	94.88	95.02
ALIM-1800020T11	16610_MTA	1C1.5T	Transformador con dos devanados	33.7			94.94		
ALIM-1800020T11	I16610_MTA		Carga concentrada	33.7			94.94		
ALIM-1800020T11	14451_MTA	3C75T	Transformador con dos devanados	33.7	33.7	33.7	94.85	94.86	94.99
ALIM-1800020T11	I14451_MTA		Carga concentrada	33.7	33.7	33.7	94.85	94.86	94.99
ALIM-1800020T11	14452_MTA	3C45T	Transformador con dos devanados	56.1	56.1	56.2	94.00	94.00	94.13
ALIM-1800020T11	I14452_MTA		Carga concentrada	33.7	33.7	33.7	94.00	94.00	94.13
ALIM-1800020T11	14455_MTA	1A3T	Transformador con dos devanados			33.7			94.97
ALIM-1800020T11	I14455_MTA		Carga concentrada			33.7			94.97
ALIM-1800020T11	117827_MTA	1A5T	Transformador con dos devanados	33.7			94.91		
ALIM-1800020T11	I117827_MTA		Carga concentrada	33.7			94.91		
ALIM-1800020T11	14445_MTA	1A25T	Transformador con dos devanados	33.7			94.91		
ALIM-1800020T11	I14445_MTA		Carga concentrada	33.7			94.91		
ALIM-1800020T11	14312_MTA	3C15T	Transformador con dos devanados	33.7	33.7	33.7	94.83	94.81	94.92
ALIM-1800020T11	I14312_MTA		Carga concentrada	33.7	33.7	33.7	94.83	94.81	94.92
ALIM-1800020T11	14456_MTA	3N45T	Transformador con dos devanados	33.7	33.7	33.7	94.83	94.80	94.92
ALIM-1800020T11	I14456_MTA		Carga concentrada	33.7	33.7	33.7	94.83	94.80	94.92
ALIM-1800020T11	14132_MTA	1A25T	Transformador con dos devanados			33.7			94.91
ALIM-1800020T11	I14132_MTA		Carga concentrada			33.7			94.91

Flujo de carga - Condiciones anormales

Nombre alim.	Nombre del tramo	Id equipo	Código	Carga A (%)	Carga B (%)	Carga C (%)	VA (%)	VB (%)	VC (%)
ALIM-1800020T11	12604_MTA	1A10T	Transformador con dos devanados			33.7			94.75
ALIM-1800020T11	112604_MTA		Carga concentrada			33.7			94.75
ALIM-1800020T11	71639_MTA	1A15T	Transformador con dos devanados			33.7			94.70
ALIM-1800020T11	171639_MTA		Carga concentrada			33.7			94.70
ALIM-1800020T11	14137_MTA	1A25T	Transformador con dos devanados			33.7			94.68
ALIM-1800020T11	114137_MTA		Carga concentrada			33.7			94.68
ALIM-1800020T11	14136_MTA	1A10T	Transformador con dos devanados			33.7			94.68
ALIM-1800020T11	114136_MTA		Carga concentrada			33.7			94.68
ALIM-1800020T11	193392_MTA	1A50T	Transformador con dos devanados			33.7			94.65
ALIM-1800020T11	1193392_MTA		Carga concentrada			33.7			94.65
ALIM-1800020T11	14135_MTA	1A10T	Transformador con dos devanados			33.7			94.72
ALIM-1800020T11	114135_MTA		Carga concentrada			33.7			94.72
ALIM-1800020T11	190173_MTA	1A25T	Transformador con dos devanados			33.7			94.77
ALIM-1800020T11	1190173_MTA		Carga concentrada			33.7			94.77
ALIM-1800020T11	14134_MTA	1A5T	Transformador con dos devanados			33.7			94.78
ALIM-1800020T11	114134_MTA		Carga concentrada			33.7			94.78
ALIM-1800020T11	14133_MTA	1A10T	Transformador con dos devanados			33.7			94.84
ALIM-1800020T11	114133_MTA		Carga concentrada			33.7			94.84
ALIM-1800020T11	63974_MTA	1A25T	Transformador con dos devanados	33.7			94.92		
ALIM-1800020T11	163974_MTA		Carga concentrada	33.7			94.92		
ALIM-1800020T11	14453_MTA	1A10T	Transformador con dos devanados	33.7			94.92		

Flujo de carga - Condiciones anormales

Nombre alim.	Nombre del tramo	Id equipo	Código	Carga A (%)	Carga B (%)	Carga C (%)	VA (%)	VB (%)	VC (%)
ALIM-1800020T11	I14453_MTA		Carga concentrada	33.7			94.92		
ALIM-1800020T11	65861_MTA	1C15T	Transformador con dos devanados	33.7			94.92		
ALIM-1800020T11	I65861_MTA		Carga concentrada	33.7			94.92		
ALIM-1800020T11	14454_MTA	1A10T	Transformador con dos devanados	33.7			94.92		
ALIM-1800020T11	I14454_MTA		Carga concentrada	33.7			94.92		
ALIM-1800020T11	16933_MTA	1A15T	Transformador con dos devanados		33.7			94.70	
ALIM-1800020T11	I16933_MTA		Carga concentrada		33.7			94.70	
ALIM-1800020T11	13398_MTA	1A25T	Transformador con dos devanados		33.7			94.56	
ALIM-1800020T11	I13398_MTA		Carga concentrada		33.7			94.56	
ALIM-1800020T11	14138_MTA	1A15T	Transformador con dos devanados	33.7			94.80		
ALIM-1800020T11	I14138_MTA		Carga concentrada	33.7			94.80		
ALIM-1800020T11	14139_MTA	1A37.5T	Transformador con dos devanados		33.7			94.48	
ALIM-1800020T11	I14139_MTA		Carga concentrada		33.7			94.48	
ALIM-1800020T11	14140_MTA	1A25T	Transformador con dos devanados		33.7			94.48	
ALIM-1800020T11	I14140_MTA		Carga concentrada		33.7			94.48	
ALIM-1800020T11	9593_MTS	1P25T	Transformador con dos devanados	33.7			94.60		
ALIM-1800020T11	I9593_MTS	1P_15KV.CU.2	Cable	27.9			94.60		
ALIM-1800020T11	I9593_MTS		Carga concentrada	33.7			94.60		
ALIM-1800020T11	13570_MTA	1A10T	Transformador con dos devanados		33.7			94.32	
ALIM-1800020T11	I13570_MTA		Carga concentrada		33.7			94.32	
ALIM-1800020T11	13561_MTA	3B20T	Transformador con dos devanados	0.0	19.5		94.85	94.66	95.83

Flujo de carga - Condiciones anormales

Nombre alim.	Nombre del tramo	Id equipo	Código	Carga A (%)	Carga B (%)	Carga C (%)	VA (%)	VB (%)	VC (%)
ALIM-1800020T11	I13561_MTA		Carga concentrada	33.7	0.0		94.85		
ALIM-1800020T11	47064_MTS	3P50T	Transformador con dos devanados	33.7	33.7	33.7	94.51	94.54	94.70
ALIM-1800020T11	I47064_MTS	3P_15KV.CU.2	Cable	18.6	18.6	18.6	94.51	94.54	94.70
ALIM-1800020T11	I47064_MTS		Carga concentrada	33.7	33.7	33.7	94.51	94.54	94.70
ALIM-1800020T11	13562_MTA	1A25T	Transformador con dos devanados	33.7			94.59		
ALIM-1800020T11	I13562_MTA		Carga concentrada	33.7			94.59		
ALIM-1800020T11	13582_MTA	1A25T	Transformador con dos devanados	33.7			94.58		
ALIM-1800020T11	I13582_MTA		Carga concentrada	33.7			94.58		
ALIM-1800020T11	13571_MTA	1A25T	Transformador con dos devanados	33.7			94.57		
ALIM-1800020T11	I13571_MTA		Carga concentrada	33.7			94.57		
ALIM-1800020T11	132626_MTA	1A25T	Transformador con dos devanados	33.7			94.57		
ALIM-1800020T11	I132626_MTA		Carga concentrada	33.7			94.57		
ALIM-1800020T11	132617_MTA	1A15T	Transformador con dos devanados			33.7			94.83
ALIM-1800020T11	I132617_MTA		Carga concentrada			33.7			94.83
ALIM-1800020T11	132619_MTA	1A10T	Transformador con dos devanados			33.7			94.83
ALIM-1800020T11	I132619_MTA		Carga concentrada			33.7			94.83
ALIM-1800020T11	14164_MTA	1A15T	Transformador con dos devanados			33.7			94.83
ALIM-1800020T11	I14164_MTA		Carga concentrada			33.7			94.83
ALIM-1800020T11	14163_MTA	1A37.5T	Transformador con dos devanados		33.7			94.32	
ALIM-1800020T11	I14163_MTA		Carga concentrada		33.7			94.32	
ALIM-1800020T11	13581_MTA	1A25T	Transformador con dos devanados			33.7			94.84

Flujo de carga - Condiciones anormales

Nombre alim.	Nombre del tramo	Id equipo	Código	Carga A (%)	Carga B (%)	Carga C (%)	VA (%)	VB (%)	VC (%)
ALIM-1800020T11	I13581_MTA		Carga concentrada			33.7			94.84
ALIM-1800020T11	14162_MTA	1A37.5T	Transformador con dos devanados	33.7			94.61		
ALIM-1800020T11	I14162_MTA		Carga concentrada	33.7			94.61		
ALIM-1800020T11	13657_MTA	1A10T	Transformador con dos devanados	33.7			94.60		
ALIM-1800020T11	I13657_MTA		Carga concentrada	33.7			94.60		
ALIM-1800020T11	13658_MTA	1A37.5T	Transformador con dos devanados			33.7			94.82
ALIM-1800020T11	I13658_MTA		Carga concentrada			33.7			94.82
ALIM-1800020T11	13659_MTA	3N45T	Transformador con dos devanados	33.7	33.7	33.7	94.48	94.50	94.67
ALIM-1800020T11	I13659_MTA		Carga concentrada	33.7	33.7	33.7	94.48	94.50	94.67
ALIM-1800020T11	13660_MTA	1A25T	Transformador con dos devanados	33.7			94.56		
ALIM-1800020T11	I13660_MTA		Carga concentrada	33.7			94.56		
ALIM-1800020T11	466_MTS	1O15T	Transformador con dos devanados	33.7			94.56		
ALIM-1800020T11	I466_MTS	1P_15KV.CU.3/0	Cable	9.2			94.56		
ALIM-1800020T11	I466_MTS		Carga concentrada	33.7			94.56		
ALIM-1800020T11	13661_MTA	1A10T	Transformador con dos devanados			33.7			94.81
ALIM-1800020T11	I13661_MTA		Carga concentrada			33.7			94.81
ALIM-1800020T11	130343_MTA	1A15T	Transformador con dos devanados		33.7			94.26	
ALIM-1800020T11	I130343_MTA		Carga concentrada		33.7			94.26	
ALIM-1800020T11	13666_MTA	1A15T	Transformador con dos devanados	33.7			94.56		
ALIM-1800020T11	I13666_MTA		Carga concentrada	33.7			94.56		
ALIM-1800020T11	14161_MTA	1A25T	Transformador con dos devanados		33.7			94.25	

Flujo de carga - Condiciones anormales

Nombre alim.	Nombre del tramo	Id equipo	Código	Carga A (%)	Carga B (%)	Carga C (%)	VA (%)	VB (%)	VC (%)
ALIM-1800020T11	I14161_MTA		Carga concentrada		33.7			94.25	
ALIM-1800020T11	33427_MTS	3C75T	Transformador con dos devanados	33.7	33.7	33.7	94.46	94.48	94.65
ALIM-1800020T11	I33427_MTS	3P_15KV.CU.3/0	Cable	21.5	21.4	21.4	94.46	94.48	94.65
ALIM-1800020T11	I33427_MTS		Carga concentrada	33.7	33.7	33.7	94.46	94.48	94.65
ALIM-1800020T11	13662_MTA	3N75T	Transformador con dos devanados	33.7	33.7	33.7	94.46	94.48	94.65
ALIM-1800020T11	I13662_MTA		Carga concentrada	33.7	33.7	33.7	94.46	94.48	94.65
ALIM-1800020T11	13663_MTA	3N45T	Transformador con dos devanados	33.7	33.7	33.7	94.46	94.48	94.65
ALIM-1800020T11	I13663_MTA		Carga concentrada	33.7	33.7	33.7	94.46	94.48	94.65
ALIM-1800020T11	13664_MTA	3N75T	Transformador con dos devanados	33.7	33.7	33.7	94.45	94.48	94.65
ALIM-1800020T11	I13664_MTA		Carga concentrada	33.7	33.7	33.7	94.45	94.48	94.65
ALIM-1800020T11	13665_MTA	3N45T	Transformador con dos devanados	33.7	33.7	33.7	94.45	94.48	94.65
ALIM-1800020T11	I13665_MTA		Carga concentrada	33.7	33.7	33.7	94.45	94.48	94.65
ALIM-1800020T11	511_MTS	3O30T	Transformador con dos devanados	33.7	33.7	33.7	94.46	94.48	94.65
ALIM-1800020T11	I511_MTS	3P_15KV.CU.3/0	Cable	8.6	8.6	8.6	94.46	94.48	94.65
ALIM-1800020T11	I511_MTS		Carga concentrada	33.7	33.7	33.7	94.46	94.48	94.65
ALIM-1800020T11	14243_MTA	1A37.5T	Transformador con dos devanados			33.7			94.83
ALIM-1800020T11	I14243_MTA		Carga concentrada			33.7			94.83
ALIM-1800020T11	14244_MTA	1A25T	Transformador con dos devanados		33.7			94.27	
ALIM-1800020T11	I14244_MTA		Carga concentrada		33.7			94.27	
ALIM-1800020T11	14245_MTA	1A50T	Transformador con dos devanados		33.7			94.27	
ALIM-1800020T11	I14245_MTA		Carga concentrada		33.7			94.27	

Flujo de carga - Condiciones anormales

Nombre alim.	Nombre del tramo	Id equipo	Código	Carga A (%)	Carga B (%)	Carga C (%)	VA (%)	VB (%)	VC (%)
ALIM-1800020T11	467_MTS	3075T	Transformador con dos devanados	33.7	33.7	33.7	94.49	94.51	94.68
ALIM-1800020T11	I467_MTS	3P_15KV.CU.3/0	Cable	21.4	21.4	21.4	94.49	94.51	94.68
ALIM-1800020T11	I467_MTS		Carga concentrada	33.7	33.7	33.7	94.49	94.51	94.68
ALIM-1800020T11	468_MTS	3075T	Transformador con dos devanados	33.7	33.7	33.7	94.49	94.51	94.68
ALIM-1800020T11	I468_MTS	3P_15KV.CU.3/0	Cable	21.4	21.4	21.4	94.49	94.51	94.68
ALIM-1800020T11	I468_MTS		Carga concentrada	33.7	33.7	33.7	94.49	94.51	94.68
ALIM-1800020T11	14246_MTA	1A25T	Transformador con dos devanados			33.7			94.82
ALIM-1800020T11	I14246_MTA		Carga concentrada			33.7			94.82
ALIM-1800020T11	14247_MTA	1C10T	Transformador con dos devanados			33.7			94.82
ALIM-1800020T11	I14247_MTA		Carga concentrada			33.7			94.82
ALIM-1800020T11	14248_MTA	1A25T	Transformador con dos devanados			33.7			94.82
ALIM-1800020T11	I14248_MTA		Carga concentrada			33.7			94.82
ALIM-1800020T11	14249_MTA	3N45T	Transformador con dos devanados	33.7	33.7	33.7	94.45	94.48	94.66
ALIM-1800020T11	I14249_MTA		Carga concentrada	33.7	33.7	33.7	94.45	94.48	94.66
ALIM-1800020T11	13566_MTA	1A25T	Transformador con dos devanados			33.7			94.81
ALIM-1800020T11	I13566_MTA		Carga concentrada			33.7			94.81
ALIM-1800020T11	13567_MTA	3N30T	Transformador con dos devanados	33.7	33.7	33.7	94.45	94.47	94.66
ALIM-1800020T11	I13567_MTA		Carga concentrada	33.7	33.7	33.7	94.45	94.47	94.66
ALIM-1800020T11	39055_MTS	1037.5T	Transformador con dos devanados	33.7			94.55		
ALIM-1800020T11	I39055_MTS	1P_15KV.CU.3/0	Cable	23.0			94.55		
ALIM-1800020T11	I39055_MTS		Carga concentrada	33.7			94.55		

Flujo de carga - Condiciones anormales

Nombre alim.	Nombre del tramo	Id equipo	Código	Carga A (%)	Carga B (%)	Carga C (%)	VA (%)	VB (%)	VC (%)
ALIM-1800020T11	13572_MTA	1A37.5T	Transformador con dos devanados	33.7			94.54		
ALIM-1800020T11	I13572_MTA		Carga concentrada	33.7			94.54		
ALIM-1800020T11	13311_MTA	1A25T	Transformador con dos devanados	33.7			94.53		
ALIM-1800020T11	I13311_MTA		Carga concentrada	33.7			94.53		
ALIM-1800020T11	483_MTS	3O50T	Transformador con dos devanados	33.7	33.7	33.7	94.42	94.44	94.64
ALIM-1800020T11	I483_MTS	3P_15KV.CU.3/0	Cable	14.3	14.3	14.3	94.42	94.44	94.64
ALIM-1800020T11	I483_MTS		Carga concentrada	33.7	33.7	33.7	94.42	94.44	94.64
ALIM-1800020T11	14250_MTA	3N45T	Transformador con dos devanados	33.7	33.7	33.7	94.41	94.44	94.64
ALIM-1800020T11	I14250_MTA		Carga concentrada	33.7	33.7	33.7	94.41	94.44	94.64
ALIM-1800020T11	14251_MTA	1A25T	Transformador con dos devanados		33.7			94.07	
ALIM-1800020T11	I14251_MTA		Carga concentrada		33.7			94.07	
ALIM-1800020T11	13278_MTA	3C75T	Transformador con dos devanados	33.7	33.7	33.7	94.38	94.40	94.62
ALIM-1800020T11	I13278_MTA		Carga concentrada	33.7	33.7	33.7	94.38	94.40	94.62
ALIM-1800020T11	13279_MTA	3C100T	Transformador con dos devanados	33.7	33.7	33.7	94.38	94.40	94.62
ALIM-1800020T11	I13279_MTA		Carga concentrada	33.7	33.7	33.7	94.38	94.40	94.62
ALIM-1800020T11	13280_MTA	3N30T	Transformador con dos devanados	33.7	33.7	33.7	94.38	94.40	94.62
ALIM-1800020T11	I13280_MTA		Carga concentrada	33.7	33.7	33.7	94.38	94.40	94.62
ALIM-1800020T11	13282_MTA	3B20T	Transformador con dos devanados	0.0	19.5		94.60	94.40	95.74
ALIM-1800020T11	I13282_MTA		Carga concentrada	33.7	0.0		94.60		
ALIM-1800020T11	14202_MTA	1A25T	Transformador con dos devanados		33.7			94.06	
ALIM-1800020T11	I14202_MTA		Carga concentrada		33.7			94.06	

Flujo de carga - Condiciones anormales

Nombre alim.	Nombre del tramo	Id equipo	Código	Carga A (%)	Carga B (%)	Carga C (%)	VA (%)	VB (%)	VC (%)
ALIM-1800020T11	13281_MTA	1A15T	Transformador con dos devanados		33.7			94.07	
ALIM-1800020T11	I13281_MTA		Carga concentrada		33.7			94.07	
ALIM-1800020T11	13341_MTA	1A15T	Transformador con dos devanados		33.7			94.08	
ALIM-1800020T11	I13341_MTA		Carga concentrada		33.7			94.08	
ALIM-1800020T11	13283_MTA	1A15T	Transformador con dos devanados		33.7			94.07	
ALIM-1800020T11	I13283_MTA		Carga concentrada		33.7			94.07	
ALIM-1800020T11	13284_MTA	1A25T	Transformador con dos devanados		33.7			94.07	
ALIM-1800020T11	I13284_MTA		Carga concentrada		33.7			94.07	
ALIM-1800020T11	13287_MTA	3N45T	Transformador con dos devanados	33.7	33.7	33.7	94.38	94.40	94.62
ALIM-1800020T11	I13287_MTA		Carga concentrada	33.7	33.7	33.7	94.38	94.40	94.62
ALIM-1800020T11	99171_MTA	1A25T	Transformador con dos devanados		33.7			94.05	
ALIM-1800020T11	I99171_MTA		Carga concentrada		33.7			94.05	
ALIM-1800020T11	27568_MTS	3O50T	Transformador con dos devanados	33.7	33.7	33.7	94.37	94.39	94.62
ALIM-1800020T11	I27568_MTS	3P_15KV.CU.3/0	Cable	14.3	14.3	14.3	94.37	94.39	94.62
ALIM-1800020T11	I27568_MTS		Carga concentrada	33.7	33.7	33.7	94.37	94.39	94.62
ALIM-1800020T11	13289_MTA	1A37.5T	Transformador con dos devanados		33.7			94.04	
ALIM-1800020T11	I13289_MTA		Carga concentrada		33.7			94.04	
ALIM-1800020T11	13573_MTA	1A25T	Transformador con dos devanados		33.7			94.03	
ALIM-1800020T11	I13573_MTA		Carga concentrada		33.7			94.03	
ALIM-1800020T11	13291_MTA	1A25T	Transformador con dos devanados		33.7			94.01	
ALIM-1800020T11	I13291_MTA		Carga concentrada		33.7			94.01	

Flujo de carga - Condiciones anormales

Nombre alim.	Nombre del tramo	Id equipo	Código	Carga A (%)	Carga B (%)	Carga C (%)	VA (%)	VB (%)	VC (%)
ALIM-1800020T11	13292_MTA	1A25T	Transformador con dos devanados		33.7			93.99	
ALIM-1800020T11	113292_MTA		Carga concentrada		33.7			93.99	
ALIM-1800020T11	88633_MTA	1A10T	Transformador con dos devanados		33.7			93.98	
ALIM-1800020T11	188633_MTA		Carga concentrada		33.7			93.98	
ALIM-1800020T11	42546_MTA	1A15T	Transformador con dos devanados		33.7			93.97	
ALIM-1800020T11	142546_MTA		Carga concentrada		33.7			93.97	
ALIM-1800020T11	13293_MTA	1A37.5T	Transformador con dos devanados		33.7			93.97	
ALIM-1800020T11	113293_MTA		Carga concentrada		33.7			93.97	
ALIM-1800020T11	13294_MTA	1A25T	Transformador con dos devanados		33.7			93.98	
ALIM-1800020T11	113294_MTA		Carga concentrada		33.7			93.98	
ALIM-1800020T11	93551_MTA	1A10T	Transformador con dos devanados		33.7			94.02	
ALIM-1800020T11	193551_MTA		Carga concentrada		33.7			94.02	
ALIM-1800020T11	13290_MTA	1A10T	Transformador con dos devanados		33.7			94.03	
ALIM-1800020T11	113290_MTA		Carga concentrada		33.7			94.03	
ALIM-1800020T11	13285_MTA	1A15T	Transformador con dos devanados	33.7			94.51		
ALIM-1800020T11	113285_MTA		Carga concentrada	33.7			94.51		
ALIM-1800020T11	13286_MTA	3N75T	Transformador con dos devanados	33.7	33.7	33.7	94.38	94.40	94.62
ALIM-1800020T11	113286_MTA		Carga concentrada	33.7	33.7	33.7	94.38	94.40	94.62
ALIM-1800020T11	27534_MTS	3P30T	Transformador con dos devanados	33.7	33.7	33.7	94.38	94.40	94.62
ALIM-1800020T11	127534_MTS	3P_15KV.CU.3/0	Cable	8.6	8.6	8.6	94.38	94.40	94.62
ALIM-1800020T11	127534_MTS		Carga concentrada	33.7	33.7	33.7	94.38	94.40	94.62

Flujo de carga - Condiciones anormales

Nombre alim.	Nombre del tramo	Id equipo	Código	Carga A (%)	Carga B (%)	Carga C (%)	VA (%)	VB (%)	VC (%)
ALIM-1800020T11	27204_MTS	3030T	Transformador con dos devanados	33.7	33.7	33.7	94.40	94.42	94.63
ALIM-1800020T11	I27204_MTS	3P_15KV.CU.3/0	Cable	8.6	8.6	8.6	94.40	94.42	94.63
ALIM-1800020T11	I27204_MTS		Carga concentrada	33.7	33.7	33.7	94.40	94.42	94.63
ALIM-1800020T11	98895_MTA	3C50T	Transformador con dos devanados	33.7	33.7	33.7	94.40	94.42	94.63
ALIM-1800020T11	I98895_MTA		Carga concentrada	33.7	33.7	33.7	94.40	94.42	94.63
ALIM-1800020T11	181577_MTA	1C3T	Transformador con dos devanados	33.7			94.61		
ALIM-1800020T11	I181577_MTA		Carga concentrada	33.7			94.61		
ALIM-1800020T11	13442_MTA	1A15T	Transformador con dos devanados			33.7			94.84
ALIM-1800020T11	I13442_MTA		Carga concentrada			33.7			94.84
ALIM-1800020T11	1240_MTS	1O15T	Transformador con dos devanados	33.7			94.61		
ALIM-1800020T11	I1240_MTS	1P_15KV.CU.2	Cable	16.8			94.61		
ALIM-1800020T11	I1240_MTS		Carga concentrada	33.7			94.61		
ALIM-1800020T11	1560_MTS	3O50T	Transformador con dos devanados	33.7	33.7	33.7	94.41	94.43	94.59
ALIM-1800020T11	I1560_MTS	3P_15KV.CU.2	Cable	18.7	18.7	18.6	94.41	94.43	94.59
ALIM-1800020T11	I1560_MTS		Carga concentrada	33.7	33.7	33.7	94.41	94.43	94.59
ALIM-1800020T11	12794_MTA	3C112.5T	Transformador con dos devanados	33.7	33.7	33.7	94.25	94.27	94.43
ALIM-1800020T11	I12794_MTA		Carga concentrada	33.7	33.7	33.7	94.25	94.27	94.43
ALIM-1800020T11	91	750_KVA_13.8/480	Transformador con dos devanados	101.0	101.0	94.3	91.38	91.39	91.87
ALIM-1800020T11	94		Carga concentrada	33.7	33.7	33.7	91.38	91.39	91.87
ALIM-1800020T11	13473_MTA	1C37.5T	Transformador con dos devanados			33.7			94.71
ALIM-1800020T11	I13473_MTA		Carga concentrada			33.7			94.71

Flujo de carga - Condiciones anormales

Nombre alim.	Nombre del tramo	Id equipo	Código	Carga A (%)	Carga B (%)	Carga C (%)	VA (%)	VB (%)	VC (%)
ALIM-1800020T11	42880_MTS	1A50T	Transformador con dos devanados			33.7			94.71
ALIM-1800020T11	I42880_MTS	1P_15KV.CU.3/0	Cable			30.6			94.71
ALIM-1800020T11	I42880_MTS		Carga concentrada			33.7			94.71
ALIM-1800020T11	12793_MTA	1A25T	Transformador con dos devanados			33.7			94.71
ALIM-1800020T11	I12793_MTA		Carga concentrada			33.7			94.71
ALIM-1800020T11	33314_MTS	3C50T	Transformador con dos devanados	33.7	33.7	33.7	94.44	94.46	94.62
ALIM-1800020T11	I33314_MTS	3P_15KV.CU.3/0	Cable	14.3	14.3	14.3	94.44	94.46	94.62
ALIM-1800020T11	I33314_MTS		Carga concentrada	33.7	33.7	33.7	94.44	94.46	94.62
ALIM-1800020T11	14443_MTA	1A25T	Transformador con dos devanados	33.7			94.54		
ALIM-1800020T11	I14443_MTA		Carga concentrada	33.7			94.54		
ALIM-1800020T11	13646_MTA	3C50T	Transformador con dos devanados	33.7	33.7	33.7	94.45	94.47	94.63
ALIM-1800020T11	I13646_MTA		Carga concentrada	33.7	33.7	33.7	94.45	94.47	94.63
ALIM-1800020T11	505_MTS	3O160T	Transformador con dos devanados	33.7	33.7	33.7	94.31	94.33	94.49
ALIM-1800020T11	I505_MTS	3P_15KV.CU.3/0	Cable	45.8	45.8	45.7	94.31	94.33	94.49
ALIM-1800020T11	I505_MTS		Carga concentrada	33.7	33.7	33.7	94.31	94.33	94.49
ALIM-1800020T11	46761_MTS	3O30T	Transformador con dos devanados	33.7	33.7	33.7	94.46	94.48	94.64
ALIM-1800020T11	I46761_MTS	3P_15KV.CU.2	Cable	11.2	11.2	11.2	94.46	94.48	94.64
ALIM-1800020T11	I46761_MTS		Carga concentrada	33.7	33.7	33.7	94.46	94.48	94.64
ALIM-1800020T11	14144_MTA	1A25T	Transformador con dos devanados	33.7			94.54		
ALIM-1800020T11	I14144_MTA		Carga concentrada	33.7			94.54		
ALIM-1800020T11	503_MTS	1P15T	Transformador con dos devanados		33.7			94.28	

Flujo de carga - Condiciones anormales

Nombre alim.	Nombre del tramo	Id equipo	Código	Carga A (%)	Carga B (%)	Carga C (%)	VA (%)	VB (%)	VC (%)
ALIM-1800020T11	I503_MTS	1P_15KV.CU.3/0	Cable		9.2			94.28	
ALIM-1800020T11	I503_MTS		Carga concentrada		33.7			94.28	
ALIM-1800020T11	502_MTS	1O37.5T	Transformador con dos devanados	33.7			94.56		
ALIM-1800020T11	I502_MTS	1P_15KV.CU.3/0	Cable	23.0			94.56		
ALIM-1800020T11	I502_MTS		Carga concentrada	33.7			94.56		
ALIM-1800020T11	14143_MTA	1A25T	Transformador con dos devanados	33.7			94.61		
ALIM-1800020T11	I14143_MTA		Carga concentrada	33.7			94.61		
ALIM-1800020T11	14142_MTA	1A25T	Transformador con dos devanados			33.7			94.85
ALIM-1800020T11	I14142_MTA		Carga concentrada			33.7			94.85
ALIM-1800020T11	13470_MTA	1C37.5T	Transformador con dos devanados			33.7			94.93
ALIM-1800020T11	I13470_MTA		Carga concentrada			33.7			94.93
ALIM-1800020T11	14141_MTA	1C37.5T	Transformador con dos devanados	33.7			94.73		
ALIM-1800020T11	I14141_MTA		Carga concentrada	33.7			94.73		

Método de cálculo: Caída de tensión - Desequilibrada
Tolerancia: 0.1 %
Factores de carga: Global (P=100.00%, Q=100.00%)
Factores de motor: Como definido
Factores de generador: Como definido
Condensadores shunt: On
Modelo de carga de sensibilidad: De la biblioteca

Flujo de carga - Reporte sumario				
Resumen total	kW	kvar	kVA	FP(%)
Fuentes (Potencia de equilibrio)	2780.20	1800.31	3312.19	83.94
Generadores	0.00	0.00	0.00	0.00
Producción total	2780.20	1800.31	3312.19	83.94
Carga leída (no regulada)	2679.54	1952.32	3315.34	80.82
Carga utilizada (regulada)	2679.26	1951.66	3314.73	80.83
Condensadores shunt (regulados)	0.00	-276.03	276.03	0.00
Reactancias shunt(reguladas)	0.00	0.00	0.00	0.00
Motores	0.00	0.00	0.00	0.00
Cargas totales	2679.26	1675.63	3160.09	84.78
Capacitancia del cable	0.00	-13.94	13.94	0.00
Capacitancia de la línea	0.00	-11.34	11.34	0.00
Capacitancia shunt total	0.00	-25.28	25.28	0.00
Pérdidas en las líneas	58.30	56.23	81.00	71.98
Pérdidas en los cables	0.01	0.00	0.01	97.98
Pérdidas de carga del transformador	27.23	102.91	106.45	25.58
Pérdidas en vacío del transformador	27.58	0.00	27.58	100.00
Pérdidas totales	113.53	159.14	195.48	58.07

Condiciones anormales				
	Fase	Conteo	Peor caso	Valor
Sobrecarga	A	6	74198_MTA	138.67 %
	B	7	74198_MTA	151.91 %
	C	6	74198_MTA	131.27 %

Subtensión	A	395	88	91.38 %
	B	415	88	91.39 %
	C	308	88	91.87 %
Sobretensión	A	0	7604_MTA	98.55 %
	B	0	7604_MTA	98.55 %
	C	0	7604_MTA	98.55 %

Costo anual de las pérdidas del sistema			
	kW	MW-h/año	k\$/año
Pérdidas en las líneas	58.30	184.71	18.47
Pérdidas en los cables	0.01	0.02	0.00
Pérdidas de carga del transformador	27.23	86.26	8.63
Pérdidas en vacío del transformador	27.58	241.64	24.16
Pérdidas totales	113.53	513.92	51.39